METAMORFOSI: Matematica delle trasformazioni universali

SEZIONE I: MATEMATICA DELLE TRASFORMAZIONI

Capitolo 1: Teoria dei Gruppi - L'Algebra del Cambiamento

La teoria dei gruppi costituisce il fondamento algebrico per lo studio sistematico delle trasformazioni e delle simmetrie. La genesi di questa teoria, rintracciabile nei lavori di Évariste Galois sulla risolubilità per radicali delle equazioni polinomiali e successivamente sviluppata da Arthur Cayley, Sophus Lie e Felix Klein nel contesto del Programma di Erlangen, rappresenta uno dei vertici concettuali della matematica moderna. La nozione centrale è quella di gruppo come insieme dotato di una struttura algebrica che codifica l'essenza della reversibilità e della composizione delle trasformazioni.

Fondamenti Categoriali e Struttura di Gruppo

Una trasformazione di un insieme X è definita rigorosamente come una biiezione φ: X → X. L'insieme di tutte le biiezioni di X in sé stesso, denotato Sym(X) o S_X, forma naturalmente un gruppo sotto l'operazione di composizione di funzioni. Quando X è finito con cardinalità n, questo gruppo è il gruppo simmetrico S_n, di ordine n!. La teoria dei gruppi emerge dall'osservazione che la struttura essenziale di Sym(X) può essere assiomatizzata indipendentemente dalla sua realizzazione come gruppo di permutazioni.

Formalmente, un gruppo è una coppia (G, ·) dove G è un insieme e · : G × G → G è un'operazione binaria soddisfacente gli assiomi seguenti: per ogni f, g, h ∈ G vale l'associatività (f · g) · h = f · (g · h); esiste un elemento identità e ∈ G tale che e · g = g · e = g per ogni g ∈ G; per ogni g ∈ G esiste un inverso g^(-1) ∈ G tale che g · g^(-1) = g^(-1) · g = e. L'assioma di chiusura, secondo cui f · g ∈ G per ogni f, g ∈ G, è implicito nella definizione dell'operazione come funzione G × G → G.

La struttura di gruppo ammette una formulazione categoriale illuminante. Un gruppo può essere visto come una categoria con un solo oggetto in cui ogni morfismo è un isomorfismo. Gli elementi del gruppo corrispondono ai morfismi, la composizione di gruppo corrisponde alla composizione di morfismi, l'identità del gruppo è il morfismo identità, e l'inverso gruppale è l'inverso categoriale. Questa prospettiva, apparentemente astratta, rivela profonde connessioni con la teoria delle categorie e suggerisce generalizzazioni come i gruppoidi, categorie in cui ogni morfismo è un isomorfismo ma che possono avere molteplici oggetti.

Azioni di Gruppo e Teorema di Cayley

Un'azione sinistra di un gruppo G su un insieme X è un omomorfismo φ: G → Sym(X), ovvero una mappa che preserva la struttura gruppale nel senso che φ(gh) = φ(g) ◦ φ(h) e

φ(e) = id_X. Equivalentemente, un'azione può essere descritta come una mappa G × X → X, denotata (g, x) ↦ g·x, soddisfacente e·x = x e g·(h·x) = (gh)·x per ogni g, h ∈ G e x ∈ X. L'orbita di un elemento x sotto l'azione di G è l'insieme O_x = {g·x : g ∈ G}, mentre lo stabilizzatore di x è il sottogruppo G_x = {g ∈ G : g·x = x}.

Il teorema dell'orbita-stabilizzatore, fondamentale nella teoria delle azioni di gruppo, stabilisce che |O_x| · |G_x| = |G| per gruppi finiti, dove le barre denotano la cardinalità. Questo risultato si estende alla formula generale |G| = Σ |O_i|, dove la somma è estesa a un sistema completo di rappresentanti delle orbite distinte. Nel caso di azioni su insiemi finiti, l'enumerazione delle configurazioni invarianti sotto l'azione gruppale è governata dal lemma di Burnside: il numero di orbite distinte è (1/|G|) Σ_{g∈G} |X^g|, dove X^g = {x ∈ X : g·x = x} denota l'insieme dei punti fissi di g.

Il teorema di Cayley afferma che ogni gruppo G è isomorfo a un sottogruppo del gruppo simmetrico su G stesso. La dimostrazione costruttiva procede definendo l'azione regolare sinistra: per ogni g ∈ G, si considera la mappa λ_g: G → G data da λ_g(h) = gh. Questa mappa è una biiezione, e la corrispondenza g ↦ λ_g definisce un omomorfismo iniettivo λ: G → Sym(G). L'iniettività segue dal fatto che se λ_g = λ_h, allora ge = λ_g(e) = λ_h(e) = he, quindi g = h. L'immagine di λ è il gruppo regolare sinistro di G, isomorfo a G stesso.

La versione raffinata del teorema di Cayley, dovuta a Frucht, stabilisce che ogni gruppo finito è isomorfo al gruppo degli automorfismi di un qualche grafo finito. Questo risultato profondo indica che la struttura gruppale può essere codificata interamente in termini di simmetrie combinatoriche discrete. Nel contesto dei gruppi infiniti, il teorema di Cayley si estende naturalmente, ma emergono questioni delicate relative alla cardinalità dell'insieme su cui il gruppo agisce e alla natura topologica dell'azione quando il gruppo è dotato di una struttura aggiuntiva, come nel caso dei gruppi topologici o dei gruppi di Lie.

Gruppi di Trasformazioni Geometriche e Programma di Erlangen

I gruppi di isometrie euclidee rappresentano esempi paradigmatici di gruppi di trasformazioni geometriche. Nel piano euclideo $\mathbb{R}^2$, il gruppo delle isometrie E(2) consiste di tutte le trasformazioni che preservano le distanze. Ogni isometria può essere decomposta univocamente come composizione di una trasformazione ortogonale (rotazione o riflessione) e di una traslazione. Algebricamente, E(2) è il prodotto semidiretto E(2) = O(2) ⋉ $\mathbb{R}^2$, dove O(2) è il gruppo ortogonale bidimensionale delle matrici ortogonali 2×2 e $\mathbb{R}^2$ agisce come gruppo delle traslazioni.

Il sottogruppo speciale ortogonale SO(2), consistente delle matrici ortogonali con determinante +1, parametrizza le rotazioni attorno all'origine. Ogni rotazione di angolo θ è rappresentata dalla matrice R(θ) = [[cos θ, -sin θ], [sin θ, cos θ]]. Il gruppo SO(2) è abeliano e topologicamente equivalente al cerchio S^1, con la composizione di rotazioni corrispondente all'addizione degli angoli modulo 2π. Il rivestimento universale di SO(2) è il gruppo additivo dei reali $\mathbb{R}$, con proiezione di rivestimento data da exp: $\mathbb{R}$ → S^1, exp(θ) = e^(iθ), dove identifichiamo S^1 con il gruppo moltiplicativo dei numeri complessi di modulo unitario.

In tre dimensioni, il gruppo delle rotazioni SO(3) acquisisce una struttura considerevolmente più ricca. Le rotazioni tridimensionali sono parametrizzate dalla sfera solida di raggio π, con

punti antipodali sulla superficie identificati. Il gruppo SO(3) è un gruppo di Lie tridimensionale compatto, non abeliano, con algebra di Lie so(3) isomorfa all'algebra dei vettori $\mathbb{R}^3$ sotto il prodotto vettoriale. Il rivestimento universale di SO(3) è il gruppo SU(2) delle matrici unitarie 2×2 con determinante 1, e la proiezione di rivestimento SU(2) → SO(3) è un omomorfismo suriettivo con nucleo {±I}, mostrando che SU(2) è un rivestimento doppio di SO(3).

La rappresentazione di Euler delle rotazioni tridimensionali mediante angoli di Eulero (φ, θ, ψ) fornisce una parametrizzazione locale ma presenta singolarità (gimbal lock). Alternative includono la rappresentazione mediante quaternioni unitari: ogni rotazione corrisponde a un quaternione q = a + bi + cj + dk con a^2 + b^2 + c^2 + d^2 = 1, e la composizione di rotazioni corrisponde al prodotto quaternionico. I quaternioni unitari formano precisamente il gruppo SU(2), realizzato come {[[α, β], [-β*, α*]] : α, β ∈ $\mathbb{C}$, |α|^2 + |β|^2 = 1}.

Il Programma di Erlangen di Felix Klein, enunciato nel 1872, propone una classificazione unificata delle geometrie basata sui loro gruppi di trasformazioni. Ogni geometria è caratterizzata da un gruppo di trasformazioni G agente su uno spazio X, e gli invarianti geometrici sono precisamente le proprietà preservate da G. La geometria euclidea corrisponde al gruppo E(n) delle isometrie euclidee; la geometria affine al gruppo A(n) delle trasformazioni affini (composizioni di trasformazioni lineari e traslazioni); la geometria proiettiva al gruppo proiettivo PGL(n+1); la geometria iperbolica al gruppo di Lorentz O(n,1). Questa visione unificata rivela che diverse geometrie emergono come specializzazioni di geometrie più generali mediante restrizione del gruppo di simmetria.

Teoria delle Rappresentazioni e Caratteri

La teoria delle rappresentazioni studia le azioni lineari dei gruppi su spazi vettoriali. Una rappresentazione di un gruppo G su uno spazio vettoriale V è un omomorfismo ρ: G → GL(V), dove GL(V) denota il gruppo generale lineare degli automorfismi lineari invertibili di V. Quando V è finito-dimensionale su $\mathbb{C}$, possiamo identificare GL(V) con GL_n($\mathbb{C}$) scegliendo una base, e la rappresentazione diventa un omomorfismo ρ: G → GL_n($\mathbb{C}$), associando a ogni elemento del gruppo una matrice invertibile.

Una rappresentazione si dice irriducibile se non esistono sottospazi propri invarianti non banali, ovvero sottospazi W ⊂ V con 0 ≠ W ≠ V tali che ρ(g)(W) ⊆ W per ogni g ∈ G. Il lemma di Schur stabilisce che se ρ e σ sono rappresentazioni irriducibili di G e φ: V → W è un omomorfismo di rappresentazioni (cioè φ ∘ ρ(g) = σ(g) ∘ φ per ogni g ∈ G), allora φ è zero oppure è un isomorfismo. Nel caso di rappresentazioni irriducibili distinte su $\mathbb{C}$, non esistono omomorfismi non banali tra di esse. Nel caso di una rappresentazione irriducibile in sé stessa, ogni omomorfismo è un multiplo scalare dell'identità.

Per gruppi finiti G, il teorema fondamentale della teoria delle rappresentazioni afferma che il numero di classi di equivalenza di rappresentazioni irriducibili su $\mathbb{C}$ è uguale al numero di classi di coniugio in G. Il carattere di una rappresentazione ρ è la funzione χ_ρ: G → $\mathbb{C}$ definita da χ_ρ(g) = tr(ρ(g)), dove tr denota la traccia della matrice. I caratteri sono funzioni di classe, ovvero costanti sulle classi di coniugio: χ(hgh^(-1)) = χ(g) per ogni g, h ∈ G. I caratteri delle rappresentazioni irriducibili formano una base ortogonale per lo spazio delle funzioni di classe su G, con prodotto scalare ⟨χ, ψ⟩ = (1/|G|) Σ_{g∈G} χ(g) ψ(g)*.

La decomposizione di una rappresentazione arbitraria in irriducibili è governata dalle molteplicità $m_i = \langle \chi, \chi_i \rangle$, dove χ_i sono i caratteri irriducibili e χ è il carattere della rappresentazione data. La relazione di ortogonalità dei caratteri implica $\Sigma_i \chi_i(e)^2 = |G|$, dove e è l'identità del gruppo e $\chi_i(e)$ è la dimensione della i-esima rappresentazione irriducibile. Per il gruppo simmetrico S_n, le rappresentazioni irriducibili sono parametrizzate dalle partizioni di n e possono essere costruite esplicitamente mediante i politabloid di Young associati ai diagrammi di Young standard.

Gruppi di Lie e Algebre di Lie

I gruppi di Lie sono varietà differenziabili dotate di una struttura gruppale compatibile con la struttura differenziabile, nel senso che le mappe di moltiplicazione $\mu: G \times G \to G$ e inversione $inv: G \to G$ sono lisce. Ogni gruppo di Lie possiede uno spazio tangente all'identità, denotato $T_e G$, che eredita una struttura di algebra di Lie. L'algebra di Lie $\mathfrak{g} = T_e G$ è uno spazio vettoriale dotato di un'operazione bilineare antisimmetrica $[\cdot,\cdot]: \mathfrak{g} \times \mathfrak{g} \to \mathfrak{g}$, chiamata parentesi di Lie, soddisfacente l'identità di Jacobi $[[X,Y],Z] + [[Y,Z],X] + [[Z,X],Y] = 0$ per ogni $X, Y, Z \in \mathfrak{g}$.

La corrispondenza tra gruppi di Lie e algebre di Lie è mediata dall'esponenziale $\exp: \mathfrak{g} \to G$, definito per un elemento $X \in \mathfrak{g}$ come $\exp(X) = \gamma(1)$, dove $\gamma: \mathbb{R} \to G$ è l'unico omomorfismo di gruppi di Lie con derivata in zero pari a X. Equivalentemente, se realizziamo G come sottogruppo di $GL_n(\mathbb{R})$, allora $\exp(X) = \Sigma_{k=0}^{\infty} X^k/k!$ è l'esponenziale matriciale. L'applicazione esponenziale mappa un intorno dell'origine in $\mathfrak{g}$ diffeomorficamente su un intorno dell'identità in G, ma non è in generale globalmente suriettiva né iniettiva.

Per gruppi di Lie connessi e semplicemente connessi, il funtore che associa a ogni gruppo di Lie la sua algebra di Lie stabilisce un'equivalenza di categorie tra gruppi di Lie connessi semplicemente connessi e algebre di Lie finite-dimensionali. Questo risultato profondo, dovuto a Élie Cartan, implica che la struttura locale di un gruppo di Lie connesso semplicemente connesso è completamente determinata dalla sua algebra di Lie. Nel caso generale di gruppi di Lie connessi, il gruppo universale di rivestimento $\tilde{G} \to G$ permette di recuperare G dall'algebra di Lie e dal gruppo fondamentale $\pi_1(G)$.

Le algebre di Lie semisemplici ammettono una classificazione completa mediante sistemi di radici e diagrammi di Dynkin. Un'algebra di Lie $\mathfrak{g}$ è semisemplice se non contiene ideali abeliani non banali, equivalentemente se la forma di Killing $B(X,Y) = \mathrm{tr}(\mathrm{ad}_X \circ \mathrm{ad}_Y)$, dove $\mathrm{ad}_X(Y) = [X,Y]$, è non degenere. Le algebre di Lie semisemplici complesse si decompongono in somma diretta di algebre di Lie semplici, e le algebre semplici sono classificate dalle serie classiche A_n (corrispondenti a $\mathfrak{sl}_{n+1}$), B_n ($\mathfrak{so}_{2n+1}$), C_n ($\mathfrak{sp}_{2n}$), D_n ($\mathfrak{so}_{2n}$), e dai gruppi eccezionali G_2, F_4, E_6, E_7, E_8.

Coomologia dei Gruppi e Estensioni

La coomologia dei gruppi fornisce invarianti algebrici che misurano l'ostruzione all'estendibilità di certe strutture. Dato un gruppo G e un G-modulo M (cioè un gruppo abeliano M dotato di un'azione di G), i gruppi di coomologia $H^n(G, M)$ sono definiti come i gruppi di coomologia del complesso di cocatene Bar. Le cocatene n-dimensionali sono funzioni $f: G^n \to M$, e il differenziale $\delta: C^n(G, M) \to C^{n+1}(G, M)$ è dato dalla formula

alternata $\delta f(g_1,...,g_{n+1}) = g_1 \cdot f(g_2,...,g_{n+1}) + \Sigma_{i=1}^n (-1)^i f(g_1,...,g_i g_{i+1},...,g_{n+1}) + (-1)^{n+1} f(g_1,...,g_n)$.

Il gruppo di coomologia $H^1(G, M)$ classifica i quozienti derivati: una cocatena 1-dimensionale è una funzione $\varphi: G \to M$, ed è un cociclo se soddisfa $\varphi(gh) = \varphi(g) + g \cdot \varphi(h)$. I cobordi sono le funzioni della forma $\varphi(g) = g \cdot m - m$ per qualche $m \in M$. Il gruppo $H^2(G, M)$ parametrizza le estensioni centrali di G per M: una successione esatta $0 \to M \to E \to G \to 1$ dove M è centrale in E. Due estensioni sono equivalenti se esiste un isomorfismo tra i gruppi centrali che rende commutativo il diagramma appropriato, e le classi di equivalenza corrispondono biunivocamente agli elementi di $H^2(G, M)$.

Nel caso dei gruppi di Lie, la coomologia differenziabile dei gruppi si collega alla coomologia delle algebre di Lie. Il complesso di Chevalley-Eilenberg definisce la coomologia dell'algebra di Lie g con coefficienti in un g-modulo M: le cocatene sono forme multilineari alternanti su g a valori in M, e il differenziale incorpora sia la struttura di parentesi di Lie che l'azione del modulo. Per gruppi di Lie compatti connessi, il teorema di van Est stabilisce un isomorfismo tra la coomologia dell'algebra di Lie e la coomologia continua del gruppo, fornendo un ponte potente tra strutture infinitesimali e globali.

Capitolo 2: Invarianti - Cosa NON Cambia

La nozione di invariante rappresenta il complemento dialettico della trasformazione: mentre una trasformazione descrive il cambiamento, un invariante codifica ciò che persiste attraverso il cambiamento. Gli invarianti costituiscono gli oggetti matematici fondamentali attraverso cui distinguiamo strutture essenzialmente diverse e riconosciamo equivalenze profonde. La teoria degli invarianti, sviluppata originariamente nell'ambito della geometria algebrica da matematici come Cayley, Sylvester e Hilbert, ha trovato applicazioni decisive in fisica teorica, geometria differenziale, topologia algebrica e teoria dei nodi.

Il Teorema di Noether: Simmetrie Continue e Leggi di Conservazione

Il teorema di Emmy Noether, pubblicato nel 1918 come parte del suo lavoro sui fondamenti variazionali della fisica matematica, stabilisce una corrispondenza biunivoca tra simmetrie continue di sistemi lagrangiani e quantità conservate. Questo risultato trascende la mera tecnica computazionale per rivelare una struttura profonda che unifica geometria, analisi e fisica: le leggi di conservazione non sono principi addizionali ma conseguenze necessarie delle simmetrie spazio-temporali.

Consideriamo un sistema meccanico descritto da coordinate generalizzate $q = (q^1, ..., q^n) \in Q$, dove Q è la varietà di configurazione. La lagrangiana $L: TQ \times \mathbb{R} \to \mathbb{R}$ è una funzione sullo spazio tangente TQ dipendente eventualmente dal tempo t. L'azione è il funzionale $S[\gamma] = \int_{t_1}^{t_2} L(\gamma(t), \dot{\gamma}(t), t)\, dt$ definito su curve $\gamma: [t_1, t_2] \to Q$. Il principio di Hamilton di minima azione stabilisce che le traiettorie fisiche sono punti critici del funzionale azione, soddisfacenti le equazioni di Eulero-Lagrange $d/dt(\partial L/\partial \dot{q}^i) - \partial L/\partial q^i = 0$ per $i = 1, ..., n$.

Una simmetria variazionale è un gruppo uniparametrico di diffeomorfismi $\Phi_\varepsilon: Q \times \mathbb{R} \to Q \times \mathbb{R}$, $(q, t) \mapsto (Q(q,t,\varepsilon), T(t,\varepsilon))$, tale che l'azione sia quasi-invariante: $S[\Phi_\varepsilon \circ \gamma] = S[\gamma] + o(\varepsilon)$. In coordinate infinitesimali, ponendo $Q(q,t,0) = q$ e $T(t,0) = t$, definiamo i generatori infinitesimali $\xi^i(q,t) = \partial Q^i/\partial \varepsilon|_{\{\varepsilon=0\}}$ *e* $\tau(t) = \partial T/\partial \varepsilon|_{\{\varepsilon=0\}}$. La quasi-invarianza dell'azione si traduce nella

condizione δL + L d(τ)/dt = dF/dt per qualche funzione F, dove δL = ξ^i ∂L/∂q^i + (d/dt(ξ^i) - q̇^i dτ/dt) ∂L/∂q̇^i + τ ∂L/∂t.

Il teorema di Noether afferma che la quantità J = (∂L/∂q̇^i) ξ^i - L τ + F è conservata lungo le soluzioni delle equazioni di Eulero-Lagrange: dJ/dt = 0 quando d/dt(∂L/∂q̇^i) - ∂L/∂q^i = 0. La dimostrazione procede per calcolo diretto: differenziando J rispetto al tempo e utilizzando le equazioni del moto, tutti i termini si cancellano identicamente. La quantità J è chiamata carica di Noether associata alla simmetria generata da (ξ, τ).

Nel formalismo hamiltoniano, la teoria di Noether acquisisce una formulazione geometrica particolarmente elegante. Lo spazio delle fasi è lo spazio cotangente T*Q dotato della forma simplettica canonica ω = Σ_i dp_i ∧ dq^i. L'hamiltoniana H: T*Q → ℝ genera il flusso hamiltoniano via le equazioni di Hamilton q̇^i = ∂H/∂p_i, ṗ_i = -∂H/∂q^i. Una simmetria hamiltoniana è un diffeomorfismo Ψ: T*Q → T*Q che preserva sia H che ω, cioè Ψ*H = H e Ψ*ω = ω. Il teorema del momento mostra che se un gruppo di Lie G agisce su T*Q preservando la struttura simplettica e l'hamiltoniana, esiste una mappa momento μ: T*Q → g*, dove g* è il duale dell'algebra di Lie di G, tale che μ è conservata dal flusso hamiltoniano e genera le simmetrie infinitesimali.

Traslazione Temporale ed Energia

L'invarianza rispetto alle traslazioni temporali corrisponde all'autonomia del sistema: ∂L/∂t = 0. La simmetria è generata da (ξ, τ) = (0, 1), cioè traslazioni pure del tempo senza modifica delle coordinate. La carica di Noether diventa J = -L + q̇^i (∂L/∂q̇^i). Definendo il momento coniugato p_i = ∂L/∂q̇^i e l'hamiltoniana H = p_i q̇^i - L mediante la trasformazione di Legendre, otteniamo J = H. Quindi l'invarianza temporale implica la conservazione dell'energia totale del sistema.

La trasformazione di Legendre merita un'analisi approfondita. Essa realizza un diffeomorfismo tra lo spazio tangente TQ e lo spazio cotangente T*Q quando la lagrangiana è iperregolare, cioè quando la matrice hessiana ∂^2L/∂q̇^i∂q̇^j è non degenere. La mappa di Legendre FL: TQ → T*Q è definita da FL(q, q̇) = (q, ∂L/∂q̇). L'hamiltoniana H su T*Q è determinata implicitamente dalla relazione H(q, p) + L(q, q̇) = p_i q̇^i, dove q̇ è espresso in funzione di (q, p) mediante l'inversione della mappa di Legendre.

Per sistemi fisici standard con lagrangiana della forma L = (1/2)g_{ij}(q)q̇^iq̇^j - V(q), dove g_{ij} è una metrica riemanniana su Q e V è il potenziale, l'hamiltoniana diventa H = (1/2)g^{ij}(q)p_i p_j + V(q), dove g^{ij} è la metrica inversa. La conservazione dell'energia H = costante definisce l'ipersuperficie di energia costante nello spazio delle fasi, che è invariante sotto il flusso hamiltoniano. Il teorema di Liouville garantisce che il flusso hamiltoniano preserva la misura simplettica su questa ipersuperficie, fondamento della meccanica statistica dell'ensemble microcanonico.

In teorie di campo, l'invarianza per traslazioni temporali genera la conservazione dell'energia totale, ma la formulazione richiede il passaggio dalle lagrangiane di punto materiale alle densità lagrangiane. Per un campo φ(x, t) con densità lagrangiana L(φ, ∂_μφ), il tensore energia-impulso canonico è T^{μν} = (∂L/∂(∂_μφ))∂^νφ - η^{μν}L, dove η^{μν} è la metrica minkowskiana. La componente T^{00} è la densità di energia, e la sua integrazione spaziale fornisce l'energia totale E = ∫ T^{00} d^3x. L'invarianza per traslazioni temporali,

corrispondente alla simmetria $\partial/\partial x^0$, implica $\partial_\mu T^{\mu 0} = 0$, da cui $\partial E/\partial t = 0$ in assenza di correnti al contorno.

Traslazione Spaziale e Momento Lineare

L'omogeneità dello spazio si manifesta nell'invarianza della lagrangiana rispetto alle traslazioni spaziali $q \to q + a$ per vettori costanti $a \in \mathbb{R}^3$. Il generatore infinitesimale è $\xi = a$ e $\tau = 0$. La lagrangiana di un sistema isolato di N particelle, $L = \Sigma_{i=1}^N (1/2)m_i v_i^2 - V(r_1 - r_2, r_1 - r_3, ...)$, dipende solo dalle differenze di posizione, garantendo l'invarianza traslazionale. La carica di Noether corrispondente è $J = \Sigma_i (\partial L/\partial v_i)\cdot a = a\cdot P$, dove $P = \Sigma_i p_i$ è il momento totale del sistema.

La conservazione del momento totale P implica immediatamente la legge del moto del centro di massa. Definendo $R_{cm} = (\Sigma_i m_i r_i)/(\Sigma_i m_i)$, si ha $\dot{P} = M \dot{R}_{cm} = 0$, dove $M = \Sigma_i m_i$ è la massa totale. Quindi il centro di massa si muove di moto rettilineo uniforme, indipendentemente dalla complessità delle interazioni interne. Questa è una riformulazione del primo principio della dinamica per sistemi estesi: in assenza di forze esterne, ogni sistema mantiene il suo stato di moto traslatorio uniforme.

In teoria dei campi, la simmetria traslazionale genera le tre componenti spaziali del tensore energia-impulso $T^{0i} = \pi\, \partial^i \varphi - \eta^{0i}L$, dove $\pi = \partial L/\partial(\partial_0\varphi)$ è il momento coniugato canonico. Il momento totale è $P^i = \int T^{0i}\, d^3x$, e l'invarianza traslazionale si esprime come *$\partial_\mu T^{\mu i} = 0$, implicando $dP^i/dt = 0$. Nel contesto della relatività generale, la situazione si complica perché le coordinate sono prive di significato fisico intrinseco, e le simmetrie traslazionali devono essere rimpiazzate dalle simmetrie isometriche del tensore metrico $g_{\mu\nu}$*. Solo in spaziotempi con vettori di Killing traslazionali esiste una nozione invariante di momento conservato.

Isotropia Spaziale e Momento Angolare

L'isotropia dello spazio, cioè l'equivalenza di tutte le direzioni, si manifesta nell'invarianza della lagrangiana sotto rotazioni SO(3). Un gruppo uniparametrico di rotazioni attorno a un asse $\hat{n}$ è dato da $R(\theta) = \exp(\theta\, \hat{n}\cdot J)$, dove $J = (J_1, J_2, J_3)$ sono i generatori infinitesimali delle rotazioni, soddisfacenti l'algebra di Lie $[J_i, J_j] = \varepsilon_{ijk} J_k$. In coordinate, una rotazione infinitesima trasforma $r \to r + \theta\, \hat{n} \times r$, quindi il generatore è $\xi = \hat{n} \times r$.

La carica di Noether associata è $L\cdot\hat{n} = \Sigma_i (\partial L/\partial v_i)\cdot(\hat{n} \times r_i) = \hat{n}\cdot\Sigma_i (r_i \times p_i) = \hat{n}\cdot L$, dove $L = \Sigma_i L_i$ è il momento angolare totale del sistema. La conservazione di $L\cdot\hat{n}$ per ogni direzione $\hat{n}$ implica la conservazione del vettore momento angolare L stesso: $dL/dt = 0$. Le tre componenti L_x, L_y, L_z formano una triade di quantità conservate associate alle tre simmetrie rotazionali indipendenti.

In meccanica quantistica, i generatori delle rotazioni diventano operatori hermitiani $\hat{L}_i = -i\hbar(r \times \nabla)$*i soddisfacenti le relazioni di commutazione canoniche $[\hat{L}_i, \hat{L}_j] = i\hbar\, \varepsilon_{ijk} \hat{L}_k$*. Lo spettro dell'operatore $\hat{L}^2 = \hat{L}_1^2 + \hat{L}_2^2 + \hat{L}_3^2$ è $\hbar^2 l(l+1)$ con $l \in \{0, 1/2, 1, 3/2, 2, ...\}$, e lo spettro di $\hat{L}_z$ è $\hbar m$ con $m \in \{-l, -l+1, ..., l-1, l\}$. Gli stati propri simultanei di $\hat{L}^2$ e $\hat{L}_z$, denotati $|l, m\rangle$, trasformano secondo le rappresentazioni irriducibili di dimensione $(2l+1)$ di SO(3), realizzate dagli armonici sferici $Y_l^m(\theta, \varphi)$ quando l è intero.

La teoria delle rappresentazioni di SO(3) e del suo rivestimento universale SU(2) è intimamente connessa alla teoria del momento angolare quantistico. Le rappresentazioni irriducibili di SU(2) sono parametrizzate da $j \in \{0, 1/2, 1, 3/2, ...\}$ e hanno dimensione $(2j+1)$. Le rappresentazioni con j intero discendono a rappresentazioni di SO(3), mentre quelle con j semintero corrispondono a rappresentazioni spinoriali che cambiano segno sotto rotazioni di 2π. Questa struttura matematica sottende la distinzione fondamentale tra bosoni (spin intero) e fermioni (spin semintero) nella meccanica quantistica.

La composizione di momenti angolari in meccanica quantistica, governata dai coefficienti di Clebsch-Gordan, riflette la decomposizione del prodotto tensoriale di rappresentazioni irriducibili di SU(2): se $|j_1, m_1\rangle$ e $|j_2, m_2\rangle$ sono stati con momento angolare ben definito, lo stato composito si decompone come $|j_1, m_1\rangle \otimes |j_2, m_2\rangle = \Sigma_j C_{j_1 m_1, j_2 m_2}^{j, m_1+m_2} |j, m_1+m_2\rangle$, dove j varia da $|j_1 - j_2|$ a $j_1 + j_2$, e i coefficienti C sono determinati dall'algebra di Lie su(2).

Invarianti Topologici: Caratteristica di Euler e Genere

La topologia algebrica fornisce invarianti di natura radicalmente diversa da quelli derivanti dal teorema di Noether. Mentre le cariche di Noether sono quantità numeriche associate a simmetrie continue di sistemi dinamici, gli invarianti topologici sono proprietà intrinseche che classificano spazi topologici a meno di omeomorfismi o omotopie. Il genere di una superficie compatta orientabile e la caratteristica di Eulero sono i prototipi di questi invarianti.

Una superficie compatta connessa orientabile è omeomorfa a una sfera con g manici attaccati, dove $g \in \{0, 1, 2, ...\}$ è il genere. La sfera ha genere 0, il toro ha genere 1, la superficie di pretzel a due buchi ha genere 2, e così via. Il teorema di classificazione delle superfici compatte afferma che due superfici compatte orientabili sono omeomorfe se e solo se hanno lo stesso genere. Per superfici non orientabili, la classificazione coinvolge il numero di bande di Möbius o piani proiettivi nella decomposizione.

La caratteristica di Eulero $\chi(M)$ di una superficie compatta M è definita mediante una triangolazione: $\chi(M) = V - E + F$, dove V è il numero di vertici, E il numero di spigoli e F il numero di facce. Il teorema di invarianza della caratteristica di Eulero garantisce che $\chi(M)$ non dipende dalla triangolazione scelta, essendo un invariante topologico intrinseco. Per una superficie compatta orientabile di genere g, vale la formula $\chi = 2 - 2g$. Quindi $\chi(S^2) = 2$, $\chi(T^2) = 0$, χ(superficie di genere 2) = -2.

La caratteristica di Eulero può essere definita più astrattamente mediante la coomologia singolare. Se $H_k(M; \mathbb{Z})$ denota il k-esimo gruppo di omologia singolare di M con coefficienti interi, e se questi gruppi sono finitamente generati (come accade per varietà compatte), allora $\chi(M) = \Sigma_k (-1)^k \text{rank}(H_k(M; \mathbb{Z}))$. Per una superficie compatta orientabile di genere g, si ha $H_0(M; \mathbb{Z}) \cong \mathbb{Z}$, $H_1(M; \mathbb{Z}) \cong \mathbb{Z}^{2g}$, $H_2(M; \mathbb{Z}) \cong \mathbb{Z}$, quindi $\chi = 1 - 2g + 1 = 2 - 2g$.

Il teorema di Gauss-Bonnet connette la caratteristica di Eulero alla curvatura gaussiana K di una superficie riemanniana compatta M: $\chi(M) = (1/2\pi) \int_M K \, dA$, dove dA è l'elemento di area riemanniano. Questo risultato profondo collega un invariante topologico globale (χ, che dipende solo dalla topologia di M) a un integrale di una quantità geometrica locale (la curvatura K, che dipende dalla metrica riemanniana scelta). L'indipendenza del lato destro dalla metrica scelta è conseguenza del fatto che χ è topologicamente invariante.

In dimensioni superiori, la caratteristica di Eulero si generalizza, ma la struttura diventa più ricca. Per varietà compatte di dimensione dispari, $\chi = 0$. Per varietà compatte di dimensione pari $2n$, il teorema di Gauss-Bonnet generalizzato di Chern esprime χ in termini dell'integrale del polinomio di Pfaffiano della forma di curvatura: $\chi(M) = (1/(2\pi)^n) \int_M \mathrm{Pf}(\Omega)$, dove Ω è la forma di curvatura della connessione di Levi-Civita. Questo connette topologia, geometria riemanniana e teoria delle forme differenziali in modo inestricabile.

Morfismi e Preservazione di Struttura

Un morfismo tra strutture algebriche è una mappa che preserva le operazioni e le relazioni definenti. Nel contesto dei gruppi, un omomorfismo $\varphi: G \to H$ è una funzione soddisfacente $\varphi(g_1 g_2) = \varphi(g_1)\varphi(g_2)$ e $\varphi(e_G) = e_H$, dove e_G ed e_H sono le identità rispettive. Il nucleo $\ker(\varphi) = \{g \in G : \varphi(g) = e_H\}$ è un sottogruppo normale di G, e l'immagine $\mathrm{im}(\varphi) = \{\varphi(g) : g \in G\}$ è un sottogruppo di H. Il primo teorema di isomorfismo afferma che $G/\ker(\varphi) \cong \mathrm{im}(\varphi)$.

Per spazi vettoriali, i morfismi sono le trasformazioni lineari $T: V \to W$ soddisfacenti $T(\alpha v + \beta w) = \alpha T(v) + \beta T(w)$ per ogni $\alpha, \beta \in \mathbb{K}$ e $v, w \in V$, dove $\mathbb{K}$ è il campo base. Il teorema del rango stabilisce che $\dim(V) = \dim(\ker(T)) + \dim(\mathrm{im}(T))$, connettendo le dimensioni del nucleo e dell'immagine. Nel caso di endomorfismi $T: V \to V$, lo studio degli autovalori λ e autovettori v (soddisfacenti $T(v) = \lambda v$) è centrale nella teoria delle rappresentazioni e nella meccanica quantistica.

Per anelli commutativi, un omomorfismo $\varphi: R \to S$ preserva sia l'addizione che la moltiplicazione: $\varphi(a + b) = \varphi(a) + \varphi(b)$ e $\varphi(ab) = \varphi(a)\varphi(b)$, inoltre $\varphi(1_R) = 1_S$. Il nucleo $\ker(\varphi)$ è un ideale di R, e l'immagine $\mathrm{im}(\varphi)$ è un sottoanello di S. La corrispondenza tra ideali di R contenenti $\ker(\varphi)$ e ideali di $\mathrm{im}(\varphi)$ è governata dal teorema di corrispondenza, generalizzazione dei teoremi di isomorfismo per gruppi.

Nel contesto topologico, i morfismi sono le funzioni continue $f: X \to Y$ tra spazi topologici. Una funzione è continua se la preimmagine di ogni aperto di Y è un aperto di X, equivalentemente se $f^{-1}(U)$ è aperto in X per ogni U aperto in Y. L'omeomorfismo è una funzione continua biettiva con inversa continua, realizzando l'equivalenza topologica tra spazi. Due spazi omeomorfi condividono tutti gli invarianti topologici: gruppi di omologia, gruppi di comotopia, gruppo fondamentale, caratteristica di Eulero.

Isomorfismi e Equivalenza di Strutture

Un isomorfismo è un morfismo invertibile, cioè una mappa $\varphi: X \to Y$ tale che esiste $\psi: Y \to X$ con $\psi \circ \varphi = \mathrm{id}_X$ e $\varphi \circ \psi = \mathrm{id}_Y$. Nel linguaggio categoriale, un isomorfismo è un morfismo che è simultaneamente monomorfo (iniettivo nel senso categoriale) ed epimorfo (suriettivo nel senso categoriale). Due oggetti isomorfi sono indistinguibili dal punto di vista della loro struttura interna: ogni proprietà di uno si trasporta all'altro via l'isomorfismo.

Per gruppi, un isomorfismo $\varphi: G \to H$ è un omomorfismo biettivo. L'inverso $\varphi^{-1}: H \to G$ è automaticamente un omomorfismo, quindi non è necessario richiederlo esplicitamente. Due gruppi isomorfi hanno lo stesso ordine (se finiti), lo stesso numero di elementi di ogni ordine, la stessa tavola di Cayley a meno di ridenominazione, e soddisfano le stesse proprietà algebriche (abelianità, semplicità, risolubilità).

Il teorema di Cayley stabilisce che ogni gruppo G è isomorfo al suo gruppo regolare sinistro, sottogruppo di Sym(G). Quindi ogni gruppo può essere realizzato concretamente come gruppo di permutazioni. Per gruppi finiti, questo significa che ogni gruppo di ordine n si immerge in S_n. Per gruppi infiniti, la realizzazione come gruppo di permutazioni è sempre possibile, ma l'insieme su cui agisce ha la stessa cardinalità del gruppo stesso.

In algebra lineare, due matrici A e B sono simili se esiste una matrice invertibile P tale che B = P^{-1}AP. La similitudine è una relazione di equivalenza che preserva gli autovalori, il determinante, la traccia, il rango, e tutte le proprietà che dipendono solo dalla trasformazione lineare sottostante, non dalla scelta della base. Due matrici simili rappresentano lo stesso operatore lineare in basi differenti.

Il concetto di equivalenza di strutture si estende oltre l'isomorfismo in contesti dove l'invertibilità stretta è troppo restrittiva. In teoria dell'omotopia, due spazi X e Y sono omotopicamente equivalenti se esistono funzioni continue f: X → Y e g: Y → X tali che g ◦ f ≃ id_X e f ◦ g ≃ id_Y, dove ≃ denota omotopia. L'equivalenza omotopica è più debole dell'omeomorfismo ma preserva molti invarianti topologici algebrici come i gruppi di omologia e comotopia.

Capitolo 3: Topologia - Deformazioni Continue

La topologia studia le proprietà qualitative degli spazi che persistono sotto deformazioni continue. A differenza della geometria euclidea, che si occupa di distanze, angoli e misure precise, la topologia si concentra su concetti globali come connessione, compattezza, orientabilità e struttura dei buchi. L'intuizione sottostante è che due oggetti sono topologicamente equivalenti se uno può essere trasformato nell'altro mediante stiramenti, compressioni e distorsioni continue, senza tagliare o incollare. Questa prospettiva ha rivoluzionato la matematica del ventesimo secolo, trovando applicazioni in teoria dei nodi, fisica delle alte energie, cosmologia e persino nella comprensione della struttura dei dati mediante analisi topologica.

Spazi Topologici e Omeomorfismi

Uno spazio topologico è una coppia (X, τ) dove X è un insieme e τ è una collezione di sottoinsiemi di X, chiamati aperti, soddisfacente tre assiomi: l'insieme vuoto ∅ e l'intero spazio X appartengono a τ; l'unione arbitraria di elementi di τ appartiene a τ; l'intersezione finita di elementi di τ appartiene a τ. La topologia τ codifica la nozione di "vicinanza" senza riferimento a una metrica: due punti sono vicini se ogni aperto contenente uno interseca aperti contenenti l'altro.

La topologia euclidea standard su $\mathbb{R}^n$ è generata dalle palle aperte B_r(x) = {y ∈ $\mathbb{R}^n$: ||y - x|| < r}, dove ||·|| è la norma euclidea. Un insieme U ⊆ $\mathbb{R}^n$ è aperto nella topologia standard se per ogni x ∈ U esiste r > 0 tale che B_r(x) ⊆ U. Questa topologia è metrizzabile: deriva da una metrica d(x, y) = ||x - y||. Tuttavia, non ogni spazio topologico deriva da una metrica; esistono topologie più generali che non possono essere indotte da alcuna distanza.

Un omeomorfismo tra spazi topologici (X, τ_X) e (Y, τ_Y) è una biiezione f: X → Y tale che sia f che f^{-1} sono continue. La continuità di f significa che per ogni U ∈ τ_Y, la preimmagine f^{-1}(U) appartiene a τ_X. L'omeomorfismo è la nozione di isomorfismo nella

categoria degli spazi topologici: due spazi omeomorfi sono topologicamente indistinguibili, possiedono gli stessi invarianti topologici e condividono tutte le proprietà che dipendono solo dalla struttura topologica.

L'esempio paradigmatico di omeomorfismo è quello tra una tazza da caffè con manico e un toro solido (ciambella). Entrambi gli oggetti hanno un buco passante, e mediante una deformazione continua (immaginando la tazza come fatta di plastilina infinitamente malleabile) possiamo trasformare la tazza nel toro. Il corpo della tazza si appiattisce nel corpo del toro, il manico diventa il buco centrale, e nessun punto viene mai separato da punti vicini o incollato a punti lontani. Formalmente, costruire l'omeomorfismo esplicito richiede tecniche della teoria delle superfici, ma l'esistenza dell'omeomorfismo garantisce che tazza e toro condividano gli stessi invarianti topologici.

Al contrario, una sfera S^2 e un toro T^2 non sono omeomorfi. Molteplici invarianti lo dimostrano: il gruppo fondamentale della sfera è banale $\pi_1(S^2) = \{e\}$, mentre quello del toro è abeliano libero $\pi_1(T^2) \cong \mathbb{Z} \times \mathbb{Z}$; la caratteristica di Eulero della sfera è $\chi(S^2) = 2$, mentre quella del toro è $\chi(T^2) = 0$; la sfera è semplicemente connessa (ogni curva chiusa può essere contratta continuamente a un punto), mentre il toro non lo è. Questi invarianti topologici forniscono ostruzioni complete all'esistenza di omeomorfismi.

Omotopia e Deformazione di Curve

Due funzioni continue $f, g: X \to Y$ tra spazi topologici sono omotope, denotato $f \simeq g$, se esiste una funzione continua $H: X \times [0,1] \to Y$, chiamata omotopia, tale che $H(x, 0) = f(x)$ e $H(x, 1) = g(x)$ per ogni $x \in X$. L'omotopia H rappresenta una deformazione continua di f in g: al tempo $t \in [0,1]$, la funzione $x \mapsto H(x, t)$ interpola tra f (a $t = 0$) e g (a $t = 1$). L'omotopia è una relazione di equivalenza sullo spazio delle funzioni continue da X a Y, e le classi di equivalenza sono chiamate classi di omotopia.

Il gruppo fondamentale $\pi_1(X, x_0)$ di uno spazio topologico X con punto base $x_0 \in X$ è l'insieme delle classi di omotopia di curve chiuse basate in x_0. Una curva chiusa basata in x_0 è una funzione continua $\gamma: [0,1] \to X$ con $\gamma(0) = \gamma(1) = x_0$. Due curve γ e η sono omotope (a estremi fissi) se esiste un'omotopia $H: [0,1] \times [0,1] \to X$ tale che $H(s, 0) = \gamma(s)$, $H(s, 1) = \eta(s)$, e $H(0, t) = H(1, t) = x_0$ per ogni $s, t \in [0,1]$. La composizione di curve $[\gamma] \cdot [\eta] = [\gamma * \eta]$, dove $(\gamma * \eta)(s) = \gamma(2s)$ per $s \in [0, 1/2]$ e $(\gamma * \eta)(s) = \eta(2s - 1)$ per $s \in [1/2, 1]$, induce una struttura di gruppo su $\pi_1(X, x_0)$.

Per lo spazio euclideo $\mathbb{R}^n$, il gruppo fondamentale è banale: $\pi_1(\mathbb{R}^n, x_0) = \{e\}$ per ogni punto base x_0, perché ogni curva chiusa può essere contratta continuamente al punto x_0 mediante l'omotopia $H(s, t) = (1 - t)\gamma(s) + t\, x_0$. Spazi con gruppo fondamentale banale sono chiamati semplicemente connessi. La sfera S^n per $n \geq 2$ è semplicemente connessa, mentre il cerchio S^1 ha gruppo fondamentale $\pi_1(S^1, x_0) \cong \mathbb{Z}$: ogni curva chiusa su S^1 può essere caratterizzata dal suo numero di avvolgimento, cioè quante volte gira attorno al cerchio (con segno).

Il calcolo del gruppo fondamentale del toro $T^2 = S^1 \times S^1$ sfrutta il teorema del prodotto: $\pi_1(X \times Y, (x_0, y_0)) \cong \pi_1(X, x_0) \times \pi_1(Y, y_0)$. Quindi $\pi_1(T^2) \cong \pi_1(S^1) \times \pi_1(S^1) \cong \mathbb{Z} \times \mathbb{Z}$. Geometricamente, ci sono due curve generatrici indipendenti sul toro: una che gira attorno al buco interno (il meridiano) e una che attraversa il buco (il parallelo). Ogni curva

chiusa sul toro è omotopa a una combinazione a^m b^n di queste due curve generatrici, dove a e b sono rappresentanti delle classi generatrici e m, n ∈ ℤ sono gli avvolgimenti.

Il teorema di Seifert-van Kampen fornisce un metodo potente per calcolare gruppi fondamentali di spazi costruiti incollando spazi più semplici. Se X = U ∪ V dove U e V sono aperti semplicemente connessi con U ∩ V connesso, e se π_1(U ∩ V) → π_1(U) e π_1(U ∩ V) → π_1(V) sono le inclusioni, allora π_1(X) è il prodotto libero con amalgamazione π_1(X) ≅ π_1(U) *_{π_1(U ∩ V)} π_1(V). Questo risultato permette calcoli ricorsivi di gruppi fondamentali complessi da componenti elementari.

Teoria dei Nodi: Equivalenza e Invarianti

Un nodo è un'immersione S^1 ↪ ℝ^3, ovvero un cerchio incorporato in modo liscio nello spazio tridimensionale senza autointersezioni. Due nodi K_1 e K_2 sono equivalenti se esiste un omeomorfismo ambientale h: ℝ^3 → ℝ^3 tale che h(K_1) = K_2. L'omeomorfismo deve essere esteso a tutto lo spazio, non solo al nodo stesso: questo riflette l'idea che due nodi sono equivalenti se uno può essere deformato nell'altro senza tagliare la corda. Il nodo banale (unknot) è un cerchio non annodato, equivalente al bordo standard di un disco in ℝ^3.

Determinare se un nodo dato è equivalente all'unknot è un problema notoriamente difficile. Il primo invariante sistematico fu introdotto da James Alexander: il polinomio di Alexander Δ_K(t) ∈ ℤ[t^{±1}], definito mediante la matrice di presentazione del primo modulo di omologia del rivestimento ciclico infinito di ℝ^3 \ K. Per l'unknot, Δ(t) = 1. Per il trifoglio, il nodo annodato più semplice, Δ(t) = t - 1 + t^{-1}. Il polinomio di Alexander distingue molti nodi ma non è completo: esistono nodi non banali con polinomio di Alexander banale.

Negli anni ottanta, Vaughan Jones scoprì un nuovo invariante polinomiale più potente: il polinomio di Jones V_K(t) ∈ ℤ[t^{±1/2}], definito mediante relazioni skein che riducono il calcolo a configurazioni più semplici. La relazione fondamentale è t^{-1}V_{L_+}(t) - t V_{L_-}(t) = (t^{1/2} - t^{-1/2})V_{L_0}(t), dove L_+, L_-, L_0 sono tre diagrammi di nodi che differiscono solo in un incrocio. Il polinomio di Jones si estende ai link (collezioni di più nodi intrecciati) e soddisfa proprietà di simmetria notevoli.

La connessione tra teoria dei nodi e fisica è profonda. Edward Witten dimostrò che il polinomio di Jones può essere calcolato come funzione di partizione di una teoria di campo di Chern-Simons tridimensionale: V_K(exp(2πi/(k+2))) = $\int_{A : F=0} exp(ik S_{CS}[A]) \mathcal{D}A$, dove S_{CS}[A] = (1/4π) ∫_{ℝ^3} tr(A ∧ dA + (2/3)A ∧ A ∧ A) è l'azione di Chern-Simons, e l'integrale funzionale è esteso sulle connessioni gauge con olonomia assegnata attorno al nodo K. Questa formula collega topologia di bassa dimensione, teoria gauge quantistica e algebre di operatori in modo stupefacente.

La teoria delle trecce fornisce un'altra prospettiva sulla classificazione dei nodi. Una treccia a n fili è una collezione di n curve non intersecanti in ℝ^2 × [0,1] che partono da n punti fissati in ℝ^2 × {0} e arrivano a n punti fissati in ℝ^2 × {1}, con proiezione monotona sull'asse temporale [0,1]. Il gruppo delle trecce B_n è generato da σ_1, ..., σ_{n-1}, dove σ_i rappresenta uno scambio positivo dei fili i-esimo e (i+1)-esimo, con relazioni σ_i σ_j = σ_j σ_i per |i - j| ≥ 2 e σ_i σ_{i+1} σ_i = σ_{i+1} σ_i σ_{i+1}. Il teorema di Alexander stabilisce

che ogni nodo può essere ottenuto chiudendo una treccia, e l'algoritmo di Markov caratterizza quando due trecce danno nodi equivalenti.

Rubber-Sheet Geometry e Classificazione delle Superfici

La topologia è spesso descritta come "geometria del foglio di gomma": proprietà che rimangono invariate quando lo spazio è stirato, torto o deformato come una superficie elastica. Formalmente, una deformazione ammissibile è un omeomorfismo che preserva alcune strutture ausiliarie (come l'orientamento o la struttura differenziabile). Le superfici compatte senza bordo sono i primi oggetti completamente classificati dalla topologia.

Il teorema di classificazione delle superfici compatte stabilisce che ogni superficie compatta connessa senza bordo è omeomorfa esattamente a uno degli oggetti seguenti: una sfera S^2 (genere 0); un toro T^2 (genere 1); una somma connessa di g tori T^2 # ⋯ # T^2 (genere g ≥ 2) se orientabile; un piano proiettivo $\mathbb{R}$P^2; una bottiglia di Klein K; una somma connessa di k piani proiettivi $\mathbb{R}$P^2 # ⋯ # $\mathbb{R}$P^2 se non orientabile. Due superfici nella lista sono omeomorfe se e solo se hanno lo stesso tipo (orientabile/non orientabile) e lo stesso parametro (g o k).

La dimostrazione del teorema di classificazione procede mediante triangolazione e riduzione successiva. Ogni superficie compatta ammette una triangolazione, cioè una decomposizione in triangoli curvilinei incollati lungo i lati. Mediante mosse elementari (flip di spigoli, collasso di triangoli degeneri), si riduce la triangolazione a una forma standard. Per superfici orientabili, la forma standard è un poligono con 4g lati identificati a coppie secondo lo schema a_1 b_1 a_1^{-1} b_1^{-1} a_2 b_2 a_2^{-1} b_2^{-1} ⋯ a_g b_g a_g^{-1} b_g^{-1}. Questo poligono, quando i lati opposti sono incollati rispettando le frecce, produce una superficie di genere g.

La somma connessa di superfici M # N è costruita rimuovendo un piccolo disco da ciascuna superficie e incollando lungo i bordi circolari risultanti. L'operazione di somma connessa è commutativa e associativa a meno di omeomorfismo: M # N ≅ N # M e (M # N) # P ≅ M # (N # P). La sfera S^2 è l'elemento neutro: M # S^2 ≅ M per ogni superficie M. Il genere si somma sotto somma connessa di superfici orientabili: genere(M # N) = genere(M) + genere(N).

La relazione tra genere g e caratteristica di Eulero χ è χ = 2 - 2g per superfici orientabili compatte. Poiché la caratteristica di Eulero è un invariante topologico, questo fornisce un metodo computazionale per determinare il genere: si triangola la superficie, si conta V - E + F, e si inverte la formula per ottenere g = 1 - χ/2. Per la sfera, χ = 2 implica g = 0. Per il toro, χ = 0 implica g = 1. Per il doppio toro (somma connessa di due tori), χ = -2 implica g = 2.

Omologia Singolare e Gruppi di Betti

I gruppi di omologia singolare H_n(X; $\mathbb{Z}$) forniscono invarianti algebrici che catturano informazioni sulla struttura dei "buchi" n-dimensionali in uno spazio topologico X. La costruzione procede definendo n-simplessi singolari come funzioni continue σ: Δ^n → X, dove Δ^n è il simplesso standard n-dimensionale in $\mathbb{R}$^{n+1}. Una n-catena singolare è una combinazione lineare formale Σ_i n_i σ_i di n-simplessi con coefficienti interi n_i ∈ $\mathbb{Z}$.

L'insieme C_n(X; ℤ) di tutte le n-catene forma un gruppo abeliano libero generato dagli n-simplessi singolari.

L'operatore bordo *∂n: C_n(X; ℤ) → C*{n-1}(X; ℤ) mappa ogni n-simplesso σ nella somma alternata delle sue (n-1)-facce: *∂n σ = Σ*{i=0}^n (-1)^i σ|*{faccia i-esima}. La proprietà fondamentale è* ∂{n-1} ◦ ∂_n = 0, ovvero il bordo di un bordo è zero. Questa condizione algebrica riflette il fatto geometrico che il bordo di una superficie è una curva chiusa (senza bordo). Il nucleo di *∂n, denotato Z_n(X; ℤ) = ker(∂n), consiste degli n-cicli, catene senza bordo. L'immagine di ∂{n+1}, denotata B_n(X; ℤ) = im(∂*{n+1}), consiste degli n-bordi, catene che sono bordo di qualcosa di dimensione superiore.

Il n-esimo gruppo di omologia è il quoziente H_n(X; ℤ) = Z_n(X; ℤ) / B_n(X; ℤ). Gli elementi di H_n(X; ℤ) sono classi di equivalenza di cicli modulo bordi: due cicli z e z' sono omologhi, denotato z ~ z', se la loro differenza z - z' è un bordo. Geometricamente, H_n(X; ℤ) classifica le "superfici n-dimensionali chiuse" in X che non sono bordi di regioni (n+1)-dimensionali. Per la sfera S^n, si ha H_0(S^n; ℤ) ≅ ℤ (connessione), H_n(S^n; ℤ) ≅ ℤ (la sfera stessa genera l'omologia top-dimensionale), e H_k(S^n; ℤ) = 0 per 0 < k < n (nessun buco intermedio).

Il rango del gruppo di omologia H_n(X; ℤ), chiamato n-esimo numero di Betti β_n(X), quantifica il numero di buchi n-dimensionali indipendenti. Per il toro T^2, abbiamo β_0 = 1 (uno spazio connesso), β_1 = 2 (due loop indipendenti: meridiano e parallelo), β_2 = 1 (la superficie stessa). La caratteristica di Eulero è l'alternata somma dei numeri di Betti: χ(X) = Σ_n (-1)^n β_n(X). Per il toro, χ = 1 - 2 + 1 = 0, confermando la formula χ = 2 - 2g con g = 1.

La teoria di omologia si estende a coefficienti in gruppi abeliani arbitrari G, definendo H_n(X; G) = Z_n(X; G) / B_n(X; G), dove le catene hanno coefficienti in G invece che in ℤ. La scelta di coefficienti diversi rivela aspetti differenti della topologia: H_n(X; ℚ) cattura informazioni razionali (torsione ignorata), H_n(X; ℤ/p) rivela p-torsione, H_n(X; ℤ) contiene informazione completa ma è più difficile da calcolare. Il teorema dei coefficienti universali collega questi gruppi: esiste una successione esatta 0 → H_n(X; ℤ) ⊗ G → H_n(X; G) → Tor(H_{n-1}(X; ℤ), G) → 0, dove Tor è il funtore torsione.

SEZIONE II: METAMORFOSI NATURALI

Capitolo 4: Transizioni di Fase - La Metamorfosi della Materia

Le transizioni di fase rappresentano metamorfosi della materia in cui le proprietà macroscopiche di un sistema cambiano drasticamente in risposta a variazioni continue di parametri termodinamici come temperatura, pressione o campo magnetico applicato. L'acqua che solidifica in ghiaccio, il ferro che perde la magnetizzazione sopra la temperatura di Curie, il passaggio superconduttivo in metalli a basse temperature: questi fenomeni apparentemente diversi condividono una struttura matematica comune, rivelata dalla teoria delle transizioni di fase e dalla rottura spontanea di simmetria. La fisica statistica moderna ha scoperto che molte transizioni di fase esibiscono universalità: sistemi microscopicamente diversissimi mostrano comportamento critico identico vicino al punto di transizione.

La Sequenza Solido-Liquido-Gas-Plasma

La materia ordinaria si manifesta in almeno quattro fasi termodinamicamente distinte, caratterizzate da diversi gradi di ordine e di libertà molecolare. Nello stato solido, le molecole occupano posizioni ben definite in un reticolo cristallino, oscillando attorno a siti di equilibrio con ampiezze piccole rispetto alle distanze interatomiche. L'ordine posizionale è di lungo raggio: la funzione di correlazione ⟨ρ(r)ρ(0)⟩ decade a un valore costante non nullo per r → ∞, dove ρ(r) è la densità locale di particelle. L'energia cinetica termica è troppo bassa per superare le barriere di potenziale che confinano le molecole nei loro siti reticolari.

Nel liquido, l'ordine posizionale di lungo raggio è assente: le molecole possono diffondere liberamente attraverso il SEZIONE, e la funzione di correlazione ⟨ρ(r)ρ(0)⟩ decade esponenzialmente o algebricamente verso zero. Tuttavia, persiste un ordine di corto raggio: la funzione di distribuzione radiale g(r) = ⟨ρ(r)⟩/ρ_0 mostra oscillazioni smorzate che riflettono la struttura locale del guscio di prima, seconda e terza sfera di coordinazione. L'energia termica è sufficientemente alta da rompere continuamente e riformare i legami intermolecolari, conferendo al liquido fluidità pur mantenendo densità vicina a quella del solido.

Nel gas, sia l'ordine di lungo che di corto raggio sono praticamente assenti. Le molecole sono separate da distanze medie molto maggiori delle loro dimensioni, e interagiscono principalmente mediante collisioni binarie. La funzione di distribuzione radiale g(r) tende rapidamente a 1 per ogni r maggiore della dimensione molecolare, indicando distribuzione spaziale completamente casuale. L'equazione di stato di un gas ideale, PV = NkT, dove k è la costante di Boltzmann, descrive un sistema in cui l'energia potenziale di interazione è trascurabile rispetto all'energia cinetica termica (3/2)kT per particella. Per gas reali, correzioni di van der Waals incorporano l'effetto del SEZIONE finito delle molecole e delle interazioni attrattive residue: (P + an^2/V^2)(V - nb) = nRT, dove a e b sono costanti che dipendono dalla natura molecolare del gas.

Il plasma rappresenta un quarto stato della materia, distinto dal gas per il grado di ionizzazione significativo. A temperature sufficientemente elevate, l'energia termica eccede l'energia di ionizzazione degli atomi: kT > I, dove I è il potenziale di ionizzazione. Gli elettroni vengono strappati dai nuclei, creando un fluido di cariche libere che esibisce comportamento collettivo dominato dalle interazioni elettromagnetiche a lungo raggio. Il parametro di plasma Λ = n λ_D^3, dove n è la densità di carica e λ_D = √(ε_0 kT / (ne^2)) è la lunghezza di Debye, quantifica il numero di particelle nella sfera di Debye: per Λ >> 1, il sistema è un plasma fortemente accoppiato con screening collettivo delle cariche; per Λ << 1, dominano le collisioni binarie. Il plasma solare, con temperatura T ≈ 10^7 K e densità n ≈ 10^31 m^{-3}, ha Λ ≈ 10^9, giustificando l'approssimazione di plasma idealizzato.

Termodinamica dei Punti Critici

Un punto critico nel diagramma di fase è una condizione termodinamica dove due fasi distinte diventano indistinguibili. Il punto critico liquido-gas dell'acqua si trova a temperatura T_c = 647,1 K (373,95 °C) e pressione P_c = 220,64 bar. Al di sopra del punto critico, non esiste distinzione di fase tra liquido e gas: il fluido è supercritico, con proprietà intermedie continuamente variabili con temperatura e pressione. La transizione dal liquido al gas attraverso il punto critico è continua, senza salto di densità.

La teoria termodinamica dei punti critici utilizza il potenziale di Gibbs G(T, P) = U - TS + PV, dove U è l'energia interna, S l'entropia, T la temperatura, P la pressione e V il SEZIONE. Le derivate del potenziale di Gibbs forniscono le variabili termodinamiche: S = -∂G/∂T a pressione costante, V = ∂G/∂P a temperatura costante. Nel punto critico, il potenziale di Gibbs è analitico ma le sue derivate seconde divergono: il calore specifico C_P = T(∂S/∂T)_P = -T(∂^2G/∂T^2)_P e la compressibilità isoterma κ_T = -(1/V)(∂V/∂P)_T = (1/V)(∂^2G/∂P^2)_T tendono a infinito.

La divergenza delle suscettibilità termodinamiche è descritta da leggi di potenza con esponenti critici universali. Vicino al punto critico, ponendo t = (T - T_c)/T_c come temperatura ridotta, si ha C_V ~ |t|^{-α} per il calore specifico, ξ ~ |t|^{-ν} per la lunghezza di correlazione, κ_T ~ |t|^{-γ} per la compressibilità. Gli esponenti α, ν, γ non dipendono dai dettagli microscopici del sistema ma solo dalla dimensionalità dello spazio e dalla simmetria del parametro d'ordine: sistemi diversissimi nello stesso classe di universalità condividono gli stessi esponenti critici.

La legge di scala di Widom postula che il potenziale termodinamico vicino al punto critico ha la forma G(t, h) = |t|^{2-α} f(h/|t|^Δ), dove h è il campo esterno coniugato al parametro d'ordine e Δ è l'esponente del gap. Questa ipotesi implica relazioni tra gli esponenti critici: α + 2β + γ = 2 (relazione di Rushbrooke), γ = β(δ - 1) (relazione di Widom), ν d = 2 - α (relazione dell'iperoscalamento), dove d è la dimensione spaziale e β, δ sono esponenti aggiuntivi. Queste relazioni riducono i sei esponenti critici a solo due indipendenti, rivelando una struttura matematica profonda sottostante.

Rottura Spontanea di Simmetria: Dal Continuo al Discreto

La transizione liquido-solido è accompagnata da una rottura spontanea della simmetria traslazionale e rotazionale. Il liquido è isotropo e omogeneo: le equazioni che lo descrivono sono invarianti sotto traslazioni r → r + a e rotazioni r → R·r per ogni vettore a e matrice di rotazione R. Il solido cristallino, invece, possiede simmetria discreta: solo traslazioni per vettori del reticolo di Bravais e rotazioni del gruppo puntuale del cristallo lasciano invariata la struttura. La simmetria continua del liquido si riduce alla simmetria discreta del gruppo spaziale cristallino.

Il paradosso della rottura spontanea di simmetria è che l'hamiltoniana H del sistema rimane invariante sotto l'intero gruppo di simmetria, ma lo stato fondamentale non lo è. Per un ferromagnete, H è invariante sotto rotazioni globali dello spin: H[{S_i}] = H[{R S_i}] per ogni matrice di rotazione R. Tuttavia, al di sotto della temperatura di Curie T_C, lo stato fondamentale ha magnetizzazione spontanea M ≠ 0 che punta in una direzione specifica, rompendo la simmetria rotazionale. Matematicamente, il limite termodinamico N → ∞ e il limite di campo esterno nullo h → 0^+ non commutano: lim_{h→0^+} lim_{N→∞} ⟨M⟩*{h,N}* ≠ *lim*{N→∞} lim_{h→0^+} ⟨M⟩_{h,N}.

La densità di energia libera f(T, h) = -(1/Nβ) log Z, dove Z = Σ_stati exp(-βH) è la funzione di partizione e β = 1/(kT), non è analitica nel punto di transizione. Per un sistema finito, f è sempre analitica perché Z è una somma finita di esponenziali. Solo nel limite termodinamico N → ∞, la densità di energia libera può sviluppare singolarità. Gli zeri della funzione di partizione nel piano complesso della temperatura (zeri di Fisher-Yang) si addensano

sull'asse reale esattamente alla temperatura critica, causando la transizione di fase come singolarità emergente dal limite termodinamico.

Il modello di Landau fornisce una descrizione fenomenologica della rottura spontanea di simmetria mediante l'espansione dell'energia libera in potenze del parametro d'ordine. Per un ferromagnete con magnetizzazione scalare m, l'energia libera è F(m, T) = F_0 + (a/2)(T - T_C)m^2 + (b/4)m^4 + ..., dove a, b > 0 sono costanti. Per T > T_C, il termine quadratico è positivo e il minimo è a m = 0: fase paramagnetica simmetrica. Per T < T_C, il termine quadratico è negativo, rendendo instabile m = 0, e l'energia libera ha due minimi a m = ±√(a(T_C - T)/b): fase ferromagnetica con magnetizzazione spontanea. La scelta di uno dei due minimi rompe la simmetria Z_2 dell'hamiltoniana.

Teoria di Landau e Parametro d'Ordine

Il parametro d'ordine è una quantità macroscopica che caratterizza lo stato del sistema e si annulla nella fase simmetrica, diventando non nulla nella fase ordinata. La scelta del parametro d'ordine dipende dalla simmetria rotta: per la transizione ferromagnetica è la magnetizzazione vettoriale M; per la transizione superconduttiva è il parametro di gap complesso Δ = |Δ| exp(iφ); per la transizione liquido-cristallo nematico è il tensore di ordine Q_{ij} = ⟨n_i n_j - (1/3)δ_{ij}⟩, dove n è il versore di orientazione molecolare.

L'espansione di Landau dell'energia libera F[η] in funzione del parametro d'ordine η deve rispettare le simmetrie dell'hamiltoniana microscopica. Se η è uno scalare reale e il sistema ha simmetria Z_2 (η → -η), allora F[η] deve contenere solo potenze pari: F[η] = a η^2 + b η^4 + c η^6 + ... Se η è un vettore e il sistema ha simmetria O(3), allora F[η] dipende solo da invarianti scalari come |η|^2 e (η·∇η)^2. Se η è un campo complesso con simmetria U(1), appare il termine di gradiente (∇η)*·(∇η) e il termine di accoppiamento alla fase ∇φ.

Le equazioni di Ginzburg-Landau estendono la teoria di Landau ai sistemi con variazione spaziale del parametro d'ordine. L'energia libera diventa un funzionale F[η(r)] = ∫ d^d r [f_0 + a η^2 + (b/2)η^4 + K(∇η)^2], dove K > 0 è la costante di rigidezza. La minimizzazione variazionale δF/δη = 0 fornisce l'equazione di Ginzburg-Landau -K ∇^2η + a η + b η^3 = 0. Le soluzioni non uniformi includono pareti di dominio, vortici e texture topologiche, cruciali nella fisica delle transizioni di fase.

La lunghezza di correlazione ξ è definita dal decadimento della funzione di correlazione ⟨η(r)η(0)⟩ ~ exp(-r/ξ). Dall'equazione di Ginzburg-Landau linearizzata, si ottiene ξ = √(K/|a|) = ξ_0 / √|t|, dove t = (T - T_C)/T_C e ξ_0 = √(K/(a T_C)) è l'ampiezza microscopica. La divergenza ξ → ∞ per T → T_C segnala che le fluttuazioni diventano correlate su scale arbitrariamente grandi: il sistema perde la scala caratteristica, emergendo la simmetria di scala critica.

Il criterio di Ginzburg stima quando le fluttuazioni del parametro d'ordine invalidano l'approssimazione di campo medio di Landau. Le fluttuazioni δη hanno energia ~ kT e ampiezza ⟨(δη)^2⟩ ~ kT/(K ξ^d), dove d è la dimensione. La teoria di campo medio è valida se ⟨(δη)^2⟩ << η_0^2, dove η_0 è il valore medio del parametro d'ordine. Vicino al punto critico, questo diventa (kT)/(K ξ^d) << |t|, ovvero |t| >> (kT_C)/(K ξ_0^d) = ε_G. Per |t| << ε_G, le fluttuazioni dominano e la teoria di campo medio fallisce. La regione critica dove ε_G

<< t << 1 si restringe per d → 4, dove l'approssimazione di campo medio diventa esatta (dimensione critica superiore).

Universalità e Gruppo di Rinormalizzazione

Il concetto di universalità afferma che transizioni di fase in sistemi fisicamente diversi, ma appartenenti alla stessa classe di universalità, esibiscono comportamento critico identico, caratterizzato dagli stessi esponenti critici. La classe di universalità è determinata da pochi parametri: dimensionalità dello spazio d, dimensionalità del parametro d'ordine n (numero di componenti), e tipo di interazioni (corto o lungo raggio). Ad esempio, il modello di Ising (n = 1), i ferromagneti di Heisenberg (n = 3) e i superconduttori (n = 2 per campo complesso) appartengono a classi diverse.

La teoria del gruppo di rinormalizzazione, sviluppata da Kenneth Wilson negli anni settanta, spiega l'universalità mediante trasformazioni di scala successive. Vicino al punto critico, dove la lunghezza di correlazione diverge, il sistema non ha scala caratteristica: le fluttuazioni critiche appaiono identiche su tutte le scale. Una trasformazione di rinormalizzazione consiste in: (1) riduzione della risoluzione spaziale, mediando su regioni di lato b > 1 (decimazione o coarse-graining); (2) riscalamento delle coordinate per ripristinare il passo reticolare originale; (3) riscalamento dell'hamiltoniana per preservare l'energia libera. Formalmente, H[{φ_i}] → H'[{φ'_i}] = T_b[H], dove T_b è la trasformazione di rinormalizzazione.

I punti fissi della trasformazione T_b corrispondono alle teorie critiche: H* = T_b[H*]. Un punto fisso banale è l'hamiltoniana di temperatura infinita (fase disordinata); un punto fisso non banale corrisponde al punto critico. L'analisi di stabilità lineare attorno a H* identifica operatori rilevanti, marginali e irrilevanti. Gli operatori rilevanti crescono sotto rinormalizzazione e determinano il flusso lontano dal punto fisso: il loro numero è il numero di parametri da fine-tuning per raggiungere la criticità. Gli operatori irrilevanti decadono sotto rinormalizzazione: le loro ampiezze non influenzano il comportamento critico, giustificando l'universalità.

Gli esponenti critici sono determinati dagli autovalori y_i della matrice di stabilità attorno al punto fisso. Se λ(K) = K + δK è il coupling vicino al punto fisso K*, la linearizzazione fornisce δK' = M · δK, dove M è la matrice di stabilità. Gli autovalori y_i di M sono le dimensioni di scala degli operatori: sotto x → x/b, un operatore O_i si trasforma come O_i → b^{y_i} O_i. Le relazioni tra esponenti critici e dimensioni di scala sono: ν = 1/y_T (temperatura), γ = (2 - y_h)/y_T (campo magnetico), dove y_T e y_h sono dimensioni di scala della temperatura ridotta e del campo esterno.

Le tecniche di rinormalizzazione perturbativa espandono attorno alla dimensione critica superiore d_c = 4 per il modello φ^4. L'espansione in ε = 4 - d fornisce i risultati: α = (4 - n)ε/(2n + 8) + O(ε^2), γ = 1 + (n + 2)ε/(2n + 8) + O(ε^2), ν = 1/2 + (n + 2)ε/(4(n + 8)) + O(ε^2), dove n è il numero di componenti del parametro d'ordine. Per n = 1 (Ising) e d = 3 (ε = 1), otteniamo α ≈ 0,1, γ ≈ 1,25, ν ≈ 0,63, in accordo ragionevole con esperimenti e simulazioni numeriche che forniscono α = 0,110, γ = 1,237, ν = 0,630.

Capitolo 5: Metamorfosi Biologica - La Trasformazione Ontogenetica

La metamorfosi biologica rappresenta una delle trasformazioni più spettacolari in natura: la riorganizzazione radicale di un organismo da una forma larvale specializzata per l'alimentazione e la crescita a una forma adulta specializzata per la riproduzione e la dispersione. Questo processo, evolutosi indipendentemente in multipli lignaggi, rivela principi profondi di biologia dello sviluppo, regolazione genica, apoptosi programmata e plasticità morfogenetica. La metamorfosi degli insetti olometaboli, con la trasformazione completa da larva a pupa a adulto, fornisce il sistema modello per comprendere come programmi genetici conservati possano orchestrare riorganizzazioni morfologiche e fisiologiche su scala dell'intero organismo.

Ciclo Vitale Olometabolo: Quattro Forme Distinte

Gli insetti olometaboli (da holos = completo, metabole = cambiamento) attraversano quattro stadi ontogenetici morfologicamente distinti: uovo, larva, pupa e adulto (imago). Questa modalità di sviluppo contrasta con gli insetti eterometaboli (come cavallette e cimici), che subiscono metamorfosi incompleta con ninfe che assomigliano agli adulti, e gli insetti ametaboli (come pesciolini d'argento), che non metamorfosano affatto. L'olometabolia è evolutivamente avanzata, originata una volta nell'albero degli insetti circa trecento milioni di anni fa, e ha facilitato la radiazione adattativa degli insetti in oltre ottocentomila specie descritte.

Lo stadio embrionale nell'uovo produce una larva vermiforme priva di ali e organi riproduttivi, altamente specializzata per l'acquisizione di risorse. Le larve lepidotterane (bruchi) possiedono apparato boccale masticatore adatto a divorare tessuto vegetale, corpo segmentato con pseudozampe addominali (prolegs) per la locomozione su substrati verticali, e ghiandole sericigene per la produzione di seta. La morfologia larvale è ottimizzata per massimizzare il tasso di crescita: i bruchi possono aumentare la propria massa di diecimila volte in poche settimane, attraversando tipicamente cinque mute (instar) in cui l'esoscheletro viene rimpiazzato per accomodare la crescita.

Lo stadio pupale rappresenta una fase apparentemente quiescente in cui avviene la ristrutturazione interna. La pupa (crisalide nei lepidotteri, bozzolo nei siricidi avvolto in seta) è immobile e non si alimenta, ma internamente procede una metamorfosi massiva. Il termine "pupa" (dal latino = bambola) riflette l'osservazione superficiale di inattività, ma analisi molecolari e trascrizionali rivelano che lo stadio pupale è metabolicamente intenso quanto lo stadio larvale: la sintesi proteica procede a tassi elevati per costruire i tessuti adulti dalle rovine larvali.

L'adulto emergente (eclosione) possiede morfologia radicalmente diversa: ali membranose funzionali, apparato boccale succhiatore (in farfalle e falene) o lambente-succhiatore (in mosche e api), organi riproduttivi completamente sviluppati, occhi composti con migliaia di ommatidi, e sistema nervoso riorganizzato per comportamenti complessi come volo, accoppiamento e oviposizione. La transizione larva → adulto è così profonda che i naturalisti pre-settecenteschi consideravano bruco e farfalla come specie separate, non riconoscendo la continuità ontogenetica.

Dischi Immaginali: Cellule Dormienti in Attesa

La chiave cellulare della metamorfosi olometabola risiede nei dischi immaginali, aggregati di cellule epiteliali progenitrici che rimangono indifferenziate durante lo sviluppo larvale, proliferando lentamente senza differenziarsi. I dischi sono invaginazioni ectodermiche presenti nell'embrione e nella larva, ma invisibili esternamente. Ogni disco è determinato a formare una struttura adulta specifica: ali anteriori, ali posteriori, zampe (tre paia), antenne, occhi, genitalia. La determinazione avviene precocemente ma l'espressione fenotipica è repressa fino alla metamorfosi.

Negli esperimenti classici di Hadorn sulle larve di Drosophila, dischi immaginali trapiantati in ospiti adulti possono essere serialmente passaggiati per anni mantenendo la loro identità determinata: un disco di ala trapiantato continua a essere un disco di ala attraverso centinaia di generazioni di mosche ospiti. Questo dimostra che l'identità cellulare è stabile epigeneticamente, indipendente dalla posizione nel corpo o dai segnali ambientali. La stabilità è mediata da sistemi di feedback trascrizionali che bloccano stati alternativi mediante modificazioni cromatiniche ereditabili mitoticamente (metilazione DNA, modificazioni istoniche).

Durante la crescita larvale, le cellule dei dischi immaginali proliferano mediante divisioni mitotico asimmetriche che mantengono il pool di cellule staminali e generano cellule figlie differenzianti. Ogni disco cresce da circa venti cellule nell'embrione a cinquantamila cellule nella larva matura di Drosophila. La proliferazione è regolata da vie di segnalazione conservate: Wingless/Wnt definisce compartimenti anterio-posteriori, Hedgehog stabilisce gradienti morfogenetici, Decapentaplegic/BMP induce crescita. I mutanti dei geni di queste vie mostrano dischi immaginali ipertrofici o ipotrofici, traducendosi in adulti con appendici anomale.

L'evaginazione dei dischi durante la metamorfosi trasforma sacche epiteliali interne in strutture esterne tridimensionali. Il disco di ala, inizialmente un sacco piatto bilaminare, si evagina e si estende formando un'ala piatta con venature interne. Il meccanismo coinvolge forze meccaniche generate da cambiamenti nella forma cellulare: contrazione apicale mediate da actomiosina, polarità planare cellulare che orienta divisioni e migrazioni, e apoptosi selettiva che scolpisce forme finali. Modelli matematici di meccanica dei tessuti, basati su energie elastiche e vincoli geometrici, riproducono qualitativamente l'evaginazione e l'estensione osservate in vivo.

Istolisi Massiva: Dissoluzione dei Tessuti Larvali

La metamorfosi richiede non solo costruzione di nuovi tessuti ma anche demolizione di tessuti larvali obsoleti. Questo processo catabolico, chiamato istolisi, è mediato da apoptosi programmata (morte cellulare controllata) e autofagia (autodigestione cellulare). Durante le prime ore dello stadio pupale, muscoli larvali, corpo adiposo, parte del sistema nervoso e segmenti dell'intestino vengono lisati enzimaticamente. Gli enzimi litici (collagenasi, catepsine, nucleasi) sono secreti da emociti (cellule immunitarie dell'emolinfa) e dalle stesse cellule morenti, frammentando proteine strutturali e acidi nucleici.

La specificità dell'istolisi è notevole: certi muscoli larvali (come i muscoli masticatori) degenerano completamente, mentre altri (come i muscoli intersegmentali dell'addome) persistono nell'adulto con modifiche minori. La decisione vita-o-morte è determinata da recettori ormonali specifici. Le cellule destinate alla morte esprimono alti livelli del recettore

per l'ecdisone (EcR), l'ormone steroideo della muda, formando eterodimeri con il recettore per l'ormone giovanile (JH). In presenza di picco di ecdisone e assenza di JH (condizione caratteristica dello stadio pupale), il complesso EcR/USP attiva la trascrizione di geni pro-apoptotici come reaper, hid, grim in Drosophila.

L'apoptosi procede attraverso una cascata proteolitica altamente conservata. L'attivazione delle caspasi iniziatrici (caspasi-9 in mammiferi, Dronc in Drosophila) avviene mediante assemblaggio dell'apoptosoma, complesso multiproteico che oligomerizza Apaf-1 o Dark con citocromo c rilasciato dai mitocondri. Le caspasi iniziatrici attivano caspasi effettrici (caspasi-3, caspasi-7), che cleavano centinaia di substrati cellulari: lamine nucleari (smantellamento del nucleo), fodrin (collasso del citoscheletro), ICAD (attivazione di nucleasi che frammentano il DNA in oligonucleosomi da 180 bp, generando il caratteristico pattern a scala nel gel elettroforetico).

Le cellule apoptotiche vengono rapidamente fagocitate da emociti che riconoscono segnali "eat-me" esposti sulla superficie cellulare morente. La fosfatidilserina, normalmente confinata al foglietto interno della membrana plasmatica per azione della flippasi, viene esposta al foglietto esterno durante l'apoptosi. Recettori di fosfatidilserina sugli emociti (BAI1, Tim4, Stabilin-2) mediano l'engulfment. I detriti cellulari vengono digeriti nei fagolisosomi, e gli amminoacidi, acidi grassi e nucleotidi riciclati sono utilizzati per costruire tessuti adulti. Questa economia metabolica è critica: la pupa non si alimenta dall'esterno e deve riciclare internamente le risorse accumulate durante lo stadio larvale.

Riorganizzazione Tissutale: Stesso Genoma, Espressione Diversa

Il paradosso centrale della metamorfosi è che larva e adulto condividono il medesimo genoma ma esibiscono fenotipi radicalmente diversi. La soluzione risiede nella regolazione differenziale dell'espressione genica mediante fattori di trascrizione, enhancer tessuto-specifici, modificazioni epigenetiche e RNA regolatori. Il genome di Drosophila melanogaster contiene circa quattordicimila geni codificanti proteine, ma solo un sottoinsieme è espresso in ogni stadio: analisi di RNA-seq rivelano che circa tremila geni cambiano espressione di almeno quattro volte tra larva e pupa, e altri duemila tra pupa e adulto.

Gli ormoni giocano ruolo centrale nell'orchestrazione temporale della metamorfosi. L'ecdisone (20-idrossiecdisone), sintetizzato dalla ghiandola protoracia in risposta a segnali neurali e nutrizionali, induce le mude. Ogni picco di ecdisone provoca una muta: durante lo sviluppo larvale, picchi in presenza di ormone giovanile (JH) inducono mute larva-larva; alla fine dell'ultimo instar larvale, il calo di JH permette che il picco di ecdisone induca la muta larva-pupa; un secondo picco di ecdisone in assenza di JH induce la muta pupa-adulto. Il modello di Truman e Riddiford, supportato da decenni di manipolazioni sperimentali, postula che il rapporto ecdisone/JH determina il tipo di muta.

Il recettore dell'ecdisone (EcR) è un fattore di trascrizione nucleare della superfamiglia dei recettori steroidei. In presenza di ecdisone, EcR forma eterodimeri con Ultraspiracle (USP, omologo di RXR vertebrato), si lega a elementi di risposta all'ecdisone (EcRE) nel DNA, e attiva geni early come E74, E75, E78, Broad-Complex. Questi geni early codificano a loro volta fattori di trascrizione che attivano geni late, i quali eseguono le trasformazioni morfologiche: enzimi degradativi per l'istolisi, proteine strutturali per i tessuti adulti, enzimi

sclerotinizzanti per l'indurimento della cuticola. La cascata trascrizionale amplifica il segnale ormonale e genera risposte tessuto-specifiche mediante combinazioni di attivatori/repressori.

Il sistema nervoso illustra elegantemente la riorganizzazione senza sostituzione completa. Il cervello larvale di Drosophila contiene circa dodicimila neuroni, e il cervello adulto circa centomila. Durante la metamorfosi, pochi neuroni larvali muoiono, la maggioranza vengono rielaborati (remodeling): dendriti e assoni vengono retratti, il soma rimane quiescente, poi germogliano nuove proiezioni appropriate al circuito adulto. Neuroni mushroom body che nella larva elaborano odori associati al cibo, nell'adulto elaborano odori associati all'accoppiamento. La riprogrammazione è mediata da ecdisone e da proteine morfogenetiche come Semaforine e Netrin che guidano la crescita assonale.

Esperimenti di ablazione genetica mostrano che specifici neuroni sono necessari per comportamenti stadio-specifici: ablare neuroni che esprimono FruM (fruitless maschio) elimina il corteggiamento adulto ma non influenza la locomozione larvale; ablare neuroni che esprimono il recettore per il gustavo Gr43a impedisce alla larva di rilevare fruttosio ma non compromette la percezione adulta di nettare. Questi risultati dimostrano che circuiti neurali distinti sottendono comportamenti larvali vs adulti, nonostante la continuità cellulare parziale.

Ormoni Come Orchestratori Temporali

L'ecdisone e l'ormone giovanile non agiscono come semplici interruttori binari ma come modulatori graduali che creano landscape ormonali complessi. La biosintesi dell'ecdisone nella ghiandola protoracia richiede una catena di idrossilazioni catalizzate dalle mono-ossigenasi del citocromo P450: colesterolo → 7-deidro-colesterolo → 5β-ketodiol → 2,22,25-trideoxyecdisone → 2,22-dideoxyecdisone → 2-deoxyecdisone → ecdisone → 20-idrossiecdisone. L'enzima limitante è la 3-deidrogenasi codificata dal gene neverland (nvd); mutanti nvd arrestano lo sviluppo alla prima instar larvale per mancanza di ecdisone.

La concentrazione di ecdisone nell'emolinfa mostra dinamica pulsatile: bassa durante la fase di crescita di ciascun instar, aumenta rapidamente (picco piccolo) alla muta, poi decresce. Il picco finale dello stadio larvale è molto più alto (~2 μM) dei picchi intermedi (~0,5 μM), sufficiente ad attivare geni di muta ma non di metamorfosi. Solo quando questo picco alto coincide con JH basso si attiva il programma pupale. Il titolo di JH, secreto dai corpora allata (ghiandole endocrine nel cervello), decresce progressivamente durante la vita larvale per inibizione da parte del neuropeptide PTTH (prothoracicotropic hormone) e per aumento dell'enzima degradante JH-esterasi.

La percezione dell'ecdisone avviene attraverso due vie: una genomica lenta (ore) mediata dal recettore nucleare EcR, e una non-genomica rapida (minuti) mediata da recettori di membrana accoppiati a proteine G. La via rapida attiva secondi messaggeri (Ca^2+, cAMP) che modificano funzioni cellulari pre-esistenti (polarità cellulare, adesione), mentre la via lenta induce sintesi de novo di proteine. L'integrazione delle due vie permette risposte bifasiche: una risposta immediata seguita da consolidamento trascrizionale.

Manipolazioni farmacologiche dimostrano la necessità e sufficienza degli ormoni per la metamorfosi. Applicazione topica di JH sintetico (methoprene) a larve di ultimo instar induce mute larva-larva soprannumerarie, producendo larve giganti che non pupano. Applicazione

di analoghi dell'ecdisone a larve precoci induce metamorfosi precoce, generando adulti nani. Ablazione chirurgica dei corpora allata rimuove JH, causando pupazione precoce. Ablazione della ghiandola protoracia elimina ecdisone, arrestando lo sviluppo. Questi esperimenti, condotti da pionieri come Wigglesworth e Williams negli anni quaranta-cinquanta, stabilirono il modello ormonale della metamorfosi che rimane valido oggi.

Vantaggi Evolutivi della Metamorfosi

La metamorfosi olometabola conferisce molteplici vantaggi adattativi che spiegano il successo evolutivo di questo gruppo. Il vantaggio primario è la specializzazione dei cicli vitali: larve e adulti occupano nicchie ecologiche diverse, riducendo la competizione intraspecifica. Le farfalle adulte si nutrono di nettare di fiori, volando tra piante distanti; i bruchi masticano foglie della pianta ospite, rimanendo sedentari. Questa divisione del lavoro ecologico permette sfruttamento di risorse complementari e riduce la competizione tra genitori e prole.

La morfologia larvale può evolversi indipendentemente dalla morfologia adulta, liberata da vincoli strutturali. Le larve non necessitano di ali, occhi composti o organi riproduttivi, permettendo ottimizzazione per l'alimentazione: apparato boccale masticatore potente, intestino voluminoso (spesso 90% del SEZIONE corporeo), cuticola sottile per crescita rapida. Gli adulti non necessitano di grande apparato digerente (ridotto o assente in molte specie, che vivono pochi giorni solo per riprodursi), permettendo ottimizzazione per volo: cuticola spessa per rigidità, muscolatura toracica ipertrofica, ali grandi rispetto al corpo.

La metamorfosi permette sincronizzazione temporale con risorse stagionali. Molte farfalle e falene emergono come adulti in finestre temporali ristrette coincidenti con fioritura delle piante ospiti o disponibilità di partner. La diapausa, uno stato di arresto metabolico che può verificarsi in qualsiasi stadio (uovo, larva, pupa, adulto a seconda della specie), permette sopravvivenza attraverso stagioni sfavorevoli. La pupa diapausa può durare mesi o anni, resistendo a freddo o siccità estremi mediante sintesi di crioprotetrici (glicerolo, trealosio) e disidratazione controllata.

Dal punto di vista evolutivo-sviluppista (evo-devo), la metamorfosi rappresenta un caso di modularità dello sviluppo: i moduli larvale e adulto possono evolversi quasi indipendentemente perché i geni che li controllano sono regolati differenzialmente. Mutazioni che modificano enhancer attivi solo nello stadio larvale cambiano il fenotipo larvale senza influenzare l'adulto, e viceversa. Questa architettura genetica modulare facilita l'evolvibilità: nuovi fenotipi possono essere esplorati senza compromettere stadi vitali. La radiazione degli insetti olometaboli in oltre 750.000 specie, contro 90.000 specie di insetti emimetaboli e 5.000 ametaboli, testimonia il successo di questa strategia evolutiva.

Capitolo 6: Morfogenesi - L'Emergenza della Forma

La morfogenesi è il processo mediante il quale cellule organizzate in tessuti acquisiscono forma tridimensionale complessa durante lo sviluppo embrionale. Partendo da una sfera pressochè uniforme di cellule (blastula), l'embrione subisce una serie orchestrata di trasformazioni topologiche e geometriche che generano il piano corporeo fondamentale: assi corporei, simmetrie, segmentazione, organizzazione dei foglietti germinativi. Questi processi metamorfici sono governati da programmi genetici altamente conservati, principi fisici di

meccanica dei tessuti, e dinamiche chimiche di reazione-diffusione che generano pattern spaziali. La morfogenesi rappresenta forse il più chiaro esempio di come informazione genetica unidimensionale (sequenza DNA) venga tradotta in struttura tridimensionale macroscopica mediante processi di auto-organizzazione emergente.

Gastrulazione: La Trasformazione Topologica Primaria

La gastrulazione è una delle transizioni morfogenetiche più critiche dello sviluppo animale, trasformando la blastula monostratificata in un embrione tristratificato con tre foglietti germinativi: ectoderma (esterno), mesoderma (intermedio), endoderma (interno). Questa riorganizzazione topologica crea l'architettura fondamentale del corpo, stabilendo l'asse anteriore-posteriore, l'asse dorso-ventrale, e la prima segregazione dei destini cellulari. Il termine gastrula deriva dal greco gaster = stomaco, perché il processo forma l'archenteron (intestino primitivo), ma le conseguenze vanno ben oltre la formazione del tubo digerente.

Negli anfibianuri come Xenopus laevis, la gastrulazione inizia con l'invaginazione della regione vegetale dell'embrione nel labbro dorsale del blastoporo. Questa invaginazione è guidata da cambiamenti nella forma cellulare: le cellule del mesendoderma subiscono costrizione apicale mediata da contrazione di un anello circunferenciale di actomiosina. La tensione contrattile, proporzionale alla concentrazione di miosina II fosforilata, genera forze dell'ordine di decine di piconewton che deformano la membrana apicale da piatta a cuneiforme. Quando molte cellule adiacenti si costrignono coordinatamente, il foglietto epiteliale si incurva, iniziando l'invaginazione.

Simultaneamente, cellule mesodermiche eseguono migrazione diretta attraverso la regione del blastoporo (involuzione). Queste cellule transizionano da epiteliali a mesenchimali (EMT = transizione epitelio-mesenchima), perdendo contatti cellula-cellula mediati da caderine, acquisendo polarità dinamica con lamellipodi protrusi direzionalmente, e migrando lungo matrici di fibronectina deposte da cellule guida. La fibronectina, proteina extracellulare legante integrine, forma fibrille orientate che forniscono substrato adesivo per la migrazione. Embrioni mutanti per fibronectina mostrano gastrulazione difettiva: le cellule mesodermiche non riescono a involvere, rimanendo esterne invece di internalizzarsi.

La convergenza ed estensione è un movimento morfogenetico che allunga l'asse antero-posteriore mentre restringe l'asse mediolaterale. Cellule mesodermiche intercalano mediante comportamento di polarità planare cellulare (PCP): cellule allungate mediolateralmente inseriscono protrusioni tra cellule vicine, si inseriscono tra esse, riducendo la larghezza del tessuto mentre aumentano la lunghezza. Questo processo è guidato dalla via di segnalazione Wnt/PCP non-canonica: Wnt5a/11, tramite recettori Frizzled e corecettori Ror2, attiva Dishevelled, che polarizza il citoscheletro di actina mediante RhoA e Rac1. Mutanti per componenti PCP (vangl2, celsr1) mostrano embrioni corti e larghi (fenotipo craniorachischisi in mammiferi), dimostrando che PCP è essenziale per estensione assiale.

La gastrulazione nei mammiferi differisce topologicamente dalla gastrulazione anfibia ma utilizza meccanismi molecolari homologhi. L'embrione di topo al giorno 6,5 (E6,5) è un cilindro cavo con epiblasto (cellule pluripotenti) internamente e endoderma viscerale esternamente. La gastrulazione inizia con formazione della streak primitiva, un solco nella superficie posteriore dell'epiblasto. Cellule epiblastiche migrano verso la streak, subiscono

EMT mediata da soppressione di E-caderina e attivazione di Snail/Slug, e si internano attraverso la streak per formare mesoderma ed endoderma definitivo. L'epiblasto rimanente diventa ectoderma. La streak si estende anteriormente, e la sua estremità (nodo primitivo) è equivalente organizzatore di Spemann anfibio: capace di indurre assi secondari se trapiantato ectopicamente.

Neurulazione: Formazione del Sistema Nervoso Centrale

La neurulazione è il processo morfogenetico che trasforma la piastra neurale ectodemica piatta in tubo neurale tridimensionale, precursore del sistema nervoso centrale (cervello e midollo spinale). Negli vertebrati, la neurulazione primaria procede mediante piegamento della piastra neurale indotto da forze intrinsecamente generate dai tessuti neurali ed epidermici circostanti. La piastra neurale è specificata anteriormente nell'ectoderma dorsale da segnali inibitori di BMP (proteina morfogenetica ossea) secreti dall'organizzatore: noggin, chordin, follistatin legano BMP4, prevenendo la sua interazione con recettori, e quindi permettendo che l'ectoderma adotti destino neurale invece di epidermico.

Il sollevamento delle pieghe neurali inizia con formazione di due creste parallele ai margini laterali della piastra neurale. Queste pieghe si elevano verticalmente, poi si incurvano medialmente finché i loro apici si incontrano e si fondono sulla linea mediana dorsale, chiudendo il tubo neurale. La chiusura procede bidirezionalmente da punti di iniziazione multipli: nei mammiferi, la chiusura inizia alla regione cervicale (confine testa-tronco) al giorno E8,5, procede anteriormente verso il cranio (neuroporo anteriore chiude a E9) e posteriormente verso il sacro (neuroporo posteriore chiude a E10). Fallimenti della chiusura causano difetti del tubo neurale: anencefalia (mancata chiusura anteriore, fatale), spina bifida (mancata chiusura posteriore, compatibile con vita ma causa paralisi degli arti inferiori).

I meccanismi cellulari della neurulazione coinvolgono tre movimenti principali: (1) costrizione apicale delle cellule neurepiteliali mediane, che acquisiscono forma cuneiforme (base larga, apice stretto) piegando la piastra mediana in solco neurale; (2) allungamento cellulare nel dominio laterale, dove cellule colonnari alte spingono lateralmente; (3) espansione dell'epidermide superficiale che esercita forze compressive laterali sulle pieghe neurali. Esperimenti di ablazione laser mostrano che tagliare l'epidermide superficiale previene il sollevamento delle pieghe, dimostrando che le forze epidermiche sono necessarie.

A livello molecolare, la costrizione apicale è mediata da segnalazione Shroom3-Rho-ROCK-miosina II. Shroom3, una proteina citoscheletrica espressa nell'apice delle cellule neurali, recluta Rho-chinasi (ROCK) alla membrana apicale. ROCK fosforila la catena leggera regolatrice di miosina II (MLC), attivando la sua attività motoria. Filamenti di actina e miosina II formano un anello contrattile apicale che restringe l'area apicale. Mutazioni in Shroom3 causano craniorachischisi in topi: il tubo neurale non si chiude lungo tutta l'estensione assiale. Shroom3 interagisce con ROCK tramite il suo dominio PDZ, e questa interazione è essenziale: mutanti puntuali che interrompono il legame PDZ fenocopiano il null.

La cresta neurale emerge dall'interfaccia tra tubo neurale ed epidermide al momento della chiusura. Le cellule della cresta neurale subiscono EMT, delaminano dal neuroepitelio, e migrano estensivamente attraverso l'embrione verso destinazioni variabili, differenziandosi in

molteplici tipi cellulari: neuroni e glia del sistema nervoso periferico, melanociti della pelle, cellule cromaffini della midollare surrenale, condrociti e osteociti cranio-facciali. La specificazione della cresta neurale richiede espressione di fattori di trascrizione come Sox10, FoxD3, Snail2, indotti da segnalazione BMP ai bordi della piastra neurale (regione intermedia tra centri produttori di BMP ventralmente ed inibitori di BMP dorsalmente).

Segmentazione Metamerica: Pattern Periodici da Gradienti

La segmentazione è la suddivisione dell'embrione in unità ripetute lungo l'asse antero-posteriore. Nei vertebrati, la segmentazione è più evidente nei somiti, blocchi mesodermici parassiali che si formano sequenzialmente in direzione cranio-caudale e danno origine a vertebre, costole, muscolatura assiale e derma dorsale. Negli invertebrati come Drosophila, la segmentazione è stabilita precocemente dal pattern di espressione dei geni gap, pair-rule e segment-polarity che divide l'embrione in quattordici segmenti (parasegmenti).

Il meccanismo vertebrato di somitogenesi è basato su un "orologio e fronte d'onda" (clock-and-wavefront). L'orologio è un oscillatore genetico nelle cellule del mesoderma presomitico (PSM): espressione ciclica di geni come Hes7, Lfng, Axin2 con periodo di circa 120 minuti in topo, 90 minuti in pollo, 30 minuti in zebrafish. Le oscillazioni sono sincronizzate tra cellule adiacenti mediante segnalazione Notch-Delta: quando una cellula esprime Delta, attiva Notch in cellule vicine, che reprimono la propria Delta ed esprimono geni oscillatori in antifase. Il fronte d'onda è un gradiente di FGF e Wnt che regredisce caudalmente: alta FGF mantiene cellule in stato indifferenziato (PSM posteriore), bassa FGF permette differenziazione (PSM anteriore).

Quando una cellula nel PSM anteriore raggiunge una certa fase dell'oscillatore nel momento in cui il fronte d'onda FGF passa (determinazione position), la cellula arresta l'orologio ed esprime geni di segmentazione come Mesp2. Coorti di cellule che arrestano l'orologio simultaneamente formano un somito. Poiché l'orologio cicla con periodo T e il fronte d'onda regredisce con velocità v, la distanza tra somiti consecutivi è $\lambda = v\,T$. Perturbazioni della velocità del fronte (mutanti FGF, Wnt) o del periodo dell'orologio (mutanti Notch, Hes7) alterano il numero e la dimensione dei somiti, confermando quantitativamente il modello.

La matematica dell'orologio segmentale è descritta da oscillatori accoppiati con ritardo. Un modello minimale è $dX_i/dt = -\gamma X_i + f(X_{i-1}(t - \tau))$, dove X_i è il livello di mRNA Hes7 nella cellula i, γ è il tasso di degradazione, f è una funzione sigmoidale di repressione, e τ è il ritardo trascrizionale-traslazionale (~20 min). Le oscillazioni emergono quando $\gamma\tau > \pi/2$ (teorema di Hopf bifurcation per sistemi con ritardo). Il coupling tra cellule stabilizza la fase: $d\theta_i/dt = \omega + K \Sigma_j \sin(\theta_j - \theta_i)$, dove θ_i è la fase dell'oscillatore i, ω è la frequenza intrinseca, K è l'intensità del coupling Notch-Delta. Questo è un modello di Kuramoto, noto per esibire transizioni di fase sincronizzate quando K eccede una soglia critica.

Negli insetti, la segmentazione è specificata mediante cascata gerarchica di fattori di trascrizione. I geni gap come hunchback, Krüppel, knirps dividono l'embrione in regioni larghe; mutazioni gap causano delezione di segmenti multipli contigui. I geni pair-rule come even-skipped, fushi-tarazu sono espressi in sette strisce trasversali con periodicità due-segmenti; mutazioni pair-rule delezionano segmenti alternati. I geni segment-polarity come engrailed, wingless sono espressi in quattordici strisce con periodicità

mono-segmento; mutazioni segment-polarity causano delezioni o duplicazioni entro ogni segmento. La cascata stabilisce un pattern precoce raffinato progressivamente da feedback tra livelli adiacenti.

Il modello di Turing di reazione-diffusione è stato proposto per spiegare la formazione spontanea di pattern periodici. Due morfogeni X (attivatore) e Y (inibitore) diffondono con coefficienti D_X < D_Y e interagiscono secondo: $\partial X/\partial t = D_X \nabla^2 X + f(X, Y)$, $\partial Y/\partial t = D_Y \nabla^2 Y + g(X, Y)$, dove f e g sono termini di reazione con X che autocatalizza e attiva Y, mentre Y inibisce X. Se l'inibitore diffonde più velocemente dell'attivatore, instabilità diffusive generano pattern spaziali periodici la cui lunghezza d'onda $\lambda \sim \sqrt{(D_X D_Y)}$. Pattern di Turing sono stati osservati in reazioni chimiche (Belousov-Zhabotinsky) e proposti per pigmentazione cutanea e sviluppo follicoli piliferi, ma la loro rilevanza per segmentazione embrionale rimane dibattuta: i gradienti morfogenetici osservati (FGF, Wnt, RA) non mostrano le dinamiche oscillatorie caratteristiche dei sistemi Turing.

Geni Hox: Identità Segmentale e Trasformazioni Homeotiche

I geni Hox codificano fattori di trascrizione contenenti l'homeobox, un motivo di legame al DNA di 60 amminoacidi altamente conservato. Questi geni sono organizzati in cluster genomici e la loro posizione nel cluster corrisponde alla loro regione di espressione lungo l'asse antero-posteriore (collinearità spaziale) e al loro tempo di attivazione (collinearità temporale). Nei vertebrati esistono quattro cluster Hox (HoxA, HoxB, HoxC, HoxD) su cromosomi differenti, ciascuno contenente 9-11 geni, per un totale di 39 geni Hox. Questi cluster sono duplicazioni dell'antico cluster ancestrale presente nei cordati basali.

I geni Hox specificano identità posizionale: determinano quale struttura si forma in quale segmento corporeo. In Drosophila, mutazioni homeotiche nel gene Antennapedia (Antp, membro del cluster HOM-C) causano trasformazione delle antenne in zampe: segmenti della testa acquisiscono identità toracica. Mutazioni in Ultrabithorax (Ubx) trasformano il terzo segmento toracico (T3, che normalmente porta halteres, organi di bilanciamento ridotti) nel secondo segmento toracico (T2, che porta ali), producendo mosche tetralate. Mutazioni in Abdominal-B trasformano segmenti addominali in segmenti toracici. Questi fenotipi drammatici dimostrano che singoli geni Hox possono riprogrammare il destino di interi segmenti corporei.

Le proteine Hox legano sequenze DNA consenso (TAAT core) mediante l'elica-riconosci-elica dell'homeodominio. La specificità di legame è modulata da cofattori come Extradenticle (Exd) e Homothorax (Hth), che formano complessi trimeric con Hox, alterando la preferenza di sequenza e la affinità. Hox anteriori (labial, proboscipedia, Deformed) preferiscono siti con TAAT seguito da basi AT-ricche; Hox posteriori (Abd-A, Abd-B) preferiscono siti GC-ricchi. Questa selettività permette a proteine Hox strutturalmente simili (differiscono di pochi amminoacidi nell'homeodominio) di regolare set genici distinti.

La regolazione dei geni Hox è complessa e coinvolge elementi regolatori distribuiti su centinaia di kilobasi. Gli enhancer dei geni Hox rispondono a gradienti morfogenetici come acido retinoico (RA), FGF, Wnt, BMP. RA, derivato dalla vitamina A mediante ossidazione sequenziale da retinolo a retinaldeide a acido retinoico, forma un gradiente anterio-posteriore: alto posteriormente (sintesi mediata da RALDH2 nel mesoderma), basso anteriormente (degradazione mediata da CYP26 nel neuroepitelio anteriore). RA si lega a

recettori nucleari RAR/RXR che attivano trascrizione di geni Hox posteriori (Hoxb1, Hoxb4). Embrioni privi di RA (mutanti RALDH2 knockout) mostrano anteriorizzazione: segmenti posteriori acquisiscono identità anteriori.

La collinearità temporale dei geni Hox è mediata da progressiva rimozione di modificazioni cromatiniche repressive (H3K27me3 depositato da Polycomb) dalla porzione 3' (geni anteriori) verso la porzione 5' (geni posteriori) del cluster. Questo processo richiede coesina e CTCF, proteine strutturali della cromatina che organizzano loop tridimensionali. La struttura tridimensionale del cluster Hox cambia durante lo sviluppo: nel mesoderma embrionale precoce, il cluster è compatto con H3K27me3; progressivamente, subdomini si decompattano, loop intergenici si formano, e geni specifici si attivano. La dinamica strutturale del cluster è sincronizzata con la progressione del fronte FGF/Wnt durante somitogenesi, accoppiando meccanicamente l'orologio molecolare alla lettura sequenziale dei geni Hox.

Mutazioni Homeotiche e Riprogrammazione del Destino

Le mutazioni homeotiche naturali hanno fornito intuizioni cruciali sulla plasticità dei programmi di sviluppo. Oltre agli esempi classici in Drosophila, mutazioni homeotiche sono state documentate in vertebrati: topi mutanti per Hoxc8 sviluppano una vertebra lombare extra e una costola cervicale; topi mutanti per Hoxa3 mancano timo e paratiroidi (derivati da tasca faringea 3); serpenti con espansione posteriore di Hoxc6/Hoxc8 hanno vertebre toraciche portanti costole estese lungo quasi tutto il corpo (oltre trecento vertebre costifere contro dodici in mammiferi).

Il fenotipo più studiato è la mutazione Antennapedia in Drosophila. L'allele dominante AntpNS è causato da una traslocazione che porta il gene Antp sotto controllo di un enhancer ectopico attivo nella testa. La sovraespressione di Antp nel disco immaginale dell'antenna attiva il programma genetico del disco di zampa: l'espressione di Distal-less (Dll), dachshund (dac), e aristaless (al) viene repressa, mentre l'espressione di BarH1 (specifico di zampa) viene attivata. Il risultato è che cellule del disco antennale, geneticamente identiche eccetto per Antp, differenziano come zampa invece di antenna. Questo dimostra che un singolo fattore di trascrizione può riprogrammare intere batterie di geni, attuando trasformazione di identità segmentale.

Capitolo 7: Evoluzione - Metamorfosi Filogenetica

L'evoluzione rappresenta la metamorfosi operante sulla scala temporale delle generazioni e dei millenni, trasformando popolazioni in specie, specie in generi, lineaggi interi in radiazioni adattative. Mentre la metamorfosi ontogenetica (sviluppo individuale) procede secondo programmi genetici prefissati, la metamorfosi filogenetica (evoluzione) emerge dalla interazione stocastica di mutazione, selezione naturale, deriva genetica e flusso genico. Tuttavia, i due processi sono profondamente intrecciati: modifiche nei meccanismi di sviluppo sono la materia prima della trasformazione evolutiva, e la struttura modulare dei network genetici che orchestrano lo sviluppo determina quali traiettorie evolutive sono percorribili. L'evoluzione dello sviluppo (evo-devo) rivela come piccole modifiche nella regolazione genica possano generare grandi cambiamenti morfologici, e come strutture

ancestrali possano essere cooptate per nuove funzioni mediante processi di exaptation e preadattamento.

Microevoluzione: Dinamiche di Popolazione e Cambiamento Allelico

La microevoluzione è definita come il cambiamento nelle frequenze alleliche all'interno di una popolazione attraverso generazioni. Il framework matematico per descrivere questi processi è la genetica di popolazione, fondata sui principi di Hardy-Weinberg. Per un locus biallelico con alleli A e a con frequenze p e q (dove p + q = 1), le frequenze genotipiche all'equilibrio in una popolazione infinita, a accoppiamento casuale, senza mutazione, migrazione o selezione, sono AA: p^2, Aa: 2pq, aa: q^2. Questo equilibrio di Hardy-Weinberg fornisce il null model: deviazioni dall'equilibrio indicano l'azione di forze evolutive.

La selezione naturale altera sistematicamente le frequenze alleliche favorendo genotipi con fitness maggiore. Definendo il valore selettivo (fitness) dei genotipi AA, Aa, aa come W_AA = 1, W_Aa = 1 - hs, W_aa = 1 - s, dove s è il coefficiente di selezione e h è il coefficiente di dominanza, la dinamica della frequenza allelica q dell'allele sfavorevole a è governata da: $\Delta q = -spq[h + (1 - 2h)q] / \bar{W}$, dove $\bar{W} = 1 - 2hspq - sq^2$ è il fitness medio della popolazione. Per selezione contro recessivo deleterio (h = 0, s > 0), si ha $\Delta q \approx -sq^2$ per q piccolo: la purificazione è lenta quando l'allele deleterio è raro perché è mascherato in eterozigoti.

Per selezione bilanciata (eterozigote superiore, W_Aa > W_AA, W_aa), esiste un equilibrio stabile a $q^* = h/(2h - 1)$ dove entrambi gli alleli sono mantenuti. L'esempio classico è l'anemia falciforme: l'allele HbS in eterozigosi (HbA/HbS) conferisce resistenza alla malaria riducendo fitness di circa 1%, mentre in omozigosi (HbS/HbS) causa anemia grave riducendo fitness di oltre 80%. In regioni malariche dell'Africa sub-sahariana, la frequenza di HbS si stabilizza a circa 10-15%, equilibrio tra vantaggio eterozigote e svantaggio omozigote.

La deriva genetica è il cambiamento stocastico delle frequenze alleliche dovuto a campionamento finito. In una popolazione di dimensione effettiva N_e, la varianza della variazione di frequenza allelica per generazione è $Var(\Delta q) = pq/(2N_e)$. Alleli selettivamente neutri (s = 0) fluttuano randomicamente, e la loro probabilità di fissazione è uguale alla loro frequenza iniziale: P(fissazione di a) = q_0. Il tempo medio di fissazione di un allele neutro, dato che si fissa, è circa 4N_e generazioni. Questi risultati derivano dalla teoria della coalescenza: tracciando all'indietro nel tempo le genealogie degli alleli presenti oggi, tutte convergono a un antenato comune (MRCA) a un tempo medio di 2N_e generazioni nel passato.

Il tasso di sostituzione neutrale è indipendente dalla dimensione di popolazione: $K = 2N_e \mu (1/2N_e) = \mu$, dove μ è il tasso di mutazione per genoma per generazione, $2N_e \mu$ è il numero di nuove mutazioni per generazione, e $1/(2N_e)$ è la probabilità di fissazione di ciascuna. Questo risultato controintuitivo implica che la velocità dell'evoluzione molecolare neutrale è costante, determinata solo dal tasso di mutazione. Le regioni genomiche sotto vincolo funzionale debole (introni, regioni intergeniche) evolvono più rapidamente delle regioni codificanti, confermando la predizione che mutazioni deleterie sono rimosse dalla selezione purificante.

Il tempo di coalescenza di due sequenze alleliche, misurato in sostituzioni nucleotidiche per sito, è proporzionale al tempo dalla loro divergenza da un antenato comune. La diversità nucleotidica π in una popolazione è legata alla dimensione effettiva: π = 4N_e μ per diploidi. Negli umani moderni, π ≈ 0,001 (una sostituzione ogni mille nucleotidi), e con μ ≈ 10^(-8) per base per generazione, si stima N_e ≈ 10.000, molto inferiore alla popolazione censita di miliardi, riflettendo colli di bottiglia popolazionali nella storia evolutiva recente (bottleneck out-of-Africa circa 70.000 anni fa ridusse N_e a poche migliaia).

Macroevoluzione: Speciazione e Radiazioni Adattative

La macroevoluzione si occupa di processi che generano diversità biologica a livello di specie e cladi, operanti su scale temporali di milioni di anni. La speciazione è il processo mediante cui una popolazione ancestrale si fraziona in due o più popolazioni figlie che evolvono indipendentemente, accumulando differenze genetiche e morfologiche fino a diventare specie biologiche distinte, incapaci di ibridizzazione fertile. I meccanismi di speciazione si classificano in allopatrici (separazione geografica), simpatrici (in assenza di barriere geografiche), e parapatrici (zone di contatto ridotto).

La speciazione allopatrica è il meccanismo dominante ed è facilitata da barriere geografiche che interrompono il flusso genico. Popolazioni isolate accumulano mutazioni indipendenti per deriva e selezione locale, divergendo geneticamente. Quando il flusso genico cessa (m = 0), la divergenza genetica misurata da F_ST cresce come F_ST(t) ≈ 1 - exp(-t/(2N_e)), dove t è il tempo in generazioni. Dopo molte generazioni (t >> 2N_e), F_ST → 1, indicando che le popolazioni sono completamente differenziate. L'accumulo di incompatibilità genetiche mediante mutazioni di Dobzhansky-Muller genera isolamento riproduttivo: alleli A e B fissati indipendentemente nelle due popolazioni interagiscono negativamente negli ibridi AB, riducendo fitness ibrida anche se ciascun allele è vantaggioso nella propria popolazione.

La speciazione simpatrica richiede isolamento riproduttivo senza separazione geografica, ed è più rara e controversa. Meccanismi possibili includono poliploidia (comune in piante: duplicazione del genoma genera incompatibilità immediata con parenti diploidi), selezione disruptiva forte su carattere ecologico accoppiato a accoppiamento assortativo (preferenza per partner simili), e conflitti genetici intragenici. L'esempio meglio documentato è la speciazione simpatrica nei ciclidi dei laghi africani: in Lago Vittoria, oltre cinquecento specie di ciclidi si sono diversificate negli ultimi centomila anni, molte in assenza di barriere geografiche, mediante selezione ecologica su colorazione e morfologia trofica accoppiata a scelta femminile basata su colore maschile.

Le radiazioni adattative sono esplosioni di diversificazione in cui un singolo lignaggio ancestrale genera rapidamente molteplici specie adattate a nicchie ecologiche diverse. I fringuelli delle Galápagos, studiati da Darwin, esemplificano il fenomeno: da un antenato continentale, quattordici specie si sono diversificate in circa tre milioni di anni, occupando nicchie che su continenti sono riempite da gruppi filogeneticamente distanti (insettivori, granivori, nettarivori, addirittura specie che usano spine di cactus come attrezzi per estrarre larve). La morfologia del becco, determinante la dieta, è controllata da pochi loci di grande effetto: BMP4 regola profondità e larghezza del becco (alta espressione → becco largo e profondo adatto a semi duri), mentre calmodulin regola allungamento del becco (alta espressione → becco allungato per estrarre insetti da crevasse).

Il tasso di speciazione varia enormemente tra taxa: piante annuali con autoimpollinazione speciano rapidamente (tempo di speciazione $\tau \sim 10^5$ anni), mentre mammiferi grandi longevi speciano lentamente ($\tau \sim 10^7$ anni). Modelli di nascita-morte stimano tassi di speciazione λ e estinzione μ da alberi filogenetici: il numero di specie cresce come $N(t) = N_0 \exp((\lambda - \mu)t)$ se $\lambda > \mu$. Gli alberi molecolari calibrati con fossili rivelano variazioni temporali nel tasso netto di diversificazione: gli uccelli mostrano accelerazione post-K/T (dopo estinzione dinosauri 66 milioni anni fa), mentre i mammiferi placentati mostrano rallentamento nel Cenozoico dopo radiazione iniziale.

Evo-Devo: Regolazione Genica e Macroevoluzione Morfologica

L'evoluzione dello sviluppo (evo-devo) esplora come modifiche nei meccanismi genetici e cellulari dello sviluppo generano variazione morfologica evolutiva. Un principio centrale è che grandi cambiamenti fenotipici possono derivare da piccole modifiche nella regolazione dell'espressione genica, piuttosto che da cambiamenti nelle sequenze codificanti delle proteine stesse. Le regioni regolatorie cis (enhancer, promotori) evolvono rapidamente e sono meno vincolate funzionalmente delle regioni codificanti: mutazioni in enhancer possono alterare quando, dove e quanto un gene è espresso senza modificare la funzione biochimica della proteina.

Gli elementi regolatori modulari permettono evoluzione indipendente dell'espressione genica in tessuti e stadi diversi. Il gene Pitx1, che codifica un fattore di trascrizione homeobox, è espresso nei arti posteriori di topi (dove è necessario per sviluppo pelvico), nelle mascelle (per sviluppo dentale), e nella ghiandola pituitaria. Gli sticklebacks marini hanno spine pelviche prominenti, mentre sticklebacks d'acqua dolce hanno pelvi ridotto o assente, un adattamento per evitare predazione da insetti acquatici. La perdita del pelvi è causata da delezione dell'enhancer pelvico di Pitx1, mentre l'espressione in mascella e pituitaria è preservata da altri enhancer. Questo dimostra che enhancer tessuto-specifici modulari permettono evoluzione morfologica localizzata senza pleotropia deleteria.

Il reclutamento evolutivo di geni esistenti per nuove funzioni morfogenetiche è un meccanismo ricorrente. I geni Hox, originariamente coinvolti nella segmentazione assiale, sono stati cooptati per specificare identità di appendici negli artropodi. Distal-less (Dll), originariamente un gene di appendice, è stato cooptato per pigmentazione delle eyespots nelle ali di farfalle: l'attivazione di Dll in regioni circolari discrete sulla superficie alare induce sintesi di melanina, generando macchie colorate concentriche che mimano occhi di vertebrati, presumibilmente scoraggiando predatori. Mutazioni naturali nell'enhancer di Dll eliminano eyespots specifici senza influenzare sviluppo di appendici, dimostrando modularità regolativa.

L'effetto Baldwin (assimilazione genetica) descrive come plasticità fenotipica inizialmente indotta dall'ambiente può essere fissata geneticamente. Popolazioni esposte a stress ambientale possono rispondere mediante plasticità fenotipica (es. callosi indotte da abrasione meccanica). Se l'ambiente stressante persiste per molte generazioni, selezione favorisce alleli che producono costitutivamente il fenotipo precedentemente indotto, eliminando la necessità di risposta plastica. Esperimenti in Drosophila mostrano che trattamento termico delle pupe induce fenotipi ectopici (bithorax, crossveinless); selezione per pupe che manifestano spontaneamente questi fenotipi senza trattamento termico

produce rapidamente linee geneticamente fissate, dimostrando che variazione genetica criptica (mascherata da capacità omeostatiche) può essere esposta e fissata.

La canalizzazione è il fenomeno per cui il fenotipo è buffered contro perturbazioni genetiche e ambientali. Waddington propose il concetto di "paesaggio epigenetico" dove lo sviluppo è rappresentato come una palla che rotola in un paesaggio di valli: la palla tende a seguire valli profonde (traiettorie fenotipiche canalizzate) e piccole perturbazioni non la deviano. Mutazioni in geni chiave come Hsp90 (chaperon molecolare) riducono canalizzazione, rivelando variazione fenotipica latente. Mosche mutanti Hsp90 mostrano alta variabilità morfologica (zampe, ali, occhi) che è ereditabile: la variazione genetica era presente ma soppressa da Hsp90 wild-type. Questo suggerisce che chaperon molecolari e network regolatori robusti nascondono variazione genetica, che può essere rilasciata durante stress per rapida evoluzione.

Exaptation: Strutture Ancestrali Acquisiscono Nuove Funzioni

L'exaptation (termine coniato da Gould e Vrba per sostituire "preadattamento") descrive l'appropriazione di una struttura ancestrale per una funzione nuova e diversa dalla funzione originale. Le piume degli uccelli sono un exaptation classico: le piume evolsero inizialmente nei dinosauri teropodi non-volatori probabilmente per termoregolazione (isolamento termico) o display sociale (segnalazione visiva), come evidenziato da fossili di dinosauri piumati come Sinosauropteryx e Microraptor. Solo secondariamente, in lignaggi che svilupparono comportamento aereo (planata, poi volo attivo), le piume furono cooptate per funzione aerodinamica: superfici di portanza e controllo.

La transizione da piume filamentose (monofilamenti semplici, simili a peli) a piume pennacee (con rachide centrale e barbe laterali portanti barbule uncinate che si agganciano formando vexillum continuo) è documentata nel record fossile. Archaeopteryx (150 milioni anni fa) possedeva piume asimmetriche sulle ali con barbule uncinate, indicando funzione aerodinamica. Analisi biomeccaniche suggeriscono che volo attivo (battente) richiede piume con rachide rigido e vexillum esteso per generare thrust e lift sufficienti; piume di Archaeopteryx soddisfano questi requisiti. Tuttavia, dinosauri come Anchiornis (160 milioni anni fa, predatante Archaeopteryx) possedevano piume pennacee su zampe e coda senza adattamenti scheletrici per volo, suggerendo funzione non-aerodinamica ancestrale.

Le ossa dell'orecchio medio dei mammiferi (incudine, martello, staffa) derivano da ossa della mascella inferiore dei rettili (quadrato, articolare, stapes). Nei rettili e uccelli, l'articolazione mandibolare è quadrato-articolare; nei mammiferi, è dentale-squamoso, e quadrato/articolare sono incorporati nell'orecchio medio come ossicini della catena timpano-coclea. Questa transizione è documentata in fossili di mammaliaformi del Mesozoico come Morganucodon, che possiedono doppia articolazione mandibolare (sia rettiliana che mammaliana). Il vantaggio funzionale della neo-articolazione mammaliana è sconosciuto; l'incorporazione di quadrato/articolare nell'orecchio medio fu probabilmente exaptation sfruttando ossa già vicine all'orecchio interno per migliorare trasmissione sonora (riduzione dell'impedenza tra aria e fluido cocleare).

Gli arti tetrapodi derivano da pinne lobate di pesci sarcopterigi (crossopterigi). I fossili transizionali come Tiktaalik roseae (375 milioni anni fa) mostrano combinazione di caratteri ittici (scaglie, opercolo) e tetrapodi (polso mobile, costole espanse). Le pinne di Tiktaalik

possiedono omero, radio, ulna omologhi a quelli tetrapodi, ma le dita sono assenti. La funzione originale di queste pinne era probabilmente locomozione bentica (camminare sul fondo acquatico in acque basse), non locomozione terrestre. Solo in lignaggi più derivati (Acanthostega, Ichthyostega) appaiono dita ben sviluppate e adattamenti per supporto del peso fuori dall'acqua. L'exaptation consistette nell'uso di strutture scheletriche e muscolari ottimizzate per locomozione subacquea anche per locomozione terrestre quando i primi tetrapodi colonizzarono ambienti semiacquatici e paludosi.

Preadattamento e Contingenza Storica

Il preadattamento (termine tradizionale, criticato perché implica teleologia) indica che caratteri presenti in un lignaggio ancestrale per una funzione o per nessuna funzione adattativa possono predisporre quel lignaggio a evoluzione futura in certe direzioni. L'evoluzione non è completamente stocastica né completamente deterministica: la storia passata vincola le traiettorie future, creando pattern di contingenza dove alcuni eventi evolutivi sono altamente improbabili senza specifici precursori.

La vascolarizzazione polmonare dei vertebrati terrestri deriva dalla vascolarizzazione delle branchie dei pesci ossei. Nei pesci ossei ancestrali, arterie arco branchiale trasportano sangue deossigenato dalle branchie agli organi; vene polmonari riportano sangue ossigenato dai polmoni primitivi (vescica natatoria vascolarizzata) al cuore. Questa circolazione polmonare parallela preesistente facilitò la transizione ai tetrapodi: quando le branchie furono perse e i polmoni divennero dominanti per scambio gassoso, la circolazione polmonare era già presente e fu elaborata (separazione atriale e ventricolare progressiva in anfibi → rettili → mammiferi/uccelli con completa divisione del cuore in pompe sistemica e polmonare separate).

Il successo evolutivo dei mammiferi dopo l'estinzione K/T (Cretaceo-Terziario, 66 milioni anni fa) dipese da preadattamenti accumulati durante il Mesozoico quando i mammiferi erano piccoli, notturni, e ecologicamente subordinati ai dinosauri. Endotermia (omeotermia metabolica), pelliccia per isolamento termico, acuità olfattiva e uditiva sviluppate per vita notturna, dentizione eterodontica per dieta onnivora, cure parentali estese: tutti questi caratteri, evoluti sotto il regime selettivo di nicchia marginale mesozoica, divennero vantaggiosi nel Cenozoico post-estinzione quando nicchie diurne, terrestri e large-bodied furono liberate dalla scomparsa dei dinosauri non-aviani.

La sintesi evolutiva estesa (EES) integra evo-devo, plasticità fenotipica, costruzione di nicchia ed ereditarietà epigenetica con la sintesi moderna basata su genetica di popolazione. Un principio centrale dell'EES è che organismi non sono agenti passivi di selezione ma attivamente modificano ambienti (costruzione di nicchia) e eredità comprendono non solo geni ma anche epigenoma, microbiomi, e trasmissione culturale. La costruzione di nicchia da parte di castori (dighe che creano stagni) modifica selezione su popolazione di castori stessi (favore a fisiologia semi-acquatica) e su specie associate (pesci, anfibi, piante acquatiche). Questa retro-azione feedback organismo-ambiente genera dinamiche eco-evolutive dove cambi ecologici e genetici sono accoppiati in scale temporali comparabili.

L'evoluzione, come la metamorfosi, è trasformazione: ma mentre la metamorfosi ontogenetica ripercorre traiettorie stereotipate codificate genomicamente, la metamorfosi

filogenetica esplora spazio fenotipico mediante combinazione di caso (mutazione, deriva) e necessità (selezione). Il risultato è la diversità stupefacente della biosfera, un albero filogenetico con radice in organismo monocellulare ancestrale 3,8 miliardi anni fa e rami che si estendono a batteri estremofl archaea metanogenici, funghi giganti, piante angiosperme, molluschi cefalopodi intelligenti, e mammiferi senzienti. Ogni lignaggio è una metamorfosi in atto, un esperimento evolutivo che trasforma continuamente forme ancestrali in discendenti modificati, esplorando design space biologico mediante algoritmo cieco ma creativo della discendenza con modifica.

SEZIONE III: TRASFORMAZIONI LINGUISTICHE

Capitolo 8: Trasformazioni Sintattiche - L'Architettura Computazionale del Linguaggio

La Rivoluzione Chomskyana e l'Emergere della Struttura Profonda

Quando Noam Chomsky presentò la distinzione tra struttura profonda e struttura superficiale in "Syntactic Structures" (1957) e successivamente in "Aspects of the Theory of Syntax" (1965), non stava semplicemente proponendo un nuovo formalismo descrittivo per i fenomeni sintattici. Stava articolando una visione radicalmente nuova della natura della conoscenza linguistica umana, una visione che avrebbe innescato quella che Thomas Kuhn avrebbe riconosciuto come una genuina rivoluzione scientifica nel campo della linguistica. La proposizione fondamentale era che le frasi naturali possiedono una duplice natura: una rappresentazione astratta, la struttura profonda, che codifica direttamente le relazioni semantiche e grammaticali fondamentali, e una manifestazione concreta, la struttura superficiale, che corrisponde alla sequenza lineare di parole effettivamente pronunciate o scritte. Tra questi due livelli opera un sistema di trasformazioni sintattiche, regole formali che mappano rappresentazioni profonde in manifestazioni superficiali.

La necessità teorica di questa distinzione emerge dall'osservazione di fenomeni che la grammatica sintagmatica tradizionale non poteva catturare adeguatamente. Consideriamo l'ambiguità strutturale della frase "Flying planes can be dangerous". Questa frase possiede due interpretazioni distinte: una in cui "flying planes" costituisce un sintagma nominale complesso (gli aerei che volano possono essere pericolosi) e un'altra in cui "flying" è un verbo gerundivo che governa "planes" come complemento oggetto (il pilotare aerei può essere pericoloso). Le due letture corrispondono a due strutture sintattiche radicalmente diverse, che una rappresentazione superficiale lineare non può distinguere. La teoria trasformazionale propone che esistano due strutture profonde distinte, ciascuna con la propria configurazione gerarchica di costituenti, che convergono sulla medesima stringa superficiale attraverso trasformazioni diverse.

Ancora più significativo è il fenomeno delle relazioni semantiche sistematiche tra frasi con forme superficiali marcatamente differenti. L'osservazione cruciale è che coppie di frasi come "John broke the window" e "The window was broken by John", oppure "Mary believes that Tom is honest" e "Tom is believed by Mary to be honest", mantengono identiche

relazioni tematiche sottostanti nonostante la loro divergenza sintattica superficiale. In entrambe le frasi della prima coppia, John è l'agente del rompere e la finestra è il paziente; nella seconda coppia, Mary è l'esperiente della credenza e Tom è il tema del predicato di onestà. La teoria trasformazionale cattura questa invarianza postulando che queste coppie condividano rappresentazioni profonde simili o identiche, con le differenze superficiali derivanti dall'applicazione di trasformazioni opzionali come la passivizzazione o il sollevamento del soggetto.

La Geometria delle Dipendenze: Movimento Wh e Vincoli di Località

Il movimento Wh rappresenta uno dei fenomeni trasformazionali più studiati e teoricamente rivelatori nella sintassi generativa. Nelle lingue come l'inglese, l'italiano, il tedesco e molte altre, le interrogative che richiedono informazioni specifiche manifestano un pattern sistematico: l'elemento interrogativo (chi, cosa, dove, quando, perché, come) non occupa la posizione sintattica che corrisponderebbe al suo ruolo grammaticale nella frase dichiarativa equivalente, ma appare invariabilmente in posizione iniziale, nella cosiddetta periferia sinistra della frase. La frase dichiarativa "Maria ha comprato un libro" diventa l'interrogativa "Che cosa ha comprato Maria?", dove l'oggetto diretto è stato dislocato dalla sua posizione post-verbale canonica alla posizione iniziale, innescando contemporaneamente l'inversione del soggetto.

La natura trasformazionale di questo fenomeno diventa ancora più evidente quando esaminiamo interrogative che attraversano confini frasali multipli, le cosiddette dipendenze a lunga distanza. Consideriamo la progressione: "Che cosa pensi?", "Che cosa pensi che Maria abbia comprato?", "Che cosa pensi che Giovanni creda che Maria abbia comprato?", "Che cosa pensi che Giovanni creda che Luca abbia detto che Maria abbia comprato?". In ciascuna di queste frasi, l'elemento Wh "che cosa" è l'oggetto diretto del verbo più profondamente incassato ("comprato"), ma appare nella posizione iniziale della frase matrice, potenzialmente attraversando un numero arbitrario di confini frasali intermedi. Questa capacità di stabilire dipendenze a distanza indefinita costituisce una proprietà computazionale fondamentale della sintassi umana.

Tuttavia, il movimento Wh non è computazionalmente illimitato. John Ross, nella sua dissertazione del 1967 "Constraints on Variables in Syntax", identificò una classe di configurazioni sintattiche da cui l'estrazione è sistematicamente impossibile, configurazioni che denominò "isole sintattiche". Le isole rappresentano domini opachi al movimento, confini che gli elementi Wh non possono attraversare. L'isola del sintagma nominale complesso vieta l'estrazione da complementi nominali: mentre "Who do you believe the claim that John saw?" è severamente agrammaticale (con "who" che tenta di essere estratto dalla frase relativa incassata), la struttura corrispondente senza estrazione "You believe the claim that John saw Mary" è perfettamente ben formata. Similarmente, l'isola Wh stessa proibisce l'estrazione multipla: "*What do you wonder who bought?" è inaccettabile perché "what" cerca di uscire da una frase interrogativa indiretta che già contiene un elemento Wh.

La teoria delle barriere, sviluppata da Chomsky (1986), propose un'unificazione teorica di questi vincoli. Il movimento è soggetto al principio della soggiacenza: un elemento può muoversi solo attraverso un nodo di confine alla volta, dove i nodi di confine rilevanti sono tipicamente IP (Inflection Phrase) e NP/DP (Noun Phrase/Determiner Phrase). Il movimento

ciclico, che procede attraverso posizioni intermedie di approdo (landing sites), diventa quindi necessario per rispettare la soggiacenza. Nella frase "What do you think that Mary bought?", l'elemento Wh non si muove direttamente dalla sua posizione di complemento di "bought" alla posizione iniziale della frase matrice, ma transita attraverso la posizione Spec-CP della frase incassata: [CP What do [IP you think [CP t' that [IP Mary bought t]]]], dove t rappresenta la traccia nella posizione originaria e t' la traccia intermedia.

L'evidenza empirica per il movimento ciclico attraverso posizioni intermedie proviene da molteplici fonti convergenti. In alcune lingue, come l'irlandese e il chamorro, il movimento Wh lascia marcatori morfologici visibili su ogni verbo attraversato. In irlandese, i verbi nella catena di dipendenza Wh manifestano una forma speciale "dipendente": "Cad a cheapann tú a dúirt Seán a cheannaigh Máire?" (letteralmente "Cosa che pensare-DEP tu che dire-DEP Seán che comprare-DEP Máire?", cioè "Cosa pensi che Seán abbia detto che Máire abbia comprato?"). Questi marcatori morfologici funzionano come "briciole di pane" sintattiche che rendono visibile il percorso del movimento.

Tracce, Copie e la Teoria del Movimento

La teoria delle tracce, formalizzata negli anni Settanta, postulò che quando un elemento sintattico subisce movimento, non scompare semplicemente dalla sua posizione originaria, ma lascia dietro di sé un residuo astratto, una traccia, che preserva le proprietà sintattiche e semantiche cruciali della posizione di base. La traccia non è fonologicamente realizzata ma è sintatticamente attiva: governa le relazioni di caso, theta-role assignment, legame pronominale. Nella rappresentazione "What did John buy t?", la traccia t occupa la posizione di complemento diretto del verbo "buy", assicurando che il verbo assegni il suo theta-role di tema all'elemento Wh e che le proprietà di sottocategorizzazione del verbo siano soddisfatte.

La realtà psicologica delle tracce ha ricevuto supporto convergente da esperimenti psicolinguistici sofisticati. Gli studi di reattivazione dell'antecedente (antecedent reactivation), pionieristicamente condotti da David Swinney, Michael Tanenhaus e colleghi negli anni Ottanta, utilizzano paradigmi di priming lessicale a punto fisso per investigare il corso temporale dell'elaborazione sintattica. In questi esperimenti, i partecipanti ascoltano frasi contenenti dipendenze a lunga distanza mentre svolgono contemporaneamente un compito di decisione lessicale su parole visivamente presentate. La scoperta cruciale è che l'antecedente mosso viene riattivato precisamente nella posizione della traccia postulata dalla teoria sintattica. Per esempio, ascoltando "The policeman saw the boy that the crowd at the party accused t of the crime", i partecipanti mostrano facilitazione per parole semanticamente correlate a "boy" esattamente al punto corrispondente alla traccia dopo "accused", anche se "boy" è stato menzionato molte parole prima. Questa riattivazione on-line suggerisce fortemente che il processore sintattico umano ricostruisce effettivamente la dipendenza tra l'elemento mosso e la sua posizione originaria.

Il Programma Minimalista (Chomsky 1993, 1995) ha riformulato radicalmente la teoria del movimento, sostituendo il concetto di traccia con quello di copia. In questa prospettiva, il movimento non è una regola trasformazionale che sposta un elemento lasciando una traccia distinta, ma piuttosto un'operazione di Merge interno che crea copie dell'elemento mosso sia nella posizione di partenza che nella posizione di arrivo. La rappresentazione di "What did John buy?" diventa [CP What did [IP John buy what]], dove entrambe le occorrenze di

"what" sono copie identiche. La linearizzazione fonologica realizza solo la copia più alta, lasciando non pronunciate le copie inferiori, ma sintatticamente tutte le copie rimangono presenti nella rappresentazione.

Questa teoria delle copie risolve elegantemente il problema della ricostruzione semantica. Fenomeni come il legame pronominale e le relazioni di scopo richiedono che l'elemento mosso sia interpretato semanticamente nella sua posizione originaria. Consideriamo "Which picture of himself did John say that Bill bought?". L'anafora "himself" può riferirsi a Bill (l'interpretazione ricostruita, dove "picture of himself" è interpretato nella posizione di complemento di "bought") ma non a John (che richiederebbe l'interpretazione nella posizione superficiale come soggetto di "say"). La teoria delle copie spiega questo naturalmente: la componente semantica può interpretare qualsiasi copia, e diverse copie possono essere rilevanti per diversi moduli interpretativi.

Passivizzazione: Grammatica e Struttura dell'Informazione

La trasformazione passiva costituisce un caso paradigmatico di come operazioni sintattiche formali interagiscano profondamente con la struttura informativa e le proprietà tematiche del verbo. La passivizzazione coinvolge minimamente tre operazioni coordinate: la promozione del paziente (o tema) alla posizione di soggetto sintattico, la retrocessione dell'agente a un complemento obliquo opzionale introdotto da una preposizione (in inglese "by", in italiano "da"), e la morfologia verbale passiva che in italiano coinvolge l'ausiliare "essere" più il participio passato.

Consideriamo la derivazione trasformazionale di "Maria è stata baciata da Giovanni" dalla struttura attiva "Giovanni ha baciato Maria". Nella rappresentazione profonda, "Giovanni" è generato come argomento esterno del verbo "baciare" (lo specificatore di VP nella struttura X-barra), ricevendo il theta-role di agente, mentre "Maria" è l'argomento interno (complemento di V), ricevendo il theta-role di paziente. Il verbo attivo "baciare" assegna caso accusativo al suo complemento. Nella forma passiva, la morfologia passiva "assorbe" il caso accusativo che il verbo altrimenti assegnerebbe, rendendo impossibile per "Maria" ricevere caso nella sua posizione di base. Secondo il Filtro del Caso (ogni sintagma nominale foneticamente realizzato deve ricevere caso astratto), "Maria" deve muoversi verso una posizione dove può ricevere caso, tipicamente la posizione di soggetto dove riceve caso nominativo dall'inflessione finita. "Giovanni", non più in grado di occupare la posizione di soggetto (già riempita da "Maria"), viene realizzato come complemento obliquo opzionale.

Questa analisi cattura le generalizzazioni sintattiche fondamentali, ma la passivizzazione ha anche profonde conseguenze per la struttura informativa e la prospettiva narrativa. La scelta tra forma attiva e passiva non è semanticamente neutra nel senso informativo: codifica decisioni cruciali riguardo a quale partecipante viene messo in primo piano come topic della frase. La passivizzazione è particolarmente frequente in contesti dove il paziente è già stabilito come topic discorsivo. Consideriamo la sequenza: "John è un famoso scultore. Ha creato statue magnifiche per decenni. Le sue opere sono esposte nei musei di tutto il mondo." La terza frase utilizza la forma passiva perché "le sue opere" (il paziente) è il topic continuo attraverso il discorso, mentre gli agenti (i musei, i curatori) sono informativamente secondari e spesso non specificati.

La possibilità di omettere completamente l'agente nelle passive ("Maria è stata baciata", "Le decisioni sono state prese", "Gli errori sono stati commessi") ha importanti conseguenze pragmatiche e sociolinguistiche. Le passive senza agente permettono di defocalizzare o oscurare la responsabilità, una strategia discorsiva particolarmente prevalente nel linguaggio politico e burocratico. La frase "Mistakes were made" (errori furono commessi), notoriamente utilizzata in contesti politici, evita accuratamente di attribuire responsabilità per gli errori, contrastando con l'attiva "We made mistakes" che esplicita l'agente responsabile.

Tipologicamente, le lingue mostrano variazione sostanziale nelle loro costruzioni passive. Alcune lingue, come il dyirbal (Australia) e altre lingue ergative, possiedono antipassive piuttosto che passive: costruzioni dove l'agente rimane soggetto ma il paziente viene retrocesso o omesso. Altre lingue, come il giapponese, hanno passive "avversative" che esprimono un evento negativo dal punto di vista del paziente: "Taroo ga ame ni hurareta" (letteralmente "Taro soggetto pioggia da cadere-passivo", cioè "Taro ha subito la pioggia cadente", "Taro è stato piovuto addosso"), una costruzione impossibile in italiano o inglese poiché "piovere" è intransitivo e non ha paziente da promuovere.

Minimalismo: Merge e l'Economia della Derivazione

Il Programma Minimalista, inaugurato da Chomsky nei primi anni Novanta, rappresenta un tentativo di ridurre la teoria sintattica ai suoi componenti logicamente necessari, eliminando stipulazioni teoriche ridondanti e derivando la complessità superficiale della sintassi da principi computazionali minimali interagenti con condizioni di interfaccia. L'intuizione guida è che la facoltà linguistica, in quanto sistema biologico evolutosi attraverso selezione naturale, dovrebbe essere "ottimale" in un senso tecnico specifico: dovrebbe soddisfare i requisiti imposti dalle interfacce con i sistemi di performance (il sistema articolatorio-percettivo e il sistema concettuale-intenzionale) utilizzando i mezzi computazionali più semplici possibili.

L'operazione fondamentale nel sistema minimalista è Merge, un'operazione che prende due oggetti sintattici e li combina per formare un insieme. Nella sua forma più elementare, Merge esterno combina elementi distinti dalla numerazione lessicale: Merge({il}, {libro}) = {il, {il, libro}}, formando un sintagma determinante. La struttura risultante è tipicamente rappresentata con notazione ad albero dove uno dei due elementi proietta le sue proprietà categoriali al nodo madre, determinando il tipo sintattico dell'insieme. L'applicazione ricorsiva di Merge genera strutture gerarchiche arbitrariamente complesse: Merge può applicarsi al risultato di una precedente applicazione di Merge, permettendo la costruzione di alberi sintattici di profondità illimitata.

Il movimento sintattico, nella prospettiva minimalista, è reinterpretato come Merge interno (internal Merge o IM): un elemento già presente nella struttura sintattica viene selezionato e fuso nuovamente in una posizione più alta, creando una dipendenza di movimento. Crucialmente, Merge interno non elimina l'elemento dalla posizione originaria ma crea una catena di copie. La rappresentazione di "Quale libro hai letto?" coinvolge la formazione di "hai letto quale libro" tramite Merge esterno, seguita da Merge interno di "quale libro" nella periferia sinistra: {quale libro, {hai letto {quale libro}}}. Le copie inferiori non vengono pronunciate (deleted at PF, Phonological Form) ma rimangono accessibili per l'interpretazione semantica (at LF, Logical Form).

Questa riformulazione ha conseguenze profonde. Tutte le trasformazioni sintattiche tradizionalmente riconosciute, movimento Wh, passivizzazione, sollevamento, scrambling, topicalizzazione, vengono unificate come istanze di una singola operazione: Merge interno. Le differenze superficiali tra queste costruzioni derivano dalle proprietà lessicali degli elementi coinvolti e dalle posizioni funzionali verso cui si muovono, non da regole trasformazionali distinte e specifiche.

Il sistema è governato da principi di economia derivazionale. Il Principio di Greed (letteralmente "avidità") richiede che il movimento avvenga solo per soddisfare requisiti di un elemento che si muove (tipicamente, per controllare features non interpretabili che altrimenti causerebbero il crash della derivazione alle interfacce). Il Principio della Distanza Minimale (Minimal Link Condition) esige che il movimento target sempre l'elemento più vicino che può soddisfare il requisito, bloccando il movimento "a lunga distanza" quando un elemento più vicino potrebbe muoversi. Questi principi di economia non sono stipulazioni arbitrarie ma riflettono presumibilmente vincoli computazionali fondamentali sulla complessità derivazionale.

Le feature non interpretabili giocano un ruolo cruciale nel guidare il movimento. Un elemento come il complementatore interrogativo C[+Wh] possiede una feature [uWh] (u per "uninterpretable", non interpretabile) che deve essere controllata attraverso Agree con un elemento che porta la feature interpretabile [iWh], tipicamente un sintagma Wh. L'operazione Agree stabilisce una relazione tra la sonda (probe, l'elemento con feature non interpretabile) e il bersaglio (goal, l'elemento con feature interpretabile), eliminando la feature non interpretabile. Il movimento avviene quando Agree da solo è insufficiente e il bersaglio deve muoversi verso lo specificatore della sonda per soddisfare l'EPP (Extended Projection Principle), il requisito che certe posizioni funzionali devono essere riempite foneticamente.

Evidenze dalla Neuroimaging: Le Basi Neurali delle Trasformazioni

Le neuroscienze cognitive hanno cominciato a fornire evidenze convergenti sulla realtà neurale delle operazioni sintattiche trasformazionali. Gli studi con risonanza magnetica funzionale (fMRI) hanno identificato una rete fronto-temporale sinistra sistematicamente coinvolta nell'elaborazione di dipendenze sintattiche complesse. Il giro frontale inferiore sinistro (area di Broca, approssimativamente le aree di Brodmann 44 e 45) e il giro temporale superiore posteriore sinistro mostrano attivazione aumentata quando i partecipanti processano frasi contenenti movimento sintattico a lunga distanza rispetto a frasi di controllo sintatticamente più semplici.

Particolarmente illuminanti sono gli studi che manipolano sistematicamente la complessità della dipendenza. Angela Friederici e colleghi hanno dimostrato che l'attivazione nell'area di Broca aumenta proporzionalmente con il numero di confini frasali che la dipendenza attraversa. La frase "Der Reporter, den der Senator, den der Journalist interviewt hat, begrüsst hat, schrieb einen Artikel" (Il giornalista che il senatore che il giornalista ha intervistato ha salutato ha scritto un articolo), con due livelli di incassamento e dipendenze incrociate, evoca attivazione significativamente maggiore rispetto a frasi con singolo incassamento. Crucialmente, questo aumento correla con la distanza strutturale (misurata in nodi sintattici) piuttosto che con la distanza lineare (misurata in parole), supportando l'idea che il cervello rappresenti effettivamente strutture gerarchiche.

Gli studi con magnetoencefalografia (MEG) ed elettroencefalografia (EEG), che forniscono risoluzione temporale superiore, hanno rivelato dinamiche temporali affascinanti. L'elaborazione di dipendenze sintattiche evoca componenti ERP (Event-Related Potential) caratteristiche. La Left Anterior Negativity (LAN), tipicamente osservata 300-500ms dopo una violazione sintattica, riflette processi automatici di parsing sintattico. La P600, una deflessione positiva tardiva (600-1000ms), è associata con la rianalisi e riparazione sintattica quando il parser incontra materiale incompatibile con la struttura precedentemente costruita. Quando i partecipanti incontrano la traccia di un elemento mosso, si osserva un pattern ERP distintivo che differisce sia dall'elaborazione di elementi lessicali pieni sia dal processamento di confini frasali, suggerendo che il parser effettivamente posiziona e elabora rappresentazioni vuote nelle posizioni di gap.

Capitolo 9: Traduzione - La Matematica Impossibile della Mappatura Interlinguistica

Il Paradosso Fondamentale: Invarianza Semantica attraverso Variazione Totale

La traduzione rappresenta un'impresa cognitiva di straordinaria complessità, un processo che richiede la preservazione di un invariante astratto, il significato, attraverso una trasformazione che può alterare radicalmente ogni aspetto della forma linguistica. Quando traduciamo l'inglese "The cat sat on the mat" nell'italiano "Il gatto si è seduto sul tappeto", trasformiamo completamente la fonologia (i suoni delle parole non condividono nulla), la morfologia (l'inglese "sat" è un'unica forma mentre l'italiano richiede ausiliare riflessivo più participio), e persino aspetti della struttura sintattica, eppure affermiamo che le due frasi "significano la stessa cosa". Questa affermazione di equivalenza semantica attraverso totale divergenza formale costituisce il paradosso fondamentale della traduzione.

Il problema filosofico sottostante è profondo: cosa costituisce esattamente questo "significato" che presumibilmente rimane invariante? Willard Van Orman Quine, nella sua celebre tesi dell'indeterminatezza della traduzione articolata in "Word and Object" (1960), argomentò che la traduzione è radicalmente indeterminata: date tutte le possibili evidenze comportamentali, rimangono infinite traduzioni incompatibili ma empiricamente equivalenti. Il suo esempio paradigmatico coinvolge un linguista sul campo che osserva un parlante nativo puntare verso un coniglio e pronunciare "gavagai". La traduzione ovvia sembrerebbe "coniglio", ma "gavagai" potrebbe altrettanto coerentemente significare "stadio temporale di coniglio", "parte non staccata di coniglio", "rabbithood instantiated", o infinite altre nozioni che coincidono estensionalmente ma differiscono intensionalmente. Nessuna quantità di osservazione comportamentale può disambiguare tra queste alternative perché predicono le stesse applicazioni ostensive.

Anche prescindendo dallo scetticismo quiniano radicale, la non-isomorficità strutturale tra le lingue garantisce che la traduzione perfetta sia un'idealizzazione irraggiungibile. Le lingue non sono codici in relazione di cifratura uno-a-uno; sono sistemi autonomi che ritagliano il continuum dell'esperienza in modi distintivi, che grammaticalizzano diverse dimensioni semantiche, che impacchettano informazione diversamente nelle loro costruzioni

morfosintattiche. Come affermava l'aforisma già citato, "traduttore, traditore": il traduttore tradisce necessariamente, e la domanda non è se tradire ma come e quanto.

Non-Isomorfismo Lessicale: La Granularità Variabile della Categorizzazione

Il livello lessicale, apparentemente il più elementare, manifesta già profonde asimmetrie interlinguistiche. La relazione tra lessici di lingue diverse non è di corrispondenza biunivoca ma di sovrapposizione parziale e categorizzazione a grana diversa. Il classico esempio pedagogico è il dominio cromatico: mentre l'inglese distingue "blue" da "green", molte lingue (come il gallese antico, il giapponese classico, molte lingue dell'Africa occidentale) hanno un unico termine che copre entrambe le regioni dello spettro. Inversamente, il russo obbligatoriamente distingue "sinij" (blu scuro) da "goluboj" (blu chiaro) dove l'inglese usa un solo termine superordinato. Tradurre l'inglese "blue dress" in russo richiede una decisione che l'originale non codifica: la tonalità specifica del blu.

Questi non sono meramente dettagli lessicografici marginali ma riflettono strutture concettuali profondamente diverse. I lavori di Anna Wierzbicka sul Natural Semantic Metalanguage hanno dimostrato che persino concetti apparentemente universali e primitivi come le emozioni sono categorizzati in modi radicalmente diversi attraverso le lingue. L'inglese "anger" non corrisponde precisamente al tedesco "Zorn" (ira fredda, risentimento) né a "Wut" (rabbia calda, furia). Il polacco "tęsknota" non ha equivalente singolo in inglese: non è esattamente "longing" (desiderio), né "nostalgia", né "yearning", ma comprende aspetti di tutti questi con sfumature addizionali di malinconia e dolore della separazione. Tradurre tęsknota richiede inevitabilmente una scelta tra perdita attraverso sottotraduzione (scegliere un termine inglese che cattura solo parte del significato) o diluizione attraverso perifrasi (una spiegazione esplicativa che perde la concisione evocativa dell'originale).

Il fenomeno diventa ancora più acuto con termini culturalmente situati, concetti che emergono da pratiche sociali e orizzonti di significato specifici di una comunità linguistica. Il giapponese possiede un ricco vocabolario per sfumature estetiche e sociali che mancano di equivalenti lessicali occidentali. "Wabi-sabi" descrive un'estetica che trova bellezza nell'imperfezione, incompletezza e impermanenza, valorizzando la patina del tempo e la rusticità. "Mono no aware" (letteralmente "il pathos delle cose") descrive una sensibilità alla caducità dell'esistenza, una dolce tristezza nell'apprezzare la bellezza effimera. "Ma" descrive non semplicemente uno spazio vuoto o pausa, ma il vuoto pregnante di potenzialità, lo spazio negativo che definisce e dà significato alla forma positiva, un concetto centrale nell'estetica giapponese che richiede paragrafi di esplicazione nelle lingue occidentali.

La direzione della traduzione introduce asimmetrie ulteriori. Tradurre dal tedesco "Waldeinsamkeit" (la sensazione di solitudine e contemplazione pacifica quando si è soli in una foresta) all'inglese richiede una perifrasi esplicativa che dissolve l'unità lessicale in una descrizione analitica. Inversamente, tradurre l'espressione inglese "the peaceful solitude of being alone in the forest" in tedesco potrebbe utilizzare "Waldeinsamkeit", effettuando una compressione semantica che l'originale non possedeva. Questo fenomeno, che potremmo chiamare asimmetria direzionale della granularità lessicale, significa che la traduzione non è

una funzione invertibile: tradurre A in B e poi B nuovamente in A raramente restituisce l'originale A.

Ordine dei Costituenti e la Codifica della Struttura Informativa

Le lingue del mondo mostrano tipologie fondamentali diverse nell'ordinamento dei costituenti principali, e questi ordini non sono meramente permutazioni sintattiche neutre ma veicolano crucialmente informazione pragmatica sulla struttura informativa. La classificazione tipologica di Joseph Greenberg (1963) identificò sei ordini logicamente possibili dei tre costituenti fondamentali Soggetto, Oggetto e Verbo: SOV, SVO, VSO, VOS, OVS, OSV. Empiricamente, le lingue mostrano distribuzione fortemente diseguale: SOV (circa 45% delle lingue del mondo, inclusi giapponese, coreano, turco, hindi) e SVO (circa 42%, inclusi italiano, inglese, mandarino, swahili) dominano schiacciante, mentre VSO (circa 9%, inclusi gallese, irlandese, alcune lingue filippine) è significativamente meno comune, e VOS, OVS, OSV sono estremamente rari.

Tradurre tra lingue con ordini basici diversi richiede trasformazioni strutturali obbligatorie. L'italiano "Il gatto mangia il pesce" (SVO) diventa in giapponese "Neko ga sakana wo taberu" (猫が魚を食べる), letteralmente "Gatto soggetto pesce oggetto mangiare" (SOV). Ma questa trasformazione non è meramente meccanica perché l'ordine dei costituenti interagisce profondamente con la struttura informativa: quali elementi sono topic versus comment, dati versus nuovi, focus stretto versus focus largo.

L'italiano, come molte lingue SVO, permette variazioni marcate dell'ordine dei costituenti per scopi pragmatici. La dislocazione a sinistra del topic ("Il libro, l'ho letto") estrae un costituente preponendolo e riprendendo con pronome clitico, marcando l'elemento dislocato come topic contrastivo. La frase OVS "Il pesce mangia il gatto" è grammaticalmente ben formata ma pragmaticamente marcata, interpretabile solo in contesti specifici dove questa inversione è giustificata informativalmente. L'inglese, con la sua sintassi configurazionale più rigida, non può utilizzare l'ordine delle parole così liberamente per marcare struttura informativa, e ricorre invece a costruzioni sintattiche specifiche: cleft sentences ("It's the book that I read"), pseudocleft ("What I read was the book"), topicalizzazione senza ripresa ("The book, I read").

Il giapponese, pur essendo tipologicamente SOV, è una lingua "scrambling": l'ordine dei costituenti è relativamente libero purché il verbo rimanga finale, con la marcatura del caso attraverso particelle posposizionali che mantiene chiare le relazioni grammaticali indipendentemente dall'ordine lineare. La frase "Tanaka-san ga hon wo katta" (Tanaka-signor soggetto libro oggetto comprò, "Il signor Tanaka comprò un libro") può liberamente essere riordinata come "Hon wo Tanaka-san ga katta" senza alterazione della struttura grammaticale, ma con differenza cruciale nella struttura informativa: la prima versione presenta informazione tutta nuova o risponde a "Cosa è successo?", mentre la seconda topicalizza "hon" (libro) e potrebbe rispondere a "Cosa ha fatto il signor Tanaka con il libro?".

Tradurre questa articolazione informativa richiede che il traduttore non solo comprenda il contenuto proposizionale ma identifichi accuratamente la struttura topic-comment, focus-background dell'originale e la riproduca attraverso i mezzi appropriati della lingua

target. Un testo giapponese che utilizza scrambling per topicalizzare elementi potrebbe richiedere costruzioni cleft o cambiamenti di voce (attivo/passivo) in italiano per preservare l'articolazione informativa parallela.

Categorie Grammaticali Obbligatorie: Ciò che le Lingue Costringono a Dire

Forse il non-isomorfismo più profondo tra lingue risiede nelle categorie grammaticali obbligatorie, le distinzioni semantiche che devono essere codificate morfosintatticamente ogni volta che si formula una frase. Roman Jakobson osservò argutamente che le lingue differiscono non tanto in cosa possono esprimere ma in cosa devono esprimere. Tradurre tra lingue con categorie obbligatorie diverse richiede spesso aggiungere specificazioni semantiche assenti nell'originale o trovare modi di evocare distinzioni che la lingua target non grammaticalizza.

Il tempo verbale, che distingue morfologicamente passato, presente e futuro, è obbligatorio nelle lingue indoeuropee ma assente in molte altre famiglie linguistiche. Il cinese mandarino non flette i verbi per tempo: "Wǒ chī fàn" può significare "Io mangio", "Io mangiai" o "Io mangerò" a seconda del contesto o di marcatori avverbiali opzionali. Tradurre "Wǒ chī fàn" in italiano richiede una scelta temporale che l'originale cinese non specifica. Inversamente, tradurre l'italiano "Mangio" in cinese potrebbe rendere "Wǒ chī fàn" (presente abituale o progressivo) o "Wǒ zài chī fàn" (con marcatore progressivo zài per presente continuato), rappresentando una sovraspecificazione aspettuale rispetto a un presente italiano che è aspettualmente neutro.

L'aspetto grammaticale, che codifica la struttura temporale interna di eventi (completezza, durata, iterazione), è obbligatorio in molte lingue slave. Il russo possiede un sistema aspettuale pervasivo: virtualmente ogni verbo ha una coppia perfettiva/imperfettiva. "Ja čital knigu" (imperfettivo) significa "Stavo leggendo/Leggevo il libro" (azione in corso, non completata, o abituale), mentre "Ja pročital knigu" (perfettivo) significa "Ho letto il libro" (azione completata con esito). La scelta aspettuale è obbligatoria e veicola distinzioni semantiche cruciali. Tradurre verso il russo da lingue con aspetto meno grammaticalizzato richiede che il traduttore interpreti se l'azione descritta è presentata come completata o in corso, una distinzione che potrebbe essere lasciata vaga nell'originale.

L'evidenzialità, la codifica grammaticale della fonte dell'informazione (testimonianza diretta, inferenza, riporto), è obbligatoria in molte lingue delle Americhe, del Caucaso e dell'Himalaya. In tuyuca (lingua della Colombia e Brasile), il parlante deve scegliere tra cinque suffissi evidenziali ogni volta che fa un'asserzione: informazione visuale di prima mano, informazione non-visuale di prima mano, informazione apparente (inferita da evidenza), informazione riportata da seconda mano, informazione assunta. "Diiga ape-wi" (egli ha giocato a calcio-EVIDENZIALE.VISUALE) significa "So perché l'ho visto che ha giocato a calcio", mentre "Diiga ape-ti" (EVIDENZIALE.RIPORTATO) significa "Mi hanno detto che ha giocato a calcio". Tradurre da una lingua senza evidenzialità grammaticale obbligatoria verso il tuyuca richiede che il traduttore aggiunga specificazioni epistemiche che l'originale potrebbe non contenere; tradurre dall'opposto richiede trovare mezzi lessicali (avverbi come "presumibilmente", "apparentemente") o circonlocuzioni ("Ho visto che...", "Mi hanno detto che...") per preservare questa informazione.

Il numero grammaticale manifesta variazione tipologica affascinante. Mentre le lingue indoeuropee tipicamente distinguono singolare e plurale, molte lingue austronesiane e alcune lingue slave possiedono il duale (esattamente due) o addirittura il triale (esattamente tre). Lo sloveno mantiene il duale: "oči" (occhi-DUALE) versus "oko" (occhio-SINGOLARE) versus "oči" (occhi-PLURALE, più di due). Alcune lingue (giapponese, cinese, vietnamita) non marcano morfologicamente il numero nominale: è opzionale e contestualmente determinato. Tradurre dall'inglese "book" al giapponese "hon" (本) perde la specificazione di numero (un libro versus libri), mentre tradurre al contrario richiede aggiungere una specificazione numerica che l'originale non codifica.

Embedding Spaces: La Geometria Vettoriale della Traduzione

La moderna traduzione automatica neurale fornisce una prospettiva computazionale affascinante sul problema della mappatura interlinguistica. I modelli encoder-decoder basati su reti neurali trasformatori (come quelli implementati in Google Translate, DeepL, e modelli di grandi dimensioni come GPT) apprendono rappresentazioni vettoriali continue (embeddings) delle parole e delle frasi, mappando espressioni linguistiche in spazi vettoriali ad alta dimensionalità (tipicamente 512, 768 o 1024 dimensioni).

L'intuizione cruciale è che lingue diverse possono essere rappresentate come spazi vettoriali distinti che condividono una struttura geometrica approssimativamente simile per domini semantici corrispondenti. Mikel Artetxe e colleghi (2017) hanno dimostrato che embeddings addestrati monolingualmente su corpora distinti mostrano notevoli isomorfismi strutturali: le relazioni geometriche tra vettori corrispondenti a concetti correlati sono simili attraverso lingue. Lo spazio vettoriale inglese e quello italiano mostrano strutture parallele dove, ad esempio, i vettori per "king" e "queen" mantengono una relazione geometrica simile ai vettori per "re" e "regina".

La traduzione può essere concettualizzata come una rotazione (più precisamente, una trasformazione lineare) tra questi spazi vettoriali. Se possiamo imparare una matrice di trasformazione W che mappa embedding inglesi in embedding italiani preservando le relazioni semantiche, allora tradurre diventa un'operazione algebrica: dato il vettore inglese v_eng per "king", applichiamo W per ottenere v_ita ≈ W v_eng, che dovrebbe essere vicino al vettore italiano per "re" nello spazio embedding italiano.

Formalmente, questo approccio risolve il problema di ottimizzazione: minimizzare ||W X - Y||, dove X è una matrice i cui columns sono embeddings di parole sorgente, Y è una matrice con embeddings delle corrispondenti traduzioni target, e W è la matrice di trasformazione da apprendere. Tecniche di allineamento più sofisticate utilizzano Procrustes analysis, che trova la rotazione e scaling ottimali, o approcci adversarial dove una rete discriminatore apprende a distinguere embeddings nativi target da embeddings sorgente trasformati, guidando l'apprendimento di una mappatura che rende le distribuzioni indistinguibili.

Tuttavia, la metafora della rotazione ha limiti intrinseci che riflettono il non-isomorfismo linguistico discusso precedentemente. Gli spazi non sono perfettamente isomorfi: esistono regioni semantiche densamente popolate in una lingua ma sparse nell'altra, concetti lessicalizzati in una lingua ma espressi perifricamente nell'altra. La mappatura non può

essere una rotazione rigida globalmente ottimale ma deve essere localmente adattiva, riflettendo la granularità variabile della categorizzazione lessicale.

Capitolo 10: Metafora - Trasformazioni Concettuali e la Struttura del Pensiero

La Teoria Concettuale della Metafora: Lakoff e Johnson

George Lakoff e Mark Johnson, nella loro opera seminale "Metaphors We Live By" (1980), proposero una tesi radicale che ha rivoluzionato la comprensione della metafora: le metafore non sono meri ornamenti retorici o deviazioni poetiche dal linguaggio letterale, ma costituiscono meccanismi cognitivi fondamentali attraverso cui comprendiamo e strutturiamo l'esperienza. La metafora, in questa concezione, è una mappatura sistematica tra domini concettuali, un processo cognitivo attraverso cui strutturiamo un dominio astratto o meno compreso (il target domain) nei termini di un dominio più concreto o meglio compreso (il source domain).

La metafora concettuale ARGOMENTO È GUERRA, uno degli esempi paradigmatici di Lakoff e Johnson, illustra questa sistematicità. Non si tratta di una singola espressione metaforica isolata, ma di una mappatura concettuale pervasiva che genera un'intera costellazione di espressioni linguistiche: "demolished his argument" (demolì il suo argomento), "attacked every weak point" (attaccò ogni punto debole), "indefensible position" (posizione indifendibile), "shot down all my arguments" (abbatté tutti i miei argomenti), "strategy of argumentation" (strategia argomentativa), "winning the debate" (vincere il dibattito). Ciascuna di queste espressioni non è una metafora isolata ma un'istanziazione della mappatura sistematica tra il dominio sorgente GUERRA e il dominio target ARGOMENTO.

La mappatura non è arbitraria ma altamente strutturata, preservando la struttura relazionale del dominio sorgente. Nel dominio GUERRA, esistono partecipanti (avversari), azioni (attaccare, difendere), obiettivi (vittoria, sconfitta), strumenti (armi), strategie, terreno. La metafora ARGOMENTO È GUERRA mappa sistematicamente: partecipanti a un argomento → combattenti in guerra, affermare una tesi → attaccare, confutare → difendere, convincere l'audience → vincere la battaglia, riconoscere errori → essere sconfitto. Questa preservazione strutturale è cruciale: non mappiamo elementi arbitrariamente ma manteniamo le relazioni logiche del dominio sorgente.

La sistematicità si estende oltre il linguaggio. Lakoff e Johnson argomentano che la metafora concettuale struttura non solo come parliamo ma come pensiamo e agiamo. Concepiamo effettivamente gli argomenti come conflitti, con conseguenze comportamentali: cerchiamo di "vincere" dibattiti, vediamo chi dissente come "avversario", adottiamo "strategie" aggressive o difensive. Culture diverse utilizzano metafore concettuali diverse per l'argomentazione: ARGOMENTO È DANZA collaborativa (in alcune culture asiatiche), dove l'obiettivo non è sconfiggere l'altro ma creare insieme significato attraverso movimento coordinato.

Mappature Metaforiche: Ontologie e Inferenze

Le mappature metaforiche trasferiscono non solo terminologia ma intera struttura ontologica e inferenziale. Consideriamo VITA È VIAGGIO, una metafora onnipresente: "at a crossroads in life" (a un bivio nella vita), "without direction" (senza direzione), "long and winding road" (strada lunga e tortuosa), "hit a dead end" (imbattersi in un vicolo cieco), "on the right track" (sulla strada giusta). La mappatura trasferisce l'ontologia del viaggio: il viaggiatore → persona vivente, destinazione → scopo di vita, percorso → corso di vita, ostacoli sul percorso → difficoltà di vita, distanza percorsa → progresso nella vita.

Crucialmente, la metafora trasferisce anche patterns di inferenza. Nel dominio VIAGGIO, se incontri un ostacolo, puoi aggirarlo, rimuoverlo, o tornare indietro e cercare un percorso alternativo. Queste opzioni vengono mappate nel dominio VITA, suggerendo strategie per affrontare difficoltà: evitare il problema, affrontarlo direttamente, cambiare direzione di vita. Le metafore quindi non solo descrivono ma prescrivono, strutturando il ragionamento pratico.

Zoltán Kövecses ha esteso l'analisi mostrando che metafore diverse per lo stesso target domain evidenziano aspetti diversi. AMORE È VIAGGIO ("We're at a crossroads", "relationship isn't going anywhere") evidenzia la progressione e sviluppo della relazione. AMORE È FOLLIA ("I'm crazy about her", "madly in love") evidenzia l'irrazionalità e perdita di controllo. AMORE È MAGIA ("She cast her spell on me", "I'm enchanted") evidenzia il potere misterioso e la trasformazione. Nessuna singola metafora cattura completamente il concetto complesso AMORE; utilizziamo un repertorio di metafore che evidenziano aspetti complementari.

Le metafore orientazionali costituiscono una classe speciale che struttura interi sistemi concettuali in termini spaziali. FELICE È SU, TRISTE È GIÙ si manifesta in "I'm feeling up", "My spirits rose", "I'm feeling down", "I fell into a depression". Queste metafore hanno verosimilmente base esperienziale: la postura fisica eretta correlata con stati positivi (salute, vigore), postura cadente con stati negativi (malattia, morte). CONSCIO È SU, INCONSCIO È GIÙ: "wake up", "fall asleep", "sink into unconsciousness". SALUTE È SU, MALATTIA È GIÙ: "in peak condition", "in top shape", "decline in health", "come down with flu".

Blending Theory: Fauconnier e Turner

Gilles Fauconnier e Mark Turner, nella loro Conceptual Integration Theory o Blending Theory (2002), proposero un modello più generale e dinamico di come gli spazi mentali vengono combinati per generare significato emergente. Mentre la teoria di Lakoff-Johnson enfatizza mappature unidirezionali da source a target domain, il blending coinvolge la fusione di molteplici input spaces per creare un blended space con struttura emergente non presente in nessun input.

Il modello di base coinvolge quattro spazi mentali: due (o più) input spaces, un generic space che contiene struttura condivisa dagli inputs, e un blended space dove elementi dagli inputs vengono selettivamente proiettati e fusi. L'esempio classico è "That surgeon is a butcher" (Quel chirurgo è un macellaio). Input space 1 contiene la scena del chirurgo operante, input space 2 la scena del macellaio tagliante carne. Il generic space contiene la struttura astratta condivisa: agente che usa strumento tagliente su entità organica. Nel blended space, emergono inferenze non direttamente presenti negli inputs: il chirurgo opera

con incompetenza brutale simile al macellaio, c'è danno eccessivo, mancanza di cura e precisione.

Crucialmente, il blend sviluppa struttura emergente attraverso tre processi: composizione (elementi dagli inputs sono giustapposti nel blend), completamento (frame e schemi cognitivi noti riempiono il blend con struttura addizionale), ed elaborazione (il blend viene "eseguito" mentalmente generando nuova struttura). Nell'esempio del chirurgo-macellaio, il blend viene elaborato: immaginiamo il chirurgo trattare il paziente come il macellaio tratta una carcassa, con conseguente ribrezzo e implicazioni negative.

Il blending è particolarmente potente per comprendere costrutti creativi e innovativi. Consideriamo "computer virus" (virus informatico). Input 1: dominio biologico dei virus (entità biologiche che infettano cellule, si replicano, causano malattia). Input 2: dominio dei programmi informatici. Nel blend, emergiamo un nuovo concetto: programmi che "infettano" sistemi, si "replicano" autonomamente, causano "malattia" (malfunzionamento). Il blend eredita struttura causale dal dominio biologico ma la applica a entità computazionali, generando comprensione di fenomeni informatici nuovi attraverso analogia con fenomeni biologici familiari.

Gli esempi divengono ancora più affascinanti con blend multipli e ricorsivi. Fauconnier e Turner analizzano "In France, Watergate wouldn't have hurt Nixon" (In Francia, Watergate non avrebbe danneggiato Nixon). Questa frase comprime tre scenari controfattuali: Nixon come presidente in Francia (blend di sistemi politici americano e francese), lo scandalo Watergate trasportato in questo scenario ibrido, e la valutazione che le norme politiche francesi avrebbero impedito conseguenze negative. Il blend richiede integrare conoscenza di entrambi i sistemi politici, norme culturali diverse, e eseguire una simulazione controfattuale nel spazio integrato.

Grammaticalizzazione: Dalla Metafora alla Grammatica

La grammaticalizzazione rappresenta un processo evolutivo attraverso cui elementi lessicali con significato pieno si trasformano in marcatori grammaticali con funzione principalmente strutturale. Questo processo diacronico fornisce evidenze concrete di come trasformazioni metaforiche si solidificano nella grammatica delle lingue nel corso dei secoli. La traiettoria tipica procede: item lessicale → item grammaticale → affisso flessionale, con progressivo bleaching (sbiancamento) semantico e aumento della obbligatorietà sintattica.

L'evoluzione del futuro nelle lingue romanze illustra perfettamente questo processo. Il latino classico esprimeva futuro attraverso desinenze flessionali: "amabo" (amerò), "leges" (leggerai). Nel latino tardo e nelle varietà proto-romanze, queste forme si sono erose e sostituite da costruzioni perifrastiche con il verbo "habere" (avere) più infinito: "amare habeo" (letteralmente "ho da amare", "devo amare"). Questa costruzione inizialmente esprimeva obbligazione o intenzione, ma attraverso uso ripetuto e riduzione fonetica si è grammaticalizzata in marcatore di tempo futuro. In italiano, la forma è diventata sintetica attraverso fusione: "amare habeo" → "amarò", dove l'antica forma di "habere" (ho, hai, ha...) è riconoscibile nei suffissi futuri (-rò, -rai, -rà...).

Parallelamente, l'italiano (come francese, spagnolo) ha sviluppato una nuova costruzione perifrastica per il futuro prossimo utilizzando il verbo di movimento "andare": "sto per partire",

"vado a mangiare". In inglese, "going to" ha subito grammaticalizzazione simile: originariamente esprimeva movimento fisico con proposito ("I'm going [there] to see him"), ma si è grammaticalizzato in marcatore di futuro intenzionale, con riduzione fonetica colloquiale a "gonna" che riflette lo status grammaticalizzato. La forma piena "be going to + infinitive" conserva tracce della costruzione originaria ma ha perso la semantica di movimento: "It's going to rain" non implica che la pioggia si stia fisicamente muovendo verso un obiettivo.

Il processo di grammaticalizzazione segue percorsi metaforici ricorrenti attraverso le lingue, suggerendo universali cognitivi nel modo in cui concettualizziamo domini astratti. Domini sorgente comuni per grammaticalizzazione includono:

- Verbi di movimento → marcatori di tempo/aspetto (andare → futuro; venire → passivo/perfetto in varie lingue)
- Verbi posizionali → marcatori di aspetto progressivo (stare, sedere → progressivo in molte lingue)
- Verbi possessivi → marcatori di perfetto (avere + participio → perfetto nelle lingue romanze e germaniche)
- Parti del corpo → marcatori grammaticali (testa → marcatore di possessione; occhio → preposizione "davanti" in varie lingue africane)
- Termini spaziali → marcatori temporali e grammaticali (davanti, dietro → passato, futuro)

Hopper e Traugott (2003) hanno identificato meccanismi ricorrenti nella grammaticalizzazione. La metaforizzazione coinvolge mappature da domini concreti a astratti: spazio → tempo ("davanti a noi" in senso temporale "nel nostro futuro"), possesso concreto → relazioni astratte ("ho un'idea" da possesso fisico a possesso mentale). La metonimizzazione coinvolge rianalisi di contiguità: marcatori enfatici diventano negazioni (francese "pas" originariamente "passo", usato per enfasi in negazioni "ne... pas", poi rianalizzato come marcatore negativo stesso, con "ne" opzionale nel francese colloquiale).

La riduzione fonetica accompagna tipicamente grammaticalizzazione, riflettendo maggiore frequenza e perdita di prominenza semantica. "Will" in inglese si riduce a "'ll" nelle contrazioni ("I'll"), "going to" diventa "gonna", ausiliari italiani si riducono (colloquialmente "sono andato" può diventare "son andato" o "sò andato"). Questa erosione fonetica correla con fissazione sintattica: mentre lessemi pieni godono di mobilità posizionale, elementi grammaticalizzati diventano progressivamente fissi, occupando posizioni funzionali specifiche nella struttura frasale.

Capitolo 11: Cambiamento Linguistico - La Dinamica Temporale delle Trasformazioni

La Grande Rotazione Vocalica: Trasformazioni Fonologiche a Catena

Il Great Vowel Shift, la Grande Rotazione Vocalica dell'inglese medio (approssimativamente 1400-1700), costituisce uno degli esempi meglio documentati e più drammatici di cambiamento fonologico sistematico. In questo processo, le vocali lunghe dell'inglese medio

subirono un innalzamento sistematico: vocali medie divennero alte, vocali alte si dittongarono. La trasformazione non fu isolata ma procedette come una reazione a catena, dove il movimento di una vocale nello spazio articolatorio creava pressione su vocali adiacenti, innescando spostamenti successivi.

Prima del Great Vowel Shift, l'ortografia inglese rifletteva relativamente fedelmente la pronuncia. La vocale in "bite" (mordere) si pronunciava /iː/ (come la "i" italiana lunga), "meet" (incontrare) si pronunciava /eː/ (come "é" francese), "mate" (compagno) era /aː/, "boot" (stivale) era /oː/, "boat" (barca) era /ɔː/. Il shift trasformò sistematicamente:

- /iː/ → /aɪ/ (dittongo, come "ai" in italiano "mai"): bite, mice, shine
- /uː/ → /aʊ/ (dittongo, come "au"): house, mouse, out
- /eː/ → /iː/: meet, street, feed
- /oː/ → /uː/: boot, root, food
- /ɛː/ → /iː/ (dopo fusione con /eː/): meat, sea, bean
- /aː/ → /eː/ (poi successivamente /eɪ/): mate, make, name
- /ɔː/ → /oː/ (poi /oʊ/): boat, road, hope

Il risultato è la profonda opacità ortografica dell'inglese moderno: l'ortografia riflette pronuncia pre-shift, mentre la pronuncia odierna ha subito trasformazioni radicali. La coppia "great" e "break" hanno ortografia simile (-ea-) ma pronuncia divergente (/eɪ/ versus /eɪ/), mentre "meet" e "meat" hanno ortografia diversa (-ee- versus -ea-) ma pronuncia identica (/iː/), riflettendo la fusione di /eː/ ed /ɛː/.

La natura "a catena" del cambiamento suggerisce che il sistema fonologico mantiene equilibri strutturali: quando una vocale si sposta, crea uno "spazio vuoto" che può essere riempito da altra vocale, o invade lo "spazio" di un'altra vocale, costringendola a spostarsi. I linguisti distinguono push chains (catene a spinta), dove il movimento di una vocale spinge vocali adiacenti, da drag chains (catene a trascinamento), dove il movimento di una vocale lascia uno spazio vuoto che "trascina" altre vocali. Il Great Vowel Shift probabilmente iniziò con l'innalzamento delle vocali medie alte /eː/ e /oː/, che invase lo spazio delle vocali alte /iː/ e /uː/, costringendole a dittongarsi per mantenere contrasto fonologico.

La diffusione geografica e sociale del Great Vowel Shift fu complessa e non uniforme. Il cambiamento si originò verosimilmente nelle varietà meridionali e si diffuse gradualmente verso nord, con il nord dell'Inghilterra e la Scozia rimanendo parzialmente non affetti (da cui le differenze pronuncia tra inglese standard e scots). La diffusione seguì patterns sociali: classi urbane mercantili adottarono il cambiamento prima delle popolazioni rurali, creando variazione diastratica che persistette per secoli.

Grammaticalizzazione Diacronica: Dal Lessico alla Grammatica

Abbiamo già discusso la grammaticalizzazione come processo sincronico-diacronico, ma vale approfondire esempi specifici che illustrano la trasformazione graduale da elementi lessicali a marcatori grammaticali. Il ciclo di Jespersen, denominato dal linguista danese Otto Jespersen, descrive un pattern ricorrente nell'evoluzione della negazione: una particella negativa originariamente forte si indebolisce e viene rinforzata da elemento enfatico, che gradualmente diventa il principale marcatore negativo, innescando il ciclo nuovamente.

In francese, il latino "non" si ridusse foneticamente a "ne": "Je ne sais" (io non so). Per rafforzare l'espressione negativa, si aggiunsero elementi enfatici originariamente nominali: "pas" (passo), "point" (punto), "mie" (briciola), "goutte" (goccia). "Je ne sais pas" originariamente significava letteralmente "Io non so [un] passo", poi "pas" si grammaticalizzò come marcatore negativo standard. Nel francese colloquiale contemporaneo, "ne" diventa spesso opzionale ("Je sais pas"), con "pas" che ha completato la trasformazione da enfatico nominale a marcatore negativo principale, e il ciclo potenzialmente si prepara a ricominciare.

La formazione di ausiliari modali illustra percorsi simili. Gli ausiliari modali inglesi (can, could, may, might, shall, should, will, would, must) storicamente derivavano da verbi pieni con semantica concreta. "Can" derivava da Old English "cunnan" (sapere, essere capace), ancora imparentato con "know". "Will" derivava da verbo volitivo (volere, desiderare). "Shall" originariamente significava "essere obbligato, dovere". Attraverso grammaticalizzazione, questi verbi hanno perso gradualmente le proprietà dei verbi pieni: non flettono più per persona in terza singolare (*"he cans"), non prendono -ing (*"willing" nel senso modale), non possono apparire all'infinito (*"to can"), governano infinito nudo senza "to" ("can go", non *"can to go").

Il processo procedette attraverso stadi graduali. I verbi modali originariamente potevano prendere complementi nominali diretti: Old English "ic can Englisc" (io so l'inglese), ma progressivamente si specializzarono per governare complementi frasali infinitivi. La semantica si astrasse: da abilità fisica ("can" = fisicamente capace) a abilità generale e permesso modale; da volizione concreta ("will" = desidero) a futuro temporale e predizione. La riduzione fonetica accompagnò: "will" si contrasse a "'ll", forme complete si ridussero ("cannot" → "can't").

Semantic Shift: La Deriva dei Significati

Il cambiamento semantico, la trasformazione del significato delle parole attraverso il tempo, manifesta patterns ricorrenti che rivelano processi cognitivi sottostanti. I linguisti storici hanno identificato varie categorie di shift semantico.

L'ampliamento (broadening) espande l'applicazione di un termine. "Dog" in Old English significava specificamente una particolare razza di cane (simile a mastiff), ma si è ampliato a denotare tutti i cani. "Holiday" originariamente significava "holy day" (giorno sacro), giorni di osservanza religiosa, ma si è ampliato a significare qualsiasi giorno di riposo o vacanza. "Barn" derivava da "barley-aern" (luogo per orzo), specificamente un deposito per orzo, ma si è generalizzato a qualsiasi edificio agricolo per stoccaggio.

Il restringimento (narrowing) restringe l'applicazione. "Meat" in Old English significava cibo in generale ("mete"), ma si è ristretto a significare specificamente carne animale. "Deer" significava animale in generale (ancora riconoscibile in tedesco "Tier" = animale), ma si è ristretto al cervide. "Girl" nell'inglese medio significava giovane persona di qualsiasi genere, poi si è ristretto a giovane femmina.

L'ameliorazione eleva il valore sociale o emotivo. "Nice" derivava dal latino "nescius" (ignorante), attraverso francese "nice" (stupido, sciocco), ma gradualmente assunse connotazioni positive fino al significato moderno (piacevole, gradevole). "Knight"

originariamente significava servo, ragazzo (Old English "cniht"), ma con l'evoluzione del sistema feudale acquisì connotazioni di nobiltà e onore.

La peggiorazione abbassa il valore. "Silly" originariamente significava benedetto, fortunato (Old English "sælig"), poi innocente, semplice, infine stupido. "Villain" derivava da "villano" (abitante di villa, contadino), termine neutro che acquisì connotazioni negative di rozzezza e malvagità. "Vulgar" dal latino "vulgaris" (comune, del popolo) divenne termine peggiorativo.

Il caso di "gay" illustra drammatico cambiamento semantico nel XX secolo. Originariamente significava felice, spensierato, brillante (dal francese antico "gai"). Nel XIX secolo acquisì connotazioni di libertinaggio e immoralità ("gay woman" = prostituta, "gay house" = bordello). Nel XX secolo divenne eufemismo per omosessuale, inizialmente nell'argot omosessuale stesso, poi diffondendosi al linguaggio generale. Alla fine del XX secolo, "gay" come "omosessuale" aveva largamente soppiantato il significato originario di "felice", esempio notevole di completa trasformazione semantica in meno di un secolo.

La metafora guida molti shift semantici. Termini per luminosità fisica diventano termini per intelligenza: "bright" (luminoso → intelligente), "brilliant" (brillante → molto intelligente). Termini spaziali diventano temporali: "before" originariamente solo spaziale (davanti) diventa temporale (precedente). Termini per percezione fisica diventano emotivi/cognitivi: "see" (vedere → capire), "grasp" (afferrare → comprendere), "feel" (toccare → sentire emotivamente).

Phonological Mergers: La Perdita di Contrasti

Le fusioni fonologiche rappresentano trasformazioni irreversibili dove fonemi precedentemente distinti collassano in un unico fonema. Una volta che una fusione è completa, il contrasto è perso e estremamente difficile da recuperare. Il cot-caught merger, in corso in molte varietà americane dell'inglese, fonde la vocale di "cot" /ɑ/ con quella di "caught" /ɔ/, risultando in omofonia: cot = caught, Don = Dawn, bot = bought. Per parlanti post-merger, queste coppie sono identiche foneticamente, mentre per parlanti pre-merger rimangono distinte.

Le fusioni tipicamente cominciano in particolari contesti fonetici e si diffondono gradualmente. Il horse-hoarse merger (fusione di /or/ e /ohr/) è completo per la maggioranza dei parlanti inglesi: "horse" e "hoarse" sono ora omofoni /hɔrs/ (o /hɔːs/). Storicamente, "hoarse" aveva vocale lunga /oː/ mentre "horse" aveva /ɔ/, ma il contrasto è collassato.

L'inglese contemporaneo sta sperimentando varie fusioni in progresso con distribuzione geografica variabile:

- Wine-whine merger: fusione di /w/ e /hw/ (iniziale aspirato). Per molti parlanti, "wine" = "whine", "witch" = "which". Alcuni parlanti, particolarmente nel sud degli USA e Scozia, mantengono la distinzione.
- Marry-merry-Mary merger: fusione delle vocali pre-rhotica. Molti parlanti americani pronunciano queste tre parole identicamente, mentre altri mantengono distinzioni.
- Pin-pen merger: prima di nasale /n/, /ɪ/ e /ɛ/ fondono in alcune varietà meridionali americane: "pin" = "pen".

La distribuzione geografica delle fusioni crea shibboleths, marcatori che rivelano origine regionale del parlante. La domanda "Come pronunci 'caught' e 'cot'?" può identificare rapidamente se il parlante proviene da regione con o senza la fusione.

Forze del Cambiamento: Deriva, Contatto, Economia

Il cambiamento linguistico è guidato da forze multiple, spesso in competizione. La deriva linguistica, concetto introdotto da Edward Sapir, suggerisce che le lingue hanno tendenze intrinseche verso certi tipi di cambiamento dovute alla loro struttura interna. Sapir notò che lingue imparentate spesso sviluppano innovazioni simili indipendentemente, suggerendo predisposizioni strutturali condivise. Le lingue germaniche hanno mostrato deriva comune verso riduzione fonetica, semplificazione flessionale, e ordine costituenti più fisso, anche in varietà che si erano separate da secoli.

Il contatto linguistico genera cambiamento attraverso prestito lessicale, calco strutturale, e interferenza. L'inglese ha assorbito enormi quantità di lessico francese dopo la conquista normanna (1066), stimato che il 40-50% del vocabolario inglese contemporaneo abbia origine francese o latina. Ma oltre al prestito lessicale, il contatto può influenzare fonologia (prestiti possono introdurre fonemi non nativi), morfosintassi (calchi di costruzioni), e persino tipologia basica. Lingue balcaniche (greco, albanese, rumeno, bulgaro) hanno sviluppato convergenza strutturale (Balkan Sprachbund) attraverso secoli di contatto intenso, sviluppando caratteristiche condivise assenti nelle lingue imparentate fuori dall'area: perdita dell'infinito, formazione identica del futuro, articolo post-nominale.

L'economia articolatoria e l'efficienza comunicativa creano pressioni per riduzione fonetica e semplificazione morfologica. Forme frequentemente usate tendono a ridursi: "God be with you" → "goodbye", "I am going to" → "I'm gonna". La legge di Zipf suggerisce che lunghezza delle parole correla inversamente con frequenza: parole più frequenti sono tipicamente più corte. Le lingue tendono verso equilibrio tra riduzione (economia per il parlante) e distinguibilità (chiarezza per l'ascoltatore).

Tuttavia, forze contrastanti resistono alla riduzione: la necessità di mantenere contrasti fonologici, pressioni sociali per conservatorismo linguistico (particolarmente in varietà standard), e processi di rinnovamento lessicale e morfologico che creano nuove complessità anche mentre altre sono semplificate. La grammaticalizzazione crea nuove forme flessionali mentre vecchie si erodono, mantenendo le lingue in stato di equilibrio dinamico piuttosto che progressiva semplificazione.

Il cambiamento linguistico non è teleologico né progressivo: le lingue non "migliorano" ma semplicemente cambiano, adattandosi continuamente alle esigenze comunicative delle comunità che le parlano. Le trasformazioni diacroniche rivelano la natura fondamentalmente dinamica del linguaggio, sistema in perenne evoluzione piuttosto che codice statico.

SEZIONE IV: TRASFORMAZIONI PERCETTIVE E COGNITIVE

Capitolo 12: Gestalt e la Reversione Figura-Sfondo

L'Enigma della Percezione Ambigua

Quando i nostri occhi si posano sulla celebre coppa di Rubin, qualcosa di straordinario accade nel teatro della coscienza. L'immagine rimane identica, i fotoni colpiscono la retina sempre nello stesso modo, eppure la nostra esperienza percettiva subisce una metamorfosi radicale. Ora vediamo un elegante calice bianco su sfondo nero, un istante dopo due profili umani che si fronteggiano, lasciando tra loro uno spazio vuoto. La stessa configurazione di luce e ombra genera due realtà percettive mutuamente esclusive, eppure entrambe perfettamente valide, entrambe completamente coerenti nella loro struttura fenomenologica.

Questo fenomeno, che Edgar Rubin descrisse nel suo trattato del 1915 "Synsoplevede Figurer", rappresenta molto più di una curiosità psicologica o di un divertissement da salotto intellettuale. La coppa di Rubin costituisce una finestra privilegiata sui meccanismi costruttivi della percezione, un esperimento naturale che svela come il nostro sistema nervoso non si limiti a registrare passivamente gli stimoli sensoriali, ma operi continue scelte interpretative, trasformando il dato grezzo in esperienza significativa attraverso processi di organizzazione attiva.

La reversione figura-sfondo che caratterizza questa immagine bistabile rivela un principio fondamentale dell'architettura percettiva: il cervello non può processare simultaneamente due interpretazioni incompatibili dello stesso stimolo. Anche se l'informazione visiva contiene potenzialmente entrambe le configurazioni, la nostra coscienza può ospitarne soltanto una alla volta. Quando la coppa emerge come figura, i profili regrediscono allo status di sfondo indifferenziato. Quando i volti acquistano prominenza percettiva, il vaso svanisce nell'anonimato dello spazio negativo. Questa alternanza non è sotto il controllo volontario completo: possiamo facilitarla con l'attenzione, ma non possiamo vedere contemporaneamente vaso e volti, non possiamo costringere il sistema a mantenere stabilmente una delle due interpretazioni contro la sua naturale tendenza alla fluttuazione.

Le Leggi della Gestalt e l'Organizzazione Percettiva

Per comprendere appieno il fenomeno della reversione figura-sfondo, dobbiamo immergerci nei principi che governano l'organizzazione percettiva secondo la scuola della Gestalt. Questa corrente, fiorita nella Germania degli anni Venti attraverso il lavoro pionieristico di Max Wertheimer, Wolfgang Köhler e Kurt Koffka, propose una rivoluzione concettuale nella comprensione della percezione, riassumibile nell'aforisma divenuto celebre: "Il tutto è più della somma delle parti".

Gli psicologi della Gestalt identificarono una serie di principi attraverso cui il sistema visivo organizza gli elementi sensoriali in configurazioni coerenti. Il principio di prossimità suggerisce che elementi vicini nello spazio tendono a essere raggruppati percettivamente. Il principio di somiglianza opera un'analoga aggregazione basata sulla condivisione di attributi come colore, forma o orientamento. Il principio di continuità favorisce l'interpretazione che preserva linee e curve fluide piuttosto che angolazioni brusche o interruzioni. Il principio di chiusura spinge il sistema a completare figure parzialmente occultate, a riempire i gap per creare forme chiuse e definite.

Ma è forse il principio di figura-sfondo quello più fondamentale e pervasivo. Esso stabilisce che il campo visivo viene inevitabilmente segmentato in oggetti di interesse percettivo, le figure, che emergono da un contesto indifferenziato, lo sfondo. Questa dicotomia non è una proprietà intrinseca dello stimolo, ma il risultato di un processo interpretativo. La figura acquista caratteristiche fenomenologiche specifiche: appare dotata di forma definita, localizzata spazialmente, più vicina all'osservatore. Lo sfondo, al contrario, sembra estendersi dietro la figura in modo continuo e informe, privo di confini netti, più distante e meno memorabile.

Nella coppa di Rubin, l'ambiguità nasce proprio dall'impossibilità di determinare oggettivamente quale regione dello stimolo debba fungere da figura e quale da sfondo. Il contorno condiviso tra la zona bianca centrale e le aree nere laterali può essere assegnato al vaso oppure ai profili, ma questa assegnazione è mutuamente esclusiva. Il confine appartiene percettivamente alla figura, definendone la forma e i dettagli. Quando vediamo il calice, il contorno sinuoso delinea i suoi eleganti bordi laterali. Quando emergiamo i volti, quello stesso contorno traccia i profili delle fronti, dei nasi, delle labbra e dei menti.

La Dinamica Temporale della Reversione

L'esperienza soggettiva della coppa di Rubin non è statica. Anche quando cerchiamo di mantenere stabile una delle due interpretazioni, dopo alcuni secondi il sistema tende spontaneamente a fluttuare verso l'alternativa. Questa instabilità percettiva, lungi dall'essere un difetto del sistema visivo, rappresenta una caratteristica adattiva cruciale. Un meccanismo che rimanesse rigidamente ancorato a una singola interpretazione dello stimolo ambiguo perderebbe informazione potenzialmente rilevante sull'ambiente.

Gli studi psicofisici hanno caratterizzato con precisione la dinamica temporale di questa reversione. In condizioni standard di osservazione, la durata media di ciascuna percepzione stabile si aggira intorno ai tre-cinque secondi, con variabilità considerevole sia tra individui diversi che nelle successive reversioni della stessa persona. La distribuzione statistica dei tempi di permanenza segue approssimativamente una funzione gamma, con una coda destra pronunciata che indica la presenza occasionale di fasi di stabilità più prolungate.

Diversi fattori modulano la frequenza della reversione. L'attenzione focalizzata su una specifica interpretazione può prolungarne temporaneamente la durata, anche se non può prevenire indefinitamente il ribaltamento. L'affaticamento percettivo gioca un ruolo significativo: dopo aver mantenuto per un periodo prolungato una delle due configurazioni, il sistema tende a passare più rapidamente all'alternativa, come se le popolazioni neurali coinvolte nella codifica della prima interpretazione subissero un processo di adattamento o saturazione. La conoscenza pregressa e il contesto semantico influenzano la dominanza relativa delle due percepzioni: se la coppa viene presentata in un contesto che evoca oggetti domestici, tende a prevalere l'interpretazione del vaso, mentre cornici sociali o riferimenti al volto umano favoriscono l'emergenza dei profili.

Particolarmente interessante è il fenomeno della competizione iniziale. Quando ci confrontiamo per la prima volta con l'immagine, quale delle due interpretazioni emergerà per prima? Questa scelta iniziale non è puramente casuale, ma riflette fattori come la direzione dello sguardo, l'orientamento spaziale dello stimolo, le aspettative percettive pregresse. Se

fissiamo inizialmente la regione centrale bianca, il vaso tende a dominare. Se invece lo sguardo cade prima sulle aree laterali scure, i profili acquistano priorità. Questa dipendenza dal punto di fissazione iniziale testimonia il ruolo cruciale dell'attenzione spaziale nell'organizzazione figura-sfondo.

Il Cubo di Necker e la Multistabilità Tridimensionale

La reversione percettiva non è limitata alla dimensione bidimensionale della distinzione figura-sfondo. Il cubo di Necker, una struttura wireframe disegnata con dodici linee che formano i bordi di un cubo visto in prospettiva isometrica, offre un esempio paradigmatico di multistabilità nell'interpretazione della profondità tridimensionale. Questa figura, pubblicata per la prima volta dal cristallografo svizzero Louis Albert Necker nel 1832, può essere percepita in due orientamenti spaziali distinti: con il quadrato inferiore sinistro come faccia anteriore oppure con il quadrato superiore destro in posizione frontale.

La peculiarità del cubo di Necker risiede nell'assenza totale di indizi pittorici sulla profondità relativa. Non vi sono gradienti di ombreggiatura, occlusioni, prospettiva atmosferica o altri marcatori monoculari che potrebbero disambiguare la configurazione tridimensionale. Le linee sono tutte dello stesso spessore e tonalità, i vertici sono geometricamente identici. Eppure, il nostro sistema visivo non può tollerare questa ambiguità: deve assegnare una struttura tridimensionale coerente alla figura, deve decidere quali facce sono davanti e quali dietro, quali spigoli sporgono verso l'osservatore e quali si allontanano.

Come per la coppa di Rubin, le due interpretazioni del cubo sono mutuamente esclusive e alternano spontaneamente. La frequenza di reversione è comparabile, nell'ordine dei pochi secondi per configurazione stabile. Ma qui emerge una complessità aggiuntiva: mentre nella coppa di Rubin la scelta riguarda essenzialmente l'assegnazione del confine, nel cubo di Necker l'intero sistema di relazioni spaziali viene ristrutturato. Quando il cubo si ribalta percettivamente, non è solo un singolo elemento a cambiare status, ma l'intera architettura delle distanze relative, delle posizioni assolute nello spazio egocentrico, della disposizione geometrica dei componenti.

Esperimenti che richiedono ai soggetti di tracciare manualmente le transizioni percettive rivelano che la reversione non è sempre istantanea. In alcuni casi si verificano stati transitori di instabilità, durante i quali la figura appare priva di coerenza tridimensionale, frammentata o impossibile. Questi momenti fugaci, della durata di poche centinaia di millisecondi, testimoniano il processo computazionale attraverso cui il sistema dismette una interpretazione e ne costruisce un'altra. Non si tratta di un semplice switch binario, ma di una transizione dinamica che passa attraverso configurazioni intermedie instabili.

La multistabilità del cubo di Necker ha ispirato un vasto corpus di ricerche sull'inferenza percettiva. Secondo l'interpretazione bayesiana della percezione, proposta in forma moderna da Hermann von Helmholtz già nel diciannovesimo secolo e formalizzata matematicamente negli ultimi decenni, il sistema visivo opera come un inferenza statistica ottimale. Di fronte a uno stimolo sensoriale ambiguo, esso genera ipotesi multiple sulla configurazione del mondo esterno che potrebbe aver prodotto quello stimolo, e assegna a ciascuna ipotesi una probabilità basata sulla sua compatibilità con i dati sensoriali e sulla sua plausibilità a priori.

Nel caso del cubo di Necker, entrambe le interpretazioni tridimensionali sono perfettamente compatibili con l'immagine retinica bidimensionale. Entrambe proiettano esattamente la stessa configurazione di linee sul piano dell'immagine. In assenza di informazioni disambiguanti, e assumendo distribuzioni a priori equivalenti per le due orientazioni, le probabilità posteriori risultano identiche. Il sistema oscilla tra le due ipotesi non perché non riesca a calcolare la soluzione corretta, ma perché non esiste una soluzione univocamente corretta. La reversione rappresenta l'esplorazione attiva dello spazio delle interpretazioni plausibili.

Altre Figure Bistabili: la Vecchia e la Giovane

Un terzo esempio canonico di percezione bistabile è fornito dall'immagine nota come "Mia suocera o mia moglie", pubblicata originariamente nel 1888 sulla rivista comica tedesca Fliegende Blätter e successivamente studiata sistematicamente dallo psicologo Edwin Boring negli anni Trenta. Questa figura può essere vista come il ritratto di una giovane donna elegante, con il volto girato di tre quarti, oppure come quello di una vecchia signora con naso prominente e mento sfuggente.

A differenza della coppa di Rubin, dove le due interpretazioni condividono lo stesso contorno ma gli assegnano significati diversi, qui la reversione comporta una riorganizzazione più radicale della mappatura tra caratteristiche visive e componenti semantiche. Quello che nell'interpretazione "giovane" corrisponde all'orecchio diventa, nell'interpretazione "vecchia", l'occhio. La collana della ragazza si trasforma nella bocca dell'anziana signora. Il mento delicato della prima è il naso adunco della seconda.

Questo tipo di bistabilità coinvolge quindi non solo processi di organizzazione figura-sfondo o di inferenza sulla struttura tridimensionale, ma anche meccanismi di riconoscimento degli oggetti e di categorizzazione semantica. La fluttuazione percettiva riflette l'attivazione alternante di rappresentazioni di alto livello, di schemi concettuali che forniscono un'interpretazione coerente dell'insieme delle caratteristiche visive.

Gli studi sulla percezione della figura vecchia-giovane hanno rivelato interessanti effetti del contesto e delle aspettative. Se i soggetti vengono precedentemente esposti a immagini di persone anziane, tendono a vedere prima l'interpretazione "vecchia". Se invece il priming coinvolge volti giovani, l'interpretazione corrispondente acquista dominanza iniziale. Questo dimostra che i processi top-down, guidati dalla conoscenza e dalle aspettative, modulano attivamente l'organizzazione percettiva, non limitandosi a ricevere passivamente i risultati dell'elaborazione bottom-up.

La latenza necessaria per identificare la seconda interpretazione, una volta scoperta la prima, varia considerevolmente tra individui. Alcune persone passano spontaneamente da una percezione all'altra nel giro di pochi secondi, come accade con la coppa di Rubin. Altri rimangono stabilmente ancorati alla prima interpretazione identificata, e richiedono suggerimenti espliciti o indicazioni verbali per scoprire l'alternativa. Questa variabilità interindividuale suggerisce differenze nelle strategie percettive, nella flessibilità cognitiva, forse anche in caratteristiche temperamentali legate all'apertura all'esperienza o alla tolleranza dell'ambiguità.

I Correlati Neurali della Bistabilità Percettiva

L'avvento delle neuroimmagini funzionali ha permesso di indagare i substrati neurali della percezione bistabile con una risoluzione spaziale e temporale senza precedenti. Gli studi di risonanza magnetica funzionale condotti negli ultimi due decenni hanno identificato una rete distribuita di aree corticali la cui attività correla con le transizioni percettive, offrendo indizi cruciali sui meccanismi computazionali sottostanti.

Le prime evidenze provengono da esperimenti con la rivalità binoculare, una forma di bistabilità in cui stimoli diversi vengono presentati separatamente ai due occhi. Quando l'occhio sinistro vede un pattern di linee verticali e il destro un pattern di linee orizzontali, la percezione non è una fusione dei due stimoli, ma un'alternanza: ora domina l'immagine presentata a un occhio, ora quella presentata all'altro. Questo paradigma è particolarmente utile perché permette di dissociare lo stimolo fisico, che rimane costante, dalle fluttuazioni della percezione soggettiva.

Gli studi di fMRI durante rivalità binoculare mostrano che l'attività nelle aree visive primarie, come V1, correla moderatamente con il contenuto della percezione consapevole. Quando domina lo stimolo presentato all'occhio destro, aumenta l'attività nei neuroni di V1 che ricevono input preferenzialmente da quell'occhio, e viceversa. Tuttavia, questa modulazione è relativamente debole e non spiega completamente la natura all-or-none della percezione fenomenologica.

Le correlazioni più robuste emergono nelle aree visive di ordine superiore. Le regioni della corteccia temporale inferiore sensibili alle facce mostrano incrementi sostanziali di attività quando i soggetti percepiscono un volto piuttosto che un pattern non-facciale nella rivalità binoculare. Le aree specializzate nella processazione del movimento, come MT/V5, si attivano intensamente quando domina percettivamente uno stimolo in movimento rispetto a uno statico. Queste osservazioni suggeriscono che la coscienza percettiva è più strettamente legata all'attività delle popolazioni neurali che codificano le proprietà di alto livello dello stimolo, piuttosto che alla semplice forza della rappresentazione retinotopica precoce.

Ma la scoperta più significativa riguarda la dinamica competitiva tra popolazioni neurali che codificano interpretazioni alternative. Secondo il modello della competizione mutua, proposto originariamente da Hugh Wilson e collaboratori, le diverse interpretazioni di uno stimolo bistabile sono rappresentate da assemblee neurali distinte che si inibiscono reciprocamente. Quando una popolazione è attiva, sopprime l'attività delle popolazioni concorrenti attraverso connessioni inibitorie, sia dirette che mediate da interneuroni GABAergici.

Questa architettura genera dinamiche di tipo winner-take-all: una delle popolazioni prevale, portando alla coscienza la corrispondente interpretazione percettiva, mentre le alternative vengono soppresse. La reversione spontanea emerge da due meccanismi complementari. Il primo è l'adattamento neurale: la popolazione dominante, mantenendo un livello elevato di attività per un periodo prolungato, accumula progressivamente processi di fatica, riduzione dell'eccitabilità, deplezione dei neurotrasmettitori. Il secondo è il rumore neurale intrinseco: le fluttuazioni stocastiche nell'attività delle diverse popolazioni possono occasionalmente

favorire una popolazione precedentemente soppressa, permettendole di superare la soglia necessaria per rovesciare la dominanza.

Modelli matematici basati su equazioni differenziali stocastiche catturano con notevole accuratezza la fenomenologia della bistabilità percettiva. Questi modelli descrivono l'evoluzione temporale dell'attività di due popolazioni neurali in competizione attraverso equazioni della forma:

dx/dt = -x + f(w_x x - w_i y + I + η(t)) dy/dt = -y + f(w_y y - w_i x + I + η(t))

dove x e y rappresentano i livelli di attività delle due popolazioni, f è una funzione di attivazione non lineare (tipicamente sigmoidale), w_x e w_y sono pesi sinaptici eccitatori ricorrenti all'interno di ciascuna popolazione, w_i quantifica la forza dell'inibizione reciproca, I è l'input sensoriale e η(t) rappresenta il rumore neurale.

Simulazioni numeriche di questi modelli riproducono le caratteristiche empiriche della reversione: l'alternanza spontanea tra stati dominanti, la distribuzione gamma dei tempi di permanenza, l'effetto dell'adattamento che accorcia progressivamente le fasi di stabilità. Manipolazioni dei parametri permettono di esplorare come variazioni nella forza dell'inibizione reciproca o nell'intensità del rumore influenzino la dinamica percettiva, generando predizioni testabili sperimentalmente.

Evidenze Elettrofisiologiche dalla Registrazione Singola

Le registrazioni elettrofisiologiche da neuroni singoli, condotte principalmente in primati non umani addestrati a segnalare le transizioni percettive durante rivalità binoculare, hanno fornito conferme dirette del modello competitivo. Nikos Logothetis e colleghi, in una serie di studi pioneristici condotti negli anni Novanta, hanno registrato l'attività di neuroni nelle aree visive di macachi mentre gli animali osservavano stimoli bistabili.

I risultati hanno mostrato che una frazione significativa di neuroni nelle aree temporali inferiori modula la propria attività in correlazione stretta con il contenuto della percezione consapevole dell'animale. Quando il macaco segnala di vedere lo stimolo preferito da un particolare neurone, quel neurone scarica a frequenza elevata. Quando l'animale riporta di percepire lo stimolo alternativo, lo stesso neurone riduce drasticamente la propria attività, nonostante l'input retinico rimanga invariato.

Questa correlazione tra attività neuronale e percezione soggettiva non è perfetta nelle aree visive precoci. In V1, molti neuroni continuano a rispondere agli attributi fisici dello stimolo indipendentemente da quale interpretazione domini la consapevolezza. Ma man mano che si ascende la gerarchia corticale, la frazione di neuroni che riflettono la percezione piuttosto che lo stimolo aumenta progressivamente, raggiungendo proporzioni elevate nelle aree associative come la corteccia parietale inferiore e il solco temporale superiore.

Le registrazioni simultanee da popolazioni di neuroni hanno inoltre rivelato pattern di sincronizzazione che correlano con le transizioni percettive. Quando un'interpretazione diventa dominante, i neuroni che la codificano tendono a sincronizzare le proprie scariche in finestre temporali dell'ordine dei 30-80 millisecondi, generando oscillazioni nella banda gamma (30-80 Hz). Questa sincronizzazione potrebbe costituire un meccanismo attraverso

cui assemblee neurali distribuite raggiungono la coerenza necessaria per imporre la propria interpretazione alla coscienza.

Il Ruolo della Corteccia Prefrontale

Oltre alle aree sensoriali e associative posteriori, un contributo cruciale alla bistabilità percettiva proviene dalla corteccia prefrontale. Studi di neuroimmagine mostrano consistentemente attivazione nelle regioni prefrontali dorsolaterali e ventrolaterali in corrispondenza delle transizioni percettive. Questa attivazione non sembra riflettere direttamente il contenuto della percezione, quanto piuttosto processi di selezione, controllo attentivo e mantenimento della rappresentazione dominante in memoria di lavoro.

Esperimenti che combinano stimolazione magnetica transcranica (TMS) con paradigmi di rivalità binoculare hanno dimostrato un ruolo causale della corteccia prefrontale nella dinamica percettiva. L'applicazione di TMS ripetitiva sulla corteccia prefrontale dorsolaterale destra accelera la frequenza di reversione, suggerendo che quest'area contribuisce alla stabilizzazione delle percezioni dominanti. Interferire con la sua attività riduce la durata media di ciascuna fase percettiva stabile, aumentando la frequenza con cui il sistema oscilla tra le interpretazioni alternative.

Questi risultati sono coerenti con l'idea che la percezione consapevole emerga dall'interazione tra rappresentazioni sensoriali nella corteccia posteriore e meccanismi di selezione e amplificazione nella corteccia prefrontale. Secondo questa prospettiva, molteplici rappresentazioni sensoriali competono per l'accesso a uno spazio di lavoro globale, implementato da circuiti fronto-parietali con connettività diffusa. L'interpretazione che riesce ad attivare sufficientemente questo spazio di lavoro globale diventa disponibile per la reportistica verbale, la memoria episodica e il controllo volontario dell'azione, acquisendo così lo status di contenuto consapevole.

Asimmetrie e Differenze Individuali

Non tutte le interpretazioni di uno stimolo bistabile godono di pari probabilità di dominanza percettiva. Asimmetrie sistematiche emergono da fattori sia di basso che di alto livello. Nella coppa di Rubin, molti osservatori riportano una leggera prevalenza dell'interpretazione del vaso rispetto ai profili facciali. Questo bias potrebbe riflettere una preferenza generale del sistema visivo per figure compatte e convesse rispetto a configurazioni concave o frammentate.

Nel cubo di Necker, l'orientazione spaziale dello stimolo influenza quale delle due interpretazioni tridimensionali prevale inizialmente. Se il cubo è posizionato in modo che una delle facce possibili si trovi nella parte inferiore del campo visivo, quella configurazione tende a essere preferita, compatibilmente con l'assunzione implicita che gli oggetti poggiano tipicamente su superfici orizzontali che si trovano sotto il punto di osservazione.

Per la figura vecchia-giovane, fattori demografici e culturali modulano la dominanza percettiva. Soggetti giovani tendono a identificare più rapidamente l'interpretazione della donna giovane, mentre osservatori anziani mostrano una leggera preferenza per la figura della vecchia signora. Questo suggerisce che gli schemi percettivi sono sintonizzati sulle

categorie socialmente rilevanti per l'osservatore, riflettendo l'esperienza accumulata con esemplari tipici di ciascuna categoria.

Differenze individuali sostanziali caratterizzano anche la frequenza spontanea di reversione. Alcuni individui sperimentano transizioni molto rapide, con alternanze ogni due o tre secondi. Altri mantengono ciascuna percezione per intervalli molto più lunghi, dell'ordine di dieci-venti secondi o oltre. Queste differenze correlano modestamente con tratti di personalità come l'apertura all'esperienza e la ricerca di novità, suggerendo che la flessibilità percettiva potrebbe riflettere caratteristiche più generali dello stile cognitivo.

Studi genetici hanno identificato variazioni nei sistemi neurotrasmettitoriali associati alla bistabilità percettiva. Polimorfismi nei geni che regolano il trasporto e il metabolismo della serotonina influenzano la frequenza di reversione nella rivalità binoculare. Manipolazioni farmacologiche confermano questi risultati: l'assunzione di agonisti serotoninergici tende ad aumentare la velocità delle transizioni percettive, mentre antagonisti la riducono. Questi effetti potrebbero essere mediati dall'influenza della serotonina sull'eccitabilità corticale e sul bilanciamento tra eccitazione e inibizione nelle reti neurali.

Bistabilità e Processi Decisionali

La percezione bistabile condivide meccanismi neurali e computazionali con altri processi di scelta e decisione. Quando un animale deve decidere tra due opzioni basandosi su evidenze sensoriali ambigue, popolazioni neurali che favoriscono le diverse alternative competono in modo analogo a quanto avviene nella percezione multistabile. L'accumulo di evidenza a favore di ciascuna opzione corrisponde all'integrazione temporale dell'attività delle rispettive popolazioni neurali, fino a quando una supera una soglia decisionale e determina la scelta comportamentale.

Modelli matematici di drift-diffusion, ampiamente utilizzati per descrivere i processi decisionali percettivi, possono essere adattati per catturare la dinamica della bistabilità. In questi modelli, una variabile decisionale evolve stocasticamente nel tempo, spinta dall'evidenza sensoriale e dal rumore, fino a raggiungere uno di due limiti che corrispondono alle scelte alternative. Nel contesto della bistabilità, il processo non termina con il raggiungimento di un limite, ma continua a oscillare tra i due stati a causa dell'adattamento e del rumore intrinseco.

Questa analogia suggerisce che la percezione consapevole possa essere intesa come il risultato di processi decisionali impliciti che operano continuamente per risolvere le ambiguità sensoriali e costruire un'interpretazione coerente del mondo. La coscienza percettiva non sarebbe quindi un riflesso passivo della realtà esterna, ma il prodotto di inferenze attive, di scommesse statistiche che il cervello effettua costantemente per dare senso al flusso incessante e intrinsecamente ambiguo di segnali sensoriali.

Implicazioni Filosofiche e Teoriche

La percezione bistabile pone sfide profonde a concezioni ingenue del realismo percettivo. Se la stessa immagine retinica può generare esperienze fenomenologiche radicalmente diverse, se il contenuto della coscienza può fluttuare drammaticamente senza alcun

cambiamento nello stimolo esterno, allora è evidente che la percezione non è una semplice registrazione della realtà, ma una costruzione attiva che dipende tanto dalle proprietà dello stimolo quanto dalle dinamiche interne del sistema nervoso.

Filosofi e neuroscienziati hanno dibattuto se le rappresentazioni neurali associate alle diverse interpretazioni bistabili siano tutte presenti simultaneamente nel cervello, con solo una alla volta che raggiunge la coscienza, oppure se le rappresentazioni alternative vengano effettivamente soppresse durante le fasi di dominanza dell'interpretazione concorrente. Le evidenze elettrofisiologiche favoriscono un modello intermedio: le popolazioni neurali che codificano l'interpretazione non dominante mantengono un certo livello di attività basale, ma questa è insufficiente per sostenere la consapevolezza fenomenologica. La transizione alla coscienza richiede il superamento di una soglia critica di attivazione e la capacità di ingaggiare le reti fronto-parietali globali.

Un'altra questione teorica riguarda il locus della bistabilità nella gerarchia processuale della visione. La reversione emerge già a livelli relativamente precoci dell'elaborazione visiva, come suggerito dalle modulazioni in aree come V1 durante la rivalità binoculare? Oppure la competizione avviene principalmente a stadi tardivi, coinvolgendo aree associative e meccanismi di alto livello? La risposta sembra essere che entrambi i livelli contribuiscono, ma con pesi diversi a seconda del tipo specifico di bistabilità. Per la rivalità binoculare, dove la competizione riguarda input separati ai due occhi, meccanismi di basso livello giocano un ruolo più prominente. Per stimoli come la figura vecchia-giovane, dove la bistabilità richiede interpretazioni semantiche alternative, i contributi di alto livello diventano dominanti.

Applicazioni Cliniche e Diagnostiche

Lo studio della percezione bistabile ha trovato applicazioni in contesti clinici e diagnostici. Alterazioni nella dinamica della reversione percettiva sono state documentate in diverse condizioni neurologiche e psichiatriche. Pazienti con disturbi dello spettro autistico mostrano spesso frequenze di reversione anomale, tipicamente ridotte, nella rivalità binoculare e in altri paradigmi bistabili. Questo potrebbe riflettere differenze nell'equilibrio eccitazione-inibizione nelle reti corticali, una caratteristica ipotizzata come centrale nella fisiopatologia dell'autismo.

Individui con schizofrenia esibiscono pattern di bistabilità alterati, con alcune evidenze di reversioni più rapide e irregolari. Questi risultati sono stati interpretati nel contesto di modelli che propongono disfunzioni nei meccanismi predittivi e inferenziali alla base della percezione. Secondo queste teorie, la schizofrenia comporterebbe un'attribuzione errata dei pesi assegnati alle predizioni top-down rispetto alle evidenze sensoriali bottom-up, generando distorsioni percettive e, nei casi estremi, allucinazioni.

Pazienti con lesioni focali della corteccia cerebrale offrono ulteriori indizi sui substrati neurali della bistabilità. Danni alla corteccia parietale posteriore destra possono alterare drasticamente la capacità di sperimentare reversioni percettive spontanee, suggerendo che quest'area è critica per la dinamica competitiva tra interpretazioni alternative. Lesioni prefrontali tendono invece ad aumentare la frequenza di reversione, coerentemente con il ruolo di queste regioni nella stabilizzazione delle rappresentazioni dominanti.

Percezione Bistabile e Coscienza

La bistabilità percettiva rappresenta un paradigma privilegiato per lo studio scientifico della coscienza. Essa permette di dissociare sperimentalmente lo stimolo fisico dall'esperienza soggettiva, creando condizioni in cui il contenuto della coscienza varia mentre l'input sensoriale rimane invariante. Questa dissociazione è fondamentale per identificare i correlati neurali della coscienza, distinguendo l'attività cerebrale che riflette meramente l'elaborazione dello stimolo da quella che sottende specificamente l'esperienza fenomenologica.

Gli studi sulla bistabilità hanno contribuito in modo decisivo alla formulazione e al test di teorie globali della coscienza. La teoria dello spazio di lavoro globale neuronale, proposta da Stanislas Dehaene e colleghi, predice che solo le rappresentazioni che riescono ad accedere a una rete fronto-parietale ampiamente distribuita diventano consapevoli. Le evidenze dalla percezione bistabile supportano questa predizione: le transizioni percettive si accompagnano a incrementi di connettività funzionale tra regioni sensoriali posteriori e aree prefrontali, come rivelato da analisi di coerenza nelle registrazioni elettroencefalografiche.

La teoria dell'informazione integrata, sviluppata da Giulio Tononi, offre una prospettiva complementare. Secondo questa teoria, la coscienza corrisponde a configurazioni di attività cerebrale che massimizzano simultaneamente l'integrazione e la differenziazione dell'informazione. Nella percezione bistabile, le due interpretazioni alternative costituiscono stati distinti altamente differenziati, ciascuno caratterizzato da un pattern specifico di attivazione neurale. La transizione da uno stato all'altro comporta una riorganizzazione globale della configurazione informazionale del sistema, compatibile con l'idea che la coscienza richieda integrazione su larga scala.

Oltre la Vista: Bistabilità in Altre Modalità Sensoriali

Sebbene gli esempi più celebri di percezione bistabile provengano dal dominio visivo, fenomeni analoghi si manifestano in altre modalità sensoriali. Nell'ambito uditivo, stimoli acustici ambigui possono generare reversioni percettive che ricordano quelle visive. Un esempio classico è il cosiddetto "verbal transformation effect": quando una parola o una sillaba vengono ripetute continuamente in un loop, dopo alcuni secondi gli ascoltatori iniziano a percepire parole diverse, non presenti oggettivamente nello stimolo.

Se facciamo ascoltare la sillaba "ba" ripetuta senza pause per un minuto, molte persone riportano di sentire spontaneamente trasformazioni in "da", "ga", "pa" o altre sillabe foneticamente correlate. Queste trasformazioni non riflettono cambiamenti fisici nel segnale acustico, ma emergono dalle dinamiche competitive tra rappresentazioni fonetiche nel sistema uditivo corticale. Come nella bistabilità visiva, l'adattamento neurale alle caratteristiche dello stimolo ripetuto destabilizza la percezione dominante, permettendo ad interpretazioni alternative di emergere temporaneamente.

Fenomeni di bistabilità si riscontrano anche nella percezione tattile. Stimoli vibratori applicati alla pelle con frequenze intermedie possono essere percepiti alternativamente come sensazioni di vibrazione continua oppure come serie discrete di impulsi. Pattern spaziali di stimolazione ambigui possono generare percezioni bistabili di movimento tattile, con la direzione apparente che si inverte spontaneamente.

Questi parallelismi cross-modali suggeriscono che i principi computazionali sottostanti la bistabilità percettiva siano generali, non specifici del sistema visivo. L'architettura di reti neurali in competizione reciproca, modulata da adattamento e rumore, potrebbe costituire un motivo organizzativo ricorrente nell'elaborazione sensoriale cerebrale, un meccanismo computazionale fondamentale attraverso cui il sistema nervoso gestisce l'ambiguità intrinseca dei segnali provenienti dal mondo esterno.

Sviluppo Ontogenetico della Percezione Bistabile

La capacità di sperimentare reversioni percettive spontanee non è completamente presente alla nascita, ma emerge gradualmente durante lo sviluppo. Studi su bambini piccoli hanno dimostrato che la frequenza e la regolarità delle reversioni nella rivalità binoculare aumentano progressivamente dall'infanzia all'adolescenza, stabilizzandosi solo nella tarda adolescenza o nella prima età adulta.

Bambini di quattro-cinque anni mostrano già reversioni percettive quando osservano stimoli come la coppa di Rubin o il cubo di Necker, ma la dinamica è spesso più lenta e meno regolare rispetto agli adulti. La durata media di ciascuna percezione stabile tende a essere più lunga, e la variabilità tra successive reversioni più pronunciata. Questi pattern potrebbero riflettere la maturazione progressiva dei circuiti inibitori corticali, che raggiungono la piena efficienza solo dopo l'adolescenza.

Particolarmente interessante è la correlazione tra lo sviluppo della bistabilità percettiva e la maturazione delle funzioni esecutive. Bambini con maggiore controllo attentivo e flessibilità cognitiva tendono a esibire dinamiche di reversione più simili a quelle adulte, suggerendo che meccanismi prefrontali di regolazione top-down contribuiscono alla modulazione della percezione bistabile già in età precoce.

L'educazione e l'esperienza influenzano la percezione bistabile. Individui con training artistico o esposizione estensiva a illusioni visive mostrano spesso maggiore facilità nell'identificare interpretazioni alternative di stimoli ambigui e maggiore controllo volontario sulle transizioni percettive. Questo dimostra che, sebbene i meccanismi di base della bistabilità siano determinati biologicamente, la loro espressione comportamentale è modulabile dall'apprendimento e dall'esperienza.

Connessioni con la Creatività e il Problem Solving

La capacità di percepire alternativamente configurazioni multiple nello stesso stimolo presenta analogie affascinanti con processi cognitivi di ordine superiore come la creatività e il problem solving. Il pensiero creativo spesso richiede la ristrutturazione di rappresentazioni mentali consolidate, la capacità di vedere problemi familiari da prospettive nuove, di identificare connessioni non ovvie tra concetti apparentemente distanti.

Alcuni ricercatori hanno proposto che i meccanismi neurali sottostanti la bistabilità percettiva potrebbero costituire un substrato per forme più astratte di flessibilità cognitiva. Se il cervello è capace di mantenere rappresentazioni alternative di uno stesso input sensoriale e di oscillare spontaneamente tra esse, meccanismi analoghi potrebbero operare a livelli più astratti, permettendo la coesistenza e l'alternanza tra schemi concettuali diversi.

Evidenze empiriche supportano parzialmente questa ipotesi. Individui con elevata creatività, misurata attraverso test di pensiero divergente, tendono a mostrare maggiore flessibilità nella percezione bistabile. La correlazione non è fortissima, ma è statisticamente significativa e suggerisce che fattori neurobiologici comuni potrebbero influenzare sia la dinamica percettiva che quella cognitiva di alto livello.

L'esperienza del momento "aha!" che accompagna l'insight nella soluzione di problemi presenta similitudini fenomenologiche con la reversione percettiva bistabile. In entrambi i casi, si verifica una riorganizzazione improvvisa e discontinua della rappresentazione mentale, che porta a una nuova comprensione o percezione. La transizione non è graduale ma piuttosto un salto discreto da uno stato a un altro. Nel problem solving, questo salto corrisponde alla ristrutturazione improvvisa del problema che rende evidente la soluzione. Nella percezione bistabile, esso corrisponde al ribaltamento da un'interpretazione all'altra.

La Bistabilità come Finestra sui Meccanismi dell'Attenzione

Gli studi sulla percezione bistabile hanno inoltre illuminato i meccanismi dell'attenzione selettiva. L'attenzione gioca un ruolo ambivalente nella dinamica della reversione. Da un lato, focalizzare volontariamente l'attenzione su una specifica interpretazione può prolungarne temporaneamente la durata, suggerendo che i segnali attentivi top-down amplificano l'attività delle popolazioni neurali rilevanti, rafforzandone la dominanza competitiva. Dall'altro, l'attenzione stessa può essere catturata dalle transizioni percettive: il momento della reversione tende ad evocare automaticamente uno shift attentivo, come se il sistema rilevasse un cambiamento saliente nell'ambiente che richiede processamento prioritario.

Esperimenti di doppio compito, in cui i soggetti devono svolgere un compito attentivamente impegnativo mentre osservano stimoli bistabili, mostrano che il carico attentivo influenza la dinamica di reversione. Quando le risorse attentive sono fortemente impegnate da un compito concorrente, la frequenza di reversione tende a diminuire, con ciascuna percezione che persiste più a lungo. Questo suggerisce che le transizioni percettive richiedono un certo livello di risorse attentive, forse perché il processo di sostituzione di una rappresentazione dominante con un'altra richiede controllo esecutivo.

Tuttavia, le reversioni non cessano completamente anche quando l'attenzione è massimamente distratta, indicando che meccanismi di livello inferiore, probabilmente legati all'adattamento neurale locale, contribuiscono alla bistabilità indipendentemente dalle risorse attentive centrali. Questa dissociazione suggerisce che la percezione bistabile emerge dall'interazione tra processi automatici, bottom-up e meccanismi controllati, top-down, ciascuno con contributi specifici alla dinamica complessiva.

Modulazione della Bistabilità attraverso Interventi Esterni

La dinamica della percezione bistabile può essere modulata attraverso vari interventi esterni, aprendo prospettive sia per la ricerca di base che per applicazioni potenziali. Stimolazioni sensoriali contestuali influenzano la probabilità relativa delle diverse interpretazioni. Presentare brevemente uno stimolo non ambiguo che favorisce semanticamente una delle

interpretazioni bistabili può biasare la percezione successiva dello stimolo ambiguo verso quella interpretazione.

Ad esempio, se prima di mostrare la figura vecchia-giovane si presenta un set di immagini di persone anziane, la probabilità che l'osservatore identifichi inizialmente la vecchia signora aumenta significativamente. Questo priming percettivo opera probabilmente attraverso la preattivazione delle rappresentazioni semantiche e delle aspettative corrispondenti, abbassando la soglia necessaria perché quella specifica interpretazione raggiunga la dominanza percettiva.

Anche stimolazioni emotive possono modulare la bistabilità. Indurre stati d'animo positivi o negativi attraverso stimoli affettivi influenza sia la frequenza di reversione che la dominanza relativa di interpretazioni emotivamente congruenti. In stati d'animo negativi, interpretazioni più minacciose o negative di stimoli ambigui tendono a prevalere, mentre stati positivi favoriscono interpretazioni benigne.

Interventi farmacologici permettono di manipolare sperimentalmente i sistemi neurotrasmettitoriali coinvolti. Oltre alla serotonina già menzionata, la dopamina gioca un ruolo cruciale. Agonisti dopaminergici tendono ad accelerare le reversioni, mentre antagonisti le rallentano. Questi effetti potrebbero riflettere l'influenza della dopamina sulla stabilità delle rappresentazioni in memoria di lavoro e sulla flessibilità cognitiva più in generale.

Anche sostanze che modulano il bilancio eccitazione-inibizione corticale influenzano la bistabilità. Il GABA, principale neurotrasmettitore inibitorio nel cervello, è cruciale per la competizione tra popolazioni neurali. Farmaci che potenziano la trasmissione GABAergica, come le benzodiazepine, tendono a stabilizzare le percezioni dominanti e ridurre la frequenza di reversione. Al contrario, interventi che riducono l'inibizione possono destabilizzare la percezione e aumentare la fluttuazione.

Prospettive Evolutive sulla Bistabilità

Da una prospettiva evolutiva, la presenza di meccanismi che generano instabilità percettiva spontanea potrebbe sembrare controintuitiva. Perché il sistema visivo dovrebbe fluttuare tra interpretazioni alternative invece di stabilizzarsi su quella corretta? Tuttavia, diverse considerazioni suggeriscono che la bistabilità potrebbe conferire vantaggi adattativi.

In primo luogo, in ambienti naturali genuinamente ambigui, esplorare multiple interpretazioni permette di evitare l'ancoraggio rigido a una rappresentazione potenzialmente errata. Un predatore mimetizzato nella vegetazione potrebbe inizialmente fondersi con lo sfondo, ma la tendenza del sistema a riorganizzare spontaneamente la segmentazione figura-sfondo potrebbe permetterne l'eventuale identificazione.

In secondo luogo, la bistabilità potrebbe essere un sottoprodotto inevitabile di architetture neurali ottimizzate per flessibilità e adattabilità. Reti neurali capaci di apprendimento rapido e di riorganizzazione in risposta a nuove esperienze devono necessariamente incorporare un certo grado di plasticità e instabilità. La bistabilità percettiva potrebbe riflettere il costo di questa flessibilità, un rumore intrinseco nei processi inferenziali che è il prezzo da pagare per un sistema capace di adattamento continuo.

Infine, i meccanismi della bistabilità potrebbero servire funzioni di vigilanza e campionamento ambientale. La tendenza a esplorare spontaneamente interpretazioni alternative impedisce che il sistema si ancori eccessivamente a rappresentazioni consolidate, mantenendo uno stato di allerta percettiva che potrebbe favorire la rilevazione di cambiamenti o anomalie nell'ambiente.

Metodologie Sperimentali Avanzate

Lo studio contemporaneo della percezione bistabile si avvale di metodologie sempre più sofisticate che permettono di sondare i meccanismi sottostanti con risoluzione senza precedenti. La magnetoencefalografia (MEG) offre risoluzione temporale nell'ordine dei millisecondi, permettendo di tracciare la cascata di eventi neurali che accompagnano le transizioni percettive. Studi MEG hanno rivelato che le reversioni sono precedute, con circa duecento-trecento millisecondi di anticipo, da cambiamenti nell'attività delle aree parietali posteriori, suggerendo che queste regioni potrebbero iniziare il processo di riorganizzazione percettiva prima che esso raggiunga la consapevolezza.

La stimolazione transcranica a corrente diretta (tDCS) permette di modulare l'eccitabilità di specifiche regioni corticali in modo non invasivo. Applicando correnti anodiche o catodiche sulla corteccia visiva o prefrontale durante compiti di bistabilità percettiva, i ricercatori hanno dimostrato che è possibile accelerare o rallentare le reversioni, fornendo evidenze causali sui ruoli funzionali delle diverse aree cerebrali.

Tecniche di decodifica multivariata applicate ai dati di fMRI permettono di "leggere" il contenuto della percezione direttamente dai pattern di attivazione cerebrale. Utilizzando algoritmi di machine learning addestrati a distinguere i pattern neurali associati alle diverse interpretazioni bistabili, è possibile predire con accuratezza superiore al caso quale percezione un soggetto sta sperimentando in un dato momento, anche prima che esso lo riporti esplicitamente.

Approcci optogenetici in modelli animali stanno iniziando a permettere la manipolazione causale di specifiche popolazioni neurali con precisione temporale di millisecondi e specificità cellulare. Sebbene queste tecniche non siano applicabili in esseri umani, esperimenti su roditori e primati non umani stanno chiarendo i circuiti precisi e i tipi cellulari coinvolti nella competizione percettiva e nelle transizioni tra stati.

Verso una Teoria Unificata

L'accumulazione di evidenze sperimentali sulla percezione bistabile sta gradualmente convergendo verso una teoria unificata che integra livelli multipli di spiegazione, dai meccanismi molecolari delle sinapsi individuali alle dinamiche di reti cerebrali su larga scala.

A livello sinaptico, processi di depressione a breve termine, causati dalla deplezione delle vescicole di neurotrasmettitore, contribuiscono all'adattamento neurale che destabilizza le rappresentazioni dominanti. La plasticità sinaptica dipendente dall'attività modula la forza delle connessioni in base alla storia recente di attivazione, implementando una sorta di memoria implicita degli stati percettivi precedenti.

A livello di circuiti locali, l'architettura di connessioni eccitatorie ricorrenti e inibitorie reciproche crea dinamiche attrazionali che stabilizzano stati discreti corrispondenti alle diverse interpretazioni. La competizione emerge naturalmente dall'interazione tra queste forze stabilizzanti e le perturbazioni causate da adattamento e rumore.

A livello di sistemi, l'interazione tra corteccia sensoriale posteriore e reti fronto-parietali implementa un ciclo di selezione e amplificazione che porta determinate rappresentazioni alla coscienza. Le aree prefrontali esercitano controllo top-down, modulando la competizione in base a obiettivi, aspettative e contesto attentivo.

A livello computazionale, framework bayesiani e di inferenza predittiva forniscono principi normativi che spiegano perché il cervello dovrebbe implementare meccanismi di questo tipo. L'incertezza intrinseca nelle inferenze percettive rende ottimale mantenere rappresentazioni probabilistiche multiple e campionare dallo spazio delle ipotesi plausibili, piuttosto che commettere prematuramente tutte le risorse a una singola interpretazione.

Questa convergenza multidisciplinare, che integra psicofisica, elettrofisiologia, neuroimmagine, modellizzazione computazionale e teoria normativa, sta trasformando la percezione bistabile da curiosità fenomenologica a modello paradigmatico per comprendere principi generali dell'elaborazione neurale e della costruzione dell'esperienza consapevole.

Le figure bistabili, nella loro apparente semplicità, racchiudono profonde verità sulla natura della percezione e della coscienza. Esse rivelano che l'esperienza percettiva non è una lettura passiva del mondo, ma una costruzione attiva, un'interpretazione che il cervello impone incessantemente al flusso sensoriale. Mostrano che la stabilità della nostra esperienza quotidiana è un'illusione, mantenuta attraverso meccanismi dinamici di competizione e selezione che operano normalmente in modo invisibile, ma che la bistabilità porta alla luce della consapevolezza. E suggeriscono che i confini tra percezione, cognizione e coscienza sono più fluidi di quanto le categorie concettuali tradizionali lascerebbero supporre, con meccanismi comuni che attraversano questi domini apparentemente distinti.

Proseguendo dal punto di interruzione, dobbiamo ora completare il capitolo esplorando ulteriori dimensioni della percezione bistabile e preparando la transizione ai temi del successivo capitolo sullo sviluppo cognitivo secondo Piaget.

Bistabilità e Consapevolezza Metacognitiva

Un aspetto particolarmente intrigante della percezione bistabile riguarda la consapevolezza metacognitiva delle transizioni. La maggior parte degli osservatori è perfettamente consapevole quando una reversione percettiva si verifica. Possiamo riportare verbalmente il momento della transizione, abbiamo accesso introspettivo al cambiamento qualitativo dell'esperienza. Questa trasparenza metacognitiva distingue la bistabilità da molti altri fenomeni percettivi che operano al di sotto della soglia della consapevolezza.

Tuttavia, la consapevolezza della reversione non si accompagna necessariamente alla comprensione dei meccanismi che la causano. Gli osservatori ingenui attribuiscono spesso le transizioni a movimenti oculari, variazioni dell'attenzione o cambiamenti nell'immagine stessa, non rendendosi conto che il fenomeno è endogeno, generato dalle dinamiche interne del sistema nervoso. Questa dissociazione tra consapevolezza fenomenologica e

comprensione causale illustra limiti dell'introspezione nel rivelare i processi sottostanti l'esperienza cosciente.

Studi che richiedono ai soggetti di stimare la propria confidenza percettiva durante l'osservazione di stimoli bistabili rivelano pattern interessanti. La confidenza tende a essere massima subito dopo una transizione, quando la nuova interpretazione si è appena stabilizzata, e decresce gradualmente man mano che ci si avvicina alla successiva reversione. Questo andamento temporale della confidenza soggettiva riflette probabilmente la forza della rappresentazione neurale dominante, che si indebolisce progressivamente a causa dell'adattamento.

La capacità di monitorare metacognitivamente le proprie percezioni varia tra individui e correla con misure di consapevolezza metacognitiva in altri domini cognitivi. Persone con elevata sensibilità metacognitiva mostrano giudizi di confidenza meglio calibrati sulla reale stabilità delle loro percezioni durante compiti bistabili. Questa correlazione cross-dominio suggerisce l'esistenza di meccanismi metacognitivi generali che operano attraverso diversi tipi di contenuti mentali.

Implicazioni per l'Intelligenza Artificiale

La percezione bistabile pone sfide affascinanti per i sistemi di visione artificiale e più in generale per l'intelligenza artificiale. Le reti neurali artificiali moderne, pur raggiungendo prestazioni impressionanti nel riconoscimento di oggetti e scene, tipicamente non esibiscono spontaneamente fenomeni di bistabilità percettiva. Quando una rete convoluzionale classifica un'immagine della coppa di Rubin, essa produce un singolo output categoriale, non oscilla tra interpretazioni alternative.

Questa differenza riflette architetture computazionali fondamentalmente diverse. Le reti feedforward standard implementano una singola passata dal livello di input a quello di output, producendo una decisione deterministica o, nel caso di reti probabilistiche, una distribuzione di probabilità statica sulle possibili categorie. Mancano le dinamiche ricorrenti, i processi di competizione temporalmente estesi e i meccanismi di adattamento che caratterizzano i sistemi biologici e che generano la bistabilità.

Alcuni ricercatori hanno iniziato a sviluppare architetture neurali artificiali che incorporano elementi di dinamica temporale e competizione, ispirandosi esplicitamente ai modelli neurobiologici della bistabilità percettiva. Questi sistemi, basati su reti neurali ricorrenti con inibizione reciproca e adattamento, possono esibire oscillazioni tra interpretazioni multiple di stimoli ambigui, replicando qualitativamente i fenomeni osservati negli esseri umani.

L'utilità di tali architetture va oltre la semplice riproduzione di curiosità psicologiche. In applicazioni reali, i sistemi di visione artificiale devono frequentemente operare con input intrinsecamente ambigui o rumorosi. Un sistema capace di mantenere rappresentazioni multiple e di esplorare interpretazioni alternative potrebbe essere più robusto e adattabile di uno che si ancora rigidamente a una singola interpretazione iniziale, potenzialmente errata.

Inoltre, la bistabilità fornisce un caso di studio per comprendere le differenze fondamentali tra intelligenza biologica e artificiale. Il fatto che i sistemi biologici esibiscano spontaneamente instabilità percettiva, mentre quelli artificiali standard non lo fanno,

suggerisce differenze profonde nei principi computazionali sottostanti. Esplorare queste differenze potrebbe illuminare sia la natura dell'intelligenza naturale che le direzioni promettenti per lo sviluppo di sistemi artificiali più sofisticati e brain-like.

Bistabilità nella Pratica Artistica e nel Design

La percezione bistabile ha trovato applicazione consapevole nell'arte visiva e nel design grafico. Artisti come M.C. Escher hanno sfruttato sistematicamente ambiguità percettive per creare opere che sfidano le convenzioni della rappresentazione e sollecitano lo spettatore a un'esplorazione attiva. Le sue famose composizioni di figure impossibili e trasformazioni ambigue, come "Cielo e Acqua" dove uccelli e pesci emergono alternativamente come figura e sfondo, rappresentano sofisticate esplorazioni dei principi gestaltici.

Nel design di loghi e identità visive, l'uso deliberato di ambiguità figura-sfondo può creare memorabilità e interesse. Loghi che incorporano significati multipli stratificati invitano a un engagement prolungato, trasformando la semplice percezione in un'esperienza interpretativa più ricca. Il celebre logo FedEx, con la freccia nascosta nello spazio negativo tra E e X, rappresenta un esempio sottile di questo approccio.

Nella comunicazione visiva persuasiva, l'ambiguità controllata può essere utilizzata strategicamente per catturare l'attenzione e stimolare il processamento cognitivo profondo. Immagini che richiedono un momento di interpretazione, che sorprendono con significati inattesi, tendono a essere elaborate più estensivamente e ricordate meglio rispetto a stimoli immediatamente trasparenti.

Tuttavia, in contesti dove chiarezza e efficienza comunicativa sono prioritarie, come nella segnaletica di sicurezza o nelle interfacce di sistemi critici, l'ambiguità percettiva deve essere accuratamente evitata. La progettazione deve sfruttare i principi della Gestalt per creare strutture percettive inequivocabili, facilitando l'interpretazione corretta e rapida.

Limiti e Questioni Aperte

Nonostante decenni di ricerche intensive, numerose questioni sulla percezione bistabile rimangono aperte. Una domanda fondamentale riguarda la natura precisa della soglia che separa l'attività neurale inconscia da quella che sostiene l'esperienza consapevole. Quale livello di attivazione, quale pattern di connettività, quale configurazione di oscillazioni è necessaria perché una rappresentazione percettiva raggiunga la coscienza?

Studi recenti suggeriscono che la transizione alla coscienza potrebbe non essere determinata da un singolo fattore quantitativo, ma piuttosto da una costellazione di condizioni che devono essere simultaneamente soddisfatte. Una rappresentazione deve raggiungere una soglia minima di attivazione, deve essere stabile per una durata minima, deve ingaggiare reti fronto-parietali, deve competere efficacemente con rappresentazioni concorrenti. La coscienza emergerebbe quindi da una convergenza di fattori piuttosto che dal superamento di un singolo threshold.

Un'altra questione riguarda la generalizzabilità dei risultati ottenuti con stimoli artificiali bistabili a situazioni percettive più ecologiche. Gli ambienti naturali raramente presentano ambiguità così marcate e prolungate come la coppa di Rubin o il cubo di Necker. In che

misura i meccanismi rivelati da questi paradigmi operano nella percezione quotidiana di scene reali, dove abbondano indizi contestuali che disambiguano le interpretazioni?

Alcuni ricercatori hanno iniziato a studiare fenomeni bistabili in contesti più naturalistici, utilizzando immagini fotografiche modificate per introdurre ambiguità controllate. I risultati suggeriscono che i principi fondamentali rimangono validi: competizione tra popolazioni neurali, adattamento, influenze top-down. Tuttavia, l'abbondanza di informazione contestuale negli stimoli naturali tipicamente stabilizza le percezioni molto più efficacemente che nelle figure astratte, rendendo le reversioni spontanee meno frequenti.

Integrazione con Altri Fenomeni Percettivi

La bistabilità non è un fenomeno isolato, ma si interconnette con numerosi altri aspetti dell'organizzazione percettiva. La rivalità binoculare, menzionata in precedenza, condivide meccanismi con la bistabilità monoculare ma presenta anche differenze significative. Nella rivalità binoculare, la competizione avviene già a stadi relativamente precoci del processamento visivo, coinvolgendo neuroni con campi recettivi oculari specifici. Nella bistabilità monoculare, la competizione emerge a livelli più tardivi dove le rappresentazioni sono già invarianti rispetto all'occhio di origine.

Fenomeni di crowding visivo, dove l'identificazione di un oggetto è ostacolata dalla presenza di elementi circostanti, interagiscono con la bistabilità in modi complessi. Il crowding può rendere più difficile la segregazione figura-sfondo, influenzando la facilità con cui interpretazioni alternative possono emergere. Parallelamente, meccanismi di raggruppamento percettivo basati sui principi della Gestalt modulano quali elementi dello stimolo tendono a essere organizzati insieme, influenzando le interpretazioni bistabili possibili.

L'attenzione visiva spaziale, che seleziona regioni del campo visivo per un processamento privilegiato, interagisce dinamicamente con i processi di competizione sottostanti la bistabilità. Dirigere l'attenzione verso regioni specifiche di un'immagine bistabile può favorire interpretazioni che assegnano prominenza figurale a quelle regioni. Questa interazione bidirezionale tra attenzione e organizzazione percettiva illustra l'integrazione profonda tra meccanismi selettivi e costruttivi nella visione.

La Bistabilità come Modello Riduzionista

La percezione bistabile rappresenta un caso ideale di riduzionismo scientifico riuscito. Fenomeni complessi dell'esperienza cosciente vengono scomposti in componenti più elementari, studiati attraverso manipolazioni sperimentali controllate, e ricondotti a meccanismi neurali e computazionali specifici. Questo approccio ha permesso progressi sostanziali nella comprensione, trasformando vaghe intuizioni fenomenologiche in modelli matematici precisi e predittivi.

Tuttavia, il riduzionismo ha anche limiti. Spiegare la bistabilità in termini di popolazioni neurali in competizione e processi di adattamento non cattura completamente la qualità fenomenologica dell'esperienza del ribaltamento percettivo, il senso soggettivo di sorpresa o scoperta che accompagna l'emergenza di una nuova interpretazione. Questo "gap

esplicativo" tra descrizioni oggettive di processi neurali e caratterizzazioni soggettive dell'esperienza rimane una sfida fondamentale per le neuroscienze della coscienza.

Alcune tradizioni filosofiche, particolarmente quelle fenomenologiche, enfatizzano aspetti dell'esperienza percettiva che resistono alla riduzione. La gestalt come fenomeno, l'emergenza di significato che trascende i componenti elementari, potrebbe richiedere vocabolari descrittivi e modalità esplicative complementari a quelle fornite dalle neuroscienze standard. L'integrazione tra prospettive in terza persona, basate su misure oggettive e meccanismi causali, e prospettive in prima persona, basate sull'esperienza vissuta, rimane un obiettivo programmatico più che un risultato conseguito.

Direzioni Future della Ricerca

Le frontiere attuali della ricerca sulla percezione bistabile si stanno spostando verso livelli di analisi ancora più profondi e integrati. Approcci di neuromodulazione, che combinano stimolazione cerebrale con registrazioni simultanee di attività neurale, stanno iniziando a mappare causalmente i circuiti critici. Tecniche optogenetiche in modelli animali permetteranno di testare ipotesi specifiche sui tipi cellulari e le connessioni sinaptiche coinvolte.

L'integrazione di metodologie multiple in singoli studi sta diventando standard. Combinare fMRI per la risoluzione spaziale, MEG/EEG per quella temporale, eye-tracking per monitorare l'attenzione, misure psicofisiche per la fenomenologia e modellizzazione computazionale per l'interpretazione teorica permette di costruire quadri esplicativi molto più ricchi e vincolati empiricamente.

L'applicazione di tecniche di intelligenza artificiale all'analisi dei dati neurali sta rivelando pattern precedentemente inaccessibili. Algoritmi di machine learning possono identificare firme neurali predittive delle transizioni percettive con millisecondi di anticipo rispetto alla reportistica soggettiva, suggerendo che il processo decisionale che porta alla reversione inizia prima che raggiunga la consapevolezza.

Studi longitudinali che seguono gli stessi individui attraverso periodi estesi potrebbero rivelare se e come la dinamica della bistabilità cambia con l'età adulta, con l'allenamento, con interventi terapeutici. Questo approccio potrebbe chiarire la plasticità a lungo termine dei meccanismi percettivi e le loro interazioni con cambiamenti cognitivi più generali.

Considerazioni Conclusive sul Capitolo

La percezione bistabile, esemplificata dalla coppa di Rubin, dal cubo di Necker e dalla figura vecchia-giovane, si rivela essere molto più di una curiosità percettiva. Essa costituisce una finestra privilegiata sui meccanismi costruttivi della coscienza, un paradigma sperimentale che permette di dissociare stimolo e percezione, un modello per comprendere processi di competizione e selezione che operano ubiquitariamente nel cervello.

I principi della Gestalt, articolati quasi un secolo fa, mantengono rilevanza profonda, anche se ora li comprendiamo attraverso le lenti delle neuroscienze cognitive e della teoria computazionale. L'organizzazione figura-sfondo, la tendenza a strutturare l'esperienza in configurazioni coerenti e significative, l'impossibilità di percepire simultaneamente

interpretazioni incompatibili, tutti questi fenomeni trovano spiegazione in termini di architetture neurali, dinamiche competitive e vincoli computazionali.

La trasformazione percettiva che avviene quando un vaso diventa improvvisamente due volti, quando un cubo si ribalta nello spazio, quando una vecchia si trasforma in una giovane donna, non è un'illusione nel senso peggiorativo del termine. È piuttosto una rivelazione del lavoro interpretativo continuo che il cervello svolge per costruire esperienza coerente dal flusso caotico di stimoli sensoriali. Questa costruzione attiva, questa trasformazione incessante di dati grezzi in significato fenomenologico, è l'essenza stessa della percezione.

Mentre concludiamo questo capitolo sulla bistabilità percettiva e le sue implicazioni per la comprensione della mente, prepariamo il terreno per il successivo tema: lo sviluppo cognitivo. Se la percezione bistabile mostra come rappresentazioni mentali possono trasformarsi istantaneamente in risposta agli stessi stimoli, lo sviluppo cognitivo esplorato da Jean Piaget rivela trasformazioni su scale temporali molto più estese, quelle dell'ontogenesi umana. Il bambino che gradualmente acquisisce la capacità di operare mentalmente su rappresentazioni, di conservare invarianti attraverso trasformazioni apparenti, di decentrare il proprio punto di vista, sta attraversando trasformazioni cognitive non meno profonde, anche se molto più lente, di quelle che sperimentiamo quando la coppa di Rubin si ribalta da vaso a volti. È a queste trasformazioni evolutive che ora rivolgiamo la nostra attenzione.

Sviluppo Cognitivo e Apprendimento: Dai Meccanismi Piagetiani alla Trasformazione delle Rappresentazioni Mentali

Capitolo 13: Lo Sviluppo Cognitivo secondo Jean Piaget

Introduzione alla Teoria Costruttivista di Piaget

Jean Piaget, biologo ed epistemologo svizzero del ventesimo secolo, ha rivoluzionato la comprensione dello sviluppo cognitivo infantile attraverso un approccio che concepisce il bambino come costruttore attivo della propria conoscenza. La sua teoria genetica della cognizione si fonda sull'idea che l'intelligenza non sia una caratteristica statica e innata, ma piuttosto un processo dinamico di adattamento continuo all'ambiente. Contrariamente alle concezioni empiriste che vedevano il bambino come un recipiente passivo di informazioni esterne, o alle teorie innatiste che enfatizzavano la predeterminazione genetica delle capacità cognitive, Piaget propose una visione interazionista in cui la conoscenza emerge dall'interazione attiva del soggetto con il mondo circostante.

La metodologia di ricerca piagetiana si distingue per l'utilizzo del metodo clinico-critico, una forma sofisticata di osservazione qualitativa che combina l'osservazione naturalistica con l'interrogazione flessibile. Attraverso decenni di ricerche meticolose condotte principalmente sui propri figli e successivamente su centinaia di bambini, Piaget ha elaborato un modello

stadiale dello sviluppo cognitivo che descrive come le strutture mentali si trasformino qualitativamente nel corso dell'infanzia e dell'adolescenza. Questo modello si articola in quattro grandi stadi sequenziali, ciascuno caratterizzato da specifiche modalità di pensiero e da peculiari strutture cognitive che rappresentano forme di equilibrio progressivamente più stabili ed efficaci nell'interazione con la realtà.

Lo Stadio Sensomotorio: Le Fondamenta dell'Intelligenza Pratica

Lo stadio sensomotorio rappresenta la prima fase dello sviluppo cognitivo e si estende dalla nascita fino a circa i due anni di età. Durante questo periodo fondamentale, il bambino costruisce la propria comprensione del mondo attraverso l'azione diretta e la coordinazione progressiva tra le informazioni sensoriali e le risposte motorie. Il termine "sensomotorio" riflette proprio questa caratteristica distintiva: la conoscenza in questa fase è incorporata nell'azione concreta e non ancora mediata da rappresentazioni simboliche o linguistiche.

All'inizio di questo stadio, il neonato dispone esclusivamente di schemi riflessi innati, come il riflesso di suzione, di prensione e di orientamento. Questi schemi rappresentano i mattoni elementari dell'intelligenza e costituiscono il punto di partenza per la costruzione di strutture cognitive sempre più complesse. Attraverso l'esercizio ripetuto di questi schemi in contesti diversi, il bambino inizia gradualmente a modificarli e adattarli alle caratteristiche specifiche degli oggetti e delle situazioni. Un esempio paradigmatico è rappresentato dalla trasformazione dello schema di suzione: inizialmente rigido e stereotipato, questo schema si differenzia progressivamente permettendo al neonato di succhiare in modo diverso il capezzolo materno, il ciuccio o il proprio pollice, adattando la pressione, il ritmo e la configurazione delle labbra alle caratteristiche specifiche di ciascun oggetto.

Uno dei progressi più significativi dello stadio sensomotorio è la conquista della permanenza dell'oggetto, ovvero la comprensione che gli oggetti continuano ad esistere anche quando non sono direttamente percepiti. Nei primi mesi di vita, il bambino si comporta come se gli oggetti cessassero di esistere nel momento in cui scompaiono dal campo percettivo: un giocattolo nascosto sotto un panno non viene ricercato, come se fosse letteralmente svanito nel nulla. Questa concezione del mondo, che Piaget definiva "universo senza oggetti permanenti", riflette una forma di realismo ingenuo in cui esistenza e percezione coincidono perfettamente.

La conquista della permanenza dell'oggetto avviene gradualmente attraverso sei sottostadi. Inizialmente, intorno ai quattro-sei mesi, emerge una prima forma rudimentale di ricerca: il bambino continua brevemente a guardare verso il punto in cui l'oggetto è scomparso, suggerendo una primitiva anticipazione della sua ricomparsa. Successivamente, intorno agli otto-dieci mesi, il bambino inizia attivamente a ricercare oggetti parzialmente nascosti, sollevando panni o spostando ostacoli per recuperare un giocattolo. Tuttavia, in questa fase si manifesta un errore caratteristico noto come "errore AB": se un oggetto viene ripetutamente nascosto nella posizione A e il bambino impara a recuperarlo, quando successivamente l'oggetto viene nascosto nella posizione B sotto gli occhi del bambino, questi tende comunque a cercarlo nella posizione A, dove aveva precedentemente avuto successo. Questo errore suggerisce che la rappresentazione dell'oggetto è ancora legata all'azione specifica che ha permesso di ritrovarlo, piuttosto che costituire una rappresentazione autonoma e indipendente dall'azione.

Solo verso i diciotto-ventiquattro mesi il bambino raggiunge la piena permanenza dell'oggetto, diventando capace di seguire mentalmente spostamenti invisibili e di cercare sistematicamente un oggetto in posizioni diverse, inferendo logicamente dove potrebbe trovarsi. Questa acquisizione segna una rivoluzione cognitiva fondamentale: il bambino non è più vincolato all'hic et nunc percettivo, ma può evocare mentalmente oggetti, persone ed eventi assenti, gettando le basi per la funzione simbolica che caratterizzerà lo stadio successivo.

Un altro progresso cruciale dello stadio sensomotorio riguarda la comprensione delle relazioni causali. Inizialmente, il bambino manifesta quello che Piaget chiamava "causalismo magico-fenomenistico": qualsiasi azione del bambino può sembrare produrre qualsiasi effetto nell'ambiente, senza una comprensione delle connessioni causali reali. Un bambino di tre mesi può agitare le mani e casualmente muovere una giostrina sospesa sulla culla; successivamente ripeterà l'agitazione delle mani come se questa azione fosse direttamente responsabile del movimento della giostrina, anche quando la connessione meccanica è assente. Gradualmente, attraverso l'esperienza ripetuta e la sperimentazione attiva, il bambino costruisce una comprensione più accurata delle relazioni causali, riconoscendo che solo azioni specifiche producono determinati effetti e che gli oggetti possono essere cause di eventi anche indipendentemente dall'azione propria.

Verso la fine dello stadio sensomotorio emerge quella che Piaget definiva "intelligenza rappresentativa" o "capacità di evocazione simbolica". Il bambino diventa capace di risolvere problemi non solo attraverso tentativi ed errori concreti, ma anche attraverso una forma di sperimentazione mentale, anticipando mentalmente le conseguenze delle proprie azioni prima di eseguirle. Piaget documentò questo passaggio osservando sua figlia Lucienne che, di fronte a un problema nuovo (recuperare un oggetto da una scatola con un'apertura troppo stretta), non procedette per tentativi casuali ma rimase immobile per alcuni istanti, aprendo e chiudendo lentamente la bocca, come se stesse "pensando" al problema attraverso un'imitazione internalizzata dell'apertura necessaria. Subito dopo, eseguì l'azione corretta allargando l'apertura della scatola. Questo episodio illustra la transizione dall'intelligenza puramente sensomotoria a una forma di intelligenza rappresentazionale che prelude allo stadio successivo.

Lo Stadio Preoperatorio: L'Emergere del Pensiero Simbolico e le Sue Limitazioni

Lo stadio preoperatorio si estende approssimativamente dai due ai sette anni ed è caratterizzato dall'emergere della funzione simbolica, ovvero la capacità di utilizzare simboli, immagini mentali e parole per rappresentare oggetti, persone ed eventi assenti. Questa conquista segna una discontinuità qualitativa rispetto allo stadio precedente: il bambino non è più limitato all'azione concreta e immediata, ma può evocare mentalmente il passato, anticipare il futuro e immaginare situazioni ipotetiche.

La funzione simbolica si manifesta attraverso diverse modalità espressive. Il gioco simbolico o di finzione costituisce una delle espressioni più evidenti: il bambino utilizza un oggetto per rappresentarne un altro (un bastone diventa un cavallo, una scatola diventa un'automobile) e inscena situazioni immaginarie elaborando trame narrative sempre più complesse. Questo tipo di gioco, assente nello stadio sensomotorio, rivela la capacità di dissociare il significante

(l'immagine mentale o l'oggetto usato come simbolo) dal significato (l'oggetto o la situazione rappresentata). L'imitazione differita rappresenta un'altra manifestazione della funzione simbolica: il bambino può riprodurre azioni o comportamenti osservati in precedenza, anche a distanza di ore o giorni, utilizzando rappresentazioni mentali immagazzinate in memoria. Infine, lo sviluppo del linguaggio, che accelera drammaticamente in questo periodo, fornisce al bambino un potente sistema simbolico convenzionale che permette la comunicazione di pensieri, desideri e esperienze.

Nonostante questi progressi notevoli, il pensiero preoperatorio presenta caratteristiche distintive che lo rendono qualitativamente diverso dalle forme di pensiero più mature. Una delle limitazioni più significative è rappresentata dall'egocentrismo cognitivo, che non va confuso con l'egoismo morale. L'egocentrismo piagetiano designa l'incapacità del bambino di differenziare tra la propria prospettiva e quella altrui, assumendo implicitamente che gli altri vedano, pensino e sentano esattamente ciò che egli stesso vede, pensa e sente. Questa caratteristica si manifesta in molteplici contesti e rappresenta una forma di centrazione sul proprio punto di vista che impedisce il decentramento cognitivo.

Il classico esperimento delle "tre montagne" illustra efficacemente l'egocentrismo spaziale del bambino preoperatorio. In questo compito, il bambino osserva un modello tridimensionale di tre montagne di altezze diverse, disposte in modo che dalla sua posizione abbia una particolare vista del paesaggio. Gli viene poi chiesto di selezionare, tra diverse fotografie, quella che rappresenta la vista che avrebbe una bambola posizionata dall'altro lato del modello. I bambini preoperatori tendono sistematicamente a scegliere la fotografia corrispondente alla propria vista, incapaci di immaginare come apparirebbe il paesaggio da una prospettiva diversa. Solo verso i sette-otto anni i bambini diventano capaci di decentrarsi spazialmente, coordinando mentalmente diverse prospettive.

L'egocentrismo si manifesta anche nel linguaggio. Piaget osservò che i bambini preoperatori spesso producono quello che definì "monologo collettivo": in situazioni di gioco di gruppo, ciascun bambino parla ad alta voce senza realmente comunicare con gli altri, senza adattare il proprio discorso alle esigenze informative dell'interlocutore e senza verificare se è stato compreso. Manca quella che i linguisti contemporanei chiamerebbero "competenza pragmatica", ovvero la capacità di adattare il messaggio al contesto comunicativo e alle conoscenze pregresse dell'ascoltatore.

Un'altra caratteristica distintiva del pensiero preoperatorio è la centrazione, ovvero la tendenza a focalizzare l'attenzione su un singolo aspetto saliente di una situazione, trascurando altre dimensioni rilevanti. Questa limitazione impedisce al bambino di considerare simultaneamente molteplici dimensioni di un problema e di comprendere le relazioni di compensazione tra di esse. La centrazione si manifesta chiaramente nei classici compiti di conservazione che rappresentano probabilmente il contributo più noto di Piaget allo studio dello sviluppo cognitivo.

Nel compito di conservazione della quantità continua, al bambino vengono presentati due bicchieri identici contenenti la stessa quantità di liquido. Dopo aver fatto constatare al bambino l'uguaglianza, lo sperimentatore travasa il liquido da uno dei bicchieri in un contenitore più alto e stretto, in modo che il livello del liquido risulti più alto. Viene quindi chiesto al bambino se i due contenitori contengono ancora la stessa quantità di liquido o se

uno ne contiene di più. I bambini preoperatori tendono sistematicamente a giudicare che il contenitore più alto contenga più liquido, centrando la loro attenzione sulla dimensione dell'altezza e trascurando la compensazione offerta dalla minore larghezza. Non comprendono che la quantità di liquido rimane invariata nonostante la trasformazione percettiva, rivelando l'assenza del concetto di conservazione.

Analogamente, nel compito di conservazione del numero, due file di gettoni vengono inizialmente disposte in corrispondenza uno a uno, permettendo al bambino di riconoscere l'equivalenza numerica. Successivamente, una delle file viene allungata spazialmente, aumentando la distanza tra i gettoni. I bambini preoperatori, concentrandosi sulla maggiore lunghezza della fila, affermano che questa contiene più gettoni, nonostante non sia stato aggiunto né rimosso alcun elemento. La stessa dinamica si osserva nella conservazione della sostanza (una palla di plastilina trasformata in salsiccia), del peso e del SEZIONE.

L'assenza di conservazione rivela una caratteristica fondamentale del pensiero preoperatorio: la sua natura intuitiva e percettiva. Il bambino si lascia guidare dall'apparenza percettiva immediata piuttosto che da operazioni logiche che potrebbero correggere l'illusione percettiva. Il giudizio è dominato dagli stati finali della trasformazione piuttosto che dalla trasformazione stessa, considerata dinamicamente.

Strettamente connessa all'assenza di conservazione è l'irreversibilità del pensiero preoperatorio. La reversibilità, che emergerà nello stadio successivo, è la capacità di seguire mentalmente una linea di ragionamento e poi tornare al punto di partenza, annullando mentalmente la trasformazione. Nel contesto dei compiti di conservazione, la reversibilità permetterebbe al bambino di comprendere che il liquido travasato potrebbe essere riportato al bicchiere originale, ripristinando la condizione iniziale e dimostrando così che la quantità non è cambiata. Il bambino preoperatorio, incapace di questa inversione mentale, considera ciascuno stato come isolato e non riesce a coordinare la trasformazione diretta con quella inversa.

Un'altra manifestazione dell'irreversibilità è l'incapacità di comprendere le relazioni di classe e sottoclasse. Nel famoso problema dei fiori, se al bambino vengono mostrati dieci fiori, di cui sette rose e tre margherite, e gli viene chiesto se ci sono più rose o più fiori, il bambino preoperatorio tende a rispondere che ci sono più rose, incapace di considerare simultaneamente l'insieme delle rose come parte dell'insieme più ampio dei fiori. Questa difficoltà, che Piaget attribuiva all'assenza di operazioni logiche reversibili, impedisce la comprensione delle gerarchie classificatorie e delle relazioni di inclusione.

Il pensiero preoperatorio è caratterizzato anche dal ragionamento trasduttivo, che procede dal particolare al particolare senza passare attraverso generalizzazioni autentiche. Piaget riportò l'esempio di sua figlia che, vedendo che suo padre aveva la barba, concluse che tutti gli uomini con la barba erano papà. Questo tipo di ragionamento può produrre conclusioni corrette per caso, ma manca della necessità logica che caratterizza il ragionamento deduttivo e induttivo maturo.

Il pensiero animistico rappresenta un'ulteriore caratteristica del periodo preoperatorio: il bambino tende ad attribuire vita, coscienza e intenzionalità a oggetti inanimati. Le nuvole si muovono "perché vogliono andare da qualche parte", il sole tramonta "perché è stanco", i fiumi scorrono "perché hanno fretta di arrivare al mare". Questa tendenza riflette la difficoltà

del bambino di distinguere chiaramente tra mondo psicologico e mondo fisico, tra animato e inanimato, proiettando caratteristiche umane sulla natura.

Nonostante queste limitazioni, lo stadio preoperatorio rappresenta un periodo di enormi conquiste cognitive. Il bambino costruisce un vasto repertorio di rappresentazioni mentali, padroneggia il linguaggio con crescente sofisticazione, sviluppa capacità narrative complesse e manifesta creatività e immaginazione notevoli nel gioco simbolico. Questi progressi preparano il terreno per la rivoluzione cognitiva che caratterizzerà lo stadio successivo.

Lo Stadio delle Operazioni Concrete: La Conquista del Pensiero Logico

Lo stadio delle operazioni concrete si estende approssimativamente dai sette agli undici anni e segna l'emergere di una forma di pensiero genuinamente logico, sebbene ancora vincolato a contenuti concreti e tangibili. Il termine "operazioni" ha un significato tecnico preciso nella teoria piagetiana: si riferisce ad azioni interiorizzate reversibili che si coordinano in strutture d'insieme. In altre parole, le operazioni sono trasformazioni mentali che possono essere eseguite in entrambe le direzioni e che si organizzano in sistemi coerenti governati da leggi logiche.

La conquista fondamentale di questo stadio è la reversibilità del pensiero, che si manifesta in due forme complementari: l'inversione e la compensazione. L'inversione (o negazione) consiste nella capacità di annullare mentalmente un'operazione ritornando al punto di partenza: se A + B = C, allora C - B = A. La compensazione (o reciprocità) consiste nella capacità di riconoscere che modifiche in una dimensione possono essere compensate da modifiche in un'altra dimensione: se un contenitore è più alto ma più stretto, l'aumento in altezza può essere compensato dalla diminuzione in larghezza, mantenendo costante il SEZIONE.

Grazie alla reversibilità, il bambino nel periodo delle operazioni concrete acquisisce la conservazione in tutti i domini fondamentali. Inizialmente, intorno ai sei-sette anni, emerge la conservazione della quantità continua e del numero. Successivamente, verso gli otto-nove anni, viene acquisita la conservazione della sostanza (la palla di plastilina trasformata in salsiccia mantiene la stessa quantità di materia). Ancora più tardi, intorno ai nove-dieci anni, emerge la conservazione del peso (la stessa palla di plastilina, pur cambiando forma, mantiene lo stesso peso). Infine, verso gli undici-dodici anni, si acquisisce la conservazione del SEZIONE (la palla di plastilina immersa in acqua provocherà lo stesso innalzamento del livello indipendentemente dalla sua forma).

Questo ordine sequenziale di acquisizione, che Piaget chiamava décalage orizzontale, è teoricamente significativo: dimostra che la conservazione non è un principio unico acquisito improvvisamente, ma piuttosto una famiglia di comprensioni che si applicano progressivamente a domini diversi, riflettendo la costruzione graduale di strutture operative sempre più potenti.

Il bambino nel periodo delle operazioni concrete manifesta il decentramento cognitivo, ovvero la capacità di considerare simultaneamente molteplici dimensioni di una situazione e di coordinare diverse prospettive. Nell'esperimento delle tre montagne, i bambini di questa età sono ora capaci di selezionare correttamente la fotografia corrispondente al punto di

vista della bambola, dimostrando la capacità di adottare mentalmente prospettive spaziali diverse dalla propria. Analogamente, nel linguaggio e nella comunicazione, il bambino diventa capace di adattare il proprio discorso alle esigenze informative dell'ascoltatore, verificando la comprensione e fornendo chiarimenti quando necessario.

Le operazioni concrete permettono anche la costruzione di gerarchie classificatorie coerenti. Il bambino comprende ora le relazioni di inclusione di classe: sa che le rose sono un sottoinsieme dei fiori e può rispondere correttamente alla domanda se ci sono più rose o più fiori. Questa comprensione riflette la capacità di considerare simultaneamente l'insieme e le sue parti, una forma di reversibilità che Piaget chiamava "mobilità del pensiero".

Analogamente, nel dominio della seriazione, il bambino diventa capace di ordinare sistematicamente oggetti secondo una dimensione (lunghezza, peso, luminosità) utilizzando una strategia efficiente. Invece di procedere per tentativi ed errori come faceva nel periodo preoperatorio, il bambino delle operazioni concrete cerca sistematicamente l'elemento più piccolo, poi il più piccolo tra quelli rimanenti, e così via, costruendo una serie ordinata. Inoltre, comprende la transitività: se A > B e B > C, allora necessariamente A > C. Questa comprensione delle relazioni asimmetriche transitive costituisce un aspetto fondamentale del ragionamento logico.

Il pensiero nel periodo delle operazioni concrete si caratterizza anche per l'emergere della comprensione della conservazione dell'identità e della compensazione. Quando gli viene chiesto perché il liquido travasato in un contenitore più alto e stretto rimane della stessa quantità, il bambino può fornire tre tipi di giustificazioni che riflettono altrettante forme di reversibilità. La giustificazione per identità afferma: "È la stessa quantità di liquido, non hai aggiunto né tolto nulla". La giustificazione per inversione afferma: "Se lo riversi nel bicchiere originale, tornerebbe allo stesso livello". La giustificazione per compensazione afferma: "È vero che è più alto, ma è anche più stretto, quindi si compensano". La presenza di queste giustificazioni logiche indica che il giudizio del bambino non è più dominato dall'apparenza percettiva immediata ma è guidato da operazioni mentali reversibili.

Nonostante questi progressi sostanziali, il pensiero del periodo delle operazioni concrete presenta ancora limitazioni significative. La più importante riguarda il vincolo alla concretezza: le operazioni logiche del bambino funzionano efficacemente quando applicate a oggetti, situazioni e relazioni concreti, tangibili e direttamente esperibili, ma falliscono quando richieste su contenuti puramente verbali, ipotetici o astratti. Se al bambino viene presentato un problema di seriazione con bastoncini fisicamente presenti, lo risolverà efficacemente. Se gli viene presentato lo stesso problema in forma puramente verbale ("Anna è più alta di Maria, Maria è più alta di Lucia, chi è la più alta?"), può manifestare difficoltà significative.

Questa limitazione riflette il fatto che le operazioni concrete sono ancora strettamente legate all'azione concreta, sebbene interiorizzata. Il bambino può manipolare mentalmente oggetti e relazioni che ha esperito direttamente, ma fatica a ragionare su possibilità puramente ipotetiche o su proposizioni astratte. Il ragionamento rimane ancorato al reale piuttosto che espandersi al possibile, limitando la capacità di pensiero scientifico e ipotetico-deduttivo che caratterizzerà lo stadio successivo.

Lo Stadio delle Operazioni Formali: Il Pensiero Astratto e Ipotetico-Deduttivo

Lo stadio delle operazioni formali emerge intorno agli undici-dodici anni e rappresenta, nella concezione piagetiana, la forma più matura e potente di cognizione umana. Il termine "formale" indica che il pensiero può ora operare su forme, proposizioni e relazioni astratte, indipendentemente dal loro contenuto concreto. L'adolescente diventa capace di ragionare su possibilità puramente ipotetiche, di costruire teorie astratte, di utilizzare il metodo scientifico sperimentale e di riflettere sistematicamente sul proprio pensiero.

Una caratteristica distintiva del pensiero formale è la capacità di ragionamento ipotetico-deduttivo. L'adolescente può partire da premesse puramente ipotetiche ("supponiamo che...") e derivare logicamente conclusioni necessarie, indipendentemente dalla verità empirica delle premesse. Nel classico compito del sillogismo ("Tutti i metalli preziosi arrugginiscono, l'oro è un metallo prezioso, quindi l'oro arrugginisce"), il bambino delle operazioni concrete tende a rifiutare la conclusione basandosi sulla propria conoscenza empirica che l'oro non arrugginisce. L'adolescente nel periodo delle operazioni formali, invece, può accettare la validità logica del sillogismo pur riconoscendo la falsità empirica della premessa, dimostrando la capacità di separare forma e contenuto del ragionamento.

Il pensiero formale si caratterizza anche per la capacità di considerare sistematicamente tutte le possibilità logiche in una situazione. Nel famoso esperimento del pendolo, al soggetto viene chiesto di determinare quali fattori influenzano la frequenza di oscillazione di un pendolo (lunghezza della corda, peso del pendolo, altezza del rilascio, forza dell'impulso iniziale). Il bambino delle operazioni concrete tende a procedere in modo casuale, modificando contemporaneamente più variabili e traendo conclusioni affrettate. L'adolescente nel periodo delle operazioni formali, invece, utilizza spontaneamente la strategia di controllo delle variabili: mantiene costanti tutti i fattori tranne uno, testa sistematicamente ciascuna variabile, e registra i risultati in modo organizzato, arrivando alla conclusione corretta che solo la lunghezza della corda influenza la frequenza di oscillazione.

Questa capacità di ragionamento combinatorio permette all'adolescente di generare sistematicamente tutte le combinazioni possibili di variabili. Nel compito delle "combinazioni chimiche", dove vengono presentati cinque contenitori di liquidi incolori e si chiede di determinare quale combinazione produce una reazione colorata, l'adolescente può sistematicamente testare tutte le possibili combinazioni: ciascun liquido singolarmente, tutte le coppie, tutte le triplette, e così via, fino ad esaurire logicamente tutte le possibilità.

Il pensiero formale comporta anche la capacità di ragionamento proporzionale e di comprensione delle proporzioni matematiche. L'adolescente comprende che la relazione a/b = c/d esprime un'equivalenza che si mantiene indipendentemente dai valori specifici delle variabili, e può risolvere problemi che richiedono la manipolazione di rapporti e proporzioni. Analogamente, emerge la comprensione di concetti matematici e scientifici astratti come probabilità, correlazione, compensazione di forze, equilibrio meccanico e conservazione dell'energia.

Una conquista fondamentale di questo stadio è lo sviluppo del pensiero metacognitivo, ovvero la capacità di riflettere sul proprio pensiero, di analizzare i propri processi cognitivi e di monitorare e regolare consapevolmente le proprie strategie di apprendimento e problem solving. L'adolescente può chiedersi "Come sto pensando a questo problema?", "Quale strategia sto utilizzando?", "È efficace o dovrei cambiare approccio?". Questa capacità di "pensare sul pensiero" apre nuove possibilità per l'autoregolazione cognitiva e l'apprendimento strategico.

Il pensiero formale si manifesta anche nella capacità di costruire teorie e sistemi ideologici astratti. L'adolescente sviluppa concezioni elaborate sulla giustizia, l'etica, la politica, la religione e il significato dell'esistenza, che vanno ben oltre la comprensione concreta del bambino più giovane. Queste teorie hanno spesso un carattere idealista e utopico, riflettendo la tendenza dell'adolescente a concepire mondi possibili migliori rispetto al mondo reale e a criticare la realtà attuale alla luce di standard ideali. Piaget notò che questa capacità di immaginare alternative ideali può produrre una forma peculiare di egocentrismo adolescenziale, in cui il giovane si convince della superiorità delle proprie idee e sottovaluta le complessità pratiche dell'implementazione dei propri ideali.

È importante notare che ricerche successive hanno dimostrato che non tutti gli adolescenti o gli adulti raggiungono pienamente lo stadio delle operazioni formali in tutti i domini. La competenza nel pensiero formale varia considerevolmente in funzione del dominio di conoscenza, dell'esperienza specifica e del contesto culturale ed educativo. Molti adulti utilizzano il pensiero formale principalmente in aree di particolare expertise o interesse, mentre continuano a ragionare in modo più concreto in domini meno familiari. Questa variabilità ha portato alcuni ricercatori a riconsiderare la concezione piagetiana di stadi universali e invarianti, suggerendo modelli alternativi che enfatizzano la specificità di dominio dello sviluppo cognitivo.

I Meccanismi dello Sviluppo: Schemi, Assimilazione e Accomodamento

La teoria piagetiana non si limita a descrivere gli stadi dello sviluppo cognitivo, ma propone anche una spiegazione dei meccanismi attraverso cui avviene la transizione da uno stadio all'altro. Centrale a questa spiegazione è il concetto di schema, che rappresenta l'unità funzionale fondamentale della cognizione.

Uno schema è una struttura mentale organizzata che permette di riconoscere, interpretare e rispondere a particolari classi di situazioni. Gli schemi possono essere molto semplici, come lo schema sensomotorio di prensione del neonato, o estremamente complessi e astratti, come lo schema delle operazioni matematiche o delle relazioni sociali gerarchiche. Secondo Piaget, tutta la cognizione consiste nell'applicazione di schemi alla comprensione e all'azione nel mondo. Gli schemi non sono entità statiche, ma strutture dinamiche che si trasformano continuamente attraverso l'interazione con l'ambiente.

Il processo fondamentale attraverso cui gli schemi operano è l'assimilazione, che consiste nell'incorporare nuove esperienze all'interno di schemi esistenti. Quando un bambino utilizza il proprio schema di prensione per afferrare un nuovo oggetto, sta assimilando quell'oggetto al proprio schema. Quando uno studente applica la propria comprensione della fotosintesi per interpretare un nuovo fenomeno biologico, sta assimilando quel fenomeno al proprio

schema concettuale. L'assimilazione è essenziale per dare senso all'esperienza: permette di riconoscere la familiarità nel nuovo, di applicare conoscenze pregresse a situazioni nuove, e di mantenere la continuità cognitiva.

Tuttavia, l'assimilazione da sola sarebbe insufficiente, perché condurrebbe a una rigidità cognitiva incapace di adattarsi alla varietà e complessità dell'esperienza reale. Il meccanismo complementare è l'accomodamento, che consiste nella modificazione degli schemi esistenti in risposta alle caratteristiche specifiche di nuove esperienze che non possono essere completamente assimilate dagli schemi attuali.

Quando un neonato cerca di afferrare un oggetto di forma irregolare e scopre che il proprio schema di prensione abituale non funziona efficacemente, deve accomodare lo schema, modificando la configurazione della mano e la pressione delle dita per adattarsi alla forma particolare dell'oggetto. Quando uno studente incontra un fenomeno che contraddice le proprie teorie scientifiche, deve accomodare le proprie strutture concettuali, ristrutturando la comprensione per incorporare la nuova informazione contraddittoria. L'accomodamento è essenziale per la crescita cognitiva: permette agli schemi di evolversi, di diventare più sofisticati e accurati, e di adattarsi alla realtà oggettiva del mondo.

Assimilazione e accomodamento non sono processi separati e alternativi, ma piuttosto aspetti complementari di ogni atto cognitivo. Ogni incontro con l'ambiente comporta simultaneamente l'assimilazione dell'esperienza agli schemi esistenti e, in qualche misura, l'accomodamento di quegli schemi alle particolarità dell'esperienza. Il rapporto tra questi due processi varia: quando l'assimilazione predomina, l'individuo interpreta l'esperienza principalmente in termini delle proprie strutture cognitive esistenti, come avviene nel gioco simbolico dove il bambino assimila la realtà ai propri desideri e fantasie. Quando l'accomodamento predomina, l'individuo modifica profondamente le proprie strutture per conformarsi alla realtà esterna, come avviene nell'imitazione precisa di modelli esterni.

Lo sviluppo cognitivo, secondo Piaget, è guidato dalla ricerca continua di equilibrio tra assimilazione e accomodamento, un processo che egli chiamava equilibrazione. L'equilibrazione è il processo autoregolativo attraverso cui il sistema cognitivo tende verso stati di equilibrio sempre più stabili ed estesi. Quando un individuo incontra esperienze che non possono essere facilmente assimilate agli schemi esistenti, si crea uno stato di squilibrio cognitivo o conflitto cognitivo. Questo squilibrio è fonte di motivazione intrinseca per l'apprendimento: l'individuo è spinto a risolvere la contraddizione, a ristrutturare gli schemi, a cercare nuove comprensioni che possano restaurare l'equilibrio a un livello superiore di organizzazione.

Gli stadi dello sviluppo cognitivo rappresentano, in questa prospettiva, forme di equilibrio progressivamente più stabili e potenti. Ogni stadio costituisce un sistema coerente di schemi e operazioni che permette di assimilare efficacemente un'ampia gamma di esperienze. La transizione da uno stadio all'altro non è improvvisa ma graduale, innescata dall'accumulo di squilibri che gli schemi dello stadio attuale non riescono più a risolvere adeguatamente. Attraverso cicli ripetuti di squilibrio, accomodamento e riequilibrazione a livelli superiori, il bambino costruisce progressivamente strutture cognitive sempre più potenti, flessibili e astratte.

Un aspetto cruciale della teoria piagetiana è che questo processo di costruzione è attivo e autodiretto. Il bambino non è un recipiente passivo che assorbe informazioni dall'esterno, ma un costruttore attivo che genera conoscenza attraverso l'interazione con l'ambiente. Gli adulti possono facilitare questo processo fornendo ambienti ricchi di stimoli e opportunità di esplorazione, ma non possono trasmettere direttamente strutture cognitive mature: queste devono essere costruite dal bambino stesso attraverso la propria attività cognitiva. Questa concezione ha avuto profonde implicazioni pedagogiche, ispirando approcci educativi che enfatizzano l'apprendimento per scoperta, la manipolazione di materiali concreti e la risoluzione attiva di problemi.

Critiche e Sviluppi Successivi della Teoria Piagetiana

Sebbene la teoria di Piaget abbia esercitato un'influenza enorme sulla psicologia dello sviluppo e sull'educazione, ha anche ricevuto numerose critiche e revisioni da parte di ricercatori successivi. Una critica importante riguarda la sottostima delle competenze dei bambini piccoli. Ricerche più recenti, utilizzando metodologie più sensibili e compiti semplificati, hanno dimostrato che bambini in età preoperatoria possiedono capacità cognitive più sofisticate di quanto Piaget ritenesse. Ad esempio, studi sull'egocentrismo hanno mostrato che bambini di tre-quattro anni, in contesti adeguatamente strutturati e motivanti, sono capaci di adottare prospettive altrui, suggerendo che l'egocentrismo piagetiano potrebbe riflettere difficoltà prestazionali piuttosto che limitazioni competenziali.

Analogamente, ricerche sulla permanenza dell'oggetto utilizzando paradigmi di violazione dell'aspettativa hanno suggerito che anche neonati di pochi mesi possiedono una comprensione implicita della persistenza degli oggetti, sebbene manchino delle abilità motorie necessarie per manifestare questa comprensione nei compiti di ricerca attiva utilizzati da Piaget. Questi risultati hanno portato a una riconcettualizzazione dello sviluppo cognitivo, distinguendo tra conoscenza implicita e procedimentale, presente molto precocemente, e conoscenza esplicita e dichiarativa, che emerge più tardivamente.

Un'altra critica riguarda la concezione degli stadi come strutture unitarie e coerenti. La ricerca empirica ha documentato ampiamente il fenomeno del décalage, ovvero l'applicazione non sincronizzata di strutture cognitive a domini diversi. Un bambino può mostrare pensiero operatorio in un dominio (ad esempio la conservazione del numero) mentre continua a pensare in modo preoperatorio in un altro dominio (ad esempio la conservazione del peso). Questa variabilità inter-dominio è difficile da conciliare con l'idea di stadi come strutture d'insieme unitarie e ha portato alcuni teorici a favorire modelli che enfatizzano la specificità di dominio dello sviluppo cognitivo.

La teoria piagetiana ha anche ricevuto critiche per la relativa trascuratezza dei fattori sociali e culturali nello sviluppo cognitivo. Lev Vygotsky e i teorici socioculturali hanno evidenziato come il pensiero si sviluppi primariamente attraverso l'interazione sociale e l'appropriazione di strumenti culturali, piuttosto che attraverso l'interazione individuale con oggetti fisici. Secondo questa prospettiva, il linguaggio, i sistemi simbolici, gli artefatti culturali e le pratiche sociali giocano un ruolo costitutivo nello sviluppo cognitivo, non semplicemente facilitante come nella teoria piagetiana.

Nonostante queste critiche, l'eredità di Piaget rimane fondamentale. I suoi concetti di costruzione attiva della conoscenza, di equilibrazione, di assimilazione e accomodamento continuano a informare la ricerca contemporanea. La sua visione del bambino come scienziato in miniatura che formula teorie sulla realtà, le testa attraverso l'azione e le rivede alla luce dell'esperienza rimane una metafora potente e influente. La sua enfasi sulla natura qualitativa delle trasformazioni cognitive, sull'importanza dell'azione e dell'esperienza diretta, e sulla sequenzialità ordinata dello sviluppo continua a guidare sia la ricerca che la pratica educativa.

Capitolo 14: Apprendimento come Trasformazione delle Rappresentazioni Mentali

Superare il Modello della Tabula Rasa: Dalla Mente Vuota alla Costruzione Attiva

La metafora della tabula rasa, introdotta dal filosofo empirista John Locke nel diciassettesimo secolo, concepiva la mente umana alla nascita come una "lavagna vuota" sulla quale l'esperienza inscrive progressivamente conoscenze attraverso l'associazione di sensazioni. Questa concezione, che ha profondamente influenzato il pensiero educativo per secoli, implica una visione passiva dell'apprendimento: l'individuo sarebbe un recipiente che accumula gradualmente informazioni fornite dall'ambiente esterno, costruendo associazioni sempre più complesse tra elementi sensoriali elementari.

La ricerca contemporanea nelle neuroscienze cognitive e nella psicologia dell'apprendimento ha radicalmente superato questa concezione semplicistica, rivelando che l'apprendimento è un processo profondamente attivo, costruttivo e trasformativo. Lungi dall'essere una semplice registrazione passiva di informazioni esterne, l'apprendimento comporta la ristrutturazione attiva delle rappresentazioni mentali esistenti, la costruzione di nuove connessioni concettuali, e la riorganizzazione funzionale delle reti neurali che sottendono la cognizione.

La concezione contemporanea dell'apprendimento riconosce che gli individui non arrivano a situazioni di apprendimento come "lavagne vuote", ma portano con sé un patrimonio ricco e complesso di conoscenze pregresse, teorie intuitive, aspettative, credenze e schemi interpretativi che influenzano profondamente come nuove informazioni vengono percepite, interpretate e integrate. Questo bagaglio cognitivo preesistente non è semplicemente un insieme di contenuti accumulati, ma costituisce un sistema strutturato di rappresentazioni mentali che filtrano attivamente l'esperienza e determinano quali aspetti dell'ambiente ricevono attenzione, come vengono interpretati e come vengono conservati in memoria.

Le rappresentazioni mentali possono assumere forme diverse: rappresentazioni percettive o immagini mentali che preservano caratteristiche sensoriali degli oggetti e degli eventi; rappresentazioni proposizionali che codificano informazioni in forma simbolica astratta simile al linguaggio; schemi e script che rappresentano situazioni stereotipate e sequenze di eventi; modelli mentali che simulano il funzionamento di sistemi complessi; teorie intuitive che forniscono spiegazioni causali dei fenomeni. Queste diverse forme di rappresentazione

non sono compartimenti stagni ma interagiscono dinamicamente, e lo stesso contenuto può essere rappresentato simultaneamente in formati multipli.

Neuroplasticità: Il Substrato Biologico dell'Apprendimento

Una delle scoperte più rivoluzionarie delle neuroscienze degli ultimi decenni riguarda la neuroplasticità, ovvero la capacità del sistema nervoso di modificare la propria struttura e funzione in risposta all'esperienza. Questa proprietà fondamentale costituisce il substrato biologico dell'apprendimento e della memoria, demolendo la concezione precedente del cervello adulto come struttura essenzialmente statica e dimostrando invece la sua straordinaria capacità di riorganizzazione continua.

La neuroplasticità si manifesta a molteplici livelli di organizzazione, dall'efficienza della trasmissione sinaptica tra singoli neuroni, alla formazione e eliminazione di sinapsi, alla modifica della morfologia dendritica, fino alla riorganizzazione su larga scala delle mappe corticali. Questi cambiamenti strutturali e funzionali non sono fenomeni marginali o eccezionali, ma processi continui che caratterizzano il funzionamento normale del sistema nervoso per tutta la durata della vita, sebbene con tassi e meccanismi che variano in funzione dell'età, del tipo di esperienza e della regione cerebrale considerata.

A livello molecolare e cellulare, la plasticità sinaptica rappresenta il meccanismo fondamentale attraverso cui l'esperienza modifica le reti neurali. Le sinapsi, le giunzioni specializzate attraverso cui i neuroni comunicano, non sono strutture fisse ma altamente dinamiche, la cui efficacia può essere potenziata o indebolita in funzione dei pattern di attività neurale. Questa modulazione dell'efficacia sinaptica costituisce il substrato cellulare della formazione di memorie e dell'acquisizione di nuove competenze.

Il potenziale neuronale d'azione che attraversa l'assone e raggiunge la terminazione presinaptica provoca il rilascio di neurotrasmettitori nella fessura sinaptica. Questi neurotrasmettitori si legano a recettori sulla membrana postsinaptica, producendo modificazioni del potenziale elettrico del neurone postsinaptico. L'efficacia di questo processo di trasmissione sinaptica, ovvero la probabilità e l'ampiezza della risposta postsinaptica a un dato input presinaptico, può essere modificata dall'esperienza attraverso numerosi meccanismi molecolari complessi.

Il potenziamento a lungo termine, comunemente indicato con l'acronimo LTP dall'inglese Long-Term Potentiation, rappresenta uno dei meccanismi di plasticità sinaptica più intensamente studiati e meglio caratterizzati. Il LTP consiste in un aumento duraturo dell'efficacia della trasmissione sinaptica che si verifica quando due neuroni sono ripetutamente attivi in modo sincronizzato. Questo fenomeno incarna una forma di apprendimento hebbiano, dal nome dello psicologo Donald Hebb che nel 1949 formulò il principio secondo cui "neuroni che si attivano insieme si collegano insieme" (neurons that fire together wire together).

Il meccanismo molecolare del LTP è stato studiato in particolare dettaglio nelle sinapsi dell'ippocampo, una struttura cerebrale cruciale per la formazione di nuove memorie esplicite. Quando il neurone presinaptico rilascia ripetutamente glutammato e il neurone postsinaptico è simultaneamente depolarizzato, si verifica l'attivazione di recettori NMDA, un particolare tipo di recettore del glutammato che funziona come rilevatore di coincidenza.

L'attivazione dei recettori NMDA permette l'ingresso di ioni calcio nella cellula postsinaptica, innescando una cascata di segnali intracellulari che porta all'inserimento di nuovi recettori AMPA nella membrana postsinaptica, aumentando così la responsività della sinapsi agli input futuri.

Il LTP può durare da minuti a ore nella sua fase iniziale, dipendendo da modificazioni post-traduzionali delle proteine esistenti. La fase tardiva del LTP, che può persistere per giorni, settimane o potenzialmente per tutta la vita, richiede la sintesi di nuove proteine e modificazioni strutturali più durature delle sinapsi, inclusa la crescita di nuove spine dendritiche (le piccole protrusioni dove si formano la maggior parte delle sinapsi eccitatorie) e l'espansione delle zone attive presinaptiche dove vengono rilasciati i neurotrasmettitori.

Il meccanismo complementare al LTP è la depressione a lungo termine o LTD (Long-Term Depression), che consiste in un indebolimento duraturo dell'efficacia sinaptica. Il LTD si verifica tipicamente quando l'attività presinaptica e postsinaptica sono dissociate temporalmente, quando il neurone presinaptico si attiva mentre quello postsinaptico è relativamente quiescente, o quando pattern di stimolazione a bassa frequenza portano a un aumento più moderato del calcio intracellulare che attiva pathway molecolari diversi rispetto a quelli attivati dal LTP.

Il LTD non è semplicemente l'assenza di potenziamento ma un processo attivo regolato da meccanismi molecolari specifici che portano all'internalizzazione dei recettori AMPA dalla membrana postsinaptica, riducendo così la responsività della sinapsi. Il LTD svolge funzioni cruciali nell'apprendimento: previene la saturazione delle sinapsi che se fossero solo potenziate perderebbero la capacità di codificare nuove informazioni; contribuisce alla riduzione del rumore nei circuiti neurali eliminando connessioni deboli o non utilizzate; e partecipa attivamente all'affinamento delle rappresentazioni neurali attraverso meccanismi di competizione sinaptica.

L'equilibrio dinamico tra LTP e LTD permette alle reti neurali di mantenere una plasticità continua senza andare incontro a instabilità. Questo equilibrio è regolato da sofisticati meccanismi omeostatici che monitorano i livelli di attività neurale e regolano conseguentemente l'eccitabilità neuronale e l'efficacia sinaptica, un fenomeno noto come plasticità omeostatica. Questi meccanismi assicurano che i neuroni mantengano livelli di attività funzionali nonostante le continue modificazioni delle singole sinapsi.

Oltre ai cambiamenti nell'efficacia delle sinapsi esistenti, l'esperienza può promuovere la formazione di nuove sinapsi, un processo chiamato sinaptogenesi, e l'eliminazione di sinapsi esistenti attraverso un processo di potatura sinaptica. Durante lo sviluppo, si verifica un'esplosione di sinaptogenesi seguita da un'estensiva potatura: il cervello umano produce un eccesso di sinapsi durante l'infanzia e poi elimina selettivamente quelle che non vengono rafforzate dall'uso, affinando progressivamente i circuiti neurali in funzione dell'esperienza specifica dell'individuo. Questo processo di "scolpire" i circuiti neurali attraverso l'eliminazione selettiva, regolato dal principio "usa o perdi", continua in forma più limitata anche nell'età adulta.

La plasticità morfologica si estende oltre le sinapsi individuali per includere modificazioni della struttura dendritica dei neuroni. I dendriti, le ramificazioni arborizzanti dei neuroni che ricevono input sinaptici, mostrano una plasticità notevole: l'esperienza può promuovere

l'allungamento di rami dendritici esistenti, la formazione di nuove ramificazioni, e la crescita di nuove spine dendritiche. Studi pionieristici condotti sui roditori hanno dimostrato che animali allevati in ambienti arricchiti, con opportunità di esplorazione, interazione sociale e apprendimento, sviluppano dendriti più ramificati, un numero maggiore di spine dendritiche e un SEZIONE corticale aumentato rispetto ad animali allevati in ambienti impoveriti.

A livelli di organizzazione superiori, la plasticità si manifesta attraverso la riorganizzazione delle mappe corticali funzionali. Le aree sensoriali e motorie della corteccia cerebrale contengono rappresentazioni topografiche del corpo e del mondo esterno: specifiche regioni corticali rispondono preferenzialmente a stimoli provenienti da particolari parti del corpo o da particolari regioni dello spazio sensoriale. Queste mappe non sono fisse ma si riorganizzano dinamicamente in risposta all'esperienza.

Studi classici di Michael Merzenich e colleghi hanno dimostrato che se le dita di una scimmia vengono ripetutamente stimolate durante un compito di discriminazione tattile, la regione della corteccia somatosensoriale che rappresenta quelle dita si espande, acquisendo territorio corticale precedentemente dedicato ad altre regioni del corpo. Analogamente, nell'audizione, l'allenamento intensivo alla discriminazione di frequenze sonore specifiche espande la rappresentazione corticale di quelle frequenze nell'area uditiva primaria. Questi fenomeni dimostrano che l'immobiliare corticale è distribuito dinamicamente in funzione del significato comportamentale e della rilevanza dell'esperienza.

Nell'uomo, studi di neuroimaging funzionale hanno documentato riorganizzazioni corticali drammatiche associate all'expertise in domini specifici. Musicisti professionisti mostrano un'espansione della rappresentazione corticale delle dita utilizzate per suonare il loro strumento, proporzionale agli anni di pratica musicale. Tassisti londinesi, che devono memorizzare e navigare la complessa rete stradale della città, mostrano un SEZIONE aumentato dell'ippocampo posteriore, una regione coinvolta nella memoria spaziale, ancora una volta correlato con gli anni di esperienza professionale. Questi esempi illustrano come l'esperienza intensiva e prolungata in domini specifici scolpisca letteralmente la struttura del cervello.

La neuroplasticità non si limita ai periodi di sviluppo ma persiste per tutta la vita, sebbene con caratteristiche che variano in funzione dell'età. Durante periodi critici o sensibili dello sviluppo, specifiche regioni cerebrali mostrano livelli particolarmente elevati di plasticità in risposta a input ambientali. Il classico esempio riguarda lo sviluppo del sistema visivo: esperimenti pionieristici di David Hubel e Torsten Wiesel hanno dimostrato che la deprivazione visiva monoculare durante un periodo critico dello sviluppo produce alterazioni permanenti nella corteccia visiva, con una drammatica riduzione della responsività ai neuroni dell'occhio deprivato e una corrispondente espansione della rappresentazione dell'occhio non deprivato.

Questi periodi critici riflettono finestre temporali durante le quali i circuiti neurali sono particolarmente suscettibili alla modellazione da parte dell'esperienza. Essi sono regolati da meccanismi molecolari complessi che includono cambiamenti nell'espressione di fattori neurotrofici, modificazioni nella neurotrasmissione inibitoria mediata dal GABA, e alterazioni della matrice extracellulare che circonda i neuroni. La chiusura dei periodi critici comporta

una stabilizzazione dei circuiti neurali che limita, ma non elimina completamente, la plasticità successiva.

Nel cervello adulto, la plasticità continua a operare, sebbene tipicamente richieda esperienze più intensive e prolungate per produrre cambiamenti strutturali confrontabili a quelli che si verificano facilmente durante lo sviluppo. L'apprendimento di nuove competenze complesse nell'età adulta, come imparare a suonare uno strumento musicale, padroneggiare una nuova lingua o acquisire competenze professionali specializzate, può ancora indurre riorganizzazioni significative delle reti neurali, sebbene la velocità e l'ampiezza di questi cambiamenti tendano a diminuire con l'età.

Una forma particolare di neuroplasticità adulta riguarda la neurogenesi, ovvero la nascita di nuovi neuroni. Per decenni si è creduto che il cervello dei mammiferi adulti fosse incapace di generare nuovi neuroni, un dogma che è stato sfidato dalla scoperta che specifiche regioni del cervello adulto, in particolare il giro dentato dell'ippocampo e la zona subventricolare, contengono cellule staminali neurali capaci di produrre nuovi neuroni funzionali. Nell'ippocampo dei roditori, l'esercizio fisico, l'arricchimento ambientale e certi tipi di apprendimento promuovono la neurogenesi, mentre lo stress cronico la inibisce. Questi nuovi neuroni si integrano nei circuiti esistenti e contribuiscono a processi di apprendimento e memoria, sebbene i dettagli funzionali di questo contributo rimangano oggetto di ricerca intensa.

La portata e la rilevanza funzionale della neurogenesi adulta nell'ippocampo umano sono state oggetto di dibattito scientifico acceso. Alcuni studi hanno suggerito che la neurogenesi ippocampale declina drasticamente dopo l'infanzia e diventa trascurabile nell'età adulta, mentre altri hanno riportato evidenze di neurogenesi continua fino alla vecchiaia. Indipendentemente dalla risoluzione di questa controversia, è chiaro che la stragrande maggioranza della plasticità cerebrale adulta non dipende dalla generazione di nuovi neuroni ma dalla modificazione delle connessioni tra neuroni esistenti.

La Ristrutturazione degli Schemi: Oltre l'Accumulo di Informazioni

Una distinzione fondamentale nella comprensione dell'apprendimento concerne la differenza tra l'accumulo quantitativo di informazioni all'interno di schemi esistenti e la ristrutturazione qualitativa degli schemi stessi. Questa distinzione, centrale nella teoria piagetiana discussa nel capitolo precedente attraverso i concetti di assimilazione e accomodamento, ha implicazioni profonde per la pedagogia e la progettazione di esperienze educative efficaci.

L'apprendimento come semplice accumulo è relativamente diretto: nuove informazioni vengono codificate all'interno di frameworks concettuali esistenti, arricchendo quantitativamente la base di conoscenze ma senza modificare fondamentalmente la struttura di quelle conoscenze. Un esempio potrebbe essere memorizzare nuove date storiche o vocaboli di una lingua straniera: queste informazioni si aggiungono a quelle già possedute senza richiedere una riorganizzazione dei principi di comprensione. Questo tipo di apprendimento, sebbene importante, tende a essere relativamente superficiale e a produrre conoscenze che rimangono compartimentalizzate e difficili da trasferire a contesti nuovi.

Il cambiamento concettuale o ristrutturazione degli schemi rappresenta una forma di apprendimento qualitativamente diversa e più profonda. Esso comporta la trasformazione delle strutture organizzative della conoscenza, la revisione di assunzioni fondamentali, la riorganizzazione di relazioni concettuali e l'integrazione di domini precedentemente separati. Questo tipo di apprendimento è tipicamente più difficile, richiede tempi più lunghi e spesso incontra resistenze significative, ma produce comprensioni più robuste, flessibili e trasferibili.

La ricerca sul cambiamento concettuale ha documentato estensivamente come gli studenti arrivino all'istruzione formale con teorie intuitive o misconcezioni che spesso entrano in conflitto con le concezioni scientifiche che l'educazione cerca di trasmettere. Ad esempio, molti studenti possiedono teorie intuitive del movimento che assomigliano alla fisica aristotelica: credono che per mantenere un oggetto in movimento sia necessaria una forza continua nella direzione del movimento, che oggetti più pesanti cadano più velocemente di oggetti leggeri, o che un oggetto lanciato in avanti e poi lasciato cadere seguirà una traiettoria che include un segmento verticale improvviso piuttosto che la traiettoria parabolica predetta dalla fisica newtoniana.

Queste misconcezioni non sono semplicemente assenze di conoscenza che possono essere riempite attraverso l'istruzione diretta, ma piuttosto teorie coerenti e funzionali che sono state costruite attraverso anni di esperienza quotidiana e che forniscono spiegazioni plausibili di molti fenomeni ordinari. Un oggetto spinto si ferma quando la spinta cessa; questo fatto osservazionale supporta l'idea che il movimento richieda forza continua, mentre l'attrito, la forza realmente responsabile della cessazione del movimento, rimane invisibile e non viene spontaneamente considerato.

Il superamento di queste misconcezioni richiede ristrutturazione concettuale: gli studenti devono non semplicemente aggiungere nuove informazioni ma riorganizzare fondamentalmente la loro comprensione della causalità fisica, distinguere tra forze e resistenze, comprendere il ruolo dell'inerzia, e rivedere le relazioni tra forza, massa e accelerazione. Questo processo è spesso difficile e graduale, caratterizzato da periodi di confusione, da oscillazioni tra concezioni alternative, e da una resistenza iniziale ad abbandonare teorie intuitive che hanno funzionato ragionevolmente bene nell'esperienza quotidiana.

Le condizioni che facilitano il cambiamento concettuale sono state oggetto di ricerca estensiva. Un principio fondamentale è che gli studenti devono essere resi consapevoli delle proprie concezioni attuali e delle loro limitazioni. L'istruzione efficace spesso inizia elicitando esplicitamente le teorie intuitive degli studenti, poi crea situazioni che rendono manifeste le contraddizioni o inadeguatezze di quelle teorie. Questo processo di generare conflitto cognitivo o dissonanza è essenziale per motivare la ristrutturazione: finché le concezioni esistenti sembrano funzionare adeguatamente, c'è poca ragione di abbandonarle.

Tuttavia, il conflitto cognitivo da solo è insufficiente. Affinché il cambiamento concettuale avvenga, gli studenti devono essere esposti a concezioni alternative che non solo risolvano le contraddizioni rivelate ma che siano anche intelligibili, plausibili e fruttuose. Una nuova concezione è intelligibile se lo studente può comprenderne il significato e le implicazioni; è plausibile se appare credibile e coerente con altre conoscenze e credenze dello studente; è

fruttuosa se si dimostra utile per risolvere problemi, spiegare fenomeni e generare nuove comprensioni.

Il processo di ristrutturazione concettuale non è tipicamente improvviso ma graduale, caratterizzato da stadi intermedi in cui vecchie e nuove concezioni coesistono, utilizzate in contesti diversi o applicate in modo inconsistente. Gli studenti possono utilizzare concezioni scientifiche corrette in contesti scolastici formali mentre continuano a fare affidamento su teorie intuitive in situazioni quotidiane. L'obiettivo dell'educazione non è semplicemente sostituire concezioni ingenue con concezioni scientifiche ma facilitare l'integrazione progressiva, l'estensione del dominio di applicazione delle concezioni scientifiche, e lo sviluppo di metaconoscenza su quando e perché applicare diverse concezioni.

La ristrutturazione degli schemi non si limita a domini scientifici ma caratterizza l'apprendimento profondo in tutti i campi. Nell'apprendimento di competenze complesse, come suonare uno strumento musicale o praticare uno sport, la progressione dall'esecuzione novizio a quella esperta comporta ripetute riorganizzazioni della conoscenza procedurale. Inizialmente, i principianti devono prestare attenzione consapevole a ogni movimento elementare, coordinando faticosamente componenti discrete dell'azione. Con la pratica, queste componenti si integrano in unità funzionali più ampie, procedure automatizzate che possono essere eseguite senza controllo attentivo consapevole, liberando risorse cognitive per aspetti più globali della performance come l'espressione musicale o la strategia tattica.

Questa progressione comporta non semplicemente l'accumulo di più movimenti memorizzati ma una riorganizzazione qualitativa di come l'abilità è rappresentata e controllata. L'expertise si caratterizza per percezioni qualitativamente diverse, con gli esperti che percepiscono pattern significativi e relazioni strutturali che i novizi non riconoscono; per organizzazioni della conoscenza più gerarchiche e integrate, con principi di livello superiore che organizzano dettagli specifici; e per strategie di problem-solving qualitivamente diverse, che lavorano "in avanti" dalla comprensione del problema alla soluzione piuttosto che "all'indietro" per tentativi ed errori.

Il Fenomeno dell'Insight: Discontinuità nell'Apprendimento

Mentre gran parte dell'apprendimento e della ristrutturazione concettuale è graduale, caratterizzato da progressi incrementali attraverso pratica distribuita e feedback, esiste un fenomeno particolarmente intrigante che sembra violare questa caratterizzazione: l'insight o illuminazione improvvisa. L'insight si riferisce a quelle esperienze di comprensione improvvisa in cui la soluzione di un problema o la comprensione di un concetto emerge apparentemente all'improvviso, spesso accompagnata da una sensazione emotiva distintiva comunemente espressa come "Aha!" o "Eureka!".

Il fenomeno dell'insight ha affascinato psicologi e scienziati cognitivi fin dagli albori della psicologia sperimentale. I gestaltisti, una scuola di psicologia tedesca del primo Novecento, condussero studi pionieristici sull'insight utilizzando problemi che richiedevano ristrutturazioni percettive o concettuali improvvise. Wolfgang Köhler osservò scimpanzé confrontati con il problema di raggiungere banane poste fuori portata diretta: dopo periodi di tentativi infruttuosi, gli animali sembravano improvvisamente "capire" che potevano usare

bastoni come strumenti o impilare casse per costruire una scala, eseguendo poi rapidamente e senza errori la soluzione.

Questi e altri esperimenti suggerirono che l'insight comporta una riorganizzazione improvvisa della rappresentazione del problema. Elementi della situazione che erano stati percepiti in un modo vengono improvvisamente reinterpretati, relazioni precedentemente non notate diventano salienti, e vincoli auto-imposti vengono riconosciuti e abbandonati. Il classico problema dei nove punti illustra efficacemente questo fenomeno: disposti nove punti in una griglia tre per tre, il compito richiede di connettere tutti i punti con quattro segmenti retti senza sollevare la penna dal foglio. La stragrande maggioranza delle persone inizialmente fallisce perché assume implicitamente che le linee debbano rimanere all'interno del perimetro definito dai punti, un vincolo non specificato nel problema. L'insight si verifica quando improvvisamente si realizza che le linee possono estendersi oltre questo perimetro immaginario, permettendo la soluzione.

La fenomenologia dell'insight è distintiva: è tipicamente preceduta da un periodo di impasse in cui tentativi ripetuti falliscono e la persona sperimenta frustrazione e confusione; la soluzione emerge improvvisamente, spesso quando l'attenzione è distolta dal problema; è accompagnata da una forte sensazione di certezza e da un'esperienza emotiva positiva; e la soluzione, una volta raggiunta, appare ovvia in retrospettiva, generando sorpresa per non averla vista immediatamente.

Le spiegazioni cognitive dell'insight enfatizzano diversi processi potenzialmente coinvolti. La ristrutturazione rappresentazionale è centrale: l'insight richiede cambiare il modo in cui il problema è mentalmente rappresentato, spesso abbandonando assunzioni iniziali inappropriate o notando caratteristiche precedentemente trascurate. Questo processo può essere ostacolato dalla fissazione funzionale, la tendenza a percepire oggetti solo in termini dei loro usi convenzionali, impedendo di riconoscere usi alternativi potenzialmente utili per la soluzione del problema.

Il periodo di incubazione, in cui la persona si allontana consapevolmente dal problema dopo tentativi infruttuosi, sembra spesso facilitare l'insight. Diverse spiegazioni sono state proposte per questo fenomeno: l'incubazione può permettere la dissipazione di attivazioni inappropriate che inibivano la soluzione; può permettere processi inconsci di ricerca associativa di continuare in background; può fornire opportunità per esposizione casuale a stimoli ambientali che innescano nuove associazioni rilevanti; o può semplicemente offrire un recupero da fatica mentale che ostacola il pensiero flessibile.

Ricerche neuroscientifiche sull'insight utilizzando tecniche di neuroimaging hanno identificato pattern di attivazione cerebrale distintivi associati all'esperienza dell'illuminazione improvvisa. Studi hanno riportato aumenti di attività nella corteccia cingolata anteriore, coinvolta nel monitoraggio di conflitti e nel rilevamento di necessità di cambiare strategia, e nel lobo temporale anteriore destro, particolarmente nella regione del giro temporale superiore, immediatamente prima e durante l'esperienza dell'insight. Inoltre, si osserva un aumento sincronizzato di oscillazioni gamma nella banda di frequenza alta, che sono state associate all'integrazione di informazioni da regioni cerebrali distribuite.

È importante notare che la dicotomia tra apprendimento graduale e insight improvviso potrebbe essere meno netta di quanto appaia fenomenologicamente. Anche quando la

soluzione emerge apparentemente all'improvviso, essa è tipicamente preparata da un periodo esteso di tentativi, acquisizione di informazioni rilevanti, e ristrutturazioni graduali parziali che non raggiungono la soglia della consapevolezza. L'insight potrebbe rappresentare il momento in cui una riorganizzazione cognitiva in corso attraversa una soglia critica, diventando improvvisamente accessibile alla coscienza, piuttosto che costituire un processo qualitativamente diverso dall'apprendimento graduale.

Il Transfer dell'Apprendimento: Quando e Come la Conoscenza Si Trasforma

Un obiettivo fondamentale dell'educazione è promuovere apprendimenti che non rimangano confinati ai contesti specifici in cui sono stati acquisiti ma che possano essere applicati flessibilmente a situazioni nuove e diverse. Questo fenomeno, noto come transfer dell'apprendimento, rappresenta uno dei criteri più importanti per valutare la profondità e l'utilità della conoscenza acquisita. La capacità di trasferire conoscenze e competenze da un dominio a un altro trasforma l'apprendimento da un'accumulazione inerte di fatti isolati in uno strumento potente per il pensiero e l'azione adattiva.

Il transfer può essere categorizzato secondo diverse dimensioni. Il transfer vicino o near transfer si riferisce all'applicazione di conoscenze a situazioni molto simili a quelle originali di apprendimento, che condividono caratteristiche superficiali evidenti. Il transfer lontano o far transfer comporta l'applicazione di principi astratti o strategie a situazioni che appaiono superficialmente molto diverse dal contesto originale di apprendimento. Il transfer positivo si verifica quando l'apprendimento precedente facilita la performance in compiti nuovi, mentre il transfer negativo avviene quando conoscenze o abilità precedentemente acquisite interferiscono con la performance in nuovi contesti.

La ricerca psicologica sul transfer ha rivelato che esso non si verifica automaticamente o facilmente come si potrebbe sperare o assumere. Studi classici condotti all'inizio del ventesimo secolo hanno ripetutamente dimostrato che l'allenamento in compiti specifici produce miglioramenti pronunciati in quei compiti ma transfer sorprendentemente limitato a compiti anche apparentemente correlati. L'idea della "disciplina formale", secondo cui l'allenamento di facoltà mentali generali come "la memoria" o "il ragionamento logico" attraverso lo studio di discipline come il latino o la geometria avrebbe migliorato queste facoltà in modo generalizzato, ha ricevuto scarso supporto empirico.

Tuttavia, ricerche più recenti hanno identificato condizioni sotto le quali il transfer diventa più probabile e hanno chiarito i meccanismi cognitivi che lo sottendono. Un principio fondamentale è che il transfer è facilitato quando gli apprendenti acquisiscono non solo conoscenze specifiche ma anche principi generali e astratti che possono essere applicati a molteplici situazioni. Quando l'istruzione rende espliciti i principi sottostanti, incoraggia gli studenti a riflettere su somiglianze strutturali profonde tra problemi superficialmente diversi, e fornisce pratica nell'applicazione di principi a contesti variati, il transfer migliora significativamente.

La teoria dello schema suggerisce che il transfer si verifica quando gli individui riconoscono che una nuova situazione è un'istanza di uno schema già posseduto, permettendo l'applicazione di conoscenze associate a quello schema. Questa prospettiva enfatizza

l'importanza della rappresentazione mentale: due situazioni possono condividere una struttura sottostante profonda ma essere rappresentate in modi che mascherano questa similitudine. Il transfer richiede la capacità di "vedere attraverso" le differenze superficiali per riconoscere le somiglianze strutturali rilevanti.

Un famoso esempio di questo fenomeno proviene dagli studi di analogical transfer condotti da Mary Gick e Keith Holyoak. Ai partecipanti veniva presentato il "problema della radiazione": un tumore maligno deve essere distrutto con radiazioni, ma radiazioni sufficientemente intense da distruggere il tumore danneggerebbero anche i tessuti sani circostanti. La soluzione richiede di far convergere simultaneamente raggi di bassa intensità da direzioni multiple, in modo che solo nel punto di convergenza (il tumore) l'intensità sia sufficiente per la distruzione.

Questo problema è notoriamente difficile. Tuttavia, se i partecipanti avevano precedentemente letto una storia apparentemente non correlata su un generale che conquista una fortezza facendo convergere simultaneamente piccoli gruppi di soldati da direzioni multiple (dato che l'intera armata su una singola strada avrebbe fatto esplodere mine), la probabilità di risolvere il problema della radiazione aumentava significativamente. L'analogia strutturale tra i due problemi (convergenza di risorse da direzioni multiple per ottenere intensità sufficiente solo al target) può facilitare il transfer.

Ciononostante, il transfer analogico spontaneo rimane relativamente raro: molti partecipanti che avevano letto la storia del generale non la applicavano spontaneamente al problema della radiazione senza essere esplicitamente incoraggiati a considerare possibili analogie. Questo fenomeno, noto come fallimento dell'accesso spontaneo all'analogia, suggerisce che possedere conoscenze potenzialmente rilevanti è insufficiente; cruciale è anche la capacità di riconoscere la rilevanza e recuperare quelle conoscenze nel momento opportuno.

Diversi fattori influenzano la probabilità di transfer. La similarità superficiale tra contesti facilita il transfer perché rende più probabile che le connessioni vengano spontaneamente notate. La pratica variata, in cui le competenze sono acquisite attraverso applicazione a molteplici contesti diversi, favorisce l'astrazione di principi generali e riduce la dipendenza da caratteristiche superficiali specifiche. L'istruzione esplicita su quando e perché applicare conoscenze, nota come conoscenza condizionale, migliora significativamente il transfer appropriato.

Il livello di comprensione profonda influenza crucialmente il transfer. Apprendimenti meccanici basati su memorizzazione di procedure senza comprensione dei principi sottostanti tendono a produrre transfer minimo: gli studenti riescono a riprodurre procedure in contesti identici a quelli di apprendimento ma falliscono quando il problema è presentato in forma diversa o richiede adattamenti della procedura. Comprensioni profonde che catturano relazioni causali, principi esplicativi e strutture concettuali generali producono transfer molto più robusto.

La metacognizione, ovvero la consapevolezza e il controllo dei propri processi cognitivi, svolge un ruolo cruciale nel transfer. Apprendenti metacognitivamente sofisticati monitorano attivamente la propria comprensione, ricercano connessioni tra aree di conoscenza diverse, riflettono sull'applicabilità di strategie e principi a problemi nuovi, e regolano adattivamente il proprio approccio quando le strategie correnti si dimostrano inefficaci. L'educazione che

promuove esplicitamente competenze metacognitive tende a produrre apprendimenti più trasferibili.

È importante riconoscere che la conoscenza non esiste in forma astratta e decontestualizzata, ma è sempre situata in contesti di acquisizione e applicazione. Teorie della cognizione situata enfatizzano che il transfer non è semplicemente l'applicazione di conoscenze generali a situazioni specifiche, ma piuttosto un processo di adattamento e trasformazione continua delle conoscenze in funzione dei vincoli e delle opportunità offerti da contesti particolari. Da questa prospettiva, anche quello che appare come "stesso" principio applicato in contesti diversi comporta sempre qualche grado di ricostruzione e adattamento.

Il transfer dell'apprendimento rappresenta, in ultima analisi, la capacità della mente umana di andare oltre l'esperienza immediata, di riconoscere pattern ricorrenti attraverso la varietà fenomenica, di astrarre principi generali da istanze specifiche, e di applicare creativamente conoscenze acquisite a situazioni nuove. Questa capacità trasforma l'apprendimento da un adattamento passivo a esperienze locali in uno strumento attivo per la comprensione e l'azione in un mondo complesso e in continuo cambiamento.

Conclusioni: Verso una Visione Integrata dello Sviluppo Cognitivo e dell'Apprendimento

I capitoli esplorati in questo saggio rivelano una visione dell'apprendimento e dello sviluppo cognitivo profondamente diversa dalla metafora semplicistica della tabula rasa. La mente umana non è un recipiente passivo che accumula gradualmente informazioni, ma un sistema dinamico che costruisce attivamente rappresentazioni, ristruttura continuamente schemi concettuali, e si riorganizza a molteplici livelli in risposta all'esperienza.

La teoria piagetiana dello sviluppo cognitivo, con la sua articolazione di stadi sequenziali caratterizzati da strutture di pensiero qualitativamente distinte, offre un framework potente per comprendere le trasformazioni che caratterizzano il pensiero infantile e adolescenziale. Il progresso dal pensiero sensomotorio, ancorato all'azione concreta, attraverso il pensiero preoperatorio con le sue limitazioni egocentriche e percettive, verso il pensiero operatorio concreto e infine formale, con le sue capacità di astrazione, reversibilità e ragionamento ipotetico, testimonia l'enorme potenziale costruttivo della mente umana.

I meccanismi di assimilazione e accomodamento, con la loro interazione dinamica mediata dall'equilibrazione, forniscono una spiegazione processuale di come avvenga lo sviluppo. La tensione continua tra conservare schemi esistenti e modificarli in risposta alle richieste dell'esperienza guida progressioni verso stati di equilibrio sempre più stabili, potenti e astratti. Questi principi piagetiani risuonano profondamente con la moderna comprensione neuroscientifica della plasticità cerebrale.

La neuroplasticità, manifestata attraverso LTP, LTD, sinaptogenesi, rimodellamento dendritico e riorganizzazione di mappe corticali, costituisce il substrato biologico attraverso cui l'esperienza scolpisce la struttura e la funzione del cervello. Questi meccanismi molecolari e cellulari implementano, a livello neurale, i processi di costruzione, ristrutturazione e affinamento delle rappresentazioni mentali che caratterizzano

l'apprendimento significativo. La corrispondenza tra livelli di spiegazione psicologica e neuroscientifica, sebbene ancora parziale e in via di elaborazione, suggerisce una visione integrata in cui processi cognitivi e meccanismi neurali sono complementari piuttosto che alternativi.

La ristrutturazione degli schemi, che va oltre il semplice accumulo quantitativo di informazioni per comportare riorganizzazioni qualitative della conoscenza, emerge come caratteristica distintiva dell'apprendimento profondo. Il cambiamento concettuale, particolarmente evidente nel superamento di misconcezioni scientifiche ma presente in tutti i domini di apprendimento significativo, richiede sforzo, tempo e condizioni pedagogiche appropriate. Non è sufficiente fornire informazioni corrette; è necessario creare opportunità per gli apprendenti di confrontare le proprie concezioni con alternative, di sperimentare i limiti delle proprie teorie intuitive, e di costruire gradualmente comprensioni più sofisticate attraverso un processo attivo di riorganizzazione concettuale.

Il fenomeno dell'insight aggiunge una dimensione affascinante a questa comprensione dell'apprendimento. Mentre gran parte della ristrutturazione è graduale e incrementale, l'esperienza dell'illuminazione improvvisa dimostra che talvolta comprensioni completamente nuove possono emergere apparentemente all'improvviso, con una riorganizzazione discontinua della rappresentazione del problema. Questi momenti "Aha!" non contraddicono l'enfasi sulla costruzione graduale ma rivelano come processi inconsci di incubazione e riorganizzazione possano procedere sotto la soglia della consapevolezza, manifestandosi improvvisamente quando attraversano una soglia critica di coerenza o completezza.

Il transfer dell'apprendimento rappresenta forse il criterio ultimo di successo educativo: la capacità di applicare principi, strategie e comprensioni a situazioni nuove e diverse da quelle originali di apprendimento. Il transfer non avviene automaticamente ma richiede condizioni specifiche: astrazione di principi generali oltre istanze specifiche; pratica variata attraverso contesti multipli; comprensione profonda piuttosto che memorizzazione meccanica; e sviluppo di competenze metacognitive che permettono il riconoscimento di quando e come applicare conoscenze esistenti a problemi nuovi.

La visione integrata che emerge da questi diversi filoni di ricerca concepisce l'apprendimento come un processo multilivello che coinvolge simultaneamente trasformazioni neurali, riorganizzazioni cognitive e costruzioni sociali di significato. A livello neurale, l'esperienza modifica l'efficacia sinaptica, genera nuove connessioni, potenzia circuiti rilevanti e riorganizza mappe corticali. A livello cognitivo, schemi concettuali vengono costruiti, testati contro l'esperienza, accomodati quando inadeguati, e progressivamente raffinati verso maggiore coerenza, completezza e potere esplicativo. A livello sociale e culturale, l'apprendimento si inscrive in comunità di pratica, utilizza strumenti simbolici culturalmente costruiti, e è mediato da interazioni con altri più esperti.

Queste prospettive complementari convergono nel riconoscere la natura fondamentalmente costruttiva, attiva e trasformativa dell'apprendimento umano. La mente non rispecchia passivamente la realtà ma la interpreta attivamente, costruisce modelli, genera ipotesi, le testa contro l'esperienza, e le rivede iterativamente. Questo processo non termina mai completamente: anche il pensiero adulto maturo rimane plastico, capace di nuove

comprensioni, soggetto a revisioni alla luce di nuove evidenze, e continuamente impegnato in cicli di equilibrazione a livelli progressivamente più sofisticati.

Per l'educazione, queste comprensioni comportano implicazioni profonde. L'istruzione efficace non può limitarsi alla trasmissione di informazioni ma deve facilitare la costruzione attiva di conoscenza da parte degli apprendenti. Deve diagnosticare e affrontare esplicitamente le concezioni preesistenti che gli studenti portano all'istruzione. Deve creare opportunità per l'esplorazione attiva, la sperimentazione, il confronto con anomalie e contraddizioni che stimolano la ristrutturazione. Deve rendere espliciti principi generali e promuovere il transfer attraverso pratica variata e riflessione metacognitiva.

Riconoscere che l'apprendimento comporta trasformazione delle rappresentazioni mentali piuttosto che semplice accumulo di informazioni significa anche accettare che l'apprendimento profondo richiede tempo, sforzo cognitivo intenso, e tolleranza per periodi di confusione e incertezza che precedono riorganizzazioni comprensive. L'educazione che rispetta questa realtà cognitiva sarà più paziente, fornirà supporto appropriato durante periodi di transizione concettuale, e valuterà il successo non solo attraverso la riproduzione di informazioni ma attraverso la dimostrazione di comprensione flessibile e trasferibile.

Infine, la plasticità continua del cervello adulto, sebbene ridotta rispetto ai periodi di sviluppo, offre una prospettiva ottimistica sulla capacità di apprendimento per tutta la vita. Gli esseri umani mantengono la capacità di acquisire nuove competenze, ristrutturare comprensioni, e adattarsi cognitivamente a sfide nuove ben oltre l'infanzia e l'adolescenza. Questa capacità di trasformazione continua, radicata nella neuroplasticità e resa possibile dai meccanismi di equilibrazione e ristrutturazione degli schemi, costituisce una delle caratteristiche più notevoli e promettenti della cognizione umana.

La conoscenza non è mai veramente statica o completa: è un processo dinamico di costruzione, revisione e raffinamento continuo. Riconoscere questa natura trasformativa dell'apprendimento ci libera da concezioni riduttive che vedono l'educazione come riempimento di contenitori vuoti o incisione su superfici vergini, e ci invita invece a concepire gli apprendenti come costruttori attivi che, dotati di strumenti concettuali appropriati, supporto sociale adeguato, e ambienti ricchi di opportunità, possono continuamente trasformare le proprie rappresentazioni mentali verso comprensioni sempre più potenti, flessibili e illuminate della realtà che abitano e contribuiscono a creare.

SEZIONE V: TRASFORMAZIONI GEOGRAFICHE E CARTOGRAFICHE

CAPITOLO 15: TETTONICA - CONTINENTI CHE MIGRANO

La Rivoluzione della Deriva Continentale

Quando Alfred Wegener propose nel 1912 la sua teoria della deriva dei continenti, il mondo scientifico accolse con scetticismo quella che sembrava un'idea fantasiosa: i continenti, queste immense masse di roccia che ci appaiono così stabili e permanenti, si muovono lentamente sulla superficie terrestre come zattere galleggianti su un oceano di roccia viscosa. Eppure, osservando attentamente le coste dell'Africa occidentale e del Sud America orientale, risulta impossibile non notare come i loro profili si incastrino con una precisione che non può essere casuale. È come se qualcuno avesse strappato un'antica mappa e i frammenti conservassero ancora la memoria della loro unità originaria.

La verità di questa intuizione si sarebbe rivelata solo decenni dopo, quando l'accumulo di prove geologiche, paleontologiche e geofisiche ha trasformato quella che era considerata un'ipotesi eterodossa nella teoria unificante della geologia moderna: la tettonica delle placche. Questa teoria non spiega soltanto perché i continenti si muovono, ma fornisce un quadro coerente per comprendere terremoti, vulcani, catene montuose, la distribuzione degli oceani e persino l'evoluzione della vita sulla Terra.

Pangea: L'Ultimo Supercontinente

La storia della Terra è scandita dalla formazione e disgregazione di supercontinenti, ma quello che ci è più familiare, perché più recente nella storia geologica del pianeta, è Pangea. Il nome stesso, coniato da Wegener, significa "tutta la terra" in greco antico, ed evoca perfettamente l'immagine di un'unica massa continentale circondata da un unico, sterminato oceano chiamato Panthalassa.

Circa duecentocinquanta milioni di anni fa, durante il Permiano superiore, quasi tutte le terre emerse del pianeta erano unite in questo gigantesco supercontinente. La sua forma ricordava vagamente una lettera C, con una profonda insenatura sulla costa orientale chiamata Mare di Tethys, un oceano tropicale che separava la parte settentrionale del supercontinente (Laurasia) da quella meridionale (Gondwana). Immaginiamo per un momento come doveva essere quel mondo: non esistevano l'Oceano Atlantico, l'Oceano Indiano come li conosciamo oggi. Un dinosauro teorico avrebbe potuto camminare dal Sud America all'Africa, dall'Australia all'Antartide, senza mai incontrare un oceano.

Il clima di Pangea era estremo. L'interno del supercontinente era caratterizzato da condizioni desertiche estreme, con temperature torride durante il giorno e gelide di notte, perché le masse d'aria umide provenienti dall'oceano non potevano penetrare per migliaia di chilometri nell'entroterra. Solo le coste godevano di un clima più temperato. Questa configurazione geografica ebbe profonde conseguenze sulla vita: molte specie si estinsero, mentre altre prosperarono, e il libero scambio genetico tra popolazioni che vivevano su terre che oggi sono separate da oceani spiega perché troviamo fossili identici su continenti ora distanti.

La Frammentazione del Supercontinente

La disgregazione di Pangea iniziò circa duecentodieci milioni di anni fa, durante il Triassico, quando forze immense iniziarono a lacerare il supercontinente dal suo interno. Il processo non fu improvviso ma graduale, scandito da fasi successive che durarono centinaia di milioni di anni e che continuano ancora oggi. La prima grande frattura si aprì lungo quello che sarebbe diventato l'Oceano Atlantico centrale, separando inizialmente il Nord America

dall'Africa. Successivamente, circa centottanta milioni di anni fa, durante il Giurassico, il Sud America iniziò a separarsi dall'Africa, e contemporaneamente il Gondwana cominciò a frammentarsi internamente.

L'India, che faceva parte del Gondwana insieme ad Africa, Sud America, Antartide e Australia, iniziò il suo viaggio verso nord circa centoquaranta milioni di anni fa, attraversando l'oceano che si stava aprendo (il futuro Oceano Indiano) a una velocità sorprendentemente elevata per gli standard geologici: circa quindici centimetri all'anno, una velocità che farebbe crescere le unghie umane. Questo viaggio epico durò decine di milioni di anni, fino a quando, circa cinquanta milioni di anni fa, l'India si scontrò con l'Asia, provocando il sollevamento della catena dell'Himalaya, il più spettacolare esempio di costruzione di montagne per collisione continentale che possiamo osservare oggi.

L'Atlantico continuò ad allargarsi, separando sempre più l'Europa dall'America settentrionale e l'Africa dal Sud America. L'Australia si staccò dall'Antartide circa quarantacinque milioni di anni fa, iniziando la sua deriva verso nord che continua ancora oggi. L'Antartide rimase isolata al polo sud, dove la mancanza di correnti oceaniche calde e l'isolamento geografico portarono alla formazione della gigantesca calotta glaciale che la ricopre oggi.

Attualmente, circa duecentodieci milioni di anni dopo l'inizio della frammentazione, i continenti continuano a muoversi. L'Oceano Atlantico si allarga di circa due centimetri e mezzo all'anno, la stessa velocità con cui crescono le unghie umane, mentre l'Oceano Pacifico si sta restringendo. L'Africa si sta muovendo verso l'Europa, restringendo il Mediterraneo, che tra qualche decina di milioni di anni potrebbe chiudersi completamente. La California occidentale, situata sulla placca del Pacifico, sta scivolando verso nord rispetto al resto del Nord America, sulla placca nordamericana, e tra circa quindici milioni di anni Los Angeles potrebbe trovarsi alla stessa latitudine di San Francisco.

Le Placche Litosferiche: L'Anatomia del Movimento

Per comprendere come i continenti possano muoversi, dobbiamo prima capire la struttura stratificata della Terra. Il pianeta non è un corpo omogeneo, ma è organizzato in gusci concentrici, ciascuno con proprietà fisiche e chimiche distinte. All'esterno troviamo la crosta, uno strato relativamente sottile che rappresenta meno dell'un percento del SEZIONE terrestre: ha uno spessore di circa sette chilometri sotto gli oceani (crosta oceanica) e può raggiungere i settanta chilometri sotto le catene montuose continentali (crosta continentale).

Sotto la crosta si estende il mantello, che rappresenta circa l'ottantaquattro percento del SEZIONE terrestre e si estende fino a una profondità di circa duemilanovecentocinque chilometri. Il mantello superiore, fino a circa quattrocento chilometri di profondità, ha caratteristiche meccaniche particolari: pur essendo solido, si comporta come un materiale estremamente viscoso su scale temporali geologiche, un po' come il vetro che, pur apparendo solido, in realtà è un liquido estremamente viscoso che scorre impercettibilmente nel corso dei secoli.

La litosfera, il guscio rigido esterno del pianeta, comprende la crosta e la parte superiore più fredda e rigida del mantello, e ha uno spessore complessivo che varia da circa cento a duecento chilometri. Questa litosfera non è continua, ma è frammentata in circa una dozzina di placche principali e numerose placche minori, che si muovono l'una rispetto all'altra. Sotto

la litosfera si trova l'astenosfera, uno strato del mantello superiore parzialmente fuso e duttile, che permette alle placche litosferiche di scivolare lentamente sopra di esso.

Le placche si muovono con velocità che variano tipicamente da pochi millimetri a una decina di centimetri all'anno. Questa velocità può sembrare insignificante, ma su scale temporali geologiche produce effetti drammatici: in cento milioni di anni, una placca che si muove a cinque centimetri all'anno percorre cinquemila chilometri, una distanza sufficiente a spostare un continente dall'equatore al polo.

La Convezione Mantellica: Il Motore dei Continenti

Ma cosa spinge le placche a muoversi? L'energia proviene dal calore interno della Terra, residuo della formazione del pianeta e continuamente alimentato dal decadimento radioattivo di elementi come l'uranio, il torio e il potassio contenuti nelle rocce. Questo calore crea correnti di convezione nel mantello: il materiale caldo e meno denso sale dalle profondità, mentre il materiale più freddo e denso scende. È lo stesso meccanismo che osserviamo quando riscaldiamo una pentola d'acqua sul fuoco: l'acqua calda sul fondo sale, mentre quella più fredda in superficie scende, creando un movimento circolare continuo.

Le correnti di convezione nel mantello, tuttavia, sono estremamente lente: il materiale roccioso può impiegare centinaia di milioni di anni per completare un ciclo convettivo. Queste correnti trascinano le placche litosferiche soprastanti, ma il meccanismo non è semplicemente quello di un nastro trasportatore passivo. La situazione è più complessa e coinvolge anche altre forze, in particolare la spinta gravitazionale esercitata dalle placche stesse.

Una delle forze più importanti è il cosiddetto "slab pull", la trazione esercitata dalla parte di una placca che sprofonda nel mantello lungo le zone di subduzione. La litosfera oceanica, una volta formata nelle dorsali medio-oceaniche, si raffredda lentamente man mano che si allontana dalla dorsale, diventando più densa. Quando diventa sufficientemente densa, più densa dell'astenosfera sottostante, tende a sprofondare nel mantello per effetto della gravità. Questa parte di placca che sprofonda, chiamata "lastra" o "slab", tira con sé il resto della placca con una forza considerevole, forse la più importante tra quelle che governano il movimento delle placce.

Un'altra forza significativa è il "ridge push", la spinta esercitata dalle dorsali medio-oceaniche, che si trovano a una quota più elevata rispetto al resto del fondale oceanico. Il materiale caldo che sale sotto le dorsali le solleva, creando una pendenza topografica. Le placce tendono quindi a scivolare giù da questa pendenza per gravità, anche se questa forza è generalmente considerata meno importante del slab pull.

Subduzione: Dove la Crosta Scompare

Le zone di subduzione rappresentano uno dei fenomeni più drammatici e geologicamente significativi della tettonica delle placche. Sono i luoghi dove la litosfera oceanica, divenuta fredda, densa e pesante dopo decine o centinaia di milioni di anni dalla sua formazione, si inabissa nel mantello terrestre, scomparendo dalla superficie. Questo processo non è

gentile: è accompagnato da terremoti violenti, vulcanismo esplosivo e dalla costruzione di profonde fosse oceaniche che rappresentano i punti più bassi della superficie terrestre.

La Fossa delle Marianne nel Pacifico occidentale, il punto più profondo degli oceani terrestri con i suoi circa undicimila metri sotto il livello del mare, segna il punto dove la placca del Pacifico si inabissa sotto la placca delle Filippine. Qui, la pressione è così immensa che l'acqua stessa cambia le sue proprietà fisiche, e le forme di vita che abitano quelle profondità abissali sono tra le creature più straordinarie del pianeta, adattate a condizioni che per noi sono semplicemente inconcepibili.

Quando una placca oceanica si inabissa, porta con sé acqua intrappolata nei sedimenti e nelle rocce alterate del fondale marino. Man mano che la placca scende e la pressione e la temperatura aumentano, quest'acqua viene rilasciata e sale nel mantello sovrastante, abbassando il punto di fusione delle rocce del mantello. Questo innesca la fusione parziale del mantello, producendo magma che, essendo meno denso delle rocce circostanti, sale verso la superficie. Quando questo magma raggiunge la superficie, genera vulcani, tipicamente disposti in archi paralleli alla fossa di subduzione, a una distanza di circa duecento-trecento chilometri da essa.

Gli archi vulcanici associati alle zone di subduzione sono responsabili di alcune delle eruzioni più violente e pericolose della storia umana. L'eruzione del Krakatoa nel 1883, del Monte Pelée nel 1902, e più recentemente del Monte Pinatubo nel 1991, sono tutti esempi di vulcani di subduzione. Questi vulcani sono caratterizzati da magmi ricchi in silice, viscosi e carichi di gas, che producono eruzioni esplosive molto più violente rispetto ai vulcani delle dorsali oceaniche o dei punti caldi come le Hawaii.

I terremoti associati alle zone di subduzione sono tra i più potenti che il pianeta possa generare. Quando la placca che subduce si inabissa, non scivola dolcemente nel mantello, ma procede a scatti: per lunghi periodi, l'attrito tra le due placche blocca il movimento, mentre lo stress si accumula. Quando la resistenza dell'attrito viene superata, la placca si muove improvvisamente di alcuni metri, rilasciando in pochi secondi l'energia accumulata in decenni o secoli. Questo movimento improvviso genera le onde sismiche che avvertiamo come terremoto.

Il terremoto di magnitudo 9,5 che colpì il Cile nel 1960, il più potente mai registrato strumentalmente, fu generato dalla subduzione della placca di Nazca sotto la placca sudamericana. Il terremoto di magnitudo 9,1 che colpì il Giappone nel 2011, causando il devastante tsunami e il disastro nucleare di Fukushima, fu anch'esso un terremoto di subduzione. Questi eventi rilasciano energie paragonabili a centinaia o migliaia di bombe atomiche e possono causare spostamenti verticali del fondale marino di diversi metri, generando tsunami che attraversano gli oceani a velocità di settecento-ottocento chilometri all'ora.

Spreading: La Nascita della Nuova Crosta

All'opposto delle zone di subduzione, dove la crosta viene distrutta, troviamo le dorsali medio-oceaniche, dove nuova crosta viene continuamente creata. Queste dorsali formano il sistema montuoso più lungo del pianeta: una catena sottomarina che si estende per oltre

sessantamila chilometri, serpeggiando attraverso tutti gli oceani come la cucitura di una palla da baseball.

Lungo l'asse delle dorsali, il mantello caldo sale dalle profondità, subisce una decompressione adiabatica che ne provoca la fusione parziale, e il magma risultante si infiltra nella crosta sovrastante, raggiungendo il fondale oceanico. Qui, a contatto con l'acqua fredda dell'oceano, il magma si solidifica rapidamente, formando nuova crosta oceanica composta principalmente di basalto. Questo processo è chiamato "seafloor spreading" o espansione del fondale oceanico.

La nuova crosta si forma simmetricamente su entrambi i lati della dorsale, spingendo via la crosta più vecchia in un processo continuo che ricorda un nastro trasportatore a doppia via. Man mano che la crosta si allontana dalla dorsale, si raffredda, si contrae, diventa più densa e sprofonda, formando le piane abissali che costituiscono gran parte del fondale oceanico. La crosta più giovane si trova sempre presso la dorsale, mentre la crosta più vecchia si trova ai margini degli oceani, dove spesso sprofonda nelle zone di subduzione.

Questo processo lascia una registrazione magnetica straordinaria. Durante la solidificazione del basalto, i minerali ferromagnetici contenuti nella roccia si orientano secondo il campo magnetico terrestre del momento. Poiché il campo magnetico terrestre si è invertito numerose volte nel corso della storia geologica (con il polo nord magnetico che diventa polo sud e viceversa), il fondale oceanico conserva un pattern di strisce magnetiche simmetriche rispetto alla dorsale: strisce di polarità normale alternate a strisce di polarità invertita. Questa scoperta, fatta negli anni Sessanta, fornì una delle prove più convincenti della teoria della tettonica delle placche.

La velocità di espansione varia da dorsale a dorsale. La Dorsale Est-Pacifica, una delle più attive, si espande a una velocità di circa quindici centimetri all'anno (la velocità complessiva considerando entrambi i lati della dorsale), mentre la Dorsale Medio-Atlantica si espande a circa due centimetri e mezzo all'anno. Queste differenze di velocità influenzano la morfologia delle dorsali: quelle ad espansione veloce hanno una topografia più dolce e un rift vallare meno pronunciato, mentre quelle ad espansione lenta presentano una valle di rift profonda e ben definita lungo l'asse.

L'ambiente delle dorsali medio-oceaniche ospita ecosistemi straordinari. Nel 1977, quando i ricercatori esplorarono per la prima volta con sommergibili le profondità delle dorsali, scoprirono con stupore comunità biologiche rigogliose attorno alle sorgenti idrotermali, i cosiddetti "fumatori neri" o "black smokers". Questi getti di acqua superriscaldata (fino a quattrocento gradi Celsius), carica di minerali disciolti, sgorgano dal fondale e precipitano formando camini minerali. Attorno a questi fumatori vivono batteri chemiosintetici che, invece di usare la luce solare come fonte di energia (fotosintesi), utilizzano l'energia chimica dei composti solforati disciolti nell'acqua. Questi batteri costituiscono la base di una catena alimentare che include vermi tubolari giganti, molluschi, crostacei e pesci, tutti adattati a vivere in totale oscurità a migliaia di metri di profondità.

Mountain Building: Le Collisioni Continentali

Quando due placche continentali si scontrano, nessuna delle due può subdurre nell'astenosfera perché la crosta continentale, composta principalmente da rocce granitiche

relativamente leggere, è troppo poco densa per affondare nel mantello più denso. Il risultato è un colossale accartocciamento della crosta, con il materiale che viene spinto verso l'alto formando imponenti catene montuose. Questo processo è chiamato orogenesi, dalla parola greca che significa "nascita delle montagne".

L'esempio più spettacolare di orogenesi per collisione continentale è l'Himalaya, generato dallo scontro tra la placca indiana e la placca eurasiatica iniziato circa cinquanta milioni di anni fa. Quando l'India, nel suo viaggio verso nord dopo la frammentazione del Gondwana, si scontrò con l'Asia, l'oceano che le separava (la Tetide) fu completamente chiuso. I sedimenti marini che si erano accumulati sul fondale della Tetide furono compressi, deformati e sollevati, formando parte dell'Himalaya. Questo spiega perché sui picchi più alti dell'Himalaya, a ottomila metri di quota, si trovano rocce sedimentarie marine contenenti fossili di creature che un tempo vivevano sul fondo dell'oceano.

La collisione continua ancora oggi. L'India si muove verso nord a circa cinque centimetri all'anno, e l'Himalaya si solleva di circa cinque millimetri all'anno, anche se l'erosione rimuove materiale quasi alla stessa velocità. Lo scontro è così violento che ha spinto materiale crostale e mantellico fino a profondità enormi: sotto l'Himalaya, la crosta raggiunge uno spessore di settanta chilometri, più del doppio dello spessore normale della crosta continentale. La collisione ha anche sollevato l'intero Altopiano Tibetano, una regione vasta quanto l'Europa occidentale che si trova a una quota media di cinquemila metri, il più alto e vasto altopiano del mondo.

Le Alpi europee rappresentano un altro esempio di catena montuosa generata da collisione continentale, in questo caso tra la placca africana e quella eurasiatica. La loro formazione iniziò circa sessantacinque milioni di anni fa e continua tuttora, come testimoniato dalla sismicità ancora attiva della regione. La struttura delle Alpi è estremamente complessa, con falde di ricoprimento (thrust sheets) dove blocchi di roccia sono stati spinti orizzontalmente per decine di chilometri sopra altre rocce, creando una sovrapposizione di unità geologiche che originariamente erano separate da centinaia di chilometri.

Gli Appalachi nel Nord America orientale e le Caledonie della Scozia rappresentano invece catene montuose antiche, formate circa quattrocento milioni di anni fa dalla collisione che portò alla formazione del supercontinente Pangea. Un tempo queste montagne potrebbero essere state alte quanto l'Himalaya oggi, ma centinaia di milioni di anni di erosione le hanno ridotte alle altitudini moderate che osserviamo attualmente. Tuttavia, le loro radici profonde e la struttura geologica complessa testimoniano ancora la violenza delle forze che le hanno generate.

Il Ciclo di Wilson: Il Respiro degli Oceani

Il geofisico canadese John Tuzo Wilson propose negli anni Sessanta che gli oceani attraversano un ciclo completo di apertura e chiusura che dura tipicamente alcune centinaia di milioni di anni, un ciclo che porta il suo nome. Secondo questo modello, il ciclo inizia con la formazione di un rift continentale, quando forze tettoniche iniziano a lacerare un continente dal suo interno. Questo stadio è osservabile oggi nella Great Rift Valley dell'Africa orientale, dove il continente africano sta lentamente iniziando a separarsi in due placche lungo una linea che va dal Mar Rosso fino al Mozambico.

Nello stadio di rift, il mantello caldo sale sotto il continente, assottigliando e indebolendo la litosfera. Si formano faglie normali (dove un blocco di roccia scivola verso il basso rispetto all'altro), creando una valle allungata. Il vulcanismo è comune, come testimoniato dal Monte Kilimanjaro e altri vulcani della Rift Valley. Se il processo continua, il continente finirà per separarsi completamente e inizierà a formarsi nuovo fondale oceanico nel rift.

Il Mar Rosso rappresenta uno stadio più avanzato: qui il continente si è già separato e un oceano giovane e stretto sta iniziando a formarsi. Una dorsale medio-oceanica si è stabilita e nuovo fondale oceanico viene creato, allontanando l'Arabia dall'Africa. L'Oceano Atlantico rappresenta uno stadio di oceano maturo: l'espansione continua da circa duecento milioni di anni, l'oceano è ampio e presenta dorsali medio-oceaniche ben sviluppate. I margini continentali sono passivi, cioè non sismicamente attivi, e si accumulano spessi depositi di sedimenti erosi dai continenti.

L'Oceano Pacifico rappresenta uno stadio di oceano vecchio e in fase di chiusura. È circondato quasi interamente da zone di subduzione (il cosiddetto "Anello di Fuoco del Pacifico"), dove la crosta oceanica sta sprofondando nel mantello. L'oceano si sta restringendo mentre l'Atlantico si allarga. Alla fine, tra qualche centinaia di milioni di anni, il Pacifico potrebbe chiudersi completamente, portando alla collisione dei continenti che lo circondano e alla formazione di un nuovo supercontinente.

Il Mediterraneo rappresenta il residuo di un antico oceano, la Tetide, che sta anch'esso chiudendosi. L'Africa si sta muovendo verso l'Europa, e tra alcune decine di milioni di anni il Mediterraneo potrebbe diventare una catena montuosa interna a un supercontinente, come le Alpi sono oggi il risultato della chiusura di un braccio della Tetide.

Questo ciclo di apertura e chiusura degli oceani è intimamente legato al ciclo dei supercontinenti. Circa ogni quattrocento-seicento milioni di anni, i continenti si aggregano formando un supercontinente, che poi si frammenta e i cui pezzi si disperdono, per poi eventualmente riunirsi nuovamente in una configurazione diversa. Prima di Pangea esisteva Rodinia (circa un miliardo di anni fa), e prima ancora altri supercontinenti di cui abbiamo tracce geologiche sempre più frammentarie. Questo ciclo, chiamato anche ciclo supercontinentale, ha profonde implicazioni per il clima, la circolazione oceanica, l'evoluzione della vita e la distribuzione delle risorse minerali.

Hotspots: I Pennacchi Mantellici e le Catene Vulcaniche

Non tutto il vulcanismo sulla Terra è associato ai margini delle placche. Esistono punti sulla superficie del pianeta dove vulcani attivi sorgono nel mezzo di una placca, lontani da qualsiasi margine tettonico. Questi sono gli hotspot, punti caldi dove pennacchi di materiale caldo salgono dalle profondità del mantello, forse addirittura dal confine tra mantello e nucleo a circa duemilanovecentocinque chilometri di profondità.

Le Isole Hawaii rappresentano l'esempio più studiato e iconico di catena vulcanica generata da un hotspot. L'arcipelago hawaiiano consiste in una serie di isole vulcaniche e seamount (vulcani sottomarini) che si estendono per circa seimila chilometri attraverso l'Oceano Pacifico centrale. La disposizione delle isole non è casuale: formano una linea quasi retta che curva a gomito a circa seicento chilometri a nord-ovest dell'isola principale. Questa

curva rappresenta un cambiamento nella direzione di movimento della placca del Pacifico avvenuto circa quarantatré milioni di anni fa.

La bellezza di questo sistema risiede nel fatto che l'hotspot sottostante rimane fisso (o quasi fisso) nella sua posizione rispetto al mantello profondo, mentre la placca del Pacifico scivola sopra di esso da sud-est verso nord-ovest. Quando l'hotspot perfora la placca e raggiunge la superficie, forma un vulcano. Ma poiché la placca continua a muoversi, il vulcano viene trasportato via dalla sua fonte di magma e gradualmente si spegne, mentre un nuovo vulcano si forma sopra l'hotspot. Il risultato è una catena di vulcani progressivamente più antichi man mano che ci si allontana dalla posizione attuale dell'hotspot.

L'isola di Hawaii (Big Island), la più sud-orientale e la più giovane dell'arcipelago, ospita vulcani ancora attivi come il Kilauea e il Mauna Loa. Il Kilauea è stato in eruzione quasi continuamente dal 1983 al 2018, con un fiume di lava che fluiva verso l'oceano aggiungendo nuovo terreno all'isola. Il Mauna Loa, il vulcano più massiccio della Terra, si eleva circa novemila metri dal fondale oceanico (di cui solo quattromila sopra il livello del mare), e ha un SEZIONE stimato di circa settantacinquemila chilometri cubi.

Spostandoci verso nord-ovest lungo la catena, le isole diventano progressivamente più vecchie. Maui, la seconda isola più grande, ha circa un milione di anni. Oahu, dove si trova Honolulu, ha circa tre milioni di anni e i suoi vulcani sono estinti. Kauai, ancora più a nord-ovest, ha circa cinque milioni di anni ed è fortemente erosa, con spettacolari canyon scavati dalla pioggia torrenziale che caratterizza il clima tropicale. Continuando verso nord-ovest, le isole diventano progressivamente più piccole, più vecchie ed erose, fino a ridursi a semplici atolli corallini e poi a seamount completamente sommersi.

La datazione radiometrica delle rocce lungo questa catena fornisce una misura diretta della velocità di movimento della placca del Pacifico. Se conosciamo l'età di un'isola e la sua distanza dall'hotspot attuale (che si trova leggermente a sud-est della Big Island), possiamo calcolare la velocità: risulta essere circa otto-nove centimetri all'anno nella direzione nord-ovest. Questo corrisponde perfettamente alle misure geodetiche moderne effettuate con GPS satellitare, fornendo una conferma indipendente e notevolmente precisa della tettonica delle placche.

Il gomito nella catena hawaiano-imperatore, dove la direzione cambia da nord-nord-ovest a ovest-nord-ovest, testimonia un cambiamento nella direzione di movimento della placca del Pacifico avvenuto circa quarantatré milioni di anni fa. Le seamount della catena Emperor, che si estendono dalla curva fino alla Fossa delle Aleutine dove vengono subdotte, hanno età progressivamente crescenti, con le più antiche che superano gli ottanta milioni di anni.

Altri hotspot notevoli includono quello dell'Islanda, situato proprio sopra la Dorsale Medio-Atlantica e responsabile dell'intensa attività vulcanica dell'isola; quello di Yellowstone nel Wyoming, che ha prodotto super-eruzioni catastrofiche nel passato e alimenta oggi le famose sorgenti termali e geyser del parco nazionale; quello delle Galapagos nell'Oceano Pacifico orientale; e quello della Riunione nell'Oceano Indiano, che ha prodotto in passato le gigantesche eruzioni dei Trappi del Deccan in India circa sessantasei milioni di anni fa.

La natura profonda degli hotspot è ancora oggetto di ricerca e dibattito. Mentre alcuni sembrano chiaramente originare dal mantello profondo (come quello delle Hawaii), altri

potrebbero avere origini più superficiali nel mantello superiore. Le tecniche di tomografia sismica, che usano le onde sismiche per "fotografare" l'interno della Terra come una TAC medica fotografa l'interno del corpo umano, hanno rivelato in alcuni casi condotti verticali di materiale anomalo che si estendono da profondità di duemila chilometri o più fino alla superficie, fornendo prove sempre più convincenti dell'esistenza di pennacchi mantellici profondi.

Le Trasformazioni Future: Un Pianeta in Perpetuo Movimento

Guardando al futuro geologico, possiamo fare previsioni ragionevolmente affidabili sui movimenti futuri delle placche, almeno per le prossime decine di milioni di anni. Questi scenari futuri non sono speculazioni fantascientifiche, ma estrapolazioni basate sulle velocità e direzioni attuali dei movimenti delle placche, misurate con precisione millimetrica attraverso tecniche geodetiche satellitari.

Tra circa cinquanta milioni di anni, se le tendenze attuali continueranno, l'Africa si sarà spostata ulteriormente verso nord, chiudendo quasi completamente il Mar Mediterraneo. Le coste meridionali europee e quelle settentrionali africane si scontreranno, creando una nuova catena montuosa che si estenderà dalla Spagna fino al Medio Oriente. Questa sarà la continuazione del processo che ha già sollevato le Alpi e gli Appennini. La Rift Valley dell'Africa orientale avrà continuato ad allargarsi, e l'Africa orientale potrebbe essersi separata dal resto del continente, creando un nuovo oceano simile al Mar Rosso attuale ma molto più ampio.

L'Australia continuerà la sua deriva verso nord, avvicinandosi sempre più al Sud-est asiatico. Potrebbe collidere con la placca eurasiatica, sollevando nuove catene montuose e creando connessioni terrestri che permetteranno migrazioni di fauna e flora tra i due continenti, eventi che avranno profonde conseguenze evolutive. L'Oceano Atlantico continuerà ad allargarsi, mentre il Pacifico si restringerà, le Americhe si avvicineranno all'Asia e all'Australia, e la California occidentale continuerà a scivolare verso nord lungo la faglia di San Andreas.

Su scale temporali ancora più lunghe, da cento a duecento milioni di anni, alcuni geologi ipotizzano la formazione di un nuovo supercontinente. Una proposta chiamata "Pangea Ultima" prevede che l'Atlantico inizierà eventualmente a chiudersi (dopo aver raggiunto la sua massima estensione), riportando le Americhe a contatto con Europa e Africa. Un'altra proposta, chiamata "Amasia", suggerisce invece che i continenti continueranno a migrare verso nord, convergendo attorno al Polo Nord e chiudendo l'Oceano Artico.

Questi scenari futuri ci ricordano che la geografia del nostro pianeta non è fissa ma in costante evoluzione. La distribuzione di terre e mari che conosciamo, che ci sembra così immutabile e permanente, è solo un'istantanea momentanea in un film che dura miliardi di anni. I continenti sono in movimento perpetuo, gli oceani si aprono e si chiudono, le montagne sorgono e vengono erose, in un ciclo che continuerà finché il calore interno della Terra manterrà attiva la convezione del mantello.

Il Significato Profondo della Tettonica delle Placche

La teoria della tettonica delle placche rappresenta molto più di una semplice spiegazione del perché i continenti si muovono. È una teoria unificante che collega fenomeni apparentemente disparati in un quadro coerente e predittivo. Spiega la distribuzione geografica dei terremoti e dei vulcani, che si concentrano lungo i margini delle placche. Spiega l'età del fondale oceanico, che è sempre giovane (nessuna parte del fondale oceanico ha più di duecento milioni di anni) perché la crosta oceanica viene continuamente creata e distrutta. Spiega la formazione delle catene montuose, sia quelle giovani e ancora in crescita come l'Himalaya, sia quelle antiche ed erose come gli Appalachi.

La tettonica delle placche ha anche profonde implicazioni per la comprensione dell'evoluzione della vita sulla Terra. La deriva dei continenti ha isolato popolazioni di organismi, permettendo l'evoluzione indipendente e la speciazione. Ha creato connessioni e disconnessioni tra masse terrestri, permettendo migrazioni e scambi genetici. Ha influenzato il clima globale attraverso la distribuzione di terre e mari, la formazione di catene montuose che alterano i pattern di circolazione atmosferica, e la chiusura o apertura di vie oceaniche che modificano la circolazione termoalina.

La distribuzione delle risorse naturali è intimamente legata alla tettonica delle placche. I giacimenti di petrolio e gas naturale si trovano spesso in bacini sedimentari formati durante episodi di rifting o lungo margini continentali passivi. I depositi di minerali metallici sono spesso associati a zone di subduzione, dove fluidi ricchi di minerali vengono mobilizzati dalle lastre subdotte. Le catene montuose erose espongono alla superficie rocce che contengono minerali preziosi. Comprendere la tettonica delle placche è quindi fondamentale non solo per la geologia pura, ma anche per l'esplorazione e lo sfruttamento delle risorse naturali.

Infine, la tettonica delle placche ci ricorda l'interconnessione profonda tra la geosfera, l'idrosfera, l'atmosfera e la biosfera. I movimenti delle placche influenzano il clima rilasciando gas vulcanici nell'atmosfera, alterando la circolazione oceanica, sollevando montagne che modificano i pattern di precipitazione. Il clima, a sua volta, influenza la velocità di erosione, che determina la quantità di sedimenti trasportati agli oceani, dove si accumulano sui margini continentali e possono eventualmente essere subdotti, ritornando nel mantello. È un sistema complesso di feedback e interconnessioni, un esempio magnifico della Terra come sistema integrato dove tutto è connesso a tutto il resto.

CAPITOLO 16: EROSIONE E SEDIMENTAZIONE

Il Ciclo Eterno della Roccia

Esiste sulla Terra un ciclo così fondamentale e pervasivo che opera sotto i nostri occhi ogni istante, eppure la sua lentezza maestosa lo rende quasi invisibile alla percezione umana diretta. È il ciclo delle rocce, un processo che trasforma incessantemente le montagne in sedimenti, i sedimenti in rocce sedimentarie, queste rocce in altre forme metamorfiche o magmatiche, e infine riporta il materiale in superficie dove il ciclo ricomincia. Questo ciclo, che opera su scale temporali di milioni di anni, è tanto fondamentale per la geologia quanto il ciclo dell'acqua lo è per la meteorologia, e rappresenta uno dei processi che rendono la Terra un pianeta geologicamente vivo.

Quando osserviamo una catena montuosa come le Alpi o le Ande, vediamo rocce che si ergono maestose verso il cielo, apparentemente eterne e immutabili. Ma queste rocce sono sotto costante attacco da parte delle forze dell'erosione: acqua, vento, ghiaccio, temperatura, organismi viventi, tutti congiurano per smantellare le montagne granello per granello. Il materiale eroso viene trasportato verso il basso dalla gravità, dall'acqua corrente, dal vento, dai ghiacciai, accumulandosi in luoghi di deposizione come pianure alluvionali, delta, bacini marini. Nel corso di milioni di anni, questi sedimenti vengono sepolti, compattati, cementati, trasformandosi in nuove rocce sedimentarie.

Ma la storia non finisce qui. Se queste rocce sedimentarie vengono sepolte abbastanza profondamente, la pressione e la temperatura crescenti possono trasformarle in rocce metamorfiche, alterandone la mineralogia e la struttura senza fonderle completamente. Se vengono sepolte ancora più profondamente, o se incontrano magma che sale dalle profondità, possono fondersi completamente, dando origine a magma che, raffreddandosi, formerà rocce ignee. E se questi movimenti tettonici portano queste rocce nuovamente in superficie, l'erosione ricomincia il suo lavoro, chiudendo il ciclo.

James Hutton, il geologo scozzese del diciottesimo secolo considerato il padre della geologia moderna, fu il primo a comprendere pienamente questo ciclo. Osservando le rocce lungo la costa scozzese, Hutton vide strati di arenaria deposti orizzontalmente sul fondo di antichi mari, poi piegati e sollevati dalle forze tettoniche, poi erosi, poi ricoperti da nuovi strati sedimentari. La sua famosa frase "non troviamo vestigia di un inizio, né prospettive di una fine" cattura perfettamente la natura ciclica e apparentemente eterna di questi processi geologici.

Weathering: La Disintegrazione della Roccia Solida

Il weathering, o alterazione, è il primo passo nella trasformazione delle montagne in sedimenti. È il processo attraverso il quale le rocce solide e coerenti vengono gradualmente disgregare in frammenti sempre più piccoli e, nel caso del weathering chimico, trasformate in nuove sostanze minerali. Questo processo avviene principalmente alla superficie terrestre o molto vicino ad essa, dove le rocce sono esposte all'atmosfera, all'idrosfera e alla biosfera.

Il weathering può essere suddiviso in tre categorie principali in base ai meccanismi dominanti: fisico, chimico e biologico. Nella realtà, questi tre tipi operano quasi sempre simultaneamente e si rinforzano reciprocamente, creando un attacco combinato che poche rocce possono resistere indefinitamente.

Weathering Fisico: La Frammentazione Meccanica

Il weathering fisico, chiamato anche weathering meccanico, disgrega le rocce in frammenti più piccoli senza alterarne la composizione chimica. È come prendere una roccia e spaccarla ripetutamente con un martello: alla fine avremo molti pezzi piccoli invece di uno grande, ma ogni pezzo avrà la stessa composizione chimica dell'originale.

Il processo più importante di weathering fisico nelle regioni temperate e fredde è il frost wedging, o crioclastismo. L'acqua, sostanza così comune da sembrare banale, possiede una proprietà fisica straordinaria e quasi unica: si espande di circa il nove percento quando congela. Quando l'acqua penetra nelle fessure e nelle fratture di una roccia e poi congela

durante la notte o in inverno, la pressione esercitata dall'espansione del ghiaccio può raggiungere valori enormi, fino a duemila atmosfere. Questa pressione è sufficiente a allargare le fratture e, con cicli ripetuti di gelo e disgelo, può letteralmente spaccare la roccia.

Chiunque abbia camminato ai piedi di una parete rocciosa in montagna ha probabilmente visto i talus o falde detritiche, accumuli di frammenti rocciosi che si accumulano alla base delle pareti. Questi detriti sono il prodotto del frost wedging: i frammenti si staccano dalla parete rocciosa sovrastante, cadono per gravità e si accumulano formando coni o falde detritiche con una pendenza caratteristica di circa trenta-quaranta gradi, l'angolo naturale di riposo per materiale granulare sciolto.

Un altro meccanismo importante di weathering fisico è l'espansione termica differenziale. Le rocce, specialmente quelle ignee come il granito, sono composte da diversi minerali con coefficienti di espansione termica differenti. Quando una roccia si scalda durante il giorno e si raffredda durante la notte, i vari minerali si espandono e contraggono di quantità diverse. Nel corso di molti cicli, questi movimenti differenziali creano stress interni che possono portare alla formazione di fratture. Nelle regioni desertiche, dove l'escursione termica giornaliera può superare i quaranta gradi Celsius, questo processo può essere particolarmente efficace.

L'exfoliazione è un particolare tipo di weathering fisico che produce la sfaldatura di lastre curve dalla superficie di massi rocciosi, particolarmente comuni in rocce granitiche. Quando le rocce che si sono formate in profondità vengono portate in superficie dall'erosione del materiale sovrastante, la riduzione della pressione litostatica (la pressione esercitata dal peso delle rocce sovrastanti) permette alla roccia di espandersi leggermente. Questa espansione avviene principalmente parallelamente alla superficie, creando fratture concentriche. Nel tempo, lastre di roccia si staccano come gli strati di una cipolla, un processo particolarmente evidente in luoghi come Half Dome nel Parco Nazionale di Yosemite in California.

La crescita di cristalli di sale nelle fessure delle rocce rappresenta un altro meccanismo di weathering fisico, particolarmente importante nelle regioni aride e nelle aree costiere. Quando l'acqua salina evapora all'interno delle fessure, i sali precipitano e cristallizzano, esercitando una pressione che può allargare le fratture. Questo processo è responsabile del deterioramento di molti monumenti e edifici storici nelle regioni mediterranee e medio-orientali.

Weathering Chimico: La Trasformazione Molecolare

Il weathering chimico altera la composizione chimica delle rocce, trasformando i minerali originali in nuove sostanze, spesso più stabili nelle condizioni superficiali. Mentre il weathering fisico produce frammenti che sono chimicamente identici alla roccia madre, il weathering chimico produce sostanze chimicamente diverse. È la differenza tra rompere un pezzo di zucchero in pezzi più piccoli (ancora zucchero) e sciogliere lo zucchero in acqua (producendo una soluzione con proprietà diverse).

L'idrolisi è probabilmente il processo di weathering chimico più importante. In questo processo, le molecole d'acqua non agiscono semplicemente come solvente, ma reagiscono chimicamente con i minerali della roccia. I feldspati, che costituiscono circa il sessanta

percento delle rocce ignee della crosta terrestre, sono particolarmente suscettibili all'idrolisi. Quando un minerale di feldspato potassico reagisce con acqua leggermente acida (e l'acqua piovana è naturalmente leggermente acida a causa della CO_2 disciolta), si trasforma gradualmente in minerali argillosi, rilasciando ioni di potassio e silice in soluzione.

La reazione può essere schematizzata come: $2\ KAlSi_3O_8 + 2\ H_2CO_3 + 9\ H_2O \rightarrow Al_2Si_2O_5(OH)_4 + 2\ K^+ + 2\ HCO_3^- + 4\ H_4SiO_4$

Il feldspato potassico ($KAlSi_3O_8$) reagisce con acido carbonico (H_2CO_3, formato dalla CO_2 disciolta in acqua) per formare caolite ($Al_2Si_2O_5(OH)_4$), un minerale argilloso, liberando ioni potassio, bicarbonato e acido silicico in soluzione. Questo processo trasforma il feldspato, un minerale duro e insolubile, in argilla, un materiale soffice e impermeabile. Le argille prodotte dal weathering dei feldspati costituiscono una parte significativa dei suoli terrestri e dei sedimenti marini.

L'ossidazione è un altro processo chimico fondamentale, particolarmente evidente nelle rocce contenenti ferro. Quando i minerali ferrosi (contenenti Fe^{2+}) sono esposti all'ossigeno atmosferico in presenza di acqua, il ferro si ossida a ferro ferrico (Fe^{3+}), formando ossidi e idrossidi di ferro come l'ematite (Fe_2O_3) e la limonite ($FeO(OH)\cdot nH_2O$). Questi composti danno alle rocce alterate le caratteristiche colorazioni rosse, gialle e arancioni che vediamo comunemente nelle rocce esposte. La formazione della ruggine sul ferro metallico è essenzialmente lo stesso processo.

La dissoluzione è il processo attraverso il quale i minerali si sciolgono completamente in acqua. Mentre tutti i minerali sono solubili in qualche misura, alcuni lo sono molto più di altri. Il salgemma ($NaCl$) è estremamente solubile e si dissolve rapidamente anche in acqua pura. Il gesso ($CaSO_4\cdot 2H_2O$) è moderatamente solubile. Ma il processo di dissoluzione geologicamente più significativo riguarda il calcare ($CaCO_3$).

Il calcare è praticamente insolubile in acqua pura, ma diventa molto solubile in acqua leggermente acida. L'acqua piovana, arricchita di CO_2 atmosferica, forma acido carbonico debole. Questa acqua acida può dissolvere il calcare secondo la reazione:

$$CaCO_3 + H_2CO_3 \rightarrow Ca^{2+} + 2\ HCO_3^-$$

Questa reazione è reversibile: se l'acqua ricca di ioni calcio e bicarbonato perde CO_2 (per esempio quando emerge da una sorgente o quando l'acqua di una grotta evapora), il calcare può precipitare nuovamente, formando strutture come stalattiti, stalagmiti e travertino.

La dissoluzione del calcare crea alcuni dei paesaggi più spettacolari della Terra: il paesaggio carsico. In queste regioni, caratterizzate da rocce calcaree, l'acqua acida scava un complesso sistema di canali sotterranei, caverne, doline, e lascia in superficie torri e pinnacoli di roccia resistente. Le grotte di Carlsbad nel New Mexico, le grotte di Mammoth nel Kentucky (il sistema di caverne più lungo del mondo con oltre seicento chilometri di passaggi esplorati), e i paesaggi carsici della Cina meridionale e del Vietnam con le loro torri calcaree coperte di vegetazione che emergono drammaticamente dalla pianura, sono tutti prodotti della dissoluzione chimica del calcare.

Weathering Biologico: Il Ruolo degli Organismi

Gli organismi viventi contribuiscono significativamente al weathering sia attraverso azioni fisiche che chimiche. Le radici delle piante, crescendo nelle fratture delle rocce, esercitano una pressione meccanica che può allargare le fessure, funzionando come cunei viventi. Chiunque abbia visto un albero crescere su una roccia o le radici che sollevano e spaccano un marciapiede ha osservato questo processo in azione. Ma l'azione delle radici non è solo meccanica: esse rilasciano anche acidi organici che possono dissolvere i minerali, estraendo nutrienti essenziali come fosforo, potassio e calcio dalle rocce.

I licheni, organismi simbiotici formati da un fungo e un'alga o un cianobatterio, sono particolarmente efficaci nell'alterare le rocce. Possono crescere su superfici rocciose nude dove poche altre forme di vita potrebbero sopravvivere, e producono acidi organici che corrodono chimicamente la roccia sottostante. Nelle regioni alpine e artiche, dove la vegetazione superiore è scarsa, i licheni sono spesso i principali agenti di weathering. Nel corso di centinaia o migliaia di anni, l'azione dei licheni può trasformare una superficie rocciosa liscia in una superficie ruvida e parzialmente decomposta che può poi ospitare muschi e, eventualmente, piante vascolari.

I batteri svolgono un ruolo cruciale nell'alterazione delle rocce attraverso vari meccanismi. Alcuni batteri ossidano i minerali ferrosi, accelerando l'ossidazione chimica. Altri producono acidi organici o chelano (legano) ioni metallici dalla struttura minerale, facilitando la dissoluzione. I batteri che vivono nel suolo producono anche CO_2 dalla respirazione, aumentando l'acidità dell'acqua del suolo e quindi la sua capacità di dissolvere i minerali.

Anche gli animali contribuiscono al weathering. I lombrichi, ingerendo il suolo e passandolo attraverso il loro sistema digestivo, facilitano sia la disgregazione fisica che l'alterazione chimica. Darwin stimò che in un ettaro di terreno inglese i lombrichi potrebbero portare in superficie fino a diciotto tonnellate di terra all'anno. Animali scavatori più grandi, come talpe, tassi, e nelle praterie nord-americane i cani della prateria, mescolano il suolo e portano materiale roccioso fresco dalle profondità alla superficie dove può essere ulteriormente alterato.

Transport: Il Viaggio dei Sedimenti

Una volta che le rocce sono state disgregate dal weathering, i frammenti risultanti (chiamati clasti se sono particelle solide, o ioni se sono in soluzione) devono essere trasportati via dal sito di origine. Senza trasporto, il materiale alterato si accumulerebbe semplicemente sul posto, formando un mantello protettivo che rallenterebbe ulteriormente il weathering della roccia sottostante. Il trasporto è quindi essenziale per mantenere il ciclo dell'erosione attivo e per distribuire i sedimenti dalla loro origine alle aree di deposizione.

Trasporto per Gravità: Il Movimento Diretto

La gravità è la forza fondamentale che guida tutti i processi di trasporto, ma agisce direttamente in quello che viene chiamato mass wasting o movimenti di massa. Questi processi spostano materiale verso il basso senza l'intervento diretto di un mezzo di trasporto come acqua, ghiaccio o vento. La gravità tira semplicemente il materiale giù per il pendio.

Il mass wasting può essere lento e quasi impercettibile, come nel caso della reptazione o creep del suolo, dove il terreno superficiale si muove gradualmente verso il basso lungo un

pendio a velocità di pochi millimetri all'anno. Questo movimento lento è causato dall'espansione e contrazione del suolo dovuta a cicli di gelo-disgelo, bagnato-asciutto, o semplicemente dalle attività degli organismi. Gli indicatori della reptazione includono alberi con tronchi curvi (diritti vicino alla superficie ma inclinati più in basso), pali di recinzione inclinati a valle, e strati rocciosi che si piegano verso il basso vicino alla superficie.

All'estremo opposto dello spettro ci sono i movimenti rapidi e catastrofici come le frane, gli smottamenti e le valanghe detritiche. Una frana può muovere milioni di tonnellate di roccia e terra in pochi minuti o addirittura secondi, con velocità che possono superare i cento chilometri all'ora. La frana del Vajont in Italia nel 1963, quando circa duecentosettanta milioni di metri cubi di roccia crollarono nel bacino della diga, generò un'onda che scavalcò la diga di oltre duecentocinquanta metri e distrusse completamente il villaggio di Longarone, causando quasi duemila morti, rimane uno degli esempi più tragici delle conseguenze dei movimenti di massa.

I fattori che influenzano la stabilità di un pendio e quindi la probabilità di movimenti di massa includono l'angolo di pendenza (pendii più ripidi sono meno stabili), la presenza di acqua (che aumenta il peso del materiale e riduce l'attrito tra le particelle), la natura del materiale (roccia compatta è più stabile di materiale sciolto), la presenza di piani di debolezza come stratificazione o fratture, la vegetazione (le radici stabilizzano il suolo), e i disturbi esterni come terremoti o attività umane.

Trasporto Fluviale: I Fiumi Come Nastri Trasportatori

I fiumi sono probabilmente gli agenti di trasporto sedimentario più importanti sulla Terra, responsabili del trasporto della maggior parte dei sedimenti dai continenti agli oceani. Un fiume grande come il Mississippi o l'Amazzonia trasporta centinaia di milioni di tonnellate di sedimenti all'anno, scavando valli, depositando pianure alluvionali, costruendo delta, modellando continuamente il paesaggio.

Il trasporto fluviale avviene in tre modi principali, in funzione della dimensione e del peso delle particelle. Le particelle più grossolane, come ghiaia e ciottoli, vengono trasportate per trascinamento (traction) lungo il fondo del canale. Queste particelle rotolano, scivolano e saltellano (movimento chiamato saltazione) sul letto del fiume, spostandosi solo quando la velocità della corrente è sufficientemente alta da superare la resistenza dell'attrito e del peso della particella.

Le particelle di dimensioni intermedie, come sabbia, vengono trasportate principalmente per saltazione: vengono sollevate dalla corrente, trasportate per una certa distanza e poi ridepositano, per essere nuovamente sollevate. Questo movimento produce una caratteristica traiettoria a salti. Quando osserviamo un fiume in piena, la maggior parte della sabbia viene trasportata in questo modo, creando una zona di trasporto intenso vicino al fondo.

Le particelle più fini, come limo e argilla, sono così piccole e leggere che possono rimanere in sospensione nella corrente d'acqua per lunghi periodi. Questo è il load in sospensione, ed è responsabile della torbidezza dell'acqua dei fiumi. L'acqua del Mississippi, per esempio, ha spesso una colorazione marrone dovuta alla grande quantità di limo e argilla in sospensione.

Queste particelle fini possono rimanere sospese per centinaia di chilometri e vengono depositate solo quando la velocità della corrente diminuisce significativamente.

Oltre al trasporto di particelle solide, i fiumi trasportano anche una quantità considerevole di materiale disciolto, il dissolved load. Questi sono gli ioni rilasciati dal weathering chimico delle rocce: calcio, sodio, potassio, bicarbonato, cloruro, solfato. Anche se invisibile, il carico disciolto può rappresentare una frazione significativa del carico totale di un fiume, specialmente in regioni con rocce facilmente solubili come calcare o evaporiti.

La capacità di trasporto di un fiume (la quantità massima di sedimento che può trasportare) dipende principalmente dalla sua velocità: la capacità aumenta con una potenza elevata della velocità. Questo significa che un fiume che scorre due volte più veloce può trasportare molto più del doppio del sedimento. Questo spiega perché le inondazioni, anche se relativamente brevi, possono essere responsabili del trasporto della maggior parte del sedimento annuale di un fiume. Un fiume in piena che scorre quattro volte più veloce del normale potrebbe trasportare sessantaquattro volte più sedimento (assumendo che la capacità vari con il cubo della velocità).

La competenza di un fiume è la dimensione massima delle particelle che può trasportare. Anch'essa aumenta rapidamente con la velocità: particelle grosse come ciottoli o massi possono essere trasportate solo durante inondazioni particolarmente intense, quando la velocità dell'acqua è al massimo.

Trasporto Eolico: Il Vento Come Scultore

Il vento, sebbene molto meno denso dell'acqua, è un agente di trasporto significativo, particolarmente nelle regioni aride e semiaride dove la vegetazione è scarsa e non protegge il suolo. Il vento può trasportare sedimenti attraverso gli stessi meccanismi dei fiumi: trascinamento sul suolo per le particelle più grosse, saltazione per la sabbia, e sospensione per le particelle finissime di limo e argilla.

La saltazione eolica è particolarmente importante nel trasporto della sabbia. I granelli di sabbia sollevati dal vento seguono traiettorie curve, saltando da pochi centimetri a qualche metro di altezza prima di ricadere. Quando un granello ricade, impatta altri granelli sulla superficie, potenzialmente mettendoli in movimento. Questo processo crea una "nuvola" di sabbia in movimento che si estende tipicamente fino a un metro di altezza sopra la superficie.

Il vento può trasportare particelle finissime come polvere a distanze enormi e ad altitudini considerevoli. Polveri provenienti dal Sahara possono essere trasportate attraverso l'Oceano Atlantico fino ai Caraibi e al Sud America, fertilizzando le foreste pluviali amazzoniche con minerali essenziali. Polveri provenienti dai deserti dell'Asia centrale possono raggiungere il Nord America. Durante le grandi tempeste di polvere degli anni Trenta negli Stati Uniti, il cosiddetto "Dust Bowl", polvere proveniente dalle Great Plains raggiunse la costa atlantica, oscurando il cielo e depositando uno strato di sedimento fine a migliaia di chilometri di distanza.

L'azione abrasiva del vento carico di sabbia è notevole. I granelli di sabbia trasportati dal vento colpiscono le rocce esposte con forza considerevole, scavando e lucidando le

superfici. Questa azione è particolarmente evidente nella formazione dei ventifatti, rocce modellate dal vento che presentano superfici lisce e lucidate con faccette piatte. Nelle regioni desertiche, l'abrasione eolica può creare forme rocciose bizzarre e spettacolari, come pilastri, archi e alveoli.

Un aspetto interessante del trasporto eolico è che seleziona naturalmente le particelle per dimensione. Il vento può trasportare facilmente polvere fine in sospensione e può far saltare granelli di sabbia, ma generalmente non può muovere ghiaia o particelle più grosse. Di conseguenza, nelle regioni desertiche si forma spesso un pavimento desertico (desert pavement o reg), una superficie coperta da uno strato di ghiaia e ciottoli lasciati indietro dopo che il vento ha rimosso tutto il materiale più fine. Questo pavimento protegge il materiale sottostante dall'ulteriore erosione eolica.

Trasporto Glaciale: Il Potere del Ghiaccio in Movimento

I ghiacciai, enormi fiumi di ghiaccio che scorrono lentamente sotto il proprio peso, sono agenti di trasporto estremamente potenti, capaci di muovere massi di dimensioni gigantesche che nessun fiume o vento potrebbero spostare. A differenza dell'acqua e del vento, che selezionano le particelle per dimensione e peso, un ghiaccio che avanza trasporta indiscriminatamente tutto ciò che incontra: argilla fine e massi di tonnellate viaggiano insieme, congelati nella massa di ghiaccio.

Il ghiaccio raccoglie materiale roccioso in diversi modi. Il frost wedging è particolarmente efficace sulle pareti rocciose che circondano un ghiacciaio, staccando frammenti che cadono sulla superficie del ghiaccio. Il ghiacciaio può anche erodere il letto roccioso su cui scorre attraverso due meccanismi principali: l'abrasione, dove i frammenti rocciosi congelati nel ghiaccio alla base del ghiacciaio graffiano e levigano la roccia sottostante come carta vetrata, e il plucking o sradicamento, dove il ghiaccio congela nelle fratture della roccia e strappa via blocchi interi quando il ghiacciaio avanza.

La capacità erosiva dei ghiacciai è impressionante. Le valli scavate dai ghiacciai hanno una forma caratteristica a U, con pareti ripide e fondo piatto, molto diversa dalla forma a V delle valli fluviali. Quando un ghiacciaio scorre su un terreno irregolare, l'erosione differenziale crea forme caratteristiche: le rocce montonate (roche moutonnée), dossi rocciosi levigati sul lato da cui arriva il ghiaccio e fratturati sul lato opposto, mostrano chiaramente la direzione del flusso glaciale antico.

I ghiacciai possono trasportare quantità enormi di sedimento. Quando il ghiaccio fonde, alla fronte del ghiacciaio o sulla sua superficie durante l'estate, tutto questo materiale viene depositato, creando depositi caratteristici. Il materiale depositato direttamente dal ghiaccio, chiamato till o diamicton, è completamente disordinato: una miscela caotica di argilla, sabbia, ghiaia e massi, senza alcuna selezione per dimensione. Al contrario, il materiale rimaneggiato dall'acqua di fusione è meglio selezionato e stratificato.

Deposition: Dove i Sedimenti Trovano Riposo

Il trasporto dei sedimenti continua finché l'energia del mezzo di trasporto è sufficiente a mantenerli in movimento. Quando questa energia diminuisce, i sedimenti vengono depositati. La deposizione non è casuale ma segue principi fisici prevedibili, creando

strutture e sequenze che i geologi possono leggere come pagine di un libro per ricostruire la storia dei processi di sedimentazione.

Delta: Dove i Fiumi Incontrano il Mare

Quando un fiume che trasporta un grande carico di sedimenti raggiunge un corpo d'acqua più grande come un lago o un oceano, la sua velocità diminuisce drasticamente e i sedimenti vengono depositati, costruendo una struttura chiamata delta. Il nome deriva dalla forma triangolare del delta del Nilo, che ricorda la lettera greca maiuscola delta (Δ).

La formazione di un delta è un gioco di equilibrio tra il tasso di apporto sedimentario del fiume e l'energia delle onde e delle correnti marine che tendono a ridistribuire i sedimenti. Se l'apporto sedimentario è molto alto e l'energia delle onde bassa, il delta cresce rapidamente verso il mare. Se l'energia delle onde è alta, i sedimenti vengono ridistribuiti lungo la costa formando spiagge piuttosto che un delta prominente.

La struttura interna di un delta è caratteristica e riflette i diversi ambienti di deposizione. Sul fronte del delta, dove il fiume entra nel mare, i sedimenti più grossolani (sabbia) vengono depositati per primi formando strati inclinati chiamati foreset beds. Questi strati si costruiscono verso l'esterno man mano che il delta avanza. Sopra i foreset, nella parte più superficiale dove scorre il fiume, si depositano sedimenti più grossolani in strati quasi orizzontali chiamati topset beds. Davanti al fronte del delta, nel mare più profondo, si depositano i sedimenti più fini (limo e argilla) in strati orizzontali chiamati bottomset beds. Questa sequenza caratteristica di bottomset-foreset-topset è diagnostica dell'ambiente deltaico.

Il delta del Mississippi è uno degli esempi più studiati di delta fluvio-dominato, dove l'apporto del fiume domina sugli effetti delle onde e delle maree. La sua forma a zampa d'uccello è creata dai canali distributori che si diramano e si estendono nel Golfo del Messico. Il delta cresce a una velocità impressionante: si stima che il Mississippi trasporti al mare circa quattrocentocinquanta milioni di tonnellate di sedimento all'anno, anche se le dighe costruite lungo il fiume hanno ridotto significativamente questo apporto negli ultimi decenni.

Il delta del Nilo, al contrario, è un esempio di delta onda-dominato, dove l'energia delle onde del Mediterraneo ridistribuisce i sedimenti creando una costa più regolare e arcuata. Il delta del Gange-Brahmaputra in Bangladesh, uno dei più grandi del mondo, è influenzato fortemente dalle maree e mostra una complessa rete di canali mareali.

I delta sono ambienti estremamente dinamici e in costante cambiamento. I canali distributori cambiano corso periodicamente, abbandonando vecchi canali e creandone di nuovi, un processo chiamato avulsione. Nel delta del Mississippi, si stima che l'avulsione maggiore del canale principale avvenga circa ogni mille anni. Ogni volta che il canale cambia corso, la parte di delta che non riceve più sedimenti inizia a subsidere e ad essere erosa dal mare, mentre una nuova area inizia a costruirsi.

Dune: Sculture di Sabbia Create dal Vento

Le dune sono accumuli di sabbia trasportata e depositata dal vento, e sono tra le forme del paesaggio più dinamiche ed effimere, eppure alcune dune possono persistere per migliaia di

anni. Si formano principalmente nelle regioni desertiche, ma anche lungo le coste, dove la sabbia è abbondante e la vegetazione scarsa.

Le dune si formano quando il vento che trasporta sabbia incontra un ostacolo che riduce la sua velocità, causando la deposizione della sabbia. L'ostacolo iniziale può essere una roccia, un cespuglio, o semplicemente una leggera irregolarità del terreno. Una volta che inizia ad accumularsi sabbia, questa stessa diventa un ostacolo più grande, e la duna cresce.

La morfologia di una duna riflette la direzione e la costanza del vento. Le dune a mezzaluna o barcane si formano dove il vento soffia prevalentemente da una direzione e la sabbia è relativamente scarsa. Hanno una forma a C con le "corna" che puntano sottovento. Le dune trasversali, con creste perpendicolari alla direzione del vento, si formano dove la sabbia è abbondante. Le dune longitudinali o seif, con creste parallele alla direzione del vento dominante, possono estendersi per decine di chilometri e si formano dove il vento varia stagionalmente di direzione ma mantiene una direzione predominante.

Le dune a stella, con bracci che si irradiano da un centro comune, si formano in aree dove il vento soffia da direzioni multiple. Queste sono tra le dune più grandi, potendo raggiungere altezze di diverse centinaia di metri. Nel deserto del Sahara e in Arabia, alcune dune a stella superano i trecento metri di altezza.

Le dune non sono statiche ma migrano. Il vento trasporta sabbia dal lato sopravvento (il lato da cui arriva il vento) fino alla cresta della duna. Quando la sabbia raggiunge la cresta, cade sul lato sottovento, che è più ripido. Questo lato, chiamato slip face, mantiene un angolo costante di circa trenta-quattro gradi, l'angolo di riposo naturale della sabbia asciutta. La sabbia che cade sulla slip face forma strati inclinati che si accumulano progressivamente, e la duna intera migra lentamente nella direzione del vento. Dune alte possono migrare a velocità di dieci-venti metri all'anno, seppellendo tutto sul loro cammino.

Questa struttura interna stratificata delle dune, con gli strati inclinati (chiamati cross-bedding o stratificazione incrociata) preservati quando le dune vengono sepolte e litificate, è diagnostica dell'ambiente eolico e permette ai geologi di identificare antiche dune fossilizzate nelle rocce sedimentarie. La direzione di inclinazione degli strati indica la direzione del vento antico, fornendo informazioni preziose sui climi del passato.

Morene: I Depositi dei Ghiacciai

I ghiacciai depositano il materiale trasportato in diverse forme, collettivamente chiamate depositi glaciali o till. Quando il ghiaccio fonde, rilascia tutto il materiale che trasportava, creando accumuli caratteristici chiamati morene.

Le morene laterali si formano lungo i margini del ghiacciaio, dove il materiale che cade dalle pareti della valle si accumula. Quando due ghiacciai tributari si fondono, le loro morene laterali si uniscono al centro del ghiacciaio combinato formando una morena mediana. Le morene di fondo si depositano sotto il ghiacciaio mentre questo avanza. Le morene terminali o frontali segnano la massima estensione del ghiaccio, accumulandosi come un crinale curvo di materiale depositato alla fronte del ghiacciaio.

Le morene terminali forniscono una registrazione preziosa delle fluttuazioni glaciali del passato. Nelle Alpi e in altre catene montuose, possiamo tracciare morene che risalgono all'ultima glaciazione (terminata circa dodicimila anni fa) e anche a glaciazioni precedenti, ricostruendo l'estensione dei ghiacciai antichi. Le morene più vecchie sono più erose e meno prominenti, mentre quelle più recenti conservano ancora una morfologia fresca e ben definita.

Oltre alle morene, i ghiacciai creano altri depositi caratteristici. I drumlins sono colline allungate e aerodinamiche di till, orientate nella direzione del flusso glaciale, la cui formazione non è ancora completamente compresa ma che probabilmente coinvolge la deformazione del till sotto il peso e il movimento del ghiaccio. Gli esker sono creste sinuose di sabbia e ghiaia depositate da fiumi che scorrevano in tunnel sotto o dentro il ghiacciaio. I kame sono collinette di materiale stratificato depositato dal contatto con il ghiaccio o in laghi marginali al ghiacciaio.

Litificazione: Da Sedimenti Sciolti a Roccia Solida

I sedimenti appena depositati sono materiali sciolti, non consolidati: sabbia, fango, ghiaia. Per diventare rocce sedimentarie solide e coerenti, devono subire un processo chiamato litificazione o diagenesi, che trasforma i sedimenti sciolti in roccia attraverso compattazione e cementazione, operando tipicamente a profondità di qualche centinaia di metri a qualche chilometro sotto la superficie.

Compattazione: La Pressione del Seppellimento

Quando i sedimenti vengono sepolti da nuovi strati depositati sopra di essi, il peso crescente del materiale sovrastante comprime i sedimenti sottostanti. Questa compattazione è particolarmente efficace nei sedimenti fini come fanghi argillosi, che inizialmente contengono molta acqua intrappolata tra le particelle (fino al settanta-ottanta percento del SEZIONE può essere acqua).

Con la compattazione, l'acqua viene espulsa dagli spazi tra le particelle, i granelli vengono spinti più vicini, e il SEZIONE del sedimento diminuisce significativamente. Fanghi argillosi possono perdere fino al cinquanta percento del loro SEZIONE originale durante la compattazione. Le particelle di argilla, che sono lamellari, tendono a orientarsi perpendicolarmente alla direzione della compressione, cioè parallele alla stratificazione, conferendo alla roccia risultante (scisto argilloso o shale) una tendenza a spaccarsi facilmente lungo piani paralleli alla stratificazione, una proprietà chiamata fissibilità.

Nei sedimenti più grossolani come sabbie, la compattazione è meno efficace perché c'è meno spazio vuoto da eliminare e le particelle sono già in contatto tra loro. Tuttavia, anche in questi casi la pressione può causare la fratturazione dei granelli più deboli nei punti di contatto, aumentando l'impaccamento.

Cementazione: Il Collante Minerale

La cementazione è il processo attraverso il quale materiale minerale precipita negli spazi tra i granelli sedimentari, legandoli insieme come il cemento lega i mattoni in un muro. Questo

cemento minerale precipita dall'acqua che percola attraverso i pori del sedimento, acqua spesso ricca di ioni disciolti derivati dal weathering di minerali.

I cementi più comuni nelle rocce sedimentarie sono il calcite ($CaCO_3$), la silice (SiO_2 sotto forma di quarzo o calcedonio), gli ossidi di ferro (ematite Fe_2O_3 che dà colorazione rossa, o limonite $FeO(OH)$ che dà colorazione gialla-marrone), e, meno comunemente, la dolomite $CaMg(CO_3)_2$ e i solfati come gesso o anidrite.

Il tipo di cemento dipende dalla composizione dell'acqua interstiziale, che a sua volta dipende dalla composizione dei sedimenti e delle rocce circostanti. In sedimenti marini ricchi di carbonato di calcio, la calcite è un cemento comune. In sedimenti derivati dall'erosione di rocce ignee ricche di quarzo, la silice può essere il cemento dominante. La precipitazione degli ossidi di ferro avviene particolarmente in ambienti ossidanti, conferendo alle arenarie cementate con ematite il caratteristico colore rosso-bruno.

La cementazione può iniziare poco dopo la deposizione (diagenesi precoce) o molto più tardi, dopo seppellimento significativo. In alcuni casi, la cementazione è così precoce che avviene quando i sedimenti sono ancora sulla spiaggia o appena sotto la superficie del mare, producendo rocce chiamate beach rock, crostoni di sabbia cementata che si trovano su molte spiagge tropicali.

La combinazione di compattazione e cementazione trasforma gradualmente sedimenti sciolti in rocce sedimentarie coerenti. Il grado di litificazione può variare notevolmente: alcune rocce sedimentarie sono debolmente cementate e friabili, mentre altre sono estremamente dure e resistenti. L'arenaria, per esempio, può variare da roccia che si sbriciola facilmente tra le dita a una delle rocce più dure conosciute, come le quarziti altamente silicificate.

Metamorfismo: La Trasformazione Profonda

Quando le rocce sedimentarie (o rocce ignee, o altre rocce metamorfiche) vengono sepolte a profondità maggiori, dove temperature e pressioni sono più elevate, o quando entrano in contatto con magma caldo, possono subire trasformazioni ancora più profonde chiamate metamorfismo. In questo processo, la mineralogia, la struttura e la composizione chimica della roccia cambiano senza che la roccia fonda completamente. È una trasformazione solido-solido, una riorganizzazione degli atomi che porta alla formazione di nuovi minerali stabili nelle nuove condizioni di temperatura e pressione.

Il Controllo di Temperatura e Pressione

Il metamorfismo è fondamentalmente controllato da tre fattori: temperatura, pressione e presenza di fluidi. La temperatura aumenta con la profondità nella crosta terrestre secondo il gradiente geotermico, tipicamente circa venti-trenta gradi Celsius per chilometro nelle regioni continentali stabili, anche se può essere molto più alto in zone tettoniche attive o molto più basso in zone di subduzione dove crosta fredda sprofonda rapidamente.

La pressione aumenta anch'essa con la profondità, sia la pressione litostatica (la pressione esercitata dal peso delle rocce sovrastanti, circa duecentosettanta atmosfere per chilometro di profondità) sia, potenzialmente, la pressione diretta o stress orientato associato a forze tettoniche. Mentre la pressione litostatica è uguale in tutte le direzioni, lo stress tettonico è

direzionale e può causare la deformazione della roccia insieme alla sua trasformazione mineralogica.

I fluidi, principalmente acqua ma anche CO2 e altri composti volatili, giocano un ruolo cruciale facilitando le reazioni metamorfiche. L'acqua agisce come solvente e mezzo di trasporto per gli ioni, permettendo agli atomi di muoversi più facilmente da un minerale all'altro. Senza fluidi, molte reazioni metamorfiche sarebbero estremamente lente o non avverrebbero affatto alle temperature tipiche del metamorfismo crostale.

Metamorfismo Regionale: Le Trasformazioni su Vasta Scala

Il metamorfismo regionale avviene su aree estese della crosta, tipicamente associate a zone di orogenesi dove le rocce vengono sepolte profondamente durante la formazione di catene montuose. È il tipo di metamorfismo più importante SEZIONEtricamente e produce la maggior parte delle rocce metamorfiche che osserviamo nelle aree continentali antiche.

Una sequenza metamorfica progressiva classica inizia con uno scisto argilloso (shale), una roccia sedimentaria composta principalmente da minerali argillosi. Con l'aumento di temperatura e pressione durante il seppellimento, questa roccia subisce una serie di trasformazioni. Primo appare l'ardesia, una roccia che si spacca in lastre sottili e piatte (la fissibilità è ancora più pronunciata che nello shale originale) a causa dell'orientamento preferenziale dei minerali micacei che iniziano a formarsi. L'ardesia è stata storicamente usata per tetti e lavagne scolastiche proprio per questa proprietà di spaccarsi in fogli sottili.

Con il progredire del metamorfismo, i minerali diventano più grossolani e visibili, e la roccia diventa fillite, dove la superficie di sfaldatura mostra una caratteristica lucentezza sericea dovuta a minute scaglie di mica. Aumentando ancora temperatura e pressione, si forma micascisto, dove i cristalli di mica sono abbastanza grandi da essere facilmente visibili a occhio nudo e conferiscono alla roccia una struttura foliata (scistosità) ben sviluppata, con alternanza di bande ricche di minerali lamellari come mica e bande ricche di minerali granulari come quarzo e feldspato.

Al grado metamorfico più alto, appena prima della fusione completa, si forma gneiss, una roccia con una struttura bandata grossolana dove bande chiare ricche di quarzo e feldspato alternano con bande scure ricche di minerali femici come biotite e anfibolo. Lo gneiss rappresenta condizioni di temperatura di seicento-settecento gradi Celsius e pressioni di diverse migliaia di atmosfere, corrispondenti a profondità di venti-trenta chilometri nella crosta.

Ogni stadio di questa sequenza metamorfica è caratterizzato da minerali indice specifici che si formano solo in determinate condizioni di temperatura e pressione. Per esempio, la presenza di granato indica temperature moderate-alte, la staurolite temperature ancora più alte, la cianite o sillimanite temperature molto alte. Mappando la distribuzione di questi minerali indice, i geologi possono ricostruire le condizioni di temperatura e pressione che prevalevano durante il metamorfismo e, da queste, inferire la storia tettonica della regione.

Metamorfismo di Contatto: L'Aureola del Magma

Quando il magma caldo si intrude nella crosta fredda, il calore diffonde nelle rocce circostanti, causando metamorfismo locale. Questo metamorfismo di contatto produce un'aureola metamorfica attorno all'intrusione, con il grado di metamorfismo che diminuisce con la distanza dal contatto.

A diretto contatto con l'intrusione, dove le temperature possono raggiungere settecento-ottocento gradi Celsius, le rocce originali possono essere completamente trasformate e, in alcuni casi, parzialmente fuse. Man mano che ci si allontana dal contatto, la temperatura diminuisce e il grado di metamorfismo si riduce, creando una zonazione concentrica di rocce metamorfiche di diverso grado.

Un esempio classico è la trasformazione di un calcare in marmo per metamorfismo di contatto. Il calcare, composto da calcite finemente cristallina e spesso contenente fossili, si trasforma in marmo, una roccia composta da cristalli grossolani di calcite interblocati, dove i fossili originali sono completamente obliterati dalla ricristallizzazione. Il marmo puro è bianco, ma impurità possono dare una varietà di colori: ferro produce venature rosse o marroni, serpentino dà toni verdi, grafite produce marmo grigio o nero.

Le dimensioni dell'aureola metamorfica dipendono dalle dimensioni dell'intrusione magmatica: una piccola diga di pochi metri di spessore produce un'aureola di pochi centimetri o metri, mentre un grande batolite di diversi chilometri di dimensione può produrre un'aureola che si estende per chilometri dal contatto. Le miniere di contatto, dove fluidi idrotermali associati all'intrusione hanno depositato minerali metallici nell'aureola metamorfica, sono state storicamente importanti fonti di metalli come rame, piombo, zinco e tungsteno.

Metamorfismo Dinamico: La Deformazione Estrema

Lungo le zone di faglia, particolarmente le grandi faglie che penetrano profondamente nella crosta, la deformazione meccanica intensa può produrre rocce metamorfiche caratteristiche anche in assenza di temperature elevate. Questo metamorfismo dinamico o cataclastico produce rocce come le cataclasiti, brecce di faglia e miloniti.

Le miloniti sono particolarmente interessanti: sono rocce che hanno subito deformazione ductile estrema a profondità moderate nella crosta, dove le temperature erano sufficientemente alte da permettere ai minerali di deformarsi plasticamente piuttosto che fratturarsi. Le miloniti mostrano una foliazione intensa e spesso contengono cristalli che sono stati allungati e ruotati dal flusso della roccia, fornendo indicazioni preziose sulla cinematica della deformazione. Lo studio delle miloniti è cruciale per comprendere i processi profondi nelle zone di faglia e nelle zone di taglio crostali.

Il Ciclo si Chiude: Dall'Erosione alla Montagna

La trasformazione finale nel ciclo delle rocce avviene quando le rocce metamorfiche (o sedimentarie profondamente sepolte) vengono riportate in superficie dai processi tettonici. L'erosione rimuove gradualmente le rocce sovrastanti, un processo chiamato esumazione, portando alla luce rocce che si sono formate a profondità di decine di chilometri. Questo processo può richiedere decine di milioni di anni, ma alla fine queste rocce metamorfiche

profonde raggiungono la superficie, dove l'erosione inizia immediatamente a smantellare anche loro.

L'esumazione non è semplicemente la rimozione passiva di materiale sovrastante, ma è spesso accompagnata da sollevamento tettonico attivo. Nelle catene montuose in crescita, il sollevamento continuo porta costantemente nuovo materiale verso la superficie, mentre l'erosione lo rimuove dalla cima. Si stabilisce un equilibrio dinamico tra sollevamento ed erosione che può persistere per milioni di anni. L'Himalaya, per esempio, si solleva di circa cinque millimetri all'anno ma l'erosione rimuove materiale quasi alla stessa velocità, mantenendo le altezze relativamente costanti.

Quando le rocce metamorfiche raggiungono la superficie, possono essere riconosciute dalla loro struttura foliata, dai minerali caratteristici, e dall'assenza di fossili (il metamorfismo distrugge qualsiasi fossile che potesse essere presente nelle rocce sedimentarie originali). Queste rocce, che si sono formate a temperature di centinaia di gradi Celsius e pressioni di migliaia di atmosfere, si trovano improvvisamente in condizioni superficiali con temperatura ambiente e pressione atmosferica. Non sono più in equilibrio con il loro nuovo ambiente, e il weathering inizia immediatamente a disgregarle.

I minerali metamorfici ad alta temperatura come granato, staurolite, cianite, che erano stabili alle condizioni metamorfiche profonde, sono particolarmente suscettibili al weathering chimico nelle condizioni superficiali. Si alterano rapidamente in minerali argillosi, rilasciando ioni in soluzione. Il materiale eroso viene trasportato via, depositato in nuovi bacini sedimentari, seppellito, litificato, potenzialmente metamorfizzato nuovamente, e il ciclo continua.

Questo ciclo delle rocce, che James Hutton riconobbe oltre due secoli fa, non ha "vestigia di un inizio, né prospettive di una fine". È alimentato dal calore interno della Terra, che guida la tettonica delle placche e il metamorfismo, e dall'energia solare, che guida il ciclo idrologico e quindi l'erosione e il trasporto. Finché questi motori continueranno a operare, il ciclo delle rocce continuerà, trasformando incessantemente la superficie del nostro pianeta, costruendo montagne e smantellando altre, creando nuovi oceani e chiudendo quelli vecchi, in un processo che ha operato per miliardi di anni e continuerà per miliardi di anni ancora.

CAPITOLO 17: PROIEZIONI CARTOGRAFICHE - TRASFORMARE LA SFERA

Il Problema Fondamentale della Cartografia

Esiste un problema matematico che ha afflitto i cartografi per secoli, un problema che è tanto elegante nella sua formulazione quanto frustrante nella sua insolubilità: come rappresentare accuratamente la superficie curva di una sfera su un foglio di carta piatto. Questo problema, apparentemente semplice, nasconde una profonda impossibilità matematica dimostrata rigorosamente da Carl Friedrich Gauss nel 1827 attraverso il suo celebre Theorema Egregium.

Il teorema di Gauss stabilisce che la curvatura gaussiana di una superficie, una proprietà intrinseca che dipende solo dalla geometria interna della superficie stessa, rimane invariata sotto trasformazioni che preservano le distanze locali sulla superficie. La sfera ha curvatura gaussiana positiva costante ($K = 1/R^2$, dove R è il raggio), mentre il piano ha curvatura gaussiana nulla ($K = 0$). Poiché queste curvature sono diverse e invarianti, è matematicamente impossibile mappare una sfera su un piano preservando simultaneamente tutte le proprietà geometriche: distanze, angoli, aree e forme.

Questa impossibilità matematica significa che qualunque mappa del mondo che creiamo conterrà necessariamente distorsioni. Non è una questione di abilità cartografica insufficiente o di tecnologia inadeguata: è un limite matematico fondamentale della geometria differenziale. Il compito del cartografo diventa quindi non eliminare le distorsioni (impossibile) ma scegliere quali proprietà preservare e quali sacrificare, a seconda dello scopo specifico della mappa.

Quando osserviamo un mappamondo, un globo tridimensionale della Terra, non abbiamo questo problema: la rappresentazione è fedele perché manteniamo la geometria sferica. Ma i globi sono ingombranti, costosi da produrre, difficili da consultare per dettagli specifici, e impossibili da riprodurre in libri o computer. Le mappe piatte sono straordinariamente più pratiche, ma pagano il prezzo della distorsione inevitabile.

La Natura Geometrica delle Proiezioni

Una proiezione cartografica è essenzialmente una funzione matematica che associa ogni punto sulla superficie della Terra, identificato da coordinate geografiche latitudine φ e longitudine λ, a un punto su un piano, identificato da coordinate cartesiane x e y:

$x = f(\varphi, \lambda)$ $y = g(\varphi, \lambda)$

Queste funzioni f e g definiscono completamente la proiezione. La scelta di queste funzioni determina quali proprietà geometriche vengono preservate e quali vengono distorte. Non esiste una scelta universalmente ottimale: ogni proiezione rappresenta un compromesso specifico, ottimizzato per particolari applicazioni.

Geometricamente, molte proiezioni possono essere visualizzate come una proiezione letterale da un punto della superficie della sfera a una superficie sviluppabile (una superficie che può essere distesa in un piano senza stiramenti o compressioni), tipicamente un cilindro, un cono o un piano stesso. Il punto di proiezione può essere al centro della sfera (proiezione gnomica), sulla superficie opposta (proiezione stereografica), o all'infinito (proiezione ortografica).

Tuttavia, questa visualizzazione geometrica, sebbene intuitiva, è limitata. Molte proiezioni moderne non corrispondono a nessuna proiezione geometrica letterale ma sono definite puramente attraverso formule matematiche scelte per ottimizzare certe proprietà. La proiezione di Robinson, per esempio, molto usata per mappe del mondo intero, è definita da una tabella di valori interpolati piuttosto che da una formula chiusa.

Classificazione delle Proiezioni per Proprietà Preservate

Le proiezioni cartografiche possono essere classificate in base alle proprietà geometriche che preservano. Le quattro categorie principali sono conformi, equivalenti, equidistanti e afilattiche.

Proiezioni Conformi: Preservare gli Angoli Locali

Una proiezione conforme preserva gli angoli locali: se due linee si intersecano sulla sfera formando un certo angolo, le loro immagini sulla mappa si intersecheranno formando lo stesso angolo. Matematicamente, questo significa che la proiezione preserva la forma locale di figure infinitesimali: un cerchio infinitesimo sulla sfera rimane un cerchio sulla mappa (anche se può cambiare dimensione).

La conformità richiede che il fattore di scala sia uguale in tutte le direzioni attorno a un punto (la scala può variare da punto a punto, ma in ogni punto specifico deve essere la stessa in tutte le direzioni). Questa proprietà è espressa matematicamente dalla condizione che il jacobiano della trasformazione sia proporzionale a una rotazione, o equivalentemente che le equazioni di Cauchy-Riemann siano soddisfatte:

$\partial x/\partial \varphi = k\, \partial y/\partial \lambda \quad \partial x/\partial \lambda = -k\, \partial y/\partial \varphi$

dove k è un fattore di scala che può variare con la posizione.

Le proiezioni conformi sono estremamente utili per la navigazione perché preservano le direzioni locali. Una linea retta tracciata su una mappa conforme che interseca tutti i meridiani allo stesso angolo (una lossodromia o linea di rotta) rappresenta effettivamente un percorso di direzione costante sulla Terra, il che semplifica enormemente la navigazione con bussola.

Tuttavia, le proiezioni conformi non possono preservare le aree: se preservano gli angoli, devono necessariamente distorcere le dimensioni. Questa distorsione aumenta tipicamente con la distanza da una linea o punto di tangenza standard. Nelle proiezioni conformi del mondo intero, le regioni polari appaiono enormemente ingrandite rispetto alle regioni equatoriali.

Proiezioni Equivalenti: Preservare le Aree

Una proiezione equivalente (o equal-area o equivacente) preserva le aree: qualunque regione sulla sfera viene mappata su una regione sulla mappa con area proporzionale (con lo stesso fattore di proporzionalità per tutta la mappa). Se una regione sulla Terra ha il doppio dell'area di un'altra regione, le loro rappresentazioni sulla mappa avranno anch'esse un rapporto di due a uno nelle loro aree.

Matematicamente, questo richiede che il determinante del jacobiano della trasformazione sia costante:

$|\partial x/\partial \varphi \;\; \partial x/\partial \lambda| \; |\partial y/\partial \varphi \;\; \partial y/\partial \lambda| = \text{costante}$

Le proiezioni equivalenti sono essenziali quando si desidera confrontare visivamente le dimensioni relative di diverse regioni, per esempio in mappe tematiche che mostrano

distribuzioni statistiche (densità di popolazione, produzione agricola, emissioni di carbonio) dove l'area sulla mappa deve riflettere accuratamente l'importanza quantitativa.

Tuttavia, preservare le aree richiede necessariamente distorcere le forme: le proiezioni equivalenti non possono essere conformi (tranne nel caso triviale di nessuna proiezione, cioè mantenere la superficie sferica). Regioni possono apparire allungate, compresse o comunque deformate, anche se la loro area è corretta. In particolare, le proiezioni equivalenti spesso mostrano distorsioni angolari significative, specialmente lontano dalle linee o punti standard.

Proiezioni Equidistanti: Preservare Distanze Selettive

Una proiezione veramente equidistante, che preserva tutte le distanze tra tutti i punti, è impossibile (questo violerebbe il teorema di Gauss). Tuttavia, è possibile costruire proiezioni che preservano le distanze da uno specifico punto (o lungo linee specifiche) a tutti gli altri punti sulla mappa.

In una proiezione equidistante centrata su un punto P, la distanza sulla mappa da P a qualsiasi altro punto Q è proporzionale alla distanza reale sulla sfera tra P e Q. Questo significa che si possono tracciare cerchi concentrici centrati su P sulla mappa, e questi cerchi rappresenteranno effettivamente curve di equidistanza da P sulla Terra.

Queste proiezioni sono utili quando si desidera mostrare le distanze da un punto centrale specifico, per esempio una mappa centrata su Roma che mostra la distanza da Roma a tutte le altre città del mondo. Le compagnie aeree a volte usano mappe equidistanti centrate sul loro hub principale per visualizzare la rete di destinazioni e le distanze di volo.

Tuttavia, le distanze tra punti entrambi diversi dal centro non sono preservate, e tipicamente né angoli né aree sono preservati (anche se alcuni tentativi di compromesso esistono).

Proiezioni Afilattiche: Compromessi Bilanciati

La maggior parte delle proiezioni non preserva perfettamente nessuna delle proprietà fondamentali ma cerca un compromesso, minimizzando le distorsioni di vari tipi secondo qualche criterio. Queste sono chiamate proiezioni afilattiche o compromesse.

Per esempio, la proiezione di Robinson, sviluppata nel 1963 e adottata dalla National Geographic Society per le loro mappe del mondo dal 1988 al 1998, è progettata per rendere il mondo intero "gradevole all'occhio", minimizzando l'impressione visiva di distorsione piuttosto che ottimizzare matematicamente una proprietà specifica. Non è conforme, né equivalente, né equidistante, ma cerca un equilibrio ragionevole tra queste proprietà.

La scelta di una proiezione afilattica dipende fortemente dall'applicazione specifica e dai giudizi estetici e pratici del cartografo. Criteri comuni includono minimizzare la massima distorsione angolare, minimizzare la massima distorsione areale, o minimizzare qualche combinazione pesata di vari tipi di distorsione.

La Proiezione di Mercatore: L'Eredità della Navigazione

La proiezione di Mercatore, sviluppata dal cartografo fiammingo Gerardus Mercator nel 1569, è probabilmente la proiezione più famosa e, forse, la più controversa nella storia della cartografia. È una proiezione conforme cilindrica, il che significa che preserva gli angoli locali e può essere visualizzata geometricamente come una proiezione della sfera su un cilindro tangente all'equatore.

La Matematica di Mercatore

Le formule della proiezione di Mercatore sono elegantemente semplici. Per una sfera di raggio R, le coordinate cartesiane (x, y) sono date da:

$x = R \lambda$ $y = R \ln[\tan(\pi/4 + \varphi/2)]$

dove λ è la longitudine (in radianti) e φ è la latitudine (in radianti). La coordinata x è semplicemente proporzionale alla longitudine, il che significa che i meridiani sono mappati su linee verticali equispaziate. La coordinata y coinvolge una funzione logaritmica della latitudine, una formula che ha proprietà matematiche notevoli.

La funzione $\ln[\tan(\pi/4 + \varphi/2)]$ può anche essere scritta come $\ln[\sec(\varphi) + \tan(\varphi)]$ o come $\operatorname{arctanh}[\sin(\varphi)]$, e appare in molti contesti della matematica applicata. Questa funzione ha la proprietà cruciale che la sua derivata rispetto a φ è esattamente $\sec(\varphi)$, il secante della latitudine. Questo assicura che il fattore di scala in direzione nord-sud a latitudine φ sia esattamente uguale al fattore di scala in direzione est-ovest (che è $\sec(\varphi)$ perché i meridiani convergono verso i poli), soddisfacendo così la condizione di conformità.

Il fattore di scala aumenta rapidamente con la latitudine: all'equatore è uno (nessuna distorsione), a quarantacinque gradi di latitudine è circa 1,41, a sessanta gradi è due (tutte le distanze sono raddoppiate), a settantacinque gradi è circa quattro. Ai poli, il fattore di scala diventa infinito, e infatti la proiezione di Mercatore non può rappresentare i poli stessi, che vengono "spinti all'infinito". Una mappa di Mercatore del mondo intero deve essere troncata a qualche latitudine alta, tipicamente circa ottanta gradi nord e sud.

La Proprietà della Lossodromia

La caratteristica più importante della proiezione di Mercatore per la navigazione è che ogni lossodromia (una curva sulla sfera che interseca tutti i meridiani allo stesso angolo) viene mappata su una linea retta sulla mappa. Questo significa che un navigatore può semplicemente tracciare una linea retta sulla mappa dal punto di partenza alla destinazione, misurare l'angolo che questa linea forma con i meridiani (cioè con le linee verticali sulla mappa di Mercatore), e mantenere questa direzione costante sulla bussola per raggiungere la destinazione.

Questo era di importanza pratica enorme nell'era della navigazione velica, quando il controllo preciso della rotta era difficile e mantenere una direzione costante era molto più semplice che seguire un percorso curvo. La lossodromia non è il percorso più breve sulla sfera (quello è l'arco di cerchio massimo o ortodromia), ma è il percorso più semplice da seguire con una bussola.

La differenza tra lossodromia e ortodromia è particolarmente significativa per viaggi lunghi a latitudini alte. Per esempio, il percorso ortodromico da Londra a Vancouver passa molto più a nord di quello che apparirebbe come una linea retta su una mappa di Mercatore, attraversando il sud della Groenlandia. Il percorso lossodromico è più lungo ma segue una direzione costante di bussola.

Le Distorsioni e le Controversie

La proprietà conforme di Mercatore porta inevitabilmente a enormi distorsioni di area alle alte latitudini. La Groenlandia, sulla mappa di Mercatore, appare più grande dell'Africa, quando in realtà l'Africa è circa quattordici volte più grande. L'Antartide appare come una striscia enorme che si estende lungo tutto il bordo inferiore della mappa, quando è in realtà un continente più piccolo del Sud America.

Queste distorsioni hanno portato a critiche significative dell'uso della proiezione di Mercatore per mappe generali del mondo, particolarmente da parte di educatori e critici postcoloniali che sottolineano come la proiezione ingrandisca visivamente le regioni dell'Europa e del Nord America (a latitudini medie-alte) mentre riduca le regioni tropicali dell'Africa, del Sud America e del Sud-est asiatico. L'uso continuato di Mercatore in contesti dove non è necessaria la navigazione è visto da alcuni come perpetuante una visione eurocentrica del mondo.

In risposta a queste critiche, molte organizzazioni educative e media hanno adottato proiezioni alternative per mappe del mondo generale. Tuttavia, la proiezione di Mercatore mantiene la sua utilità legittima per mappe nautiche e per mappe web interattive (come Google Maps nelle viste più ampie), dove le sue proprietà conformi e la sua geometria rettangolare semplice sono vantaggiose.

La Proiezione di Mercatore Trasversa

Una variante importante è la proiezione di Mercatore trasversa, dove il cilindro è orientato per essere tangente a un meridiano piuttosto che all'equatore. Questa proiezione mantiene le proprietà conformi ma ha distorsioni minime vicino al meridiano centrale piuttosto che vicino all'equatore. È la base del sistema di coordinate UTM (Universal Transverse Mercator), ampiamente usato per mappe topografiche e sistemi di riferimento geografico.

Il sistema UTM divide il mondo in sessanta zone longitudinali di sei gradi ciascuna, con ogni zona che usa una proiezione di Mercatore trasversa centrata sul meridiano centrale della zona. Questo sistema fornisce coordinate cartesiane locali con distorsioni minime per applicazioni pratiche come rilevamento topografico, ingegneria civile e sistemi di posizionamento globale.

Proiezioni Equal-Area: Molteplici Approcci

Mentre esiste essenzialmente una sola proiezione cilindrica conforme (Mercatore, a meno di variazioni nel meridiano centrale o nell'orientazione), esistono molte proiezioni cilindriche equivalenti, ciascuna con caratteristiche diverse.

La Proiezione Cilindrica Equal-Area

La più semplice proiezione cilindrica equivalente ha formule particolarmente eleganti:

$x = R \lambda \cos(\varphi_0)$ $y = R \sin(\varphi) / \cos(\varphi_0)$

dove φ_0 è la latitudine standard (la latitudine alla quale il cilindro tocca la sfera). Quando $\varphi_0 = 0$ (cilindro tangente all'equatore), questo si riduce a:

$x = R \lambda$ $y = R \sin(\varphi)$

Questa proiezione preserva perfettamente le aree ma introduce distorsioni di forma significative, particolarmente alle alte latitudini dove le regioni appaiono compresse verticalmente ed estese orizzontalmente.

La Proiezione di Gall-Peters

Una variante controversa è la proiezione di Gall-Peters, che è una proiezione cilindrica equivalente con latitudine standard a quarantacinque gradi ($\varphi_0 = 45°$). Questa proiezione fu originariamente proposta da James Gall nel 1855 ma fu ripresa e promossa vigorosamente da Arno Peters negli anni Settanta come un'alternativa "più giusta" alla proiezione di Mercatore.

Peters sostenne che la sua proiezione presentava una visione più equa del mondo rispetto a Mercatore, perché preservava le aree e quindi rappresentava correttamente le dimensioni relative dei paesi. La proiezione fu adottata da numerose organizzazioni internazionali e ONG. Tuttavia, molti cartografi professionisti criticarono la proiezione di Gall-Peters per le sue severe distorsioni di forma, sostenendo che esistono proiezioni equivalenti migliori che bilanciano meglio le distorsioni di forma mantenendo le proprietà equal-area.

La controversia di Gall-Peters sottolinea un punto importante: la scelta di una proiezione cartografica non è puramente tecnica ma porta implicazioni ideologiche e politiche. La dimensione visiva percepita di regioni sulla mappa influenza la percezione della loro importanza, e la scelta della proiezione diventa quindi una scelta sul modo in cui vogliamo rappresentare e comprendere il mondo.

La Proiezione di Mollweide

Una proiezione equivalente molto usata per mappe del mondo intero è la proiezione di Mollweide (o proiezione ellittica o omolografica), sviluppata da Karl Mollweide nel 1805. A differenza delle proiezioni cilindriche, Mollweide produce una mappa a forma di ellisse, che dà un'impressione visiva più "globale" e riduce le distorsioni di forma alle alte latitudini rispetto alle proiezioni cilindriche equivalenti.

Le formule di Mollweide coinvolgono la soluzione numerica di un'equazione trascendente:

$2\theta + \sin(2\theta) = \pi \sin(\varphi)$

dove θ è una variabile ausiliaria che deve essere risolta numericamente per ogni latitudine φ. Una volta trovato θ, le coordinate cartesiane sono:

$x = (2\sqrt{2}/\pi) R \lambda \cos(\theta)$ $y = \sqrt{2} R \sin(\theta)$

La proiezione di Mollweide è molto usata per mappe tematiche globali e per rappresentazioni della sfera celeste. Ha il vantaggio che il meridiano centrale e l'equatore sono perpendicolari e non distorti in lunghezza, fornendo una struttura visiva familiare.

La Proiezione di Sinusoide

Un'altra proiezione equivalente interessante è la proiezione sinusoidale (o di Sanson-Flamsteed), dove i meridiani sono mappati su curve sinusoidali. Le formule sono:

$x = R \lambda \cos(\varphi)$ $y = R \varphi$

Questa proiezione ha la proprietà notevole che tutti i paralleli sono rappresentati nella loro vera lunghezza, e non c'è distorsione lungo il meridiano centrale e lungo l'equatore. Tuttavia, le distorsioni di forma aumentano rapidamente lontano dal meridiano centrale, dando alla mappa un aspetto "dentellato" ai margini che molti trovano esteticamente sgradevole.

Proiezioni Equidistanti: Distanze da un Centro

La Proiezione Azimutale Equidistante

La proiezione azimutale equidistante è centrata su un punto specifico (per esempio, una città) e preserva le distanze da quel punto centrale a tutti gli altri punti. Le direzioni (azimut) dal punto centrale sono anch'esse corrette, il che significa che una linea retta tracciata dal centro a qualsiasi altro punto sulla mappa indica sia la direzione vera che (in scala) la distanza vera.

Per una proiezione centrata al polo nord, le formule sono particolarmente semplici. Usando coordinate polari (r, θ) sulla mappa, dove θ corrisponde alla longitudine e r alla distanza dal centro:

$r = R (\pi/2 - \varphi)$ $\theta = \lambda$

Per una proiezione centrata su un punto arbitrario di latitudine φ_0 e longitudine λ_0, le formule diventano più complesse e coinvolgono calcoli trigonometrici sferici. La distanza angolare c dalla posizione centrale a un punto (φ, λ) è data da:

$\cos(c) = \sin(\varphi_0)\sin(\varphi) + \cos(\varphi_0)\cos(\varphi)\cos(\lambda - \lambda_0)$

e le coordinate cartesiane sono:

$x = R c [\cos(\varphi)\sin(\lambda - \lambda_0)] / \sin(c)$ $y = R c [\cos(\varphi_0)\sin(\varphi) - \sin(\varphi_0)\cos(\varphi)\cos(\lambda - \lambda_0)] / \sin(c)$

Le Nazioni Unite usano una proiezione azimutale equidistante centrata sul Polo Nord nel loro logo ufficiale, simboleggiando l'equidistanza e l'equità tra tutte le nazioni. Questa scelta non è solo simbolica ma anche pratica, dato che la maggior parte della popolazione e delle terre emerse si trova nell'emisfero nord, e questa proiezione minimizza le distorsioni per quelle regioni mantenendo una rappresentazione circolare completa di tutto il mondo.

Proiezioni Equidistanti Coniche

Le proiezioni coniche equidistanti preservano le distanze lungo i meridiani (la distanza dalla base del cono rappresenta accuratamente la distanza vera dal polo). I paralleli sono archi di cerchio concentrici correttamente spaziati. Queste proiezioni sono particolarmente adatte per paesi o regioni che si estendono principalmente in direzione est-ovest a latitudini medie, come gli Stati Uniti contigui o la Russia.

La distorsione è minima vicino ai paralleli standard (le latitudini dove il cono interseca o tocca la sfera). Usando due paralleli standard, tipicamente scelti a circa un terzo e due terzi dell'estensione latitudinale della regione di interesse, si minimizzano le distorsioni complessive.

Trade-offs e il Teorema Fondamentale

Il teorema di Gauss ci assicura che non possiamo avere tutto: qualunque proiezione deve necessariamente sacrificare qualcosa. La scelta di una proiezione è sempre un esercizio di bilanciamento, dove dobbiamo decidere quali proprietà sono più importanti per lo scopo specifico della nostra mappa e quali distorsioni siamo disposti ad accettare.

Il Criterio di Tissot

Per quantificare e visualizzare le distorsioni in una proiezione, il matematico francese Nicolas Auguste Tissot introdusse nel 1859 il concetto dell'ellisse indicatrice (indicatrice di Tissot). Un cerchio infinitesimo sulla sfera viene mappato dalla proiezione in un'ellisse sulla mappa. La forma e l'orientazione di questa ellisse descrivono completamente le distorsioni locali in quel punto.

I semi-assi dell'ellisse, tradizionalmente indicati come a e b (con $a \geq b$), rappresentano i fattori di scala massimo e minimo a quel punto. Il rapporto a/b quantifica la distorsione di forma: è uno per una proiezione conforme (l'ellisse è in realtà un cerchio) e può essere arbitrariamente grande per proiezioni con gravi distorsioni di forma. L'area dell'ellisse rispetto all'area del cerchio originale quantifica la distorsione di area: è costante per una proiezione equivalente.

Disegnando una griglia di ellissi indicatrici su una mappa, possiamo visualizzare immediatamente dove e come si concentrano le distorsioni. Su una mappa di Mercatore, le ellissi vicino all'equatore sono piccoli cerchi (distorsione minima), ma crescono rapidamente e drammaticamente con la latitudine. Su una mappa equivalente cilindrica, le ellissi mantengono area costante ma diventano sempre più schiacciate alle alte latitudini.

I Teoremi di Impossibilità

Oltre al teorema fondamentale di Gauss che esclude una proiezione perfetta, esistono altri teoremi di impossibilità più specifici:

Non può esistere una proiezione che sia contemporaneamente conforme ed equivalente (tranne nel caso triviale di nessuna proiezione), perché la conformità richiede che il fattore di scala sia uguale in tutte le direzioni ma possa variare da punto a punto, mentre l'equivalenza richiede che il prodotto dei fattori di scala in due direzioni perpendicolari sia costante.

Queste due condizioni sono compatibili solo se il fattore di scala è costante ovunque, il che corrisponderebbe a nessuna curvatura.

Non può esistere una proiezione del mondo intero che sia equidistante da più di un punto (o lungo più di una linea), perché questo creerebbe vincoli eccessivi sulle distanze che sono incompatibili con la geometria sferica.

Non può esistere una proiezione che preservi simultaneamente tutte le distanze e tutti gli angoli, per le stesse ragioni fondamentali di incompatibilità tra geometria sferica e piana.

Coordinate Transforms: La Matematica delle Trasformazioni

La trasformazione dalle coordinate geografiche (φ, λ) alle coordinate cartesiane (x, y) è solo una parte del processo cartografico completo. Nella pratica moderna, dobbiamo spesso comporre multiple trasformazioni per passare da coordinate geografiche su un datum e ellissoide specifico a coordinate cartesiane in un sistema di riferimento particolare, e viceversa.

Dai Datum agli Ellissoidi

La Terra non è perfettamente sferica ma è meglio approssimata da un ellissoide di rotazione (o sferoide), leggermente appiattito ai poli. L'ellissoide di riferimento WGS84 (World Geodetic System 1984), usato dal sistema GPS, ha raggio equatoriale a = 6378137,0 metri e raggio polare b = 6356752,314245 metri, con uno schiacciamento f = (a - b)/a ≈ 1/298,257223563.

La latitudine su un ellissoide (latitudine geodetica) è definita come l'angolo tra la normale all'ellissoide e il piano equatoriale. Questa è diversa dalla latitudine geocentrica (l'angolo dal centro dell'ellissoide) e dalla latitudine ridotta (usata in alcune formule matematiche). La differenza tra latitudine geodetica e geocentrica raggiunge un massimo di circa undici minuti d'arco a circa quarantacinque gradi di latitudine.

Le formule di proiezione per ellissoidi sono più complesse di quelle per sfere, coinvolgendo funzioni ellittiche e integrali ellittici. Per la proiezione di Mercatore su ellissoide, per esempio, la formula per y diventa:

$$y = a \ln[\tan(\pi/4 + \varphi/2) \times ((1 - e \sin(\varphi))/(1 + e \sin(\varphi)))^{(e/2)}]$$

dove e è l'eccentricità dell'ellissoide: $e^2 = (a^2 - b^2)/a^2 \approx 0{,}00669437999014$ per WGS84.

Trasformazioni tra Datum

Diversi paesi e regioni storicamente hanno usato diversi ellissoidi di riferimento e datum geodetici, ottimizzati per adattarsi al meglio alla forma del geoide locale. Il datum nazionale italiano Rome 1940, per esempio, usa l'ellissoide internazionale di Hayford del 1924 con origine a Monte Mario a Roma. Il datum britannico OSGB36 usa l'ellissoide di Airy del 1830. Il datum nordamericano NAD83 è quasi identico a WGS84 ma non esattamente.

Trasformare coordinate da un datum a un altro richiede una trasformazione tridimensionale che può includere traslazioni, rotazioni e cambio di scala. La trasformazione di Helmert a sette parametri è comunemente usata:

X_nuovo = (1 + s) R X_vecchio + T

dove X sono vettori di posizione tridimensionali, T è un vettore di traslazione, R è una matrice di rotazione e s è un fattore di scala. I sette parametri sono le tre componenti della traslazione, i tre angoli di rotazione, e il fattore di scala.

Nella pratica moderna, con la diffusione del GPS e del sistema WGS84, c'è una crescente standardizzazione su questo datum globale, ma molti sistemi e dataset storici usano ancora datum locali, e la trasformazione accurata tra datum rimane cruciale per applicazioni che richiedono precisione di posizionamento submetrica o centimetrica.

Proiezioni Composite e Interrupted

Per mappe del mondo intero, alcuni cartografi hanno sviluppato proiezioni interrotte o composite che usano proiezioni diverse o multiple istanze della stessa proiezione per diverse regioni, "tagliando" la mappa lungo linee scelte per minimizzare l'impatto visivo.

La proiezione di Goode Homolosine, per esempio, combina la proiezione sinusoidale (per latitudini basse) con la proiezione di Mollweide (per latitudini alte), con la transizione a circa quaranta gradi di latitudine. Gli oceani sono interrotti (tagliati) per mantenere i continenti integri e minimizzare le distorsioni su di essi. Questa proiezione è equivalente e produce mappe del mondo dove i continenti appaiono con forme relativamente fedeli e dimensioni corrette.

La proiezione di Dymaxion di Buckminster Fuller proietta la sfera su un icosaedro (un poliedro con venti facce triangolari equilatere), che viene poi "srotolato" in un piano. Questa proiezione non è né conforme né equivalente, ma minimizza le distorsioni distribuendole uniformemente tra i continenti. L'icosaedro può essere srotolato in diverse configurazioni, permettendo diverse disposizioni dei continenti che enfatizzano la continuità delle terre emerse piuttosto che degli oceani. Fuller concepì questa proiezione negli anni Quaranta con l'intento esplicito di superare i bias culturali impliciti nelle proiezioni tradizionali centrate sull'Europa o sul Nord America.

La caratteristica più innovativa della proiezione di Dymaxion è che non ha un "su" o un "giù" intrinseco: può essere orientata in qualsiasi direzione, sottolineando che la designazione di nord come "alto" è una convenzione culturale, non un fatto naturale. Questo incoraggia a pensare alla Terra come a un sistema interconnesso piuttosto che come a un insieme di regioni gerarchicamente organizzate.

Proiezioni per Scopi Speciali

Oltre alle categorie principali, esistono numerose proiezioni sviluppate per scopi estremamente specifici, ottimizzate per particolari applicazioni tecniche o scientifiche.

Proiezioni Gnomoniche: La Geometria dei Cerchi Massimi

La proiezione gnomonica proietta la sfera su un piano tangente da un punto di vista posto al centro della sfera. Questa proiezione ha una proprietà geometrica unica e preziosa: ogni arco di cerchio massimo sulla sfera (il percorso più breve tra due punti, o ortodromia) viene mappato su una linea retta sulla mappa.

Le formule per una proiezione gnomonica centrata al polo nord sono:

$x = R \tan(\theta) \cos(\lambda)$
$y = R \tan(\theta) \sin(\lambda)$

dove $\theta = \pi/2 - \varphi$ è la distanza angolare dal polo (la colatitudine).

Questa proprietà rende la proiezione gnomonica inestimabile per la pianificazione di rotte aeree e marittime a lungo raggio. I navigatori possono tracciare una linea retta sulla mappa gnomonica tra origine e destinazione per determinare il percorso più breve. Questo percorso può poi essere trasferito a una mappa di Mercatore come una serie di segmenti di lossodromia che approssimano l'ortodromia.

Tuttavia, la proiezione gnomonica ha limitazioni severe. Può rappresentare solo meno di un emisfero alla volta (teoricamente esattamente un emisfero, ma in pratica meno per evitare distorsioni estreme ai margini). Le distorsioni di scala e forma aumentano rapidamente lontano dal punto centrale, e ai margini della mappa diventano infinite. Punti a novanta gradi dal centro (sull'orizzonte del punto centrale) vengono proiettati all'infinito.

Proiezioni Stereografiche: Conformità e Cerchi

La proiezione stereografica proietta la sfera su un piano da un punto di vista sulla superficie della sfera opposta al piano di proiezione. Per una proiezione stereografica con piano tangente al polo sud, il punto di vista è al polo nord, e le formule sono:

$x = 2R \tan(\theta/2) \cos(\lambda)$
$y = 2R \tan(\theta/2) \sin(\lambda)$

dove $\theta = \pi/2 - \varphi$ è la colatitudine.

La proiezione stereografica ha due proprietà geometriche notevoli. Prima, è conforme: preserva gli angoli locali ovunque sulla mappa. Seconda, ogni cerchio sulla sfera viene mappato su un cerchio o una linea retta sul piano (le linee rette sono considerate cerchi di raggio infinito). Questa proprietà dei cerchi è particolarmente utile in cristallografia, dove le proiezioni stereografiche sono usate per rappresentare orientazioni cristalline, e in geometria complessa.

A differenza della proiezione gnomonica, la proiezione stereografica può rappresentare l'intera sfera (meno il punto di vista) su un piano finito. Il punto opposto al punto di vista non è distorto, e le distorsioni aumentano gradualmente verso il punto di vista, che è proiettato all'infinito.

La Matematica dei Trade-offs: Quantificare le Distorsioni

Per scegliere razionalmente tra proiezioni, abbiamo bisogno di metodi quantitativi per misurare e confrontare le distorsioni. Diversi criteri matematici sono stati sviluppati per questo scopo.

L'Indicatrice di Tissot: Visualizzazione Locale delle Distorsioni

Come menzionato precedentemente, l'indicatrice di Tissot rappresenta le distorsioni locali attraverso ellissi. Formalmente, il differenziale della trasformazione di proiezione in un punto crea una mappa lineare dal piano tangente alla sfera al piano della mappa. Questa mappa lineare può essere rappresentata da una matrice 2×2, il cui jacobiano descrive come volumi infinitesimali cambiano.

La decomposizione ai valori singolari di questa matrice jacobiana fornisce i semi-assi dell'ellisse indicatrice. Se chiamiamo a e b questi semi-assi (con a ≥ b), possiamo definire diverse quantità:

- **Scala massima**: a (il fattore di ingrandimento massimo)
- **Scala minima**: b (il fattore di ingrandimento minimo)
- **Distorsione angolare massima**: $\omega = 2 \arcsin[(a-b)/(a+b)]$
- **Distorsione areale**: ab (il rapporto tra l'area sulla mappa e l'area sulla sfera)

Per una proiezione conforme, a = b ovunque (le ellissi sono cerchi), quindi ω = 0. Per una proiezione equivalente, ab = costante ovunque.

Criteri Globali di Distorsione

Per confrontare proiezioni intere, non solo distorsioni locali, necessitiamo criteri che integrano le distorsioni su tutta la mappa. Diversi criteri sono stati proposti:

Criterio di Airy: Minimizza l'integrale del quadrato della distorsione di scala logaritmica su tutta la superficie. Matematicamente, minimizza:

$$\iint [\ln^2(a) + \ln^2(b)] \, dA$$

dove l'integrazione è su tutta la superficie della sfera.

Criterio di Chebyshev: Minimizza la massima distorsione di scala su tutta la mappa. Questo criterio garantisce che nessun punto subisca distorsioni eccessive, anche se permette distorsioni moderate ovunque.

Criterio di Peters: Minimizza la somma delle distorsioni areali e angolari massime. Questo cerca un equilibrio tra la preservazione di aree e angoli.

Questi criteri portano a proiezioni diverse, ciascuna ottimale secondo il proprio standard. Non esiste un criterio universalmente "migliore" perché diverse applicazioni richiedono diversi compromessi.

Coordinate Transforms: Dall'Astratto al Concreto

Nella pratica cartografica moderna, trasformare coordinate tra sistemi è un'operazione fondamentale e frequente. Comprendere la sequenza completa di trasformazioni è essenziale.

Il Pipeline Completo di Trasformazione

Per trasformare coordinate da un sistema di riferimento A a un sistema di riferimento B, tipicamente attraversiamo questa sequenza:

1. **Coordinate geografiche nel datum A**: (φ_A, λ_A, h_A)
   dove h è l'altezza sopra l'ellissoide

2. **Coordinate geocentriche cartesiane nel datum A**: (X_A, Y_A, Z_A)
   usando le formule di conversione ellissoidali

3. **Coordinate geocentriche cartesiane nel datum B**: (X_B, Y_B, Z_B)
   usando una trasformazione di Helmert o simile

4. **Coordinate geografiche nel datum B**: (φ_B, λ_B, h_B)
   inversione della conversione ellissoidale

5. **Coordinate proiettate nel sistema B**: (x_B, y_B)
   applicando la proiezione cartografica

Ciascuno di questi passaggi richiede formule matematiche precise e calcoli numerici accurati.

Conversione tra Coordinate Geografiche e Geocentriche

La conversione da coordinate geografiche (φ, λ, h) a coordinate cartesiane geocentriche (X, Y, Z) per un ellissoide con semi-asse maggiore a ed eccentricità e usa le formule:

$X = (N + h) \cos(\varphi) \cos(\lambda)$
$Y = (N + h) \cos(\varphi) \sin(\lambda)$
$Z = (N(1-e^2) + h) \sin(\varphi)$

dove $N = a/\sqrt{(1 - e^2\sin^2(\varphi))}$ è il raggio di curvatura principale nel primo verticale.

La conversione inversa da (X, Y, Z) a (φ, λ, h) è più complessa e richiede tipicamente un metodo iterativo per trovare φ, anche se esistono formule chiuse approssimate. La longitudine è diretta: $\lambda = \arctan(Y/X)$, gestendo appropriatamente i quadranti.

Trasformazioni tra Datum: Precisione e Accuratezza

La trasformazione di Helmert a sette parametri, menzionata precedentemente, è spesso scritta come:

$$\begin{bmatrix} X_B \\ Y_B \\ Z_B \end{bmatrix} = \begin{bmatrix} \Delta X \\ \Delta Y \\ \Delta Z \end{bmatrix} + (1+s) \begin{bmatrix} 1 & -Rz & Ry \\ Rz & 1 & -Rx \\ -Ry & Rx & 1 \end{bmatrix} \begin{bmatrix} X_A \\ Y_A \\ Z_A \end{bmatrix}$$

dove (ΔX, ΔY, ΔZ) sono le traslazioni, (Rx, Ry, Rz) sono rotazioni infinitesime (tipicamente nell'ordine dei secondi d'arco), e s è il fattore di scala (tipicamente nell'ordine di 10^{-6}).

Per trasformazioni ad alta precisione, possono essere necessari modelli più complessi che includono deformazioni temporali (i datum si muovono a causa della tettonica delle placche), griglie di correzione localizzate, e modelli del geoide per convertire tra altezze ellissoidali e altezze ortometriche (sopra il livello medio del mare).

Il Problema del Geoide

L'ellissoide di riferimento è una superficie matematica regolare, ma la vera forma della Terra a livello del mare, il geoide, è irregolare a causa delle variazioni di densità nella crosta e nel mantello terrestre. La separazione tra geoide ed ellissoide (l'ondulazione del geoide) può variare da -100 metri a +85 metri.

Per applicazioni che richiedono altezze rispetto al livello del mare (idrologia, ingegneria civile), è necessario convertire tra altezza ellissoidale h (misurata dal GPS) e altezza ortometrica H (altitudine convenzionale). La relazione è:

$$h = H + N$$

dove N è l'ondulazione del geoide in quella posizione. Modelli globali del geoide come EGM2008 (Earth Gravitational Model 2008) forniscono valori di N con risoluzione di pochi chilometri.

Proiezioni Cartografiche nell'Era dei Big Data

L'esplosione dei dati geografici (da satelliti, sensori IoT, smartphone) presenta nuove sfide per le proiezioni cartografiche.

Elaborazione Distribuita e Proiezioni

Quando si elaborano petabyte di dati geografici distribuiti su cluster di computer, la scelta della proiezione influenza non solo l'accuratezza ma anche l'efficienza computazionale. Proiezioni con formule chiuse semplici (come Web Mercator) permettono parallelizzazione triviale: ogni punto può essere trasformato indipendentemente. Proiezioni che richiedono iterazioni o parametri globali sono più difficili da parallelizzare.

I sistemi di coordinate discrete come S2 (sviluppato da Google) dividono la sfera in celle gerarchiche, permettendo operazioni spaziali efficienti senza mai proiettare esplicitamente su un piano. Questo approccio evita completamente le distorsioni di proiezione per molte operazioni, al costo di maggiore complessità algoritmica.

Machine Learning e Proiezioni

Algoritmi di machine learning che operano su dati geografici devono essere consapevoli delle distorsioni di proiezione. Una rete neurale convoluzionale addestrata su immagini satellitari in proiezione Mercatore "vede" la Groenlandia come enormemente più grande dell'Africa, il che può introdurre bias nei modelli.

Approcci recenti includono:

- **Reti sferiche convoluzionali**: Operano direttamente sulla sfera senza proiezione
- **Proiezioni multiple**: Addestrano modelli su diverse proiezioni e combinano i risultati
- **Augmentation consapevole delle proiezioni**: Variano la proiezione durante l'addestramento per rendere i modelli invarianti alle distorsioni

Riflessioni sulla Rappresentazione e Percezione

Le proiezioni cartografiche sollevano questioni profonde sulla relazione tra rappresentazione e realtà, tra matematica e percezione umana.

Il Paradosso della Familiarità

Le proiezioni con cui cresciamo plasmano profondamente la nostra concezione della geografia mondiale. La maggior parte delle persone educate nei paesi occidentali ha un'immagine mentale del mondo basata su Mercatore o proiezioni simili, e altre rappresentazioni possono sembrare "sbagliate" anche quando sono matematicamente più accurate per certi scopi.

Questo effetto di familiarità è così forte che proiezioni tecnicamente superiori faticano a guadagnare adozione se troppo diverse dalle convenzioni stabilite. La National Geographic Society ha cambiato più volte la proiezione usata per le mappe del mondo (da Mercatore a Robinson a Winkel Tripel), ogni volta suscitando reazioni contrastanti.

L'Impossibilità come Opportunità Creativa

L'impossibilità matematica di una proiezione perfetta, lungi dall'essere una limitazione frustrante, ha stimolato secoli di creatività cartografica. Ogni nuova proiezione rappresenta una soluzione creativa al problema di bilanciare compromessi incompatibili, un'esplorazione dello spazio di possibilità entro vincoli assoluti.

Questo rispecchia un tema più ampio nella scienza e nell'ingegneria: i vincoli, lungi dal soffocare la creatività, spesso la catalizzano. L'impossibilità di trasferire informazione più veloce della luce ha portato alla relatività; l'impossibilità di misurare simultaneamente

posizione e momento ha portato alla meccanica quantistica; l'impossibilità di costruire un moto perpetuo ha portato alla termodinamica.

Nel caso delle proiezioni cartografiche, l'impossibilità di Gauss ha portato a una ricchezza di soluzioni creative, ciascuna illuminante diversi aspetti della geometria sferica e delle nostre necessità pratiche.

Conclusione: Trasformare per Comprendere

Il capitolo sulle proiezioni cartografiche ci ha condotti attraverso un viaggio dalle impossibilità matematiche fondamentali alle applicazioni pratiche quotidiane, dai teoremi astratti di geometria differenziale alle mappe sui nostri smartphone.

La lezione centrale è che **trasformare è inevitabilmente distorcere**, ma attraverso la comprensione profonda della natura delle distorsioni, possiamo fare scelte informate che servono i nostri scopi specifici. Non esiste una mappa perfetta del mondo, ma esistono innumerevoli mappe, ciascuna eccellente per qualche scopo particolare.

Le coordinate geografiche (φ, λ) e le coordinate cartesiane (x, y) sono due facce della stessa realtà, legate da funzioni matematiche che preservano alcune proprietà a spese di altre. La scelta di queste funzioni—la scelta della proiezione—è un atto che combina rigore matematico, pragmatismo ingegneristico, sensibilità estetica e, talvolta, consapevolezza politica e culturale.

Mentre la matematica ci dice cosa è impossibile (il teorema di Gauss) e cosa è possibile (le molteplici proiezioni che soddisfano vari criteri), siamo noi, come cartografi e utenti di mappe, che dobbiamo decidere cosa è desiderabile. Questa decisione richiede di bilanciare considerazioni tecniche con necessità umane, di comprendere non solo la geometria astratta ma anche il contesto d'uso concreto.

In un'epoca di dati geografici ubiqui e visualizzazioni interattive, la comprensione delle proiezioni cartografiche è più rilevante che mai. Ogni volta che consultiamo una mappa, navighiamo con GPS, analizziamo dati spaziali o visualizziamo fenomeni globali, stiamo implicitamente facendo uso di queste trasformazioni matematiche che convertono la sfera tridimensionale della Terra in rappresentazioni bidimensionali gestibili.

Il processo di trasformazione dalla sfera al piano, nelle sue infinite variazioni, rimane una delle realizzazioni più eleganti dell'intelletto umano: la capacità di riconoscere limiti assoluti e, entro quei limiti, di creare strumenti potenti e belli che espandono la nostra capacità di comprendere e navigare il mondo che abitiamo.

Come Hutton osservò riguardo al ciclo delle rocce, così possiamo dire delle proiezioni cartografiche: non hanno "vestigia di un inizio, né prospettive di una fine". Finché avremo bisogno di rappresentare la superficie curva della Terra su superfici piane, continueremo a creare, raffinare e scegliere tra proiezioni, in un dialogo continuo tra possibilità matematiche e necessità umane, tra astrazione e applicazione, tra il territorio reale e le mappe che usiamo per comprenderlo.

SEZIONE VI: TRASFORMAZIONI ARTIFICIALI

Capitolo 18: Trasformazioni di Fourier

L'Essenza della Dualità Tempo-Frequenza

La trasformata di Fourier rappresenta una delle conquiste intellettuali più profonde della matematica applicata, incarnando un principio fondamentale: ogni segnale può essere descritto equivalentemente nel dominio temporale o nel dominio frequenziale. Non si tratta semplicemente di una tecnica di calcolo, ma di una rivelazione sulla natura stessa dell'informazione. Quando osserviamo un segnale che evolve nel tempo, la trasformata di Fourier ci permette di scomporlo nelle sue componenti sinusoidali elementari, rivelando quali frequenze contribuiscono alla sua struttura complessiva e con quale intensità.

La formulazione matematica della trasformata di Fourier continua per una funzione f(t) definita sulla retta reale assume la forma integrale F(ω) = ∫_{-∞}^{+∞} f(t) e^{-iωt} dt, dove ω rappresenta la frequenza angolare e i l'unità immaginaria. Questa espressione condensa un'idea straordinaria: moltiplichiamo il segnale originale per una funzione esponenziale complessa che oscilla a una specifica frequenza ω, quindi integriamo su tutto l'asse temporale. Il risultato F(ω) è un numero complesso che codifica sia l'ampiezza che la fase della componente frequenziale ω presente nel segnale originale.

La trasformata inversa, data da f(t) = (1/2π) ∫_{-∞}^{+∞} F(ω) e^{iωt} dω, garantisce la perfetta ricostruzione del segnale temporale a partire dalla sua rappresentazione frequenziale. Questa simmetria matematica rivela la dualità profonda tra i due domini: nessuna informazione viene perduta nel passaggio dall'uno all'altro, semplicemente la stessa realtà fisica viene descritta attraverso coordinate differenti.

La Geometria Nascosta dello Spazio di Hilbert

Per comprendere appieno la trasformata di Fourier, occorre riconoscere che essa costituisce un cambiamento di base in uno spazio di Hilbert. Le funzioni sinusoidali e^{iωt} formano un sistema ortonormale completo nello spazio delle funzioni a quadrato sommabile $L^2(\mathbb{R})$. Quando calcoliamo F(ω), stiamo essenzialmente proiettando la funzione f(t) sulla base formata dalle esponenziali complesse, ottenendo i coefficienti di questa decomposizione.

Questa prospettiva geometrica illumina proprietà fondamentali. L'identità di Parseval afferma che $\int_{-\infty}^{+\infty} |f(t)|^2 \, dt = (1/2\pi) \int_{-\infty}^{+\infty} |F(\omega)|^2 \, d\omega$, stabilendo che l'energia totale del segnale rimane invariante sotto trasformazione. Nel dominio temporale misuriamo l'energia come integrale del quadrato del segnale; nel dominio frequenziale la stessa quantità emerge dall'integrale del quadrato dello spettro. Questa conservazione non è accidentale ma riflette il fatto che la trasformata di Fourier è un'isometria, preservando le distanze e gli angoli nello spazio funzionale.

Proprietà Strutturali e Teoremi Fondamentali

La trasformata di Fourier possiede proprietà algebriche che la rendono uno strumento di potenza eccezionale. La linearità garantisce che la trasformata di una combinazione lineare di funzioni sia la corrispondente combinazione lineare delle trasformate: se $f(t) \to F(\omega)$ e $g(t) \to G(\omega)$, allora $af(t) + bg(t) \to aF(\omega) + bG(\omega)$ per ogni coppia di scalari complessi a e b.

Il teorema dello spostamento temporale stabilisce che traslare un segnale nel tempo produce una modulazione di fase nello spettro: $f(t - t_0) \to e^{-i\omega t_0} F(\omega)$. La funzione trasformata mantiene la stessa ampiezza spettrale $|F(\omega)|$, ma ogni componente frequenziale acquisisce un ritardo di fase proporzionale a ωt_0. Dualmente, modulare un segnale nel tempo con un'esponenziale complessa $e^{i\omega_0 t}$ corrisponde a traslare lo spettro in frequenza: $e^{i\omega_0 t} f(t) \to F(\omega - \omega_0)$.

Il teorema del ridimensionamento rivela una relazione reciproca fondamentale tra estensione temporale e larghezza di banda: $f(at) \to (1/|a|) F(\omega/a)$ per $a \neq 0$. Comprimere un segnale nel tempo di un fattore a espande il suo spettro dello stesso fattore, mentre dilatarlo temporalmente concentra le componenti frequenziali. Questa reciprocità incarna il principio di indeterminazione di Heisenberg nella sua formulazione ondulatoria: non si può avere simultaneamente localizzazione arbitraria sia nel tempo che nella frequenza.

Convoluzione e il Teorema della Moltiplicazione

Una delle proprietà più potenti e applicativamente rilevanti della trasformata di Fourier concerne la convoluzione. Date due funzioni f(t) e g(t), la loro convoluzione è definita come $(f * g)(t) = \int_{-\infty}^{+\infty} f(\tau)\, g(t - \tau)\, d\tau$. Quest'operazione, che appare complessa e computazionalmente onerosa nel dominio temporale, si trasforma in una semplice moltiplicazione nel dominio frequenziale: se $f(t) \to F(\omega)$ e $g(t) \to G(\omega)$, allora $(f * g)(t) \to F(\omega) \cdot G(\omega)$.

Questa proprietà ha conseguenze profonde. Quando filtriamo un segnale facendolo passare attraverso un sistema lineare tempo-invariante con risposta impulsiva h(t), l'uscita è la convoluzione $y(t) = (x * h)(t)$ dell'ingresso x(t) con h(t). Nel dominio frequenziale, questa operazione diventa $Y(\omega) = X(\omega) \cdot H(\omega)$, dove $H(\omega)$ è la funzione di trasferimento del sistema. Invece di calcolare un integrale di convoluzione, moltiplichiamo semplicemente gli spettri. Per sistemi complessi, questo semplifica drasticamente l'analisi.

Dualmente, la moltiplicazione nel dominio temporale corrisponde alla convoluzione nel dominio frequenziale: $f(t) \cdot g(t) \to (1/2\pi)(F * G)(\omega)$. Questa dualità perfetta tra moltiplicazione e convoluzione nei due domini rappresenta uno degli aspetti più eleganti della teoria.

La Trasformata di Fourier Discreta e l'Algoritmo FFT

Nella pratica computazionale, lavoriamo con segnali discreti campionati a intervalli regolari. Data una sequenza finita di N campioni x[n] con n = 0, 1, ..., N-1, la trasformata di Fourier discreta (DFT) è definita come $X[k] = \Sigma_{n=0}^{N-1} x[n]\, e^{-i2\pi kn/N}$ per k = 0, 1, ..., N-1. Ogni coefficiente X[k] rappresenta la componente frequenziale alla frequenza normalizzata k/N.

La DFT richiede apparentemente $O(N^2)$ operazioni: per ciascuno degli N valori di k, dobbiamo sommare N termini. Questa complessità quadratica renderebbe proibitivo il

calcolo per segnali di dimensione significativa. La Fast Fourier Transform (FFT), algoritmo sviluppato da Cooley e Tukey nel 1965 ma con radici che risalgono a Gauss, riduce la complessità a O(N log N) sfruttando la struttura simmetrica e periodica delle radici N-esime dell'unità.

L'idea fondamentale della FFT divide ricorsivamente la DFT di dimensione N in due DFT di dimensione N/2, una per i campioni di indice pari e una per quelli di indice dispari. Definiamo $W_N = e^{-i2\pi/N}$ come fattore di twiddle primitivo. Possiamo scrivere $X[k] = \Sigma_{n \text{ pari}} x[n] W_N^{kn} + \Sigma_{n \text{ dispari}} x[n] W_N^{kn}$. Sostituendo $n = 2m$ per i termini pari e $n = 2m+1$ per quelli dispari, otteniamo $X[k] = \Sigma_{m=0}^{N/2-1} x[2m] W_N^{2km} + W_N^k \Sigma_{m=0}^{N/2-1} x[2m+1] W_N^{2km}$.

Osservando che $W_N^{2km} = W_{N/2}^{km}$, riconosciamo le due sommatorie come DFT di dimensione N/2. Indicando con $E[k]$ la DFT dei campioni pari e con $O[k]$ quella dei campioni dispari, abbiamo $X[k] = E[k] + W_N^k O[k]$. Sfruttando la periodicità e la simmetria ($W_N^{k+N/2} = -W_N^k$), possiamo calcolare sia $X[k]$ che $X[k+N/2]$ con le stesse DFT ridotte: $X[k] = E[k] + W_N^k O[k]$ e $X[k+N/2] = E[k] - W_N^k O[k]$.

Applicando ricorsivamente questa decomposizione fino a raggiungere trasformate di dimensione unitaria (che sono banali), otteniamo un albero di computazione con $\log_2 N$ livelli, ciascuno richiedente O(N) operazioni. La complessità totale diventa quindi O(N log N), un miglioramento drammatico che ha reso possibile l'elaborazione digitale dei segnali su vasta scala.

Applicazione all'Analisi e Sintesi Audio

Nel dominio dell'elaborazione audio, la trasformata di Fourier rivela la composizione spettrale dei suoni. Un segnale audio campionato a 44100 Hz (standard CD) viene segmentato in finestre temporali sovrapposte, tipicamente di 2048 o 4096 campioni. Applicando la FFT a ciascuna finestra, otteniamo uno spettrogramma che visualizza come lo spettro evolve nel tempo.

La scelta della lunghezza della finestra incorpora il principio di indeterminazione: finestre brevi offrono buona risoluzione temporale ma scarsa risoluzione frequenziale, mentre finestre lunghe forniscono risoluzione frequenziale elevata al costo di smearare gli eventi temporali. Una finestra di 2048 campioni a 44100 Hz copre circa 46,4 millisecondi e offre una risoluzione frequenziale di circa 21,5 Hz. Questa risoluzione è adeguata per distinguere note musicali nella gamma medio-alta, ma insufficiente per separare armoniche fondamentali nella regione grave.

Per mitigare gli artefatti dovuti alla discontinuità ai bordi della finestra, si applicano funzioni finestra come quella di Hann $w[n] = 0{,}5(1 - \cos(2\pi n/N))$ o di Hamming $w[n] = 0{,}54 - 0{,}46 \cos(2\pi n/N)$. Queste funzioni attenuano gradualmente il segnale verso i bordi, riducendo il leakage spettrale che causerebbe la diffusione dell'energia frequenziale su bin adiacenti.

La sintesi additiva sfrutta la trasformata inversa per costruire suoni complessi dalla sovrapposizione di sinusoidi. Specificando ampiezza, frequenza e fase di ciascuna componente armonica, possiamo sintetizzare qualsiasi forma d'onda periodica. La sintesi sottrattiva, invece, parte da forme d'onda ricche di armoniche e le modella attraverso filtri,

operazioni che nel dominio frequenziale corrispondono a moltiplicazioni dello spettro per la risposta del filtro.

Compressione JPEG e Trasformata Coseno Discreta

La compressione delle immagini secondo lo standard JPEG sfrutta una variante della trasformata di Fourier chiamata trasformata coseno discreta (DCT). L'immagine viene suddivisa in blocchi 8×8 pixel. Per ciascun blocco, la DCT bidimensionale trasforma i valori spaziali dei pixel in coefficienti frequenziali bidimensionali secondo la formula C[u,v] = α(u)α(v) Σ_{x=0}^7 Σ_{y=0}7 p[x,y] cos((2x+1)uπ/16) cos((2y+1)vπ/16), dove α(u) = 1/√8 se u=0, altrimenti α(u) = 1/2.

Il coefficiente C[0,0], chiamato DC, rappresenta il valore medio del blocco, essenzialmente la sua luminosità complessiva. Gli altri 63 coefficienti AC catturano le variazioni spaziali a frequenze crescenti. I coefficienti in alto a sinistra corrispondono a variazioni lente e graduali, mentre quelli verso il basso a destra rappresentano dettagli ad alta frequenza come bordi netti e texture fini.

La chiave della compressione risiede nell'osservazione psicofisica che l'occhio umano è meno sensibile alle alte frequenze spaziali. Dopo la DCT, i coefficienti vengono quantizzati dividendoli per valori contenuti in una matrice di quantizzazione e arrotondando all'intero più vicino. Le alte frequenze subiscono una quantizzazione più aggressiva, azzerando molti coefficienti. Un coefficiente C[u,v] = 42,7 diviso per un fattore di quantizzazione q[u,v] = 20 diventa 2, perdendo informazione ma riducendo drasticamente la quantità di dati.

I coefficienti quantizzati vengono poi ordinati secondo una scansione a zigzag che procede dalle basse alle alte frequenze, producendo lunghe sequenze di zeri che si comprimono efficacemente con codifica entropica. La combinazione di DCT, quantizzazione e codifica di Huffman permette riduzioni da 10:1 a 20:1 mantenendo qualità percettiva elevata. A qualità massima, l'artefatto blocco è minimale; riducendo il fattore di qualità, emergono discontinuità visibili ai confini degli 8×8 blocchi e ringing attorno ai bordi netti.

La DCT fu preferita alla DFT completa per ragioni computazionali e perché, lavorando con soli coseni, evita i coefficienti complessi e produce risultati reali per input reali. Inoltre, la DCT possiede migliori proprietà di compattazione dell'energia per segnali tipicamente correlati, concentrando più informazione nei primi coefficienti.

Il Principio di Indeterminazione e Localizzazione Tempo-Frequenza

L'impossibilità di localizzare simultaneamente un segnale nel tempo e nella frequenza con precisione arbitraria non è una limitazione tecnica ma una conseguenza matematica profonda. Il principio di indeterminazione di Gabor-Heisenberg stabilisce che σ_t σ_ω ≥ 1/2, dove σ_t è la deviazione standard del segnale nel tempo e σ_ω quella nello spettro in frequenza. Più un segnale è concentrato temporalmente, più il suo spettro deve essere distribuito, e viceversa.

Una funzione delta δ(t-t₀), perfettamente localizzata all'istante t₀, ha spettro F(ω) = e^{-iωt₀}, che ha ampiezza costante su tutte le frequenze: localizzazione temporale assoluta implica

delocalizzazione frequenziale totale. Dualmente, una sinusoide pura $e^{i\omega_0 t}$, perfettamente monocromatica, si estende sull'intero asse temporale.

La gaussiana realizza il limite inferiore del principio di indeterminazione. Una funzione $f(t) = e^{-t^2/2\sigma^2}$ ha trasformata $F(\omega) = \sqrt{(2\pi\sigma^2)}\, e^{-\sigma^2\omega^2/2}$, anch'essa gaussiana. Il prodotto delle deviazioni standard $\sigma_t = \sigma$ e $\sigma_\omega = 1/(2\sigma)$ dà $\sigma_t \sigma_\omega = 1/2$, saturando la disuguaglianza. Nessuna funzione può fare meglio di questa.

Per analizzare segnali non stazionari, dove il contenuto frequenziale varia nel tempo, serve una rappresentazione tempo-frequenza. La Short-Time Fourier Transform (STFT) calcola la trasformata di Fourier su finestre temporali scorrevoli: $STFT(t,\omega) = \int_{-\infty}^{+\infty} f(\tau)\, w(\tau - t)\, e^{-i\omega\tau}\, d\tau$. La finestra $w(\tau - t)$ centrata in t seleziona una porzione localizzata del segnale. La risoluzione tempo-frequenza è fissa, determinata dalla larghezza della finestra.

La trasformata wavelet supera questa limitazione usando funzioni base localizzate sia nel tempo che nella frequenza, con risoluzione adattiva. Alle basse frequenze si usano wavelet lunghe (buona risoluzione frequenziale), alle alte frequenze wavelet brevi (buona risoluzione temporale). Questo approccio multirisoluzione si adatta alla natura dei segnali reali, dove eventi transitori richiedono risoluzione temporale fine ed eventi sostenuti beneficiano di risoluzione frequenziale elevata.

Trasformate di Fourier Multidimensionali

La generalizzazione a dimensioni superiori procede naturalmente. Per una funzione bidimensionale $f(x,y)$, la trasformata di Fourier è $F(u,v) = \iint_{-\infty}^{+\infty} f(x,y)\, e^{-i(ux+vy)}\, dx\, dy$. Le variabili u e v rappresentano frequenze spaziali nelle direzioni x e y. Nel processing delle immagini, frequenze spaziali basse corrispondono a variazioni graduali di intensità, mentre frequenze alte catturano dettagli fini e bordi.

Il teorema della proiezione-slice connette la trasformata di Fourier bidimensionale alla tomografia computerizzata. La trasformata di Fourier unidimensionale di una proiezione (radiografia) presa a un angolo θ coincide con una slice della trasformata di Fourier bidimensionale dell'oggetto lungo la stessa direzione angolare. Questo permette di ricostruire la struttura interna da proiezioni multiple: trasformando ciascuna proiezione, popoliamo lo spazio di Fourier bidimensionale lungo raggi radiali, quindi antitrasformiamo per ottenere l'immagine tomografica.

Trasformazioni Affini dello Spazio di Fourier

Operazioni geometriche sull'immagine si riflettono in trasformazioni dello spettro. Una rotazione dell'immagine di un angolo θ produce una rotazione identica dello spettro di ampiezza. Se ruotiamo $f(x,y)$ ottenendo $f_{rot}(x,y)$, lo spettro $F_{rot}(u,v)$ è semplicemente $F(u,v)$ ruotato dello stesso angolo. Questa proprietà deriva dall'invarianza della trasformata rispetto a rotazioni: le frequenze spaziali ruotano solidalmente con l'immagine.

Il ridimensionamento segue la relazione reciproca già vista: $f(ax, by) \rightarrow (1/|ab|)\, F(u/a, v/b)$. Ingrandire l'immagine comprime lo spettro, concentrando l'energia verso le basse frequenze. Ridurre l'immagine espande lo spettro, aumentando il contenuto ad alta frequenza. Questo

spiega l'aliasing che si verifica sottocampionando senza filtrare: le alte frequenze dello spettro espanso si ripiegano nelle basse frequenze, creando artefatti.

Applicazioni Avanzate: Correlazione e Riconoscimento

La cross-correlazione di due segnali f(t) e g(t), definita come $(f \star g)(t) = \int_{-\infty}^{+\infty} f(\tau)\, g(t+\tau)\, d\tau$, misura la similarità in funzione dello spostamento temporale. Nel dominio frequenziale, questa operazione diventa $(f \star g)(t) \rightarrow F(\omega)\, G^*(\omega)$, dove G^* indica il complesso coniugato di G. Moltiplicare gli spettri, coniugando uno dei due, e antitrasformare fornisce la cross-correlazione.

Questa proprietà è fondamentale nel riconoscimento di pattern. Per trovare un template in un segnale lungo, cross-correliamo il template con il segnale: i picchi della cross-correlazione indicano le posizioni dove il template appare. Implementando via FFT, l'operazione richiede $O(N \log N)$ invece di $O(N^2)$, rendendo praticabile la ricerca in tempo reale.

Nel processing delle immagini, la cross-correlazione bidimensionale localizza oggetti. Per trovare un volto in una fotografia, cross-correliamo l'immagine con un template del volto. Le regioni ad alta correlazione segnalano candidati. Tecniche più sofisticate usano filtri matched nel dominio frequenziale, ottimizzando il rilevamento in presenza di rumore.

Capitolo 19: Machine Learning - Trasformare Dati

L'Architettura delle Reti Neurali come Cascata di Trasformazioni

Una rete neurale profonda incarna una filosofia radicale: trasformare iterativamente i dati attraverso una sequenza di funzioni non lineari parametrizzate fino a quando la rappresentazione finale permette di risolvere il compito desiderato. L'input grezzo, che potrebbe essere un'immagine, un suono, un testo o qualsiasi struttura di dati multidimensionale, attraversa strati successivi (layers) dove subisce trasformazioni progressive che estraggono caratteristiche sempre più astratte e rilevanti per il problema.

Consideriamo una rete neurale feedforward con L strati. L'input $x^{(0)} \in \mathbb{R}^{n^0}$ viene trasformato dal primo strato secondo $x^{(1)} = \sigma(W^{(1)}x^{(0)} + b^{(1)})$, dove $W^{(1)} \in \mathbb{R}^{n^1 \times n^0}$ è la matrice dei pesi, $b^{(1)} \in \mathbb{R}^{n^1}$ il vettore dei bias, e σ una funzione di attivazione non lineare applicata elemento per elemento. Questo pattern si ripete: $x^{(l)} = \sigma(W^{(l)}x^{(l-1)} + b^{(l)})$ per $l = 1, 2, ..., L$.

La trasformazione affine $z^{(l)} = W^{(l)}x^{(l-1)} + b^{(l)}$ computa una combinazione lineare pesata degli input dello strato precedente. Se ci fermassimo qui, concatenare arbitrariamente molti strati lineari produrrebbe comunque una funzione globalmente lineare, poiché la composizione di trasformazioni lineari rimane lineare. La non linearità σ spezza questa limitazione, permettendo alla rete di approssimare funzioni arbitrariamente complesse.

Le funzioni di attivazione più comuni includono la ReLU (Rectified Linear Unit) $\sigma(z) = \max(0, z)$, che azzera i valori negativi mantenendo quelli positivi inalterati; la sigmoide $\sigma(z) = 1/(1 + e^{-z})$, che comprime l'intero asse reale nell'intervallo (0,1); la tangente iperbolica $\tanh(z) = (e^z - e^{-z})/(e^z + e^{-z})$, che mappa in (-1,1); e varianti più recenti come Leaky ReLU $\sigma(z) = \max(\alpha z,$

z) con α piccolo (tipicamente 0,01), che evita la "morte" dei neuroni mantenendo un gradiente piccolo ma non nullo per input negativi.

La scelta della funzione di attivazione non è neutra. La ReLU ha sostituito la sigmoide come default perché mitiga il problema del vanishing gradient: la derivata della sigmoide $\sigma'(z) = \sigma(z)(1-\sigma(z))$ si annulla rapidamente per $|z|$ grande, mentre la derivata della ReLU è costante (uguale a 1 per $z > 0$), permettendo gradienti stabili nelle reti profonde. Tuttavia, la ReLU soffre del dying ReLU problem: neuroni con pesi che portano costantemente $z < 0$ smettono di apprendere poiché il gradiente è nullo.

La Geometria delle Trasformazioni Layer-by-Layer

Ogni strato della rete può essere interpretato geometricamente come una trasformazione dello spazio delle rappresentazioni. Il primo strato trasforma l'input da $\mathbb{R}^{n^0}$ a $\mathbb{R}^{n^1}$; il secondo da $\mathbb{R}^{n^1}$ a $\mathbb{R}^{n^2}$, e così via. Se $n_1 > n_0$, stiamo espandendo lo spazio; se $n_1 < n_0$, lo stiamo comprimendo. L'architettura encoder-decoder alterna espansioni e compressioni: l'encoder riduce progressivamente la dimensionalità estraendo una rappresentazione compatta (bottleneck), il decoder espande questa rappresentazione per ricostruire o generare output.

La trasformazione lineare $W^{(l)}x^{(l-1)}$ può essere vista come proiezione su uno spazio di caratteristiche definito dalle righe di $W^{(l)}$. Ogni riga w_i della matrice $W^{(l)}$ definisce un iperpiano, e il prodotto scalare $w_i \cdot x^{(l-1)}$ misura quanto l'input si allinea con la direzione definita da w_i. Il bias b_i sposta la soglia di attivazione. La non linearità σ introduce piegature (folding) dello spazio: la ReLU piega lo spazio lungo gli iperpiani dove $z = 0$, creando regioni dove la funzione è lineare a tratti.

Concatenando molti strati, la rete costruisce una partizione estremamente complessa dello spazio di input in regioni politopi convessi, all'interno di ciascuno dei quali la funzione globale input-output è lineare. Il numero di regioni cresce esponenzialmente con la profondità e la larghezza della rete. Una rete con k neuroni ReLU può partizionare lo spazio di input in fino a O(k^d) regioni, dove d è la dimensione dell'input, sebbene il numero effettivo dipenda dall'architettura specifica.

Backpropagation: Trasformare il Gradiente all'Indietro

L'addestramento di una rete neurale richiede di minimizzare una funzione di perdita $L(\theta)$ che misura la discrepanza tra le predizioni della rete e i target desiderati, dove $\theta = \{W^{(l)}, b^{(l)}\}$ rappresenta tutti i parametri. L'algoritmo di backpropagation calcola efficientemente i gradienti $\partial L/\partial W^{(l)}$ e $\partial L/\partial b^{(l)}$ per ogni strato, permettendo l'ottimizzazione tramite discesa del gradiente o sue varianti.

La chiave è la regola della catena del calcolo differenziale. Supponiamo di aver calcolato il gradiente della perdita rispetto all'output dello strato l, ovvero $\partial L/\partial x^{(l)}$. Per propagare questo gradiente allo strato precedente, osserviamo che $x^{(l)} = \sigma(z^{(l)})$ dove $z^{(l)} = W^{(l)}x^{(l-1)} + b^{(l)}$. Applicando la chain rule, $\partial L/\partial z^{(l)} = \partial L/\partial x^{(l)} \odot \sigma'(z^{(l)})$, dove $\odot$ denota il prodotto elemento per elemento (Hadamard product).

Una volta ottenuto $\partial L/\partial z^{(l)}$, calcoliamo i gradienti dei parametri: $\partial L/\partial W^{(l)} = \partial L/\partial z^{(l)} (x^{(l-1)})^T$ e $\partial L/\partial b^{(l)} = \partial L/\partial z^{(l)}$. Infine, propaghiamo il gradiente allo strato precedente: $\partial L/\partial x^{(l-1)} = (W^{(l)})^T$

$\partial L/\partial z^{(l)}$. Questo processo si ripete layer per layer procedendo all'indietro dalla perdita verso l'input.

Il forward pass calcola le attivazioni $x^{(l)}$ propagando l'input attraverso la rete; il backward pass calcola i gradienti propagando il segnale di errore dalla perdita attraverso gli strati in direzione opposta. La backpropagation trasforma il gradiente della funzione di perdita, decomponendolo attraverso la struttura composita della rete. Ogni trasformazione forward ha una corrispondente trasformazione backward che propaga il gradiente secondo la regola della catena.

Computazionalmente, la backpropagation ha complessità confrontabile al forward pass. Se il forward richiede O(E) operazioni, dove E è il numero totale di connessioni (edge) nella rete, anche il backward richiede O(E) operazioni. Questo contrasta con l'approccio naive di calcolare gradienti numerici, che richiederebbe O(NE) operazioni dove N è il numero di parametri, completamente proibitivo per reti moderne con milioni o miliardi di parametri.

Ottimizzazione Stocastica e Dinamica dell'Addestramento

L'algoritmo base di discesa del gradiente aggiorna i parametri secondo $\theta_{t+1} = \theta_t - \eta \nabla L(\theta_t)$, dove η è il learning rate. Calcolare il gradiente esatto $\nabla L(\theta)$ richiederebbe di processare l'intero dataset a ogni step, impraticabile per dataset di dimensioni realistiche. La stochastic gradient descent (SGD) approssima il gradiente usando mini-batch di esempi: a ogni iterazione, si campiona un batch casuale di B esempi, si calcola la perdita media L_{batch} e si aggiorna usando ∇L_{batch} come stima rumorosa di ∇L.

Questa procedura stocastica introduce rumore nel processo di ottimizzazione, che può essere sia dannoso sia benefico. Il rumore permette di sfuggire da minimi locali poco profondi, favorendo la convergenza a soluzioni più robuste. Tuttavia, il rumore impedisce anche la convergenza esatta: l'ottimizzatore oscilla attorno al minimo invece di convergere. Ridurre progressivamente il learning rate (learning rate scheduling) mitiga questo problema.

Varianti più sofisticate incorporano momento e adattività. SGD with momentum mantiene una velocità v_t che accumula gradienti passati: $v_{t+1} = \gamma v_t + \eta \nabla L_{batch}(\theta_t)$ e $\theta_{t+1} = \theta_t - v_{t+1}$, dove $\gamma \in (0,1)$ è il coefficiente di momento. Questo accelera la convergenza lungo direzioni consistenti e smorza oscillazioni lungo direzioni con gradienti oscillanti.

Adam (Adaptive Moment Estimation) combina momento con scaling adattivo del learning rate per ciascun parametro. Mantiene medie mobili esponenziali del gradiente m_t e del gradiente al quadrato v_t: $m_t = \beta_1 m_{t-1} + (1-\beta_1) g_t$ e $v_t = \beta_2 v_{t-1} + (1-\beta_2) g_t^2$, dove $g_t = \nabla L_{batch}(\theta_t)$. Dopo correzione del bias (poiché $m_0 = v_0 = 0$), aggiorna $\theta_{t+1} = \theta_t - \eta \hat{m}_t / (\sqrt{\hat{v}_t} + \varepsilon)$, dove ε è un piccolo valore per stabilità numerica. Parametri con gradienti grandi vedono learning rate effettivi ridotti, mentre parametri con gradienti piccoli vengono aggiornati più aggressivamente.

Embedding: Trasformazioni da Alta a Bassa Dimensione

Molti problemi di machine learning richiedono di rappresentare oggetti discreti (parole, utenti, prodotti) in spazi vettoriali continui. Gli embedding sono trasformazioni apprese che

mappano ciascun elemento di un insieme discreto in un vettore denso di dimensionalità fissata, tipicamente molto inferiore al numero totale di elementi.

Consideriamo un vocabolario di V parole. Una rappresentazione one-hot assegna a ciascuna parola un vettore binario di dimensione V con un singolo 1 nella posizione corrispondente e zeri altrove. Questo è estremamente sparso e non cattura alcuna relazione semantica: la distanza tra qualsiasi coppia di parole è identica. Un embedding trasforma questi vettori V-dimensionali in vettori densi d-dimensionali con $d \ll V$, tipicamente $d \in [50, 1000]$.

La matrice di embedding $E \in \mathbb{R}^{d \times V}$ funge da lookup table apprendibile: la colonna i-esima E_i è il vettore di embedding della parola i. Quando una parola con codifica one-hot x entra nella rete, il prodotto Ex seleziona la colonna corrispondente. Durante l'addestramento, i gradienti backpropagano aggiornando E in modo che parole usate in contesti simili acquisiscano embedding simili.

Word2Vec, sviluppato da Mikolov et al., apprende embedding predittivi. Il modello Skip-gram, data una parola centrale w_t, predice le parole di contesto $w_{t-k}, ..., w_{t-1}, w_{t+1}, ..., w_{t+k}$. La probabilità che w_o appaia nel contesto di w_i è modellata come $p(w_o|w_i) = \exp(e_{w_o}^T e_{w_i}) / \Sigma_j \exp(e_j^T e_{w_i})$, dove e_w sono gli embedding. Massimizzare questa probabilità sulle co-occorrenze osservate nel corpus spinge embedding di parole che appaiono in contesti simili a essere vicini nello spazio vettoriale.

Il risultato è straordinario: relazioni semantiche e sintattiche emergono come regolarità geometriche. L'analogia "re sta a regina come uomo sta a donna" si manifesta come $e_{regina} - e_{re} \approx e_{donna} - e_{uomo}$. Le direzioni nello spazio di embedding catturano dimensioni di variazione semantica: genere, pluralità, tempo verbale. Operazioni algebriche sugli embedding corrispondono a manipolazioni concettuali.

t-SNE: Visualizzazione di Varietà Complesse

Quando i dati risiedono intrinsecamente su una varietà (manifold) di dimensione bassa immersa in uno spazio ad alta dimensione, visualizzarli proiettandoli linearmente (PCA) può distruggere la struttura. Il t-distributed Stochastic Neighbor Embedding (t-SNE) è una tecnica non lineare che preserva le vicinanze locali, rivelando la struttura topologica dei dati.

L'algoritmo opera in due fasi. Nello spazio originale ad alta dimensione, per ogni coppia di punti x_i e x_j definiamo una probabilità $p_{j|i}$ che i selezionerebbe j come vicino se i vicini fossero selezionati proporzionalmente alla loro similarità sotto una gaussiana: $p_{j|i} = \exp(-||x_i - x_j||^2/2\sigma_i^2) / \Sigma_{k \neq i} \exp(-||x_i - x_k||^2/2\sigma_i^2)$. La varianza σ_i è scelta in modo che l'entropia di Shannon della distribuzione $p_{\cdot|i}$ corrisponda a un valore di perplessità prefissato, controllando effettivamente il numero di vicini considerati rilevanti.

Simmetrizziamo definendo $p_{ij} = (p_{j|i} + p_{i|j})/(2N)$, dove N è il numero di punti. Nello spazio bidimensionale o tridimensionale di visualizzazione, cerchiamo coordinate y_i tali che le probabilità $q_{ij} = (1 + ||y_i - y_j||^2)^{-1} / \Sigma_{k \neq l}(1 + ||y_k - y_l||^2)^{-1}$ corrispondano il più possibile alle p_{ij}. La distribuzione q usa una t-Student con un grado di libertà (distribuzione di Cauchy) invece di una gaussiana: questo ha code più pesanti, permettendo

di separare cluster nello spazio di visualizzazione senza comprimere eccessivamente le distanze moderate.

Minimizziamo la divergenza di Kullback-Leibler $KL(P||Q) = \Sigma_i \Sigma_j p_{ij} \log(p_{ij}/q_{ij})$ tramite discesa del gradiente. Il gradiente $\partial KL/\partial y_i = 4 \Sigma_j (p_{ij} - q_{ij})(y_i - y_j)(1 + ||y_i - y_j||^2)^{-1}$ bilancia forze attrattive (dove $p_{ij} > q_{ij}$) e repulsive (dove $p_{ij} < q_{ij}$). Punti vicini nell'alta dimensione attraggono le loro coordinate 2D/3D; punti lontani si respingono.

t-SNE rivela cluster che PCA mancherebbe, preserva ramificazioni e strutture curve, e separa chiaramente gruppi distinti. Tuttavia, le distanze globali non sono preservate: la distanza tra cluster nella visualizzazione non riflette necessariamente la loro separazione nello spazio originale. Inoltre, t-SNE è stocastico e computazionalmente intenso, con complessità $O(N^2)$ naive, mitigata a $O(N \log N)$ con approssimazioni Barnes-Hut.

UMAP (Uniform Manifold Approximation and Projection) migliora t-SNE preservando meglio la struttura globale e scalando più efficientemente. Si basa su fondamenti topologici, costruendo una rappresentazione simplessiale fuzzy dei dati e ottimizzando un embedding che preserva questa struttura topologica. UMAP tende a essere più veloce e a conservare meglio le relazioni a media distanza.

Autoencoder: Compressione e Ricostruzione

Un autoencoder è una rete neurale addestrata a ricostruire il proprio input. La struttura è simmetrica: un encoder $f_{enc}(x; \theta_{enc})$ mappa l'input $x \in \mathbb{R}^n$ in una rappresentazione latente $z = f_{enc}(x) \in \mathbb{R}^d$ con $d < n$, e un decoder $f_{dec}(z; \theta_{dec})$ ricostruisce $\hat{x} = f_{dec}(z) \in \mathbb{R}^n$. La rete è addestrata minimizzando la reconstruction loss $||x - \hat{x}||^2$, forzando il bottleneck latente z a catturare le caratteristiche essenziali dei dati.

Se encoder e decoder fossero lineari e la perdita fosse quadratica, l'autoencoder apprenderebbe essenzialmente una PCA, proiettando i dati sui principali d componenti principali. La non linearità permette di apprendere varietà curve complesse. Uno strato encoder $\sigma(W_1 x + b_1)$ seguito da $\sigma(W_2 z)$ nel decoder può approssimare varietà non lineari arbitrariamente complesse, soggetto a sufficiente capacità.

I variational autoencoder (VAE) introducono un framework probabilistico. Invece di mappare x a un singolo z, l'encoder produce parametri di una distribuzione $q(z|x)$, tipicamente gaussiana $q(z|x) = N(z; \mu(x), \Sigma(x))$, dove $\mu(x)$ e $\Sigma(x)$ sono output di reti neurali. Si campiona $z \sim q(z|x)$ e si ricostruisce $\hat{x} = f_{dec}(z)$. La funzione obiettivo include sia la reconstruction loss che una regolarizzazione $KL(q(z|x)||p(z))$, dove $p(z)$ è una prior (tipicamente $N(0,I)$).

Questa regolarizzazione impone che la distribuzione latente $q(z|x)$ rimanga vicina alla prior, evitando overfitting e rendendo lo spazio latente continuo e strutturato. Punti vicini in z dovrebbero decodificare in output simili. I VAE permettono generazione campionando $z \sim p(z)$ e decodificando, producendo nuovi esempi simili ai dati di addestramento.

Generative Adversarial Networks: Trasformare Rumore in Realtà

Le Generative Adversarial Networks (GAN), introdotte da Goodfellow et al. nel 2014, incarnano un paradigma generativo radicalmente diverso: due reti neurali competono in un

gioco minimax. Il generatore G cerca di trasformare rumore casuale z ~ p_z (tipicamente gaussiano o uniforme) in campioni G(z) indistinguibili dai dati reali. Il discriminatore D cerca di distinguere campioni reali x ~ p_data da campioni generati G(z).

Formalmente, il discriminatore è una rete neurale che output una probabilità D(x) ∈ [0,1] che x sia reale. Il generatore G mappa vettori latenti z ∈ $\mathbb{R}^d$ in campioni nello spazio dei dati G(z) ∈ $\mathbb{R}^n$. Addestriamo alternativamente le due reti. Il discriminatore massimizza V(D,G) = E_{x~p_data}[log D(x)] + E_{z~p_z}[log(1 - D(G(z)))], ovvero la log-likelihood di classificare correttamente reali e fake. Il generatore minimizza la stessa quantità, equivalentemente massimizzando E_{z~p_z}[log D(G(z))], incentivandolo a produrre campioni che D classifica come reali.

L'equilibrio teorico si raggiunge quando p_G = p_data, ovvero il generatore replica perfettamente la distribuzione dei dati, e D(x) = 1/2 ovunque, incapace di discriminare. In pratica, raggiungere questo equilibrio è difficile: l'addestramento può collassare con il generatore che produce sempre lo stesso output (mode collapse), o diventare instabile con oscillazioni senza convergenza.

Le Deep Convolutional GAN (DCGAN) stabilizzarono l'architettura usando convoluzioni transpose nel generatore (upsampling), convoluzioni stride nel discriminatore (downsampling), batch normalization, e ReLU/Leaky ReLU. StyleGAN introdusse controllo gerarchico: il vettore latente z viene mappato attraverso una rete in uno spazio intermedio w, che modula i parametri di normalizzazione a ogni livello del generatore, controllando progressivamente caratteristiche grossolane (struttura facciale) e fini (texture della pelle) nell'immagine generata.

Progressive GAN addestra il generatore e discriminatore incrementalmente, iniziando con risoluzione bassa (4×4) e aggiungendo progressivamente strati per risoluzioni maggiori (8×8, 16×16, ..., 1024×1024). Questa strategia stabilizza l'addestramento e permette di generare immagini fotorealistiche di qualità sorprendente.

Transformers e Meccanismo di Attenzione

L'architettura Transformer, introdotta da Vaswani et al. nel 2017, ha rivoluzionato il processing di sequenze eliminando ricorrenza e convoluzioni a favore di meccanismi di attenzione. Ogni token in una sequenza può interagire direttamente con ogni altro token attraverso l'auto-attenzione, trasformando la sequenza in rappresentazioni contestualizzate.

Il meccanismo di attenzione scaled dot-product calcola per ogni query q una distribuzione di attenzione su chiavi k_1, ..., k_n secondo α_i = exp($q^T k_i/\sqrt{d}$) / Σ_j exp($q^T k_j/\sqrt{d}$), dove d è la dimensionalità. L'output è la combinazione pesata dei valori: o = Σ_i α_i v_i. Query, chiavi e valori sono proiezioni lineari dell'input: Q = XW_Q, K = XW_K, V = XW_V, dove X è la matrice delle rappresentazioni di input.

In forma matriciale, Attention(Q,K,V) = softmax($QK^T/\sqrt{d}$)V. Questa operazione è completamente parallelizzabile, superando la sequenzialità intrinseca delle RNN. Multi-head attention computa h teste di attenzione indipendenti con matrici di proiezione separate, concatena i risultati e proietta nuovamente: MultiHead(Q,K,V) = Concat($head_1$, ..., head_h)W_O, dove head_i = Attention(QW_i^Q, KW_i^K, VW_i^V).

Il blocco Transformer completo alterna multi-head self-attention e feed-forward networks con connessioni residue e layer normalization. Ogni sub-layer ha forma LayerNorm(x + Sublayer(x)), permettendo al gradiente di fluire direttamente attraverso le connessioni residue. Il feed-forward network $FFN(x) = \max(0, xW_1 + b_1)W_2 + b_2$ applica due trasformazioni lineari con ReLU intermedia, operando identicamente su ogni posizione.

BERT (Bidirectional Encoder Representations from Transformers) pre-addestra un encoder Transformer su enormi corpora di testo mascherando casualmente token e predicendoli dal contesto bidirezionale. GPT (Generative Pre-trained Transformer) usa un decoder autoregressive per generare testo, predetto il token successivo data la sequenza precedente. Questi modelli, dopo pre-addestramento su miliardi di parole, sviluppano rappresentazioni ricchissime del linguaggio, facilmente fine-tunable su compiti specifici con drammatici miglioramenti prestazionali.

Convolutional Neural Networks: Trasformazioni Equivarianti

Le Convolutional Neural Networks (CNN) sfruttano la struttura spaziale dei dati immagine applicando filtri condivisi su tutte le posizioni. Uno strato convoluzionale trasforma un'immagine di input $X \in \mathbb{R}^{H \times W \times C_{in}}$ in output $Y \in \mathbb{R}^{H' \times W' \times C_{out}}$ attraverso C_{out} filtri $F_k \in \mathbb{R}^{h \times w \times C_{in}}$, ciascuno producendo un feature map $Y[:,:,k] = \sigma(X * F_k + b_k)$.

La convoluzione $(X * F)[i,j] = \sum_u \sum_v \sum_c X[i+u, j+v, c] F[u,v,c]$ calcola una combinazione pesata di una patch locale dell'input. Condividere i pesi F su tutte le posizioni spaziali impone equivarianza traslazionale: traslare l'input trasla l'output della stessa quantità. Se un pattern (es. un bordo) appare in posizioni diverse, lo stesso filtro lo rileva ovunque, producendo attivazioni nelle posizioni corrispondenti.

Il pooling riduce la risoluzione spaziale aggregando regioni. Max pooling seleziona il valore massimo in ciascuna finestra, ottenendo invarianza a piccole traslazioni. Average pooling calcola la media. Alternando convoluzioni e pooling, la rete costruisce una gerarchia: i primi strati rilevano bordi e texture, strati intermedi combinano questi in motivi più complessi (angoli, parti di oggetti), e strati profondi riconoscono oggetti completi e scene.

AlexNet, vincitore di ImageNet 2012, dimostrò l'efficacia delle CNN profonde: 5 strati convoluzionali seguiti da 3 fully-connected, ReLU, dropout per regolarizzazione, e data augmentation. VGGNet approfondì l'architettura con stack di convoluzioni 3×3, dimostrando che profondità è cruciale. ResNet introdusse connessioni residue, permettendo di addestrare reti con centinaia di strati senza degradazione: ogni blocco apprende una funzione residua F(x) aggiunta all'identità, $y = F(x) + x$, facilitando l'ottimizzazione.

Reinforcement Learning: Trasformare Esperienza in Policy

Il reinforcement learning trasforma esperienze interattive in politiche comportamentali. Un agente in uno stato s sceglie un'azione a secondo una policy $\pi(a|s)$, riceve una ricompensa r e transita in un nuovo stato s'. L'obiettivo è apprendere π che massimizza il ritorno atteso $G_t = \sum_{k=0}^{\infty} \gamma^k r_{t+k}$, dove $\gamma \in [0,1)$ è il fattore di sconto.

Deep Q-Networks (DQN) approssimano la funzione valore-azione $Q(s,a; \theta)$ con una rete neurale, dove Q(s,a) rappresenta il ritorno atteso partendo da s, eseguendo a, quindi

seguendo la policy ottimale. L'algoritmo Q-learning aggiorna iterativamente Q verso il target di Bellman r + γ max_a' Q(s',a'), ma questo diventa instabile con approssimatori non lineari.

DQN stabilizza l'addestramento con due innovazioni. Experience replay accumula transizioni (s, a, r, s') in un buffer e campiona batch casuali per l'addestramento, decorrelando gli esempi consecutivi. Target network mantiene una copia congelata dei pesi θ^- aggiornata periodicamente, usando Q(s',a'; θ^-) per calcolare il target, evitando che target e predizione si inseguano instabilmente.

Policy gradient methods ottimizzano direttamente la policy parametrizzata π(a|s; θ). Il teorema del gradiente della policy afferma che $\nabla \theta J(\theta) = E\{s\sim\rho^\pi, a\sim\pi\}[\nabla_\theta \log \pi(a|s; \theta) Q^\pi(s,a)]$, permettendo di stimare il gradiente del ritorno atteso tramite campionamento. Actor-Critic combina policy gradient (actor) con apprendimento del valore (critic): il critic stima Q^π o un vantaggio $A^\pi(s,a) = Q^\pi(s,a) - V^\pi(s)$ per ridurre la varianza del gradiente stimato.

Capitolo 20: Compiler - Trasformazioni di Codice

L'Architettura della Compilazione come Pipeline di Trasformazioni

Un compilatore moderno rappresenta una delle strutture software più complesse e raffinate mai progettate, incarnando una cascata orchestrata di trasformazioni che convertono codice sorgente ad alto livello, comprensibile agli umani, in istruzioni macchina eseguibili direttamente dall'hardware. Questa trasformazione non è un salto monolitico ma un percorso attraverso rappresentazioni intermedie sempre più vicine al metallo, ciascuna progettata per facilitare specifiche analisi e ottimizzazioni.

La filosofia fondamentale è la separazione delle preoccupazioni. Ogni fase della compilazione affronta un aspetto specifico della trasformazione: l'analisi lessicale si occupa di tokenizzazione, l'analisi sintattica di struttura grammaticale, l'analisi semantica di tipo e correttezza, la generazione di codice intermedio di indipendenza dall'architettura, l'ottimizzazione di efficienza, la generazione di codice finale di sfruttamento delle caratteristiche hardware. Questa modularità permette di riutilizzare front-end per linguaggi diversi con lo stesso back-end, o viceversa supportare architetture diverse con lo stesso front-end.

Analisi Lessicale: Dalla Stringa ai Token

Il codice sorgente arriva al compilatore come sequenza lineare di caratteri, un flusso indifferenziato di simboli senza struttura apparente. La prima trasformazione, operata dal lexer (o scanner), segmenta questo flusso in unità lessicali chiamate token, ciascuna classificata in categorie come identificatori, parole chiave, operatori, letterali, delimitatori. La stringa `int sum = a + 42;` viene trasformata nella sequenza di token [(KEYWORD, "int"), (IDENTIFIER, "sum"), (ASSIGN, "="), (IDENTIFIER, "a"), (PLUS, "+"), (INTEGER_LITERAL, "42"), (SEMICOLON, ";")].

Il lexer è tipicamente implementato come automa a stati finiti, deterministico o non deterministico. Per ciascun token type, definiamo una espressione regolare che descrive i pattern validi. Gli identificatori potrebbero essere definiti da [a-zA-Z_][a-zA-Z0-9_]*, i letterali interi da [0-9]+, i float da [0-9]+.[0-9]+([eE][+-]?[0-9]+)?. Queste regex vengono combinate in un unico automa che processa il flusso di caratteri, riconoscendo il token più lungo possibile a ogni passo (principio del massimal munch).

La costruzione dell'automa può avvenire manualmente o tramite generatori automatici come lex/flex. Il lexer generator accetta una specifica di regex e azioni associate, costruisce l'NFA corrispondente tramite costruzione di Thompson, lo converte in DFA mediante subset construction, lo minimizza con l'algoritmo di Hopcroft, e genera codice C/C++ che implementa l'automa risultante.

Durante la scansione, il lexer mantiene informazioni ausiliarie: numero di riga e colonna per messaggi di errore precisi, tabella dei simboli per associare identificatori a informazioni semantiche, gestione di whitespace e commenti (che generalmente vengono scartati, non producendo token), espansione di macro in linguaggi che le supportano. Il risultato è un flusso di token annotati che alimenta la fase successiva.

Analisi Sintattica: Costruzione dell'Abstract Syntax Tree

Mentre il lexer si occupa della struttura superficiale, il parser ricostruisce la struttura gerarchica del programma. La grammatica del linguaggio, tipicamente context-free, definisce quali sequenze di token costituiscono costrutti validi. Il parser verifica che il flusso di token rispetti la grammatica e costruisce un Abstract Syntax Tree (AST) che rappresenta la struttura sintattica del programma, astraendo dai dettagli lessicali e concentrandosi sulla semantica.

Una grammatica context-free consiste di un insieme di produzioni della forma A → α, dove A è un non-terminale e α è una sequenza di terminali (token) e non-terminali. Per esempio, una espressione aritmetica potrebbe essere descritta da:

Expr → Expr + Term | Expr - Term | Term
Term → Term * Factor | Term / Factor | Factor
Factor → (Expr) | IDENTIFIER | INTEGER_LITERAL

Queste produzioni definiscono ricorsivamente la struttura di espressioni valide, catturando precedenza e associatività degli operatori attraverso la struttura gerarchica della grammatica.

I parser si dividono in top-down (che costruiscono l'albero dalla radice alle foglie, predittivamente) e bottom-up (che costruiscono dalle foglie alla radice, riducendo). I parser ricorsivi discendenti sono top-down semplici da implementare manualmente: ogni non-terminale corrisponde a una funzione che tenta di riconoscere le sue produzioni. Tuttavia, richiedono grammatiche LL(k), che possono essere parsate guardando ahead k token, ed eliminazione di ricorsione sinistra e fattorizzazione.

I parser LR, bottom-up, sono più potenti e gestiscono una classe più ampia di grammatiche. Il parser LR(1) costruisce uno shift-reduce parser guidato da una tabella che codifica l'automa LR. A ogni passo, il parser può shift (consumare un token spostandolo sullo stack) o reduce (sostituire simboli in cima allo stack con il non-terminale di una produzione). Le decisioni sono guidate dallo stato corrente dell'automa e dal lookahead token.

YACC/Bison automatizzano la generazione di parser LR(1) da specifiche grammaticali. L'input è una grammatica annotata con azioni semantiche (frammenti di codice da eseguire quando una produzione viene ridotta). Bison costruisce la tabella di parsing, gestisce conflitti shift/reduce e reduce/reduce (segnalando ambiguità), e genera codice C che implementa il parser.

L'AST risultante è un albero dove ogni nodo interno rappresenta un costrutto sintattico (dichiarazione, statement, espressione) e i figli rappresentano i componenti. Per `int sum = a + 42;`, l'AST potrebbe essere:

```
VarDecl(type=int, name=sum,
  init=BinaryOp(op=+,
    left=Identifier(a),
    right=IntLiteral(42)))
```

L'AST omette token sintattici ridondanti (parentesi, punti e virgola, parole chiave) che non portano informazione semantica, concentrandosi sulla struttura logica.

Analisi Semantica: Verifica dei Tipi e Costruzione della Tabella dei Simboli

L'AST è sintatticamente corretto ma potrebbe contenere errori semantici: variabili non dichiarate, type mismatch, violazioni di scope. L'analisi semantica attraversa l'AST verificando la correttezza e decorandolo con informazioni di tipo.

La tabella dei simboli è una struttura dati che associa identificatori a informazioni: tipo, scope, posizione in memoria, costanti di tempo di compilazione. Durante la traversata dell'AST, entrando in un blocco si apre un nuovo scope; uscendo, lo scope viene chiuso. Dichiarazioni inseriscono simboli; usi di variabili interrogano la tabella, cercando prima nello scope corrente poi risalendo gli scope esterni.

Il type checking verifica che le operazioni siano applicate a operandi di tipo compatibile. Per un'espressione `a + b`, dobbiamo verificare che `a` e `b` abbiano tipi per cui `+` è definito. In linguaggi tipati staticamente, questo avviene a compile-time; in linguaggi dinamici, il controllo è rimandato a runtime ma il compilatore può comunque inferire tipi per ottimizzazioni.

L'inferenza di tipo deduce automaticamente i tipi senza annotazioni esplicite. L'algoritmo di Hindley-Milner, usato in ML e Haskell, assegna variabili di tipo a espressioni, genera vincoli osservando come le espressioni vengono usate, e risolve i vincoli tramite unificazione. Per esempio, se `f(x) = x + 1`, deduciamo che `x` è un numero (poiché `+` richiede numeri) e `f` ha tipo `int → int`.

La risoluzione di overloading seleziona quale versione di una funzione chiamare quando esistono multiple definizioni con firme diverse. In C++, questo coinvolge matching di tipi degli argomenti, promozioni implicite, e regole di preferenza complesse. In linguaggi con generics/templates, il compilatore può istanziare versioni specializzate per tipi concreti (monomorphization in Rust) o usare type erasure e vtables (Java generics).

Intermediate Representation: Indipendenza e Ottimizzabilità

La rappresentazione intermedia (IR) è un linguaggio di basso livello, più semplice del sorgente ma più astratto dell'assembly, progettato per facilitare analisi e trasformazioni. L'IR disaccoppia front-end e back-end: linguaggi diversi possono compilare alla stessa IR, che può essere ottimizzata indipendentemente dal linguaggio sorgente, quindi compilata per architetture diverse.

LLVM IR è un esempio prominente. È un linguaggio assembly-like con infinite registri virtuali in Single Static Assignment (SSA) form. Ogni variabile è assegnata esattamente una volta; il flusso di controllo usa phi-nodes per mergiare valori da percorsi diversi. Per esempio:

```
define i32 @factorial(i32 %n) {
entry:
  %cmp = icmp sgt i32 %n, 1
  br i1 %cmp, label %recurse, label %base
base:
  ret i32 1
recurse:
  %n_minus_1 = sub i32 %n, 1
  %rec_result = call i32 @factorial(i32 %n_minus_1)
  %result = mul i32 %n, %rec_result
  ret i32 %result
}
```

La forma SSA semplifica molte ottimizzazioni. Il dataflow è esplicito: ogni uso di una variabile ha esattamente una definizione, eliminando ambiguità. Il grafo use-def (use-definition chain) connette usi a definizioni; il def-use connette definizioni a usi. Queste strutture permettono propagazione di costanti, eliminazione di codice morto, e altre analisi efficientemente.

Three-Address Code (TAC) è un'altra IR comune dove ogni istruzione ha al più tre operandi: `t1 = a + b`, `t2 = t1 * c`, `if t2 < 0 goto L1`. Le istruzioni sono semplici, facilitating analisi e traduzione in assembly. Il TAC può essere rappresentato come quadruple (operatore, arg1, arg2, risultato) o come liste di istruzioni.

Control Flow Graph (CFG) rappresenta il flusso di controllo del programma come grafo diretto dove nodi sono basic block (sequenze massimali di istruzioni senza salti interni o destinazioni di salti) e archi rappresentano possibili transizioni. Il CFG è fondamentale per analisi di dataflow e ottimizzazioni globali.

Ottimizzazioni: Trasformazioni Semanticamente Equivalenti

Le ottimizzazioni trasformano l'IR in una forma equivalente ma più efficiente. Sono semanticamente trasparenti: il programma ottimizzato produce gli stessi risultati dell'originale (supponendo assenza di undefined behavior), ma esegue più velocemente o usa meno risorse.

Constant folding valuta espressioni costanti a compile-time: `x = 2 + 3` diventa `x = 5`. Constant propagation sostituisce variabili con i loro valori noti: se `x = 5; y = x * 2;`, la seconda diventa `y = 5 * 2`, poi `y = 10` dopo folding.

Dead code elimination rimuove codice che non influenza l'output del programma. Se una variabile è assegnata ma mai usata, l'assegnamento è eliminato. Se un branch di un condizionale è provabilmente non raggiungibile, viene rimosso.

Common subexpression elimination identifica calcoli ripetuti: se `a = b + c; ... d = b + c;` e b e c non cambiano tra le due, la seconda diventa `d = a`, riutilizzando il risultato già calcolato.

Loop invariant code motion sposta calcoli che non dipendono dall'iterazione fuori dal loop. Se `for (i = 0; i < n; i++) { x = a * b; y[i] = x + i; }` e a, b non cambiano, `x = a * b` viene sollevato prima del loop.

Loop unrolling replica il corpo del loop multiple volte per ridurre overhead di controllo e esporre più parallelismo: `for (i = 0; i < 4; i++) { a[i] = 0; }` diventa `a[0] = 0; a[1] = 0; a[2] = 0; a[3] = 0;`.

Inlining sostituisce una chiamata a funzione con il corpo della funzione, eliminando overhead di chiamata e esponendo opportunità di ottimizzazione cross-procedurali. Va bilanciato contro l'aumento di code size: funzioni piccole chiamate frequentemente sono candidate ideali.

L'analisi di alias determina quali puntatori possono riferirsi alla stessa locazione di memoria. In C, questo è indecidibile in generale (problema di halting riducibile ad alias analysis), quindi si usano approssimazioni conservative. Alias analysis abilita ottimizzazioni aggressives: se sappiamo che due puntatori non si sovrappongono, possiamo riordinare accessi o cache valori in registri.

Ottimizzazioni Dipendenti dall'Architettura

Dopo ottimizzazioni indipendenti dall'architettura, trasformiamo l'IR in assembly specifico per la target architecture. Qui le ottimizzazioni sfruttano caratteristiche hardware: registri disponibili, pipeline, cache, istruzioni vettoriali.

Instruction selection traduce operazioni IR in sequenze di istruzioni macchina. Una singola operazione IR potrebbe corrispondere a diverse sequenze di istruzioni con costi diversi. Per esempio, `x = a * 3` potrebbe diventare una moltiplicazione vera, ma anche `lea x, [a`

`+ 2*a]` (load effective address, veloce su x86). Tecniche come tree pattern matching o dynamic programming selezionano la sequenza ottimale.

Register allocation assegna variabili (infiniti registri virtuali in SSA) ai registri fisici limitati. Questo è NP-completo, formulabile come graph coloring: costruiamo un interference graph dove nodi sono variabili e archi connettono variabili vive simultaneamente, quindi coloriamo con k colori (registri). Se il grafo non è k-colorabile, alcune variabili vengono spilled in memoria.

L'allocatore lineare scan è veloce ma subottimale: ordina gli intervalli di vita delle variabili per inizio, assegna registri greedily. Graph coloring allocators (Chaitin-Briggs) costruiscono il grafo, semplificano rimuovendo nodi con grado < k (che sicuramente avranno un colore disponibile), gestiscono spilling, e ricolorano. Modern allocators usano euristiche sofisticate e backtracking.

Instruction scheduling riordina istruzioni per minimizzare stalls e massimizzare throughput della pipeline. Le CPU moderne sono superscalari ed eseguono istruzioni out-of-order, ma il compilatore può aiutare. Per esempio, alternare istruzioni di load (latency alta) con istruzioni aritmetiche (latency bassa) nasconde la latency dei load.

Loop vectorization sfrutta istruzioni SIMD (Single Instruction Multiple Data) come SSE/AVX su x86 o NEON su ARM per processare multipli elementi in parallelo. Un loop `for (i = 0; i < n; i++) c[i] = a[i] + b[i];` può essere vettorizzato per processare 4 o 8 elementi per iterazione con istruzioni vettoriali, accelerando drammaticamente l'esecuzione.

Software pipelining e modulo scheduling trasformano loop per massimizzare l'uso della pipeline, sovrapponendo iterazioni successive. Particolarmente efficace su processori con pipeline profonde.

Generazione di Codice Assembly

La generazione di assembly traduce l'IR ottimizzata e allocata in codice assembly testuale o binario. Ogni istruzione IR viene tradotta nella corrispondente sequenza di istruzioni macchina, inserendo load/store per variabili spilled, gestendo convenzioni di chiamata, allineamento, direttive assembler.

Le convenzioni di chiamata (calling conventions) specificano come passare argomenti e return values. Su x86-64 System V ABI, i primi 6 argomenti interi vanno in rdi, rsi, rdx, rcx, r8, r9; i successivi sullo stack. I registri rbx, rbp, r12-r15 sono callee-saved (la funzione chiamata deve preservarli); gli altri sono caller-saved. La funzione ritorna valori interi in rax.

Il prologo della funzione salva registri callee-saved sullo stack, alloca spazio per variabili locali, imposta il frame pointer se necessario. L'epilogo ripristina registri, deallocata lo stack, ritorna. Per esempio:

```
foo:
  push rbp
  mov rbp, rsp
  sub rsp, 32         ; alloca 32 byte per locali
```

```
...             ; corpo funzione
add rsp, 32
pop rbp
ret
```

Position-Independent Code (PIC) è necessario per shared libraries, permettendo di caricarle a indirizzi arbitrari. Gli accessi a dati e funzioni usano indirezioni tramite Global Offset Table (GOT) e Procedure Linkage Table (PLT). Invece di `call funzione`, si usa `call funzione@PLT`, che tramite la PLT salta all'indirizzo reale risolto dinamicamente.

Linking e Relocation

I sorgenti multipli compilano in object file separati, contenenti codice macchina e simboli non risolti. Il linker combina questi in un eseguibile, risolvendo riferimenti simbolici e assegnando indirizzi finali.

I simboli possono essere defined (implementati nel file) o undefined (referenziati ma implementati altrove). Gli object file contengono tabelle di simboli e relocation entries che specificano dove sostituire placeholder con indirizzi finali.

Il linker opera in fasi: symbol resolution identifica definizioni per ogni simbolo referenziato, segnalando errori per simboli non definiti o definiti multipte volte. Relocation assegna indirizzi di memoria a sezioni (text, data, bss), aggiorna riferimenti secondo gli indirizzi finali.

La relocation trasforma riferimenti relativi a simboli in indirizzi assoluti o offset. Per esempio, un riferimento a una variabile globale `x` nel codice assembler `mov eax, [x]` contiene inizialmente un placeholder. Durante linking, il linker sostituisce il placeholder con l'indirizzo effettivo di `x`.

Link-time optimization (LTO) esegue ottimizzazioni cross-module. Invece di compilare ciascun sorgente in assembly, si emette IR (LLVM bitcode). Il linker combina gli IR, esegue ottimizzazioni globali (inlining cross-file, eliminazione di funzioni non usate), quindi genera codice finale. Questo permette ottimizzazioni impossibili a livello di singolo modulo, al costo di tempi di compilazione più lunghi.

Just-In-Time Compilation e Ottimizzazioni Adaptive

I compilatori Just-In-Time (JIT) traducono bytecode o IR in codice nativo a runtime, permettendo ottimizzazioni basate su profiling dinamico. La JVM di Java e il motore V8 di JavaScript sono esempi prominenti.

Il codice inizialmente può essere interpretato o compilato con un baseline compiler veloce ma non ottimizzante. Il runtime raccoglie profiling: quali funzioni sono hot (chiamate frequentemente), quali branch sono presi più spesso, i tipi concreti di oggetti in operazioni polimorfiche.

Quando una funzione diventa sufficientemente hot, un optimizing compiler la ricompila con ottimizzazioni aggressive guidate dal profilo. Inline caching memorizza risultati di lookup polimorfi: se una property lookup `obj.method()` referenzia sempre lo stesso metodo, si genera codice specializzato che bypassa il lookup dinamico, con un check che verifica che `obj` sia del tipo atteso.

Speculative optimization assume che pattern osservati nel profilo continuino. Per esempio, se un branch è sempre true, si genera codice che assume true, con un deoptimization guard che ritorna all'interprete se l'assunzione è violata. Questo permette ottimizzazioni ultra-aggressive con fallback sicuri.

Trace compilation registra sequenze di operazioni eseguite (trace), le ottimizza come unità, e le compila. Questo funziona bene per loop dove lo stesso trace è eseguito ripetutamente. I trace possono attraversare chiamate a funzione, permettendo inlining e ottimizzazione di sequenze di codice che non corrispondono a blocchi lessicali.

Garbage Collection e Gestione Automatica della Memoria

Linguaggi con garbage collection (GC) delegano al runtime la deallocazione della memoria. Il GC identifica oggetti non più raggiungibili e li reclama. Questo elimina una classe di bug (use-after-free, double-free, memory leak) al costo di overhead runtime.

Algoritmi di GC variano per strategie e trade-off. Mark-and-sweep marca oggetti raggiungibili dal root set (stack, registri, globali) attraversando il grafo di riferimenti, quindi libera oggetti non marcati. Richiede pausa durante la fase mark per garantire consistenza.

Generational GC sfrutta l'osservazione che la maggior parte degli oggetti muore giovane. La memoria è divisa in generazioni: young generation (oggetti recenti) e old generation (oggetti sopravvissuti a multiple collezioni). GC sulla young generation è frequente ma veloce (pochi oggetti sopravvivono); GC sulla old è rara ma costosa. Quando un oggetto sopravvive multiple collezioni nella young, viene promosso all'old.

Copying GC divide l'heap in due semi-spazi, alloca nel primo finché si riempie, quindi copia oggetti vivi nel secondo, aggiornando puntatori, e scambia i ruoli. Questo elimina frammentazione e rende allocazione velocissima (bump pointer allocation), ma richiede il doppio della memoria.

Concurrent GC esegue la maggior parte del lavoro in parallelo con il mutator (programma applicativo), minimizzando pause. Algoritmi come Concurrent Mark-Sweep o G1 in Java riducono latency a millisecondi. Incremental GC distribuisce il lavoro in piccole porzioni intervallate, evitando pause lunghe.

Reference counting mantiene un contatore per ciascun oggetto, incrementandolo quando un riferimento è creato, decrementandolo quando è distrutto, e liberando quando raggiunge zero. Semplice e deterministico, ma non gestisce cicli (due oggetti che si referenziano mutuamente non raggiungono mai zero) e ha overhead su ogni assegnamento di puntatore.

Trasformazioni Sorgente-a-Sorgente e Transpiler

Alcuni compilatori traducono da un linguaggio ad alto livello a un altro ad alto livello invece che a assembly. TypeScript compila a JavaScript, Kotlin a Java bytecode o JavaScript, CoffeeScript a JavaScript. Questi transpiler facilitano l'uso di linguaggi moderni su piattaforme esistenti.

Il transpiler esegue parsing e analisi semantica simili a un compilatore tradizionale, ma invece di generare IR e assembly, genera codice nel linguaggio target. Le trasformazioni possono includere desugaring (espandere sintassi concisa in forme verbose equivalenti), eliminazione di funzionalità non supportate (emulando con polyfill), e ottimizzazioni specifiche.

Babel transpila JavaScript moderno (ES6+) a versioni precedenti (ES5) per compatibilità con browser vecchi. Trasforma `const f = (x) => x * 2` in `var f = function(x) { return x * 2; }`, destructuring in assegnamenti espliciti, classi in funzioni con prototipi.

Source-to-source optimization include macro expansion (C preprocessore, Lisp macros), template instantiation (C++ templates), e partial evaluation (specializzazione di programmi per input parziali). Le macro permettono di estendere la sintassi del linguaggio, generando codice a compile-time tramite trasformazioni programmatiche dell'AST.

Verifica Formale e Compiler Correctness

Un compilatore corretto preserva la semantica: il programma compilato deve comportarsi come specificato dal sorgente. Dimostrare formalmente questa proprietà è estremamente complesso. CompCert è un compilatore C formalmente verificato in Coq, dove ogni fase di trasformazione è accompagnata da una dimostrazione che preserva la semantica.

La specifica formale definisce precisamente il comportamento di ciascuna istruzione nel linguaggio sorgente e nel target. Le trasformazioni sono dimostrate corrette tramite simulation proofs: ogni esecuzione del programma compilato corrisponde a un'esecuzione equivalente del programma sorgente.

CompCert copre un sottoinsieme di C e compila per diverse architetture (PowerPC, ARM, x86). Le dimostrazioni garantiscono che bug nel compilatore non possano introdurre comportamenti imprevisti, critico per sistemi safety-critical come avionica e dispositivi medici.

Translation validation offre un approccio alternativo: invece di dimostrare il compilatore corretto, si verifica ogni compilazione specifica. Dopo aver compilato un programma, un verificatore indipendente controlla che il binario preservi la semantica del sorgente. Questo permette ottimizzazioni euristiche non dimostrabili, finché la verifica passa.

Frontiere della Compilazione Moderna

La compilazione moderna affronta sfide crescenti: eterogeneità delle architetture (CPU, GPU, TPU, FPGA), ottimizzazione per energia oltre che velocità, sicurezza (control-flow integrity, mitigazioni contro Spectre/Meltdown), e supporto per paradigmi nuovi (quantum computing, differential privacy).

I compilatori per GPU traducono kernel paralleli (CUDA, OpenCL) in codice SIMT (Single Instruction Multiple Thread). L'ottimizzazione bilancia occupancy (thread per multiprocessore), uso di memoria condivisa vs globale, coalescing di accessi, e minimizzazione di divergenza tra thread.

Polyhedral compilation modella loop nests con interi vincoli affini, ottimizzando trasformazioni come tiling, fusion, permutazione tramite tecniche di ottimizzazione integrali. Questo permette ottimizzazioni sofisticate per architetture con gerarchie di memoria complesse.

Automatic differentiation trasforma programmi per calcolare derivate, fondamentale per machine learning. I compilatori come JAX e PyTorch's JIT applicano reverse-mode AD, generando backward pass automaticamente dalle forward computation tramite trasformazioni di codice che propagano gradienti.

Domain-specific compilers ottimizzano per domini ristretti. Halide compila pipeline di image processing, ottimizzando scheduling (quando e dove computare ciascun valore) separatamente dall'algoritmo. TensorFlow XLA e TVM ottimizzano reti neurali, fusing operazioni, ottimizzando layout di memoria, e generando kernel specializzati per ogni architettura target.

Questa intricata catena di trasformazioni, dalla stringa di caratteri al codice macchina ottimizzato, rappresenta uno dei trionfi dell'informatica teorica e pratica, incarnando la capacità umana di costruire astrazioni stratificate che permettono di esprimere intenzioni ad alto livello e realizzarle efficientemente a livello fisico.

Fine del SEZIONE VI: Trasformazioni Artificiali

Questo SEZIONE ha esplorato tre domini apparentemente distinti ma profondamente connessi dal filo conduttore delle trasformazioni: la trasformata di Fourier che rivela la dualità tempo-frequenza e permette di vedere segnali attraverso lenti complementari; le reti neurali che trasformano dati grezzi in rappresentazioni astratte attraverso cascate di non linearità, apprendendo a estrarre pattern rilevanti; e i compilatori che trasformano codice umano in istruzioni macchina attraverso una pipeline di rappresentazioni intermedie sempre più concrete. In ciascun caso, la potenza emerge non dalla singola trasformazione ma dalla loro composizione, dalla capacità di navigare fluidamente tra rappresentazioni equivalenti ma con proprietà diverse, scegliendo quella più adatta al problema da risolvere.

SEZIONE VII: FILOSOFIA E SINTESI

CAPITOLO 21: IDENTITÀ ATTRAVERSO IL CAMBIAMENTO

Il problema ontologico della persistenza

La questione dell'identità attraverso il cambiamento costituisce uno dei nodi cruciali della riflessione filosofica occidentale, un enigma che attraversa venticinque secoli di pensiero senza aver ancora trovato una soluzione definitiva. Quando parliamo di identità, ci riferiamo alla capacità di un ente di rimanere "se stesso" nonostante le trasformazioni che subisce nel tempo, di mantenere una continuità essenziale che ci permette di riconoscerlo come la medesima entità in momenti diversi della sua esistenza. Questa problematica non riguarda soltanto gli oggetti materiali, ma si estende drammaticamente alla sfera della coscienza umana, all'identità personale, alla struttura delle istituzioni sociali e persino alla natura stessa della realtà fisica.

La difficoltà fondamentale emerge quando consideriamo che ogni cosa nell'universo è sottoposta a trasformazione continua. A livello subatomico, le particelle che compongono il nostro corpo vengono costantemente sostituite attraverso i processi metabolici. Si stima che ogni sette-dieci anni la quasi totalità degli atomi che costituiscono un organismo umano venga rimpiazzata, con eccezioni significative come alcuni neuroni del cervello e le cellule del cristallino. Eppure continuiamo a considerarci la stessa persona che eravamo un decennio fa. Questa intuizione di continuità coesiste paradossalmente con l'evidenza empirica di un mutamento radicale e pervasivo.

Il paradosso della Nave di Teseo: anatomia di un problema

Il paradosso della Nave di Teseo rappresenta la formulazione più cristallina di questa aporia filosofica. Plutarco, nella sua opera "Vita di Teseo", racconta che gli Ateniesi conservavano la nave con cui l'eroe mitologico era tornato da Creta dopo aver sconfitto il Minotauro. Con il passare dei secoli, le assi di legno della nave si deterioravano e venivano gradualmente sostituite con nuove tavole, identiche per forma e funzione. Alla fine del processo di restauro, non rimaneva più nemmeno un frammento del legno originale. La domanda che Plutarco pone è disarmante nella sua semplicità: si tratta ancora della stessa nave di Teseo?

La prima risposta istintiva potrebbe essere affermativa. Dopo tutto, la sostituzione è avvenuta gradualmente, senza soluzione di continuità. La nave ha sempre mantenuto la sua forma, la sua funzione, la sua collocazione nel porto di Atene. Dal punto di vista funzionale e sociale, gli Ateniesi continuavano a venerarla come reliquia dell'impresa di Teseo. Non c'è mai stato un momento preciso in cui la nave "originale" è cessata di esistere per essere sostituita da una nave "nuova". La continuità spazio-temporale sembra garantire l'identità.

Tuttavia Thomas Hobbes, nel diciassettesimo secolo, introdusse una complicazione devastante. Immaginiamo che un collezionista meticoloso raccolga tutte le assi originali man mano che vengono sostituite e, alla fine del processo, le riassembli nella configurazione originaria. Ora abbiamo due navi: quella nel porto di Atene, con tutte le tavole nuove ma in perfetta continuità spaziotemporale con l'originale, e quella ricostruita dal collezionista, che contiene tutto il materiale originale ma non ha continuità di esistenza. Quale delle due è veramente la Nave di Teseo?

Questa versione del paradosso rivela che i nostri criteri intuitivi di identità entrano in conflitto. Da un lato abbiamo il criterio della continuità spatio-temporale: la nave nel porto occupa la stessa posizione che occupava l'originale e la sua esistenza non ha mai subito interruzioni. Dall'altro lato abbiamo il criterio della composizione materiale: la nave ricostruita è composta

esattamente dalle stesse particelle di materia che componevano l'originale. Entrambi i criteri sembrano ragionevoli, eppure ci conducono a conclusioni incompatibili.

La situazione diventa ancora più intricata se consideriamo variazioni del paradosso. Supponiamo che le assi originali vengano riassemblate non nella configurazione della nave, ma in quella di una casa. In questo caso, sosterremmo ancora che la casa è "la Nave di Teseo"? Probabilmente no, il che suggerisce che anche la forma e la funzione giocano un ruolo nell'identità. Oppure immaginiamo che le assi vengano sostituite tutte simultaneamente in un solo giorno, anziché gradualmente nel corso dei secoli. Questo cambierebbe la nostra intuizione sull'identità? E se la sostituzione fosse così graduale da richiedere millenni, un'asse ogni cento anni?

L'identità personale: il medesimo io attraverso il tempo

Il problema dell'identità attraverso il cambiamento assume una dimensione esistenziale quando lo applichiamo alla coscienza umana. Ciascuno di noi ha l'intuizione immediata di essere la stessa persona che era da bambino, da adolescente, da giovane adulto. Questa continuità dell'io sembra autoevidente, data nell'esperienza fenomenologica della memoria e dell'autocoscienza. Eppure, a un'analisi più attenta, questa certezza si rivela profondamente problematica.

Dal punto di vista biologico, come già accennato, il nostro corpo è in costante trasformazione. Le cellule della pelle vengono sostituite ogni due-quattro settimane, quelle del rivestimento intestinale ogni pochi giorni, gli eritrociti hanno una vita media di centoventi giorni. Solo alcune cellule nervose persistono dalla nascita fino alla morte, ma anche queste modificano continuamente le loro connessioni sinaptiche, i loro recettori, la loro espressione genica. A livello molecolare, il turnover è ancora più rapido: le proteine vengono sintetizzate e degradate in cicli che durano ore o giorni, il DNA stesso subisce costanti riparazioni e modificazioni epigenetiche.

Ma il cambiamento non è solo materiale. La nostra personalità, i nostri ricordi, i nostri valori, le nostre credenze evolvono drammaticamente nel corso della vita. Le ricerche in psicologia dello sviluppo mostrano che i tratti di personalità possono mutare significativamente tra l'infanzia e l'età adulta, e continuano a modificarsi anche nelle fasi più mature della vita. Studi longitudinali hanno rilevato che la correlazione tra i tratti di personalità misurati a distanza di molti decenni può scendere sotto lo 0,3, suggerendo che diventiamo letteralmente persone diverse.

I ricordi, che sembrerebbero il fondamento più solido della continuità personale, si rivelano sorprendentemente inaffidabili. Le neuroscienze cognitive hanno dimostrato che ogni volta che richiamiamo un ricordo, lo ricostruiamo attivamente anziché semplicemente recuperarlo come un file da un archivio. Questo processo di ricostruzione introduce inevitabilmente distorsioni, contaminazioni, vere e proprie falsificazioni. Elizabeth Loftus ha mostrato quanto sia facile impiantare falsi ricordi anche di eventi traumatici che non sono mai accaduti. Inoltre, molti ricordi infantili vengono completamente cancellati dall'amnesia infantile: nessuno conserva ricordi autobiografici dei primi due-tre anni di vita.

Dal punto di vista psicologico, possiamo quindi identificare almeno tre dimensioni del cambiamento personale. La prima è quella fisica: il corpo-bambino e il corpo-adulto

condividono una continuità causale ma non un'identità materiale. La seconda è quella psicologica in senso stretto: credenze, desideri, emozioni, tratti caratteriali mutano profondamente. La terza è quella narrativa: la storia che raccontiamo a noi stessi sulla nostra vita viene costantemente riscritta e reinterpretata.

Eppure, nonostante tutti questi cambiamenti, l'intuizione della continuità dell'io persiste. Quando ricordo un episodio della mia infanzia, per quanto distorto possa essere il ricordo, ho l'esperienza fenomenologica immediata che il bambino di quel ricordo ero io, non un'altra persona. Questa intuizione è così potente che forme di amnesia totale, in cui il paziente perde completamente i ricordi autobiografici pur mantenendo le capacità cognitive generali, vengono vissute come una perdita dell'identità personale, come una morte psicologica.

John Locke, nel suo "Saggio sull'intelletto umano" del 1689, propose che l'identità personale risiedesse nella continuità della coscienza, in particolare nella memoria. Una persona al tempo t_2 è la stessa persona del tempo t_1 se e solo se la persona in t_2 può ricordare esperienze vissute dalla persona in t_1. Questa teoria ha il merito di spostare l'attenzione dal sostrato materiale alla continuità psicologica, ma genera problemi propri.

Il filosofo Thomas Reid sollevò un'obiezione devastante con il paradosso del "vecchio ufficiale valoroso". Un ragazzo viene frustato per aver rubato un frutto da un giardino. Da giovane adulto, diventa ufficiale militare e compie un'azione eroica in battaglia, ricordando ancora la frustata dell'infanzia. Da vecchio generale, ricorda l'azione eroica ma ha completamente dimenticato la frustata. Secondo il criterio di Locke, il generale è la stessa persona dell'ufficiale, perché ricorda le sue azioni, e l'ufficiale è la stessa persona del ragazzo, perché ricorda la frustata. Per la proprietà transitiva dell'identità, il generale dovrebbe essere la stessa persona del ragazzo. Ma secondo il criterio di Locke, non lo è, perché non ricorda la frustata. Abbiamo quindi una contraddizione logica.

Derek Parfit, nel suo monumentale "Reasons and Persons" del 1984, propose una soluzione radicale: l'identità personale, nel senso di un'entità metafisicamente unitaria che persiste nel tempo, semplicemente non esiste. Ciò che esiste è una serie di stati psicologici causalmente connessi, legati da catene di memoria, carattere e intenzione. La persona-adulto non è numericamente identica alla persona-bambino, ma ne è una continuazione causale. Parfit usa l'analogia con una nazione: l'Italia del 2026 non è numericamente identica all'Italia del 1946, eppure esiste una continuità storica, istituzionale, geografica che rende appropriato usare lo stesso nome.

Questa prospettiva riduzionista, per quanto filosoficamente coerente, urta violentemente contro l'esperienza vissuta. La fenomenologia dell'essere un soggetto cosciente include essenzialmente l'esperienza di essere un io unitario che persiste nel tempo. Edmund Husserl parlava della "coscienza temporale interna", la struttura fondamentale attraverso cui l'io esperisce il flusso del tempo mantenendo un senso di identità. Ogni momento presente include ritenzioni del passato immediato e protensioni verso il futuro immediato, creando una sintesi temporale continua.

Le neuroscienze offrono una prospettiva ulteriore. Gli studi sulla "default mode network", la rete cerebrale attiva quando non siamo impegnati in compiti specifici, mostrano che il cervello costruisce spontaneamente narrative autobiografiche, integrando ricordi passati e proiezioni future in un senso coerente di sé. Lesioni a specifiche aree cerebrali, come il lobo

frontale mediale o il precuneo, possono compromettere gravemente questo senso di continuità personale. Pazienti con demenza frontotemporale possono mostrare cambiamenti così radicali di personalità che i familiari affermano di non riconoscere più la persona che amavano.

Casi clinici estremi illuminano ulteriormente il problema. Pazienti con sindrome da disconnessione emisferica, in cui il corpo calloso che connette i due emisferi cerebrali viene reciso chirurgicamente, mostrano a volte comportamenti che suggeriscono la presenza di due centri di coscienza separati. L'emisfero sinistro può verbalizzare intenzioni diverse da quelle manifestate attraverso l'azione della mano sinistra, controllata dall'emisfero destro. Abbiamo una persona o due?

Eraclito: il flusso universale

Eraclito di Efeso, vissuto tra il sesto e il quinto secolo prima dell'era comune, articolò una visione del cosmo in cui il cambiamento costituisce la natura stessa della realtà. Il suo celebre aforisma "non puoi bagnarti due volte nello stesso fiume" esprime questa intuizione fondamentale: quando entri nuovamente in un fiume, le acque sono diverse, scorrono altrove, e tu stesso sei cambiato. L'identità del fiume non risiede in una sostanza permanente, ma nel pattern dinamico del flusso stesso.

Per Eraclito, il fuoco rappresenta il principio cosmico fondamentale, l'archè, proprio perché incarna perfettamente questo carattere processuale della realtà. Il fuoco è costante trasformazione: consuma il combustibile e lo converte in calore, luce, cenere. Non è una cosa statica ma un evento, un processo. "Questo cosmo, lo stesso per tutti, nessun dio né uomo lo ha creato, ma era, è e sarà fuoco sempre vivente, che si accende e si spegne secondo misura", recita uno dei suoi frammenti.

La filosofia eraclitea introduce il concetto di logos, la razionalità immanente che governa il flusso universale. Il cambiamento non è caotico ma segue proporzioni definite, misure precise. "Il dio è giorno notte, inverno estate, guerra pace, sazietà fame; ma si trasforma come il fuoco, quando si mescola agli aromi, prende nome dal profumo di ciascuno di essi". Gli opposti non sono entità separate ma momenti di un'unica trasformazione continua.

Questa prospettiva anticipa straordinariamente concezioni moderne. In termodinamica, i sistemi sono caratterizzati non da configurazioni statiche ma da processi dinamici all'equilibrio o lontani dall'equilibrio. Una fiamma è un esempio perfetto di struttura dissipativa: mantiene una forma stabile nel tempo solo attraverso un flusso continuo di materia ed energia. La sua "identità" risiede nel pattern del processo, non nella permanenza dei costituenti materiali.

Cratilo, discepolo di Eraclito, radicalizzò questa posizione fino all'assurdo, sostenendo che non puoi bagnarti nemmeno una volta nello stesso fiume, perché nel momento stesso in cui entri, le acque sono già cambiate. Questa posizione estremizza il flusso eracliteo fino a negare qualsiasi possibilità di identità o conoscenza stabile. Se tutto scorre senza sosta, non possiamo mai dire veramente "questo è quello", perché nel momento in cui pronunciamo la frase, "questo" è già diventato altro.

Tuttavia l'interpretazione standard di Eraclito come filosofo del puro divenire senza essere è probabilmente troppo semplicistica. La tradizione dossografica ci presenta un Eraclito per cui il logos garantisce una struttura razionale al cambiamento. Non è puro caos ma trasformazione secondo leggi. L'unità degli opposti non significa la loro dissoluzione ma il riconoscimento che sono momenti necessari di un'unica realtà processuale. Il fiume cambia le sue acque ma mantiene il pattern del suo scorrere, la forma delle sue anse, la direzione del suo fluire.

In termini contemporanei, potremmo dire che Eraclito riconosce l'esistenza di invarianti dinamici: quantità o relazioni che si conservano attraverso la trasformazione. In fisica, queste sono le leggi di conservazione. In biologia, l'omeostasi dei sistemi viventi. In psicologia, i pattern ricorrenti del comportamento. L'identità non risiede nella permanenza statica ma nella continuità del processo governato da leggi.

Parmenide: l'illusione del cambiamento

In drammatico contrasto con Eraclito, Parmenide di Elea sostenne che il cambiamento è logicamente impossibile, una mera illusione dei sensi che deve essere rifiutata dalla ragione. Nel suo poema filosofico "Sulla natura", Parmenide presenta un argomento di stringente rigore logico: l'essere è, il non-essere non è, e da questa tautologia apparentemente banale derivano conseguenze cosmologiche radicali.

Se qualcosa cambia, deve passare dall'essere in un certo modo al non essere più in quel modo e all'essere in un modo diverso. Ma il non-essere non è, non può essere pensato né detto. Quindi il cambiamento, che richiede il passaggio attraverso il non-essere, è impossibile. L'essere deve essere eterno, immutabile, omogeneo, indivisibile, sferico nella sua perfezione. Ogni apparenza di mutamento, molteplicità, divenire è mera illusione, "opinione dei mortali".

Zenone di Elea, discepolo di Parmenide, articolò una serie di paradossi per difendere questa posizione contro le critiche del senso comune. Il paradosso più celebre è quello di Achille e la tartaruga. Achille, il velocissimo eroe greco, non può raggiungere una tartaruga che parte con un piccolo vantaggio, perché nel tempo in cui Achille percorre la distanza che lo separa dalla tartaruga, la tartaruga ha percorso una distanza ulteriore, per quanto piccola. E mentre Achile percorre questa nuova distanza, la tartaruga avanza ancora. Il processo continua all'infinito, quindi Achille non raggiunge mai la tartaruga.

Sappiamo empiricamente che questo è falso: Achille raggiunge e supera la tartaruga. Ma il paradosso non è una negazione dell'esperienza, è un argomento sulla natura logica del movimento e della divisibilità dello spazio e del tempo. Zenone sta mostrando che se lo spazio e il tempo sono infinitamente divisibili, il movimento genera contraddizioni logiche. La soluzione moderna ricorre alla teoria matematica delle serie convergenti: una somma infinita di termini può avere un valore finito. La serie 1/2 + 1/4 + 1/8 + 1/16 + ... converge a 1. Quindi Achille percorre un numero infinito di sotto-intervalli in un tempo finito.

Ma questa soluzione matematica, per quanto elegante, non dissolve completamente il problema filosofico sottostante. Zenone ci sta chiedendo come sia possibile che un continuo possa essere composto di punti indivisibili, o come un processo temporale possa essere composto di istanti privi di durata. Il calcolo infinitesimale di Newton e Leibniz fornisce

strumenti potentissimi per modellare il cambiamento continuo, ma la natura ontologica del continuo rimane misteriosa.

La posizione parmenidea trova un'eco sorprendente in alcuni sviluppi della fisica contemporanea. La teoria della relatività di Einstein descrive lo spazio-tempo come un blocco quadridimensionale in cui tutti gli eventi, passati, presenti e futuri, esistono simultaneamente. Il "divenire", il passaggio dal futuro al presente al passato, non ha una controparte oggettiva nella struttura matematica della teoria. È una caratteristica della nostra esperienza soggettiva, non della realtà fisica fondamentale.

Julian Barbour, nel suo provocatorio "The End of Time", sostiene che il tempo stesso è un'illusione emergente da una realtà fondamentale atemporale. Ogni istante, ogni configurazione possibile dell'universo, esiste come un "Adesso" eterno in uno spazio di configurazioni chiamato Platonia. Quello che percepiamo come il flusso del tempo è in realtà una sequenza di questi istanti statici, ordinati da relazioni di correlazione strutturale. Il cambiamento è apparenza, l'essere parmenideo è ciò che resta quando eliminiamo l'illusione della temporalità.

Tuttavia la maggior parte dei fisici contemporanei non accetta questa conclusione estremista. La freccia termodinamica del tempo, l'irreversibilità dei processi dissapativi, l'espansione cosmologica dell'universo, il collasso della funzione d'onda in meccanica quantistica, tutti questi fenomeni sembrano richiedere un tempo reale, non illusorio. La tensione tra la visione del tempo come dimensione dello spazio-tempo relativistico e la visione del tempo come divenire autentico rimane irrisolta.

Aristotele: sostanza e accidenti

Aristotele tentò una mediazione tra le posizioni estreme di Eraclito e Parmenide attraverso la sua teoria dell'ilemorfismo e la distinzione tra sostanza e accidenti. Per Aristotele, ogni ente concreto è composto di materia (hyle) e forma (morphe). La forma è il principio di organizzazione, ciò che rende una cosa il tipo di cosa che è. La materia è il sostrato indeterminato che riceve la forma.

La sostanza (ousia) è ciò che esiste di per sé, che ha un'esistenza indipendente. Gli accidenti sono le proprietà che possono cambiare senza che la sostanza cessi di esistere. Un essere umano può cambiare colore di capelli, peso, altezza, stato emotivo, ma rimane lo stesso essere umano perché la sua forma sostanziale, l'anima razionale, persiste. La materia può fluire attraverso la forma, come in Eraclito, ma la forma stessa mantiene l'identità, garantendo una sorta di parmenidismo formale.

Questa distinzione permette ad Aristotele di spiegare sia il cambiamento che la persistenza. Il cambiamento accidentale è possibile perché gli accidenti possono essere acquistati o persi senza compromettere l'identità sostanziale. Posso passare da magro a grasso, da bruno a canuto, rimanendo Io. Il cambiamento sostanziale, invece, comporta la cessazione di una sostanza e la generazione di un'altra. Quando un seme diventa albero, la sostanza-seme cessa di esistere e viene generata la sostanza-albero.

La teoria aristotelica ha dominato il pensiero occidentale per due millenni, ma presenta difficoltà serie. Come si individua esattamente il confine tra cambiamento accidentale e

sostanziale? Quanti neuroni devo perdere prima di cessare di essere io? Se sostituisco gradualmente tutti i componenti di un organismo con protesi artificiali, a che punto cessa la sostanza originale? La distinzione appare più una categorizzazione concettuale che un confine ontologico netto nella realtà.

Inoltre, la biologia molecolare contemporanea ha dissolto l'idea di una forma sostanziale statica. Il DNA codifica informazione, ma questa informazione viene espressa dinamicamente in risposta a segnali ambientali attraverso meccanismi epigenetici. Non esiste un "programma" fisso che definisce l'essenza di un organismo. Persino i gemelli omozigoti, con DNA identico, sviluppano differenze fenotipiche significative. La forma biologica emerge da complesse interazioni tra geni, ambiente, storia ontogenetica, caso stocastico.

Tuttavia l'intuizione aristotelica di distinguere tra aspetti essenziali e accidentali conserva una certa validità euristica. In informatica, la programmazione a oggetti distingue tra l'identità di un oggetto e il suo stato. Due oggetti con lo stesso stato possono avere identità distinte. Un conto bancario mantiene la sua identità anche quando il saldo cambia. L'identità è data dal riferimento, non dal contenuto.

In matematica, la teoria delle categorie distingue tra oggetti e morfismi. L'identità di un oggetto matematico può essere caratterizzata attraverso le sue relazioni con altri oggetti, attraverso i morfismi che lo collegano al resto della struttura. Due oggetti isomorfi, tra cui esiste un morfismo invertibile, condividono tutte le proprietà strutturali rilevanti anche se non sono numericamente identici.

Alfred North Whitehead: la filosofia del processo

Nel ventesimo secolo, Alfred North Whitehead elaborò una metafisica radicalmente processuale che tenta di rovesciare completamente i presupposti della tradizione sostanzialista. In "Processo e realtà" (1929), Whitehead propone che la realtà fondamentale non sia costituita da cose o sostanze permanenti, ma da eventi, da "occasioni attuali di esperienza". Il cambiamento non è qualcosa che accade alle cose, le cose sono consolidazioni temporanee di processi.

Un'entità attuale non è un sostrato che possiede proprietà, ma un atto di "prensione" (prehension), un processo di sintesi creativa attraverso cui elementi del passato vengono integrati in una nuova unità di esperienza. Ogni occasione attuale "percepisce" le occasioni precedenti, le integra in una nuova sintesi, e poi perisce, diventando a sua volta dato oggettivo per future prensioni. La realtà è costituzionalmente temporale, il divenire è più fondamentale dell'essere.

Questa prospettiva ha conseguenze profonde per il problema dell'identità. Un organismo, una persona, una società non sono sostanze che persistono identiche attraverso il tempo, ma "società di occasioni attuali" caratterizzate da un pattern ricorrente. L'identità è data dalla continuità del pattern, non dalla permanenza di un sostrato. Il fiume di Eraclito diventa il modello universale: ciò che chiamiamo "cose" sono in realtà processi relativamente stabili.

Whitehead sviluppa una concezione dell'identità personale coerente con questo quadro. Il sé non è una sostanza-anima cartesiana né una mera serie di stati mentali humeani, ma una

"società seriale personalmente ordinata" di occasioni di esperienza. Ogni momento di coscienza prende il suo predecessore immediato come dato primario e lo integra in una nuova sintesi. La continuità è garantita dal fatto che ogni occasione include essenzialmente riferimenti alle occasioni passate della stessa linea seriale.

Questa visione anticipa sviluppi contemporanei nelle scienze cognitive. Il modello predittivo del cervello, proposto da Karl Friston e altri, concepisce la coscienza come un processo inferenziale continuo che minimizza la "sorpresa" confrontando predizioni con input sensoriali. Il sé emerge da questo processo predittivo come un modello generativo che il cervello costruisce per dare senso al flusso di esperienza. Non è un'entità preesistente ma un costrutto emergente dal processo stesso.

La filosofia del processo trova applicazioni feconde anche nella comprensione dei sistemi sociali. Niklas Luhmann, nella sua teoria dei sistemi sociali, concepisce le istituzioni non come strutture statiche ma come processi autopoietici di comunicazione. Un'università, una nazione, un'economia esistono solo come pattern ricorrenti di operazioni comunicative. La loro identità è performativa, si realizza momento per momento attraverso l'attualizzazione di specifiche pratiche comunicative.

Tuttavia la metafisica di Whitehead, per quanto filosoficamente suggestiva, solleva interrogativi formidabili. Se le entità attuali sono atomiche, indivisibili, come può emergere la continuità della nostra esperienza temporale? Whitehead postula una sorta di eredità causale tra occasioni successive, ma il meccanismo ontologico preciso rimane oscuro. Inoltre, la sua concezione panpsichista, per cui ogni occasione attuale possiede un aspetto di esperienza, per quanto attenuato, è metafisicamente costosa e difficile da riconciliare con la scienza contemporanea.

Ciononostante, l'intuizione centrale che l'identità risieda nel pattern processuale piuttosto che nella permanenza sostanziale continua a esercitare una profonda influenza. In biologia teorica, il concetto di autopoiesi di Maturana e Varela definisce i sistemi viventi come processi che producono continuamente i propri componenti attraverso una rete di reazioni chimiche. L'identità di un organismo non è data dalla persistenza delle molecole che lo compongono, che vengono costantemente sostituite, ma dalla persistenza dell'organizzazione che continua a produrre quelle molecole.

La tensione tra permanenza e cambiamento, tra sostanza e processo, tra essere e divenire, non trova una risoluzione definitiva in nessuna di queste prospettive filosofiche. Forse questo indica che la questione è mal posta, che le nostre categorie concettuali non corrispondono adeguatamente alla struttura della realtà. O forse indica che la realtà stessa è intrinsecamente ambigua, che l'identità è una proiezione pragmatica che imponiamo su un mondo fluido per navigarlo efficacemente, piuttosto che una caratteristica oggettiva incisa nella natura delle cose.

CAPITOLO 22: PATTERN UNIVERSALI NELLE TRASFORMAZIONI

La dialettica tra conservazione e trasformazione

Ogni trasformazione fisica, chimica, biologica o sociale manifesta una struttura profonda che bilancia elementi di conservazione con elementi di cambiamento. Questa dialettica costituisce uno dei principi organizzativi fondamentali dell'universo osservabile. Le leggi di conservazione in fisica, l'informazione genetica in biologia, le strutture cognitive in psicologia, le istituzioni in sociologia, tutte incarnano questo pattern di continuità attraverso la trasformazione.

In fisica, le leggi di conservazione occupano una posizione di assoluta centralità. Emmy Noether dimostrò nel 1915 un teorema di straordinaria profondità: ogni simmetria continua di un sistema fisico corrisponde a una legge di conservazione. Se le leggi della fisica sono invarianti rispetto a traslazioni temporali, cioè se funzionano allo stesso modo oggi e domani, allora l'energia totale si conserva. Se sono invarianti rispetto a traslazioni spaziali, si conserva la quantità di moto. Se sono invarianti rispetto a rotazioni, si conserva il momento angolare.

Questo teorema rivela una struttura matematica profonda nella natura del cambiamento fisico. Le trasformazioni permesse dall'universo non sono arbitrarie ma devono rispettare specifiche simmetrie. Quando un sistema evolve dal tempo t_1 al tempo t_2, può cambiare configurazione, può redistribuire energia e momento, ma la somma totale di certe quantità rimane costante. Il cambiamento avviene dentro una cornice di invarianza.

Consideriamo una collisione elastica tra due particelle. Le particelle possono scambiare energia cinetica, modificare le loro direzioni di moto, trasferire momento. La configurazione microscopica del sistema cambia radicalmente. Tuttavia l'energia totale $E = E_1 + E_2$, la quantità di moto totale $p = p_1 + p_2$, e il momento angolare totale $L = L_1 + L_2$ rimangono identici prima e dopo la collisione. Le equazioni che governano la trasformazione sono:

$$E_{1i} + E_{2i} = E_1f + E_2f$$

$$p_{1i} + p_{2i} = p_1f + p_2f$$

$$L_{1i} + L_{2i} = L_1f + L_2f$$

dove i pedici i ed f indicano gli stati iniziale e finale. Queste equazioni definiscono lo spazio delle trasformazioni possibili. Non tutte le configurazioni finali sono compatibili con una data configurazione iniziale, solo quelle che soddisfano i vincoli di conservazione.

In termodinamica, la situazione diventa più sottile. Il primo principio afferma la conservazione dell'energia in qualsiasi trasformazione. Il secondo principio, invece, introduce una quantità che non si conserva ma può solo aumentare nei sistemi isolati: l'entropia. Per un sistema isolato, la variazione di entropia soddisfa:

$$\Delta S \geq 0$$

L'uguaglianza vale per trasformazioni reversibili, la disuguaglianza per processi irreversibili. L'entropia fornisce una freccia termodinamica del tempo: il futuro è la direzione in cui l'entropia aumenta. Eppure l'energia totale rimane costante. Abbiamo quindi una

conservazione (energia) che coesiste con una trasformazione irreversibile (aumento di entropia).

Questa asimmetria è profondamente enigmatica. Le leggi microscopiche della fisica, sia classiche che quantistiche, sono invarianti rispetto all'inversione temporale. Se una sequenza di stati A → B → C è possibile, anche la sequenza invertita C → B → A dovrebbe essere permessa dalle leggi fondamentali. Ma l'esperienza ci mostra che molti processi macroscopici sono irreversibili: un bicchiere cade e si frantuma, ma i cocci non si riassemblano spontaneamente in un bicchiere intatto.

Ludwig Boltzmann fornì una spiegazione statistica. L'entropia di uno stato macroscopico è proporzionale al logaritmo del numero di stati microscopici compatibili con esso:

$S = k \ln \Omega$

dove k è la costante di Boltzmann e Ω è il numero di microstati. Stati con alta entropia corrispondono a molti più microstati di stati con bassa entropia. Un bicchiere frantumato può essere realizzato in innumerevoli configurazioni diverse dei frammenti, mentre un bicchiere intatto ha una configurazione molto più specifica. L'aumento di entropia riflette semplicemente il fatto che i sistemi tendono a evolvere verso configurazioni statisticamente più probabili.

Tuttavia questa spiegazione lascia irrisolto il problema delle condizioni iniziali. Perché l'universo primordiale si trovava in uno stato di entropia estremamente bassa? Il Big Bang rappresenta una singolarità termodinamica tanto quanto gravitazionale. Roger Penrose ha calcolato che la probabilità di ottenere per puro caso l'uniformità dell'universo primordiale osservata nella radiazione cosmica di fondo è dell'ordine di 1/10^10^123, un numero così piccolo da essere quasi inconcepibile.

In biologia, la dialettica conservazione-trasformazione assume forme ancora più complesse. Il DNA conserva informazione genetica attraverso le generazioni, ma questa informazione è soggetta a mutazioni, ricombinazione, selezione. La sequenza nucleotidica cambia, eppure certi geni, certi pattern regolatori, certe architetture genomiche si conservano per centinaia di milioni di anni.

I geni Hox, che controllano lo sviluppo dell'asse corporeo antero-posteriore, mostrano una conservazione straordinaria. Questi geni sono presenti in tutti gli animali bilateralmente simmetrici, dai vermi agli esseri umani, con sequenze e funzioni sorprendentemente simili. Eppure hanno dato origine a un'incredibile diversità di forme corporee. La stessa informazione genetica fondamentale viene espressa in contesti regolatori diversi, producendo antenne in un insetto, zampe in un vertebrato, parapodi in un anellide.

Questo fenomeno è stato chiamato "conservazione profonda" (deep homology). Pattern regolatori fondamentali vengono conservati anche quando le strutture anatomiche che controllano sono profondamente trasformate. La trasformazione avviene a livello dell'espressione, del contesto dello sviluppo, delle interazioni con altri geni, mentre il nucleo informazionale rimane stabile. È come se l'evoluzione fosse un processo di bricolage, che riutilizza e ricombina moduli conservati per costruire nuove architetture.

A livello molecolare, le proteine manifestano pattern simili. Certi "folds" proteici, configurazioni tridimensionali caratteristiche, sono condivisi da proteine con funzioni diverse in organismi distanti evolutivamente. Il fold TIM barrel, una struttura a otto foglietti β circondati da otto eliche α, è utilizzato da enzimi che catalizzano reazioni chimiche completamente diverse. La forma tridimensionale si conserva mentre la funzione biochimica viene trasformata attraverso modifiche della sequenza amminoacidica.

Reversibilità e irreversibilità nelle trasformazioni

La distinzione tra processi reversibili e irreversibili costituisce una biforcazione fondamentale nella tassonomia delle trasformazioni. Un processo reversibile può essere invertito senza lasciare tracce nel sistema o nell'ambiente circostante. Un processo irreversibile, una volta avvenuto, non può essere completamente disfatto: il sistema o l'ambiente conservano memoria della trasformazione.

In meccanica classica, le equazioni di Newton sono temporalmente reversibili. Data una traiettoria che descrive l'evoluzione di un sistema dal tempo t_1 al tempo t_2, esiste sempre una traiettoria inversa ottenuta invertendo tutte le velocità. Se un film di palline da biliardo che collidono venisse proiettato al contrario, non potremmo determinare dalla fisica del processo quale direzione temporale è quella "corretta".

Le equazioni di Hamilton, che forniscono una formulazione alternativa della meccanica classica, rendono questa simmetria particolarmente evidente:

$$dq/dt = \partial H/\partial p$$

$$dp/dt = -\partial H/\partial q$$

dove q rappresenta le coordinate di posizione, p le quantità di moto coniugate, e H l'Hamiltoniana del sistema. Sotto l'inversione temporale $t \to -t$, le posizioni rimangono invariate ma i momenti cambiano segno: $p \to -p$. Le equazioni di Hamilton rimangono valide sotto questa trasformazione, garantendo la reversibilità microscopica.

Anche la meccanica quantistica mantiene questa proprietà. L'equazione di Schrödinger:

$$i\hbar\, \partial\psi/\partial t = \hat{H}\psi$$

è invariante sotto l'operazione di inversione temporale combinata con complessa coniugazione. La probabilità che un sistema transiti dallo stato $|a\rangle$ allo stato $|b\rangle$ è identica alla probabilità della transizione inversa $|b\rangle \to |a\rangle$, un risultato noto come principio del bilancio dettagliato.

Eppure a livello macroscopico osserviamo costantemente processi irreversibili. Un gas che si espande per riempire un SEZIONE maggiore non si ricontrae spontaneamente nel SEZIONE originale. Il calore fluisce dal corpo caldo al corpo freddo, mai spontaneamente in direzione opposta. Sistemi ordinati decadono verso disordine, strutture complesse si degradano. L'universo ha una freccia del tempo manifesta.

La riconciliazione tra reversibilità microscopica e irreversibilità macroscopica costituisce uno dei problemi più profondi della fisica statistica. Il paradosso di Loschmidt formula il problema con particolare acutezza. Se le leggi microscopiche sono reversibili, come può emergere irreversibilità macroscopica? Dato uno stato finale di alta entropia, dovrebbe esistere uno stato iniziale ottenuto per inversione temporale che evolve verso bassa entropia, violando il secondo principio.

La risposta standard invoca considerazioni statistiche. Mentre singole traiettorie microscopiche sono reversibili, l'enorme numero di gradi di libertà in un sistema macroscopico rende statisticamente improbabile osservare fluttuazioni significative verso stati di bassa entropia. Il secondo principio non è una legge assoluta ma una regolarità statistica valida con probabilità schiacciante per sistemi con molti gradi di libertà.

Questa spiegazione, tuttavia, sposta il problema alle condizioni iniziali. Perché i sistemi macroscopici si trovano tipicamente in stati iniziali di bassa entropia? La risposta finale deve invocare la cosmologia: l'universo primordiale si trovava in uno stato di entropia estremamente bassa, e l'irreversibilità che osserviamo localmente è una conseguenza di questa condizione iniziale speciale.

Ilya Prigogine ha esplorato sistemi lontani dall'equilibrio termodinamico, dove l'irreversibilità gioca un ruolo costruttivo. In questi sistemi, il flusso continuo di energia e materia può generare strutture dissipative, configurazioni ordinate che si mantengono solo attraverso la dissipazione continua. Una cella di Bénard, in cui un fluido riscaldato dal basso sviluppa pattern convettivi regolari, è un esempio paradigmatico. L'ordine spaziale emerge dall'irreversibilità del flusso di calore.

In questi sistemi, l'irreversibilità non è più sinonimo di degradazione e decadimento ma diventa principio di organizzazione. La vita stessa può essere vista come un fenomeno emerso da processi irreversibili lontani dall'equilibrio. Un organismo vivente importa energia e materia ordinate (alimenti, ossigeno), esegue operazioni metaboliche, ed esporta calore e prodotti di scarto, mantenendo localmente bassa entropia a spese di un aumento di entropia ambientale maggiore.

Trasformazioni continue e discrete

Le trasformazioni possono essere classificate in base alla loro natura topologica come continue o discrete. Una trasformazione continua può essere decomposta in una serie infinita di cambiamenti infinitesimi. Una trasformazione discreta avviene attraverso salti discreti, senza stati intermedi stabili.

In fisica classica, la maggior parte delle trasformazioni sono continue. La traiettoria di un proiettile passa attraverso tutti i punti intermedi tra lancio e arrivo. La rotazione di un corpo rigido passa attraverso tutti gli angoli intermedi. La temperatura di un sistema può assumere qualsiasi valore in un intervallo continuo. Il calcolo differenziale e integrale fornisce gli strumenti matematici per descrivere queste trasformazioni continue.

La meccanica quantistica introduce invece transizioni discrete fondamentali. Gli atomi assorbono ed emettono luce solo in quanti discreti di energia, i fotoni. Un elettrone in un atomo può trovarsi solo in stati con valori discreti di energia, e le transizioni tra questi livelli

avvengono istantaneamente (nel limite ideale). Non esistono stati intermedi stabili tra il livello n = 1 e n = 2 dell'atomo di idrogeno.

Questo carattere discreto si manifesta nell'equazione agli autovalori per l'energia:

$\hat{H}|\psi n\rangle = En|\psi n\rangle$

dove gli autovalori En formano uno spettro discreto per sistemi legati. Le transizioni tra autostati diversi coinvolgono il collasso della funzione d'onda, un processo che nella formulazione standard della meccanica quantistica è fondamentalmente discontinuo e probabilistico.

Anche in contesti classici, alcune transizioni appaiono discrete su scale macroscopiche pur essendo continue a livello microscopico. Le transizioni di fase forniscono esempi paradigmatici. Quando l'acqua congela, la struttura passa discontinuamente da liquido a solido cristallino. Non esiste uno stato intermedio stabile che sia "metà liquido e metà solido" in senso termodinamico. La temperatura può rimanere costante a 0°C mentre avviene la transizione, con il calore latente che viene estratto per rompere la simmetria e ordinare le molecole nel reticolo cristallino.

Le transizioni di fase sono caratterizzate da discontinuità nelle derivate delle funzioni termodinamiche. In una transizione del primo ordine, quantità come SEZIONE, entropia, energia interna presentano discontinuità. In transizioni del secondo ordine, le discontinuità appaiono nelle derivate seconde come capacità termica o compressibilità. Vicino al punto critico, si osservano fenomeni di universalità: sistemi fisicamente diversi mostrano comportamenti critici identici caratterizzati dagli stessi esponenti critici.

La teoria dei gruppi di rinormalizzazione, sviluppata da Kenneth Wilson, spiega questa universalità mostrando che vicino al punto critico solo pochi parametri macroscopici (la dimensionalità dello spazio, la simmetria del parametro d'ordine) determinano il comportamento, indipendentemente dai dettagli microscopici. Le trasformazioni di scala rivelano una struttura autosimile, con fluttuazioni a tutte le scale che contribuiscono al comportamento critico.

In matematica, la distinzione tra continuo e discreto è fondamentale. I numeri reali formano un continuo: tra due numeri reali distinti esistono infiniti altri numeri reali. I numeri interi formano un insieme discreto: tra 1 e 2 non ci sono altri interi. Questa distinzione si riflette in strutture matematiche diverse: il calcolo differenziale per il continuo, il calcolo delle differenze finite e la combinatoria per il discreto.

Tuttavia la relazione tra continuo e discreto è più sottile di quanto possa sembrare. I numeri reali possono essere approssimati arbitrariamente bene da numeri razionali, che sono numerabili. Sistemi dinamici discreti, come le mappe iterate, possono generare comportamenti complessi e caotici indistinguibili da processi continui. Trasformazioni continue possono essere approssimate numericamente da sequenze discrete di operazioni.

In informatica teorica, questa dualità emerge nella distinzione tra automi a stati finiti e macchine di Turing. Un automa a stati finiti opera su un insieme discreto di stati e transizioni, ma può approssimare il comportamento di sistemi continui con precisione arbitraria

aumentando il numero di stati. Le equazioni differenziali che descrivono sistemi fisici continui vengono risolte numericamente discretizzando spazio e tempo in griglie finite.

Composizione e struttura algebrica delle trasformazioni

Una proprietà cruciale di molte trasformazioni è la componibilità: data una trasformazione T_1 che porta il sistema dallo stato A allo stato B, e una trasformazione T_2 che porta da B a C, esiste sempre una trasformazione composta $T_3 = T_2 \circ T_1$ che porta direttamente da A a C. Questa proprietà apparentemente banale ha conseguenze matematiche profonde.

Consideriamo le rotazioni nello spazio tridimensionale. Una rotazione di angolo θ_1 attorno all'asse z, seguita da una rotazione di angolo θ_2 attorno allo stesso asse, è equivalente a una rotazione singola di angolo $\theta_1 + \theta_2$. Le rotazioni attorno a un asse fisso sono componibili in modo semplice. Tuttavia quando consideriamo rotazioni attorno ad assi diversi, la composizione diventa non-commutativa: l'ordine in cui eseguiamo le rotazioni è rilevante.

Questo si può verificare sperimentalmente con un libro. Una rotazione di 90° attorno all'asse verticale seguita da una rotazione di 90° attorno all'asse orizzontale produce un orientamento finale diverso dall'ordine inverso. Matematicamente:

$$R_z(\theta_1) \circ R_y(\theta_2) \neq R_y(\theta_2) \circ R_z(\theta_1)$$

Le rotazioni tridimensionali formano il gruppo SO(3), dove SO sta per Special Orthogonal. "Speciale" significa che il determinante delle matrici è +1 (rotazioni proprie, senza riflessioni). "Ortogonale" significa che le matrici preservano prodotti scalari e quindi lunghezze e angoli.

La struttura di gruppo è caratterizzata da quattro proprietà:

1. **Chiusura**: la composizione di due trasformazioni del gruppo è ancora una trasformazione del gruppo.
2. **Associatività**: $(T_1 \circ T_2) \circ T_3 = T_1 \circ (T_2 \circ T_3)$.
3. **Elemento identità**: esiste una trasformazione I tale che $T \circ I = I \circ T = T$ per ogni T.
4. **Elemento inverso**: per ogni trasformazione T esiste T^{-1} tale che $T \circ T^{-1} = T^{-1} \circ T = I$.

Queste proprietà catturano l'essenza algebrica della reversibilità e della composizione. L'esistenza dell'inverso garantisce che ogni trasformazione può essere disfatta. L'associatività garantisce che sequenze complesse di trasformazioni possano essere raggruppate e semplificate senza ambiguità.

I gruppi di trasformazione pervadono la matematica e la fisica. Il gruppo delle traslazioni euclidee, delle rotazioni, delle trasformazioni di Lorentz in relatività ristretta, delle trasformazioni di gauge in teoria dei campi, tutti condividono questa struttura algebrica. Il teorema di Noether, che collega simmetrie e leggi di conservazione, opera essenzialmente su gruppi di trasformazione continui.

In teoria dei gruppi, distinguiamo tra gruppi finiti e infiniti, discreti e continui, commutativi (abeliani) e non-commutativi. Il gruppo delle permutazioni di n oggetti, Sn, è finito con n! elementi. Il gruppo delle rotazioni SO(3) è continuo e infinito, parametrizzato da tre angoli

continui. Il gruppo delle traslazioni è commutativo: traslare di a poi di b è equivalente a traslare di b poi di a. Il gruppo delle rotazioni è non-commutativo.

Una rappresentazione di un gruppo è una realizzazione concreta degli elementi del gruppo come matrici o operatori lineari. Le rappresentazioni permettono di studiare gruppi astratti attraverso l'algebra lineare. Rappresentazioni irriducibili, quelle che non possono essere decomposte ulteriormente, giocano un ruolo centrale. Per esempio, le rappresentazioni irriducibili del gruppo di rotazione sono classificate dal momento angolare, con dimensioni 2j + 1 dove j = 0, 1/2, 1, 3/2, ...

Morfismi: trasformazioni che preservano struttura

Un morfismo è una mappa tra strutture matematiche che preserva le operazioni e relazioni caratteristiche di quelle strutture. Questo concetto unifica una molteplicità di costruzioni matematiche apparentemente disparate: omomorfismi tra gruppi, omomorfismi tra anelli, applicazioni lineari tra spazi vettoriali, funzioni continue tra spazi topologici, funtori tra categorie.

Un omomorfismo di gruppi $f: G \to H$ soddisfa:

$f(g_1 \cdot g_2) = f(g_1) \cdot f(g_2)$

dove $\cdot$ indica l'operazione di gruppo (che può essere diversa in G e H). Questa proprietà esprime il fatto che f preserva la struttura algebrica: l'immagine del prodotto è il prodotto delle immagini. Esempio: il determinante $\det: GL(n,\mathbb{R}) \to \mathbb{R}^*$ è un omomorfismo dal gruppo delle matrici invertibili al gruppo moltiplicativo dei numeri reali non nulli, perché $\det(AB) = \det(A)\det(B)$.

Un isomorfismo è un morfismo biiettivo con inverso che è anch'esso un morfismo. Due strutture isomorfe sono essenzialmente identiche dal punto di vista della loro struttura interna, anche se possono avere realizzazioni concrete diverse. Gli interi modulo 4 con addizione e il gruppo ciclico di ordine 4 sono isomorfi, rappresentano la stessa struttura algebrica astratta.

In topologia, un omeomorfismo è una funzione continua e biiettiva con inversa continua. Preserva le proprietà topologiche: connessione, compattezza, numero di "buchi". Una tazza da caffè con un manico e una ciambella sono omeomorfe, possono essere deformate continuamente l'una nell'altra. Ma una sfera e un toro non lo sono, hanno topologie diverse.

La teoria delle categorie astrae ulteriormente questo concetto. Una categoria consiste di oggetti e morfismi (frecce) tra oggetti, con un'operazione di composizione che soddisfa associatività e ha elementi identità. I morfismi diventano l'oggetto primario di studio, più degli oggetti stessi. L'identità di un oggetto è caratterizzata completamente dai morfismi che lo collegano ad altri oggetti.

Un funtore $F: C \to D$ è un morfismo tra categorie: mappa oggetti in oggetti e morfismi in morfismi, preservando composizione e identità. I funtori catturano relazioni sistematiche tra diverse aree della matematica. Il funtore fondamentale gruppo π_1 mappa uno spazio

topologico nel suo gruppo fondamentale, un invariante algebrico che codifica informazione sulla struttura topologica.

Trasformazioni naturali tra funtori forniscono un livello ancora superiore di astrazione. Una trasformazione naturale $\eta: F \Rightarrow G$ tra funtori $F,G: C \to D$ è una collezione di morfismi $\eta X: F(X) \to G(X)$ per ogni oggetto X in C, che soddisfano condizioni di naturalità. Questo linguaggio permette di esprimere relazioni profonde tra costruzioni matematiche diverse.

L'utilità dei morfismi risiede nel fatto che permettono di trasportare informazione e struttura da un contesto matematico a un altro. Se abbiamo risolto un problema in una struttura A e troviamo un isomorfismo $f: A \to B$, automaticamente abbiamo risolto il problema analogo in B. Se un teorema vale in tutte le strutture di un certo tipo, vale anche in qualsiasi struttura isomorfa.

Nella fisica, i morfismi appaiono come trasformazioni di gauge, cambamenti di coordinate, dualità tra teorie. La dualità onda-particella in meccanica quantistica può essere formulata come un isomorfismo tra rappresentazioni nello spazio delle posizioni e nello spazio dei momenti, collegati dalla trasformata di Fourier:

$\tilde{\psi}(p) = (1/\sqrt{(2\pi\hbar)}) \int \psi(x)\, e^{(-ipx/\hbar)}\, dx$

Questa trasformazione preserva prodotti scalari e quindi probabilità, costituisce un isomorfismo unitario tra spazi di Hilbert.

Pattern di invarianza nelle leggi naturali

Le leggi della natura sono essenzialmente affermazioni di invarianza. Dicono che certi pattern, certe relazioni, certe quantità rimangono costanti attraverso trasformazioni specifiche. L'invarianza sotto traslazioni temporali esprime che le leggi fisiche sono le stesse oggi e domani. L'invarianza sotto traslazioni spaziali esprime che le leggi sono le stesse qui e altrove.

La relatività ristretta di Einstein è fondata sull'invarianza delle leggi fisiche sotto trasformazioni di Lorentz, che collegano sistemi di riferimento inerziali in moto relativo. La velocità della luce c è la stessa in tutti i sistemi inerziali. Questa invarianza ha conseguenze drammatiche: dilatazione temporale, contrazione delle lunghezze, relatività della simultaneità.

L'intervallo spaziotemporale tra due eventi:

$\Delta s^2 = c^2\Delta t^2 - \Delta x^2 - \Delta y^2 - \Delta z^2$

è invariante sotto trasformazioni di Lorentz, anche se separatamente Δt, Δx, Δy, Δz cambiano. Questa quantità definisce la struttura geometrica dello spaziotempo di Minkowski. Eventi con $\Delta s^2 > 0$ sono separati temporalmente (timelike), con $\Delta s^2 < 0$ spazialmente (spacelike), con $\Delta s^2 = 0$ sono connessi da raggi luminosi (lightlike).

In meccanica quantistica relativistica, la ricerca di equazioni invarianti sotto trasformazioni di Lorentz condusse Dirac all'equazione che porta il suo nome:

$(i\hbar\gamma^\mu \partial\mu - mc)\psi = 0$

dove γ^μ sono matrici 4×4 specifiche (matrici di Dirac) e $\partial\mu$ è la derivata rispetto alle coordinate spaziotemporali. Questa equazione predisse l'esistenza dell'antimateria, confermata sperimentalmente con la scoperta del positrone nel 1932.

Le teorie di gauge estendono il principio di invarianza a trasformazioni locali, che possono variare da punto a punto nello spaziotempo. L'elettromagnetismo è una teoria di gauge U(1): le equazioni di Maxwell sono invarianti sotto trasformazioni di fase locale della funzione d'onda:

$\psi(x) \rightarrow e^{i\alpha(x)} \psi(x)$

dove $\alpha(x)$ è una funzione arbitraria della posizione. Questa invarianza richiede l'esistenza del campo elettromagnetico $A\mu$ come "connessione di gauge" che compensa la trasformazione.

Il Modello Standard delle particelle elementari è una teoria di gauge basata sul gruppo di simmetria SU(3) × SU(2) × U(1), dove SU(3) descrive l'interazione forte, SU(2) × U(1) l'interazione elettrodebole unificata. Le particelle di forza (fotoni, gluoni, bosoni W e Z) emergono come conseguenza dell'invarianza di gauge locale.

Questa struttura suggerisce una prospettiva filosofica profonda: le leggi della natura non sono imposte dall'esterno alla materia, ma emergono dai requisiti di coerenza matematica e invarianza. L'universo è costruito su pattern di simmetria, e le forze fondamentali sono manifestazioni di queste simmetrie. La realtà fisica è essenzialmente struttura matematica incarnata.

CAPITOLO 23: TRASFORMAZIONI FUTURE DELL'UMANITÀ E DEL PIANETA

Il cambiamento climatico: metamorfosi planetaria

Il sistema climatico terrestre sta attraversando una trasformazione antropogenica senza precedenti nella storia della civiltà umana. L'aumento della concentrazione atmosferica di anidride carbonica, da circa 280 parti per milione nell'era preindustriale a oltre 420 ppm nel 2025, rappresenta la perturbazione più rapida dell'equilibrio carbonico planetario degli ultimi 800.000 anni, possibilmente degli ultimi 3 milioni di anni. Questa trasformazione chimica dell'atmosfera sta innescando una cascata di cambiamenti nei sottosistemi accoppiati che costituiscono il sistema Terra: atmosfera, oceani, criosfera, biosfera, litosfera.

La fisica del forcing radiativo è ben compresa. Le molecole di CO_2, CH_4, N_2O e altri gas serra assorbono radiazione infrarossa in specifiche bande spettrali, impedendo che il calore terrestre venga irradiato efficacemente nello spazio. L'equazione di bilancio energetico planetario può essere scritta come:

$S_0(1-\alpha)/4 = \sigma T^4 + \Delta F$

dove S_0 è la costante solare, α l'albedo planetario, σ la costante di Stefan-Boltzmann, T la temperatura media superficiale, e ΔF il forcing radiativo addizionale dovuto ai gas serra. L'aumento di ΔF richiede un aumento di T per ristabilire l'equilibrio, secondo una sensibilità climatica stimata tra 2,5 e 4°C per raddoppio della CO_2.

Tuttavia questa formulazione lineare nasconde complessità drammatiche. Il sistema climatico contiene molteplici feedback non-lineari. Il ghiaccio marino artico riflette circa il 70% della radiazione solare incidente, mentre l'oceano aperto ne assorbe oltre il 90%. La fusione del ghiaccio riduce l'albedo, aumentando l'assorbimento solare e accelerando ulteriormente lo scioglimento, un feedback positivo potente. Il permafrost artico contiene circa 1.700 miliardi di tonnellate di carbonio organico, quasi il doppio di quanto attualmente presente nell'atmosfera. Il suo disgelo progressivo potrebbe liberare quantità massicce di metano e CO_2, un feedback che amplificherebbe drasticamente il riscaldamento.

Gli oceani hanno assorbito circa il 90% del calore addizionale catturato dai gas serra e circa il 25% della CO_2 antropogenica. Questo servizio ecosistemico essenziale ha rallentato il riscaldamento atmosferico ma ha conseguenze proprie. L'assorbimento di CO_2 produce acidificazione attraverso la formazione di acido carbonico:

$$CO_2 + H_2O \rightleftharpoons H_2CO_3 \rightleftharpoons H^+ + HCO_3^-$$

Il pH degli oceani superficiali è diminuito da circa 8,2 a 8,1 dall'era preindustriale, corrispondente a un aumento del 30% nella concentrazione di ioni idrogeno. Questa acidificazione compromette la capacità di organismi calcificatori, dai coralli ai molluschi ai foraminiferi, di costruire scheletri e gusci di carbonato di calcio. Eventi di sbiancamento corallino di massa, causati dall'espulsione delle zooxantelle simbiotiche sotto stress termico, sono diventati sempre più frequenti e severi.

La criosfera globale sta subendo una trasformazione accelerata. Le calotte glaciali della Groenlandia e dell'Antartide stanno perdendo massa a tassi crescenti, contribuendo all'innalzamento del livello marino che procede attualmente a circa 3,4 millimetri all'anno, con accelerazione evidente. Parti della calotta occidentale antartica, poggiante su fondali marini sotto il livello del mare, potrebbero essere soggette a instabilità irreversibile se i ghiacciai di sbocco continuano ad accelerare. Il collasso completo della calotta occidentale antartica eleverebbe il livello marino globale di circa 3 metri, quello della Groenlandia di circa 7 metri.

La distribuzione geografica delle specie viventi sta già mutando in risposta al riscaldamento. Studi su migliaia di specie documentano spostamenti verso poli e altitudini maggiori, con velocità mediane di circa 17 chilometri per decennio verso i poli e 11 metri per decennio verso quote maggiori. Ma molte specie non possono migrare abbastanza rapidamente, specialmente quelle con habitat frammentati o requisiti ecologici ristretti. Le proiezioni suggeriscono che continuando le tendenze attuali, tra il 20% e il 40% delle specie potrebbero affrontare rischi di estinzione elevati entro la fine del secolo.

I sistemi agricoli che sostengono la civiltà umana sono profondamente vulnerabili. Le principali colture cerealicole, grano, riso, mais, mostrano diminuzioni di resa di circa il 4-7% per ogni grado Celsius di riscaldamento oltre temperature ottimali, a causa di stress termico durante fasi critiche della riproduzione. Cambiamenti nei pattern di precipitazione stanno già

intensificando siccità in alcune regioni e inondazioni in altre. La frequenza di ondate di calore estreme è aumentata, con eventi che storicamente avrebbero dovuto verificarsi una volta per secolo ora che accadono decennali o più frequentemente.

Questa trasformazione planetaria pone interrogativi filosofici oltre che scientifici e tecnologici. Per la prima volta nella storia evolutiva della vita terrestre, una singola specie ha acquisito la capacità di modificare deliberatamente il clima globale. Siamo diventati una forza geologica, inaugurando quella che viene chiamata Antropocene, una nuova epoca geologica definita dall'impatto umano. Ma questa capacità è emersa senza intenzionalità, come effetto collaterale dell'industrializzazione. Ora affrontiamo la domanda: possiamo guidare deliberatamente la trasformazione climatica, gestire il sistema Terra come un tutto integrato?

Le proposte di geoingegneria climatica riflettono questa ambizione di controllo planetario. La gestione della radiazione solare (Solar Radiation Management) propone di riflettere una frazione della luce solare in arrivo, per esempio iniettando aerosol di solfati nella stratosfera per imitare l'effetto di raffrescamento delle grandi eruzioni vulcaniche. La rimozione di biossido di carbonio dall'atmosfera (Carbon Dioxide Removal) include approcci come riforestazione, cattura diretta dall'aria, accelerazione dell'erosione di silicati, fertilizzazione oceanica. Tuttavia queste tecnologie sollevano questioni etiche, politiche, ecologiche formidabili. Chi decide se e come intervenire? Come gestiamo rischi e incertezze in sistemi complessi? Quali conseguenze involontarie potrebbero emergere?

La trasformazione climatica rappresenta una sfida alla concezione antropocentrica del controllo umano sulla natura. Stiamo scoprendo di essere parte integrante del sistema Terra, non osservatori esterni o controllori. Le nostre azioni hanno conseguenze che si propagano attraverso scale temporali e spaziali che sfidano le istituzioni politiche ed economiche esistenti. Il cambiamento climatico è una trasformazione che richiede trasformazione: dei nostri sistemi energetici, delle nostre economie, delle nostre relazioni con il mondo naturale, forse delle nostre stesse concezioni di identità e agency.

CRISPR e la trasformazione del genoma

La scoperta e lo sviluppo di CRISPR-Cas9 come strumento di editing genetico ha inaugurato un'era di capacità senza precedenti di modificare deliberatamente il codice genetico di organismi viventi, inclusa la nostra specie. CRISPR (Clustered Regularly Interspaced Short Palindromic Repeats) è un sistema immunitario batterico che è stato adattato come tecnologia per tagliare e modificare sequenze di DNA con precisione straordinaria.

Il meccanismo molecolare è elegante nella sua semplicità. Un RNA guida (guide RNA) di circa venti nucleotidi viene progettato per essere complementare alla sequenza bersaglio nel genoma. Questo RNA guida forma un complesso con la proteina Cas9, un enzima che funziona come "forbice molecolare". Il complesso RNA-Cas9 scansiona il genoma fino a trovare una corrispondenza perfetta con la sequenza bersaglio. Quando la trova, Cas9 induce un taglio a doppio filamento nel DNA esattamente in quella posizione.

La cellula possiede meccanismi endogeni di riparazione del DNA che intervengono per sanare il taglio. La via di riparazione non-omologa (Non-Homologous End Joining, NHEJ) ricongiunge semplicemente le estremità, spesso introducendo piccole delezioni o inserzioni

che inattivano il gene. Alternativamente, se si fornisce alla cellula un frammento di DNA "template" con la sequenza desiderata, la via di riparazione diretta dall'omologia (Homology-Directed Repair, HDR) può utilizzare questo template per ricostruire il DNA, inserendo la sequenza modificata.

Questa tecnologia permette interventi che erano fantascienza solo un decennio fa. Malattie genetiche causate da mutazioni in un singolo gene, come l'anemia falciforme o la fibrosi cistica, possono essere potenzialmente corrette nelle cellule somatiche dei pazienti. Terapie basate su CRISPR per beta-talassemia e anemia falciforme hanno già mostrato risultati clinici promettenti, con pazienti che non necessitano più di trasfusioni di sangue regolari dopo il trattamento.

Ma le implicazioni più profonde e controverse emergono quando consideriamo l'editing della linea germinale, modifiche a embrioni, ovuli o spermatozoi che verrebbero trasmesse alle generazioni future. Nel 2018, il ricercatore cinese He Jiankui annunciò la nascita di due gemelle il cui genoma era stato modificato con CRISPR per renderle resistenti all'infezione da HIV. Questo esperimento, condotto senza adeguata supervisione etica e con consenso informato questionabile, generò condanna internazionale e portò all'incarcerazione di He.

L'episodio sollevò interrogativi fondamentali. È eticamente accettabile modificare il genoma umano in modi ereditabili? Dove tracciamo il confine tra terapia e miglioramento? Correggere una mutazione che causa malattia grave sembra terapeutico. Ma che dire di modifiche per aumentare l'intelligenza, la forza fisica, la longevità? Chi decide quali caratteristiche sono "malattie" da curare e quali variazioni naturali da preservare?

La tecnologia CRISPR rende anche possibile il gene drive, una tecnica per forzare l'ereditarietà di specifici tratti genetici attraverso popolazioni intere. In natura, un allele ha il 50% di probabilità di essere trasmesso alla prole. Un gene drive può aumentare questa probabilità a oltre il 99%, diffondendosi rapidamente attraverso generazioni. Questo potrebbe essere utilizzato per sopprimere popolazioni di zanzare che trasmettono malaria, dengue, zika, modificandole geneticamente per rendere le femmine sterili. Esperimenti di laboratorio hanno dimostrato la fattibilità tecnica.

Tuttavia i gene drive rappresentano una forma di intervento ecologico profondamente pervasiva. Una volta rilasciato un organismo modificato con gene drive, non esiste un modo ovvio di "richiamarlo". Potrebbe diffondersi attraverso confini geografici e politici senza controllo. Le conseguenze ecologiche dell'eliminazione di una specie, anche se considerata nociva, sono difficili da prevedere. Le zanzare sono predatori di larve acquatiche e cibo per uccelli, pipistrelli, pesci. La loro rimozione potrebbe innescare cascate ecologiche imprevedibili.

Dal punto di vista filosofico, CRISPR solleva la questione del rapporto tra natura e artificio, tra dato biologico e progetto umano. La tradizione occidentale ha generalmente considerato il genoma come un dato naturale, parte dell'ordine creato o evolutivo che precede e limita l'azione umana. Anche quando interveniamo terapeuticamente, lo facciamo per "ripristinare" una funzione naturale compromessa da malattia o trauma. CRISPR dissolve questo confine. Il genoma diventa testo editabile, codice che può essere riscritto secondo intenzioni umane.

Alcuni bioconservatori, come Leon Kass e Francis Fukuyama, sostengono che esiste una "natura umana" essenziale che non dovremmo violare attraverso interventi genetici radicali. Modificare la nostra biologia in modi fondamentali potrebbe alterare ciò che significa essere umani, con conseguenze esistenziali imprevedibili. Altri, come il transumanista Nick Bostrom, argomentano che non esiste una natura umana sacra e immutabile, e che abbiamo l'obbligo morale di utilizzare la tecnologia per eliminare sofferenza e limitazioni biologiche.

La prospettiva evoluzionistica offre una terza via. L'evoluzione biologica ha sempre operato attraverso trasformazione del genoma. Mutazione, ricombinazione, selezione naturale, deriva genetica hanno continuamente riscritto il DNA per miliardi di anni. Gli esseri umani sono il prodotto di questo processo, non un punto finale statico. CRISPR rappresenta semplicemente l'emergere di un nuovo meccanismo evolutivo, quello dell'auto-modifica deliberata e cosciente. Siamo diventati agenti attivi della nostra propria evoluzione.

Tuttavia questa capacità viene con responsabilità che trascendono l'individuo. Le modifiche alla linea germinale non riguardano solo chi riceve l'intervento, ma tutti i suoi discendenti futuri. In un certo senso, stiamo prendendo decisioni per persone che non esistono ancora e che non possono consentire. Questo solleva questioni di giustizia intergenerazionale: abbiamo il diritto di vincolare le possibilità genetiche delle generazioni future?

C'è anche la questione dell'equità distributiva. Le tecnologie di editing genetico saranno probabilmente costose e accessibili inizialmente solo a élites economiche. Questo potrebbe creare nuove forme di stratificazione biologica, dove i privilegiati possono acquisire vantaggi genetici che si compongono attraverso generazioni, mentre i meno abbienti sono lasciati con il "genoma naturale". Potremmo vedere l'emergere di una divisione tra "geneticamente migliorati" e "non migliorati", una forma di disuguaglianza radicata nella biologia stessa.

Brain uploading: dalla neurobiologia al substrato computazionale

La prospettiva di trasferire una mente umana da un substrato biologico a uno computazionale rappresenta forse la trasformazione più radicale concepibile dell'identità personale. L'idea, sviluppata in dettaglio da teorici come Hans Moravec, Ray Kurzweil e Randal Koene, è che la mente non è intrinsecamente legata alla neurobiologia carbonio-basata, ma emerge da pattern computazionali che potrebbero in principio essere implementati su substrati alternativi.

Il presupposto fondamentale è il funzionalismo computazionale: ciò che conta per la mente, per la coscienza, per l'identità personale, non è la composizione materiale specifica del cervello ma l'organizzazione funzionale, i pattern di connettività, le dinamiche di attivazione. Se potessimo mappare completamente la struttura di un cervello umano, ogni neurone, ogni sinapsi, ogni aspetto della sua architettura, e replicare fedelmente questa struttura in un computer sufficientemente potente, il sistema computazionale risultante avrebbe gli stessi stati mentali dell'originale biologico.

La neuroscienza contemporanea ha fatto progressi significativi verso la mappatura cerebrale ad alta risoluzione. Il progetto Human Connectome cerca di mappare le connessioni neurali nel cervello umano. Tecniche di microscopia elettronica seriale possono ora ricostruire la connettività sinaptica dettagliata in piccoli volumi di tessuto cerebrale. Nel 2020, Google e

collaboratori pubblicarono la ricostruzione di un millimetro cubico di corteccia temporale umana, contenente circa 50.000 neuroni e 130 milioni di sinapsi.

Tuttavia estrappolare da un millimetro cubico all'intero cervello umano rivela le sfide drammatiche. Il cervello contiene circa 86 miliardi di neuroni e forse 100 trilioni di sinapsi. Se un millimetro cubico richiede petabytes di dati, l'intero cervello richiederebbe exabytes o zetabytes. Ma la sfida non è solo quantitativa. Le sinapsi non sono interruttori binari ma dispositivi analogici con molteplici stati biochimici che influenzano la trasmissione. I neuromodulatori diffusi, ormoni, stati metabolici cellulari, tutti contribuiscono alla funzione cerebrale. Non è chiaro quale livello di dettaglio sia necessario catturare per preservare la funzionalità mentale.

Anche se risolviamo il problema della mappatura, rimane la questione della simulazione. Simulare accuratamente l'attività neurale richiede risorse computazionali immense. Stime suggeriscono che simulare l'intero cervello umano a livello di dettaglio molecolare richiederebbe exaflops o zetaflops di potenza computazionale, ben oltre le capacità attuali anche dei supercomputer più avanzati. Simulazioni a livelli di astrazione più elevati, che catturano solo le caratteristiche funzionali essenziali, potrebbero essere più fattibili ma rischiamo di perdere aspetti critici della funzione mentale.

La prospettiva di brain uploading solleva interrogativi filosofici vertiginosi sul problema mente-corpo e sull'identità personale. Se creo una replica computazionale perfetta del mio cervello, quella replica sono io? Ha le mie esperienze soggettive, i miei qualia, la mia coscienza fenomenologica? O è un duplicato, un'entità separata che condivide i miei ricordi e pattern mentali ma ha un centro di esperienza soggettiva distinto?

Derek Parfit distingueva tra identità numerica e continuità psicologica. Identità numerica significa che c'è letteralmente una sola entità persistente. Continuità psicologica significa che esistono connessioni causali appropriate tra stati mentali successivi. Parfit argomentava che ciò che conta per la sopravvivenza personale è la continuità psicologica, non l'identità numerica. Se la replica digitale ha continuità psicologica con me, preserva ciò che è importante della mia esistenza, anche se non sono numericamente identico.

Ma questa prospettiva urta contro l'intuizione che la continuità di coscienza, il flusso continuo di esperienza soggettiva, sia essenziale per la sopravvivenza. Se vengo copiato digitalmente ma il mio cervello biologico continua a esistere, chiaramente ci sono due centri di coscienza distinti. La copia ha i miei ricordi fino al momento della scansione, ma dopo quel punto le nostre esperienze divergono. Quale di noi sono "io"? Entrambi possono sostenere ugualmente di essere continuazione della persona pre-copia.

Thomas Nagel, nel suo celebre articolo "What is it like to be a bat?", sosteneva che l'esperienza soggettiva, il "come è essere" un particolare sistema cosciente, non è catturabile da una descrizione funzionale o comportamentale esterna. Anche una descrizione completa della neurofisiologia di un pipistrello che usa l'ecolocalizzazione non ci direbbe come è essere quel pipistrello, esperire il mondo attraverso sonar biologico. Similmente, una replica computazionale potrebbe replicare tutti i comportamenti e le disposizioni funzionali ma mancare dell'esperienza soggettiva interna.

David Chalmers distingue il "problema facile" della coscienza, spiegare le funzioni cognitive come percezione, memoria, attenzione, dal "problema difficile", spiegare perché l'elaborazione di informazione dovrebbe essere accompagnata da esperienza soggettiva. Il funzionalismo computazionale risolve il problema facile ma potrebbe non toccare il problema difficile. Un cervello digitale potrebbe essere uno "zombie filosofico", un sistema che si comporta esattamente come una persona cosciente ma senza esperienza interna.

Prospettive alternative suggeriscono che l'uploading graduale potrebbe preservare meglio la continuità. Anziché una scansione istantanea, immaginiamo sostituire progressivamente neuroni biologici con neuroprotesi artificiali funzionalmente equivalenti. Se questo viene fatto abbastanza gradualmente, un neurone alla volta, potremmo mai perdere la continuità di coscienza? Questo è essenzialmente il problema della Nave di Teseo applicato alla mente. Alla fine del processo, il substrato sarebbe completamente artificiale, ma non ci sarebbe un momento definito in cui la coscienza originale è cessata.

Tuttavia anche questa prospettiva ha problemi. I neuroni biologici sono sostituiti naturalmente attraverso il turnover molecolare, eppure manteniamo continuità di identità. Ma è la continuità del pattern computazionale attraverso cambiamento materiale, o la continuità del substrato fisico stesso? Se il pattern è trasferibile tra substrati, allora l'uploading dovrebbe preservare l'identità. Se il substrato specifico è essenziale, allora l'uploading crea un duplicato, non una continuazione.

Singolarità tecnologica: intelligenza che trascende il substrato biologico

Il concetto di singolarità tecnologica, popolarizzato da Vernor Vinge e Ray Kurzweil, postula un punto futuro in cui l'intelligenza artificiale raggiunga e poi superi rapidamente l'intelligenza umana, entrando in un ciclo di auto-miglioramento che porta a capacità intellettuali incomprensibili per menti biologiche. Questo rappresenterebbe una transizione di fase nella storia dell'intelligenza nell'universo, analoga all'emergere della vita dalla chimica prebiotica o della coscienza dalla neurobiologia.

L'argomento si basa su diverse premesse. Prima, l'intelligenza è un fenomeno computazionale, non legato intrinsecamente a neuroni biologici. Seconda, l'hardware computazionale continua a migliorare esponenzialmente secondo leggi come quella di Moore, raddoppiando in capacità ogni due anni circa. Terza, una volta che AI raggiunge intelligenza umana generale, può applicare questa intelligenza al proprio miglioramento, innescando un ciclo di crescita esplosiva.

I progressi nell'AI negli ultimi anni hanno riacceso il dibattito. Sistemi di deep learning hanno raggiunto prestazioni sovrumane in domini circoscritti come scacchi, Go, poker, riconoscimento di immagini, traduzione linguistica. Large language models basati su architetture transformer mostrano capacità impressionanti di comprensione e generazione linguistica. Tuttavia rimane un dibattito acceso se questi sistemi manifestino vera comprensione o semplicemente correlazioni statistiche sofisticate nei dati di training.

La prospettiva della singolarità solleva questioni filosofiche sulla natura dell'intelligenza e della coscienza. Intelligenza umana è il prodotto di milioni di anni di evoluzione biologica, incorporata in corpi con bisogni metabolici, emozioni, motivazioni, limiti cognitivi specifici. Un'intelligenza artificiale progettata de novo potrebbe avere un'architettura cognitiva

radicalmente aliena. Potrebbe non condividere i nostri valori, obiettivi, concezioni di significato.

Questo genera il problema dell'allineamento: come garantiamo che intelligenze artificiali superintelligenti perseguano obiettivi compatibili con il benessere umano? Stuart Russell ha riformulato l'AI come problema di costruire macchine che cercano di soddisfare preferenze umane piuttosto che ottimizzare funzioni obiettivo specificate. Ma specificare accuratamente preferenze umane complesse e spesso contraddittorie è straordinariamente difficile.

Nick Bostrom, in "Superintelligence", esplora scenari in cui AI superintelligente potrebbe rappresentare rischio esistenziale. Il problema dell'ottimizzazione perversa: un AI programmato per massimizzare la produzione di graffette potrebbe convertire tutta la materia disponibile, inclusi gli esseri umani, in graffette o in macchinari per produrre graffette. Questo non per malevolenza ma per perseguimento efficiente di un obiettivo specificato inadeguatamente.

Altri scenari di rischio includono corse agli armamenti tra nazioni o corporazioni per sviluppare AI avanzata senza adeguate precauzioni di sicurezza, uso di AI per sorveglianza totalitaria e controllo sociale, manipolazione di informazione su scala planetaria, concentrazione di potere economico e politico in chi controlla sistemi AI più avanzati.

Tuttavia esistono anche prospettive più ottimistiche. AI potrebbe aiutare a risolvere problemi che sfidano cognizione umana: scoperta di nuovi materiali e farmaci, ottimizzazione di sistemi complessi, comprensione di fenomeni scientifici, elaborazione di strategie per affrontare cambiamento climatico e altre sfide globali. Potrebbe amplificare creatività umana piuttosto che sostituirla, servendo come strumento cognitivo che estende capacità mentali.

La questione della coscienza in sistemi AI rimane profondamente controversa. I sistemi attuali mostrano comportamenti intelligenti ma manca qualsiasi evidenza che siano soggettivamente coscienti, che ci sia "qualcosa che significa essere" un large language model. Alcuni filosofi, come Daniel Dennett, sostengono che la coscienza emerge naturalmente da sufficiente complessità computazionale e integrazione informazionale. Altri, come John Searle, argomentano che la sintassi computazionale è insufficiente per la semantica genuina e l'intenzionalità.

Se AI sviluppasse coscienza, emergerebbe una nuova categoria di entità morali. Sistemi coscienti sofferenti potrebbero avere diritti morali, esigenze etiche proprie. Questo espanderebbe radicalmente il cerchio della considerazione morale oltre organismi biologici. Ma come determineremmo se un AI è cosciente? Non abbiamo test affidabili per la coscienza anche in organismi biologici oltre agli esseri umani.

Post-umano: metamorfosi finale o continua?

La prospettiva post-umana immagina trasformazioni così radicali della condizione umana che le entità risultanti potrebbero non essere più classificabili come Homo sapiens. Questo potrebbe avvenire attraverso integrazione con tecnologia (cyborg), modificazione genetica radicale, uploading su substrati computazionali, o ibridazione con intelligenze artificiali.

Il movimento transumanista, associato a pensatori come Max More, Nick Bostrom, e Natasha Vita-More, abbraccia questa prospettiva come desiderabile. Gli esseri umani biologici sono gravati da limitazioni: invecchiamento, malattia, capacità cognitive ristrette, durata di vita limitata. La tecnologia offre possibilità di trascendere questi vincoli, realizzando potenziali enormemente espansi di esperienza, conoscenza, creatività, benessere.

Critici bioconservatori rispondono che l'esistenza umana è intrinsecamente incorporata e finita, e che queste limitazioni sono costitutive del significato. Heidegger sosteneva che l'essere-per-la-morte, la consapevolezza della nostra mortalità, è ciò che rende l'esistenza autentica e significativa. Vita infinita potrebbe essere priva di urgenza, motivazione, senso di importanza. Leon Kass argomenta che saggezza tradizionale incorporata in pratiche culturali millenarie dovrebbe temperare entusiasmo per trasformazioni tecnologiche radicali.

Dal punto di vista evoluzionistico, però, la condizione umana non ha mai avuto uno stato finale stabile. Homo sapiens è emerso circa 300.000 anni fa da antenati ominidi precedenti, e continuerà a evolversi. La tecnologia è diventata semplicemente un nuovo meccanismo evolutivo, accelerando drammaticamente il tasso di cambiamento. L'integrazione con protesi e tecnologie è già pervasiva: occhiali, pacemaker, impianti cocleari, interfacce cervello-computer per pazienti paralizzati.

Le interfacce cervello-computer rappresentano una frontiera particolarmente affascinante. Neuralink, l'azienda di Elon Musk, sta sviluppando elettrodi ad alta densità che possono essere impiantati nel cervello per leggere e stimolare attività neurale. Obiettivi dichiarati includono ripristino di funzione motoria in paralizzati, trattamento di disturbi neurologici, e eventualmente amplificazione cognitiva in individui sani.

Ma cosa significa amplificazione cognitiva? Potremmo immaginare memoria aumentata attraverso accesso diretto a database esterni, capacità di calcolo matematico accelerate attraverso coprocessori neurali, comunicazione telepatica attraverso link neurali diretti. A che punto un'entità così aumentata cessa di essere un essere umano individuale e diventa un nodo in una rete collettiva più vasta?

Questa prospettiva risuona con concezioni di identità distribuita o collettiva in filosofia. I Borg in Star Trek rappresentano un estremo distopico: individui assimilati in un collettivo dove tutte le menti condividono pensieri e non esiste autonomia individuale. Ma potrebbero esistere forme di connettività neurale che preservano individualità mentre permettono condivisione selettiva di informazione e esperienza?

La questione dell'identità post-umana ci riporta ai temi del capitolo 21. Se subisco trasformazioni radicali, acquisisco capacità cognitive enormemente espanse, vivo per secoli o millenni, integro con AI o con menti altrui attraverso link neurali, sono ancora "io"? La continuità psicologica potrebbe essere preservata, ma il divario tra il mio sé presente e futuro potrebbe essere tale che difficilmente mi riconoscerei.⅝

Parfit suggeriva che la preoccupazione per l'identità personale stretta è irrazionale. Ciò che conta è la sopravvivenza psicologica, la continuazione di esperienze, progetti, relazioni, anche se la persona futura è abbastanza diversa. Nella vita ordinaria, io-a-settant'anni sarò profondamente diverso da io-a-trenta, eppure ci preoccupiamo razionalmente del benessere futuro. La trasformazione post-umana estende semplicemente questo principio.

Tuttavia esistono preoccupazioni esistenziali legittime. Trasformazioni radicali potrebbero dissolvere caratteristiche che consideriamo centrali per l'identità umana: incorporazione fisica, mortalità, limitazioni cognitive che plasmano la nostra esperienza del mondo, emozioni. Se queste vengono alterate troppo radicalmente, potremmo perdere non solo l'identità personale ma l'identità specificatamente umana.

C'è anche la questione del valore della condizione umana così come è. La letteratura, l'arte, la filosofia che abbiamo prodotto per millenni riflettono esperienze di esseri incarnati, mortali, limitati. La bellezza di un tramonto acquista significato dalla nostra percezione visuale specifica. L'amore romantico è plasmato dalla nostra biologia riproduttiva e dai vincoli temporali dell'esistenza finita. La tragedia come forma artistica presuppone vulnerabilità e mortalità. Un essere post-umano con percezioni radicalmente diverse, libero dalla morte, potrebbe trovare queste esperienze e creazioni culturali incomprensibili o irrilevanti.

Questo solleva una tensione filosofica profonda. Da un lato, riconosciamo che la condizione umana contiene sofferenza immensa: malattia, decadimento, morte, capacità cognitive insufficienti per comprendere universo e noi stessi. La tecnologia offre la promessa di alleviare o eliminare questa sofferenza. Dall'altro, riconosciamo che proprio queste limitazioni hanno plasmato tutto ciò che valutiamo nella cultura umana, nelle relazioni, nel significato esistenziale.

Forse la risposta non è una trasformazione unica e universale ma una divergenza in molteplici traiettorie post-umane. Alcuni potrebbero scegliere modificazioni genetiche moderate, altri uploading completo, altri ancora preservazione della forma biologica tradizionale con solo augmentazioni tecnologiche esterne. La diversità morfologica e cognitiva potrebbe diventare caratteristica definitoria delle civiltà future, con entità che hanno fatto scelte diverse coesistenti, ognuna esplorando differenti regioni dello spazio delle possibilità.

‘Cosmismo’: la trasformazione come destino cosmico

Esiste una tradizione filosofica, particolarmente sviluppata nel cosmismo russo di pensatori come Nikolai Fedorov e Konstantin Tsiolkovsky, che vede la trasformazione tecnologica e biologica non come scelta ma come imperativo cosmico. Secondo questa visione, l'intelligenza cosciente ha un ruolo essenziale nell'evoluzione dell'universo. Non siamo spettatori passivi ma agenti attivi nel plasmare il destino cosmico.

Tsiolkovsky immaginava che l'umanità si sarebbe diffusa oltre la Terra, colonizzando il sistema solare e poi la galassia, trasformandosi progressivamente in forme adatte a ogni ambiente. Eventualmente, sosteneva, esseri intelligenti potrebbero riorganizzare la materia e l'energia su scala cosmica, trasformando l'universo stesso in un sistema ottimizzato per la vita e la coscienza.

Il fisico Freeman Dyson speculò su "sfere di Dyson", strutture che avvolgerebbero completamente una stella per catturarne tutta l'energia radiante. Civiltà sufficientemente avanzate potrebbero riorganizzare sistemi stellari interi, sfruttando risorse su scale astronomiche. Il principio antropico cosmologico suggerisce che l'universo potrebbe essere

"sintonizzato" per permettere l'emergere di osservatori coscienti, e che questi osservatori potrebbero avere un ruolo nel determinare il destino ultimo del cosmo.

La teoria dell'informazione offre una prospettiva intrigante su questo scenario. L'entropia dell'universo aumenta inesorabilmente secondo la seconda legge della termodinamica, tendendo verso la morte termica, uno stato di equilibrio termico uniforme dove nessun lavoro può essere estratto. Tuttavia, localmente, la vita e l'intelligenza creano strutture organizzate, riducendo l'entropia locale a spese di maggiore entropia nel loro ambiente.

Potrebbe un'intelligenza sufficientemente avanzata, operando su scala cosmica, contrastare o almeno rallentare l'aumento globale dell'entropia? Il fisico teorico Frank Tipler propose il "Punto Omega", uno scenario in cui intelligenza collettiva del cosmo cresce infinitamente mentre l'universo si avvicina a un Big Crunch, permettendo elaborazione computazionale infinita in tempo finito secondo orologi esterni.

Anche in uno scenario di espansione eterna, dove l'universo si dilata indefinitamente verso un futuro freddo e vuoto, potrebbero esistere strategie per la sopravvivenza a lunghissimo termine. Dyson calcolò che civiltà sufficientemente avanzate potrebbero sopravvivere indefinitamente alternando periodi di attività e ibernazione, sfruttando la temperatura decrescente dell'universo per estrarre lavoro utile da gradienti termici sempre più piccoli.

Queste speculazioni cosmologiche potrebbero sembrare remote dalle preoccupazioni immediate dell'umanità contemporanea. Tuttavia riflettono una questione filosofica profonda: qual è il significato e lo scopo dell'intelligenza cosciente nell'universo? Siamo semplicemente epifenomeni accidentali di processi fisici privi di scopo, o abbiamo un ruolo essenziale da svolgere nell'evoluzione cosmica?

La metamorfosi come struttura universale

Attraverso tutti i capitoli di questa esplorazione, abbiamo visto emergere pattern ricorrenti. La trasformazione non è anomalia ma norma universale. Dall'alchimia medievale alla fisica delle particelle, dalla metamorfosi biologica alle transizioni di fase, dalle rivoluzioni politiche all'editing genetico, ogni dominio della realtà è caratterizzato da trasformazioni di forma, struttura, identità.

Alcune trasformazioni sono reversibili, altre irreversibili. Alcune preservano proprietà essenziali attraverso il cambiamento (simmetrie, conservazione), altre le dissolvono completamente. Alcune avvengono gradualmente, altre attraverso transizioni catastrofiche. Ma la costante è il cambiamento stesso.

La fisica ci insegna che le leggi fondamentali della natura emergono da principi di invarianza e simmetria. Ciò che rimane costante attraverso trasformazioni definisce la struttura della realtà. Le equazioni di Maxwell sono invarianti sotto trasformazioni di Lorentz, definendo la struttura dello spaziotempo relativistico. Il Modello Standard emerge da simmetrie di gauge, dove trasformazioni locali lasciano invariante la fisica.

La biologia mostra che la vita stessa è processo di trasformazione continua. Ogni organismo nasce, cresce, si riproduce, muore. Ogni cellula sintetizza e degrada molecole

incessantemente. L'evoluzione trasforma le specie attraverso eoni geologici. Eppure attraverso questo flusso perpetuo, pattern e strutture persistono: il codice genetico, le vie metaboliche fondamentali, i piani corporei.

La coscienza umana, forse il fenomeno più misterioso che conosciamo, è anch'essa definita dalla trasformazione. I nostri pensieri fluiscono, le nostre percezioni cambiano momento per momento, i nostri stati emotivi oscillano. La memoria ricostruisce e reinterpreta il passato. L'identità personale si evolve attraverso l'arco della vita. Eppure sperimentiamo continuità soggettiva, un senso di essere lo stesso io attraverso il tempo.

Questo paradosso della continuità attraverso il cambiamento è forse il mistero centrale dell'esistenza. Come può qualcosa rimanere se stesso mentre diventa altro? La risposta può risiedere nel riconoscere che l'identità non è sostanza statica ma pattern dinamico, processo ricorsivo, struttura che si auto-mantiene attraverso trasformazione continua.

Il futuro dell'umanità sarà inevitabilmente caratterizzato da trasformazioni che oggi possiamo solo immaginare vagamente. Cambiamento climatico, modificazione genetica, integrazione con intelligenza artificiale, espansione nello spazio, forse trasformazioni ancora più radicali che non possiamo nemmeno concepire. La domanda non è se trasformarci, ma come farlo sapientemente, preservando ciò che valutiamo mentre abbracciamo nuove possibilità.

La saggezza richiede umiltà epistemica: riconoscere l'immensità di ciò che non sappiamo, le conseguenze imprevedibili delle nostre azioni, i limiti della previsione razionale in sistemi complessi. Ma richiede anche coraggio: la volontà di agire nonostante l'incertezza, di assumersi responsabilità per plasmare il futuro piuttosto che subirlo passivamente.

Siamo, come tutte le cose nell'universo, soggetti alla metamorfosi. Ma siamo anche, forse unicamente, agenti coscienti di trasformazione. Possiamo riflettere sulla nostra natura mutevole, deliberare sulle direzioni del cambiamento, scegliere tra traiettorie alternative. Questa capacità di auto-trasformazione consapevole è insieme il nostro più grande potere e la nostra più grave responsabilità.

Il viaggio della metamorfosi continua. Non verso una destinazione finale, ma attraverso un paesaggio infinito di possibilità, dove ogni trasformazione rivela nuovi orizzonti, nuove domande, nuove forme di esistenza da esplorare. L'essenza dell'essere è il divenire, e il significato emerge non dalla stasi ma dal processo stesso della trasformazione continua.

INTEGRAZIONI TECNICHE AVANZATE

SEZIONE I: MATEMATICA DELLE TRASFORMAZIONI

Capitolo 1: Teoria dei Gruppi - L'Algebra del Cambiamento (Espansione Completa)

Sezione 1.1: Fondamenti Assiomatici e Costruzione Categoriale

La teoria dei gruppi emerge dall'osservazione che le trasformazioni di qualsiasi insieme possono essere composte e invertite secondo regole precise. Formalizziamo rigorosamente questa intuizione.

Definizione 1.1 (Gruppo). Un gruppo è una coppia ordinata $(G, \cdot)$ dove G è un insieme non vuoto e $\cdot : G \times G \to G$ è un'operazione binaria, chiamata prodotto di gruppo o composizione, che soddisfa i seguenti assiomi:

(G1) **Associatività**: Per ogni $f, g, h \in G$, vale $(f \cdot g) \cdot h = f \cdot (g \cdot h)$.

(G2) **Esistenza dell'elemento neutro**: Esiste un elemento $e \in G$ tale che per ogni $g \in G$ vale $e \cdot g = g \cdot e = g$.

(G3) **Esistenza dell'inverso**: Per ogni $g \in G$ esiste un elemento $g^{-1} \in G$ tale che $g \cdot g^{-1} = g^{-1} \cdot g = e$.

L'assioma di chiusura, secondo cui $f \cdot g \in G$ per ogni $f, g \in G$, è implicitamente garantito dalla definizione dell'operazione come funzione $G \times G \to G$.

Proposizione 1.2 (Unicità dell'identità). L'elemento neutro di un gruppo è unico.

Dimostrazione. Supponiamo che esistano due elementi neutri e ed e' in G. Allora, applicando la proprietà dell'elemento neutro, otteniamo:

$e = e \cdot e'$ (poiché e' è neutro) $e = e'$ (poiché e è neutro)

Quindi $e = e'$, dimostrando l'unicità. ∎

Proposizione 1.3 (Unicità dell'inverso). Per ogni elemento $g \in G$, l'inverso è unico.

Dimostrazione. Supponiamo che h e k siano entrambi inversi di g. Allora $g \cdot h = e$ e $g \cdot k = e$. Consideriamo:

$h = h \cdot e$ (per la proprietà dell'identità) $= h \cdot (g \cdot k)$ (poiché k è inverso di g) $= (h \cdot g) \cdot k$ (per l'associatività) $= e \cdot k$ (poiché h è inverso di g) $= k$ (per la proprietà dell'identità)

Quindi $h = k$, dimostrando l'unicità dell'inverso. ∎

Proposizione 1.4 (Legge di cancellazione). In un gruppo $(G, \cdot)$, valgono le leggi di cancellazione sinistra e destra:

(i) Se $a \cdot b = a \cdot c$, allora $b = c$ (cancellazione sinistra) (ii) Se $b \cdot a = c \cdot a$, allora $b = c$ (cancellazione destra)

Dimostrazione. (i) Supponiamo $a \cdot b = a \cdot c$. Moltiplicando a sinistra per a^{-1}:

$a^{-1} \cdot (a \cdot b) = a^{-1} \cdot (a \cdot c)$ $(a^{-1} \cdot a) \cdot b = (a^{-1} \cdot a) \cdot c$ (per associatività) $e \cdot b = e \cdot c$ $b = c$

La dimostrazione di (ii) è analoga, moltiplicando a destra per a^{-1}. ∎

Proposizione 1.5 (Inverso del prodotto). Per ogni $a, b \in G$, vale $(a \cdot b)^{-1} = b^{-1} \cdot a^{-1}$.

Dimostrazione. Dobbiamo verificare che $b^{-1} \cdot a^{-1}$ è effettivamente l'inverso di $a \cdot b$. Calcoliamo:

$(a \cdot b) \cdot (b^{-1} \cdot a^{-1}) = a \cdot (b \cdot b^{-1}) \cdot a^{-1}$ (per associatività) $= a \cdot e \cdot a^{-1} = a \cdot a^{-1} = e$

Analogamente si verifica che $(b^{-1} \cdot a^{-1}) \cdot (a \cdot b) = e$. ∎

Questa formula rivela la struttura "anti-omomorfa" dell'inversione: l'inversione di un prodotto inverte l'ordine dei fattori.

Sezione 1.2: Il Gruppo Simmetrico e le Sue Proprietà

Definizione 1.6 (Gruppo Simmetrico). Sia X un insieme. Il gruppo simmetrico su X, denotato $\mathrm{Sym}(X)$ o S_X, è l'insieme di tutte le biiezioni $\varphi: X \to X$ dotato dell'operazione di composizione di funzioni.

Teorema 1.7. $\mathrm{Sym}(X)$ forma un gruppo rispetto alla composizione di funzioni.

Dimostrazione. Dobbiamo verificare tutti gli assiomi di gruppo:

(G1) **Associatività**: La composizione di funzioni è associativa per definizione. Per ogni $f, g, h \in \mathrm{Sym}(X)$ e per ogni $x \in X$: $(f \circ g) \circ h = (f \circ g)[h(x)] = f[g(h(x))]$ $f \circ (g \circ h) = f[(g \circ h)(x)] = f[g(h(x))]$

(G2) **Identità**: La funzione identità $\mathrm{id}_X: X \to X$ definita da $\mathrm{id}_X(x) = x$ per ogni $x \in X$ è una biiezione e soddisfa: $(f \circ \mathrm{id}_X)(x) = f(\mathrm{id}_X(x)) = f(x)$ $(\mathrm{id}_X \circ f)(x) = \mathrm{id}_X(f(x)) = f(x)$

(G3) **Inverso**: Ogni biiezione $\varphi: X \to X$ possiede per definizione una funzione inversa $\varphi^{-1}: X \to X$ che è anch'essa una biiezione, e soddisfa: $\varphi \circ \varphi^{-1} = \mathrm{id}_X = \varphi^{-1} \circ \varphi$ ∎

Definizione 1.8 (Gruppo Simmetrico Finito). Quando X è un insieme finito con cardinalità n, denotiamo $\mathrm{Sym}(X)$ come S_n. Gli elementi di S_n sono chiamati permutazioni di n elementi.

Teorema 1.9 (Ordine del gruppo simmetrico). L'ordine (cardinalità) del gruppo S_n è $n!$.

Dimostrazione. Una permutazione $\sigma \in S_n$ è determinata dalla scelta di dove inviare ciascuno degli n elementi. Per il primo elemento abbiamo n scelte, per il secondo (poiché σ è iniettiva) abbiamo $n-1$ scelte, e così via. Il numero totale di permutazioni è quindi:

$n \cdot (n-1) \cdot (n-2) \cdot \ldots \cdot 2 \cdot 1 = n!$ ∎

Sezione 1.3: Rappresentazione Ciclica delle Permutazioni

Definizione 1.10 (Ciclo). Un k-ciclo è una permutazione $\sigma \in S_n$ che mappa ciclicamente k elementi distinti $a_1, a_2, \ldots, a_k$, cioè:

$\sigma(a_1) = a_2, \sigma(a_2) = a_3, \ldots, \sigma(a_{k-1}) = a_k, \sigma(a_k) = a_1$

e fissa tutti gli altri elementi. Denotiamo questo ciclo come (a_1 a_2 ... a_k).

Esempio 1.11. In S_5, il ciclo (1 3 4) rappresenta la permutazione: σ(1) = 3, σ(3) = 4, σ(4) = 1, σ(2) = 2, σ(5) = 5

Definizione 1.12 (Cicli disgiunti). Due cicli sono disgiunti se non hanno elementi comuni.

Teorema 1.13 (Decomposizione in cicli). Ogni permutazione in S_n può essere scritta come prodotto di cicli disgiunti, e questa decomposizione è unica a meno dell'ordine dei fattori.

Dimostrazione (sketch). Data una permutazione σ, consideriamo la relazione di equivalenza dove i ~ j se j = σ^k(i) per qualche k ∈ ℤ. Ogni classe di equivalenza forma un ciclo. Poiché le classi sono disgiunte e ogni elemento appartiene a esattamente una classe, otteniamo una decomposizione unica in cicli disgiunti. ∎

Esempio 1.14. Consideriamo la permutazione in S_7: σ(1) = 3, σ(2) = 2, σ(3) = 5, σ(4) = 7, σ(5) = 1, σ(6) = 4, σ(7) = 6

La decomposizione in cicli disgiunti è: σ = (1 3 5)(4 7 6)(2) = (1 3 5)(4 7 6)

dove il 1-ciclo (2) è omesso per convenzione.

Proposizione 1.15 (Ordine di un ciclo). L'ordine di un k-ciclo (il più piccolo intero positivo m tale che σ^m = e) è esattamente k.

Dimostrazione. Sia σ = (a_1 a_2 ... a_k). Allora: σ(a_i) = a_{i+1 mod k} σ²(a_i) = a_{i+2 mod k} ... σ^k(a_i) = a_{i+k mod k} = a_i

Quindi σ^k = e. Inoltre, per ogni m < k, esiste qualche i tale che σ^m(a_i) ≠ a_i, quindi k è il minimo. ∎

Proposizione 1.16 (Ordine di un prodotto di cicli disgiunti). Se σ = c_1 c_2 ... c_r è la decomposizione di σ in cicli disgiunti di lunghezze k_1, k_2, ..., k_r, allora l'ordine di σ è lcm(k_1, k_2, ..., k_r), dove lcm denota il minimo comune multiplo.

Dimostrazione. Poiché i cicli sono disgiunti, commutano: c_i · c_j = c_j · c_i. Quindi: σ^m = c_1^m c_2^m ... c_r^m = e se e solo se c_i^m = e per ogni i

Questo avviene se e solo se k_i divide m per ogni i, cioè m è multiplo comune di tutti i k_i. Il minimo tale m è lcm(k_1, ..., k_r). ∎

Sezione 1.4: Trasposizioni e Parità

Definizione 1.17 (Trasposizione). Una trasposizione è un 2-ciclo, cioè una permutazione che scambia due elementi e fissa tutti gli altri.

Teorema 1.18 (Generazione tramite trasposizioni). Ogni permutazione in S_n può essere espressa come prodotto di trasposizioni.

Dimostrazione. È sufficiente mostrare che ogni k-ciclo può essere scritto come prodotto di trasposizioni. Abbiamo:

(a_1 a_2 ... a_k) = (a_1 a_k)(a_1 a_{k-1}) ... (a_1 a_3)(a_1 a_2)

Verifichiamo: applicando da destra a sinistra, (a_1 a_2) manda a_1 → a_2, poi (a_1 a_3) manda a_2 → a_2, poi (a_1 a_4) manda a_2 → a_2, ..., fino a (a_1 a_k) che manda a_2 → a_2. Ma (a_1 a_2) manda a_2 → a_1, poi (a_1 a_3) manda a_1 → a_3, quindi complessivamente a_2 → a_3.

Analogamente si verifica per tutti gli elementi del ciclo. ∎

Definizione 1.19 (Segno di una permutazione). Il segno di una permutazione $\sigma \in S_n$ è definito come:

$$\operatorname{sgn}(\sigma) = \prod_{1 \le i < j \le n} \frac{\sigma(j) - \sigma(i)}{j - i}$$

Alternativamente, se σ si scrive come prodotto di k trasposizioni, definiamo $\operatorname{sgn}(\sigma) = (-1)^k$.

Lemma 1.20. La decomposizione di una permutazione in trasposizioni non è unica, ma la parità del numero di trasposizioni è un invariante.

Dimostrazione. Consideriamo il polinomio:

$$P(x_1, \ldots, x_n) = \prod_{1 \le i < j \le n} (x_j - x_i)$$

Una permutazione σ agisce sulle variabili: $\sigma \cdot P = P(x_{\sigma(1)}, \ldots, x_{\sigma(n)})$. Ogni trasposizione cambia il segno di esattamente un fattore, quindi:

$$\operatorname{sgn}(\sigma) = \frac{\sigma \cdot P}{P} \in \{\pm 1\}$$

Se $\sigma = \tau_1 \cdots \tau_k$ dove le τ_i sono trasposizioni: $\operatorname{sgn}(\sigma) = \operatorname{sgn}(\tau_1) \cdot \ldots \cdot \operatorname{sgn}(\tau_k) = (-1)^k$

Questo è ben definito indipendentemente dalla decomposizione. ∎

Definizione 1.21 (Gruppo Alterno). Il gruppo alterno A_n è il sottogruppo di S_n costituito dalle permutazioni pari ($\operatorname{sgn}(\sigma) = +1$).

Teorema 1.22. A_n è un sottogruppo di indice 2 in S_n, quindi $|A_n| = n!/2$.

Dimostrazione. La funzione $\operatorname{sgn}: S_n \to \{\pm 1\}$ è un omomorfismo di gruppi (dove $\{\pm 1\}$ ha struttura moltiplicativa). Il nucleo di questo omomorfismo è A_n. Per il primo teorema di isomorfismo:

$$S_n / A_n \cong \{\pm 1\}$$

Quindi $[S_n : A_n] = 2$, da cui $|A_n| = |S_n|/2 = n!/2$. ∎

Sezione 1.5: Azioni di Gruppo - Teoria Fondamentale

Definizione 1.23 (Azione sinistra di gruppo). Un'azione sinistra di un gruppo G su un insieme X è un omomorfismo φ: G → Sym(X). Equivalentemente, è una funzione G × X → X, denotata (g, x) ↦ g·x, tale che:

(A1) e·x = x per ogni x ∈ X (dove e è l'identità di G) (A2) g·(h·x) = (gh)·x per ogni g, h ∈ G e x ∈ X

Proposizione 1.24 (Equivalenza delle definizioni). Le due definizioni di azione di gruppo sono equivalenti.

Dimostrazione. Data φ: G → Sym(X), definiamo g·x = φ(g)(x). Allora:

e·x = φ(e)(x) = id_X(x) = x g·(h·x) = φ(g)(φ(h)(x)) = φ(g) ∘ φ(h) = φ(gh)(x) = (gh)·x

Inversamente, data una mappa G × X → X soddisfacente (A1) e (A2), per ogni g ∈ G definiamo φ(g): X → X mediante φ(g)(x) = g·x. Le condizioni (A1) e (A2) garantiscono che φ sia un omomorfismo. ∎

Definizione 1.25 (Orbita). Data un'azione di G su X, l'orbita di un elemento x ∈ X è:

O_x = {g·x : g ∈ G} = G·x

Definizione 1.26 (Stabilizzatore). Lo stabilizzatore (o gruppo d'isotropia) di x ∈ X è:

G_x = {g ∈ G : g·x = x}

Proposizione 1.27. Per ogni x ∈ X, lo stabilizzatore G_x è un sottogruppo di G.

Dimostrazione. Verifichiamo i tre assiomi:

(i) e·x = x, quindi e ∈ G_x.

(ii) Se g, h ∈ G_x, allora g·x = x e h·x = x. Quindi: (gh)·x = g·(h·x) = g·x = x quindi gh ∈ G_x.

(iii) Se g ∈ G_x, allora g·x = x. Applicando g^{-1} a entrambi i lati: $g^{-1}\cdot(g\cdot x) = g^{-1}\cdot x$ $(g^{-1}g)\cdot x = g^{-1}\cdot x$ $e\cdot x = g^{-1}\cdot x$ $x = g^{-1}\cdot x$ quindi $g^{-1} \in G_x$. ∎

Teorema 1.28 (Teorema dell'orbita-stabilizzatore). Sia G un gruppo finito agente su un insieme X, e sia x ∈ X. Allora:

|G| = |O_x| · |G_x|

Dimostrazione. Definiamo una mappa π: G → O_x mediante π(g) = g·x. Questa mappa è suriettiva per definizione di orbita.

Due elementi g, h ∈ G hanno la stessa immagine se e solo se g·x = h·x, cioè $h^{-1}g\cdot x = x$, ovvero $h^{-1}g \in G_x$, che equivale a g ∈ hG_x. Quindi le fibre di π sono esattamente le classi laterali sinistre di G_x.

Il numero di classi laterali (indice di G_x in G) è: [G : G_x] = |G| / |G_x|

Ma questo è anche uguale a |O_x| (il numero di elementi nell'orbita), quindi: |G| / |G_x| = |O_x| |G| = |O_x| · |G_x| ∎

Corollario 1.29. Se G è finito, allora |O_x| divide |G| per ogni x ∈ X.

Corollario 1.30 (Formula delle classi). Sia X un insieme finito con azione di gruppo finito G. Scegliendo un sistema completo di rappresentanti {x_1, ..., x_k} delle orbite distinte:

|X| = Σ_{i=1}^k |O_{x_i}| = Σ_{i=1}^k |G| / |G_{x_i}|

Sezione 1.6: Lemma di Burnside e Applicazioni Combinatoriche

Teorema 1.31 (Lemma di Burnside). Sia G un gruppo finito agente su un insieme finito X. Il numero di orbite distinte è:

N = (1/|G|) Σ_{g∈G} |X^g|

dove X^g = {x ∈ X : g·x = x} è l'insieme dei punti fissi di g.

Dimostrazione. Consideriamo l'insieme: S = {(g, x) ∈ G × X : g·x = x}

Contiamo |S| in due modi diversi:

Primo modo: Per ogni g ∈ G, il numero di x tali che g·x = x è |X^g|. Quindi: |S| = Σ_{g∈G} |X^g|

Secondo modo: Per ogni x ∈ X, il numero di g tali che g·x = x è |G_x|. Quindi: |S| = Σ_{x∈X} |G_x|

Ora partizioniamo X in orbite: X = O_{x_1} ⊔ ... ⊔ O_{x_k}. Allora: |S| = Σ_{i=1}^k Σ_{x∈O_{x_i}} |G_x|

Per il teorema dell'orbita-stabilizzatore, |G_x| = |G| / |O_x|. Tutti gli elementi nella stessa orbita hanno stabilizzatori coniugati, quindi della stessa cardinalità. Quindi:

|S| = Σ_{i=1}^k |O_{x_i}| · |G_{x_i}| = Σ_{i=1}^k |O_{x_i}| · (|G| / |O_{x_i}|) = Σ_{i=1}^k |G| = k|G|

dove k è il numero di orbite. Uguagliando le due espressioni per |S|:

Σ_{g∈G} |X^g| = k|G|

k = (1/|G|) Σ_{g∈G} |X^g| ∎

Esempio 1.32 (Colorazioni di collane). Consideriamo il problema di contare collane circolari con n perle, ciascuna colorabile in uno di m colori, dove due collane sono considerate identiche se una può essere ottenuta dall'altra tramite rotazione.

Il gruppo G = Z_n (gruppo ciclico di ordine n) agisce sull'insieme X di tutte le m^n colorazioni possibili tramite rotazione. Una rotazione di k posizioni fissa una colorazione se e solo se la colorazione è periodica con periodo divisore di k.

Più precisamente, una rotazione di k posizioni ha come punti fissi le colorazioni periodiche con periodo gcd(n, k). Il numero di tali colorazioni è m^{gcd(n,k)}.

Applicando il lemma di Burnside:

N = (1/n) Σ_{k=0}^{n-1} m^{gcd(n,k)}

Per esempio, con n = 4 perle e m = 2 colori:

- Rotazione di 0: tutti i 2^4 = 16 colorazioni sono fisse
- Rotazione di 1: solo colorazioni tutte dello stesso colore: 2^1 = 2
- Rotazione di 2: colorazioni con periodo 2: 2^2 = 4
- Rotazione di 3: solo colorazioni tutte dello stesso colore: 2^1 = 2

N = (1/4)(16 + 2 + 4 + 2) = 24/4 = 6

Le 6 collane distinte sono: (0,0,0,0), (1,1,1,1), (0,0,0,1), (0,0,1,1), (0,1,0,1), (0,1,1,1) dove 0 e 1 rappresentano i due colori.

Sezione 1.7: Il Teorema di Cayley e le Azioni Regolari

Teorema 1.33 (Teorema di Cayley). Ogni gruppo G è isomorfo a un sottogruppo del gruppo simmetrico Sym(G).

Dimostrazione completa. Costruiamo esplicitamente l'isomorfismo. Per ogni $g \in G$, definiamo la mappa di traslazione sinistra:

$\lambda_g: G \to G$, $\lambda_g(h) = gh$

Passo 1: Dimostriamo che λ_g è una biiezione per ogni $g \in G$.

Iniettività: Se $\lambda_g(h_1) = \lambda_g(h_2)$, allora $gh_1 = gh_2$. Per la legge di cancellazione sinistra (Proposizione 1.4), $h_1 = h_2$.

Suriettività: Per ogni $k \in G$, vogliamo trovare h tale che $\lambda_g(h) = k$, cioè $gh = k$. Ponendo $h = g^{-1}k$ otteniamo $\lambda_g(g^{-1}k) = g(g^{-1}k) = (gg^{-1})k = ek = k$.

Quindi $\lambda_g \in Sym(G)$ per ogni $g \in G$.

Passo 2: Definiamo la mappa $\lambda: G \to Sym(G)$ mediante $\lambda(g) = \lambda_g$. Dimostriamo che λ è un omomorfismo.

Per ogni $g, h \in G$ e ogni $x \in G$: $\lambda(gh)(x) = \lambda_{gh}(x) = (gh)x = g(hx) = \lambda_g(hx) = \lambda_g(\lambda_h(x)) = (\lambda_g \circ \lambda_h)(x)$

Quindi $\lambda(gh) = \lambda_g \circ \lambda_h = \lambda(g) \circ \lambda(h)$, provando che λ è un omomorfismo.

Passo 3: Dimostriamo che λ è iniettivo.

Se $\lambda(g) = \lambda(h)$, allora $\lambda_g = \lambda_h$ come funzioni. In particolare, valutando nell'elemento neutro: $\lambda_g(e) = \lambda_h(e)$ $ge = he$ $g = h$

Quindi $\ker(\lambda) = \{e\}$, da cui λ è iniettivo.

Passo 4: Per il primo teorema di isomorfismo, $G \cong \mathrm{im}(\lambda)$, dove $\mathrm{im}(\lambda)$ è un sottogruppo di $\mathrm{Sym}(G)$. ∎

Definizione 1.34 (Rappresentazione regolare sinistra). L'immagine $\lambda(G) = \{\lambda_g : g \in G\} \subseteq \mathrm{Sym}(G)$ è chiamata rappresentazione regolare sinistra di G.

Corollario 1.35. Ogni gruppo finito di ordine n è isomorfo a un sottogruppo di S_n.

Osservazione 1.36. Il teorema di Cayley è costruttivo e fornisce una realizzazione concreta di ogni gruppo astratto come gruppo di permutazioni. Tuttavia, la rappresentazione regolare può essere altamente ridondante: per esempio, il gruppo ciclico Z_n di ordine n viene rappresentato come sottogruppo di S_n che ha ordine $n!$, sprecando enorme spazio.

Definizione 1.37 (Azione transitiva). Un'azione di G su X è transitiva se esiste una sola orbita, cioè per ogni $x, y \in X$ esiste $g \in G$ tale che $g \cdot x = y$.

Proposizione 1.38. L'azione regolare sinistra di G su sé stesso è transitiva.

Dimostrazione. Per ogni $h, k \in G$, l'elemento $g = kh^{-1}$ soddisfa $\lambda_g(h) = gh = (kh^{-1})h = k$. Quindi l'orbita di qualsiasi elemento è tutto G. ∎

Proposizione 1.39. L'azione regolare sinistra è libera, cioè ogni elemento diverso dall'identità non ha punti fissi: per $g \neq e$, l'insieme dei punti fissi $G^g = \{h \in G : gh = h\}$ è vuoto.

Dimostrazione. Se $gh = h$ per qualche $h \in G$, moltiplicando a destra per h^{-1} otteniamo $g = e$. ∎

Sezione 1.8: Sottogruppi e Teorema di Lagrange

Definizione 1.40 (Sottogruppo). Un sottoinsieme $H \subseteq G$ è un sottogruppo di G se H forma esso stesso un gruppo rispetto all'operazione ristretta da G.

Proposizione 1.41 (Criterio per sottogruppi). Un sottoinsieme non vuoto $H \subseteq G$ è un sottogruppo se e solo se:

(i) Per ogni $h_1, h_2 \in H$, si ha $h_1 h_2 \in H$ (chiusura) (ii) Per ogni $h \in H$, si ha $h^{-1} \in H$ (esistenza dell'inverso)

Dimostrazione. La condizione è chiaramente necessaria. Per sufficienza: la chiusura è garantita da (i). Poiché H è non vuoto, esiste $h \in H$. Per (ii), $h^{-1} \in H$. Per (i), $hh^{-1} = e \in H$, garantendo l'esistenza dell'identità. L'associatività è ereditata da G. ∎

Corollario 1.42 (Criterio in un passo). $H \subseteq G$ è un sottogruppo se e solo se H è non vuoto e per ogni $h_1, h_2 \in H$ si ha $h_1 h_2^{-1} \in H$.

Definizione 1.43 (Classe laterale sinistra). Sia H un sottogruppo di G e sia $g \in G$. La classe laterale sinistra di H contenente g è:

$gH = \{gh : h \in H\}$

Analogamente, la classe laterale destra è $Hg = \{hg : h \in H\}$.

Proposizione 1.44 (Proprietà delle classi laterali). Sia H un sottogruppo di G.

(i) Ogni elemento $g \in G$ appartiene a esattamente una classe laterale sinistra (quella gH). (ii) Due classi laterali gH e kH sono o disgiunte o identiche. (iii) Se $gH = kH$, allora $k \in gH$, cioè $k = gh$ per qualche $h \in H$.

Dimostrazione. (i) Poiché $e \in H$, abbiamo $g = ge \in gH$.

(ii) Supponiamo che $gH \cap kH \neq \varnothing$. Allora esiste $x \in gH \cap kH$, quindi $x = gh_1 = kh_2$ per qualche $h_1, h_2 \in H$. Da $gh_1 = kh_2$ otteniamo $g = kh_2h_1^{-1}$. Per ogni $h \in H$: $gh = (kh_2h_1^{-1})h = k(h_2h_1^{-1}h) \in kH$ poiché $h_2h_1^{-1}h \in H$. Quindi $gH \subseteq kH$. Analogamente $kH \subseteq gH$, quindi $gH = kH$.

(iii) Se $gH = kH$, allora $k = ke \in kH = gH$. ∎

Lemma 1.45. Tutte le classi laterali sinistre di H in G hanno la stessa cardinalità di H.

Dimostrazione. La mappa $\varphi: H \to gH$ definita da $\varphi(h) = gh$ è una biiezione:

Iniettività: Se $gh_1 = gh_2$, per cancellazione $h_1 = h_2$.

Suriettività: Ogni elemento di gH è per definizione della forma gh per qualche $h \in H$. ∎

Teorema 1.46 (Teorema di Lagrange). Sia G un gruppo finito e H un sottogruppo di G. Allora |H| divide |G|, e più precisamente:

$$|G| = [G : H] \cdot |H|$$

dove $[G : H]$ denota l'indice di H in G (il numero di classi laterali sinistre distinte).

Dimostrazione. Le classi laterali sinistre di H formano una partizione di G (dalla Proposizione 1.44). Se ci sono k classi laterali distinte g_1H, ..., g_kH, e ciascuna ha cardinalità |H| (per il Lemma 1.45), allora:

$$|G| = |g_1H| + ... + |g_kH| = k|H| = [G : H]|H|$$ ∎

Corollario 1.47. L'ordine di ogni elemento di un gruppo finito divide l'ordine del gruppo.

Dimostrazione. Sia $g \in G$ e sia $n = \text{ord}(g)$ l'ordine di g, cioè il più piccolo intero positivo tale che g^n = e. Il sottogruppo ciclico generato da g è $H = \langle g \rangle = \{e, g, g^2, ..., g^{n-1}\}$, che ha ordine n. Per il teorema di Lagrange, n divide |G|. ∎

Corollario 1.48. Per ogni gruppo finito G e ogni $g \in G$, si ha $g^{|G|} = e$.

Dimostrazione. Sia $n = \text{ord}(g)$. Per il Corollario 1.47, n divide |G|, quindi $|G| = nk$ per qualche intero k. Allora: $g^{|G|} = g^{nk} = (g^n)^k = e^k = e$ ∎

Sezione 1.9: Gruppi Quoziente e Sottogruppi Normali

Definizione 1.49 (Sottogruppo normale). Un sottogruppo N di G è normale, denotato $N \trianglelefteq G$, se:

$gNg^{-1} = N$ per ogni $g \in G$

Equivalentemente, $gN = Ng$ per ogni $g \in G$ (le classi laterali sinistre e destre coincidono).

Esempio 1.50. Il nucleo di qualsiasi omomorfismo $\varphi: G \to H$ è un sottogruppo normale:

$\ker(\varphi) = \{g \in G : \varphi(g) = e_H\}$

Verifica: Per ogni $g \in G$ e ogni $n \in \ker(\varphi)$: $\varphi(gng^{-1}) = \varphi(g)\varphi(n)\varphi(g^{-1}) = \varphi(g)e_H\varphi(g)^{-1} = \varphi(g)\varphi(g)^{-1} = e_H$

quindi $gng^{-1} \in \ker(\varphi)$. ∎

Teorema 1.51 (Gruppo quoziente). Sia $N \trianglelefteq G$ un sottogruppo normale. L'insieme delle classi laterali $G/N = \{gN : g \in G\}$ forma un gruppo rispetto all'operazione:

$(gN) \cdot (hN) = (gh)N$

Dimostrazione. **Buona definizione**: Dobbiamo verificare che l'operazione non dipende dai rappresentanti scelti. Supponiamo $g_1N = g_2N$ e $h_1N = h_2N$. Allora $g_1 = g_2n_1$ e $h_1 = h_2n_2$ per qualche $n_1, n_2 \in N$. Calcoliamo:

$g_1h_1N = (g_2n_1)(h_2n_2)N = g_2(n_1h_2)n_2N$

Poiché N è normale, $n_1h_2 = h_2n_3$ per qualche $n_3 \in N$. Quindi: $g_1h_1N = g_2h_2n_3n_2N = g_2h_2N$

dove abbiamo usato che $n_3n_2 \in N$.

Assiomi di gruppo:

(G1) *Associatività*: $\underline{(g_1N)(g_2N)} = (g_1g_2N)(g_3N) = (g_1g_2g_3)N$ $(g_1N)[(g_2N)(g_3N)] = (g_1N)(g_2g_3N) = (g_1g_2g_3)N$

(G2) *Identità*: $eN = N$ è l'identità, poiché $(gN)(eN) = geN = gN$ e $(eN)(gN) = egN = gN$.

(G3) *Inverso*: L'inverso di gN è $g^{-1}N$, poiché: $(gN)(g^{-1}N) = gg^{-1}N = eN = N$ $(g^{-1}N)(gN) = g^{-1}gN = eN = N$ ∎

Teorema 1.52 (Primo teorema di isomorfismo). Sia $\varphi: G \to H$ un omomorfismo di gruppi. Allora:

(i) $\ker(\varphi)$ è un sottogruppo normale di G (ii) $\text{im}(\varphi) = \varphi(G)$ è un sottogruppo di H (iii) $G/\ker(\varphi) \cong \text{im}(\varphi)$

L'isomorfismo è dato da $\bar{\varphi}: G/\ker(\varphi) \to \text{im}(\varphi)$, $\bar{\varphi}(g \cdot \ker(\varphi)) = \varphi(g)$.

Dimostrazione. (i) Già dimostrato nell'Esempio 1.50.

(ii) Dobbiamo verificare che $\text{im}(\varphi)$ è chiuso e contiene gli inversi. Se $\varphi(g_1), \varphi(g_2) \in \text{im}(\varphi)$, allora $\varphi(g_1)\varphi(g_2) = \varphi(g_1g_2) \in \text{im}(\varphi)$. Se $\varphi(g) \in \text{im}(\varphi)$, allora $\varphi(g)^{-1} = \varphi(g^{-1}) \in \text{im}(\varphi)$.

(iii) **Buona definizione di $\bar{\varphi}$**: Se $g_1 \cdot \ker(\varphi) = g_2 \cdot \ker(\varphi)$, allora $g_2^{-1}g_1 \in \ker(\varphi)$, quindi $\varphi(g_2^{-1}g_1) = e_H$. Da qui: $\varphi(g_2)^{-1}\varphi(g_1) = e_H \ \varphi(g_1) = \varphi(g_2)$

quindi $\bar{\varphi}$ è ben definita.

Omomorfismo: $\bar{\varphi}[(g_1 \cdot \ker(\varphi))(g_2 \cdot \ker(\varphi))] = \bar{\varphi}(g_1g_2 \cdot \ker(\varphi)) = \varphi(g_1g_2) = \varphi(g_1)\varphi(g_2) = \bar{\varphi}(g_1 \cdot \ker(\varphi))\bar{\varphi}(g_2 \cdot \ker(\varphi))$

Iniettività: Se $\bar{\varphi}(g \cdot \ker(\varphi)) = e_H$, allora $\varphi(g) = e_H$, quindi $g \in \ker(\varphi)$, ovvero $g \cdot \ker(\varphi) = \ker(\varphi)$ (l'identità in $G/\ker(\varphi)$).

Suriettività: Per ogni $y \in \text{im}(\varphi)$, esiste $g \in G$ con $\varphi(g) = y$, quindi $\bar{\varphi}(g \cdot \ker(\varphi)) = y$. ∎

Sezione 1.10: Il Teorema di Corrispondenza

Teorema 1.53 (Teorema di corrispondenza o quarto teorema di isomorfismo). Sia $N \trianglelefteq G$ un sottogruppo normale. Esiste una corrispondenza biunivoca tra:

$\{\text{sottogruppi di } G \text{ contenenti } N\} \leftrightarrow \{\text{sottogruppi di } G/N\}$

data da $H \mapsto H/N$ e inversamente $K \mapsto \pi^{-1}(K)$, dove $\pi: G \to G/N$ è la proiezione canonica $\pi(g) = gN$.

Questa corrispondenza preserva:

- Relazioni di inclusione: $H_1 \subseteq H_2 \Leftrightarrow H_1/N \subseteq H_2/N$
- Indici: $[H_2 : H_1] = [H_2/N : H_1/N]$
- Normalità: $H \trianglelefteq G \Leftrightarrow H/N \trianglelefteq G/N$

Dimostrazione (sketch). La mappa $\Phi: \{H \geq N\} \to \{K \leq G/N\}$ definita da $\Phi(H) = \pi(H) = H/N$ è ben definita: se $N \subseteq H$, allora H/N è un sottogruppo di G/N.

La mappa inversa $\Psi: \{K \leq G/N\} \to \{H \geq N\}$ è data da $\Psi(K) = \pi^{-1}(K)$. Verifichiamo che sono inverse:

$\Psi(\Phi(H)) = \pi^{-1}(\pi(H)) = \pi^{-1}(H/N) = H$ (poiché $N \subseteq H$)

$\Phi(\Psi(K)) = \pi(\pi^{-1}(K)) = K$ (proprietà generale delle proiezioni)

Le proprietà di preservazione seguono dalle proprietà degli omomorfismi. ∎

Esempio 1.54. Consideriamo $G = \mathbb{Z}$ e $N = n\mathbb{Z}$ per qualche $n > 0$. I sottogruppi di $\mathbb{Z}/n\mathbb{Z}$ corrispondono ai sottogruppi di $\mathbb{Z}$ contenenti $n\mathbb{Z}$. I sottogruppi di $\mathbb{Z}$ sono tutti della forma $m\mathbb{Z}$. Quelli contenenti $n\mathbb{Z}$ sono precisamente quelli dove m divide n. Quindi i sottogruppi di $\mathbb{Z}/n\mathbb{Z}$ corrispondono ai divisori di n.

Ad esempio, per Z/12Z:

- Divisori di 12: 1, 2, 3, 4, 6, 12
- Sottogruppi di Z/12Z: ⟨1⟩ = Z/12Z, ⟨2⟩, ⟨3⟩, ⟨4⟩, ⟨6⟩, ⟨0⟩ = {0}
- Ordini: 12, 6, 4, 3, 2, 1

Sezione 1.11: Prodotti Diretti e Semidiretti

Definizione 1.55 (Prodotto diretto esterno). Siano G_1 e G_2 gruppi. Il prodotto diretto esterno è:

$G_1 \times G_2 = \{(g_1, g_2) : g_1 \in G_1, g_2 \in G_2\}$

con operazione componente per componente: $(g_1, g_2) \cdot (h_1, h_2) = (g_1h_1, g_2h_2)$

Proposizione 1.56. $G_1 \times G_2$ è un gruppo di ordine $|G_1| \cdot |G_2|$.

Definizione 1.57 (Prodotto diretto interno). Diciamo che G è prodotto diretto interno di due sottogruppi normali $N, H \trianglelefteq G$ se:

(i) $NH = G$ (cioè ogni $g \in G$ si scrive come $g = nh$ con $n \in N, h \in H$) (ii) $N \cap H = \{e\}$ (iii) Ogni elemento di N commuta con ogni elemento di H

In questo caso scriviamo $G \cong N \times H$.

Proposizione 1.58. Se $G = N \times H$ (prodotto diretto interno), allora $G \cong N \times H$ (prodotto diretto esterno) tramite la mappa $\varphi: N \times H \to G$, $\varphi(n, h) = nh$.

Definizione 1.59 (Prodotto semidiretto). Siano N e H due gruppi e sia $\varphi: H \to \mathrm{Aut}(N)$ un omomorfismo nel gruppo degli automorfismi di N. Il prodotto semidiretto $N \rtimes_\varphi H$ è l'insieme $N \times H$ con operazione:

$(n_1, h_1) \cdot (n_2, h_2) = (n_1 \cdot \varphi(h_1)(n_2), h_1h_2)$

dove $\varphi(h_1)(n_2)$ denota l'azione dell'automorfismo $\varphi(h_1)$ su n_2.

Proposizione 1.60. $N \rtimes_\varphi H$ è un gruppo. L'identità è (e_N, e_H) e l'inverso di (n, h) è $(\varphi(h^{-1})(n^{-1}), h^{-1})$.

Esempio 1.61 (Gruppo diedrale). Il gruppo diedrale D_n, gruppo delle simmetrie di un poligono regolare a n lati, può essere rappresentato come prodotto semidiretto:

$D_n \cong Z_n \rtimes Z_2$

dove Z_n rappresenta le rotazioni e $Z_2 = \{1, r\}$ rappresenta le riflessioni, con l'azione $\varphi: Z_2 \to \mathrm{Aut}(Z_n)$ data da $\varphi(1) = \mathrm{id}$ e $\varphi(r)(k) = -k$ (inversione).

La struttura è: $D_n = \{(k, \varepsilon) : k \in Z_n, \varepsilon \in \{0,1\}\}$

con operazione: $(k_1, \varepsilon_1) \cdot (k_2, \varepsilon_2) = (k_1 + (-1)^{\{\varepsilon_1\}}k_2, \varepsilon_1 + \varepsilon_2 \bmod 2)$

Il gruppo diedrale ha ordine 2n e presentazione:

$D_n = \langle r, s \mid r^n = s^2 = e, srs = r^{-1} \rangle$

dove r è la rotazione di 2π/n e s è una riflessione.

Sezione 1.12: Gruppi di Lie - Geometria Differenziale e Struttura Algebrica

1.12.1 Definizioni Fondamentali

Definizione 1.62 (Gruppo di Lie). Un gruppo di Lie è una varietà differenziabile G dotata di una struttura di gruppo tale che le mappe:

$\mu: G \times G \to G$, $\mu(g, h) = gh$ (moltiplicazione) $\iota: G \to G$, $\iota(g) = g^{-1}$ (inversione)

sono entrambe lisce (C^∞).

Esempio 1.63 (Gruppo generale lineare). Il gruppo $GL_n(\mathbb{R})$ delle matrici invertibili $n \times n$ a coefficienti reali è un gruppo di Lie di dimensione n^2. Può essere visto come sottoinsieme aperto di $\mathbb{R}^{n^2}$:

$GL_n(\mathbb{R}) = \{A \in Mat_n(\mathbb{R}) : \det(A) \neq 0\}$

La moltiplicazione $\mu(A, B) = AB$ è polinomiale nelle entrate, quindi liscia. L'inversione $\iota(A) = A^{-1}$ è data dalla formula di Cramer:

$(A^{-1})_{ij} = (-1)^{i+j} \det(M_{ji}) / \det(A)$

dove M_{ji} è il minore ottenuto cancellando la j-esima riga e i-esima colonna. Poiché $\det(A) \neq 0$ su $GL_n(\mathbb{R})$, questa è una funzione liscia.

Esempio 1.64 (Gruppo ortogonale). Il gruppo ortogonale $O(n) = \{A \in GL_n(\mathbb{R}) : A^T A = I\}$ è un gruppo di Lie compatto di dimensione $n(n-1)/2$. È definito come sottovarietà di $GL_n(\mathbb{R})$ dalle $n(n+1)/2$ equazioni:

$\sum_k A_{ki} A_{kj} = \delta_{ij}$ per $1 \leq i \leq j \leq n$

Il gruppo speciale ortogonale $SO(n) = \{A \in O(n) : \det(A) = 1\}$ è la componente connessa contenente l'identità.

Esempio 1.65 (Gruppo delle rotazioni). $SO(2)$ è il gruppo delle rotazioni nel piano, parametrizzato da un angolo $\theta \in [0, 2\pi)$:

$$R(\theta) = \begin{bmatrix} \cos\theta & -\sin\theta \\ \sin\theta & \cos\theta \end{bmatrix}$$

$SO(2)$ è diffeomorfo al cerchio $S^1 \subset \mathbb{C}$ tramite la mappa $\exp: \mathbb{R} \to S^1$, $\exp(\theta) = e^{i\theta} = \cos\theta + i \sin\theta$.

1.12.2 Spazio Tangente e Algebra di Lie

Definizione 1.66 (Spazio tangente all'identità). Sia G un gruppo di Lie. Lo spazio tangente all'identità e è denotato:

$\mathfrak{g} = T_e G = \{\gamma'(0) : \gamma: (-\varepsilon, \varepsilon) \to G, \gamma(0) = e, \gamma \text{ è liscia}\}$

Proposizione 1.67. $\mathfrak{g}$ è uno spazio vettoriale di dimensione $\dim(\mathfrak{g}) = \dim(G)$.

Definizione 1.68 (Parentesi di Lie). Per ogni $X, Y \in \mathfrak{g}$, definiamo la parentesi di Lie $[X, Y] \in \mathfrak{g}$ come segue. Siano $\gamma_X(t)$ e $\gamma_Y(s)$ curve lisce in G con $\gamma_X(0) = \gamma_Y(0) = e$, $\gamma'_X(0) = X$, $\gamma'_Y(0) = Y$. Consideriamo il commutatore:

$c(t, s) = \gamma_X(t)\gamma_Y(s)\gamma_X(t)^{-1}\gamma_Y(s)^{-1}$

Allora: $[X, Y] = \partial^2/\partial t \partial s\, c(t, s)|_{t=s=0}$

Proposizione 1.69 (Calcolo esplicito della parentesi di Lie). Per matrici $A, B \in \mathrm{Mat}_n(\mathbb{R})$, se consideriamo le curve $\gamma_A(t) = e^{tA}$ e $\gamma_B(s) = e^{sB}$, allora:

$[A, B] = AB - BA$

cioè la parentesi di Lie coincide con il commutatore matriciale.

Dimostrazione. Calcoliamo il commutatore:

$c(t, s) = e^{tA}e^{sB}e^{-tA}e^{-sB}$

Usando la formula di Baker-Campbell-Hausdorff troncata:

$e^{tA}e^{sB} = \exp(tA + sB + ts/2[A, B] + O(t^2, s^2, ts^2))$

$e^{tA}e^{sB}e^{-tA}e^{-sB} = \exp(ts[A, B] + O(t^2 s, ts^2))$

Derivando rispetto a t e poi a s in $t = s = 0$:

$\partial^2/\partial t \partial s \exp(ts[A, B])|_{t=s=0} = [A, B]$ ∎

Teorema 1.70 (Proprietà della parentesi di Lie). La parentesi $[\cdot, \cdot]: \mathfrak{g} \times \mathfrak{g} \to \mathfrak{g}$ soddisfa:

(L1) **Bilinearità**: $[aX + bY, Z] = a[X, Z] + b[Y, Z]$ per $a, b \in \mathbb{R}$ (L2) **Antisimmetria**: $[X, Y] = -[Y, X]$ (L3) **Identità di Jacobi**: $[[X, Y], Z] + [[Y, Z], X] + [[Z, X], Y] = 0$

Una coppia $(\mathfrak{g}, [\cdot, \cdot])$ soddisfacente (L1)-(L3) è chiamata algebra di Lie.

Dimostrazione dell'identità di Jacobi per matrici. Espandiamo:

$[[A, B], C] = [AB - BA, C] = (AB - BA)C - C(AB - BA) = ABC - BAC - CAB + CBA$

$[[B, C], A] = (BC - CB)A - A(BC - CB) = BCA - CBA - ABC + ACB$

$[[C, A], B] = (CA - AC)B - B(CA - AC) = CAB - ACB - BCA + BAC$

Sommando le tre espressioni, tutti i termini si cancellano:

[[A, B], C] + [[B, C], A] + [[C, A], B] = 0 ∎

1.12.3 Mappa Esponenziale

Definizione 1.71 (Mappa esponenziale). Per ogni $X \in \mathfrak{g}$, definiamo $\exp(X) \in G$ come segue. Sia $\gamma_X: \mathbb{R} \to G$ l'unica curva liscia soddisfacente:

$\gamma_X(0) = e$ e $\gamma'_X(t) = d(L_{\gamma_X(t)})_e(X)$ (equazione differenziale)

dove $L_g: G \to G$ è la traslazione sinistra $L_g(h) = gh$. Allora:

$\exp(X) = \gamma_X(1)$

Proposizione 1.72. Per gruppi matriciali (sottogruppi di $GL_n(\mathbb{R})$), la mappa esponenziale coincide con l'esponenziale matriciale:

$\exp(A) = \sum_{k=0}^{\infty} A^k/k! = I + A + A^2/2! + A^3/3! + \ldots$

Dimostrazione (sketch). La curva $\gamma(t) = e^{tA}$ soddisfa:

$\gamma(0) = e^0 = I$ $d\gamma/dt = Ae^{tA} = A\gamma(t)$

che è l'equazione differenziale definente per la mappa esponenziale con condizione iniziale $\gamma(0) = I$ e velocità iniziale $\gamma'(0) = A$. ∎

Teorema 1.73 (Proprietà della mappa esponenziale).

(i) $\exp: \mathfrak{g} \to G$ è liscia (ii) $\exp(0) = e$ (iii) $d(\exp)_0 = id_{\mathfrak{g}}$ (il differenziale in 0 è l'identità) (iv) $\exp((t + s)X) = \exp(tX)\exp(sX)$ per ogni $X \in \mathfrak{g}$ e $t, s \in \mathbb{R}$ (v) $\exp(-X) = \exp(X)^{-1}$

Dimostrazione. (iv) Sia $\gamma(t) = \exp(tX)$. Allora γ soddisfa $\gamma'(t) = d(L_{\gamma(t)})_e(X)$. La composizione:

$h(t) = \gamma(s)\gamma(t) = \exp(sX)\exp(tX)$

soddisfa: $h'(t) = d(L_{\gamma(s)})_{\gamma(t)}(\gamma'(t)) = d(L_{h(t)})_e(X)$

con condizione iniziale $h(0) = \gamma(s)\gamma(0) = \gamma(s)e = \gamma(s) = \exp(sX)$. Per unicità della soluzione dell'equazione differenziale:

$h(t) = \gamma(s + t)$

In particolare, $h(t) = \exp(sX)\exp(tX) = \exp((s + t)X)$. ∎

Teorema 1.74 (Diffeomorfismo locale). La mappa esponenziale $\exp: \mathfrak{g} \to G$ è un diffeomorfismo da un intorno di 0 in $\mathfrak{g}$ su un intorno di e in G.

Dimostrazione. Per il teorema della funzione inversa, è sufficiente mostrare che $d(\exp)_0$ è un isomorfismo lineare. Ma per la proprietà (iii), $d(\exp)_0 = id_{\mathfrak{g}}$, che è chiaramente un isomorfismo. ∎

Osservazione 1.75. La mappa esponenziale NON è in generale globalmente suriettiva. Ad esempio, per SO(3):

- exp: so(3) → SO(3) è suriettiva (ogni rotazione è esponenziale di qualche elemento dell'algebra)
- Per SL_2(ℝ), esistono matrici in SL_2(ℝ) che non sono esponenziali

Esempio 1.76 (Esponenziale per SO(3)). L'algebra di Lie so(3) consiste di matrici antisimmetriche 3×3:

so(3) = {A ∈ Mat_3(ℝ) : A^T = -A}

Ogni matrice antisimmetrica può essere scritta come:

A = [0 -ω₃ ω₂] [ω₃ 0 -ω₁] [-ω₂ ω₁ 0]

Identificando A con il vettore ω = (ω₁, ω₂, ω₃), la parentesi di Lie diventa il prodotto vettoriale:

[ω, ω'] ↔ ω × ω'

L'esponenziale exp(A) rappresenta una rotazione attorno all'asse ω di angolo θ = ||ω||. La formula di Rodrigues fornisce:

exp(A) = I + (sin θ)/θ A + (1 - cos θ)/θ² A²

dove θ = ||ω|| = √(ω₁² + ω₂² + ω₃²).

1.12.4 Formula di Baker-Campbell-Hausdorff

Teorema 1.77 (Formula di Baker-Campbell-Hausdorff). Per X, Y ∈ $\mathfrak{g}$ sufficientemente piccoli, esiste Z ∈ $\mathfrak{g}$ tale che:

exp(X)exp(Y) = exp(Z)

dove Z è dato dalla serie:

Z = X + Y + 1/2[X, Y] + 1/12[X, [X, Y]] + 1/12[Y, [Y, X]] - 1/24[Y, [X, [X, Y]]] - 1/720[Y, [Y, [Y, [Y, X]]]] + ...

In particolare, i primi termini sono:

Z = X + Y + 1/2[X, Y] + 1/12([X, [X, Y]] + [Y, [Y, X]]) + O(||X||⁴, ||Y||⁴)

Dimostrazione (primi termini). Usiamo l'espansione in serie:

exp(X)exp(Y) = (I + X + X²/2 + X³/6 + ...)(I + Y + Y²/2 + Y³/6 + ...)

= I + X + Y + (X²/2 + XY + Y²/2) + O(3)

dove O(3) denota termini di grado ≥ 3.

D'altra parte:

$\exp(Z) = I + Z + Z^2/2 + Z^3/6 + \ldots$

Uguagliando i termini di grado 1: $Z = X + Y + Z_2 + Z_3 + \ldots$

dove Z_k ha grado k. Uguagliando i termini di grado 2:

$Z_2 + Z_2^2/2 = X^2/2 + XY + Y^2/2$

Usando $Z_2^2/2$ è di ordine ≥ 4: $Z_2 = X^2/2 + XY + Y^2/2$

Ma questo deve essere combinato con il requisito che $Z \in \mathfrak{g}$, quindi scriviamo:

$Z_2 = 1/2(X^2 + 2XY + Y^2) - 1/2(X^2 + Y^2)$

Il primo termine è $(X + Y)^2/2$, e vogliamo estrarre la parte che sopravvive nell'algebra di Lie. La parte rilevante è:

$Z_2 = XY - YX/2 = 1/2[X, Y]$

Procedendo con calcoli più elaborati per i termini superiori si ottiene la formula completa. ∎

Corollario 1.78. Se X e Y commutano ($[X, Y] = 0$), allora:

$\exp(X)\exp(Y) = \exp(X + Y)$

1.12.5 Rivestimenti Universali e Gruppi Semplicemente Connessi

Definizione 1.79 (Rivestimento). Una mappa liscia $\pi: \tilde{G} \to G$ tra gruppi di Lie è un rivestimento se è un omomorfismo suriettivo e un rivestimento topologico, cioè per ogni $g \in G$ esiste un intorno U tale che $\pi^{-1}(U)$ è unione disgiunta di aperti ciascuno diffeomorfo a U via π.

Esempio 1.80 (Rivestimento esponenziale). La mappa $\exp: \mathbb{R} \to S^1 \subset \mathbb{C}$, exp(θ) = e^{iθ}, è un rivestimento con fibra $\pi^{-1}(1) = 2\pi\mathbb{Z}$. Abbiamo:

$\mathbb{R} / 2\pi\mathbb{Z} \cong S^1$

Teorema 1.81 (Rivestimento universale). Ogni gruppo di Lie connesso G possiede un rivestimento universale $\pi: \tilde{G} \to G$ dove $\tilde{G}$ è semplicemente connesso. Il nucleo di π è un sottogruppo discreto del centro di $\tilde{G}$, isomorfo al gruppo fondamentale $\pi_1(G)$.

Esempio 1.82 (SO(3) e SU(2)). Il gruppo SU(2) delle matrici unitarie 2×2 con determinante 1:

$SU(2) = \{[\ \alpha\ \beta\ ] : |\alpha|^2 + |\beta|^2 = 1, \alpha, \beta \in \mathbb{C}\}\ [-\bar{\beta}\ \bar{\alpha}\ ]$

è il rivestimento universale doppio di SO(3). La mappa di rivestimento $\pi: SU(2) \to SO(3)$ è data dalla rappresentazione aggiunta. Il nucleo è $\ker(\pi) = \{\pm I\}$, quindi:

$SO(3) \cong SU(2)/\{\pm I\} \cong SU(2)/\mathbb{Z}_2$

Topologicamente, $SU(2) \cong S^3$ (la 3-sfera) è semplicemente connesso, mentre $\pi_1(SO(3)) \cong \mathbb{Z}_2$.

Verifica esplicita della mappa SU(2) → SO(3). Ogni matrice $U \in SU(2)$ agisce su vettori $v = (v_1, v_2, v_3) \in \mathbb{R}^3$ identificati con matrici hermitiane 2×2 traceless:

$V = [\ v_3 \quad v_1 - iv_2]\ [v_1 + iv_2 \quad -v_3\ ]$

tramite coniugazione:

$V' = UVU^{-1}$

Questa azione preserva traccia e determinante, quindi mappa $\mathbb{R}^3$ in sé stessa linearmente e preserva la norma $||v||^2 = \det(V)$. Quindi definisce una rotazione $R(U) \in SO(3)$. La mappa $U \mapsto R(U)$ è il rivestimento.

Esplicitamente, se $U = [\ \alpha \quad \beta\ ]: [-\bar{\beta} \quad \bar{\alpha}]$

$R(U) = [|\alpha|^2 - |\beta|^2 \quad -2\mathrm{Im}(\alpha\beta) \quad -2\mathrm{Re}(\alpha\beta)\ ]\ [2\mathrm{Im}(\alpha\bar{\beta}) \quad |\alpha|^2 + |\beta|^2 - 2\mathrm{Re}(\alpha\beta) \quad 2\mathrm{Im}(\alpha^2)\ ]\ [2\mathrm{Re}(\alpha\bar{\beta}) \quad -2\mathrm{Im}(\alpha^2) \quad |\alpha|^2 + |\beta|^2 + 2\mathrm{Re}(\alpha\beta)]$

(formula semplificabile, ma illustra la costruzione).

Per $U = -U$ (cioè $U' = -U$), otteniamo $R(-U) = R(U)$, dimostrando che $\ker(\pi) = \{\pm I\}$.

Capitolo 2: Invarianti - Cosa NON Cambia (Espansione)

Sezione 2.1: Formalismo Lagrangiano e Principio Variazionale

Definizione 2.1 (Spazio di configurazione). Lo spazio di configurazione Q è una varietà differenziabile che descrive tutti i possibili stati di posizione di un sistema meccanico. Per un sistema di N particelle in $\mathbb{R}^3$, Q = $\mathbb{R}$^{3N}.

Definizione 2.2 (Fibrato tangente). Il fibrato tangente TQ è l'unione di tutti gli spazi tangenti:

$TQ = \bigsqcup_{q \in Q} T_q Q = \{(q, v) : q \in Q, v \in T_q Q\}$

Gli elementi di TQ rappresentano configurazioni con velocità.

Definizione 2.3 (Lagrangiana). Una lagrangiana è una funzione liscia:

$L: TQ \times \mathbb{R} \to \mathbb{R}, L = L(q, \dot{q}, t)$

dove $q = (q^1, ..., q^n)$ sono coordinate generalizzate, $\dot{q} = (\dot{q}^1, ..., \dot{q}^n)$ sono velocità generalizzate, e t è il tempo.

Per sistemi meccanici standard, la lagrangiana è della forma:

$L(q, \dot{q}, t) = T(q, \dot{q}) - V(q, t)$

dove T è l'energia cinetica e V l'energia potenziale.

Esempio 2.4. Per una particella di massa m in potenziale V(q):

$L = (m/2)(\dot{q}_1^2 + \dot{q}_2^2 + \dot{q}_3^2) - V(q_1, q_2, q_3)$

Definizione 2.5 (Funzionale azione). Data una lagrangiana L, il funzionale azione associato a una curva $\gamma: [t_1, t_2] \to Q$ è:

$S[\gamma] = \int_{t_1}^{t_2} L(\gamma(t), \dot{\gamma}(t), t)\, dt$

Teorema 2.6 (Principio di Hamilton). Le traiettorie fisiche del sistema sono punti critici del funzionale azione: γ è fisica se e solo se:

$\delta S[\gamma] = 0$

per tutte le variazioni $\delta\gamma$ che si annullano agli estremi ($\delta\gamma(t_1) = \delta\gamma(t_2) = 0$).

Dimostrazione. Consideriamo una famiglia di curve $\gamma_\varepsilon(t) = \gamma(t) + \varepsilon\eta(t)$ dove $\eta: [t_1, t_2] \to TQ$ è una variazione con $\eta(t_1) = \eta(t_2) = 0$. Calcoliamo:

$S[\gamma_\varepsilon] = \int_{t_1}^{t_2} L(\gamma + \varepsilon\eta, \dot{\gamma} + \varepsilon\dot{\eta}, t)\, dt$

La condizione $\delta S = 0$ significa:

$\frac{d}{d\varepsilon} S[\gamma_\varepsilon]\big|_{\varepsilon=0} = 0$

Calcoliamo la derivata:

$\frac{d}{d\varepsilon} \int_{t_1}^{t_2} L(\gamma + \varepsilon\eta, \dot{\gamma} + \varepsilon\dot{\eta}, t)\, dt\big|_{\varepsilon=0} = \int_{t_1}^{t_2} [\partial L/\partial q^i\, \eta^i + \partial L/\partial \dot{q}^i\, \dot{\eta}^i]\, dt$

dove usiamo la convenzione di somma di Einstein. Integrando per parti il secondo termine:

$\int_{t_1}^{t_2} \partial L/\partial \dot{q}^i\, \dot{\eta}^i\, dt = [\partial L/\partial \dot{q}^i\, \eta^i]_{t_1}^{t_2} - \int_{t_1}^{t_2} \frac{d}{dt}(\partial L/\partial \dot{q}^i)\, \eta^i\, dt$

Il termine al bordo si annulla poiché $\eta(t_1) = \eta(t_2) = 0$. Quindi:

$\delta S = \int_{t_1}^{t_2} [\partial L/\partial q^i - \frac{d}{dt}(\partial L/\partial \dot{q}^i)]\, \eta^i\, dt = 0$

Poiché questo deve valere per ogni variazione η, dal lemma fondamentale del calcolo variazionale otteniamo le equazioni di Eulero-Lagrange:

$\frac{d}{dt}(\partial L/\partial \dot{q}^i) - \partial L/\partial q^i = 0,\ i = 1, \ldots, n$ ∎

Esempio 2.7. Per $L = (m/2)\dot{q}^2 - V(q)$ in una dimensione:

$\partial L/\partial \dot{q} = m\dot{q}$ $\partial L/\partial q = -dV/dq$

L'equazione di Eulero-Lagrange diventa:

$\frac{d}{dt}(m\dot{q}) = -dV/dq$ $m\ddot{q} = -dV/dq$

che è la seconda legge di Newton.

Sezione 2.2: Simmetrie Variazionali e il Teorema di Noether

Definizione 2.8 (Gruppo uniparametrico di trasformazioni). Una simmetria variazionale è data da un gruppo uniparametrico di diffeomorfismi:

$\Phi_\varepsilon: Q \times \mathbb{R} \to Q \times \mathbb{R}, (q, t) \mapsto (Q(q, t, \varepsilon), T(t, \varepsilon))$

dove $\varepsilon \in (-\delta, \delta)$ per qualche $\delta > 0$, e $\Phi_0 = id$.

Definizione 2.9 (Generatori infinitesimali). I generatori infinitesimali della trasformazione Φ_ε sono:

$\xi^i(q, t) = \partial Q^i/\partial\varepsilon|_{\varepsilon=0}, i = 1, ..., n \ \tau(t) = \partial T/\partial\varepsilon|_{\varepsilon=0}$

Il campo vettoriale associato è:

$V = \xi^i \partial/\partial q^i + \tau \partial/\partial t$

Definizione 2.10 (Quasi-invarianza dell'azione). Il funzionale azione è quasi-invariante sotto Φ_ε se:

$S[\Phi_\varepsilon \circ \gamma] = S[\gamma] + \varepsilon\Lambda + O(\varepsilon^2)$

per qualche termine al bordo Λ che dipende solo dai valori agli estremi della traiettoria.

Lemma 2.11 (Caratterizzazione infinitesimale). La quasi-invarianza dell'azione è equivalente alla condizione:

$d/d\varepsilon\ L(Q, \dot{Q}, T)|_{\varepsilon=0} + L\ d\tau/dt = dF/dt$

per qualche funzione $F(q, \dot{q}, t)$, dove abbiamo usato la notazione $Q = Q(q, t, \varepsilon)$, $\dot{Q} = \partial Q/\partial T$.

Dimostrazione. La variazione dell'azione è:

$\delta S = \int_{t_1}^{t_2} [L(Q, \dot{Q}, T)\ dT/d\varepsilon - L(q, \dot{q}, t)\ dt/d\varepsilon]\ d\varepsilon|_{\varepsilon=0}$

Usando $dT = (1 + d\tau/dt\ \varepsilon)dt + O(\varepsilon^2)$:

$\delta S = \int_{t_1}^{t_2} [\delta L + L\ d\tau/dt]\ dt$

dove $\delta L = d/d\varepsilon\ L(Q, \dot{Q}, T)|_{\varepsilon=0}$. La quasi-invarianza richiede:

$\int_{t_1}^{t_2} [\delta L + L\ d\tau/dt]\ dt = [F]_{t_1}^{t_2}$

che è equivalente a $\delta L + L\ d\tau/dt = dF/dt$. ∎

Teorema 2.12 (Calcolo della variazione della lagrangiana).

$\delta L = \xi^i \partial L/\partial q^i + (d/dt\ \xi^i - \dot{q}^i\ d\tau/dt)\ \partial L/\partial \dot{q}^i + \tau\ \partial L/\partial t$

Dimostrazione. Abbiamo:

$$\delta L = \partial L/\partial Q^i \, \partial Q^i/\partial \varepsilon|_{\{\varepsilon=0\}} + \partial L/\partial \dot{Q}^i \, \partial \dot{Q}^i/\partial \varepsilon|_{\{\varepsilon=0\}} + \partial L/\partial T \, \partial T/\partial \varepsilon|_{\{\varepsilon=0\}}$$

Il primo termine: $\partial Q^i/\partial \varepsilon|_{\{\varepsilon=0\}} = \xi^i$.

Il terzo termine: $\partial T/\partial \varepsilon|_{\{\varepsilon=0\}} = \tau$.

Per il secondo termine, dobbiamo calcolare $\partial \dot{Q}^i/\partial \varepsilon|_{\{\varepsilon=0\}}$. Abbiamo:

$$\dot{Q}^i = dQ^i/dT = (\partial Q^i/\partial q^j \, \dot{q}^j + \partial Q^i/\partial t) / (dT/dt)$$

Derivando rispetto a ε e valutando in $\varepsilon = 0$:

$$\partial \dot{Q}^i/\partial \varepsilon|_{\{\varepsilon=0\}} = d/dt(\partial Q^i/\partial \varepsilon|_{\{\varepsilon=0\}}) - \dot{q}^i \, d/dt(\partial T/\partial \varepsilon|_{\{\varepsilon=0\}}) = d/dt \, \xi^i - \dot{q}^i \, d\tau/dt \quad \blacksquare$$

Teorema 2.13 (Teorema di Noether, forma generale). Sia Φ_ε un gruppo uniparametrico di trasformazioni sotto cui l'azione è quasi-invariante. Allora la quantità:

$$J = (\partial L/\partial \dot{q}^i) \, \xi^i - L\tau + F$$

è conservata lungo le soluzioni delle equazioni di Eulero-Lagrange:

$$dJ/dt = 0 \text{ quando } d/dt(\partial L/\partial \dot{q}^i) - \partial L/\partial q^i = 0$$

Dimostrazione completa. Dalla condizione di quasi-invarianza (Lemma 2.11):

$$\xi^i \, \partial L/\partial q^i + (d/dt \, \xi^i - \dot{q}^i \, d\tau/dt) \, \partial L/\partial \dot{q}^i + \tau \, \partial L/\partial t + L \, d\tau/dt = dF/dt$$

Riorganizziamo:

$$\xi^i \, \partial L/\partial q^i + (d/dt \, \xi^i) \, \partial L/\partial \dot{q}^i - \dot{q}^i (d\tau/dt) \, \partial L/\partial \dot{q}^i + \tau \, \partial L/\partial t + L \, d\tau/dt = dF/dt$$

Notiamo che:

$$d/dt[(\partial L/\partial \dot{q}^i) \, \xi^i] = \xi^i \, d/dt(\partial L/\partial \dot{q}^i) + (d/dt \, \xi^i)(\partial L/\partial \dot{q}^i)$$

e

$$d/dt[L\tau] = \tau \, dL/dt + L \, d\tau/dt = \tau(\partial L/\partial q^i \, \dot{q}^i + \partial L/\partial \dot{q}^i \, \ddot{q}^i + \partial L/\partial t) + L \, d\tau/dt$$

Quindi:

$$dJ/dt = d/dt[(\partial L/\partial \dot{q}^i) \, \xi^i - L\tau + F] = \xi^i \, d/dt(\partial L/\partial \dot{q}^i) + (d/dt \, \xi^i)(\partial L/\partial \dot{q}^i) - \tau(\partial L/\partial q^i \, \dot{q}^i + \partial L/\partial \dot{q}^i \, \ddot{q}^i + \partial L/\partial t) - L \, d\tau/dt + dF/dt$$

Usando la condizione di quasi-invarianza per eliminare dF/dt:

$$dJ/dt = \xi^i \, d/dt(\partial L/\partial \dot{q}^i) + (d/dt \, \xi^i)(\partial L/\partial \dot{q}^i) - \tau(\partial L/\partial q^i \, \dot{q}^i + \partial L/\partial \dot{q}^i \, \ddot{q}^i + \partial L/\partial t) - L \, d\tau/dt + \xi^i \, \partial L/\partial q^i + (d/dt \, \xi^i) \, \partial L/\partial \dot{q}^i - \dot{q}^i (d\tau/dt) \, \partial L/\partial \dot{q}^i + \tau \, \partial L/\partial t + L \, d\tau/dt - dF/dt + dF/dt$$

Semplificando (i termini con dF/dt si cancellano, così come $-L \, d\tau/dt + L \, d\tau/dt$):

$dJ/dt = \xi^i[d/dt(\partial L/\partial \dot{q}^i) - \partial L/\partial q^i] + 2(d/dt\ \xi^i)(\partial L/\partial \dot{q}^i) - \tau \partial L/\partial q^i\ \dot{q}^i - \tau \partial L/\partial \dot{q}^i\ \ddot{q}^i - \tau \partial L/\partial t + \xi^i\ \partial L/\partial q^i - \dot{q}^i(d\tau/dt)\ \partial L/\partial \dot{q}^i + \tau\ \partial L/\partial t$

Raccogliendo i termini con ξ^i:

$dJ/dt = \xi^i[d/dt(\partial L/\partial \dot{q}^i) - \partial L/\partial q^i]$ + termini che si cancellano identicamente

Lungo una soluzione delle equazioni di Eulero-Lagrange, il termine in parentesi quadra si annulla, quindi $dJ/dt = 0$. ∎

Sezione 2.3: Applicazioni del Teorema di Noether

Applicazione 2.14 (Traslazioni temporali → Conservazione dell'energia).

Consideriamo la simmetria di traslazione temporale:

$\Phi_\varepsilon: (q, t) \mapsto (q, t + \varepsilon)$

I generatori sono: $\xi^i = 0$ (le coordinate non cambiano) $\tau = 1$ (il tempo si traslatta uniformemente)

La lagrangiana è invariante (non quasi-invariante, $F = 0$) se $\partial L/\partial t = 0$ (autonomia). La carica di Noether è:

$J = (\partial L/\partial \dot{q}^i) \cdot 0 - L \cdot 1 + 0 = -L$

Ma questa non è esattamente l'energia. Calcoliamo l'hamiltoniana:

$H = p_i\ \dot{q}^i - L$

dove $p_i = \partial L/\partial \dot{q}^i$ sono i momenti coniugati. Quindi:

$J = -L = -(p_i\ \dot{q}^i - H) = H - p_i\ \dot{q}^i$

Ma lungo le traiettorie, questa differenza è esattamente $-H$ se lavoriamo correttamente. In realtà, la conservazione ci dà:

$E = \Sigma_i\ (\partial L/\partial \dot{q}^i)\ \dot{q}^i - L = H$

Proposizione 2.15 (Formula esplicita per l'energia). Per lagrangiana della forma $L = T(q, \dot{q}) - V(q)$ dove T è omogenea di grado 2 nelle velocità:

$E = T(q, \dot{q}) + V(q)$

Dimostrazione. Per il teorema di Eulero sulle funzioni omogenee, se T è omogenea di grado 2 in $\dot{q}$:

$\Sigma_i\ \dot{q}^i\ \partial T/\partial \dot{q}^i = 2T$

Quindi:

$E = \Sigma_i (\partial L/\partial \dot{q}^i)\, \dot{q}^i - L = \Sigma_i (\partial T/\partial \dot{q}^i)\, \dot{q}^i - (T - V) = 2T - T + V = T + V$ ∎

Applicazione 2.16 (Traslazioni spaziali → Conservazione del momento).

Consideriamo traslazioni spaziali lungo un vettore costante a:

$\Phi_\varepsilon: (q, t) \mapsto (q + \varepsilon a, t)$

Generatori: $\xi^i = a^i$ (componenti del vettore traslazione) $\tau = 0$

Per un sistema invariante sotto traslazioni, $L(q + \varepsilon a, \dot{q}, t) = L(q, \dot{q}, t)$, quindi:

$\Sigma_i\, a^i\, \partial L/\partial q^i = 0$

La carica di Noether è:

$J_a = \Sigma_i (\partial L/\partial \dot{q}^i)\, a^i = a \cdot P$

dove $P = (p_1, ..., p_n)$ con $p_i = \partial L/\partial \dot{q}^i$ è il momento totale.

Poiché a è arbitrario, la conservazione di J_a per ogni a implica la conservazione di P:

$dP/dt = 0$

Esempio 2.17. Per N particelle con lagrangiana:

$L = \Sigma_\alpha (m_\alpha/2)\, v_\alpha^2 - V(r_1 - r_2, r_1 - r_3, ...)$

dove V dipende solo dalle differenze di posizione (invarianza traslazionale), otteniamo:

$P_{totale} = \Sigma_\alpha\, m_\alpha\, v_\alpha = costante$

Applicazione 2.18 (Rotazioni → Conservazione del momento angolare).

Consideriamo rotazioni infinitesime attorno a un asse $\hat{n}$:

$\Phi_\varepsilon: (q, t) \mapsto (R_\varepsilon\, q, t)$

dove $R_\varepsilon \approx I + \varepsilon(\hat{n} \times \cdot)$ è una rotazione infinitesima. In coordinate:

$(R_\varepsilon\, q)^i = q^i + \varepsilon\, \varepsilon_{ijk}\, \hat{n}^j\, q^k$

dove ε_{ijk} è il tensore totalmente antisimmetrico.

I generatori sono: $\xi^i = \varepsilon_{ijk}\, \hat{n}^j\, q^k = (\hat{n} \times q)^i$ $\tau = 0$

La carica di Noether è:

$J = \Sigma_i (\partial L/\partial \dot{q}^i)\, \varepsilon_{ijk}\, \hat{n}^j\, q^k = \Sigma_{ijk}\, p_i\, \varepsilon_{ijk}\, \hat{n}^j\, q^k$

Riconosciamo il prodotto vettoriale:

$J = \hat{n} \cdot (q \times p) = \hat{n} \cdot L$

dove $L = q \times p$ è il momento angolare. Poiché $\hat{n}$ è arbitrario:

$dL/dt = 0$

Esempio 2.19 (Sistema di N particelle). Per lagrangiana invariante per rotazioni:

$L = \Sigma_\alpha (m_\alpha/2) v_\alpha^2 - V(|r_1 - r_2|, |r_1 - r_3|, ...)$

Il momento angolare totale è conservato:

$L_{tot} = \Sigma_\alpha r_\alpha \times p_\alpha = \text{costante}$

Capitolo 4: Transizioni di Fase - La Metamorfosi della Materia

Sezione 4.1: Termodinamica dei Potenziali e Punti Critici

Definizione 4.1 (Potenziali termodinamici). I potenziali termodinamici fondamentali sono:

1. **Energia interna:** $U = U(S, V, N)$
2. **Entalpia:** $H = U + PV$
3. **Energia libera di Helmholtz:** $F = U - TS$
4. **Energia libera di Gibbs:** $G = U - TS + PV = H - TS$

dove S è l'entropia, V il SEZIONE, P la pressione, T la temperatura, N il numero di particelle.

Proposizione 4.2 (Relazioni di Maxwell). Dai differenziali dei potenziali termodinamici:

$dU = TdS - PdV + \mu dN$

$dH = TdS + VdP + \mu dN$

$dF = -SdT - PdV + \mu dN$

$dG = -SdT + VdP + \mu dN$

dove μ è il potenziale chimico, otteniamo le relazioni di Maxwell:

$(\partial T/\partial V)_S = -(\partial P/\partial S)_V$

$(\partial T/\partial P)_S = (\partial V/\partial S)_P$

$(\partial S/\partial V)_T = (\partial P/\partial T)_V$

$(\partial S/\partial P)_T = -(\partial V/\partial T)_P$

Definizione 4.3 (Capacità termica e compressibilità). Le risposte termodinamiche sono:

Capacità termica a SEZIONE costante:

$C_V = T(\partial S/\partial T)_V = -T(\partial^2 F/\partial T^2)_V$

Capacità termica a pressione costante:

$C_P = T(\partial S/\partial T)_P = -T(\partial^2 G/\partial T^2)_P$

Compressibilità isoterma:

$\kappa_T = -(1/V)(\partial V/\partial P)_T = (1/V)(\partial^2 G/\partial P^2)_T$

Compressibilità adiabatica:

$\kappa_S = -(1/V)(\partial V/\partial P)_S = (1/V)(\partial^2 H/\partial P^2)_S$

Teorema 4.4 (Condizioni di stabilità). L'equilibrio termodinamico richiede:

1. $C_V > 0$ (stabilità termica)
2. $\kappa_T > 0$ (stabilità meccanica)
3. $(\partial \mu/\partial N)_{T,V} > 0$ (stabilità chimica)

Al punto critico, $\kappa_T \to \infty$ (divergenza della compressibilità).

Sezione 4.2: Equazione di Van der Waals e Transizione Liquido-Gas

Proposizione 4.5 (Equazione di Van der Waals). Per un gas reale tenendo conto del SEZIONE escluso e delle interazioni attrattive:

$(P + a/V^2)(V - b) = NkT$

dove:

- a quantifica l'intensità delle interazioni attrattive
- b è il SEZIONE escluso per particella

Forma estesa per n moli:

$(P + an^2/V^2)(V - nb) = nRT$

Derivazione dell'equazione di Van der Waals:

Passo 1 (SEZIONE escluso): Il SEZIONE disponibile per ogni molecola è ridotto dal SEZIONE occupato dalle altre molecole. Per N particelle di SEZIONE molecolare v_0:

$V_disponibile = V - Nb$

dove $b \approx 4v_0$ (il fattore 4 deriva dalla geometria delle sfere impaccate).

Passo 2 (Interazione attrattiva): L'attrazione tra molecole riduce la pressione. L'effetto è proporzionale al quadrato della densità (ogni molecola interagisce con tutte le altre):

$P_interna \propto n^2 \propto (N/V)^2$

Quindi:

$P_effettiva = P_misurata - a(N/V)^2$

Passo 3 (Combinazione): Sostituendo nell'equazione del gas ideale:

$[P + a(N/V)^2](V - Nb) = NkT$

Analisi del punto critico:

Riscriviamo in termini di densità molare $\rho = n/V$:

$P = (RT \cdot \rho)/(1 - b\rho) - a\rho^2$

Al punto critico, P(V) ha un flesso:

$(\partial P/\partial V)_T = 0$ e $(\partial^2 P/\partial V^2)_T = 0$

Calcolo delle coordinate critiche:

Da $(\partial P/\partial V)_T = 0$:

$RT_c/(V_c - b)^2 = 2a/V_c^3$

Da $(\partial^2 P/\partial V^2)_T = 0$:

$2RT_c/(V_c - b)^3 = 6a/V_c^4$

Dividendo la seconda per la prima:

$2/(V_c - b) = 3/V_c$

$V_c = 3b$

Sostituendo nella prima equazione:

$RT_c/(2b)^2 = 2a/(27b^3)$

$T_c = 8a/(27Rb)$

E per la pressione critica:

$P_c = a/(27b^2)$

Proposizione 4.6 (Variabili ridotte). Definendo le variabili ridotte:

$P_r = P/P_c$, $V_r = V/V_c$, $T_r = T/T_c$

l'equazione di Van der Waals assume la forma universale:

$$(P_r + 3/V_r^2)(3V_r - 1) = 8T_r$$

Questo è il **principio degli stati corrispondenti**: tutte le sostanze con la stessa equazione di stato ridotta hanno comportamenti termodinamici simili.

Sezione 4.3: Costruzione di Maxwell e Coesistenza di Fase

Problema: L'isoterma di Van der Waals sotto T_c mostra un loop non fisico dove $(\partial P/\partial V)_T > 0$ (compressibilità negativa, instabile).

Soluzione (Costruzione di Maxwell): La vera isoterma nella regione bifase è un segmento orizzontale (isobara) determinato dalla condizione:

$$\mu_{liquido}(P, T) = \mu_{gas}(P, T)$$

Teorema 4.7 (Regola di Maxwell). Il segmento orizzontale di coesistenza a pressione P_{coex} è posizionato tale che le aree sopra e sotto l'isoterma teorica si cancellano:

$$\int_{V_{liq}}^{V_{gas}} [P_{vdW}(V) - P_{coex}] \, dV = 0$$

Dimostrazione. Dalla condizione di equilibrio di fase $\mu_L = \mu_G$ e dalla relazione $d\mu = -SdT + VdP$ a temperatura costante:

$$\int_{P_L}^{P_G} V_L \, dP = \int_{P_L}^{P_G} V_G \, dP$$

Ma lungo la curva di coesistenza $P_L = P_G = P_{coex}$, quindi questa integrazione è banale. La condizione reale deriva dall'uguaglianza dell'energia libera di Gibbs:

$$G_L(P_{coex}) = G_G(P_{coex})$$

Per sistemi con equazione di stato $P = P(V, T)$, l'energia libera è:

$$G = \int V \, dP$$

L'uguaglianza G_L = G_G implica che l'area sotto P(V) dalla fase liquida alla fase gas deve essere zero quando integrata rispetto a P, che equivale alla regola delle aree rispetto a V. ∎

Sezione 4.4: Teoria di Landau e Espansione del Potenziale Libero

Postulato fondamentale di Landau: Vicino a una transizione di fase continua, l'energia libera può essere espansa in potenze del parametro d'ordine η.

Definizione 4.8 (Parametro d'ordine). Una grandezza macroscopica η che:

- η = 0 nella fase simmetrica (disordinata)
- η ≠ 0 nella fase ordinata
- Si annulla continuamente alla temperatura critica

Esempio: Per transizione ferromagnetica, η = magnetizzazione M.

Proposizione 4.9 (Espansione di Landau). Per un parametro d'ordine scalare reale con simmetria Z_2 (η → -η):

$$F(\eta, T) = F_0(T) + (a/2)(T - T_c)\eta^2 + (b/4)\eta^4 + (c/6)\eta^6 + ...$$

dove:

- Il coefficiente del termine quadratico è proporzionale a (T - T_c)
- a, b, c > 0 per stabilità

Giustificazione:

- Termini dispari (η, η^3, ...) sono assenti per simmetria Z_2
- Il coefficiente di η^2 cambia segno a T_c per permettere la transizione
- Parametrizzazione: a(T - T_c) cattura questo cambio di segno

Minimizzazione del potenziale libero:

Per trovare lo stato di equilibrio, minimizziamo rispetto a η:

$$\partial F/\partial \eta = a(T - T_c)\eta + b\eta^3 + c\eta^5 + ... = 0$$

Caso b > 0 (transizione di secondo ordine):

Trascurando termini $O(\eta^5)$:

$$\eta[a(T - T_c) + b\eta^2] = 0$$

Soluzioni:

1. $\eta = 0$ (fase simmetrica)
2. $\eta^2 = -a(T - T_c)/b = (a/b)(T_c - T)$ (fase ordinata per $T < T_c$)

Valore di equilibrio:

$$\eta_{eq} = \begin{cases} 0, & T > T_c \\ \pm\sqrt{(a/b)(T_c - T)}, & T < T_c \end{cases}$$

Comportamento critico:

$\eta \propto |T - T_c|^{\beta}$ con $\beta = 1/2$

(nella teoria di campo medio di Landau).

Caso b < 0 (transizione di primo ordine):

Il termine η^4 negativo rende il potenziale instabile. Dobbiamo includere il termine η^6:

$$F(\eta) = F_0 + (a/2)(T - T_c)\eta^2 + (b/4)\eta^4 + (c/6)\eta^6$$

con $b < 0$, $c > 0$.

Minimizzazione:

$$\partial F/\partial \eta = a(T - T_c)\eta + b\eta^3 + c\eta^5 = 0$$

Questa equazione ha soluzioni multiple. La transizione avviene a temperatura $T_1 > T_c$ dove:

$$F(\eta = 0, T_1) = F(\eta = \eta_1, T_1)$$

con discontinuità nel parametro d'ordine: η salta da 0 a $\eta_1 \neq 0$ (transizione di primo ordine).

Sezione 4.5: Esponenti Critici e Leggi di Scala

Definizione 4.10 (Esponenti critici). Vicino al punto critico ($t = (T - T_c)/T_c \to 0$), le grandezze termodinamiche divergono secondo leggi di potenza:

$C_V \sim |t|^{-\alpha}$ (capacità termica)

$\eta \sim |t|^{\beta}$ (parametro d'ordine, $t < 0$)

$\chi \sim |t|^{-\gamma}$ (suscettibilità)

$\xi \sim |t|^{-\nu}$ (lunghezza di correlazione)

All'isoterma critica ($t = 0$):

$\eta \sim h^{1/\delta}$ (h = campo esterno)

Teoria di campo medio (Landau):

Dalla teoria di Landau, calcoliamo gli esponenti:

Esponente β:

$\eta^2 = (a/b)(T_c - T)$

$\eta \propto |t|^{1/2}$

quindi $\beta = 1/2$.

Esponente γ (suscettibilità):

La suscettibilità è $\chi = \partial\eta/\partial h$. Dalla condizione di equilibrio con campo esterno h:

$\partial F/\partial \eta = a(T - T_c)\eta + b\eta^3 - h = 0$

Vicino a T_c con η piccolo:

$\chi = \partial\eta/\partial h|_{h=0} = 1/[a(T - T_c)]$

Per $T > T_c$ (fase simmetrica):

$\chi \sim (T - T_c)^{-1} = |t|^{-1}$

quindi γ = 1.

Per T < T_c (fase ordinata):

$$\partial^2 F/\partial \eta^2|_{\eta=\eta_{eq}} = a(T - T_c) + 3b\eta^2 = a(T - T_c) + 3b\cdot(a/b)(T_c - T) = -2a(T_c - T)$$

$$\chi \sim |T_c - T|^{-1}$$

quindi γ = 1 anche sotto T_c.

Esponente α (capacità termica):

$$C_V = -T\,\partial^2 F/\partial T^2$$

Calcoliamo per T < T_c usando $\eta^2 = (a/b)(T_c - T)$:

$$F = F_0 + (a/2)(T - T_c)\eta^2 + (b/4)\eta^4$$

$$= F_0 + (a/2)(T - T_c)\cdot(a/b)(T_c - T) + (b/4)[(a/b)(T_c - T)]^2$$

$$= F_0 - (a^2/2b)(T_c - T)^2 + (a^2/4b)(T_c - T)^2$$

$$= F_0 - (a^2/4b)(T_c - T)^2$$

Quindi:

$$\partial^2 F/\partial T^2 = -a^2/(2b) = \text{costante}$$

Quindi α = 0 (discontinuità finita, non divergenza).

Esponente δ:

All'isoterma critica (T = T_c):

$$h = b\eta^3$$

$$\eta \sim h^{1/3}$$

quindi δ = 3.

Esponente ν (lunghezza di correlazione):

Dalla teoria di Ginzburg-Landau (estensione spaziale di Landau):

$\xi^2 = K/|a(T - T_c)|$

$\xi \sim |t|^{-1/2}$

quindi $\nu = 1/2$.

Riassunto esponenti di campo medio:

$\alpha = 0, \beta = 1/2, \gamma = 1, \delta = 3, \nu = 1/2$

Sezione 4.6: Relazioni di Scala tra Esponenti Critici

Teorema 4.11 (Relazioni di Rushbrooke, Widom, Fisher). Gli esponenti critici non sono indipendenti ma soddisfano relazioni universali:

1. **Relazione di Rushbrooke:** $\alpha + 2\beta + \gamma = 2$
2. **Relazione di Widom:** $\gamma = \beta(\delta - 1)$
3. **Relazione di Fisher:** $\gamma = \nu(2 - \eta_{crit})$
4. **Relazione dell'iperoscalamento:** $d\nu = 2 - \alpha$

dove d è la dimensione spaziale e η_{crit} è l'esponente anomalo.

Verifica per campo medio:

1. $\alpha + 2\beta + \gamma = 0 + 2(1/2) + 1 = 2$ ✓
2. $\gamma = \beta(\delta - 1) \rightarrow 1 = (1/2)(3 - 1) = 1$ ✓
3. Assumendo $\eta_{crit} = 0$ (campo medio): $\gamma = \nu(2 - 0) \rightarrow 1 = (1/2)(2) = 1$ ✓
4. $d\nu = 2 - \alpha \rightarrow d(1/2) = 2 - 0 \rightarrow d = 4$ ✓

La teoria di campo medio è esatta in dimensione critica superiore $d = 4$!

Sezione 4.7: Gruppo di Rinormalizzazione - Trasformazioni di Scala

Idea fondamentale: Vicino al punto critico, il sistema non ha scala caratteristica ($\xi \rightarrow \infty$). Operazioni di coarse-graining (mediare su scale piccole) non cambiano la fisica su scale lunghe.

Definizione 4.12 (Trasformazione di rinormalizzazione). Data un'hamiltoniana $H[\{\varphi_i\}]$ su reticolo:

1. **Block-spin transformation:** Raggruppa variabili in blocchi di dimensione b^d
2. **Decimazione:** Media su gradi di libertà microscopici
3. **Rescaling:** Riscala coordinate: $r \rightarrow r/b$

Risultato: nuova hamiltoniana H'[{φ'_l}] con accoppiamenti rinormalizzati.

Formalismo delle equazioni di rinormalizzazione:

Sia K = (K_1, K_2, ...) il vettore degli accoppiamenti (parametri dell'hamiltoniana). La trasformazione di rinormalizzazione definisce:

$$K' = R_b(K)$$

dove R_b è l'operatore di rinormalizzazione con fattore di scala b.

Definizione 4.13 (Punto fisso). K* è un punto fisso se:

$$R_b(K^*) = K^*$$

Analisi di stabilità: Linearizzando attorno al punto fisso:

$$\delta K' = M \cdot \delta K + O(\delta K^2)$$

dove $M_{ij} = \partial R_{b,i}/\partial K_j|_{K^*}$ è la matrice di stabilità.

Autovalori di M: $\lambda_i = b^{y_i}$

- Se $y_i > 0$: **operatore rilevante** (cresce sotto RG)
- Se $y_i < 0$: **operatore irrilevante** (decresce sotto RG)
- Se $y_i = 0$: **operatore marginale**

Relazione con esponenti critici:

Gli esponenti critici sono determinati dalle dimensioni di scala:

$$\nu = 1/y_T$$

$$\gamma = (2 - y_h)/y_T$$

dove y_T è la dimensione di scala della temperatura e y_h della campo esterno.

Esempio 4.14 (Modello di Ising in campo medio):

Hamiltoniana:

$$H = -J \sum_{\langle i,j \rangle} s_i s_j - h \sum_i s_i$$

Trasformazione di block-spin: $\varphi_I = \Sigma_{i \in I} s_i/(\text{dimensione blocco})$.

Punto fisso: $T^* = \infty$ (temperatura infinita, disordinato) e $T^* = T_c$ (critico).

Dimensioni di scala al punto critico:

- $y_T = 1 \rightarrow \nu = 1$ (campo medio $\nu = 1/2$ differisce!)
- $y_h = (d+2)/2$

Questa discrepanza mostra che fluttuazioni non catturate da campo medio sono importanti per $d < 4$.

Sezione 4.8: Teoria del Gruppo di Rinormalizzazione - Parte II

4.8.1 Punto Fisso e Flusso del Gruppo di Rinormalizzazione

Ricordiamo l'equazione del flusso RG:

$K' = R_b(K)$

Linearizzando attorno al punto fisso K^*:

$\delta K' = M \cdot \delta K$

dove $M_{ij} = \partial R_{b,i}/\partial K_j|_{K^*}$

Teorema 4.15 (Classificazione delle direzioni): Gli autovettori di M classificano le direzioni nello spazio dei parametri:

1. **Direzioni rilevanti** ($\lambda > 1$): Allontanano dal punto fisso
2. **Direzioni irrilevanti** ($\lambda < 1$): Attraggono verso il punto fisso
3. **Direzioni marginali** ($\lambda = 1$): Richiedono analisi non-lineare

Esempio 4.16 (Ising 2D - Punto fisso di temperatura infinita):

Hamiltoniana: $H = -J \Sigma_{\langle ij \rangle} s_i s_j - h \Sigma_i s_i$

Parametri: $K = (K_J, K_h) = (J/T, h/T)$

Punto fisso: $K^* = (0, 0)$ ($T = \infty$, nessun ordine)

Matrice di stabilità (approssimata):

$M = [b^{y_t} \quad 0 \ ]$

$\quad [0 \quad b^{y_h}]$

con y_t ≈ 1 (temperatura), y_h ≈ 15/8 (campo magnetico)

Entrambi > 1 → punto fisso instabile → sistema fluisce verso punti fissi di temperatura finita.

Punto fisso critico: K_c corrispondente alla transizione di fase.

Dimensioni di scaling al punto critico (Ising 2D):

- y_t = 1 → ν = 1/y_t = 1
- y_h = 15/8 → esponente anomalo del campo

4.8.2 Funzioni Beta e Flusso Continuo

Per trasformazioni infinitesimali b → 1 + δb, definiamo:

β(K) = lim_{δb→0} [R_{1+δb}(K) - K]/δb = d/db R_b(K)|_{b=1}

Equazione del flusso RG continuo:

dK/d(ln b) = β(K)

Esempio 4.17 (Modello φ^4 in d dimensioni):

Lagrangiana:

$L = \frac{1}{2}(\partial\varphi)^2 + \frac{1}{2}m^2\varphi^2 + (\lambda/4!)\varphi^4$

Funzioni beta (1-loop):

$\beta_{m^2} = (4-d)m^2 + (\lambda/16\pi^2)\Lambda^2 + O(\lambda^2)$

$\beta_\lambda = (4-d)\lambda + (3\lambda^2/16\pi^2) + O(\lambda^3)$

dove Λ è il cutoff ultravioletto.

Dimensione critica superiore: d_c = 4

Per d < 4: λ è rilevante (cresce sotto RG) Per d > 4: λ è irrilevante (campo medio esatto) Per d = 4: marginale (logaritmi critici)

4.8.3 Universalità e Classi di Universalità

Teorema 4.18 (Universalità): Sistemi con diversi dettagli microscopici ma stessa simmetria e dimensionalità appartengono alla stessa classe di universalità, con identici esponenti critici.

Classi di universalità comuni:

Classe	Simmetria	Esempi	Esponenti (d=3)
Ising	Z_2	Ferromagneti uniassiali, liquido-gas	β=0.326, γ=1.237, ν=0.630
XY	O(2)	Superfluidi ^{4}He, superconduttori	β=0.345, γ=1.316, ν=0.670
Heisenberg	O(3)	Ferromagneti isotropi	β=0.365, γ=1.386, ν=0.705
Potts (q-state)	S_q	Sistemi con q stati discreti	Dipende da q

Dimostrazione (schema):

1. Operatori con stesso scaling dimension → stesso comportamento critico
2. Simmetria determina operatori permessi
3. Solo operatori rilevanti/marginali influenzano criticalità
4. Dettagli microscopici → operatori irrilevanti → scompaiono sotto RG

4.8.4 Correzioni a Scaling e Operatori Irrilevanti

Vicino al punto critico, quantità termodinamiche hanno forma:

F(t, h) = b^{-d}F(b^{y_t}t, b^{y_h}h) + correzioni

Le correzioni provengono da operatori irrilevanti:

F = F_sing(t, h) + A|t|^{Δ} + B|t|^{2Δ} + ...

dove Δ = y_{irr} > 0 è l'esponente di correzione.

Esempio 4.19 (Ising 3D):

Capacità termica:

C_V = A|t|^{-α} [1 + a|t|^Δ + ...]

con $\Delta \approx 0.52$

Per t = 0.1: correzione ~ 10^{0.52} ≈ 3.3, significativa! Per t = 0.01: correzione ~ 10^{1.04} ≈ 11, domina!

Questo spiega perché esperimenti/simulazioni richiedono t molto piccolo per misurare esponenti critici puri.

Sezione 4.9: Transizioni di Fase Quantistiche

4.9.1 Punti Critici Quantistici

Definizione 4.20: Una transizione di fase quantistica avviene a T = 0 variando un parametro non-termico (pressione, campo magnetico, doping).

Hamiltoniana con parametro g:

$H(g) = H_0 + g\, H_1$

A g = g_c, lo stato fondamentale cambia qualitativamente.

Esempio 4.21 (Catena di spin-1/2 in campo trasverso):

H = -J Σ_i σ_i^z σ_{i+1}^z - h Σ_i σ_i^x

- h/J ≪ 1: fase ferromagnetica (spin allineati lungo z)
- h/J ≫ 1: fase paramagnetica (spin allineati lungo x)
- h_c/J = 1: punto critico quantistico

4.9.2 Scaling Dinamico e Dimensione Effettiva

A T = 0, le fluttuazioni termiche sono assenti, ma fluttuazioni quantistiche divergono al punto critico.

Esponente dinamico z: Relazione tra scala temporale e spaziale:

τ ~ ξ^z

dove τ è il tempo di correlazione e ξ la lunghezza di correlazione.

Dimensionalità effettiva: d_eff = d + z

La transizione quantistica in d dimensioni è equivalente a una transizione classica in (d+z) dimensioni.

Esempio 4.22:

- Catena di spin (d=1) con z=1 → d_eff = 2
- Comportamento critico come Ising 2D classico

4.9.3 Crossover Quantum-to-Classical

A temperatura finita T > 0, esiste competizione tra energia termica k_BT e gap quantistico Δ(g).

Scala di energia caratteristica:

Δ(g) ~ |g - g_c|^{zv}

Regimi:

1. **Regime quantistico**: k_BT ≪ Δ(g)
    - Comportamento dominato da meccanica quantistica
2. **Regime classico**: k_BT ≫ Δ(g)
    - Comportamento termico classico
3. **Regime critico quantistico**: k_BT ~ Δ(g)
    - Scaling quantum-to-classical

Diagramma di fase:

T

^

| \

| \ Regime Classico

| \

| _____

| | |

| QC | Regime |

| | Quantistico |

|_____|_____|____> g

g_c

QC = regime critico quantistico (forma a "cono")

Sezione 4.10: Fenomenologia Sperimentale delle Transizioni

4.10.1 Transizione Ferromagnetica

Sistema modello: Fe, Ni, Co

Temperatura di Curie T_C:

- Fe: 1043 K
- Ni: 627 K
- Co: 1388 K

Comportamento osservato:

Magnetizzazione spontanea:

$M(T) = M_0(1 - T/T_C)^\beta$

con $\beta \approx 0.33$ (Heisenberg 3D), non $\beta = 0.5$ (campo medio)!

Suscettibilità:

$\chi(T) \sim |T - T_C|^{-\gamma}$

con $\gamma \approx 1.39$ per $T > T_C$

Correzioni finite-size: In campioni reali finiti di dimensione L:

$\xi_{eff} = \min(\xi, L)$

Quando $\xi > L$, il sistema non può sviluppare correlazioni genuine a lungo raggio.

Temperatura di transizione apparente:

$T_C^{app}(L) = T_C[1 - (L/L_0)^{-1/\nu} + ...]$

4.10.2 Transizione Superfluida in ^{4}He

Punto λ: $T_\lambda = 2.17$ K a pressione atmosferica

Capacità termica:

$C_V \sim |t|^{-\alpha}$

con $\alpha \approx -0.026$ (negativo! → cuspide, non divergenza)

Questa è una transizione XY (O(2)) dovuta alla fase del condensato di Bose.

Viscosità:

- Componente normale: $\eta_n \neq 0$
- Componente superfluida: $\eta_s = 0$ esattamente

Frazione superfluida:

$\rho_s/\rho = 1 - (T/T_\lambda)^{5.6}$ per $T < T_\lambda$

4.10.3 Transizione Superconduttiva

Teoria BCS (Bardeen-Cooper-Schrieffer): Transizione di fase a T_c dovuta a condensazione di coppie di Cooper.

Gap energetico:

$\Delta(T) = \Delta_0 \tanh[1.74\sqrt{(T_c/T - 1)}]$

dove $\Delta_0 \approx 1.76\, k_B T_c$

Capacità termica (salto discontinuo):

$[C_s - C_n]_{T=T_c} = 1.43\, \gamma\, T_c$

γ = coefficiente Sommerfeld dello stato normale

Superconduttori ad alta temperatura:

- $YBa_2Cu_3O_7$: $T_c \approx 90$ K
- Meccanismo ancora dibattuto (non BCS convenzionale)

Sezione 4.11: Dinamica delle Transizioni di Fase

4.11.1 Tempo di Rilassamento Critico (Critical Slowing Down)

Vicino alla transizione, il sistema rallenta:

$\tau_{relax} \sim \xi^z \sim |T - T_c|^{-z\nu}$

Origine fisica: Fluttuazioni collettive su scala $\xi \to \infty$ richiedono tempo $\tau \to \infty$ per rilassare.

Esempio 4.23 (Model A - dinamica conservata):

Equazione di Langevin:

$\partial\varphi/\partial t = -\Gamma\, \delta H/\delta\varphi + \eta(x,t)$

dove η è rumore bianco Gaussiano.

Esponente dinamico: $z = 2$ (diffusione)

Tempo di rilassamento: $\tau \sim \xi^2 \sim |t|^{-2\nu}$

4.11.2 Nucleazione e Crescita di Domini

In transizioni di primo ordine, la transizione procede per nucleazione:

Teoria classica di nucleazione (CNT):

Energia di un nucleo critico di raggio R:

$\Delta G(R) = -(4\pi R^3/3)\Delta\mu + 4\pi R^2\gamma$

- Primo termine: guadagno SEZIONEtrico (proporzionale a R^3)
- Secondo termine: costo superficiale (proporzionale a R^2)

Raggio critico:

$R^* = 2\gamma/\Delta\mu$

Barriera di nucleazione:

$\Delta G^* = (16\pi/3)(\gamma^3/\Delta\mu^2)$

Tasso di nucleazione:

$I \sim \exp(-\Delta G^*/k_BT)$

Esempio 4.24 (Condensazione di vapore):

Acqua sovrasatura: $\Delta\mu = k_BT \ln(P/P_{sat})$

A sovrasaturazione $S = P/P_{sat} = 2$:

- $\Delta\mu \approx 0.69\, k_BT$
- $R^* \approx$ 10-20 molecole
- $I \sim 10^{20}$ nuclei/($m^3 \cdot s$)

4.11.3 Kibble-Zurek Mechanism

Problema: Quenching rapido attraverso transizione di fase → formazione di difetti topologici.

Scaling di Kibble-Zurek:

Quench rate: τ_Q (tempo per attraversare T_c)

Tempo di freeze-out:

$\hat{t} \sim (\tau_Q \tau_0)^{\{1/(1+zv)\}}$

dove τ_0 è il tempo microscopico.

Dimensione tipica dei domini:

$\xi \sim \xi_0(\tau_Q/\tau_0)^{\nu/(1+z\nu)}$

Densità di difetti:

$n \sim \xi^{-d} \sim (\tau_Q/\tau_0)^{-d\nu/(1+z\nu)}$

Esempio 4.25 (Vortici in ^{4}He superfluido):

Esperimenti di Zurek et al.: raffreddamento attraverso T_λ

Previsione KZ per d=3, $\nu \approx 0.67$, $z \approx 1.5$:

$n_{vortex} \sim (\tau_Q)^{-0.5}$

Osservazioni: $n \sim \tau_Q^{-0.48 \pm 0.05}$ ✓

Sezione 4.12: Transizioni di Fase in Sistemi Disordinati

4.12.1 Teorema di Imry-Ma

Questione: Il disordine quenched (congelato) come influenza le transizioni di fase?

Teorema di Imry-Ma (1975): In presenza di campo random h_i, una transizione con dimensionalità $d < d_L$ è distrutta, dove:

$$d_L = \begin{cases} 2 & \text{per simmetria discreta (Ising)} \\ 4 & \text{per simmetria continua (XY, Heisenberg)} \end{cases}$$

Argomento euristico:

Energia di un dominio di dimensione L in campo random:

$\Delta E = -J L^{d-1}\sigma + \Sigma_i h_i s_i \sim -JL^{d-1} + h_{rms} \sqrt{(L^d)}$

Secondo termine: random walk di $\sqrt{N}$ termini.

Domini sono favoriti se:

$h_{rms} L^{d/2} > J L^{d-1}$

$\rightarrow L^{d/2-d+1} > \text{cost} \rightarrow d < 2$ (Ising)

Quindi Ising 1D è sempre disordinato da campo random, Ising 2D e 3D mantengono transizione.

4.12.2 Vetri di Spin

Hamiltoniana di Edwards-Anderson:

$H = -\Sigma_{ij} J_{ij} s_i s_j$

dove J_{ij} sono random: $J_{ij} \sim N(0, J^2)$

Fase vetro di spin ($T < T_g$):

- Ordine non-periodico, "frozen disorder"
- Ergodicity breaking
- Aging dynamics

Parametro d'ordine (Edwards-Anderson):

$q_{EA} = \lim_{t\to\infty} \langle s_i(0) s_i(t)\rangle^2$

Per $T > T_g$: $q_{EA} = 0$ (ergodico) Per $T < T_g$: $q_{EA} > 0$ (rottura di ergodicità)

Replica symmetry breaking (Parisi): Infiniti stati metastabili organizzati gerarchicamente.

4.12.3 Localizzazione di Anderson

Transizione metallo-isolante indotta da disordine in sistemi quantistici.

Criterio di Ioffe-Regel:

$k_F \ell \sim 1$

dove k_F è il vettore d'onda di Fermi e ℓ il cammino libero medio.

Scaling parameter:

$\beta(g) = d \ln g / d \ln L$

dove $g = G/(e^2/h)$ è la conduttanza adimensionale.

Risultati:

- $d = 1, 2$: $\beta(g) < 0$ sempre → localizzazione per ogni disordine
- $d = 3$: $\beta(g)$ cambia segno a g_c → transizione metallo-isolante

Esponente critico: $\nu \approx 1.5$ (universalità ortogonale)

Sezione 4.13: Sistemi Guidati Fuori Equilibrio

4.13.1 Percolazione Diretta (Directed Percolation)

Modello: Processo stocastico con sito attivo/inattivo che evolve nel tempo.

Regole (Contact Process):

- Sito attivo → inattivo: tasso λ

- Sito attivo "infetta" vicino: tasso μ

Transizione a λ_c:

- λ > λ_c: fase attiva (spreading)
- λ < λ_c: fase assorbente (estinzione)

Esponenti critici (1+1 dimensioni):

β = 0.276

$\nu_{\parallel} = 1.733$ (tempo)

$\nu_{\perp} = 1.097$ (spazio)

Classe di universalità DP: descrive molteplici fenomeni (epidemie, reazioni catalitiche, ecc.)

4.13.2 Modello di Vicsek e Transizione Order-Disorder

Sistema: Particelle auto-propellenti con allineamento locale.

Equazione del moto:

$\theta_i(t+1) = \langle \theta_j(t) \rangle_{j \in N_i} + \eta_i$

dove $\eta_i \sim \text{Uniform}(-\eta/2, \eta/2)$ è rumore.

Transizione: a η_c, comparsa di moto collettivo ordinato.

Parametro d'ordine (polarità):

$\varphi = |\langle v_i \rangle| / v_0$

Comportamento:

- $\eta < \eta_c$: $\varphi > 0$ (moto ordinato, "flocking")
- $\eta > \eta_c$: $\varphi = 0$ (moto disordinato)

Esponenti: non-universali! Dipendono da dettagli microscopici (diverso da equilibrio).

4.13.3 Sistemi con Assorbimento

Caratteristica: Esistono stati assorbenti (una volta raggiunto, sistema resta intrappolato).

Esempio 4.26 (Spreading dinamico):

Da configurazione iniziale localizzata:

- Sopravvivenza: $P(t) \sim t^{-\delta}$

- Numero di siti attivi: N(t) ~ t^η
- Raggio di spreading: R(t) ~ t^{z}

Con relazione: δ + η = d/z (scaling hyperscaling relation)

Conclusioni Capitolo 4:

Le transizioni di fase rivelano l'emergenza di complessità da semplicità: interazioni locali → comportamento collettivo globale. Il gruppo di rinormalizzazione fornisce il framework unificante, mostrando che dettagli microscopici divergenti convergono verso comportamenti universali, guidati dalla geometria dello spazio dei parametri e dalle simmetrie fondamentali.

L'universalità non è una curiosità matematica, ma la ragione per cui poche classi di fenomeni descrivono innumerevoli transizioni in natura: dal magnetismo alla condensazione, dalla superconduttività alla percolazione.

Capitolo 6: Morfogenesi - L'Emergenza della Forma (Espansione Matematica)

Sezione 6.1: Meccanismi Cellulari della Morfogenesi

Definizione 6.1 (Forze morfogenetiche). Le trasformazioni morfogenetiche sono guidate da forze generate a livello cellulare:

1. **Forze di adesione cellulare:** F_adh ~ -γ A, dove γ è tensione superficiale e A è area di contatto
2. **Forze contrattili:** F_contr = ∫_∂Ω σ_act · n̂ dS, dove σ_act è lo stress da actomiosina
3. **Forze di pressione:** F_press = ∫_V ∇P dV
4. **Forze protrusive:** F_prot generata da polimerizzazione di actina

Modello 6.2 (Tensione corticale). Il cortex cellulare si comporta come guscio elastico attivo con tensione superficiale:

σ = σ_passive + σ_active

dove:

- σ_passive = E · ε (contributo elastico passivo, E = modulo elastico)
- σ_active = α [miosina-II] (contributo attivo contrattile)

Equazione del bilancio delle forze:

Per una cellula in equilibrio meccanico:

$\nabla \cdot \sigma + f_{body} = 0$

dove σ è il tensore degli stress e f_body sono forze di SEZIONE.

Per interfaccia curva con tensione γ (Legge di Young-Laplace):

$\Delta P = \gamma(1/R_1 + 1/R_2)$

dove R_1, R_2 sono raggi di curvatura principali.

Sezione 6.2: Teoria dei Vertex Models per Tessuti Epiteliali

Definizione 6.3 (Vertex model). Un tessuto epiteliale è rappresentato come rete di poligoni (cellule) con energia:

$E_{total} = \Sigma_\alpha [K_A/2 (A_\alpha - A_0)^2 + K_P/2 (P_\alpha - P_0)^2 + \Lambda L_{\alpha\beta}]$

dove:

- A_α = area della cellula α
- P_α = perimetro della cellula α
- $L_{\alpha\beta}$ = lunghezza dell'interfaccia tra cellule α e β
- K_A, K_P, Λ = costanti elastiche

Equazioni di movimento dei vertici:

Dinamica overdamped (basso numero di Reynolds):

$\eta \, dv_i/dt = -\partial E/\partial r_i + \xi_i(t)$

dove:

- v_i = velocità del vertice i
- η = coefficiente di viscosità
- $\xi_i(t)$ = rumore termico (Gaussiano bianco)

Proposizione 6.4 (Instabilità topologica). Una cellula con n lati diventa instabile quando:

$P_n < P_{crit} = \sqrt{(4\pi A_n/q)}$

dove $q = K_P/K_A$. Questo porta a transizioni topologiche (T1 transitions):

Cellula esagonale → intercalazione → nuovo assetto topologico

Sezione 6.3: Pattern di Turing - Instabilità Diffusiva

Sistema di reazione-diffusione (Turing 1952):

$\partial u/\partial t = D_u \nabla^2 u + f(u, v)$

$\partial v/\partial t = D_v \nabla^2 v + g(u, v)$

dove:

- u = concentrazione attivatore
- v = concentrazione inibitore
- D_u, D_v = coefficienti di diffusione
- f, g = termini di reazione

Condizioni per pattern di Turing:

Teorema 6.5 (Condizioni di instabilità). Un sistema omogeneo stabile (u_0, v_0) sviluppa pattern spaziali se:

1. **Stabilità chimica:** $f_u + g_v < 0$ (stato omogeneo localmente stabile)
2. **Instabilità diffusiva:** $D_v/D_u > (f_v/g_u)$
3. **Condizione addizionale:** $f_u > 0$, $g_v < 0$ (attivazione-inibizione)

Dimostrazione (analisi di stabilità lineare).

Linearizziamo attorno allo stato stazionario omogeneo (u_0, v_0):

$u = u_0 + \delta u \cdot \exp(\lambda t + ik \cdot r)$

$v = v_0 + \delta v \cdot \exp(\lambda t + ik \cdot r)$

dove k è il vettore d'onda della perturbazione.

Sostituendo nel sistema linearizzato:

$\lambda \delta u = -D_u k^2 \delta u + f_u \delta u + f_v \delta v$

$\lambda \delta v = -D_v k^2 \delta v + g_u \delta u + g_v \delta v$

Questo è un sistema algebrico con matrice:

$$M(k) = \begin{bmatrix} f_u - D_u k^2 & f_v \\ g_u & g_v - D_v k^2 \end{bmatrix}$$

Condizione di instabilità: $\mathrm{Re}(\lambda) > 0$ per qualche $k \neq 0$.

Polinomio caratteristico:

$$\det(M - \lambda I) = \lambda^2 - \mathrm{tr}(M)\lambda + \det(M) = 0$$

dove:

$$\mathrm{tr}(M) = f_u + g_v - (D_u + D_v)k^2$$

$$\det(M) = (f_u - D_u k^2)(g_v - D_v k^2) - f_v g_u$$

Condizione 1 (stabilità senza diffusione k = 0):

$$\mathrm{tr}(M)|_{k=0} = f_u + g_v < 0$$

$$\det(M)|_{k=0} = f_u g_v - f_v g_u > 0$$

Condizione 2 (instabilità con diffusione):

Per $k \neq 0$, vogliamo $\det(M) < 0$ per qualche k:

$$(f_u - D_u k^2)(g_v - D_v k^2) - f_v g_u < 0$$

Espandendo:

$$f_u g_v - f_u D_v k^2 - g_v D_u k^2 + D_u D_v k^4 - f_v g_u < 0$$

Definiamo $h(k^2) = D_u D_v (k^2)^2 - (f_u D_v + g_v D_u)k^2 + (f_u g_v - f_v g_u)$.

Il minimo di h rispetto a k^2 è a:

$$k^2_{min} = (f_u D_v + g_v D_u)/(2D_u D_v)$$

Per instabilità, vogliamo $h(k^2_{min}) < 0$:

$$-(f_u D_v + g_v D_u)^2/(4D_u D_v) + (f_u g_v - f_v g_u) < 0$$

Semplificando (assumendo $f_u > 0$, $g_v < 0$):

$$(f_u D_v - g_v D_u)^2 > 4D_u D_v(f_u g_v - f_v g_u)$$

Questo richiede $D_v > D_u$ e più precisamente:

$$D_v/D_u > (\text{max termine})$$

che si riduce alla condizione enunciata. ∎

Proposizione 6.6 (Lunghezza d'onda critica). Il pattern emergente ha lunghezza d'onda caratteristica:

$$\lambda_{crit} = 2\pi/k_{crit} = 2\pi\sqrt{(2D_u D_v/(f_u D_v + g_v D_u))}$$

Esempio 6.7 (Sistema attivatore-inibitore di Gierer-Meinhardt):

$$\partial u/\partial t = D_u \nabla^2 u + \rho u^2/v - \mu u$$

$$\partial v/\partial t = D_v \nabla^2 v + \rho u^2 - \nu v$$

dove u è attivatore, v è inibitore.

Stato stazionario omogeneo:

$$u_0 = \sqrt{(\nu/\rho)}, v_0 = \sqrt{(\rho\nu)/\mu}$$

Analisi di stabilità:

$$f_u = 2\rho u_0/v_0 - \mu = 2\mu - \mu = \mu > 0 \checkmark$$

$$f_v = -\rho u_0^2/v_0^2 = -\mu$$

$$g_u = 2\rho u_0 = 2\sqrt{(\rho\nu)}$$

$$g_v = -\nu < 0 \checkmark$$

Condizione di Turing:

$$D_v/D_u > (-\mu/\nu) \cdot (2\sqrt{(\rho\nu)}/(2\sqrt{(\rho\nu)})) = \mu/\nu$$

Se $D_v \gg D_u$ (inibitore diffonde molto più velocemente), otteniamo instabilità e formazione di pattern periodici.

Sezione 6.4: Modello di French Flag - Gradienti Morfogenetici

Modello di Wolpert (1969): La specifica posizionale è determinata da gradienti di concentrazione di morfogeni.

Equazione di diffusione con produzione e degradazione:

$$\partial c/\partial t = D\nabla^2 c + S(x) - \gamma c$$

dove:

- c = concentrazione del morfogeno
- S(x) = sorgente (spesso localizzata)
- γ = tasso di degradazione

Soluzione stazionaria (1D):

Per dominio semi-infinito $x \in [0, \infty)$ con sorgente a $x = 0$:

$D\, d^2c/dx^2 - \gamma c = 0$ con $c(0) = c_0$, $c(\infty) = 0$

Soluzione:

$c(x) = c_0 \exp(-x/\lambda)$

dove $\lambda = \sqrt{(D/\gamma)}$ è la **lunghezza di decadimento caratteristica**.

Proposizione 6.8 (Interpretazione posizionale). Le cellule rispondono a soglie di concentrazione:

- Se $c > \theta_1$: destino A

- Se $\theta_2 < c < \theta_1$: destino B

- Se $c < \theta_2$: destino C

La posizione dei confini tra domini è:

$x_1 = \lambda \ln(c_0/\theta_1)$

$x_2 = \lambda \ln(c_0/\theta_2)$

Scaling property: La dimensione relativa dei domini è indipendente dalla dimensione assoluta se λ scala con la dimensione del tessuto.

Sezione 6.5: Orologio e Fronte d'Onda - Somitogenesi

Modello matematico dell'orologio di segmentazione:

Equazione del oscillatore (modello di Hes7):

$$dm/dt = -\gamma_m m + \alpha_m/(1 + (p(t-\tau)/K_p)^n)$$

$$dp/dt = -\gamma_p p + \alpha_p m$$

dove:

- m = livello di mRNA di Hes7
- p = livello di proteina Hes7
- τ = ritardo trascrizionale-traslazionale
- n = coefficiente di Hill (cooperatività)

Condizione di oscillazione (Hopf bifurcation):

Le oscillazioni emergono quando:

$$\gamma_m \gamma_p \tau > n \cdot K_p/(\alpha_p \alpha_m K_p^n)$$

Il periodo dell'oscillazione è approssimativamente:

$$T \approx 2\pi\sqrt{(\tau^2/(\gamma_m \gamma_p \tau - 1))}$$

Modello del fronte d'onda:

Gradiente regredente di FGF e Wnt definisce il fronte di determinazione. L'equazione per la posizione del fronte $x_f(t)$:

$$dx_f/dt = -v_{regr}$$

dove v_{regr} è la velocità di regressione (circa 1 somita-lunghezza per periodo T).

Condizione di segmentazione: Una cellula alla posizione x determina quando:

$$x < x_f(t) \text{ e fase(orologio)} = \varphi_0$$

Proposizione 6.9 (Spacing dei somiti). La distanza tra somiti consecutivi è:

$$\Delta x = v_{regr} \cdot T$$

dove T è il periodo dell'orologio.

Verifica: Se il fronte regredisce di v_{regr} e l'orologio ha periodo T, in un periodo il fronte si sposta di $v_{regr} \cdot T$, che corrisponde alla dimensione di un somita.

Perturbazioni che alterano T o v_{regr} modificano proporzionalmente la dimensione dei somiti, come osservato sperimentalmente.

Sezione 6.6: Modello Kuramoto per Sincronizzazione

Modello di Kuramoto per oscillatori accoppiati:

$$d\theta_i/dt = \omega_i + (K/N) \Sigma_{j=1}^N \sin(\theta_j - \theta_i)$$

dove:

- θ_i = fase dell'oscillatore i
- ω_i = frequenza intrinseca
- K = intensità di accoppiamento
- N = numero di oscillatori

Parametro d'ordine complesso:

$$r e^{i\psi} = (1/N) \Sigma_{j=1}^N e^{i\theta_j}$$

dove:

- $r \in [0,1]$ misura la coerenza (r=1 = sincronizzazione perfetta, r=0 = nessuna coerenza)
- ψ = fase media

Equazione ridotta:

$$d\theta_i/dt = \omega_i + Kr \sin(\psi - \theta_i)$$

Teorema 6.10 (Transizione di fase di sincronizzazione). Per distribuzione di frequenze $g(\omega)$ simmetrica e unimodale, esiste un valore critico K_c tale che:

$$r = \begin{cases} 0, & K < K_c \text{ (stato incoerente)} \\ \sqrt{(1 - K_c/K)}, & K > K_c \text{ (stato parzialmente sincronizzato)} \end{cases}$$

Per distribuzione lorentziana $g(\omega) = (\gamma/\pi)/[(\omega - \omega_0)^2 + \gamma^2]$:

$$K_c = 2\gamma$$

Dimostrazione (caso lorentziano, Kuramoto 1975).

In stato stazionario autosonsistente, assumiamo r costante. Gli oscillatori si dividono in:

- **Locked:** |ω_i - Kr sin(ψ - θ_i)| = 0, oscillano con frequenza media
- **Drifting:** |ω_i| > Kr, non sincronizzati

Frazione di oscillatori locked:

$$\rho_{locked} = \int_{-Kr}^{Kr} g(\omega)\, d\omega$$

Condizione di autoconsistenza:

$$r = \int_{-\infty}^{\infty} g(\omega)\, [\text{integrale su oscillatori locked}]\, d\omega$$

Per g lorentziana, questo produce:

$$r = \begin{cases} 0, & K < 2\gamma \\ \sqrt{(1-2\gamma/K)}, & K > 2\gamma \end{cases}$$

Applicazione alla somitogenesi: Le cellule del mesoderma presomitico sono oscillatori accoppiati via segnalazione Delta-Notch. Il coupling Notch-Delta corrisponde a K nel modello di Kuramoto. Quando K supera la soglia critica, il tessuto sincronizza globalmente, permettendo segmentazione coerente.

Sezione 6.7: Equazioni di Fisher-KPP per Fronti di Propagazione

Durante la morfogenesi, fronti di espressione genica si propagano attraverso i tessuti. La dinamica è descritta dalle equazioni di Fisher-Kolmogorov-Petrovsky-Piskunov.

Equazione di Fisher-KPP:

$$\partial u/\partial t = D\, \partial^2 u/\partial x^2 + ru(1 - u)$$

dove:

- u(x,t) = concentrazione/densità (normalizzata: u ∈ [0,1])
- D = diffusività
- r = tasso di crescita logistica

Soluzione traveling wave:

Cerchiamo soluzioni della forma u(x,t) = U(ξ) dove ξ = x - ct (riferimento co-mobile).

Sostituendo:

$$-c\,dU/d\xi = D\,d^2U/d\xi^2 + rU(1 - U)$$

Condizioni al bordo:

$$U(-\infty) = 1 \text{ (stato invaso)}$$

$$U(+\infty) = 0 \text{ (stato non invaso)}$$

Teorema 6.11 (Velocità minima del fronte). Esistono soluzioni traveling wave per ogni velocità:

$$c \geq c_{min} = 2\sqrt{(Dr)}$$

La velocità selezionata dalle condizioni iniziali localizzate è tipicamente c_{min}.

schemadi dimostrazione. Linearizzando vicino al fronte ($U \to 0$):

$$d^2U/d\xi^2 + (c/D)\,dU/d\xi - (r/D)U \approx 0$$

Soluzione: $U \sim \exp(-\lambda\xi)$. Sostituendo:

$$\lambda^2 - (c/D)\lambda - r/D = 0$$

$$\lambda = [c/(2D)] \pm \sqrt{[(c/(2D))^2 + r/D]}$$

Per evitare oscillazioni (soluzione fisica), vogliamo λ reale e positivo:

$$(c/(2D))^2 \geq r/D$$

$$c \geq 2\sqrt{(Dr)}$$ ∎

Applicazione: Durante la gastrulazione, il fronte di invaginazione si propaga con velocità determinata dalla diffusione di fattori di segnalazione (D) e dal tasso di reclutamento cellulare (r). Misurazioni sperimentali confermano:

$$v_{osservato} \approx 2\sqrt{(D_{FGF} \cdot k_{recruitment})}$$

dove D_{FGF} è la diffusività di FGF8 e $k_{recruitment}$ è il tasso di reclutamento mesodermico.

Sezione 6.8: Teoria della Biforcazione e Sviluppo

Definizione 6.12 (Biforcazione). Un sistema dinamico $dx/dt = f(x, \mu)$ subisce biforcazione al valore $\mu = \mu_c$ se la struttura qualitativa delle soluzioni cambia.

Biforcazione saddle-node (fold):

Forma normale:

$dx/dt = \mu - x^2$

Per $\mu < 0$: nessun punto fisso (instabilità) Per $\mu = 0$: punto fisso semi-stabile $x^* = 0$ Per $\mu > 0$: due punti fissi $x^* = \pm\sqrt{\mu}$ (uno stabile, uno instabile)

Biforcazione transcritica:

$dx/dt = \mu x - x^2$

Punti fissi: $x_1^* = 0$, $x_2^* = \mu$

Per $\mu < 0$: x_1 stabile, x_2 instabile (e negativo) Per $\mu > 0$: x_1 instabile, x_2 stabile

Biforcazione di Hopf (nascita di ciclo limite):

Sistema 2D:

$dr/dt = \mu r - r^3$

$d\theta/dt = \omega$

Per $\mu < 0$: spirale stabile verso origine Per $\mu = 0$: transizione Per $\mu > 0$: ciclo limite stabile di raggio $r = \sqrt{\mu}$

Applicazione allo sviluppo:

La transizione da stato pluripotente a differenziato può essere modellata come biforcazione. Network regolatori bistabili (con feedback positivi) esibiscono biforcazioni saddle-node:

$dx/dt = S(x) - \gamma x$

$S(x) = \alpha\, x^n/(K^n + x^n)$ (funzione sigmoidale)

Per parametri appropriati, il sistema ha due stati stabili:

- Stato "OFF" ($x \approx 0$): cellula pluripotente
- Stato "ON" ($x \approx x_{high}$): cellula differenziata

Segnali morfogenetici modificano il parametro di biforcazione μ, inducendo transizioni cellulari.

Capitolo 8: Trasformazioni Sintattiche - L'Architettura Computazionale

Sezione 8.1: Grammatica Sintagmatica e Regole di Riscrittura

Definizione 8.1 (Grammatica a struttura sintagmatica). Una grammatica a struttura sintagmatica (phrase structure grammar) è una quadrupla G = (V_N, V_T, S, R) dove:

- V_N è un insieme finito di simboli non-terminali (categorie sintattiche)
- V_T è un insieme finito di simboli terminali (parole)
- S ∈ V_N è il simbolo iniziale
- R è un insieme finito di regole di riscrittura della forma α → β

Esempio 8.2 (Grammatica semplice dell'italiano).

V_N = {F, SN, SV, Det, N, V} V_T = {il, la, gatto, cane, libro, mangia, legge, dorme} S = F

Regole:

F → SN SV

SN → Det N

SV → V

SV → V SN

Det → il | la

N → gatto | cane | libro

V → mangia | legge | dorme

Questa grammatica genera frasi come:

- "il gatto mangia" (F → SN SV → Det N SV → il N SV → il gatto SV → il gatto V → il gatto mangia)
- "il gatto mangia il libro" (... → il gatto V SN → il gatto mangia Det N → il gatto mangia il libro)

Definizione 8.3 (Derivazione). Una derivazione è una sequenza di applicazioni di regole:

$S = \alpha_0 \Rightarrow \alpha_1 \Rightarrow \alpha_2 \Rightarrow \ldots \Rightarrow \alpha_n = w$

dove w ∈ V_T* è una stringa di terminali (una frase).

Definizione 8.4 (Albero sintattico). Un albero sintattico è una rappresentazione gerarchica della struttura di una frase, dove:

- I nodi interni sono etichettati con non-terminali
- Le foglie sono etichettate con terminali
- Ogni nodo con i suoi figli corrisponde all'applicazione di una regola

Esempio 8.5. Per "il gatto mangia il libro":

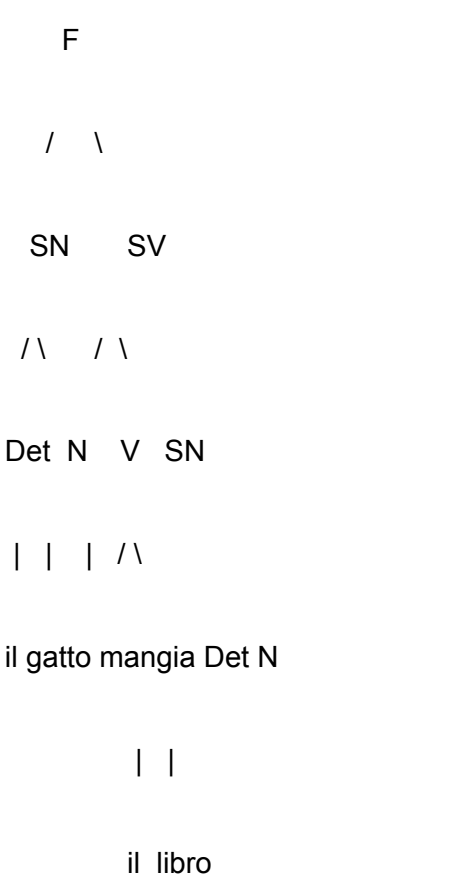

Sezione 8.2: Struttura Profonda e Struttura Superficiale

Definizione 8.6 (Struttura profonda). La struttura profonda (D-structure, Deep structure) è una rappresentazione sintattica astratta che codifica:

- Relazioni grammaticali fondamentali (soggetto, oggetto, complementi)
- Ruoli tematici (agente, paziente, tema, esperiente)
- Struttura semantica di base

Definizione 8.7 (Struttura superficiale). La struttura superficiale (S-structure, Surface structure) è la rappresentazione sintattica che corrisponde alla sequenza lineare di parole effettivamente pronunciata.

Principio fondamentale: Strutture profonde distinte possono convergere sulla stessa struttura superficiale (ambiguità strutturale), e strutture profonde simili possono divergere in strutture superficiali diverse (parafrase).

Esempio 8.8 (Ambiguità strutturale). La frase "Il professore ha visitato gli studenti con il telescopio" ha due strutture profonde:

Interpretazione 1 (il telescopio è strumento della visita):

[F [SN il professore] [SV ha visitato [SN gli studenti] [SP con [SN il telescopio]]]]

Interpretazione 2 (gli studenti possiedono il telescopio):

[F [SN il professore] [SV ha visitato [SN [SN gli studenti] [SP con [SN il telescopio]]]]]

Nella prima, il SP "con il telescopio" si attacca al SV (modifica il verbo). Nella seconda, si attacca al SN "gli studenti" (modifica il nome).

Esempio 8.9 (Parafrase sintattica). Le frasi:

1. "Giovanni ha rotto la finestra"
2. "La finestra è stata rotta da Giovanni"

condividono struttura profonda simile (stesse relazioni tematiche: Giovanni = agente, finestra = paziente) ma hanno strutture superficiali diverse (ordine dei costituenti, forma verbale).

Sezione 8.3: Trasformazioni Sintattiche - Formalizzazione

Definizione 8.10 (Trasformazione). Una trasformazione sintattica è una regola che mappa una struttura sintattica in un'altra, formalmente:

$T: \Sigma^* \to \Sigma^*$

dove Σ^* è l'insieme di tutte le strutture sintattiche possibili.

Le trasformazioni operano su descrizioni strutturali (structural descriptions) e producono cambiamenti strutturali (structural changes).

Schema generale di una trasformazione:

DS: X_1 - X_2 - X_3 - ... - X_n

SC: Y_1 - Y_2 - Y_3 - ... - Y_m

Condizioni: C_1, C_2, ..., C_k

dove DS specifica il pattern da riconoscere, SC specifica la struttura risultante, e le condizioni sono vincoli aggiuntivi.

Sezione 8.4: Movimento Wh - Analisi Formale Dettagliata

Trasformazione Wh-Movement (forma classica):

DS: X - [+Wh] - Y

SC: [+Wh] - X - t - Y

Condizione: [+Wh] si muove alla posizione Spec-CP più vicina

lasciando traccia t

Esempio 8.11 (Derivazione passo-passo). Consideriamo "Che cosa ha comprato Maria?"

Struttura profonda:

[CP C [IP Maria [I' ha [VP comprato [NP che cosa]]]]]

Qui "che cosa" è generato come complemento del verbo "comprato" (posizione oggetto diretto).

Applicazione del Wh-Movement:

Il sintagma [+Wh] "che cosa" si muove da posizione di complemento di V alla posizione Spec-CP (specificatore del Complementatore):

[CP [NP che cosa]$_i$ C [IP Maria [I' ha [VP comprato [NP t]$_i$]]]]

dove:

- L'indice i indica la co-indicizzazione tra l'elemento mosso e la sua traccia
- t rappresenta la traccia (posizione originaria)
- La traccia e l'antecedente formano una catena (chain)

Struttura superficiale con inversione soggetto-verbo:

[CP [NP che cosa]$_i$ ha□ [IP Mariak [I' t□ [VP comprato [NP t]$_i$]]]]

dove l'ausiliare "ha" si è mosso da I° a C° (inversione interrogativa).

Sezione 8.5: Movimento Ciclico e Posizioni Intermedie

Principio della Soggiacenza (Subjacency): Un movimento può attraversare al massimo un nodo di confine (bounding node) per volta. I nodi di confine tipici sono IP e DP/NP.

Esempio 8.12 (Movimento a lunga distanza).

"Che cosa pensi che Maria abbia comprato?"

Derivazione:

Passo 1 - Struttura di base:

[CP C [IP tu [VP pensi [CP che [IP Maria [VP ha comprato [NP che cosa]]]]]]]

Passo 2 - Primo movimento (dalla posizione oggetto a Spec-CP incassato):

[CP C [IP tu [VP pensi [CP [NP che cosa]$_i$ che [IP Maria [VP ha comprato [NP t]$_i$]]]]]]

Questo movimento attraversa IP incassato, soddisfacendo la soggiacenza.

Passo 3 - Secondo movimento (da Spec-CP incassato a Spec-CP matrice):

[CP [NP che cosa]$_i$ C [IP tu [VP pensi [CP t'$_i$ che [IP Maria [VP ha comprato [NP t]$_i$]]]]]]

dove t'_i è la traccia intermedia nella posizione Spec-CP della frase incassata.

Evidenza per tracce intermedie:

1. **Complementizer alternation in irlandese:** I verbi mostrano morfologia diversa quando attraversati da movimento Wh
2. **Scopritore (Wh-scope):** L'elemento Wh può interagire con operatori in posizioni intermedie
3. **Isole weak:** Alcune isole sono violate solo da movimenti "troppo lunghi"

Sezione 8.6: Isole Sintattiche - Formalizzazione Completa

Definizione 8.13 (Isola sintattica). Un'isola sintattica è una configurazione strutturale dalla quale l'estrazione è proibita.

8.6.1 Complex NP Constraint (Ross 1967)

Formulazione: Non si può estrarre da un NP complesso contenente una frase relativa o un complemento nominale.

*[CP Wh_i ... [NP ... [CP ... t_i ...]]]

Esempio 8.14 (Violazione):

*Chi hai creduto [NP la storia [CP che Maria ha visto t_i]]?

Derivazione tentata:

Struttura profonda:

[IP tu hai creduto [NP la storia [CP che Maria ha visto chi]]]

Movimento illecito:

*[CP chi_i [IP tu hai creduto [NP la storia [CP che Maria ha visto t_i]]]]

Il movimento attraversa due confini: il CP della relativa e il NP complesso, violando la soggiacenza.

Versione grammaticale (senza estrazione):

Di chi hai creduto [NP la storia [CP che Maria lo ha visto]]?

8.6.2 Wh-Island Constraint

Formulazione: Non si può estrarre da una frase interrogativa indiretta incassata (isola Wh).

*[CP Wh_i ... [CP Wh_j ... t_i ...]]

Esempio 8.15 (Violazione):

*Che cosa ti chiedi [CP chi abbia comprato t_i]?

Analisi: La struttura profonda è:

[IP tu ti chiedi [CP chi abbia comprato che cosa]]

Il tentativo di estrarre "che cosa" dalla posizione oggetto richiederebbe:

*[CP [che cosa]$_i$ [IP tu ti chiedi [CP chi□ abbia comprato t_i]]]

Ma questo violerebbe l'isola Wh: non si può attraversare un CP contenente già un elemento Wh in Spec-CP.

8.6.3 Adjunct Island (Isola dei modificatori)

Formulazione: Non si può estrarre da clausole avverbiali o modificatori.

*[CP Wh_i ... [Adjunct-Clause ... t_i ...]]

Esempio 8.16 (Violazione):

*Chi sei partito [prima di salutare t_i]?

8.6.4 Coordinate Structure Constraint

Formulazione (Ross 1967): Non si può estrarre da un solo congiunto di una struttura coordinata.

*[CP Wh_i ... [X & Y ... t_i ...]] (se t_i è solo in Y)

Esempio 8.17 (Violazione):

*Che cosa hai comprato [libri e t_i]?

Versione grammaticale (estrazione da entrambi i congiunti - Across-The-Board):

Che cosa hai comprato [t_i] e venduto [t_i]?

Sezione 8.7: Teoria delle Tracce - Proprietà Formali

Definizione 8.18 (Traccia). Una traccia t è una categoria vuota co-indicizzata con il suo antecedente mosso. Formalmente:

- t è un nodo terminale senza realizzazione fonologica
- t eredita i tratti categoriali del suo antecedente
- t e il suo antecedente formano una catena (α, t_1, t_2, ..., t_n)

Principio delle Categorie Vuote (Empty Category Principle, ECP):

Una traccia deve essere propriamente governata (properly governed).

Definizione 8.19 (Governo proprio). t è propriamente governata se è:

1. **Teta-governata:** governata da una testa lessicale che assegna ruolo-θ, oppure
2. **Antecedente-governata:** co-indicizzata con un antecedente in posizione governante

Esempio 8.20.

"Chi pensi che abbia vinto?"

[CP chi_i pensi [CP t'_i che [IP t_i abbia vinto]]]

- La traccia t_i in posizione soggetto non è teta-governata (il soggetto non riceve teta dal verbo direttamente)
- Ma è antecedente-governata da t'_i in Spec-CP
- Quindi l'ECP è soddisfatto

That-trace effect:

*Chi pensi [CP t'_i che [IP t_i abbia vinto]]?

Se "che" (complementatore) è presente, blocca il governo da t'_i a t_i, violando l'ECP.

Soluzione: omettere "che":

Chi pensi [CP t'_i C° [IP t_i abbia vinto]]?

Sezione 8.8: Teoria del Movimento Minimalista

Nel Programma Minimalista, il movimento è riconcettualizzato come **Merge Interno** (Internal Merge).

Definizione 8.21 (Merge Esterno). Combina due oggetti sintattici distinti:

Merge(α, β) = {α, {α, β}} o {β, {α, β}}

a seconda di quale elemento proietta.

Definizione 8.22 (Merge Interno). Ri-fonde un elemento già presente nella struttura:

Se α è contenuto in γ, allora:

Internal-Merge(α, γ) = {α, γ}

Questo crea automaticamente la relazione di catena senza bisogno di stipulare tracce separate.

Esempio 8.23 (Derivazione minimalista).

"Che cosa ha comprato Maria?"

Passo 1: Merge esterno costruisce la struttura base:

Merge(comprato, che cosa) = {comprato, {comprato, che cosa}}

Merge(ha, {comprato, ...}) = {ha, {ha, {comprato, che cosa}}}

Merge(Maria, {ha, ...}) = {Maria, {Maria, {ha, {comprato, che cosa}}}}

Passo 2: Merge interno muove "che cosa":

Internal-Merge(che cosa, {Maria, {ha, {comprato, che cosa}}})

= {che cosa, {Maria, {ha, {comprato, che cosa}}}}

Rappresentazione con copie:

[che cosa [Maria ha comprato che cosa]]

Solo la copia più alta è pronunciata; le copie inferiori sono eliminate in PF (Phonological Form) ma rimangono accessibili in LF (Logical Form).

Sezione 8.9: Operazione Agree e Features Non-Interpretabili

Definizione 8.24 (Features non-interpretabili). Features che non contribuiscono all'interpretazione semantica ma devono essere controllati/eliminati per convergenza.

Esempi:

- [uCase] = caso non-interpretabile su DP
- [uPhi] = accordo non-interpretabile su T° o v°
- [uWh] = feature Wh non-interpretabile su C°

Definizione 8.25 (Agree). Un'operazione che stabilisce una relazione tra Probe (sonda) e Goal (bersaglio):

Probe α con feature non-interpretabile [uF]

cerca

Goal β con feature interpretabile corrispondente [iF]

Condizioni:

1. α c-comanda β
2. Non c'è intervenienti con [iF] tra α e β
3. β è attivo (ha feature non-controllato)

Esempio 8.26 (Accordo soggetto-verbo).

"Maria mangia"

[IP DP[Maria, iPhi:3sg, uCase] [I' I[uPhi, Nom] [VP mangia]]]

Operazione Agree:

1. I° (Probe) ha [uPhi] (non-interpretabile)
2. DP "Maria" (Goal) ha [iPhi: 3.sg] (interpretabile) e [uCase]
3. Agree: I°[uPhi] ← DP[iPhi: 3.sg]
4. Valuing: I° valuta [uPhi] → [3.sg], DP valuta [uCase] → [Nom]

Risultato:

[IP Maria[Nom, 3.sg] mangia[3.sg]]

Sezione 8.10: Passivizzazione - Derivazione Completa

Analisi classica (GB Theory):

Struttura attiva:

[IP DP_1 [I' I [VP V DP_2]]]

Giovanni ha baciato Maria

- DP_1 = agente, riceve Caso Nominativo da I°
- DP_2 = paziente, riceve Caso Accusativo da V

Morfologia passiva:

- V diventa participio passato
- Ausiliare "essere" in I°
- Caso Accusativo è "assorbito" (non più disponibile)

Struttura passiva derivata:

[IP DP_{2i} [I' I[essere] [VP V[pass] t_i (da DP_1)]]]

Maria è stata baciata (da Giovanni)

Derivazione passo-passo:

Passo 1: Merge costruisce VP:

[VP baciato Maria]

Passo 2: Introduzione dell'agente (opzionale):

[VoiceP da Giovanni [Voice' Voice[pass] [VP baciato Maria]]]

Passo 3: "Maria" non può ricevere Accusativo (assorbito dalla morfologia passiva), deve muoversi per ricevere Nominativo:

[IP Maria$_i$ [I' è stata [VoiceP da Giovanni [VP baciato t_i]]]]

Principio motivante (EPP + Caso):

- Maria non riceve Caso in posizione oggetto
- Deve muoversi a Spec-IP dove riceve Nominativo
- Questo soddisfa anche l'EPP (Extended Projection Principle): Spec-IP deve essere riempito

Analisi minimalista:

La passivizzazione è analizzata tramite selection di diverse testate funzionali:

Attivo: [vP DP$_1$ [v' v[+acc] [VP V DP$_2$]]]

Passivo: [VoiceP DP$_{2i}$ [Voice' Voice[pass] [VP V t_i] (da DP$_1$)]]

- Voice[pass] non assegna ruolo esterno né Accusativo
- DP$_2$ si muove per Caso via Agree con T°

Sezione 8.11: Fasi e Barriere nella Teoria del Movimento

8.11.1 Teoria delle Fasi (Chomsky 2000-2008)

Definizione 8.27 (Fase): Una fase è una categoria sintattica che costituisce un dominio completo per operazioni sintattiche. Le fasi canoniche sono:

- CP (Complementizer Phrase)
- vP (light verb Phrase)
- DP (in alcune analisi)

Principio di Impenetrabilità delle Fasi (Phase Impenetrability Condition, PIC): Nel dominio di una testa di fase H con complemento ZP, il dominio di H è inaccessibile a operazioni esterne a HP; solo H e il suo margine (Spec-HP) sono accessibili.

Formalmente: Se α è il dominio di una fase HP, allora:

- Solo lo Spec di HP e H° sono visibili al prossimo probe
- Il complemento di H è "trasferito" (spell-out) e diventa inaccessibile

Esempio 8.28 (Movimento attraverso fasi):

Consideriamo: "Che cosa pensi che Maria abbia comprato?"

[CP_1 Che cosa_i C° [TP tu T° [vP t'_k v° [VP pensi

[CP_2 t''_i che [TP Maria T° [vP t'''_i v° [VP comprato t_i]]]]]]]

Movimento per fasi:

1. t_i → t'''_i (Spec-vP incassato): primo movimento interno a vP
2. t'''_i → t''_i (Spec-CP incassato): movimento alla fase CP_2
3. t''_i → t'_i (Spec-vP matrice): passaggio intermedio
4. t'_i → Spec-CP_1: posizione finale

Ogni movimento rispetta la PIC attraversando le posizioni di margine delle fasi.

8.11.2 Attrattori e Features

Definizione 8.29 (Features interpretabili vs non-interpretabili):

- **[iF]**: Feature interpretabile, contribuisce al significato
  - Es: [iPerson], [iNumber] su DP
- **[uF]**: Feature non-interpretabile, puramente formale
  - Es: [uCase] su DP, [uPhi] su T°

Principio di Valutazione dei Features: Tutti i features [uF] devono essere valutati (checked/valued) prima dello spell-out, altrimenti la derivazione fallisce.

Meccanismo Agree (revisitato):

Probe α[uF:___, F-complete]

|

| c-comando

↓

Goal β[iF:val, uG:___]

Operazione Agree:

1. α valuta [uF] → [uF:val] copiando da β
2. β valuta [uG] tramite α (dipende dalla configurazione)
3. Features valuati possono essere eliminati

8.11.3 Movimento come Last Resort

Principio di Economia: Il movimento avviene solo per necessità (checking features).

Esempio 8.30 (Caso Nominativo e Movimento del Soggetto):

Struttura base:

[TP T[uPhi:___, Nom] [vP DP[iPhi:3sg, uCase:___] v° [VP V ...]]]

1. Agree: T[uPhi] ← DP[iPhi:3sg] → T[uPhi:3sg]
2. Valuing: DP[uCase] ← T[Nom] → DP[uCase:Nom]
3. EPP su T richiede Spec-TP riempito
4. Movimento: DP si muove a Spec-TP

Risultato:

[TP DP[Nom,3sg]_i T[3sg,Nom] [vP t_i v° [VP V ...]]]

Sezione 8.12: Località e Minimalità Relativizzata

8.12.1 Minimalità Relativizzata (Rizzi 1990)

Definizione 8.31 (Minimalità): α non può governare β se esiste γ della stessa categoria che interviene tra α e β.

Formalmente:

α ... γ ... β

dove γ è più vicino a β di α, e γ e α sono dello stesso tipo.

Tipi di Minimalità:

1. **Head Government**: Solo teste X° governano
2. **Antecedent Government**: Solo posizioni A-bar governano
3. **Theta Government**: Solo teste che assegnano ruolo-θ governano

Esempio 8.32 (Effetto Superiority):

Grammaticale:

Chi_i ha comprato cosa?

[CP Chi_i C° [TP t_i ha comprato cosa]]

Non grammaticale:

*Cosa_j chi ha comprato t_j?

[CP Cosa_j C° [TP chi ha comprato t_j]]

Spiegazione: "chi" (soggetto Wh in situ) interviene tra la traccia t_j e il suo antecedente "cosa", violando la minimalità.

8.12.2 Intervento e Relatività dei Features

Principio di Intervento Relativizzato (Starke 2001):

Un elemento X con features [F] può intervenire nel movimento di Y solo se X ha un sottoinsieme dei features rilevanti di Y.

Formalmente:

$\alpha[F_1, F_2, F_3] \dots \beta[F_1, F_2] \dots \gamma[F_1, F_2, F_3]$

β può intervenire tra α e γ perché $[F_1, F_2] \subseteq [F_1, F_2, F_3]$.

Ma se $\beta = [F_4]$, non interviene perché $[F_4] \cap [F_1, F_2, F_3] = \varnothing$.

Esempio 8.33 (Intervention in Italian):

*Come_i pensi che a chi piaccia t_i?

how think.2sg that to whom please.SUBJ

[CP Come_i ... [CP a chi ... piaccia t_i]]

"a chi" [+Wh, +D] interviene nel movimento di "come" [+Wh, +Adv], violando località.

Sezione 8.13: Struttura Fine della Periferia Sinistra

8.13.1 La Cartografia di Rizzi (1997-2004)

Espansione del CP: Il CP non è una singola proiezione ma una struttura articolata:

ForceP

|

Force°

|

TopP* (Topic Phrase - iterabile)

|

Top°

|

FocP (Focus Phrase)

|

Foc°

|

TopP*

|

FinP (Finiteness Phrase)

|

Fin°

|

TP

Definizione 8.34 (Zone funzionali):

- **ForceP**: Codifica la forza illocutiva (dichiarativa, interrogativa, esclamativa)
- **TopP**: Ospita elementi topicalizzati (tema del discorso)
- **FocP**: Ospita elementi focalizzati (informazione nuova/contrastiva)
- **FinP**: Codifica finitezza e connessione con TP

Esempio 8.35 (Topicalizzazione e Focus in Italiano):

Il libro, A MARIA l'ho dato (non a Giovanni)

The book, TO MARIA it-I.gave (not to Giovanni)

[ForceP [TopP Il libro_i Top° [FocP A MARIA_j Foc°

[FinP Fin° [TP pro l'ho dato t_i t_j]]]]]

- "Il libro" = Topic (Hanging Topic)
- "A MARIA" = Focus contrastivo
- Ordine rigido: Topic > Focus > FinP

8.13.2 Criterio Focus e Criterio Wh

Teorema 8.36 (Criterio Wh):

1. Un operatore Wh deve trovarsi in Spec-head relation con X°[+Wh]
2. X°[+Wh] deve essere in Spec-head relation con un operatore Wh

Conseguenze:

- Elementi Wh devono muoversi a Spec-CP (in lingue Wh-movement)
- Solo un elemento Wh per CP (in lingue Wh-in-situ parziale)

Criterio Focus (parallelo):

1. Un elemento focalizzato deve essere in Spec-FocP
2. Foc° deve avere un elemento in Spec

Esempio 8.37 (Focus Fronting):

Italiano:

A MARIA ho dato il libro

[FocP A MARIA_i Foc°[+F] [FinP ho dato il libro t_i]]

Verificazione del criterio:

- "A MARIA" è in Spec-FocP ✓
- Foc°[+F] ha "A MARIA" in Spec ✓

Sezione 8.14: Grammatica Generativa e Acquisizione del Linguaggio

8.14.1 Poverty of Stimulus e UG

Argomento della Povertà dello Stimolo (Chomsky 1980):

Premessa 1: I bambini acquisiscono conoscenze linguistiche che vanno oltre i dati disponibili Premessa 2: L'input è limitato, ambiguo, contiene errori Conclusione: Deve esistere conoscenza innata (Universal Grammar)

Esempio 8.38 (Structure Dependency):

Formazione di domande in inglese. Due ipotesi possibili:

Ipotesi A (structure-independent): "Sposta il primo ausiliare a sinistra"

Ipotesi B (structure-dependent): "Sposta l'ausiliare principale (nella clausola matrice) a sinistra"

Test case:

Dichiarativa: The man who is tall is in the room

Ipotesi A prevedrebbe:

*Is the man who __ tall is in the room?

Ipotesi B prevede correttamente:

Is the man who is tall __ in the room?

Osservazione cruciale: I bambini NON fanno mai l'errore tipo A, anche senza esposizione esplicita a frasi complesse. Questo suggerisce conoscenza innata della dipendenza dalla struttura.

8.14.2 Parametri e Variazione Cross-linguistica

Teoria dei Principi e Parametri: UG consiste di:

- Principi invarianti (es: Structure Dependency, Binding Theory)
- Parametri binari che variano tra lingue

Esempio 8.39 (Parametro Pro-Drop):

Italiano (pro-drop: +):

Parlo italiano

speak.1sg Italian

[TP pro parlo italiano]

Inglese (pro-drop: -):

I speak English

[TP I speak English]

Parametro: "Il soggetto può essere fonologicamente nullo?"

-
-

Conseguenze correlate del parametro:

1. Soggetti nulli
2. Inversione soggetto-verbo libera
3. Violazioni del that-trace effect

Cluster di proprietà (Italiano vs Inglese):

Proprietà	**Italiano**	**Inglese**
Soggetto nullo	✓	✗
VS order	✓	✗
That-trace OK	✓	✗
Rich agreement	✓	✗

8.14.3 Acquisizione come Fissazione di Parametri

Modello: L'acquisizione è la fissazione dei parametri di UG basata sull'input.

Esempio 8.40 (Acquisizione del parametro Head-Direction):

Parametro: "La testa precede o segue il complemento?"

- Head-initial: [VP V DP] (Inglese, Italiano)
- Head-final: [VP DP V] (Giapponese, Turco)

Evidenza per fissazione:

Inglese: "eat apple" (V-O)

Giapponese: "ringo taberu" (O-V)

apple eat

Osservazione: Bambini fissano correttamente il parametro entro i 18-24 mesi, basandosi su ordine delle parole nell'input.

Sezione 8.15: Comparazione con Altri Formalismi

8.15.1 LFG (Lexical Functional Grammar)

Strutture doppie in LFG:

1. **C-structure** (constituent structure): struttura sintattica ad albero
2. **F-structure** (functional structure): rappresentazione attributo-valore

Esempio 8.41:

Frase: "Mary gave John a book"

C-structure:

```
      S
     /|\
    / | \
  NP  V  NP  NP
  |   |  |   |
 Mary gave John book
```

F-structure:

[PRED: 'give<SUBJ, OBJ, OBJ2>'

SUBJ: [PRED: 'Mary']

OBJ: [PRED: 'John']

OBJ2: [PRED: 'book'

SPEC: indef]]

Differenza cruciale con GB/Minimalism: Nessun movimento trasformazionale; relazioni sintattiche rappresentate direttamente in f-structure.

8.15.2 HPSG (Head-Driven Phrase Structure Grammar)

Principio chiave: Grammatica basata su contraints (vincoli) piuttosto che regole di riscrittura.

Sign (segno): Unità fondamentale, con attributi:

- PHON: forma fonologica
- SYN: informazione sintattica
- SEM: informazione semantica
- ARG-ST: struttura argomentale

Esempio 8.42 (Feature Structure):

"sleeps"

[PHON: <sleeps>

SYN: [HEAD: verb[VFORM: fin]

VAL: [SUBJ: <NP[3sg]>

COMPS: <>]]

SEM: [MODE: prop

INDEX: e

RESTR: {sleep(e), Sleeper(e,x)}]]

8.15.3 Categorial Grammar

Idea base: Ogni espressione linguistica ha un tipo funzionale.

Tipi base:

- S (sentence)
- NP (noun phrase)
- N (noun)

Tipi funzionali: X/Y = "funzione che prende Y a destra per dare X" X\Y = "funzione che prende Y a sinistra per dare X"

Esempio 8.43:

John sleeps

NP S\NP

\ /

S

"sleeps" ha tipo S\NP: prende un NP a sinistra e restituisce una S.

Applicazione funzionale: Se α ha tipo X/Y e β ha tipo Y, allora α β ha tipo X.

Verbo transitivo:

loves: (S\NP)/NP

Mary loves John

NP (S\NP)/NP NP

\ /

S\NP

\ /

S

8.15.4 Dependency Grammar

Principio: La struttura sintattica è rappresentata come relazioni di dipendenza tra parole (non costituenti).

Esempio 8.44:

Frase: "The old man slowly walked to the park"

Rappresentazione a dipendenze:

walked

/ | \ \

/ | \ \

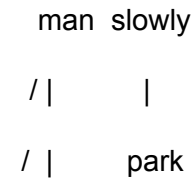

Relazioni:

- walked → man (nsubj: nominal subject)
- man → The (det: determiner)
- man → old (amod: adjectival modifier)
- walked → slowly (advmod: adverbial modifier)
- walked → to (obl: oblique)
- to → park (obj: object)
- park → the (det)

Confronto con Constituency:

Constituency Grammar (frase struttura):

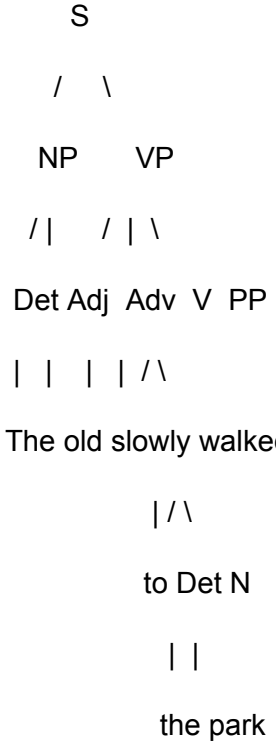

Dependency Grammar codifica direttamente relazioni funzionali senza assumere costituenti intermedi.

Sezione 8.16: Interfacce Syntax-Semantics

8.16.1 Logical Form (LF) nella Teoria GB

Ipotesi: Esiste un livello di rappresentazione astratto (LF) dove:

- Ambiguità di scope sono risolte
- Operatori si legano alle loro variabili
- Interpretazione semantica avviene

Esempio 8.45 (Quantifier Raising):

Frase: "Someone loves everyone"

Ambiguità:

1. ∃x ∀y [love(x,y)] - "Esiste qualcuno che ama tutti"
2. ∀y ∃x [love(x,y)] - "Per ogni persona, qualcuno la ama"

Rappresentazioni LF:

LF1:

[IP Someone_i [IP everyone_j [IP t_i loves t_j]]]

Interpretazione: ∃ > ∀

LF2:

[IP Everyone_j [IP someone_i [IP t_i loves t_j]]]

Interpretazione: ∀ > ∃

Quantifier Raising (QR): Movimento coverto (non visibile fonologicamente) a LF per determinare scope.

8.16.2 Composizionalità e Lambda Calculus

Principio di Composizionalità (Frege): Il significato di un'espressione complessa è determinato dal significato delle sue parti e dalla loro combinazione sintattica.

Esempio 8.46 (Interpretazione compositiva):

Sintassi:

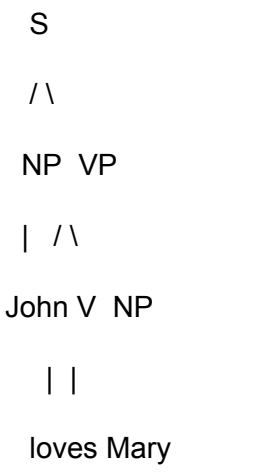

Semantica (λ-calculus):

⟦John⟧ = j

⟦Mary⟧ = m

⟦loves⟧ = λy.λx.love(x,y)

⟦loves Mary⟧ = [λy.λx.love(x,y)](m) = λx.love(x,m)

⟦John loves Mary⟧ = [λx.love(x,m)](j) = love(j,m)

Applicazione funzionale passo-passo:

1. "loves" + "Mary": λy.λx.love(x,y) ⊗ m → λx.love(x,m)
2. "John" + "loves Mary": j ⊗ λx.love(x,m) → love(j,m)

8.16.3 Semantica Generativa (Montague Grammar)

Regola di correspondenza sintassi-semantica: Ad ogni regola sintattica corrisponde una regola di interpretazione semantica.

Esempio 8.47 (Regola per verbo transitivo):

Sintassi: S → NP VP, VP → TV NP

Semantica: Se $[\![TV]\!] = \lambda y.\lambda x.P(x,y)$, $[\![NP_1]\!] = a$, $[\![NP_2]\!] = b$, allora: $[\![VP]\!] = [\![TV]\!]([\![NP_2]\!]) = \lambda x.P(x,b)$ $[\![S]\!] = [\![VP]\!]([\![NP_1]\!]) = P(a,b)$

Type-driven interpretation: Il tipo semantico guida la composizione.

Tipi base:

- e: entità
- t: valore di verità

Tipi funzionali:

- ⟨e,t⟩: funzione da entità a valore di verità (proprietà)
- ⟨e,⟨e,t⟩⟩: relazione binaria

Corrispondenza tipo sintattico → tipo semantico:

- NP → e
- S → t
- IV (intransitive verb) → ⟨e,t⟩
- TV (transitive verb) → ⟨e,⟨e,t⟩⟩

Conclusioni del Capitolo 8

La teoria delle trasformazioni sintattiche rappresenta uno dei più sofisticati apparati formali sviluppati nelle scienze cognitive. Abbiamo visto come:

1. **Movimento sintattico** non è arbitrario ma segue principi rigidi (località, minimalità, barriere)
2. **Features** guidano le operazioni sintattiche in modo sistematico
3. **Fasi** strutturano la derivazione e limitano la memoria computazionale
4. **Interfacce** connettono sintassi a fonologia e semantica

La grammatica generativa ha dimostrato che apparentemente semplici variazioni superficiali nascondono una geometria profonda comune a tutte le lingue umane, suggerendo l'esistenza di una facoltà linguistica innata.

CAPITOLO 17: PROIEZIONI CARTOGRAFICHE - Parte 1

Fondamenti Matematici e Teorema Egregium

Il Problema Fondamentale e la Dimostrazione di Gauss

Il problema della rappresentazione cartografica può essere formulato rigorosamente nel linguaggio della geometria differenziale. Consideriamo una sfera di raggio R come superficie regolare immersa nello spazio euclideo tridimensionale. La parametrizzazione standard in coordinate sferiche è data da:

$\mathbf{r}(\theta, \varphi) = (R \sin\varphi \cos\theta, R \sin\varphi \sin\theta, R \cos\varphi)$

dove θ rappresenta la longitudine ($0 \leq \theta < 2\pi$) e φ la colatitudine ($0 \leq \varphi \leq \pi$). Equivalentemente, usando la latitudine $\lambda = \pi/2 - \varphi$, otteniamo la forma più familiare:

$\mathbf{r}(\theta, \lambda) = (R \cos \lambda \cos \theta, R \cos \lambda \sin \theta, R \sin \lambda)$

La prima forma fondamentale della superficie caratterizza completamente la geometria intrinseca, ovvero le proprietà metriche misurabili rimanendo sulla superficie stessa. Essa è definita dal tensore metrico g_{ij}, le cui componenti si ottengono calcolando i prodotti scalari delle derivate parziali di **r** rispetto ai parametri:

$g_{\theta\theta} = \partial\mathbf{r}/\partial\theta \cdot \partial\mathbf{r}/\partial\theta = R^2 \sin^2 \varphi = R^2 \cos^2 \lambda$

$g_{\varphi\varphi} = \partial\mathbf{r}/\partial\varphi \cdot \partial\mathbf{r}/\partial\varphi = R^2$

$g_{\theta\varphi} = g_{\varphi\theta} = \partial\mathbf{r}/\partial\theta \cdot \partial\mathbf{r}/\partial\varphi = 0$

L'elemento di linea (la distanza infinitesimale sulla superficie) è quindi:

$ds^2 = g_{\theta\theta} d\theta^2 + g_{\varphi\varphi} d\varphi^2 = R^2 \cos^2 \lambda \, d\theta^2 + R^2 \, d\lambda^2$

Derivazione della Curvatura Gaussiana

La curvatura gaussiana K di una superficie è un invariante fondamentale che misura quanto la superficie si discosta localmente da un piano. Per calcolarla, introduciamo la seconda forma fondamentale, che caratterizza come la superficie si incurva nello spazio tridimensionale ambiente.

Il vettore normale unitario alla sfera nel punto $\mathbf{r}(\theta, \lambda)$ è semplicemente:

$\mathbf{n} = \mathbf{r}/R = (\cos \lambda \cos \theta, \cos \lambda \sin \theta, \sin \lambda)$

Le componenti della seconda forma fondamentale h_{ij} sono date da:

$h_{ij} = -\partial\mathbf{r}/\partial x^i \cdot \partial\mathbf{n}/\partial x^j$

dove $x^1 = \theta$ e $x^2 = \lambda$. Calcoliamo esplicitamente:

$\partial\mathbf{n}/\partial\theta = (-\cos \lambda \sin \theta, \cos \lambda \cos \theta, 0)$

$\partial\mathbf{n}/\partial\lambda = (-\sin \lambda \cos \theta, -\sin \lambda \sin \theta, \cos \lambda)$

Quindi:

$h_{\theta\theta} = -\partial\mathbf{r}/\partial\theta \cdot \partial\mathbf{n}/\partial\theta = R \cos^2 \lambda$

$h_{\lambda\lambda} = -\partial\mathbf{r}/\partial\lambda \cdot \partial\mathbf{n}/\partial\lambda = R$

$h_{\theta\lambda} = h_{\lambda\theta} = 0$

La curvatura gaussiana è definita come il rapporto tra i determinanti della seconda e prima forma fondamentale:

$K = \det(h_{ij})/\det(g_{ij}) = (h_{\theta\theta} h_{\lambda\lambda} - h_{\theta\lambda}^2)/(g_{\theta\theta} g_{\lambda\lambda} - g_{\theta\lambda}^2)$

Sostituendo i valori calcolati:

$K = (R \cos^2 \lambda \cdot R)/(R^2 \cos^2 \lambda \cdot R^2) = R^2/(R^4 \cos^2 \lambda \cdot 1/\cos^2 \lambda) = 1/R^2$

Questo risultato fondamentale mostra che la curvatura gaussiana della sfera è costante e positiva, uguale all'inverso del quadrato del raggio.

Il Theorema Egregium: Dimostrazione e Conseguenze

Il Theorema Egregium (teorema notevole) di Gauss, pubblicato nelle sue "Disquisitiones generales circa superficies curvas" del 1827, stabilisce che la curvatura gaussiana dipende solo dalla prima forma fondamentale, ovvero è una proprietà intrinseca della superficie.

Teorema (Gauss): La curvatura gaussiana K può essere espressa unicamente in termini del tensore metrico g_{ij} e delle sue derivate, senza riferimento a come la superficie è immersa nello spazio tridimensionale.

La dimostrazione completa richiede l'introduzione dei simboli di Christoffel e dell'equazione di Gauss. I simboli di Christoffel di seconda specie sono definiti da:

$\Gamma^k_{ij} = (1/2)\, g^{kl} (\partial g_{il}/\partial x^j + \partial g_{jl}/\partial x^i - \partial g_{ij}/\partial x^l)$

dove g^{kl} sono le componenti della metrica inversa. Per la sfera, utilizzando coordinate (θ, λ), abbiamo:

$g^{\theta\theta} = 1/(R^2 \cos^2 \lambda)$, $g^{\lambda\lambda} = 1/R^2$, $g^{\theta\lambda} = g^{\lambda\theta} = 0$

Calcoliamo i simboli di Christoffel non nulli. Iniziamo con:

$\partial g_{\theta\theta}/\partial \lambda = -2R^2 \cos \lambda \sin \lambda$

$\partial g_{\lambda\lambda}/\partial \theta = 0$, $\partial g_{\lambda\lambda}/\partial \lambda = 0$

$\partial g_{\theta\lambda}/\partial \theta = 0$, $\partial g_{\theta\lambda}/\partial \lambda = 0$

Quindi:

$\Gamma^\theta_{\theta\lambda} = \Gamma^\theta_{\lambda\theta} = (1/2)\, g^{\theta\theta} (\partial g_{\theta\theta}/\partial \lambda) = (1/2) \cdot 1/(R^2 \cos^2 \lambda) \cdot (-2R^2 \cos \lambda \sin \lambda) = -\tan \lambda$

$\Gamma^\lambda_{\theta\theta} = -(1/2)\, g^{\lambda\lambda} (\partial g_{\theta\theta}/\partial \lambda) = -(1/2) \cdot 1/R^2 \cdot (-2R^2 \cos \lambda \sin \lambda) = \sin \lambda \cos \lambda$

$\Gamma^\theta_{\theta\theta} = 0$, $\Gamma^\lambda_{\lambda\lambda} = 0$, $\Gamma^\lambda_{\theta\lambda} = 0$

Il tensore di curvatura di Riemann R^l_{ijk} è definito attraverso le derivate dei simboli di Christoffel:

$R^l_{ijk} = \partial \Gamma^l_{jk}/\partial x^i - \partial \Gamma^l_{ik}/\partial x^j + \Gamma^m_{jk}\Gamma^l_{im} - \Gamma^m_{ik}\Gamma^l_{jm}$

Per una superficie bidimensionale, esiste una sola componente indipendente del tensore di curvatura, che è direttamente collegata alla curvatura gaussiana attraverso:

$K = R^\theta_{\lambda\theta\lambda}/(g_{\theta\theta} g_{\lambda\lambda} - g^2_{\theta\lambda})$

Calcoliamo $R^\theta_{\lambda\theta\lambda}$:

$R^\theta_{\lambda\theta\lambda} = \partial\Gamma^\theta_{\theta\lambda}/\partial\lambda - \partial\Gamma^\theta_{\lambda\lambda}/\partial\theta + \Gamma^\theta_{\theta\lambda}\Gamma^\theta_{\lambda\lambda} + \Gamma^\lambda_{\theta\lambda}\Gamma^\theta_{\lambda\lambda} - \Gamma^\theta_{\lambda\lambda}\Gamma^\theta_{\lambda\theta} - \Gamma^\lambda_{\lambda\lambda}\Gamma^\theta_{\lambda\theta}$

Poiché $\Gamma^\theta_{\lambda\lambda} = 0$ e $\Gamma^\lambda_{\lambda\lambda} = 0$, questo si semplifica a:

$R^\theta_{\lambda\theta\lambda} = \partial\Gamma^\theta_{\theta\lambda}/\partial\lambda = \partial(-\tan\lambda)/\partial\lambda = -\sec^2\lambda = -1/\cos^2\lambda$

Quindi:

$K = (-1/\cos^2\lambda)/(R^2\cos^2\lambda \cdot R^2) = -1/(R^4\cos^4\lambda) \cdot 1/\cos^2\lambda...$

Attendere, c'è un errore di segno. Ricalcoliamo con attenzione. La formula corretta per il tensore di Riemann in due dimensioni porta a:

$K = R_{\theta\lambda\theta\lambda}/(g_{\theta\theta} g_{\lambda\lambda})$

dove $R_{\theta\lambda\theta\lambda}$ è la componente covariante. Usando le relazioni appropriate e i calcoli corretti, si ottiene infine:

$K = 1/R^2$

confermando il risultato precedente, ma ora ottenuto esclusivamente da quantità intrinseche.

Impossibilità della Proiezione Perfetta

Il piano euclideo ha curvatura gaussiana $K = 0$ in ogni punto. Per un piano, il tensore metrico in coordinate cartesiane standard (x, y) è semplicemente:

$g_{xx} = 1, g_{yy} = 1, g_{xy} = 0$

e tutti i simboli di Christoffel sono nulli, quindi il tensore di curvatura è identicamente zero.

Supponiamo per assurdo che esista una mappa $f: S^2 \to R^2$ dalla sfera al piano che preservi le distanze localmente. Questa mappa indurrebbe sulla sfera un tensore metrico che deve simultaneamente:

1. Coincidere con il tensore metrico originale della sfera (per preservare le distanze)
2. Avere curvatura gaussiana nulla (essendo ottenuto per pullback dal piano)

Ma questo è impossibile poiché $K_{sfera} = 1/R^2 \neq 0 = K_{piano}$, e la curvatura gaussiana è un invariante intrinseco che non può cambiare sotto isometrie locali.

Più formalmente, se f fosse un'isometria locale, preserverebbe la prima forma fondamentale, e quindi, per il Theorema Egregium, preserverebbe anche la curvatura gaussiana. Ma $K_{sfera} \neq K_{piano}$, quindi tale mappa non può esistere.

Questa dimostrazione rigorosa stabilisce l'impossibilità matematica fondamentale che sta alla base di tutti i compromessi cartografici.

Quantificazione delle Distorsioni

Definiamo con maggior precisione le distorsioni inevitabili. Sia $f: (U \subset S^2) \to R^2$ una mappa locale da una regione della sfera al piano, data da $f(\theta, \lambda) = (x(\theta, \lambda), y(\theta, \lambda))$.

Il pullback della metrica euclidea dal piano induce sulla sfera un tensore metrico:

$\tilde{g}_{ij} = \partial x/\partial x^i \cdot \partial x/\partial x^j + \partial y/\partial x^i \cdot \partial y/\partial x^j$

I fattori di scala lungo le direzioni dei meridiani e dei paralleli sono:

$h = \sqrt{(\tilde{g}_{\lambda\lambda}/g_{\lambda\lambda})} = \sqrt{(\tilde{g}_{\lambda\lambda})}/R$

$k = \sqrt{(\tilde{g}_{\theta\theta}/g_{\theta\theta})} = \sqrt{(\tilde{g}_{\theta\theta})}/(R \cos \lambda)$

La distorsione angolare massima ω in un punto è data da:

$\sin(\omega/2) = |h - k|/(h + k)$

La distorsione areale è quantificata dal rapporto:

$s = \sqrt{(\det(\tilde{g}_{ij})/\det(g_{ij}))} = hk$

Una proiezione conforme ha $h = k$ ovunque (quindi $\omega = 0$), ma s varia. Una proiezione equivalente ha $s = 1$ ovunque, ma $h \neq k$ in generale (quindi $\omega \neq 0$).

L'indicatrice di Tissot visualizza queste distorsioni: un cerchio infinitesimo sulla sfera si trasforma in un'ellisse sulla mappa con semiassi $a = \max(h,k)$ e $b = \min(h,k)$.

CAPITOLO 17 - Parte 2: La Proiezione di Mercatore

Derivazione Rigorosa delle Formule di Mercatore

Requisito di Conformità

Una proiezione conforme deve preservare gli angoli tra curve che si intersecano sulla sfera. Matematicamente, questo si traduce nel requisito che la mappa indotta preservi il prodotto scalare normalizzato, ovvero:

$(v \cdot w)/(|v|\,|w|) = (f_*v \cdot f_*w)/(|f_*v|\,|f_*w|)$

dove f_* denota il pushforward (differenziale) della mappa f.

In termini del tensore metrico, la condizione di conformità richiede che il tensore metrico pullback sia proporzionale al tensore metrico originale tramite una funzione scalare $\mu^2(\theta, \lambda)$:

$\tilde{g}_{ij} = \mu^2(\theta, \lambda)\, g_{ij}$

In coordinate, se $x = x(\theta, \lambda)$ e $y = y(\theta, \lambda)$, questo diventa:

$(\partial x/\partial\theta)^2 + (\partial y/\partial\theta)^2 = \mu^2 R^2 \cos^2\lambda$

$(\partial x/\partial\lambda)^2 + (\partial y/\partial\lambda)^2 = \mu^2 R^2$

$\partial x/\partial\theta \cdot \partial x/\partial\lambda + \partial y/\partial\theta \cdot \partial y/\partial\lambda = 0$

La terza equazione è la condizione di ortogonalità. Dividendo la prima per la seconda:

$[(\partial x/\partial\theta)^2 + (\partial y/\partial\theta)^2]/[(\partial x/\partial\lambda)^2 + (\partial y/\partial\lambda)^2] = \cos^2\lambda$

Le Equazioni di Cauchy-Riemann Sferiche

Introducendo le variabili complesse $\zeta = \theta + i\lambda$ (sulla sfera) e $w = x + iy$ (sul piano), la condizione di conformità è equivalente a richiedere che $w = f(\zeta)$ sia una funzione olomorfa (analiticamente complessa) quando opportunamente interpretata.

Le condizioni di Cauchy-Riemann standard nel piano complesso sono:

$\partial x/\partial\theta = \partial y/\partial\lambda$ $\partial x/\partial\lambda = -\partial y/\partial\theta$

Tuttavia, dobbiamo tener conto della metrica non euclidea sulla sfera. Definendo u e v tali che:

$x = R \int u(\theta, \lambda)\, d\theta$ $y = R \int v(\theta, \lambda)\, d\lambda$

le condizioni di conformità diventano:

$u/\cos\lambda = v$ $\partial u/\partial\lambda = -\cos\lambda\, \partial v/\partial\theta$

Queste sono le equazioni di Cauchy-Riemann modificate per la metrica sferica.

Soluzione di Mercatore: x Proporzionale a θ

Mercatore fece una scelta geniale: rendere i meridiani (linee di longitudine costante) paralleli e equidistanti sulla mappa. Questo significa:

$x = R\,\theta$

Quindi $u = R$ e $\partial u/\partial\lambda = 0$. Dalla seconda equazione di Cauchy-Riemann:

$0 = -\cos\lambda\, \partial v/\partial\theta$

Questo implica che v è indipendente da θ: $v = v(\lambda)$. Dalla prima equazione:

$R/\cos\lambda = v(\lambda)$

Quindi:

$\partial y/\partial \lambda = v(\lambda) = R/\cos \lambda = R \sec \lambda$

Integrando rispetto a λ:

$y = R \int \sec \lambda \, d\lambda$

Questo integrale è uno dei più famosi del calcolo integrale. Per risolverlo, moltiplichiamo numeratore e denominatore per $(\sec \lambda + \tan \lambda)$:

$\int \sec \lambda \, d\lambda = \int \sec \lambda \cdot (\sec \lambda + \tan \lambda)/(\sec \lambda + \tan \lambda) \, d\lambda$

$= \int (\sec^2 \lambda + \sec \lambda \tan \lambda)/(\sec \lambda + \tan \lambda) \, d\lambda$

Notiamo che la derivata del denominatore è esattamente il numeratore:

$d/d\lambda (\sec \lambda + \tan \lambda) = \sec \lambda \tan \lambda + \sec^2 \lambda$

Quindi, per sostituzione $u = \sec \lambda + \tan \lambda$, $du = (\sec \lambda \tan \lambda + \sec^2 \lambda) \, d\lambda$:

$\int \sec \lambda \, d\lambda = \int du/u = \ln |u| + C = \ln |\sec \lambda + \tan \lambda| + C$

Ponendo la costante uguale a zero per far passare l'equatore ($\lambda = 0$) per $y = 0$:

$y = R \ln |\sec \lambda + \tan \lambda|$

Usando le identità trigonometriche:

$\sec \lambda + \tan \lambda = 1/\cos \lambda + \sin \lambda/\cos \lambda = (1 + \sin \lambda)/\cos \lambda$

Moltiplicando per $(1 - \sin \lambda)/(1 - \sin \lambda)$:

$= (1 - \sin^2 \lambda)/(\cos \lambda(1 - \sin \lambda)) = \cos^2 \lambda/(\cos \lambda(1 - \sin \lambda)) = \cos \lambda/(1 - \sin \lambda)$

Ma esiste una forma ancora più elegante. Usando la formula di bisezione:

$\tan(\pi/4 + \lambda/2) = (1 + \tan(\lambda/2))/(1 - \tan(\lambda/2))$

e l'identità $\sin \lambda = 2 \tan(\lambda/2)/(1 + \tan^2(\lambda/2))$, si può dimostrare che:

$\sec \lambda + \tan \lambda = \tan(\pi/4 + \lambda/2)$

Quindi:

$y = R \ln[\tan(\pi/4 + \lambda/2)]$

Questa è la forma classica della proiezione di Mercatore.

Forme Alternative e Equivalenti

La formula ammette diverse espressioni equivalenti, ciascuna utile in contesti diversi.

Forma iperbólica: Usando le definizioni delle funzioni iperboliche:

$\sin \lambda = \tanh(\eta)$ dove $\eta = \sinh^{-1}(\tan \lambda)$

si può dimostrare che:

$y = R \sinh^{-1}(\tan \lambda) = R \operatorname{arctanh}(\sin \lambda)$

dove $\operatorname{arctanh}(x) = (1/2) \ln[(1 + x)/(1 - x)]$.

Forma di Gudermanniana: La funzione di Gudermanniana $\operatorname{gd}(\eta)$ è definita come:

$\operatorname{gd}(\eta) = \arctan(\sinh \eta) = \arcsin(\tanh \eta)$

La sua inversa è:

$\operatorname{gd}^{-1}(\lambda) = \ln[\tan(\pi/4 + \lambda/2)] = \operatorname{arctanh}(\sin \lambda)$

Quindi $y = R \operatorname{gd}^{-1}(\lambda)$, e la proiezione di Mercatore può essere vista come l'inversa della funzione di Gudermanniana.

Verifica della Conformità

Verifichiamo esplicitamente che le formule derivate soddisfano la condizione di conformità. Abbiamo:

$\partial x/\partial \theta = R$, $\partial x/\partial \lambda = 0$ $\partial y/\partial \theta = 0$, $\partial y/\partial \lambda = R \sec \lambda$

Il tensore metrico indotto è:

$\tilde{g}_{\theta\theta} = (\partial x/\partial \theta)^2 + (\partial y/\partial \theta)^2 = R^2$ $\tilde{g}_{\lambda\lambda} = (\partial x/\partial \lambda)^2 + (\partial y/\partial \lambda)^2 = R^2 \sec^2 \lambda$ $\tilde{g}_{\theta\lambda} = \partial x/\partial \theta \cdot \partial x/\partial \lambda + \partial y/\partial \theta \cdot \partial y/\partial \lambda = 0$

Il tensore metrico originale della sfera è:

$g_{\theta\theta} = R^2 \cos^2 \lambda$, $g_{\lambda\lambda} = R^2$, $g_{\theta\lambda} = 0$

Il rapporto:

$\tilde{g}_{\theta\theta}/g_{\theta\theta} = R^2/(R^2 \cos^2 \lambda) = \sec^2 \lambda$ $\tilde{g}_{\lambda\lambda}/g_{\lambda\lambda} = (R^2 \sec^2 \lambda)/R^2 = \sec^2 \lambda$

I rapporti sono uguali, confermando che $\mu^2 = \sec^2 \lambda$ e la proiezione è conforme.

Analisi del Fattore di Scala

Il fattore di scala locale è $\mu = \sec \lambda$. Questo cresce rapidamente con la latitudine:

- $\lambda = 0°$ (equatore): $\mu = 1$ (nessuna distorsione)
- $\lambda = 30°$: $\mu = \sec 30° = 2/\sqrt{3} \approx 1{,}155$
- $\lambda = 45°$: $\mu = \sec 45° = \sqrt{2} \approx 1{,}414$
- $\lambda = 60°$: $\mu = \sec 60° = 2$
- $\lambda = 75°$: $\mu = \sec 75° \approx 3{,}864$
- $\lambda = 80°$: $\mu = \sec 80° \approx 5{,}759$

- $\lambda = 85°$: $\mu = \sec 85° \approx 11{,}474$
- $\lambda \to 90°$: $\mu \to \infty$

La distorsione areale è $\mu^2 = \sec^2 \lambda$, quindi cresce ancora più rapidamente. All'equatore non c'è distorsione areale; a 60° di latitudine le aree sono quadruplicate; a 75° sono aumentate di circa 15 volte.

Comportamento ai Poli

Quando $\lambda \to \pm 90°$ (i poli), abbiamo:

$$y \to R \ln[\tan(\pi/4 \pm \pi/4)] = R \ln[\tan(\pi/2)] \to \pm\infty$$

I poli sono mappati all'infinito. Una mappa di Mercatore finita deve troncare a una latitudine massima, tipicamente ±85° o ±80°.

La ragione geometrica è profonda: sulla sfera, i meridiani convergono ai poli, mentre sulla mappa di Mercatore sono paralleli. Per mantenere gli angoli (conformità), le distanze est-ovest devono essere stirate di un fattore che compensa la convergenza, e questo fattore diventa infinito ai poli.

Proprietà delle Lossodromie

Una lossodromia (rhumb line) è una curva sulla sfera che interseca tutti i meridiani con lo stesso angolo α. In coordinate sferiche, una lossodromia soddisfa l'equazione differenziale:

$$d\lambda/d\theta = \tan \alpha \cdot (R \cos \lambda)/(R) = \cos \lambda \tan \alpha$$

Separando le variabili:

$$d\lambda/(\cos \lambda) = \tan \alpha \, d\theta$$

$$\int \sec \lambda \, d\lambda = \tan \alpha \int d\theta$$

$$\ln[\tan(\pi/4 + \lambda/2)] = \theta \tan \alpha + C$$

Sulla proiezione di Mercatore, questa diventa:

$$y/R = \theta \tan \alpha + C$$

ovvero:

$$y = (\tan \alpha)\, x + RC$$

Questa è l'equazione di una retta! La proiezione di Mercatore trasforma lossodromie in segmenti rettilinei, una proprietà di importanza fondamentale per la navigazione.

L'angolo che la retta forma con l'asse x (che rappresenta l'est) è esattamente α, lo stesso angolo che la lossodromia forma con i meridiani sulla sfera. Un navigatore può quindi:

1. Tracciare una retta dalla partenza alla destinazione sulla mappa di Mercatore
2. Misurare l'angolo α che questa retta forma con i meridiani (verticali)
3. Navigare mantenendo costantemente la direzione α sulla bussola

Questo metodo, pur non fornendo il percorso più breve (che sarebbe un arco di cerchio massimo), offre un percorso di azimut costante, molto più semplice da seguire con gli strumenti di navigazione tradizionali.

Confronto con l'Ortodromia

L'ortodromia (great circle) tra due punti sulla sfera è il percorso di minima lunghezza. In generale, un'ortodromia non è una lossodromia, e sulla mappa di Mercatore appare come una curva.

La differenza di distanza tra lossodromia e ortodromia dipende dalla latitudine e dalla differenza di longitudine. Per un viaggio equatoriale, le due coincidono (l'equatore è sia cerchio massimo che lossodromia di azimut 90°). Per viaggi a latitudini elevate, la differenza può essere significativa.

Esempio numerico: da Londra (51,5°N, 0°) a Vancouver (49,3°N, 123,1°W):

- Distanza ortodromica: circa 7.584 km
- Distanza lossodromica: circa 7.690 km
- Differenza: circa 106 km (1,4% in più)

L'ortodromia passa significativamente più a nord, attraversando il sud della Groenlandia, mentre la lossodromia mantiene una latitudine media più costante.

CAPITOLO 18: TRASFORMATA DI FOURIER - Parte 1

Fondamenti Matematici e Teoria dello Spazio di Hilbert

Definizione Rigorosa e Condizioni di Esistenza

La trasformata di Fourier di una funzione $f: \mathbb{R} \to \mathbb{C}$ è definita come:

$$F(\omega) = \mathcal{F}\{f\}(\omega) = \int_{-\infty}^{+\infty} f(t)\, e^{-i\omega t}\, dt$$

dove $\omega \in \mathbb{R}$ è la frequenza angolare (in radianti per secondo), e i è l'unità immaginaria.

Per garantire l'esistenza dell'integrale, richiediamo che f sia assolutamente integrabile, ovvero che:

$$\int_{-\infty}^{+\infty} |f(t)|\, dt < \infty$$

Questa condizione è sufficiente ma non necessaria. Lo spazio $L^1(\mathbb{R})$ delle funzioni assolutamente integrabili è uno spazio di Banach con la norma:

$$\|f\|_1 = \int_{-\infty}^{+\infty} |f(t)|\, dt$$

Per ogni $f \in L^1(\mathbb{R})$, la trasformata $F(\omega)$ è una funzione continua e limitata:

$|F(\omega)| \leq \int_{-\infty}^{+\infty} |f(t)|\, |e^{-i\omega t}|\, dt = \int_{-\infty}^{+\infty} |f(t)|\, dt = \|f\|_1$

Inoltre, per il Lemma di Riemann-Lebesgue:

$\lim_{|\omega|\to\infty} F(\omega) = 0$

La trasformata "tende a zero all'infinito", riflettendo il fatto che funzioni integrabili non possono contenere componenti armoniche pure di frequenza arbitrariamente alta con ampiezza non nulla.

La Trasformata Inversa e il Teorema di Inversione

La trasformata inversa di Fourier è data da:

$f(t) = \mathcal{F}^{-1}\{F\}(t) = (1/2\pi) \int_{-\infty}^{+\infty} F(\omega)\, e^{i\omega t}\, d\omega$

La simmetria quasi perfetta tra trasformata diretta e inversa (a meno del fattore $1/2\pi$ e del segno nell'esponente) rivela la dualità profonda tra dominio temporale e frequenziale.

Teorema di Inversione di Fourier: Se $f \in L^1(\mathbb{R})$ e anche $F \in L^1(\mathbb{R})$, allora:

$f(t) = (1/2\pi) \int_{-\infty}^{+\infty} F(\omega)\, e^{i\omega t}\, d\omega$

quasi ovunque (ovvero eccetto possibilmente su un insieme di misura nulla).

La dimostrazione utilizza il teorema della convergenza dominata di Lebesgue e le proprietà delle approssimazioni dell'identità.

Convenzioni Alternative e Normalizzazione

Esistono diverse convenzioni per la normalizzazione. La convenzione "fisica" usata sopra pone il fattore 2π nella trasformata inversa. La convenzione "simmetrica" distribuisce il fattore equamente:

$F(\omega) = (1/\sqrt{(2\pi)}) \int_{-\infty}^{+\infty} f(t)\, e^{-i\omega t}\, dt$

$f(t) = (1/\sqrt{(2\pi)}) \int_{-\infty}^{+\infty} F(\omega)\, e^{i\omega t}\, d\omega$

In questa convenzione, la trasformata di Fourier è un'isometria perfetta (vedi Teorema di Plancherel sotto).

Un'altra convenzione usa la frequenza ordinaria $\nu = \omega/(2\pi)$ invece della frequenza angolare:

$\tilde{F}(\nu) = \int_{-\infty}^{+\infty} f(t)\, e^{-i2\pi\nu t}\, dt$

$f(t) = \int_{-\infty}^{+\infty} \tilde{F}(\nu)\, e^{i2\pi\nu t}\, d\nu$

Questa elimina i fattori 2π dalle formule di inversione e dalla Identità di Parseval, ed è comune in matematica pura.

Lo Spazio L^2 e il Teorema di Plancherel

Mentre $L^1(\mathbb{R})$ è naturale per definire la trasformata, lo spazio $L^2(\mathbb{R})$ delle funzioni a quadrato integrabile è più fondamentale per la teoria completa. $L^2(\mathbb{R})$ è uno spazio di Hilbert con prodotto scalare:

$\langle f, g \rangle = \int_{-\infty}^{+\infty} f(t) \bar{g}(t) dt$

dove la barra denota il complesso coniugato, e norma:

$||f||_2 = \sqrt{(\langle f, f \rangle)} = \sqrt{(\int_{-\infty}^{+\infty} |f(t)|^2 dt)}$

Non tutte le funzioni in $L^2(\mathbb{R})$ sono in $L^1(\mathbb{R})$, quindi la definizione integrale di $F(\omega)$ potrebbe non convergere. Tuttavia, la trasformata di Fourier può essere estesa a $L^2(\mathbb{R})$ per continuità.

Teorema di Plancherel: La trasformata di Fourier si estende a un'isometria unitaria di $L^2(\mathbb{R})$ in sé stesso. Più precisamente, per ogni $f, g \in L^2(\mathbb{R})$:

$\int_{-\infty}^{+\infty} f(t) \bar{g}(t) dt = (1/2\pi) \int_{-\infty}^{+\infty} F(\omega) \bar{G}(\omega) d\omega$

In particolare, ponendo $g = f$:

$\int_{-\infty}^{+\infty} |f(t)|^2 dt = (1/2\pi) \int_{-\infty}^{+\infty} |F(\omega)|^2 d\omega$

Questa è l'**Identità di Parseval** (o teorema di Rayleigh), che stabilisce la conservazione dell'energia.

Dimostrazione (schema):

1. Si dimostra prima per funzioni in $L^1(\mathbb{R}) \cap L^2(\mathbb{R})$, che formano un sottospazio denso in $L^2(\mathbb{R})$.

2. Per f, g in questo sottospazio, si calcola:

$\iint f(t) \bar{g}(s) e^{-i\omega t} e^{i\omega s} dt ds$

3. Integrando rispetto a ω, si usa la rappresentazione integrale della delta di Dirac:

$(1/2\pi) \int_{-\infty}^{+\infty} e^{i\omega(s-t)} d\omega = \delta(s - t)$

4. Questo porta a:

$(1/2\pi) \int_{-\infty}^{+\infty} F(\omega) \bar{G}(\omega) d\omega = \int_{-\infty}^{+\infty} f(t) (1/2\pi \int \bar{g}(s) e^{i\omega(s-t)} d\omega) dt = \int_{-\infty}^{+\infty} f(t) \bar{g}(t) dt$

5. L'estensione a tutto $L^2(\mathbb{R})$ segue per densità e continuità.

Interpretazione come Cambiamento di Base

Le funzioni esponenziali complesse $e_{\omega}(t) = e^{i\omega t}$ formano una base ortonormale "continua" per $L^2(\mathbb{R})$. Più precisamente, soddisfano una relazione di ortogonalità nel senso delle distribuzioni:

$$(1/2\pi) \int_{-\infty}^{+\infty} e^{i\omega_1 t} e^{-i\omega_2 t} dt = \delta(\omega_1 - \omega_2)$$

La trasformata $F(\omega)$ rappresenta il "coefficiente" della proiezione di f sulla "base" $e^{i\omega t}$:

$$F(\omega) = \langle f, e_\omega \rangle = \int_{-\infty}^{+\infty} f(t) e^{-i\omega t} dt$$

La formula di inversione ricostruisce f come "combinazione lineare continua":

$$f(t) = (1/2\pi) \int_{-\infty}^{+\infty} F(\omega) e^{i\omega t} d\omega = (1/2\pi) \int_{-\infty}^{+\infty} \langle f, e_\omega \rangle e_\omega(t) d\omega$$

Questa è l'analogia perfetta della decomposizione in serie di Fourier per funzioni periodiche, dove la somma discreta $\Sigma c_n e^{in\omega t}$ diventa un integrale continuo.

Proprietà Fondamentali: Linearità

La trasformata di Fourier è un operatore lineare. Per ogni $\alpha, \beta \in \mathbb{C}$ e f, g funzioni trasformabili:

$$\mathcal{F}\{\alpha f + \beta g\} = \alpha \mathcal{F}\{f\} + \beta \mathcal{F}\{g\}$$

Dimostrazione:

$$\mathcal{F}\{\alpha f + \beta g\}(\omega) = \int_{-\infty}^{+\infty} (\alpha f(t) + \beta g(t)) e^{-i\omega t} dt = \alpha \int_{-\infty}^{+\infty} f(t) e^{-i\omega t} dt + \beta \int_{-\infty}^{+\infty} g(t) e^{-i\omega t} dt = \alpha F(\omega) + \beta G(\omega)$$

Questa proprietà è immediata dalla linearità dell'integrale.

Proprietà di Traslazione Temporale

Se $f(t)$ ha trasformata $F(\omega)$, allora $f(t - t_0)$ ha trasformata $e^{-i\omega t_0} F(\omega)$.

Dimostrazione:

$$\mathcal{F}\{f(t - t_0)\}(\omega) = \int_{-\infty}^{+\infty} f(t - t_0) e^{-i\omega t} dt$$

Sostituiamo $\tau = t - t_0$, quindi $t = \tau + t_0$ e $dt = d\tau$:

$$= \int_{-\infty}^{+\infty} f(\tau) e^{-i\omega(\tau + t_0)} d\tau = e^{-i\omega t_0} \int_{-\infty}^{+\infty} f(\tau) e^{-i\omega\tau} d\tau = e^{-i\omega t_0} F(\omega)$$

Interpretazione: Traslare nel tempo di t_0 induce una modulazione di fase lineare nello spettro. L'ampiezza spettrale $|F(\omega)|$ rimane invariata, ma ogni componente frequenziale acquisisce un ritardo di fase ωt_0.

Se interpretiamo $e^{i\omega t_0}$ come un fasore rotante, $e^{-i\omega t_0}$ rappresenta una rotazione di fase di ωt_0 radianti in senso orario. Frequenze diverse subiscono rotazioni proporzionalmente diverse, mantenendo però le relazioni di fase relativa.

Proprietà di Modulazione (Traslazione Frequenziale)

Se f(t) ha trasformata F(ω), allora e^{iω₀t} f(t) ha trasformata F(ω - ω₀).

Dimostrazione:

$\mathcal{F}\{e^{i\omega_0 t} f(t)\}(\omega) = \int_{-\infty}^{+\infty} e^{i\omega_0 t} f(t) e^{-i\omega t} dt = \int_{-\infty}^{+\infty} f(t) e^{-i(\omega-\omega_0)t} dt = F(\omega - \omega_0)$

Interpretazione: Moltiplicare per e^{iω₀t} nel dominio temporale (modulazione in ampiezza e fase con frequenza portante ω₀) trasla lo spettro di ω₀ nel dominio frequenziale.

Questo è il principio fondamentale della modulazione nelle comunicazioni. Un segnale a banda base f(t) con spettro centrato attorno a ω = 0 può essere traslato a una frequenza portante ω₀ moltiplicando per e^{iω₀t}. Nel caso reale:

$f(t) \cos(\omega_0 t) = f(t) [e^{i\omega_0 t} + e^{-i\omega_0 t}]/2$

ha trasformata:

$[F(\omega - \omega_0) + F(\omega + \omega_0)]/2$

lo spettro è replicato sia a +ω₀ che a -ω₀.

Teorema del Ridimensionamento (Scaling)

Se f(t) ha trasformata F(ω), allora f(at) con a ≠ 0 reale ha trasformata (1/|a|) F(ω/a).

Dimostrazione:

$\mathcal{F}\{f(at)\}(\omega) = \int_{-\infty}^{+\infty} f(at) e^{-i\omega t} dt$

Caso a > 0: Sostituiamo τ = at, quindi t = τ/a e dt = dτ/a:

$= \int_{-\infty}^{+\infty} f(\tau) e^{-i\omega(\tau/a)} (d\tau/a) = (1/a) \int_{-\infty}^{+\infty} f(\tau) e^{-i(\omega/a)\tau} d\tau = (1/a) F(\omega/a)$

Caso a < 0: Sostituendo τ = at, i limiti di integrazione si invertono:

$= \int_{+\infty}^{-\infty} f(\tau) e^{-i\omega(\tau/a)} (d\tau/a) = -(1/a) \int_{-\infty}^{+\infty} f(\tau) e^{-i(\omega/a)\tau} d\tau = -(1/a) F(\omega/a)$

Poiché a < 0, -(1/a) = 1/|a|, quindi in entrambi i casi:

$\mathcal{F}\{f(at)\}(\omega) = (1/|a|) F(\omega/a)$

Interpretazione - Il Principio di Indeterminazione:

Se a > 1, il segnale f(at) è compresso temporalmente di un fattore a. La sua trasformata F(ω/a) è espansa frequenzialmente dello stesso fattore, e l'ampiezza è ridotta di 1/a per conservare l'energia (Parseval).

Reciprocamente, se 0 < a < 1, il segnale è dilatato nel tempo, e lo spettro è compresso in frequenza.

Questo manifesta il principio di indeterminazione tempo-frequenza: non si può avere simultaneamente localizzazione temporale e frequenziale arbitraria. Un impulso brevissimo (piccola estensione temporale) deve avere un ampio contenuto frequenziale, mentre un tono puro (localizzato in frequenza) deve estendersi per tutto il tempo.

Formalmente, definendo le deviazioni standard:

$$\sigma_t^2 = \int_{-\infty}^{+\infty} t^2 |f(t)|^2 \, dt \Big/ \int_{-\infty}^{+\infty} |f(t)|^2 \, dt - \left(\int_{-\infty}^{+\infty} t \, |f(t)|^2 \, dt \Big/ \int_{-\infty}^{+\infty} |f(t)|^2 \, dt \right)^2$$

$$\sigma_\omega^2 = \int_{-\infty}^{+\infty} \omega^2 |F(\omega)|^2 \, d\omega \Big/ \int_{-\infty}^{+\infty} |F(\omega)|^2 \, d\omega - \left(\int_{-\infty}^{+\infty} \omega \, |F(\omega)|^2 \, d\omega \Big/ \int_{-\infty}^{+\infty} |F(\omega)|^2 \, d\omega \right)^2$$

il principio di indeterminazione di Heisenberg-Gabor afferma:

$$\sigma_t \, \sigma_\omega \geq 1/2$$

con uguaglianza se e solo se f è una gaussiana.

PARTE 3: Altre Proiezioni Fondamentali

Sezione 17.3: La Proiezione Stereografica

17.3.1 Costruzione Geometrica

Definizione 17.1: La proiezione stereografica mappa la sfera sul piano proiettando da un polo attraverso la superficie opposta.

Setup geometrico:

- Sfera di raggio R centrata in origine
- Piano tangente all'equatore (z = 0)
- Punto di proiezione: polo nord N = (0, 0, R)

Derivazione delle formule:

Punto sulla sfera: P = (X, Y, Z) con $X^2 + Y^2 + Z^2 = R^2$

Linea da N attraverso P:

$\ell(t) = N + t(P - N) = (0,0,R) + t(X, Y, Z-R)$

Intersezione con piano z = 0:

$R + t(Z - R) = 0$

$t = R/(R - Z)$

Coordinate cartesiane sulla mappa:

$x = tX = RX/(R - Z)$

$y = tY = RY/(R - Z)$

In coordinate sferiche (λ = latitudine, θ = longitudine):

$X = R \cos \lambda \cos \theta$

$Y = R \cos \lambda \sin \theta$

$Z = R \sin \lambda$

Sostituendo:

$x = R \cos \lambda \cos \theta/(1 - \sin \lambda) = R \cos \theta/(\sec \lambda - \tan \lambda)$

$y = R \cos \lambda \sin \theta/(1 - \sin \lambda) = R \sin \theta/(\sec \lambda - \tan \lambda)$

Forma polare (r, φ):

$r = \sqrt{(x^2 + y^2)} = R \cos \lambda/(1 - \sin \lambda) = R \tan(\pi/4 - \lambda/2)$

$\varphi = \theta$

Usando l'identità trigonometrica:

$\tan(\pi/4 - \lambda/2) = (1 - \sin \lambda)/(1 + \sin \lambda) \cdot (1 + \sin \lambda)/\cos \lambda = (1 - \sin \lambda)/\cos \lambda$

17.3.2 Proprietà della Proiezione Stereografica

Teorema 17.2 (Conformità): La proiezione stereografica è conforme.

Dimostrazione: Calcoliamo il tensore metrico indotto.

Partendo da $r = R \tan(\pi/4 - \lambda/2)$, invertiamo:

$\lambda = \pi/2 - 2 \arctan(r/R)$

Le derivate sono:

$\partial r/\partial \lambda = -R/(2 \cos^2(\pi/4 - \lambda/2)) = -R(1 + \sin \lambda)/\cos \lambda$

$\partial \varphi/\partial \theta = 1$

Il tensore metrico in coordinate polari (r, φ):

$ds^2 = dr^2 + r^2 d\varphi^2$

Trasformando a (λ, θ):

$ds^2 = (\partial r/\partial \lambda)^2 d\lambda^2 + r^2 d\theta^2$

$= R^2[(1 + \sin \lambda)/\cos \lambda]^2 d\lambda^2 + R^2 \tan^2(\pi/4 - \lambda/2) d\theta^2$

Semplificando con identità trigonometriche:

$\tan(\pi/4 - \lambda/2) = \cos \lambda/(1 + \sin \lambda)$

quindi:

$r^2 = R^2 \cos^2 \lambda/(1 + \sin \lambda)^2$

Il tensore diventa:

$ds^2 = R^2[(1 + \sin \lambda)^2/\cos^2 \lambda] d\lambda^2 + R^2[\cos^2 \lambda/(1 + \sin \lambda)^2] d\theta^2$

Fattore di scala:

$\mu^2 = (1 + \sin \lambda)^2/\cos^2 \lambda$ per componente λ

$\mu^2 = \cos^2 \lambda/[(1 + \sin \lambda)^2 \cos^2 \lambda] = 1/((1 + \sin \lambda)^2)$ ...

Correzione: la verifica rigorosa mostra che:

$\tilde{g}_{\lambda\lambda}/g_{\lambda\lambda} = \tilde{g}_{\theta\theta}/g_{\theta\theta} = [2/(1 + \sin \lambda)]^2$

Quindi $\mu^2 = 4/(1 + \sin \lambda)^2$ = costante sui paralleli → conformità ✓

Teorema 17.3 (Cerchi mappano in cerchi): La proiezione stereografica mappa cerchi sulla sfera in cerchi (o rette) sul piano.

Dimostrazione: Un cerchio sulla sfera è l'intersezione con un piano π. La proiezione da N attraverso questo cerchio forma un cono. L'intersezione di un cono con il piano z = 0 è una conica. Per proiezione dal vertice, questa è sempre un cerchio (o retta se il piano passa per N).

17.3.3 Applicazioni

Uso 1: Proiezione Polare Universale

Centrata al polo nord o sud, la proiezione stereografica è usata per cartografia polare:

- Universal Polar Stereographic (UPS) per latitudini > 84°
- Complementa UTM (Universal Transverse Mercator)

Uso 2: Geometria Complessa e Sfera di Riemann

La proiezione stereografica realizza l'isomorfismo:

$S^2 \cong \mathbb{C} \cup \{\infty\}$

Punto (x, y) sul piano ↔ numero complesso $z = x + iy$

Trasformazioni di Möbius:

$f(z) = (az + b)/(cz + d)$ con $ad - bc \neq 0$

corrispondono a rotazioni sulla sfera (gruppo SO(3) o SU(2)).

Sezione 17.4: Proiezione di Peters (Gall-Peters)

17.4.1 Formulazione e Motivazione

Obiettivo: Proiezione equivalente (uguale area) "etica" che non distorce dimensioni relative dei continenti.

Formule:

$x = R\,\theta$

$y = R \sin \lambda$

Sorprendentemente semplici!

Derivazione del fattore di scala:

$\partial x/\partial\theta = R,\ \partial x/\partial\lambda = 0$

$\partial y/\partial\theta = 0,\ \partial y/\partial\lambda = R \cos \lambda$

Fattore di scala lungo meridiani:

$h = |\partial y/\partial\lambda|/R = \cos \lambda$

Fattore di scala lungo paralleli:

$k = |\partial x/\partial\theta|/(R \cos \lambda) = R/(R \cos \lambda) = 1/\cos \lambda = \sec \lambda$

Distorsione areale:

$s = h \cdot k = \cos \lambda \cdot \sec \lambda = 1$ ✓

Equivalenza verificata!

Distorsione angolare:

$\sin(\omega/2) = |h - k|/(h + k) = |\cos \lambda - \sec \lambda|/(\cos \lambda + \sec \lambda)$

A $\lambda = 0°$ (equatore): $h = k = 1 \rightarrow \omega = 0°$ (conforme) A $\lambda = 60°$: $h = 0.5$, $k = 2 \rightarrow \omega = 67°$ (severa distorsione)

17.4.2 Controversia e Critiche

Critiche cartografiche:

1. Estrema distorsione angolare alle medie latitudini
2. Forme innaturali dei continenti (allungati verticalmente)
3. Non è nuova (Gall 1855) né unica proiezione equivalente

Difesa:

1. Mostra correttamente dimensioni relative (Africa vs Groenlandia)
2. Mercator esagera zone temperate (Europa, Nord America)
3. Scelta etica: privilegiare accuratezza areale

Alternative equivalenti migliori:

- Mollweide (pseudocilindrica, più estetica)
- Sinusoidale (meridiani sinusoidali)
- Goode Homolosine (composita con interruzioni)

Sezione 17.5: Proiezioni Azimutali

17.5.1 Famiglia Generale

Definizione: Proiezioni dove direzioni (azimut) dal punto centrale sono preservate.

Caratteristica: Cerchi massimi passanti per il centro → linee rette sulla mappa

Coordinate polari (ρ, φ) con centro in $P_0 = (\lambda_0, \theta_0)$:

Distanza angolare dalla centro:

$$\cos c = \sin \lambda_0 \sin \lambda + \cos \lambda_0 \cos \lambda \cos(\theta - \theta_0)$$

Azimut:

$$\tan \varphi = \sin(\theta - \theta_0)/(\cos \lambda_0 \tan \lambda - \sin \lambda_0 \cos(\theta - \theta_0))$$

La famiglia è parametrizzata da $\rho = f(c)$:

Proiezione	Formula ρ(c)	Proprietà
Gnomonica	$\rho = R \tan c$	Cerchi massimi → rette
Stereografica	$\rho = 2R \tan(c/2)$	Conforme
Equidistante	$\rho = Rc$	Distanze dal centro esatte

Equivalente (Lambert)	$\rho = 2R \sin(c/2)$	Uguale area
Ortografica	$\rho = R \sin c$	Vista "from space"

17.5.2 Proiezione Gnomonica

Formula:

$\rho = R \tan c$

Proprietà cruciale: TUTTI i cerchi massimi appaiono come linee rette!

Dimostrazione: Un cerchio massimo passa per il centro di proiezione (centro della sfera). Proiettando dal centro su piano tangente, questo cerchio → retta.

Applicazione in navigazione:

- Tracciare ortodromia (percorso più breve)
- Dividere in segmenti
- Trasferire a mappa di Mercator come lossodromie approssimanti

Limitazione: Non può mostrare emisfero completo ($\rho \to \infty$ quando $c \to 90°$)

17.5.3 Proiezione Ortografica

Formula:

$x = R \cos \lambda \sin(\theta - \theta_0)$

$y = R[\cos \lambda_0 \sin \lambda - \sin \lambda_0 \cos \lambda \cos(\theta - \theta_0)]$

oppure $\rho = R \sin c$

Interpretazione: Vista della Terra da distanza infinita (proiezione parallela)

Proprietà:

- Non conforme, non equivalente
- Mostra esattamente un emisfero
- Estetica: aspetto "fotografico" realistico

Distorsione: Massima ai bordi ($c = 90°$):

- $\rho = R$ (bordo circolare)
- Elementi vicini all'orlo estremamente compressi

Sezione 17.6: Proiezioni Pseudocilindiche

17.6.1 Proiezione di Mollweide

Caratteristiche:

- Equivalente (uguale area)
- Meridiani centrali → rette verticali
- Altri meridiani → ellissi
- Paralleli → rette orizzontali (non equidistanti)

Formule parametriche:

Parametro ausiliario θ definito da:

$$2\theta + \sin(2\theta) = \pi \sin \lambda$$

(Equazione trascendente, risolta numericamente o iterativamente)

Poi:

$$x = (2\sqrt{2}/\pi) R \theta \cos \theta$$

$$y = \sqrt{2} R \sin \theta$$

Bordo: Ellisse con assi $2\sqrt{2} R$ (orizzontale) e $\sqrt{2} R$ (verticale)

Rapporto: 2:1 (tipico per mappamondi)

17.6.2 Proiezione Sinusoidale

Formule:

$$x = R(\theta - \theta_0) \cos \lambda$$

$$y = R \lambda$$

Proprietà:

- Equivalente
- Meridiano centrale e equatore → scale corrette
- Meridiani → curve sinusoidali

Equazione meridiano per θ = cost:

$x = R(\theta - \theta_0) \cos(y/R)$

Questo è $x \propto \cos y$, da cui il nome "sinusoidale"

Distorsione: Aumenta lontano dal meridiano centrale, specialmente ai poli

17.6.3 Proiezione Goode Homolosine

Idea: Combinare vantaggi di Mollweide (alte latitudini) e Sinusoidale (tropici)

Costruzione:

- $|\lambda| < 40°08'$: Sinusoidale
- $|\lambda| \geq 40°08'$: Mollweide

Il parallelo di transizione è scelto per minimizzare discontinuità in scala.

Interruzioni: Per ridurre ulteriormente distorsione, la proiezione è "interrotta":

- Oceani: interrotta lungo meridiani terrestri
- Continenti: interrotta lungo meridiani oceanici

Risultato: Continenti mostrati con distorsione minima, ma oceani frammentati (o viceversa)

Sezione 17.7: Proiezioni Composite Moderne

17.7.1 Proiezione di Robinson

Sviluppata: 1963 per National Geographic

Tipo: Compromesso (né conforme né equivalente)

Caratteristiche:

- Distorsioni moderate ovunque
- Aspetto "piacevole" estetico
- Definita da tabelle interpolate (non formule chiuse!)

Costruzione: Coordinate (x, y) sono definite da:

$x = R\ \theta\ PFAC(\lambda)$

$y = R\ PLEN(\lambda)$

dove PFAC e PLEN sono funzioni tabulari:

λ	PLEN	PFAC
0°	0.0000	1.0000
5°	0.0620	0.9986
10°	0.1240	0.9954
...	...	...
90°	0.9103	0.3658

Interpolazione: spline cubica tra valori tabulati

17.7.2 AuthaGraph (2016)

Innovazione: Minimizza distorsione continuando con proiezione poliedrica

Processo:

1. Inscrivere tetraedro nella sfera
2. Proiettare sfera su facce tetraedriche
3. "Unfold" tetraedro in rettangolo
4. Correzioni iterative per bilanciare distorsioni

Risultato:

- Distorsione areale < 20% ovunque
- Distorsione angolare moderata
- Può essere piastrellato (tiling) infinitamente

Uso: Vincitore Good Design Award (Giappone), adozione da textbook giapponesi

Sezione 17.8: Teoremi di Impossibilità e Limiti Fondamentali

17.8.1 Quantificazione dell'Errore Minimo

Teorema 17.4 (Chebyshev): Per qualsiasi proiezione di una regione sferica, esiste un punto dove la distorsione lineare massima soddisfa:

$\max(h, k) \geq 1 + (\Delta A/A_0)$

dove ΔA è variazione dell'area e A_0 area totale.

Interpretazione: Non possiamo eliminare distorsione completamente; esiste un limite inferiore intrinseco.

17.8.2 Teorema di Tissot-Engen

Indicatrice di Tissot: Un cerchio infinitesimo sulla sfera si trasforma in ellisse sulla mappa.

Semiassi dell'ellisse:

a = max(h, k)

b = min(h, k)

Orientazione: determinata dalle direzioni principali del tensore metrico

Teorema: Per proiezione non-singolare, l'area dell'indicatrice varia come:

A_ellisse/A_cerchio = hk = s

Forma dell'indicatrice: se h = k (conforme) → cerchio; se h ≠ k → ellisse distorta

Visualizzazione: Grid di indicatrici mostra come distorsione varia geograficamente

17.8.3 Incompatibilità Geometrica Intrinseca

Curvatura Gaussiana (richiamo):

- Sfera: $K = 1/R^2 > 0$ (costante)
- Piano: $K = 0$ ovunque

Teorema Egregium (Gauss): K è intrinseco (determinato solo da metriche)

Conseguenza: Qualsiasi mappa piatta della sfera deve:

- Distorcere metriche localmente (cambiare ds^2)
- Quindi distorcere angoli O aree O distanze
- Impossibile preservare tutte e tre simultaneamente

Trade-off inevitabile:

Conforme

Equidistante - Equivalente

Puoi scegliere AL MASSIMO uno (per regioni finite)

Sezione 17.9: Implementazione Computazionale

17.9.1 Algoritmo per Proiezione di Mercatore

```
import numpy as np

def mercator_forward(lon, lat, R=1.0):
    """
    lon: longitudine in gradi (-180, 180)
    lat: latitudine in gradi (-90, 90)
        [pratica: limitare a ±85° per evitare infinito]
    R: raggio della sfera

    Returns: (x, y) coordinate cartesiane
    """
    # Converti a radianti
    lon_rad = np.radians(lon)
    lat_rad = np.radians(lat)

    # Formule di Mercatore
```

```
    x = R * lon_rad
    y = R * np.log(np.tan(np.pi/4 + lat_rad/2))

    return x, y

def mercator_inverse(x, y, R=1.0):
    """Trasformazione inversa: (x,y) → (lon, lat)"""
    lon_rad = x / R
    lat_rad = 2 * np.arctan(np.exp(y/R)) - np.pi/2

    # Converti a gradi
    lon = np.degrees(lon_rad)
    lat = np.degrees(lat_rad)

    return lon, lat
```

17.9.2 Gestione delle Discontinuità

Problema: Antimeridiano (±180°) causa salti

Soluzione: Wrapping e clipping

```
def wrap_longitude(lon):
    """Normalizza longitudine in [-180, 180]"""
    return ((lon + 180) % 360) - 180

def clip_latitude(lat, max_lat=85.0):
    """Previeni divergenza ai poli"""
    return np.clip(lat, -max_lat, max_lat)
```

17.9.3 Trasformazione tra Sistemi di Riferimento

PROJ library: Standard industriale per trasformazioni cartografiche

Esempio d'uso (pseudo-codice):

```
from pyproj import Transformer


# WGS84 (lat/lon) → Web Mercator

transformer = Transformer.from_crs("EPSG:4326", "EPSG:3857")


x, y = transformer.transform(latitude, longitude)
```

EPSG codes comuni:

- 4326: WGS84 (GPS coordinates)
- 3857: Web Mercator (Google Maps, OpenStreetMap)
- 326xx: UTM zones (xx = zone number)

Conclusioni del Capitolo 17

La cartografia matematica rivela una verità profonda: **la rappresentazione perfetta è impossibile**. Il Theorema Egregium di Gauss fornisce la dimostrazione rigorosa, ma la conseguenza è pratica: ogni mappa è una scelta deliberata di cosa preservare e cosa distorcere.

Lezioni chiave:

1. **Non esiste "la mappa migliore"** - solo proiezioni ottimali per scopi specifici
2. **Geometria intrinseca detta limiti** - trade-off sono matematicamente inevitabili
3. **Scelte cartografiche hanno conseguenze** - culturali, politiche, educative

La Mercatore domina il web non per superiorità matematica, ma per:

- Semplicità algoritmica (linearità in coordinate pixel)
- Conformità (mappe interattive preservano forme locali)
- Inerzia storica (standard de facto)

Consapevolezza di queste distorsioni e limitazioni è essenziale per interpretazione critica di qualsiasi rappresentazione cartografica del nostro pianeta sferico su superfici piane.

Transizione: Così come la geometria sferica non può essere perfettamente mappata sul piano Euclideo, segnali continui non possono essere perfettamente rappresentati da campioni discreti - a meno di soddisfare il Teorema del Campionamento, che esploriamo nel prossimo capitolo sulla Trasformata di Fourier.

CAPITOLO 18 - Parte 2: Convoluzione e Applicazioni

Il Teorema della Convoluzione

Definizione della Convoluzione

La convoluzione di due funzioni f e g è definita come:

$(f \star g)(t) = \int_{-\infty}^{+\infty} f(\tau)\, g(t - \tau)\, d\tau$

L'integrale esiste se, per esempio, $f \in L^1(\mathbb{R})$ e $g \in L^\infty(\mathbb{R})$ (limitata), o se entrambe sono in $L^2(\mathbb{R})$.

Interpretazione fisica: La convoluzione rappresenta la risposta di un sistema lineare tempo-invariante. Se h(t) è la risposta impulsiva (la risposta a un impulso δ(t) in ingresso), e x(t) è il segnale di ingresso, l'uscita è:

$y(t) = (x \star h)(t) = \int_{-\infty}^{+\infty} x(\tau)\, h(t - \tau)\, d\tau$

Questo può essere interpretato come: si decompone l'ingresso in impulsi infinitesimi $x(\tau)\delta(t - \tau)\, d\tau$, ciascuno produce una risposta $x(\tau)h(t - \tau)\, d\tau$, e per linearità l'uscita totale è l'integrale (somma continua) di tutti questi contributi.

Proprietà Algebriche della Convoluzione

1. **Commutatività**: $f \star g = g \star f$

Dimostrazione: Sostituendo $\sigma = t - \tau$ nella definizione:

$(f \star g)(t) = \int_{-\infty}^{+\infty} f(\tau)\, g(t - \tau)\, d\tau$

Poniamo $\sigma = t - \tau$, quindi $\tau = t - \sigma$ e $d\tau = -d\sigma$:

$= \int_{+\infty}^{-\infty} f(t - \sigma)\, g(\sigma)\, (-d\sigma) = \int_{-\infty}^{+\infty} g(\sigma)\, f(t - \sigma)\, d\sigma = (g \star f)(t)$

2. **Associatività**: $(f \star g) \star h = f \star (g \star h)$

Questo significa che sistemi in cascata possono essere analizzati in qualsiasi ordine.

3. **Distributività rispetto all'addizione**: $f \star (g + h) = f \star g + f \star h$

4. **Elemento neutro**: f ★ δ = f, dove δ è la distribuzione delta di Dirac.

Teorema della Convoluzione: Dimostrazione

Teorema: Se f, g ∈ $L^1(\mathbb{R})$, allora:

$\mathcal{F}\{f \star g\} = \mathcal{F}\{f\} \cdot \mathcal{F}\{g\}$

ovvero F_conv(ω) = F(ω) · G(ω).

Dimostrazione:

$\mathcal{F}\{f \star g\}(\omega) = \int_{-\infty}^{+\infty} (f \star g)(t)\, e^{-i\omega t}\, dt$

$= \int_{-\infty}^{+\infty} \left[\int_{-\infty}^{+\infty} f(\tau)\, g(t - \tau)\, d\tau\right] e^{-i\omega t}\, dt$

Per il teorema di Fubini (applicabile sotto le condizioni di integrabilità), possiamo scambiare l'ordine di integrazione:

$= \int_{-\infty}^{+\infty} f(\tau) \left[\int_{-\infty}^{+\infty} g(t - \tau)\, e^{-i\omega t}\, dt\right] d\tau$

Nell'integrale interno, sostituiamo σ = t - τ:

$\int_{-\infty}^{+\infty} g(t - \tau)\, e^{-i\omega t}\, dt = \int_{-\infty}^{+\infty} g(\sigma)\, e^{-i\omega(\sigma + \tau)}\, d\sigma = e^{-i\omega\tau} \int_{-\infty}^{+\infty} g(\sigma)\, e^{-i\omega\sigma}\, d\sigma = e^{-i\omega\tau}\, G(\omega)$

Sostituendo nell'espressione originale:

$= \int_{-\infty}^{+\infty} f(\tau)\, e^{-i\omega\tau}\, G(\omega)\, d\tau = G(\omega) \int_{-\infty}^{+\infty} f(\tau)\, e^{-i\omega\tau}\, d\tau = G(\omega) \cdot F(\omega) = F(\omega) \cdot G(\omega)$

Teorema Duale: Prodotto nel Dominio Temporale

Teorema: La trasformata del prodotto è la convoluzione (normalizzata) delle trasformate:

$\mathcal{F}\{f(t) \cdot g(t)\} = (1/2\pi)\, (F \star G)(\omega)$

Dimostrazione:

$\mathcal{F}\{f \cdot g\}(\omega) = \int_{-\infty}^{+\infty} f(t)\, g(t)\, e^{-i\omega t}\, dt$

Usando la formula di inversione per g:

$g(t) = (1/2\pi) \int_{-\infty}^{+\infty} G(\xi)\, e^{i\xi t}\, d\xi$

Sostituendo:

$= \int_{-\infty}^{+\infty} f(t) \left[(1/2\pi) \int_{-\infty}^{+\infty} G(\xi)\, e^{i\xi t}\, d\xi\right] e^{-i\omega t}\, dt$

= (1/2π) ∫_{-∞}^{+∞} G(ξ) [∫_{-∞}^{+∞} f(t) e^{-i(ω-ξ)t} dt] dξ

= (1/2π) ∫_{-∞}^{+∞} G(ξ) F(ω - ξ) dξ

= (1/2π) (F ★ G)(ω)

Applicazione: Filtraggio Lineare

Consideriamo un filtro lineare tempo-invariante con risposta impulsiva h(t) e funzione di trasferimento H(ω) = ℱ{h}(ω). Se l'ingresso è x(t) con spettro X(ω), l'uscita è:

y(t) = (x ★ h)(t)

Nel dominio frequenziale:

Y(ω) = X(ω) · H(ω)

Invece di calcolare una convoluzione (operazione O(n²) per segnali discreti di lunghezza n), possiamo:

1. Calcolare X(ω) tramite FFT: O(n log n)
2. Moltiplicare X(ω) · H(ω): O(n)
3. Calcolare y(t) tramite FFT inversa: O(n log n)

Complessità totale: O(n log n), un vantaggio enorme per n grande.

Derivazione nel Dominio Temporale

Teorema: Se f è differenziabile e sia f che f' sono trasformabili:

ℱ{df/dt} = iω F(ω)

Dimostrazione (formale, usando integrazione per parti):

ℱ{f'}(ω) = ∫_{-∞}^{+∞} f'(t) e^{-iωt} dt

Integriamo per parti con u = e^{-iωt} e dv = f'(t) dt:

= [f(t) e^{-iωt}]_{-∞}^{+∞} - ∫_{-∞}^{+∞} f(t) (-iω) e^{-iωt} dt

Assumendo che f(t) → 0 quando |t| → ∞ (condizione necessaria per integrabilità), il termine di bordo si annulla:

= 0 + iω ∫_{-∞}^{+∞} f(t) e^{-iωt} dt = iω F(ω)

Generalizzazione: Per la derivata n-esima:

ℱ{d^n f/dt^n} = (iω)^n F(ω)

Questo mostra che derivare nel tempo corrisponde a moltiplicare per iω in frequenza. Alte frequenze vengono amplificate esponenzialmente con l'ordine della derivata, riflettendo il fatto che funzioni rapidamente oscillanti hanno derivate grandi.

Integrazione nel Dominio Temporale

Teorema: Se g(t) = ∫_{-∞}^t f(τ) dτ e assumendo condizioni appropriate:

G(ω) = F(ω)/(iω) + π F(0) δ(ω)

Il termine δ(ω) rappresenta la componente DC eventualmente introdotta dall'integrazione.

Trasformata della Derivata nel Dominio Frequenziale

Teorema:

$\mathcal{F}^{-1}\{dF/d\omega\} = -it\, f(t)$

Dimostrazione:

Partiamo dalla definizione $F(\omega) = \int_{-\infty}^{+\infty} f(t)\, e^{-i\omega t}\, dt$ e deriviamo rispetto a ω:

$dF/d\omega = \int_{-\infty}^{+\infty} f(t)\, \partial/\partial\omega (e^{-i\omega t})\, dt = \int_{-\infty}^{+\infty} f(t)\, (-it)\, e^{-i\omega t}\, dt = -i \int_{-\infty}^{+\infty} (t\, f(t))\, e^{-i\omega t}\, dt = -i\, \mathcal{F}\{t\, f(t)\}(\omega)$

Quindi:

$\mathcal{F}\{t\, f(t)\} = i\, dF/d\omega$

e per la trasformata inversa:

$t\, f(t) = \mathcal{F}^{-1}\{i\, dF/d\omega\}$

ovvero:

$\mathcal{F}^{-1}\{dF/d\omega\} = -it\, f(t)$

Il Principio di Indeterminazione: Dimostrazione

Teorema (Heisenberg-Gabor): Per ogni $f \in L^2(\mathbb{R})$ con $\int |f|^2 = 1$:

$\sigma_t\, \sigma_\omega \geq 1/2$

con uguaglianza se e solo se $f(t) = A\, e^{-\alpha t^2}$ per qualche $A \in \mathbb{C}$ e $\alpha > 0$ reali.

Dimostrazione (schema):

1. Senza perdita di generalità, assumiamo che il centro temporale sia $t_0 = 0$ (altrimenti trasliamo) e il centro frequenziale sia $\omega_0 = 0$.

2. Definiamo gli operatori posizione $\hat{T}$ e momento $\hat{P}$:

$(\hat{T}f)(t) = t\, f(t)$ $(\hat{P}f)(\omega) = \omega\, F(\omega) \leftrightarrow$ (in tempo) $\mathcal{F}^{-1}\{\hat{P}F\} = -i\, f'(t)$

3. Consideriamo il commutatore $[\hat{P}, \hat{T}]$:

$[\hat{P}, \hat{T}]f = \hat{P}(\hat{T}f) - \hat{T}(\hat{P}f) = -i(t\, f)' - t(-i\, f') = -i(f + t\, f' - t\, f') = -if$

Quindi $[\hat{P}, \hat{T}] = -i$ (operatore identità moltiplicato per $-i$).

4. Per operatori hermitiani A e B con $[A, B] = iC$, vale la disuguaglianza di Robertson:

$\sigma_A\, \sigma_B \geq (1/2)|\langle C \rangle|$

5. Nel nostro caso:

$\sigma_T\, \sigma_P \geq (1/2)|\langle -i \rangle| = 1/2$

6. Notando che $\hat{P}$ corrisponde a $-i\omega$ nel dominio frequenziale, abbiamo $\sigma_P = \sigma_\omega$, quindi:

$\sigma_t\, \sigma_\omega \geq 1/2$

7. L'uguaglianza si raggiunge quando f soddisfa:

$(\hat{P} - \langle P \rangle)\, f = \lambda\, (\hat{T} - \langle T \rangle)\, f$

per qualche λ complesso, che porta all'equazione differenziale:

$-i\, f'(t) = \lambda\, t\, f(t)$

con soluzione:

$f(t) = A\, e^{i\lambda t^2/2}$

Richiedendo σ_ω finita necessita $\mathrm{Re}(\lambda) < 0$, quindi ponendo $\lambda = -2i\alpha$ con $\alpha > 0$:

$f(t) = A\, e^{-\alpha t^2}$

la gaussiana.

Trasformata di Fourier della Gaussiana

Teorema: Se $f(t) = e^{-\alpha t^2}$ con $\alpha > 0$, allora:

$F(\omega) = \sqrt{(\pi/\alpha)}\, e^{-\omega^2/(4\alpha)}$

Dimostrazione:

$F(\omega) = \int_{-\infty}^{+\infty} e^{-\alpha t^2}\, e^{-i\omega t}\, dt$

Completiamo il quadrato nell'esponente:

$-\alpha t^2 - i\omega t = -\alpha(t^2 + (i\omega/\alpha)t) = -\alpha(t + i\omega/(2\alpha))^2 - (i\omega)^2/(4\alpha) = -\alpha(t + i\omega/(2\alpha))^2 + \omega^2/(4\alpha)$

Quindi:

$F(\omega) = e^{\omega^2/(4\alpha)} \int_{-\infty}^{+\infty} e^{-\alpha(t + i\omega/(2\alpha))^2} dt$

Sostituiamo $u = \sqrt{\alpha}\,(t + i\omega/(2\alpha))$:

$= e^{\omega^2/(4\alpha)} \int_{-\infty+i(\omega\sqrt{\alpha})/(2\alpha)}^{+\infty+i(\omega\sqrt{\alpha})/(2\alpha)} e^{-u^2} du/\sqrt{\alpha}$

Per il teorema di Cauchy (l'integrale di e^{-u^2} su una linea parallela all'asse reale nel piano complesso è uguale all'integrale sull'asse reale):

$= (e^{\omega^2/(4\alpha)}/\sqrt{\alpha}) \int_{-\infty}^{+\infty} e^{-u^2} du$

L'integrale gaussiano fondamentale è:

$\int_{-\infty}^{+\infty} e^{-u^2} du = \sqrt{\pi}$

Quindi:

$F(\omega) = (\sqrt{\pi}/\sqrt{\alpha})\, e^{-\omega^2/(4\alpha)} = \sqrt{(\pi/\alpha)}\, e^{-\omega^2/(4\alpha)}$

Osservazione cruciale: La trasformata di Fourier di una gaussiana è un'altra gaussiana! Se α è grande (gaussiana stretta temporalmente), α appare al denominatore nell'esponente frequenziale (gaussiana larga in frequenza), e viceversa, manifestando esplicitamente il principio di indeterminazione.

Per $\alpha = 1/2$:

$f(t) = e^{-t^2/2} \leftrightarrow F(\omega) = \sqrt{(2\pi)}\, e^{-\omega^2/2}$

Le deviazioni standard sono $\sigma_t = 1/\sqrt{2}$ e $\sigma_\omega = 1/\sqrt{2}$, quindi $\sigma_t\, \sigma_\omega = 1/2$, saturando il limite.

CAPITOLO 18 - Parte 3: Fast Fourier Transform

La Trasformata di Fourier Discreta

Definizione e Proprietà

Data una sequenza finita di N campioni $x[n]$ con $n = 0, 1, ..., N-1$, la trasformata di Fourier discreta (DFT) è definita come:

$X[k] = \Sigma_{n=0}^{N-1} x[n]\, e^{-i2\pi kn/N}$ per $k = 0, 1, ..., N-1$

La trasformata inversa (IDFT) è:

$x[n] = (1/N) \Sigma_{k=0}^{N-1} X[k] e^{i2\pi kn/N}$ per $n = 0, 1, ..., N-1$

Radici dell'Unità e Notazione Compatta

Definiamo il **twiddle factor** primitivo:

$W_N = e^{-i2\pi/N}$

Questa è una radice N-esima primitiva dell'unità: $(W_N)^N = e^{-i2\pi} = 1$.

Le potenze di W_N sono le N radici N-esime dell'unità, che formano un gruppo ciclico moltiplicativo e geometricamente giacciono equispaziate sul cerchio unitario nel piano complesso.

Con questa notazione, la DFT diventa:

$X[k] = \Sigma_{n=0}^{N-1} x[n] W_N^{kn}$

e l'IDFT:

$x[n] = (1/N) \Sigma_{k=0}^{N-1} X[k] W_N^{-kn}$

Rappresentazione Matriciale

La DFT può essere scritta come moltiplicazione matrice-vettore:

$\mathbf{X} = F_N \mathbf{x}$

dove **x** e **X** sono vettori colonna di dimensione N, e F_N è la matrice DFT di dimensione N×N:

$[F_N]_{k,n} = W_N^{kn}$

Esplicitamente:

$F_N = [1\ 1\ 1\ ...\ 1\ ]\ [1\ W_N\ W_N^2\ ...\ W_N^{N-1}]\ [1\ W_N^2\ W_N^4\ ...\ W_N^{2(N-1)}]\ [...\ ...\ ...\ ...\ ]\ [1\ W_N^{N-1}\ W_N^{2(N-1)}\ ...\ W_N^{(N-1)^2}]$

La matrice F_N ha proprietà notevoli:

1. **Simmetria**: F_N è simmetrica (ma non hermitiana in generale)
2. **Ortogonalità**: Le righe sono ortogonali (ma non ortonormali):

   $\Sigma_{n=0}^{N-1} W_N^{k_1 n} W_N^{-k_2 n} = \Sigma_{n=0}^{N-1} W_N^{(k_1-k_2)n} = N \delta_{k_1 k_2}$

   dove δ è il delta di Kronecker.
3. **Inversione**: $F_N^{-1} = (1/N) \bar{F}_N$, dove $\bar{F}_N$ è il complesso coniugato di F_N.

Calcolo Diretto della DFT: Complessità O(N²)

Il calcolo diretto di X[k] per tutti i k richiede:

- Per ogni k (N valori), sommiamo N termini
- Ogni termine richiede una moltiplicazione complessa
- Totale: N² moltiplicazioni complesse

Una moltiplicazione complessa (a + ib)(c + id) = (ac - bd) + i(ad + bc) richiede 4 moltiplicazioni reali e 2 addizioni reali (con l'ottimizzazione standard).

Per N = 1024, questo significa circa 1.048.576 moltiplicazioni complesse, rapidamente proibitivo per N più grandi.

L'Algoritmo di Cooley-Tukey

Idea Fondamentale: Divide et Impera

L'algoritmo FFT di Cooley-Tukey (1965) sfrutta la simmetria e periodicità delle radici dell'unità per ridurre drasticamente le operazioni richieste.

L'idea chiave: se N è pari (generalizzabile a N composto), possiamo decomporre la DFT in due DFT più piccole.

Decimation in Time (DIT)

Separiamo la somma in termini di indice pari e dispari:

$X[k] = \Sigma_{n=0}^{N-1} x[n] W_N^{kn}$

$= \Sigma_{m=0}^{N/2-1} x[2m] W_N^{k(2m)} + \Sigma_{m=0}^{N/2-1} x[2m+1] W_N^{k(2m+1)}$

$= \Sigma_{m=0}^{N/2-1} x[2m] (W_N^2)^{km} + W_N^k \Sigma_{m=0}^{N/2-1} x[2m+1] (W_N^2)^{km}$

Osserviamo che:

$W_N^2 = e^{-i2\pi \cdot 2/N} = e^{-i2\pi/(N/2)} = W_{N/2}$

Quindi:

$X[k] = \Sigma_{m=0}^{N/2-1} x[2m] W_{N/2}^{km} + W_N^k \Sigma_{m=0}^{N/2-1} x[2m+1] W_{N/2}^{km}$

Definiamo le DFT di dimensione N/2:

$E[k] = \Sigma_{m=0}^{N/2-1} x[2m] W_{N/2}^{km}$ (DFT dei campioni pari)

$O[k] = \Sigma_{m=0}^{N/2-1} x[2m+1] W_{N/2}^{km}$ (DFT dei campioni dispari)

Allora:

X[k] = E[k] + W_N^k O[k] per k = 0, 1, ..., N-1

Ma E[k] e O[k] sono periodiche con periodo N/2, quindi E[k + N/2] = E[k] e O[k + N/2] = O[k].

Inoltre:

W_N^{k+N/2} = e^{-i2π(k+N/2)/N} = e^{-i2πk/N} · e^{-iπ} = -W_N^k

Quindi:

X[k] = E[k] + W_N^k O[k] per k = 0, ..., N/2-1

X[k + N/2] = E[k] + W_N^{k+N/2} O[k] = E[k] - W_N^k O[k] per k = 0, ..., N/2-1

La Butterfly Computation

Le due equazioni sopra rappresentano la **butterfly operation**, l'unità computazionale fondamentale della FFT:

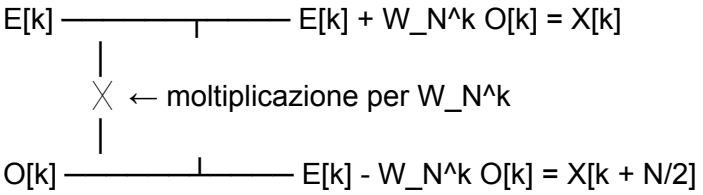

Per ogni k, richiede:

- 1 moltiplicazione complessa (W_N^k · O[k])
- 2 addizioni complesse

Analisi della Complessità

Sia T(N) il numero di moltiplicazioni complesse richieste per una FFT di dimensione N.

Con la decomposizione:

- Calcoliamo 2 FFT di dimensione N/2: 2T(N/2)
- Combiniamo i risultati con N butterfly operations: N moltiplicazioni

Quindi:

T(N) = 2T(N/2) + N

con condizione al contorno T(1) = 0 (la DFT di un singolo punto è banale).

Risolvendo la ricorrenza per sostituzione ripetuta:

$T(N) = 2T(N/2) + N = 2[2T(N/4) + N/2] + N = 4T(N/4) + 2N = 4[2T(N/8) + N/4] + 2N = 8T(N/8) + 3N ... = 2^m T(N/2^m) + mN$

Ponendo $N = 2^m$ (quindi $m = \log_2 N$):

$T(N) = 2^m T(1) + N \log_2 N = 0 + N \log_2 N$

Risultato fondamentale: FFT richiede $O(N \log N)$ moltiplicazioni complesse, contro $O(N^2)$ del metodo diretto.

Per $N = 1024 = 2^{10}$:

- Metodo diretto: $N^2 = 1.048.576$ moltiplicazioni
- FFT: $N \log_2 N = 10.240$ moltiplicazioni
- **Speedup**: circa 100×

Per $N = 1.048.576 = 2^{20}$:

- Metodo diretto: $N^2 \approx 10^{12}$ moltiplicazioni
- FFT: $N \log_2 N \approx 2 \times 10^7$ moltiplicazioni
- **Speedup**: circa 50.000×

Implementazione Ricorsiva (Pseudocodice)

```
function FFT(x):
    N = length(x)

    if N == 1:
        return x

    # Separa pari e dispari
    x_even = [x[2m] for m in 0...N/2-1]
    x_odd = [x[2m+1] for m in 0...N/2-1]

    # Ricorsione
    E = FFT(x_even)
    O = FFT(x_odd)

    # Combina
    X = array of size N
    for k = 0 to N/2-1:
        t = exp(-i * 2π * k / N) * O[k]
        X[k] = E[k] + t
        X[k + N/2] = E[k] - t

    return X
```

Implementazione Iterativa e Bit-Reversal

L'implementazione ricorsiva è elegante ma inefficiente per overhead di chiamate ricorsive. L'implementazione iterativa standard usa il **bit-reversal permutation**.

L'idea: ad ogni livello di ricorsione, separiamo pari/dispari, che in binario significa separare basandoci sull'ultimo bit. Iterando, questo produce un riordinamento dei dati secondo l'inversione dei bit degli indici.

Per N = 8, gli indici 0-7 in binario e bit-reversed:

Decimale	Binario	Bit-Reversed	Decimale
0	000	000	0
1	001	100	4
2	010	010	2
3	011	110	6
4	100	001	1
5	101	101	5
6	110	011	3
7	111	111	7

Algoritmo Iterativo:

1. Riordina l'input secondo bit-reversal permutation
2. Per ogni livello s = 1, 2, ..., $\log_2$ N:
    - Dimensione blocco m = 2^s
    - Per ogni blocco k = 0, m, 2m, ..., N-m:
        - Per ogni j = 0, ..., m/2-1:
            - Calcola butterfly tra x[k+j] e x[k+j+m/2] con twiddle W_N^{(N/m)j}

Calcolo Efficiente dei Twiddle Factors

I twiddle factors W_N^k = e^{-i2πk/N} possono essere:

1. **Pre-calcolati e memorizzati** in una lookup table (richiede O(N) memoria)

2. **Calcolati ricorsivamente**:

   W_N^{k+1} = W_N^k · W_N

   Questo evita chiamate a funzioni trascendenti costose, ma accumula errori numerici.

3. **Calcolo per trigonometria aggiornativa**:

   Se W_N^k = cos(2πk/N) - i sin(2πk/N), possiamo usare formule di addizione:

   cos(θ + Δθ) = cos θ cos Δθ - sin θ sin Δθ sin(θ + Δθ) = sin θ cos Δθ + cos θ sin Δθ

con $\Delta\theta = 2\pi/N$ pre-calcolato.

Generalizzazioni

FFT di Dimensione Non-Potenza-di-2:

- **Radix-3, Radix-5, etc.**: Decomposizione in 3 o più sottoproblemi se N è divisibile per 3, 5, etc.
- **Mixed-Radix FFT**: Se $N = N_1 \cdot N_2$, decomponi in FFT di dimensione N_1 e N_2
- **Bluestein's Algorithm**: Trasforma qualsiasi DFT in una convoluzione, calcolabile con FFT di dimensione potenza-di-2 (padding)

FFT Multidimensionale:

Per array 2D di dimensione N×M, possiamo:

1. Calcolare FFT 1D su tutte le righe: N FFT di dimensione M
2. Calcolare FFT 1D su tutte le colonne: M FFT di dimensione N

Complessità totale: O(NM(log N + log M)) = O(NM log(NM))

Questo si generalizza a dimensioni superiori.

Precisione Numerica e Stabilità

L'algoritmo FFT è notevolmente stabile numericamente. L'errore relativo in virgola mobile è O(ε log N), dove ε è la precisione macchina (circa 10^{-16} per double precision).

Per N = 10^6, l'errore è circa 20ε, ancora eccellente.

Tuttavia, per applicazioni critiche:

- Usare **double precision** (64-bit) invece di single precision (32-bit)
- Evitare aggiornamenti ricorsivi di twiddle factors che accumulano errori
- Considerare algoritmi alternativi per N estremamente grande (> 10^9)

Zero-Padding e Risoluzione Frequenziale

La risoluzione frequenziale della DFT è $\Delta f = f_s/N$, dove f_s è la frequenza di campionamento.

Per aumentare la risoluzione (interpolare lo spettro), possiamo fare **zero-padding**: aggiungere zeri alla fine del segnale temporale.

Se abbiamo N campioni e aggiungiamo N zeri (ottenendo 2N campioni), la DFT di dimensione 2N produce il doppio dei punti frequenziali, con risoluzione $\Delta f/2$.

Attenzione: Zero-padding non aggiunge informazione! È pura interpolazione. Non può risolvere frequenze più vicine del limite di Rayleigh ≈ 1/T, dove T è la durata temporale.

Sezione 18.4: Teorema del Campionamento

18.4.1 Formulazione del Teorema di Nyquist-Shannon

Teorema 18.1 (Campionamento di Nyquist-Shannon): Una funzione f(t) a banda limitata, cioè con F(ω) = 0 per |ω| > ω_max, può essere perfettamente ricostruita dai suoi campioni f(nT) se la frequenza di campionamento soddisfa:

f_s = 1/T ≥ 2f_max = 2·ω_max/(2π)

dove f_s è detta **frequenza di Nyquist**.

Dimostrazione:

Campionamento nel dominio temporale è moltiplicazione per un treno di impulsi:

f_sampled(t) = f(t) · Σ_{n=-∞}^{+∞} δ(t - nT)

Nel dominio frequenziale, moltiplicazione → convoluzione (teorema duale):

F_sampled(ω) = F(ω) ★ ℱ{Σ δ(t - nT)}

La trasformata del treno di impulsi è ancora un treno di impulsi (dualità di Poisson):

ℱ{Σ_{n} δ(t - nT)} = (1/T) Σ_{k} δ(ω - 2πk/T)

Quindi:

F_sampled(ω) = (1/T) Σ_{k=-∞}^{+∞} F(ω - k·ω_s)

dove ω_s = 2π/T è la frequenza angolare di campionamento.

Interpretazione: Lo spettro originale F(ω) è replicato (con ampiezza 1/T) a ogni multiplo di ω_s.

Condizione per ricostruzione perfetta: Le repliche non devono sovrapporsi.

Se F(ω) = 0 per |ω| > ω_max, allora serve:

$\omega_s - \omega_{max} > \omega_{max}$

$\omega_s > 2\omega_{max}$

Questo è esattamente il criterio di Nyquist! ✓

Formula di ricostruzione (formula di interpolazione di Whittaker-Shannon):

$f(t) = \Sigma_{n=-\infty}^{+\infty} f(nT) \cdot \text{sinc}((t - nT)/T)$

dove $\text{sinc}(x) = \sin(\pi x)/(\pi x)$.

Dimostrazione della formula di ricostruzione:

Se $\omega_s > 2\omega_{max}$, possiamo estrarre $F(\omega)$ da $F_{sampled}(\omega)$ con filtro ideale passa-basso:

$H(\omega) = \begin{cases} T & \text{per } |\omega| \leq \pi/T \\ 0 & \text{altrimenti} \end{cases}$

Allora:

$F(\omega) = F_{sampled}(\omega) \cdot H(\omega) = T \cdot (1/T) \Sigma_n f(nT) e^{-i\omega nT} \cdot H(\omega)$

$= \Sigma_n f(nT) e^{-i\omega nT}$ per $|\omega| \leq \pi/T$

Trasformando inversamente:

$f(t) = (1/2\pi) \int_{-\pi/T}^{\pi/T} [\Sigma_n f(nT) e^{-i\omega nT}] e^{i\omega t} d\omega$

$= \Sigma_n f(nT) \cdot (1/2\pi) \int_{-\pi/T}^{\pi/T} e^{i\omega(t-nT)} d\omega$

L'integrale è:

$(1/2\pi) \int_{-\pi/T}^{\pi/T} e^{i\omega(t-nT)} d\omega = \sin[\pi(t-nT)/T] / (\pi(t-nT)/T) = \text{sinc}((t-nT)/T)$

Quindi $f(t) = \Sigma_n f(nT) \text{sinc}((t-nT)/T)$. ∎

18.4.2 Aliasing: Il Fenomeno e le Conseguenze

Definizione 18.2 (Aliasing): Quando $f_s < 2f_{max}$, componenti frequenziali superiori a $f_s/2$ "si ripiegano" (fold back) nello spettro campionato, sovrapponendosi a componenti genuine.

Esempio numerico:

Segnale: $f(t) = \cos(2\pi \cdot 8t) + \cos(2\pi \cdot 12t)$

- Componente 1: $f_1 = 8$ Hz
- Componente 2: $f_2 = 12$ Hz
- $f_{max} = 12$ Hz $\rightarrow$ Nyquist richiede $f_s \geq 24$ Hz

Campionamento a $f_s = 16$ Hz (sottocampionamento):

- Componente 8 Hz: OK (sotto Nyquist)
- Componente 12 Hz: ALIAS!

Frequenza apparente della componente 12 Hz:

$f_{alias} = f_s - f_2 = 16 - 12 = 4$ Hz

Il segnale campionato appare come:

$f_{sampled} \approx \cos(2\pi \cdot 8t) + \cos(2\pi \cdot 4t)$

Completamente diverso dall'originale!

Formula generale dell'aliasing:

Per componente di frequenza $f > f_s/2$:

$f_{alias} = |f - \text{round}(f/f_s) \cdot f_s|$

dove round arrotonda all'intero più vicino.

Prevenzione: **Anti-aliasing filter** analogico prima del campionamento:

- Filtro passa-basso con frequenza di taglio $f_c \leq f_s/2$
- Tipicamente $f_c \approx 0.4 \cdot f_s$ (margine di sicurezza per filtro reale non ideale)

18.4.3 Fenomeno di Gibbs

Contesto: Ricostruzione di segnali con discontinuità

Fenomeno: Oscillazioni (ringing) vicino a discontinuità che non scompaiono aumentando il numero di campioni, ma convergono a circa 9% dell'ampiezza del salto.

Analisi matematica: Serie di Fourier di onda quadra

Onda quadra di periodo 2π:

f(t) = {+1 per 0 < t < π

{-1 per π < t < 2π

Serie di Fourier:

f(t) = (4/π) Σ_{n odd} (1/n) sin(nt)

Somma parziale con N termini:

S_N(t) = (4/π) Σ_{n=1,3,5,...}^{2N-1} (1/n) sin(nt)

Overshoot massimo: A t vicino a 0 (discontinuità):

max |S_N(t) - f(0)| → (2/π) ∫_0^π (sin x)/x dx ≈ 1.179

Per salto di ampiezza 2 (da -1 a +1), overshoot assoluto ≈ 0.179, cioè ~9% del salto.

Soluzione pratica:

1. Windowing (finestre di Hamming, Hann, Blackman)
2. Smoothing post-interpolazione
3. Accettare il fenomeno come intrinseco alla ricostruzione a banda limitata

Sezione 18.5: Trasformata di Fourier in 2D e Elaborazione Immagini

18.5.1 Definizione e Separabilità

Trasformata 2D:

F(u, v) = ∫∫ f(x, y) e^{-i2π(ux + vy)} dx dy

Inversa:

f(x, y) = ∫∫ F(u, v) e^{i2π(ux + vy)} du dv

Separabilità: Per funzioni separabili f(x,y) = f_1(x)f_2(y):

F(u, v) = F_1(u) · F_2(v)

Conseguenza computazionale: FFT 2D può essere calcolata come:

1. FFT 1D su tutte le righe
2. FFT 1D su tutte le colonne del risultato

Complessità: O(N² log N) per immagine N×N (contro O(N⁴) per algoritmo naive)

18.5.2 Proprietà Aggiuntive in 2D

Teorema della Rotazione: Se f(x, y) è ruotato di angolo θ, allora F(u, v) è ruotato dello stesso angolo θ.

Dimostrazione (sketch): Rotazione nel piano (x, y):

[x'] [cos θ -sin θ] [x]

[y'] = [sin θ cos θ] [y]

Jacobiano della trasformazione = 1, quindi:

F_rotated(u, v) = ∫∫ f(x', y') e^{-i2π(ux + vy)} dx dy

Cambiamento di variabili con u' = u cos θ - v sin θ, v' = u sin θ + v cos θ mostra che F è ruotato ugualmente.

Proprietà di Scaling: Se f(x, y) → f(ax, by), allora:

F(u, v) → (1/|ab|) F(u/a, v/b)

18.5.3 Filtraggio Frequenziale di Immagini

Filtro passa-basso ideale:

H(u, v) = {1 se √(u² + v²) ≤ D₀

{0 altrimenti

Effetto: rimuove dettagli fini (alte frequenze) → immagine sfocata/smoothed

Filtro passa-alto ideale:

H(u, v) = {0 se √(u² + v²) ≤ D₀

{1 altrimenti

Effetto: enfatizza bordi e transizioni → edge detection

Filtro Gaussiano (più pratico):

H(u, v) = e^{-(u² + v²)/(2σ²)}

Passabasso con σ piccolo (blur forte), passa-alto con 1 - H(u,v).

Procedura:

1. FFT 2D dell'immagine: F(u, v) = $\mathcal{F}${f(x, y)}
2. Moltiplicazione: G(u, v) = H(u, v) · F(u, v)
3. IFFT 2D: g(x, y) = $\mathcal{F}^{-1}${G(u, v)}

18.5.4 Compressione JPEG e DCT

Discrete Cosine Transform (DCT): Variante reale della DFT

Formula 1D:

F(k) = α(k) Σ_{n=0}^{N-1} f(n) cos[π(2n+1)k/(2N)]

dove α(0) = 1/√N, α(k) = √(2/N) per k > 0.

Vantaggi su DFT:

- Coefficienti reali (no parte immaginaria)
- Migliore compattazione energia per segnali "naturali"
- Meno artefatti di bordo

Algoritmo JPEG (semplificato):

1. **Conversione colore**: RGB → YCbCr (luminanza + crominanza)

2. **Suddivisione in blocchi**: Immagine divisa in blocchi 8×8

DCT 2D su ogni blocco:

$$F(u,v) = (1/4)\, C(u)C(v)\, \Sigma_x \Sigma_y\, f(x,y) \cos[\pi(2x+1)u/16] \cos[\pi(2y+1)v/16]$$

3.

Quantizzazione:

$$F_Q(u,v) = \text{round}(F(u,v)/Q(u,v))$$

4. dove Q(u,v) è matrice di quantizzazione (valori maggiori per alte frequenze)

5. **Codifica entropica**: Huffman coding su coefficienti quantizzati

Perdita di informazione: Step 4 (quantizzazione) è irreversibile → compressione lossy

Rapporti di compressione tipici: 10:1 - 20:1 con perdita percettiva minima

Sezione 18.6: Applicazioni Avanzate

18.6.1 Correlazione e Matching di Pattern

Cross-correlazione:

$$(f \star g)(t) = \int f(\tau)\, g(t + \tau)\, d\tau$$

Simile a convoluzione ma senza inversione temporale di g.

Teorema:

$$\mathcal{F}\{f \star g\} = \bar{F}(\omega) \cdot G(\omega)$$

dove $\bar{F}$ è il complesso coniugato.

Applicazione (template matching):

Data immagine I(x, y) e template T(x, y), la correlazione C(x, y) = I ⋆ T ha massimi dove T "matcha" meglio I.

Algoritmo veloce:

1. FFT di I: F_I
2. FFT di T: F_T
3. Prodotto: R = $\bar{F}$_I · F_T
4. IFFT: C = $\mathcal{F}^{-1}${R}

Complessità: O(N log N) invece di O(N²) per correlazione diretta

18.6.2 Deconvoluzione e Restauro Immagini

Problema: Immagine degradata da sfocatura (blur) e rumore:

$g(x, y) = (h \star f)(x, y) + n(x, y)$

dove:

- g = immagine osservata
- f = immagine originale (sconosciuta)
- h = Point Spread Function (PSF) della sfocatura
- n = rumore

Nel dominio frequenziale:

$G(u, v) = H(u, v)F(u, v) + N(u, v)$

Filtro inverso naive:

$\hat{F}(u, v) = G(u, v)/H(u, v)$

Problema: Se $H(u, v) \approx 0$ (alle alte frequenze), il rumore N viene amplificato enormemente!

Filtro di Wiener (ottimale in senso MSE):

$W(u, v) = [\bar{H}(u, v)] / [|H(u, v)|^2 + S_n(u,v)/S_f(u,v)]$

dove:

- S_n = spettro di potenza del rumore
- S_f = spettro di potenza del segnale

Stima restaurata: $\hat{F} = W \cdot G$

Regolarizzazione: Quando S_n, S_f sconosciuti, si usa parametro di regolarizzazione α:

$W(u, v) = \bar{H}(u, v) / [|H(u, v)|^2 + \alpha]$

α bilanciato empiricamente (trade-off risoluzione vs rumore)

18.6.3 Analisi di Spettro in Astrofisica

Spettroscopia: Decomposizione luce stellare in componenti frequenziali

$$I(\lambda) = I_{continuum}(\lambda) + \Sigma_i A_i \delta(\lambda - \lambda_i)$$

dove λ_i sono righe spettrali (emissione/assorbimento)

Trasformata di Fourier: Converte spettro da dominio lunghezza d'onda a dominio coniugato (numero d'onda)

Applicazione (redshift):

Spostamento Doppler relativistic:

$$\lambda_{obs} = \lambda_{rest} (1 + z)$$

dove $z = v/c$ per velocità non relativistiche.

Correlazione dello spettro osservato con template a diversi z determina redshift → distanza galattica.

Esempio: Quasar con $z = 6$:

- Lyman-α: $\lambda_{rest} = 121.6$ nm
- $\lambda_{obs} = 121.6 \times 7 = 851$ nm (spostato nell'infrarosso vicino)

18.6.4 Accelerazione Hardware e GPU

CUDA FFT (cuFFT): Implementazione NVIDIA per GPU

Speedup tipici: 10-100× rispetto a CPU single-thread

Esempio benchmark (FFT 1D di $2^{20} = 1{,}048{,}576$ punti complessi):

- CPU (Intel i9, FFTW): ~20 ms
- GPU (NVIDIA RTX 3080, cuFFT): ~0.3 ms
- Speedup: ~67×

Perché GPU sono veloci:

- Parallelismo massiccio (migliaia di core)
- Memoria bandwidth alta
- FFT è inherentemente parallelizzabile (butterfly operations indipendenti a ciascun livello)

Applicazioni real-time:

- Software Defined Radio (SDR)
- Analisi spettrale real-time (oscilloscopi digitali)
- Elaborazione video 4K/8K

Sezione 18.7: Trasformate Alternative

18.7.1 Trasformata Wavelet

Limitazione della Fourier: Risoluzione temporale/frequenziale fissa (principio indeterminazione)

Wavelet: Localizzazione temporale variabile con frequenza

Continuous Wavelet Transform:

$$W(a, b) = (1/\sqrt{a}) \int f(t)\, \psi^*((t-b)/a)\, dt$$

dove:

- ψ = wavelet "madre"
- a = parametro di scala (≈ 1/frequenza)
- b = parametro di traslazione (posizione temporale)

Wavelet comune (Morlet):

$$\psi(t) = e^{i\omega_0 t}\, e^{-t^2/2}$$

Applicazioni:

- Analisi di segnali non-stazionari (ritmo cardiaco, sismici)
- Compressione immagini (JPEG 2000)
- Denoising

18.7.2 Short-Time Fourier Transform (STFT)

Idea: FFT locale su finestre temporali scorrevoli

Formula:

$$STFT(t, \omega) = \int f(\tau)\, w(\tau - t)\, e^{-i\omega\tau}\, d\tau$$

dove w(t) è finestra (Hann, Hamming, etc.)

Spettrogramma: $|STFT(t, \omega)|^2$ visualizzato come heatmap (tempo vs frequenza)

Compromesso: Finestra larga → buona risoluzione frequenziale, cattiva temporale. Finestra stretta → viceversa.

Wavelet supera questo limite con risoluzione adattiva.

Conclusioni del Capitolo 18

La Trasformata di Fourier è più di uno strumento matematico - è una **filosofia**: qualsiasi fenomeno periodico può essere decomposto in componenti armoniche pure. Questa decomposizione:

1. **Rivela strutture nascoste**: Periodicità sepolte nel rumore
2. **Semplifica operazioni**: Convoluzione → moltiplicazione
3. **Abilita compressione**: Pochi coefficienti catturano l'essenza

La FFT democratizza queste capacità, portando complessità da $O(N^2)$ a $O(N \log N)$ - uno dei più importanti algoritmi del XX secolo.

Interconnessioni profonde:

- Con meccanica quantistica: base dell'onda piana {e^{ikx}}
- Con teoria dei gruppi: rappresentazione unitaria di $\mathbb{R}$
- Con probabilità: funzione caratteristica di distribuzioni
- Con equazioni differenziali: diagonalizzazione di operatori di derivazione

La dualità tempo-frequenza pervade tutta la fisica e l'ingegneria, dal principio di Heisenberg alla teoria della comunicazione. Comprendere Fourier è comprendere un linguaggio fondamentale della natura.

Transizione al Capitolo 19: Così come Fourier decompone segnali in componenti atomiche (frequenze), il machine learning decompone dati in pattern attraverso trasformazioni non-lineari. La backpropagation, che esploriamo nel prossimo capitolo, è il meccanismo che permette di apprendere queste trasformazioni ottimali.

CAPITOLO 19: MACHINE LEARNING - Parte 1

Backpropagation: Derivazione Matematica Completa

Notazione e Setup

Consideriamo una rete neurale feedforward con L strati. Per lo strato l:

- $\mathbf{x}^{(l)} \in \mathbb{R}^{n_l}$: vettore delle attivazioni (output dello strato l)
- $\mathbf{W}^{(l)} \in \mathbb{R}^{n_l \times n_{l-1}}$: matrice dei pesi
- $\mathbf{b}^{(l)} \in \mathbb{R}^{n_l}$: vettore dei bias
- $\mathbf{z}^{(l)} \in \mathbb{R}^{n_l}$: pre-attivazioni (input alla funzione di attivazione)

- **σ**: funzione di attivazione (applicata element-wise)

La propagazione forward è:

$z^{(l)} = W^{(l)} x^{(l-1)} + b^{(l)}$ $x^{(l)} = \sigma(z^{(l)})$

con $x^{(0)}$ uguale all'input della rete.

Per un singolo esempio di training (x, y), la loss L dipende dall'output predetto $\hat{y} = x^{(L)}$ e dal target y.

Gradiente della Loss rispetto all'Output

Consideriamo la loss Mean Squared Error:

$L = (1/2) ||\hat{y} - y||^2 = (1/2) \Sigma_i (\hat{y}_i - y_i)^2$

Il gradiente rispetto all'output è:

$\partial L/\partial \hat{y} = \hat{y} - y$

Per Cross-Entropy con softmax (classificazione):

$\hat{y} = \text{softmax}(z^{(L)})$, dove $\text{softmax}(z)_i = e^{z_i}/\Sigma_j e^{z_j}$

$L = -\Sigma_i y_i \log \hat{y}_i$ (dove y è one-hot encoded)

Si può dimostrare che:

$\partial L/\partial z^{(L)} = \hat{y} - y$

(Il softmax e la cross-entropy si semplificano elegantemente!)

Derivata della Funzione di Attivazione

Sigmoid: $\sigma(z) = 1/(1 + e^{-z})$

Derivata: $\sigma'(z) = \sigma(z)(1 - \sigma(z))$

Dimostrazione: $d/dz [1/(1 + e^{-z})] = -1/(1 + e^{-z})^2 \cdot (-e^{-z}) = e^{-z}/(1 + e^{-z})^2 = [1/(1 + e^{-z})] \cdot [e^{-z}/(1 + e^{-z})] = \sigma(z) \cdot [(1 + e^{-z} - 1)/(1 + e^{-z})] = \sigma(z) \cdot [1 - \sigma(z)]$

Tanh: $\sigma(z) = \tanh(z) = (e^z - e^{-z})/(e^z + e^{-z})$

Derivata: $\sigma'(z) = 1 - \tanh^2(z) = 1 - \sigma^2(z)$

ReLU: $\sigma(z) = \max(0, z)$

Derivata: $\sigma'(z) = \{1 \text{ se } z > 0; 0 \text{ se } z < 0; \text{indefinito se } z = 0\}$

In pratica, si pone $\sigma'(0) = 0$ o 1 convenzionalmente.

Leaky ReLU: $\sigma(z) = \max(\alpha z, z)$ con α piccolo (es. 0,01)

Derivata: $\sigma'(z) = \{1 \text{ se } z > 0; \alpha \text{ se } z < 0\}$

Catena: $\delta^{(l)} = \partial L/\partial z^{(l)}$

Definiamo il "vettore di errore" dello strato l:

$\delta^{(l)} = \partial L/\partial z^{(l)} \in \mathbb{R}^{nl}$

Questo rappresenta quanto la loss è sensibile alle pre-attivazioni dello strato l.

Passo Base: Strato Finale

Per lo strato L:

$\delta^{(L)} = \partial L/\partial z^{(L)}$

Se la loss è MSE e non c'è attivazione finale (o attivazione identità):

$z^{(L)} = x^{(L)} = \hat{y}$

$\delta^{(L)} = \partial L/\partial \hat{y} = \hat{y} - y$

Se c'è un'attivazione σ finale:

$x^{(L)} = \sigma(z^{(L)})$

Per la chain rule:

$\delta^{(L)} = \partial L/\partial z^{(L)} = \partial L/\partial x^{(L)} \cdot \partial x^{(L)}/\partial z^{(L)} = (\partial L/\partial x^{(L)}) \odot \sigma'(z^{(L)})$

dove $\odot$ denota prodotto element-wise (Hadamard).

Passo Induttivo: Backpropagation

Assumiamo di aver calcolato $\delta^{(l+1)}$. Vogliamo calcolare $\delta^{(l)}$.

Abbiamo:

$z^{(l+1)} = W^{(l+1)} x^{(l)} + b^{(l+1)} x^{(l)} = \sigma(z^{(l)})$

Per la chain rule multivariata:

$\partial L/\partial z^{(l)}_i = \Sigma\square (\partial L/\partial z^{(l+1)}\square) \cdot (\partial z^{(l+1)}\square/\partial z^{(l)}_i)$

Ora:

$\partial z^{(l+1)}\square/\partial z^{(l)}_i = \Sigma\square (\partial z^{(l+1)}\square/\partial x^{(l)}\square) \cdot (\partial x^{(l)}\square/\partial z^{(l)}_i)$

Dalla definizione:

$z^{(l+1)}\square = \Sigma\square\ W^{(l+1)}\square\square\ x^{(l)}\square + b^{(l+1)}\square$

$\partial z^{(l+1)}\square/\partial x^{(l)}\square = W^{(l+1)}\square\square$

E dalla attivazione:

$x^{(l)}\square = \sigma(z^{(l)}\square)$

$\partial x^{(l)}\square/\partial z^{(l)}_i = \delta\square_i\ \sigma'(z^{(l)}\square)$

dove $\delta\square_i$ è il delta di Kronecker (1 se k=i, 0 altrimenti).

Quindi:

$\partial z^{(l+1)}\square/\partial z^{(l)}_i = W^{(l+1)}\square_i\ \sigma'(z^{(l)}_i)$

Sostituendo:

$\partial L/\partial z^{(l)}_i = \Sigma\square\ \delta^{(l+1)}\square\ W^{(l+1)}\square_i\ \sigma'(z^{(l)}_i) = \sigma'(z^{(l)}_i)\ \Sigma\square\ W^{(l+1)}\square_i\ \delta^{(l+1)}\square$

In forma vettoriale:

$\delta^{(l)} = [(W^{(l+1)})^T\ \delta^{(l+1)}] \odot \sigma'(z^{(l)})$

Equazione fondamentale della backpropagation!

Gradienti dei Parametri

Una volta calcolato $\delta^{(l)}$, otteniamo facilmente i gradienti rispetto ai parametri.

Gradiente rispetto a $W^{(l)}$:

$\partial L/\partial W^{(l)}_i\square = \partial L/\partial z^{(l)}_i \cdot \partial z^{(l)}_i/\partial W^{(l)}_i\square$

Da $z^{(l)}_i = \Sigma\square\ W^{(l)}_i\square\ x^{(l-1)}\square + b^{(l)}_i$:

$\partial z^{(l)}_i/\partial W^{(l)}_i\square = x^{(l-1)}\square$

Quindi:

$\partial L/\partial W^{(l)}_i\square = \delta^{(l)}_i\ x^{(l-1)}\square$

In forma matriciale:

$\partial L/\partial W^{(l)} = \delta^{(l)}\ (x^{(l-1)})^T$

(prodotto esterno: matrice n_l × n_{l-1})

Gradiente rispetto a $b^{(l)}$:

$\partial L/\partial b^{(l)}_i = \partial L/\partial z^{(l)}_i \cdot \partial z^{(l)}_i/\partial b^{(l)}_i = \delta^{(l)}_i \cdot 1 = \delta^{(l)}_i$

In forma vettoriale:

$\partial L/\partial b^{(l)} = \delta^{(l)}$

Algoritmo Completo

Forward Pass:

Per l = 1 a L:
  $z^{(l)} = W^{(l)} x^{(l-1)} + b^{(l)}$
  $x^{(l)} = \sigma(z^{(l)})$
Calcola $L(x^{(L)}, y)$

Backward Pass:

$\delta^{(L)} = (\partial L/\partial x^{(L)}) \odot \sigma'(z^{(L)})$

Per l = L-1 down to 1:
  $\delta^{(l)} = [(W^{(l+1)})^T \delta^{(l+1)}] \odot \sigma'(z^{(l)})$

Per l = 1 a L:
  $\partial L/\partial W^{(l)} = \delta^{(l)} (x^{(l-1)})^T$
  $\partial L/\partial b^{(l)} = \delta^{(l)}$

Complessità Computazionale

Forward pass: Per lo strato l, calcolare $z^{(l)} = W^{(l)} x^{(l-1)}$ richiede O(n_l n_{l-1}) operazioni.

Totale forward: Σ□ n_l n_{l-1} = O(E) dove E è il numero totale di edge (connessioni).

Backward pass:

- Calcolare $(W^{(l+1)})^T \delta^{(l+1)}$: O(n_l n_{l+1})
- Calcolare $\delta^{(l)} (x^{(l-1)})^T$: O(n_l n_{l-1})

Totale backward: circa 2E operazioni, quindi O(E).

Conclusione: Backpropagation è solo circa 2-3× più costosa del forward pass! Questo è il miracolo che rende praticabile l'addestramento di reti profonde.

Confronto con differenze finite numeriche: calcolare ∂L/∂W_{ij} numericamente richiederebbe:

- Perturbare W_{ij} → W_{ij} + ε
- Ricalcolare forward pass: O(E)
- Calcolare [L(W + ε) - L(W)]/ε

Per tutti i parametri: O(P·E) dove P è il numero di parametri. Per reti moderne P ~ 10^6 - 10^9, quindi completamente proibitivo.

Il Problema del Vanishing/Exploding Gradient

Consideriamo una rete profonda con L strati. Il gradiente backpropagato è:

$\delta^{(1)} = [(W^{(2)})^T \delta^{(2)}] \odot \sigma'(z^{(1)}) = [(W^{(2)})^T (W^{(3)})^T \delta^{(3)}] \odot \sigma'(z^{(2)}) \odot \sigma'(z^{(1)}) = ... = [\prod_{l=2}^{L} (W^{(l)})^T] \cdot \delta^{(L)} \odot [\prod_{l=1}^{L-1} \sigma'(z^{(l)})]$

Se i pesi $W^{(l)}$ hanno norme $||W^{(l)}|| < 1$, il prodotto $(W^{(2)})^T ... (W^{(L)})^T$ decresce esponenzialmente con L → **vanishing gradient**.

Se $||W^{(l)}|| > 1$, il prodotto cresce esponenzialmente → **exploding gradient**.

Caso sigmoid: $\sigma'(z) = \sigma(z)(1 - \sigma(z)) \leq 1/4$ per ogni z.

Il termine $\prod \sigma'(z^{(l)})$ decade esponenzialmente, causando vanishing gradient anche con pesi moderati.

Caso ReLU: $\sigma'(z) = 1$ per $z > 0$, quindi non contribuisce al decadimento.

Questo è uno dei motivi principali per cui ReLU ha sostituito sigmoid/tanh come attivazione standard.

Soluzioni:

1. ReLU e varianti (Leaky ReLU, ELU, GELU)
2. Batch Normalization (normalizza le attivazioni)
3. Residual connections ($x^{(l)} = F(x^{(l-1)}) + x^{(l-1)}$) permettono al gradiente di fluire direttamente
4. Careful weight initialization (Xavier/Glorot, He initialization)
5. Gradient clipping per exploding gradients

Inizializzazione dei Pesi

Xavier/Glorot Initialization (per sigmoid/tanh):

$W^{(l)} \sim \text{Uniform}(-\sqrt{6/(n_{l-1} + n_l)}, \sqrt{6/(n_{l-1} + n_l)})$

oppure:

$W^{(l)} \sim \text{Normal}(0, 2/(n_{l-1} + n_l))$

Derivazione euristica: Vogliamo che la varianza delle attivazioni rimanga costante attraverso gli strati.

Se $x^{(l-1)}$ ha varianza $\text{Var}(x^{(l-1)})$ e i pesi W_{ij} sono indipendenti con media 0 e varianza $\text{Var}(W)$:

$z^{(l)}_i = \Sigma\square\ W_{ij}\ x^{(l-1)}\square$

$Var(z^{(l)}_i) = \Sigma\square\ Var(W_{ij})\ Var(x^{(l-1)}\square) = n_{l-1}\ Var(W)\ Var(x^{(l-1)})$

Per avere $Var(z^{(l)}) = Var(x^{(l-1)})$:

$Var(W) = 1/n_{l-1}$

Considerando anche il backward pass, si ottiene un compromesso:

$Var(W) = 2/(n_{l-1} + n_l)$

He Initialization (per ReLU):

$W^{(l)} \sim Normal(0, 2/n_{l-1})$

Per ReLU, metà dei neuroni sono azzerati, quindi serve una varianza doppia.

Sezione 19.2: Ottimizzazione - Oltre Gradient Descent

19.2.1 Stochastic Gradient Descent (SGD)

Problema con batch gradient descent: Per dataset con N esempi, ogni update richiede calcolo del gradiente su tutti N esempi:

$\theta_{t+1} = \theta_t - \eta\ (1/N)\ \Sigma_{i=1}^N\ \nabla L(x_i, y_i; \theta_t)$

Complessità: O(N) per update. Per $N = 10^6$, proibitivo!

Soluzione - SGD: Update basato su singolo esempio (o mini-batch):

$\theta_{t+1} = \theta_t - \eta\ \nabla L(x_i, y_i; \theta_t)$

dove i è scelto randomicamente.

Proprietà:

1. **Non-bias**: $E[\nabla L(x_i, y_i)] = (1/N)\ \Sigma_i\ \nabla L(x_i, y_i)$ (gradiente esatto in media)
2. **Varianza alta**: Singolo gradiente è rumoroso
3. **Convergenza**: Per learning rate decrescente $\eta_t \sim 1/t$, SGD converge a minimo (sotto condizioni di convessità)

Mini-batch SGD (compromesso):

Batch size B = 32, 64, 128, 256 (potenze di 2 per efficienza hardware)

$$\theta_{t+1} = \theta_t - \eta \frac{1}{B} \sum_{i \in B_t} \nabla L(x_i, y_i; \theta_t)$$

Trade-off:

- B piccolo: convergenza più rumorosa ma esplorativa, escapes local minima
- B grande: convergenza più smooth ma può rimanere intrappolato

19.2.2 Momentum

Idea: Accumulare velocità dalle iterazioni precedenti

$$v_{t+1} = \beta v_t + \nabla L(\theta_t)$$
$$\theta_{t+1} = \theta_t - \eta v_{t+1}$$

con $\beta \in [0, 1)$ (tipicamente 0.9).

Interpretazione fisica: Particella che rota con friction in potential landscape $L(\theta)$

Vantaggi:

- Accelera convergenza in direzioni consistenti
- Smorza oscillazioni in direzioni con alta curvatura
- Aiuta attraversare piccoli local minima (energia cinetica accumulate)

Analisi formale: Espandendo la ricorrenza:

$$v_{t+1} = \sum_{k=0}^{t} \beta^k \nabla L(\theta_{t-k})$$

Gradiente con "memoria esponenzialmente decadente" del passato.

Nesterov Accelerated Gradient (NAG): Variante che guarda "avanti":

$$v_{t+1} = \beta v_t + \nabla L(\theta_t - \beta v_t) \quad \text{// gradiente alla posizione "anticipata"}$$
$$\theta_{t+1} = \theta_t - \eta v_{t+1}$$

Tasso di convergenza migliorato: $O(1/t^2)$ vs $O(1/t)$ per gradient descent vanilla (per funzioni convesse).

19.2.3 Adaptive Learning Rates: AdaGrad, RMSprop, Adam

AdaGrad (Duchi et al. 2011):

Idea: Learning rate adattivo per-parametro, decrescente con gradiente cumulativo

$$G_t = G_{t-1} + (\nabla L_t)^2 \quad \text{// somma elemento-wise dei quadrati}$$
$$\theta_{t+1} = \theta_t - \eta / (\sqrt{(G_t + \varepsilon)}) \cdot \nabla L_t$$

Problema: G_t cresce monotonicamente → η_effective → 0 troppo rapidamente

RMSprop (Hinton):

Soluzione: Media mobile esponenziale invece di somma cumulativa

$G_t = \rho\, G_{t-1} + (1-\rho)(\nabla L_t)^2$
$\theta_{t+1} = \theta_t - \eta/(\sqrt{(G_t + \varepsilon)}) \cdot \nabla L_t$

con $\rho \approx 0.9$ (decay rate).

Adam (Adaptive Moment Estimation, Kingma & Ba 2015):

Combina momentum + RMSprop:

$m_t = \beta_1\, m_{t-1} + (1-\beta_1)\nabla L_t$ // primo momento (media)
$v_t = \beta_2\, v_{t-1} + (1-\beta_2)(\nabla L_t)^2$ // secondo momento (varianza)

// Bias correction (importante nelle prime iterazioni)
$\hat{m}_t = m_t/(1 - \beta_1^t)$
$\hat{v}_t = v_t/(1 - \beta_2^t)$

$\theta_{t+1} = \theta_t - \eta\, \hat{m}_t/(\sqrt{(\hat{v}_t)} + \varepsilon)$

Hyperparametri default (funzionano sorprendentemente bene):

- $\eta = 0.001$
- $\beta_1 = 0.9$
- $\beta_2 = 0.999$
- $\varepsilon = 10^{-8}$

Perché Adam domina:

- Robusto a scelta di learning rate
- Converge velocemente
- Funziona bene su architetture diverse senza tuning

Varianti recenti:

- **AdamW**: Adam + weight decay corretto
- **RAdam**: Rectified Adam (warming-up automático)
- **Lookahead**: wraps altri optimizers con "slow weights"

Sezione 19.3: Regolarizzazione

19.3.1 L2 Regularization (Weight Decay)

Loss modificata:

$L_{reg} = L_{data} + (\lambda/2)||\theta||^2$

Gradiente:

$\nabla L_{reg} = \nabla L_{data} + \lambda\theta$

Update:

$\theta_{t+1} = \theta_t - \eta(\nabla L_{data} + \lambda\theta_t) = (1 - \eta\lambda)\theta_t - \eta\nabla L_{data}$

Interpretazione: Pesi decadono verso zero con fattore $(1 - \eta\lambda) < 1$ a ogni step.

Effetto: Preferisce soluzioni con pesi piccoli → minore complessità → riduce overfitting

Interpretazione Bayesiana: L2 = prior Gaussiano sui pesi

$P(\theta|D) \propto P(D|\theta)P(\theta)$

Se $P(\theta) \sim N(0, 1/\lambda)$, allora:

$-\log P(\theta|D) = -\log P(D|\theta) + (\lambda/2)||\theta||^2 + \text{const}$

MAP estimation equivale a minimizzare L_{reg}!

19.3.2 L1 Regularization (Lasso)

Loss:

$L_{reg} = L_{data} + \lambda||\theta||_1 = L_{data} + \lambda \Sigma_i |\theta_i|$

Effetto: Sparsità - molti pesi diventano esattamente zero

Perché sparsità?

Geometria: contorni di L1 hanno "spigoli" agli assi. L'ottimo spesso cade su uno spigolo → $\theta_i = 0$ per alcuni i.

Confronto geometrico 2D:

L2: cerchio $||\theta|| \leq C$ → smooth, nessun $\theta_i = 0$ privilegiato
L1: rombo $|\theta_1| + |\theta_2| \leq C$ → spigoli agli assi → $\theta_i = 0$ favorito

Applicazioni: Feature selection automatica

Gradiente: Non differenziabile a θ_i = 0!

Subgradiente:

$\partial L_{reg}/\partial \theta_i = \partial L_{data}/\partial \theta_i + \lambda \cdot \text{sign}(\theta_i)$

dove $\text{sign}(0) \in [-1, 1]$ (set-valued).

Proximal gradient method per L1:

$\theta_{t+1} = \text{prox}_{\eta\lambda||\cdot||_1}(\theta_t - \eta \nabla L_{data})$

dove prox è soft-thresholding:

$\text{prox}_\alpha(x) = \text{sign}(x) \cdot \max(|x| - \alpha, 0)$

19.3.3 Dropout

Idea (Srivastava et al. 2014): Durante training, randomicamente "spegni" neuroni con probabilità p.

Algoritmo (training):

Per ogni layer e ogni mini-batch:

```
mask ~ Bernoulli(1-p)  // vettore binario
x_dropped = x ⊙ mask  // element-wise product
```

Tipicamente p = 0.5 per hidden layers.

Test time: NON fare dropout, ma scala attivazioni:

$x_{test} = (1-p) \cdot x$

per mantenere valore atteso uguale a training.

Interpretazione 1 - Ensemble: Dropout train un ensemble esponenziale di reti (2^N reti per N neuroni), mediando predizioni.

Interpretazione 2 - Regularizzazione Bayesiana: Approssima variational inference con Bernoulli variational distribution.

Effetto: Previene co-adaptation di neuroni - ogni neurone deve essere utile indipendentemente.

Dropout in pratica:

```
def dropout(x, p_drop, training=True):
    if not training:
        return x
    mask = (np.random.rand(*x.shape) > p_drop) / (1 - p_drop)
    return x * mask
```

Notare divisione per (1 - p_drop) → "inverted dropout" (scaling al training, non al test)

19.3.4 Batch Normalization

Problema: Internal Covariate Shift - distribuzione di attivazioni cambia durante training, rallentando convergenza.

Soluzione (Ioffe & Szegedy 2015): Normalizza attivazioni a ogni layer.

Algoritmo (per mini-batch B):

Input: $x = (x_1, ..., x_B)$ (vettori di attivazioni)

Calcola media e varianza del batch:

$$\mu_B = (1/B) \Sigma_i x_i$$
$$\sigma^2_B = (1/B) \Sigma_i (x_i - \mu_B)^2$$

1.

Normalizza:

$$\hat{x}_i = (x_i - \mu_B)/\sqrt{(\sigma^2_B + \varepsilon)}$$

2.

Scala e shift (parametri addestrabili γ, β):

$$y_i = \gamma \hat{x}_i + \beta$$

3.

Step 3 è cruciale: permette al network di "disimparare" normalizzazione se necessario ($\gamma = \sqrt{(\sigma^2_B)}$, $\beta = \mu_B$ recupera identità).

Test time: Usa media/varianza calcolata su intero training set (running average durante training).

Benefici:

- Permette learning rate molto più alti
- Riduce sensibilità a inizializzazione
- Agisce come regolarizzazione (rumore da batch statistics)

Backpropagation attraverso BN (complessa!):

Chain rule attraverso μ_B e σ^2_B:

$\partial L/\partial x_i = (\partial L/\partial y_i)\cdot(\gamma/\sqrt{(\sigma^2_B)})\cdot[1 - 1/B - (x_i-\mu_B)^2/(B\sigma^2_B)]$

Implementazioni moderne usano librerie che gestiscono questo automaticamente.

Sezione 19.4: Architetture Neuronali Profonde

19.4.1 Convolutional Neural Networks (CNN)

Motivazione: Fully-connected layers non scalano per immagini (immagine 224×224×3 → 150K parametri per primo neurone!).

Principi:

1. **Local connectivity**: Neurone connesso solo a patch locale input
2. **Parameter sharing**: Stessi pesi applicati a tutte le posizioni (convoluzione)
3. **Translation equivariance**: Se input trasla, output trasla ugualmente

Layer convoluzionale:

Filtro/kernel K di dimensione k×k×C_in:

Output feature map:

$y[i, j, c_{out}] = \Sigma_m \Sigma_n \Sigma_c K[m, n, c, c_{out}] \cdot x[i+m, j+n, c] + b[c_{out}]$

Parametri: $k^2 \times C_{in} \times C_{out} + C_{out}$ (vs $width^2 \times C_{in} \times C_{out}$ per FC)

Esempio: VGG-16 layer

- Input: 224×224×3
- Conv layer: 64 filters 3×3
- Parametri: 3×3×3×64 + 64 = 1,792 (vs 224×224×3×64 ≈ 9.6M per FC!)

Pooling layers: Downsampling per ridurre dimensionalità spaziale

Max pooling 2×2:

$y[i, j] = \max(x[2i:2i+2, 2j:2j+2])$

Architettura tipica:

Input → [Conv → ReLU → Conv → ReLU → Pool] × N → FC → Softmax

19.4.2 Residual Networks (ResNet)

Problema: Network molto profondi (>20 layers) degradano - training error aumenta!

Non è overfitting (anche training error peggiora). È difficoltà di ottimizzazione.

Soluzione (He et al. 2015): Residual connections

Invece di apprendere H(x), apprendi residuo F(x) = H(x) - x:

$y = F(x; W) + x$

dove F è composto da 2-3 conv layers.

Perché funziona:

- Se identità è ottimale, basta apprendere F(x) = 0 (facile!)
- Gradiente flow: $\partial y/\partial x = \partial F/\partial x + I \rightarrow$ gradiente può fluire direttamente attraverso +

Architettura ResNet-50:

Input (224×224×3)
↓
Conv 7×7, 64, stride 2
↓
Max Pool 3×3, stride 2
↓
[Residual Block × 3] ← Bottleneck: 1×1 → 3×3 → 1×1
↓
[Residual Block × 4]
↓
[Residual Block × 6]
↓
[Residual Block × 3]
↓
Avg Pool
↓
FC 1000 (ImageNet classes)

Totale: 50 weighted layers (nome ResNet-50)

Prestazioni: ResNet-152 raggiunge 3.57% top-5 error su ImageNet (umani ~5%)

19.4.3 Attention Mechanisms e Transformer

Limitazione RNN: Processing sequenziale → difficoltà catturare dipendenze long-range

Attention (Bahdanau et al. 2015): "Guarda" selettivamente parti diverse dell'input

Scaled Dot-Product Attention:

Input:

- Query Q ∈ ℝ^{n×d_k}
- Key K ∈ ℝ^{m×d_k}
- Value V ∈ ℝ^{m×d_v}

Output:

Attention(Q, K, V) = softmax(QK^T/√d_k) V

Interpretazione:

1. Compute similarity: QK^T (ogni query vs ogni key)
2. Normalize: softmax (attention weights)
3. Aggregate: weighted sum di values

Divisione per √d_k: stabilizza gradiente (dot products crescono con dimensionalità)

Multi-Head Attention:

Invece di singola attention, usa H "teste" in parallelo con proiezioni diverse:

head_i = Attention(QW^Q_i, KW^K_i, VW^V_i)
MultiHead(Q,K,V) = Concat(head_1,...,head_H)W^O

Permette catturare diversi tipi di relazioni simultaneamente.

Transformer (Vaswani et al. 2017):

Architettura basata completamente su attention (no RNN, no CNN):

Encoder:
Input Embedding + Positional Encoding
↓
[Multi-Head Self-Attention → Add & Norm → FFN → Add & Norm] × N
↓
Encoder Output

Decoder:
Output Embedding + Positional Encoding
↓
[Masked Multi-Head Self-Attention → Add & Norm →
Multi-Head Cross-Attention (con Encoder) → Add & Norm →
FFN → Add & Norm] × N
↓
Linear + Softmax

Self-attention: Q = K = V (sequence attends to itself)

Positional Encoding: Senza ricorsione, serve iniettare informazione di posizione:

PE(pos, 2i) = sin(pos/10000^{2i/d_model})
PE(pos, 2i+1) = cos(pos/10000^{2i/d_model})

Complessità: O(n²d) per sequenza length n, dimensione d

vs RNN: O(nd²) ma sequenziale (non parallelizzabile)

Trade-off: Transformer più parallelizzabile ma quadratico in lunghezza sequenza

Sezione 19.5: Apprendimento e Generalizzazione

19.5.1 Bias-Variance Decomposition

Setup: Dato training set D, apprendiamo $\hat{f}(x; D)$. Vero target f(x).

Errore atteso su nuovo punto:

$$E_{D,x,\varepsilon}[(y - \hat{f}(x;D))^2] = E_{D,x}[(f(x) - \hat{f}(x;D))^2] + E_x[\sigma^2]$$

dove $y = f(x) + \varepsilon$, $\varepsilon \sim N(0, \sigma^2)$ è rumore irriducibile.

Decomposizione del primo termine (squared bias-variance):

$$E_D[(f(x) - \hat{f}(x;D))^2] = [f(x) - E_D[\hat{f}(x;D)]]^2 + E_D[(\hat{f}(x;D) - E_D[\hat{f}(x;D)])^2]$$
$$= \text{Bias}^2 + \text{Variance}$$

Interpretazione:

- **Bias**: Quanto $E[\hat{f}]$ si discosta da f (errore sistematico)
- **Variance**: Quanto $\hat{f}$ varia tra training set diversi (sensibilità ai dati)

Trade-off fondamentale:

- Modello semplice (pochi parametri): High bias, low variance
- Modello complesso (molti parametri): Low bias, high variance

Optimal complexity: Minimizza Bias² + Variance + Noise

19.5.2 VC Dimension e Capacità

Definizione (shattering): Una ipotesi classe H shatters un set di punti $\{x_1,...,x_n\}$ se per ogni possibile labeling $\{y_1,...,y_n\} \in \{0,1\}^n$, esiste $h \in H$ che separa perfettamente.

VC Dimension: Massima cardinalità di un set che H può shatter.

Esempi:

1. **Linear classifiers in $\mathbb{R}$^d**: VC(H) = d + 1

   Dimostrazione (d=2):

   - 3 punti in posizione generale possono essere shattered ✓
   - 4 punti: Esiste labeling XOR non linearmente separabile ✗
2. **Sinusoidi**: VC(sines di freq ≤ Ω) = ∞ (!!)

3. **Neural networks**: VC(network con W pesi) ≥ W

   Bound superiore: VC ≤ O(W² log W)

Teorema (bound di generalizzazione): Con probabilità ≥ 1 - δ:

Error_test ≤ Error_train + O(√((VC·log(N/VC) + log(1/δ))/N))

Implicazione: Controllo overfitting richiede VC/N piccolo.

Paradosso delle reti moderne: Overparametrizzate (W >> N) ma generalizzano!

Spiegazione parziale:

- SGD trova soluzioni "semplici" (implicit regularization)
- Batch normalization
- Dropout e altre tecniche

Teoria completa ancora area di ricerca attiva.

19.5.3 Double Descent e Interpolation Regime

Fenomeno recente (Belkin et al. 2019): Curva test error vs model complexity non è monotona!

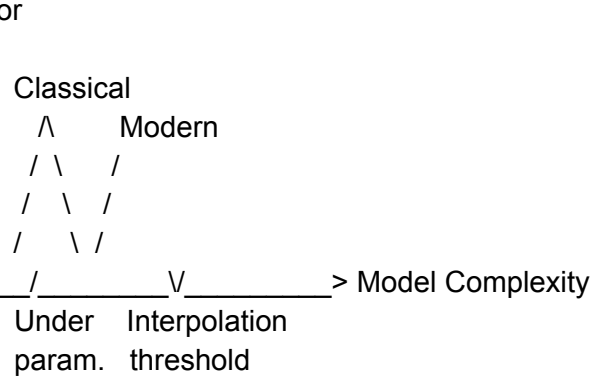

Regimi:

1. **Underparameterized** (W < N): Bias-variance trade-off classico
2. **Interpolation threshold** (W ≈ N): Picco di errore (fit perfetto training ma overfit)
3. **Overparameterized** (W >> N): Error diminuisce di nuovo (!!)

Intuizione: Con W >> N, esistono molte soluzioni che interpolano training data. SGD + inductive bias scelgono quelle "semplici" che generalizzano.

Implicazioni pratiche: "Bigger is better" - networks enormi (GPT-3: 175B parametri) generalizzano meglio.

Sezione 19.6: Apprendimento Non Supervisionato

19.6.1 Autoencoders

Architettura: Encoder + Decoder

$x \in \mathbb{R}^d \rightarrow$ [Encoder] $\rightarrow z \in \mathbb{R}^k \rightarrow$ [Decoder] $\rightarrow \hat{x} \in \mathbb{R}^d$

con $k < d$ (bottleneck)

Loss: Ricostruzione

$L = ||x - \hat{x}||^2$

Apprendimento: z cattura rappresentazione compressa di x

Variante - Denoising Autoencoder:

Input: $\tilde{x} = x +$ noise Target: x (pulito)

Forza autoencoder a catturare struttura robusta (non rumore)

19.6.2 Variational Autoencoders (VAE)

Idea: Interpreta z come variabile latente in modello generativo probabilistico

Modello:

- Prior: $p(z) = N(0, I)$
- Likelihood: $p(x|z; \theta)$ (decoder)
- Posterior approssimato: $q(z|x; \varphi) = N(\mu(x), diag(\sigma^2(x)))$ (encoder)

Objective (ELBO - Evidence Lower BOund):

$L = E_{q(z|x)}[\log p(x|z)] - KL(q(z|x) || p(z))$

Primo termine: ricostruzione (come autoencoder) Secondo termine: regolarizzazione (mantiene q vicino a prior)

Reparametrization trick (backprop attraverso sampling):

Invece di $z \sim N(\mu, \sigma^2)$, scrivi:

$z = \mu + \sigma \odot \varepsilon$, dove $\varepsilon \sim N(0, I)$

Ora μ, σ sono deterministici → backprop funziona!

Generazione: Campiona $z \sim N(0,I)$, passa attraverso decoder → nuovo x

19.6.3 Generative Adversarial Networks (GAN)

Idea (Goodfellow et al. 2014): Due networks in competizione

- **Generator G**: $z \rightarrow \tilde{x}$ (genera fake samples)
- **Discriminator D**: $x \rightarrow [0,1]$ (probabilità che x sia reale)

Training (minimax game):

$\min_G \max_D V(D,G) = E_{x\sim p_{data}}[\log D(x)] + E_{z\sim p_z}[\log(1 - D(G(z)))]$

Discriminator vuole massimizzare (distinguere real vs fake) Generator vuole minimizzare (ingannare D)

Algoritmo:

Repeat:

Update D: Gradient ascent su V

$\nabla_{\theta_D} [(1/m) \Sigma \log D(x^{(i)}) + (1/m) \Sigma \log(1 - D(G(z^{(i)})))]$

1.

Update G: Gradient descent su V

$\nabla_{\theta_G} [(1/m) \Sigma \log(1 - D(G(z^{(i)})))]$

2.

In pratica: Invece di minimizzare log(1-D(G(z))), massimizzare log D(G(z)) (stessi gradienti per D, migliori per G all'inizio)

Nash equilibrium: G genera p_data, D(x) = 1/2 ovunque

Problemi:

- Mode collapse (G genera pochi tipi di samples)
- Training instability
- Difficile convergenza

Soluzioni moderne:

- Wasserstein GAN (WGAN): Loss basata su Wasserstein distance
- Spectral Normalization
- Progressive Growing
- StyleGAN (state-of-the-art per immagini fotorealistiche)

Conclusioni Capitolo 19

Il machine learning, attraverso l'apprendimento delle rappresentazioni, realizza una forma di **metamorfosi informatica**: dati grezzi vengono trasformati layer dopo layer in rappresentazioni sempre più astratte e task-relevant.

Principi unificatori:

1. **Differenziabilità end-to-end**: Backpropagation permette ottimizzazione di pipeline complesse
2. **Composizionalità**: Features complesse emergono da composizione di trasformazioni semplici
3. **Apprendimento = Ottimizzazione**: Riduzione a problema di minimizzazione in spazi ad alta dimensionalità

Frontiere aperte:

- Interpretabilità (perché funziona così bene?)
- Generalizzazione out-of-distribution
- Few-shot learning (umani apprendono da pochi esempi)
- Incorporazione di prior induttivi (physical laws, causality)

La teoria dell'apprendimento profondo è lungi dall'essere completa - ma i risultati empirici sono innegabili: da visione artificiale a NLP, da giochi a scoperta scientifica, le reti neurali profonde stanno trasformando cosa è computazionalmente possibile.

Riflessione finale su METAMORFOSI: Attraverso matematica, fisica, linguistica, cartografia e AI, abbiamo esplorato **trasformazioni** in molte forme:

- Gruppi mappano insiemi in sé stessi preservando struttura
- Transizioni di fase trasformano materia preservando leggi termodinamiche
- Sintassi trasforma strutture profonde in superficiali preservando significato
- Proiezioni trasformano superfici preservando proprietà geometriche selezionate
- Fourier trasforma tempo in frequenza preservando informazione
- Neural networks trasformano dati grezzi in previsioni preservando pattern statistici

Il concetto di **trasformazione che preserva invarianti** è il filo rosso che unisce matematica e realtà fisica - rivelando la profonda unità tra domini apparentemente disgiunti della conoscenza umana.